

V. III, III

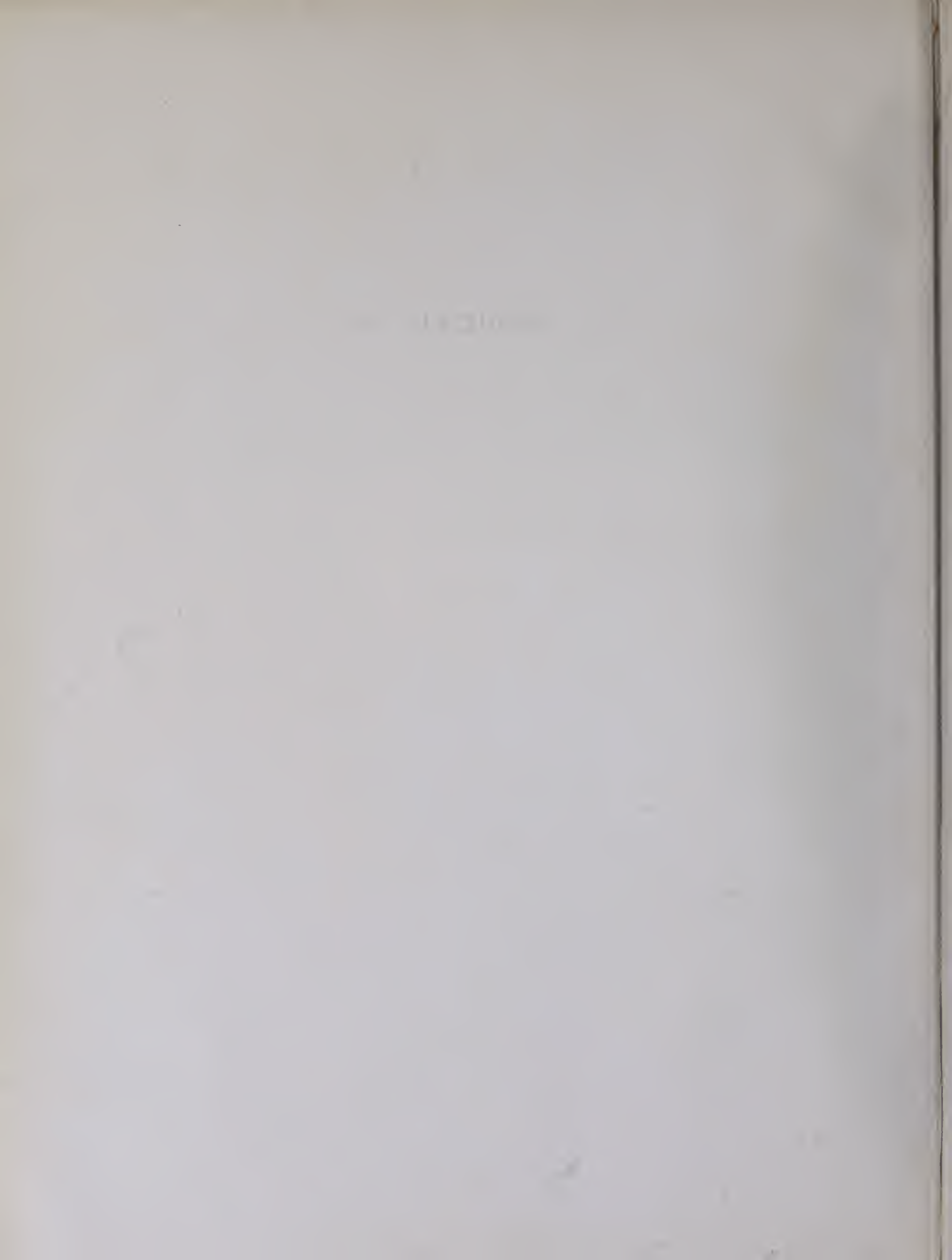


Digitized by the Internet Archive
in 2016

<https://archive.org/details/grandesvoutes56sejo>



GRANDES VOÛTES



GRANDES VOÛTES

PAR

Paul SÉJOURNÉ

INGÉNIEUR EN CHEF DES PONTS ET CHAUSSÉES
INGÉNIEUR EN CHEF DU SERVICE DE LA CONSTRUCTION
DE LA COMPAGNIE PARIS-LYON-MÉDITERRANÉE
PROFESSEUR A L'ÉCOLE NATIONALE DES PONTS ET CHAUSSÉES

TOME V

3^{ME} PARTIE — CE QUE L'EXPÉRIENCE ENSEIGNE
DE COMMUN A TOUTES LES VOÛTES

LIVRE I. — COMMENT ON PROJETTE UN PONT EN MAÇONNERIE

LIVRE II. — COMMENT ON EXÉCUTE UN PONT EN MAÇONNERIE

LIVRE III. — CONCLUSIONS GÉNÉRALES

BOURGES

IMPRIMERIE V^{VE} TARDY-PIGELET ET FILS
15, RUE JOYEUSE, 15

—
1914

Tous droits de reproduction, de traduction et d'adaptation
réservés pour tous pays.

Copyright by Paul Séjourné — 1915.

3^e PARTIE

CE QUE L'EXPÉRIENCE ENSEIGNE

DE COMMUN A TOUTES LES VOÛTES

LIVRE I

COMMENT ON PROJETTE
UN PONT EN MAÇONNERIE

LIVRE II

COMMENT ON EXÉCUTE
UN PONT EN MAÇONNERIE

LIVRE III

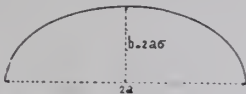
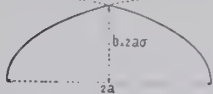
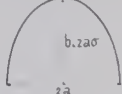
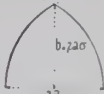
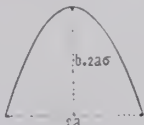
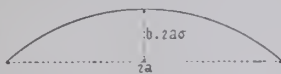
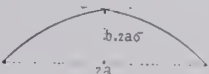

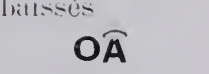

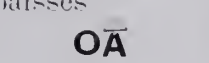
CONCLUSIONS GÉNÉRALES



PRÉLIMINAIRES¹

SYMBOLES

1. — Intrados.

Portée $2a$		Montée b	Surbaissement $\sigma = \frac{b}{2a}$	
Pleins Cintres. — C				
DEMI-COURBES COMPLÈTES	Courbes surbaissées $\sigma < \frac{1}{2}$		Courbes surhaussées (h) $\sigma > \frac{1}{2}$	
	continues	brisées (O)	continues	brisées (O)
				
	E Ellipses du 2 ^e degré - Courbes algébriques à forme d'ellipse - Courbes composées de segments de courbes - Anses de panier à m centres...	OE 2 ellipses, 2 anses de panier, 2 paraboles se coupant...	E_h Ellipses surhaussées - Anses de panier surhaussées...	O_hC 2 pleins-cintres se coupant...
ARCS SEGMENTS DE COURBES	Arcs pour lesquels $\sigma \geq \frac{1}{2\sqrt{3}} = \frac{1}{3,464} = 0,288$ dits : peu surbaissés		 A_h Segments d'ellipses, d'anses de panier surhaussées, de paraboles...	
				
	Arcs pour lesquels $\frac{1}{2\sqrt{3}} = 0,288 < \sigma < \frac{1}{7} = 0,143$ dits : assez surbaissés			
				
Arcs pour lesquels $\sigma \leq \frac{1}{7} = 0,143$ dits : très surbaissés				
				
A		OA		

2. Ponts à une seule grande arche et ponts à plusieurs grandes arches. — On a distingué les ponts à une seule grande arche : **C**, **E**, **A**, **A**, **A**... et les ponts à plusieurs : **Cⁿ**, **Eⁿ**, **Aⁿ**, **Aⁿ**, **Aⁿ**,....

3. Voie portée.

Ponts-route : **C^{rte}**, **E^{rte}**, **A^{rte}**,....

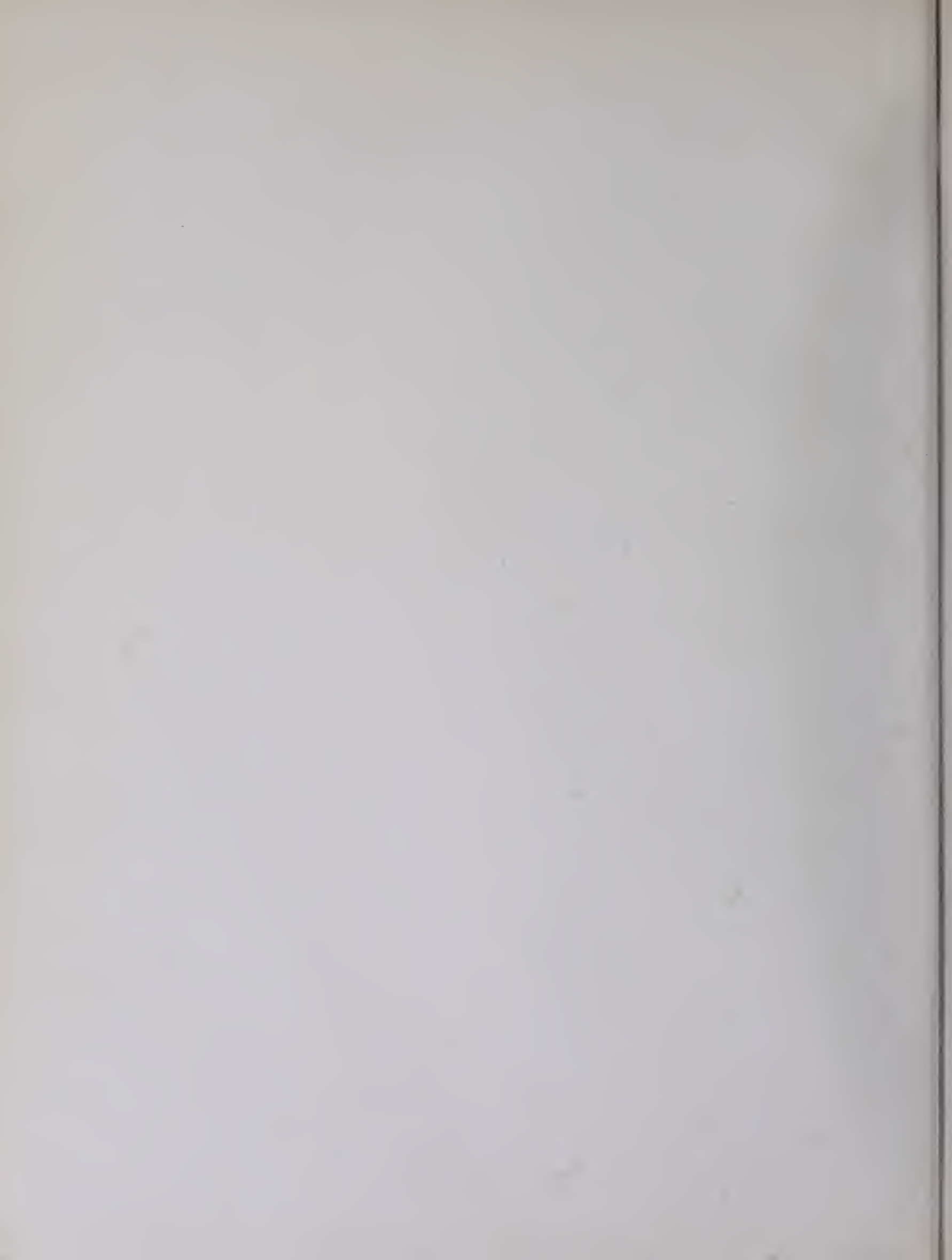
Ponts sous chemin de fer à voie normale : **C^{Fr}**, **E^{Fr}**, **A^{Fr}**,....

Ponts sous chemin de fer à voie étroite : **C^{fr}**, **E^{fr}**, **A^{fr}**,....

Ponts-aqueducs : **C^{aq}**, **E^{aq}**,....

4. Ponts en deux anneaux. — Les voûtes sont désignées comme précédemment, mais en doublant la lettre de l'intrados, par exemple : **A¹A¹** **rte**....

1. — Résumé des préliminaires en tête des Tomes I, II, III.



LIVRE I

COMMENT ON PROJETTE

UN PONT EN MAÇONNERIE

MATÉRIAUX — APPAREIL — DISPOSITION

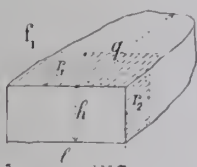
ASPECT — DÉCORATION



TITRE I
GRANDES VOÛTES EN PIERRE
MATÉRIAUX — APPAREIL — TRAVAIL

CHAPITRE I

DÉSIGNATION DES PRINCIPAUX MATÉRIAUX ¹
LEUR DISTRIBUTION USUELLE DANS LES OUVRAGES ²

Désignation ¹			Dimensions usuelles (f ₁)					Abréviations	Distribution usuelle	
			En parement		Queue	Retour d'équerre				
			Hau- teur ou Épais- seur h	Lar- geur l		Lits	Joints			
					q	r ₁	r ₂			
Béton.			»			»		B	Voir plus loin, Titre II.	
employés en blocage sans préparation spéciale.			Plus petite dimension ≥ 0°10 Poids < 40°					MO	Gros œuvre; remplissages; mas- sifs de fondation; corps des culées; noyaux des piles, tympans; murs en aile et en retour; parements cachés; parements vus, quand l'aspect n'importe pas.	
Moellons ordinaires	choisis, (c'est-à- dire avec sujétion.)	employés en parement.	à joints incertains. « opus incertum ».	Plus petite dimension ≥ 0°10	> 0°20	≥ 0°10	≥ 0°10	MOI	Parements vus des tympans, piles, culées, pieds-droits, murs en aile et en retour, radiers, murs de soutène- ment (<i>MOI</i> ou <i>MOH</i> suivant la carrière).	
			par assises hori- zontales grossières.	≥ 0°10	≥ 0°20	≥ 0°15	≥ 0°10	MOH		
		employés en voûte.	méplats, « lités »; lits normaux à l'in- trados; assises prolongeant des assises de douelle.	Plus petite dimension ≥ 0°10		aussi pleins que pos- sible		0°10	MOV	Queutage des voûtes derrière la douelle.
Moellons à face rectangulaire, les 4 arêtes dans un même plan f ₁		Moellons	»	≥ 0°15 ≤ 0°25	1.5 h à 2.5 h	≥ 0°30	0°20	0°15	ME	Parements vus des tympans, piles et culées (<i>sauf les angles</i>) dans les grands ou- vrages. Fût des parapets.
		équarris	taillés en voussoirs	Fixée par le dessin ≥ 0°15 ≤ 0°25	1.5 h à 2.5 h	≥ 0°30	Pleins	0°20	MEV	Douelle des voûtes. Queutage des grandes voûtes.
		Moellons d'appareil	» taillés en voussoirs	Dimensions indiquées aux dessins.						
Libages.	Pierre de taille de grand appareil grossièrement équarrie.		Dimensions indiquées aux dessins.					Pleins.	L	Socles des piles, soubassements.
Pierre de taille ⁵ .	Blocs appareillés sur les six faces. Toutes les dimensions imposées.								PT	Bandeaux et archivoltes des grandes voûtes. Crossettes d'appui des piles des voûtes d'évidement. Plinthes, sous- plinthes, corbeaux des re- fuges, balustres, parapets ajourés, dès à leurs abouts. Couronnement et chaperon des piles.
Briques.									Br	Voûtes, tympans, parapets.

1. — C'est, complétée, la nomenclature donnée dans l'Avertissement, en tête des Tomes I, II, III, IV.

2. — Pour les ouvrages courants et pour les viaducs, elle est détaillée à l'Appendice.

3. — Synonyme : Moellons tétués.

4. — Synonyme : Moellons smillés.

5. — Pierre de taille de petit appareil. Synonyme, moellons piqués.

CHAPITRE II

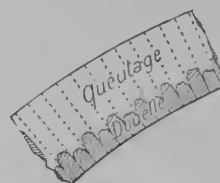
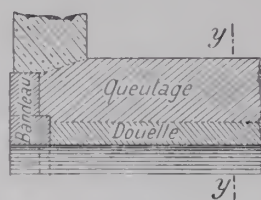
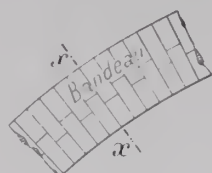
COMMENT SONT FAITES

LES VOÛTES APPAREILLÉES DE 40^m ET PLUS ^{6, 7}

f_2 — Élévation

f_3 — Coupe sur xx de f_2

f_4 — Coupe sur yy de f_2



§ 1. — VOÛTES $\geq 40^m$ A MORTIER DE CHAUX

Pont	Intrados Voie portée ₈	Monographie, Tome, page	Date	Portée	Surbaissement	Composition de la voûte						Pressions, Kg (0 ^m 01)					
						Appareil ⁹			Pierre		Chaux			Clef		Reins	
						Bandeaux	Douelle	Queutage	Nature	Résistance en Kg / 0 ^m 01 ²	Nature Provenance	Pour 1 ^{re} de sable Poids en Kg	Volume en litres	MAX.	moy.	MAX.	moy.
de Lavour (Vieux Pont)	E ¹ 1 ^{te}	1-97	1773-91	48 ^m 73	1 2 5	P T			Grès mollasse tendre		ch. grasse						
de Gignac	E ¹ 1 ^{te}	1-103	1776-1810	48.42	1 2.98				»		»						
Mosca	A ¹ 1 ^{te}	111-199	1834	45	1 8.18				Granit		ch. grasse de Palazzolo Virieu						
de Collonges	C ¹ 1 ^{te}	1-31	1869-73	40	»				Reins en MOV		»						
du Saulnier (écroulé en 1912)	A ¹ 1 ^{te}	111-40	1882	43	1 5	MAV	MEV		Grès calc.	300 ^s	Teil			14 ^s 6	14 ^s		
de Pouch	A ¹ 1 ^{re}	111-110	1890	47.85	1 3.68	PT			Granit	»	Teil	350 ^s					
de Fium' Alto	E ¹ 1 ^{te}	1-110	1862-63	40	1 3.82	L	MOV	MOV		150 ^s	Teil	377 ^s					
de Pont-y-tu-Pridd	A ¹ 1 ^{te}	111-26	1749-50	42.67	1/4	PT	MOV	MOH	Bandeaux Grès dur Douelle Schiste								
de Chester	A ¹ 1 ^{te}	111-29	1833-34	60.96	1 4.76	PT	»	»	Bandeaux Marbre D ^{re} et Queut. Grès		du pays		500 ^s				
sur la Gravona	A ¹ 1 ^{re}	11-183	1884	43.53	1 2.59	PT	PT	»	Granit	600 ^s	Teil	333 ^s		26 ^s 6	31 ^s 8		
des Bains-de- Lucques ¹¹	A ¹ 1 ^{te}	111-32	1845-47, 1874-77	47.84	1 6.71	PT	Br		Grès 490 à 625 ^s Br. 130 à 150 ^s		ch. maigre en pâte		666 ^s	16 ^s 3	11 ^s		
de Calcio	A ¹ 1 ^{re}	111-100	1877-78	42	1 3.53	Br				335 ^s		ch. hydr. de	450 ^s		12 ^s	23 ^s	
sur la Diveria	A ¹ 1 ^{re}	111-130	1901-02	40	1 4	Br				450 ^s		Palazzolo	400 ^s				
du Diable	E ¹ 1 ^{te}	1-116	1871-72	55	1 4.06	Br				89 ^s 6		ch. grasse du Teil	¹² 333 ^s	15 ^s 8	10 ^s 6	10 ^s 6	7 ^s

§ 2. — VOÛTES $\geq 40^m$ A MORTIER BÂTARD (CHAUX ET CIMENT)

de Nydeck	A ¹ 1 ^{re}	11-51	1840-44	45.90	1 2.51	PT	MEV	Bandeaux et Douelle Granit 500 ^s Queutage Grès 211 ^s		Chaux et Ciment : ch. 400 ^s cim. 400 ^s					
de Wäldlitobel	A ¹ 1 ^{re}	11-157	1883-84	41	1 3.10	M O V						500 ^s		12 ^s 2	
d'Oloron	C ¹ 1 ^{re}	1-45	1881-82	40	"	PT	MEV	MOV			ch. 333 ^s cim. 111 ^s			11 ^s 3	12 ^s
Annibal	E ¹ 1 ^{re}	1-112	1868-70	55	1 3.92	Br				52 ^s 5		333			

6. — On a classé les voûtes d'après l'appareil du queutage, et pour le même appareil, par dosage décroissant du liant.

7. — 21 ponts à voûtes $\geq 40^m$ n'ont pu, faute de renseignements, être inscrits aux tableaux § 1, 2, 3.

8. — Pour le sens des symboles, voir Préliminaires, p. 3.

9. — Pour le sens des abréviations, voir Chapitre I.

10. — Bandeaux et douelle : Calcaire à 3^s, mortier de ciment.

11. — Au-dessous de 33, corps en calcaire.

12. — Sable : pouzzolane.

Les voûtes articulées sont en italiques.

Pont	Intrados Voie portée 13	Monographie Tome, page	Date	Portée		Surlaiement	Composition de la voûte										Pressions kg/m.01 ²																						
				entre appuis	aux retombées ou entre rotules		Appareil 14			Pierre			Ciment			Épaisseur des joints, en mm	Clef		Reins																				
							Bandeaux	Donelle	Quentage	Nature	Provenance	Résistance en kg 0.01 ²	Nature	Provenance	Pour 1 ^{re} de sable Poids en Kg Volume en lit.		MAXIMA	moenne	MAXIMA	moenne																			
Teinach	\bar{A}^1 r ^{te}	111-203	1882	m 46	m 33	1 10	P T		Grès		300 ^s	Portland	1000 ^s	12		29.3		27.5																					
<i>nélus</i>	\bar{A}^n r ^{te}	1V-180	1902-03	44	41	1 12			Calcaire	»	»	»	Portland Dyckerhoff et fils	700 ^s	25		36		35																				
<i>rimilien</i>		1V-192	1903-05	45.87	44	1 8.98			Calcaire	Franconie	500 à 800 ^s	»					36	32 ^s	36	24 ^s																			
<i>Prince-Régent</i>		\bar{A}^1 r ^{te}	1V-239	1900-01	62.40	63		1 9.69		Calcaire	(Muschel- kalk)	»				»		41.7	»	43	»																		
<i>e-Joseph</i>	1V-242		1901-02	64	60	1 10			»	»	»	Boulogne	666 ^s	16		45	»																						
Signac (cer- veau sur 22°)	E^1 f ^r	1-131	1871-72	40		1 3.25			»	»	»	»	Portland	»			16.3																						
Höfen	\bar{A}^1 r ^{te}	1V-41	1885	41	28	1 10			Grès		917 à 1036 ^s	Portland	de Blaubeuren	666 ^s		29	17	24	17																				
Morbegno	\bar{A}^1 f ^r	1V-65	1902-03	70	»	1 7			Granit		1100 ^s	»	600 ^s			69.4		70.1																					
Seythenex	\bar{A}^n r ^{te}	111-177	1908-11	41.19	»	1 4.10			»	Seythenex	1400 à 1600 ^s	Vicat n° 1				23		23																					
Salcano	\bar{A}^1 f ^r	111-141	1904-06	85	»	1 3.90			Calcaire	Nabresina	1200 ^s	Portland	1 ^{re} choix de Spalato	15	19	16	28		51																				
L'Empereur- François	E^1 r ^{te}	1-168	1898-1901	42.34		1 4.95			Granit	»				333 ^s		40.7		32.8																					
le Schallgraben	\bar{A}^1 f ^r	11-168	1904-05	52		1 3.46				»			Portland					19.8		27.9																			
la Steyrling		137	1904-05	70		1 4.45				»			Portland					Pr. maxima :		37 ^s																			
Langenbrand		152	1907-09	59		1 4				Saverne					20	20	30.5		41.1																				
la Gutach		122	1899-1900	64		1 3.97					»	400 à 600 ^s	Portland	Schifferdecker				»	»	»	»																		
le Schwände- holzdohel	\bar{A}^1 f ^r	111	1899-1900	57		1 4					Grès	21	»	Portland		de Szczakowa (Galicie)		18		Pr. maxima :		27.5																	
Jaremcze		114	1893-94	65		1 3.63				»	480 à 1180 ^s	»	285 ^s	au moins			25.1																						
Jamna		118	1893-94	48		1 4				»	»	»					21.4																						
Worochita		120	1893-94	40		1 4				»	»	»																											
le Strandeelven		132	1902-04	41		1 3.64				Gneiss		1000 à 2700 ^s		1 3	22	25	20		35																				
Svenkerud		150	1905-07	44		1 6.66		Grès		900 à 1500 ^s		1 2,5	23		30.3		25.8																						
Boilefos		159	1908-..	40		1 4		Gneiss		1100 à 2100 ^s					20		30.8																						
Baiersbronn	\bar{A}^1 r ^{te}	1V-48	1889	40	33	1 10		Grès	bigarré	695 ^s					42		53																						
Huzenbach		111-206	1889	41.50	35	1 7.44		Grès		»					40		52																						
Elyria	\bar{A}^1 r ^{te}	111-46	1886	45.72		1 5.55	L		Grès	Elyria	437 ^s	Portland		1000 ^s	6.4	19.7		24.1																					
Céret	\bar{A}^1 f ^r	11-160	1883-85	45		1 2.31			Granit		571 à 735 ^s	Grappier Lafarge	1000 ^s				Pr. maxima :		27 ^s																				
Montanges	\bar{A}^1 r ^{te}	111-62	1908-09	80.29		1 3.92			Calcaire	Villette- Romanèche (Ain)	1974 ^s	Artificiel Vicat n° 1	600 ^s	24-25-26	12	43.8		50.2																					
Canale	\bar{A}^n f ^r	111-185	1904-06	40		1 5			Calcaire	»	»		590 ^s				Pr. maxima :		35 ^s																				
Krummenau	\bar{A}^1 f ^r	111-164	1910-11	63.26		1 4.57			Grès calc. mollasse	»	1200 ^s	Portland	»	333 ^s	10 à 60	36.2	23.6	46.2	23.1																				
ouard VII	E^1 r ^{te}	1-182	1901-03	40.54		1 5.43		27	Granit	»	»		»																										
Bellows-Falls	\bar{A}^1 f ^r	111-225	1899	42.67		1 7		27	»	»	»	Portland	»				50.5		76																				
Wiesen	E^1 f ^r	1-235	1907-09	55		1 1.65	PT Granit	B moulé	1 ^{re} 1 ^{re} 8 - 3 ⁵		332 à 404 ^s à 28 jours		28 400 ^s			20.2		23.6																					
Luxembourg	\bar{A}^1 \bar{A}^1 r ^{te}	11-67	1899-1903	84.65		1 2.73	PT	MAV	Grès	Gilsdorf	1193 à 1599 ^s	Artificiel		29		29	23	48	20																				
ucicaut	\bar{A}^n r ^{te}	243	1888-90	40		1 8				Calcaire	Villebois	1096 ^s	Vicat n° 1			8		19.9																					
rléans		111	255	1904-06	43.85	1 7.56			Bandeaux et Douelle Massangis Quentage	710 ^s	lent	600 ^s	Candlot	Maritime Pavin de Lafarge	Bx 10 Corps 25 à 30	12 à 16	29	»	»	»	»																		
Avignon		270	1905-09	40		1 8		Calcaire	Ruoms																														
Constantine	\bar{A}^1 \bar{A}^1 r ^{te}	11-107	1908-12	68.76		1 2.76			»			Artificiel Vicat de Valdonne																											
Cimnskel	\bar{A}^1 f ^r	11	189	1910-12	46.98	1 2.32	MAV	Granit	»			350 ^s			22.8	17.5	24.5	20.4																					
Tuoi		11	194	1911-12	47.71	1 2.23				»																													

13. — Voir renvoi 8.

14. — Voir renvoi 9.

15. — A la clef et aux retombées, 1500¹⁵.16. — Au-dessous du milieu de la montée, 300¹⁵.

17. — En tenant compte de la température.

18. — Résistance du mortier en cubes : 255¹⁵.

19. — Sable de l'Isonzo, lavé.

20. — Sable de la Gutach.

21. — Grès poreux, gélif.

22. — 11 % de mortier.

23. — 23 % de mortier.

24. — 250 à 300¹⁵ à 28 jours.

25. — Mortier avec très peu d'eau.

26. — Sable de la Valserine.

27. — Voussoirs de toute l'épaisseur de la voûte.

28. — Résistance du mortier au 1/3 : 426¹⁵ à 28 jours.

29. — Sable : laitier granulé.

Pont	Voie portée 30	intrados Monographie Tome, page	Date	Portée		Surbaisssement	Appareil 31			Composition de la voûte					Pressions kg 0				
				entre appuis aux rebordées ou entre routes	m		m	Bandeaux	Donelle	Queutage	Pierre			Ciment		Épaisseur des joints, en mm	Clef		Rein
											Nature	Provenance	Résistance en Kg 0°01°	Nature	Pour 1 ^{re} de sable Poids Volume en Kg en lit.		MANIMA	moenne	
du Gastelet		130	1882-83	41.20		1 2.94				Granit	Ax					12	20	14°	
de Lavar	A ¹ F ^r	11 135	1882-84	61.50		1 2.24	PT	MEV		Calcaire	Quercy Donelle et Queutage		Artificiel	650 ^k	32	10	15	17	MAN d la vo 29°
Antoinette		145	1883-84	50		1 3.14				Granit	Lexos Sidobre	720 à 1127° 691 à 977°			32	10	12	18	id.
du Gour-Noir	A ¹ F ^r	111-103	1888-89	62	66	1 3.73					Cabirol				33	33° 2	16.6		°
de Verdun-sur-le-Doubs	E ⁿ F ^r	1-165	1895-97	41		1 4.47	MAV				Bandeaux et Donelle Ruoms		Vicat					13.5	
de Valence	E ⁿ F ^r	1-173	1901-05	49.20		1 4.65	PT	MAV		Calcaire	Remigny Bandeaux et Donelle Ruoms		n° 1	600 ^k				27.9	18.8 30.6
des Amidonniers	E ⁿ E ⁿ F ^r	1-193	1904-07	46 et 42		1 4.17 et 1 4.80	PT	MEV			Le Pouzin					40	27	50	2
d'Escot	A ¹ F ^r	11-174	1907-09	56		1 2.99	MAV	MEV			Crussols Variza		Laitier			36.3		37	
de Marbach	A ¹ F ^r	IV-45	1886-87	43.50	32	1 10.32	PT	MEV		Calcaire	Bandeaux Kenper	577 à 644°		500		27		25	
de Freyssinet	A ¹ F ^r	111-112	1890-91	45		1 4.09	PT			Muschel- kalk		992 à 1169°							
de Rebuzo	C ¹ F ^r	1-48	1898-1900	40				MEV		Granit	Bandeaux et Donelle 1900°		Grappier du Teil	400°				11.4	
de Ramonnails	A ¹ F ^r	11-186	1906-08	40.30		1 3.12				Calcaire	Queutage 1700°			400°				23.2	11.6 20.2
de Breni	C ¹ F ^r	1-34	1899-1900	44			MAV			Bandeaux et Donelle Calcaire				400°				13	
sur le Verdon	E ¹ F ^r	1-133	1905-06	40		1 4	PT						Artificiel lent					14.5	
de Lichtensteig	A ¹ F ^r	111-161	1907-09	42.82		1 3.71	MEV			Grès calc.			Portland	333°		27.5		28.9	
de l'Alma	E ⁿ F ^r	1-153	1854-55	43		1 5	PT	MAV		Meulière	Douelle et Queutage		Vassy	1000					
de Claix	A ¹ F ^r	111-36	1873-74	52		1 6.46		MEV					Artificiel Vicat n° 1	1000°			19°		
sur le Rothweibach	A ¹ F ^r	11-171	1904-06	41		1 2.68				Calcaire				500° env. (à 3 en poids)			Pr. maxima :		
sur le Krenngraben	A ¹ F ^r	111-134	1904-05	40		1 4		MEV		Cal. dur	Bandeaux et Donelle Queutage						Pr. maxima :		
de Lusserat	A ¹ F ^r	111-155	1908-10	45.70		1 4.63	PT	MAV		Granit			Portland de Boulogne	450°	10 à 30	28	18	25	1
sur le Palmgraben	A ¹ F ^r	11-164	1904-05	49		1 3.39		PT		Grès				400°			Pr. maxima :		
de Solis	C ¹ F ^r	1-55	1901-02	42				MEV		Calcaire				400°			23.2		20.3
de Saint-Sauveur	C ¹ F ^r	1-27	1860-61	42			PT	MOV	35	Schiste			Vassy						
de Mantes	E ⁿ F ^r	1-160	1873-75	40		1 3.5	PT			Bandeaux et Donelle Tessencourt Saillancourt			Portland Longuety de Boulogne						
de Berdoulet	A ¹ F ^r	11-128	1860-61	40		1 3.44		L		Meulière									
de Chenmitz	A ¹ F ^r	111-129	1901-02	45		1 5.23													
de Gohren	A ¹ F ^r	IV-139	1903-04	60		1 8.88													
de Plauen	A ¹ F ^r	111-52	1903-05	90		1 5				Schiste dur (Phyllite)		1580°	Cerveau : Stern Reins et Culées : Vorwohler	400 Cerveau 333° Reins 250°	35.7 34.9	40.2 3	53.4 (63) ³⁹		
de Wengern		207	1904	50		1 9.10													
de Ziegenhals		208	1905	40		1 9.52													
de Michelau	A ¹ F ^r	111-209	1905-06	52		1 8.07													
de Nenhammer		211	1906	52		1 8.7													
de Schwusen		213	1907	48		1 8.35													
de Kupferhammer		214	1907	48		1 8.35													
de Krappitz		215	1905	50		1 8.33													
de Gross-Kutzen- dorf	A ⁿ F ^r	111-267		40		1 9.52													
Saint-Pierre	E ¹ F ^r	1-120	1886	40		1 3.33	PT			Calcaire	Lexos	800°	Portland					11.5	
de Putney	A ⁿ F ^r	111-239	1882-83	43.80		1 7.46	PT			Bandeaux Granit									

Voir renvoi 8.

Voir renvoi 9.

32 = Sable de l'Agout.

33 = Au-dessous de 48°46', ciment 860^s.

34 = Sable de la Garonne.

31 = Au-dessous de 48°46'.

35 = Au-dessous de 48°46'.

36 = Sans surcharge.

37 = Au-dessous de 48°46', ciment 120^s.

38 = 5 charges de pierre de taille.

39 = Voir renvoi 17.

CHAPITRE III

MATÉRIAUX

§ 1. — PIERRES

Art. 1. — Nature. — Dans les grandes voûtes, on a employé à peu près toutes ⁴⁰ les pierres naturelles, sauf les tendres ^{41, 42} : granit ⁴¹, gneiss ⁴⁵, schiste ⁴⁶, basalte ⁴³, lave ⁴⁷, calcaire ⁴⁸, grès ⁴⁹, meulière ⁵⁰..., toutes les artificielles : briques ⁵¹, béton moulé ⁵², béton damé ⁵³.

Art. 2. — Écarter les matériaux sensibles aux intempéries. Il faut écarter les matériaux qui craignent la gelée, la pluie, l'humidité ⁵⁴, l'air salin ⁵⁵, les fumées ⁵⁶...

On étudiera utilement les pierres des cimetières : elles sont fort exposées au froid, à l'humidité, et portent une date.

S'il n'y a dans le pays que des pierres gélives, on les entourera de pierres qui ne gèlent pas ⁵⁷.

40. — Voir les tableaux du chapitre II. 41. — Vieux Pont de Laval en grès mollasse tendre (I, p. 97).

42. — Viaduc sur lequel la ligne de Paris à Bordeaux traverse, près de Libourne, la vallée de la Dordogne. 100 arches de 10^m en anse de panier au 1/3, en calcaire tendre, de 0^m70 à la clef. Construit de 1846 à 1850. De nombreuses lézardes ont apparu dès les premières années, puis augmenté avec le poids et la vitesse des trains.

En 1900, il y en avait près de 150 ; certaines avaient 5, 6^m de long, 15 à 20^{mm} de large ; la plupart parallèles aux têtes, les plus grandes près de l'axe. Les pierres, le mortier, se sont écrasés, effrités, sous les trains.

Revue Générale des Chemins de fer, février 1913, p. 87 et suivantes : « Consolidation par injection de ciment du Viaduc des Cent arches », M. Adam, Ingénieur de la C^{ie} d'Orléans.

43. — Viaducs d'Auvergne.

Voûtes appareillées $\geq 40^m$, tout ou partie en :

44. — Granit.				48. — Calcaire.				49. — Grès.			
Monographie				Monographie				Monographie			
Ponts :	Portée	Tome	Page	Ponts :	Portée	Tome	Page	Ponts :	Portée	Tome	Page
Kreungraben	40 ^m	III	134	Rébuzo	40 ^m	I	48	Baiersbronn	40 ^m	IV	48
Edouard VII	40.54	I	182	Fium' Alto	40	I	119	Worochta	40	III	120
Castelet	41.20	II	130	St-Pierre	40	I	120	Hofen	41	IV	41
Empereur-François	42.34	I	168	Krenngraben	40	III	134	Huzenbach	41.50	III	216
Gravona	43.53	II	183	Cmale	40	III	185	Pont-y-tu-Pridd	42.67	III	26
Putney	43.89	III	239	Boucicaud	40	III	243	Lichtensteig	42.82	III	161
Mosca	45	II	199	Avignon	40	III	279	Sanluier	43	III	40
Céret	45	II	160	Verdun-sur-le-Doubs	41	I	165	Svenkerud	44	III	150
Freyssinet	45	III	112	Rothweimbach	41	II	171	Flyria	45.72	III	46
Nydeck	45.90	II	51	Vizille	41.08	I	93	Nydeck	45.90	II	51
Londres	46.33	I	147	Solis	42	I	55	Teinach	46	III	203
Tuoi	47.71	II	194	Marbach	43.50	IV	45	Londres	46.33	I	147
Pouch	47.85	III	110	Orléans	43.85	III	255	Jamna	48	III	118
Victoria	48.77	II	201	Cornelius	44	IV	180	Laval (Vieux Pont)	48.73	I	97
Autoinette	50	II	145	Lusserat	45.70	III	155	Victoria	48.77	II	201
Schalehgraben	52	II	168	Maximilien	45.87	IV	192	Tournon	49.20	II	35
Wieseu	55	I	235	Amidonniers	46	I	193	Palmgraben	49	II	164
Langenbrand	59	III	152	Claix (Vieux Pont)	46.35	II	42	Schwandholzdoel	57	III	126
Cabin-John	67.10	III	75	Cinuskel	46.98	II	189	Chester	60.96	III	29
Morbegno	70	IV	65	Verone	48.70	III	173	Krummenau	63.26	III	164
Steyrling	70	III	137	Valeuce	49.20	I	173	Gutach	64	III	122
45. — Gneiss.				Escot	56	II	174	Jarmezze	65	III	114
Boilefos	40	III	159	Chester	60.96	III	29	Cabin-John	67.10	III	75
Strandeeven	41	III	132	Laval	61.50	II	135	Luxembourg	84.65	II	67
46. — Schiste.				Prince-Régent	62.40	IV	239	50. — Meulière.			
St-Sauveur	42	I	27	Max-Joseph	64	IV	242	Mantes	40	I	160
Pont-y-tu-Pridd	42.67	III	26	Constantine	68.70	II	107	Alma	43	I	153
Plauen (schiste dur, phyllite)	90	III	52	Montanges	80.29	III	62	Nogent-sur-Marne	50	I	79
47. — Lave.				Salcano	85	III	141	51. — Briques.			
Vieille-Brioude	45	I	23	52. — Béton moulé.				Maretta, Prarolo	40	III	93
				Wiesen	55	I	235	Isola del Cantone	40	III	98
				53. — Béton damé.				Diveria	40	III	130
				Voir plus loin, Titre II.				Crespino	40.40	II	46

54. — L'ancien pont de Vieille-Brioude, tombé en 1822, était en tuf volcanique, s'effritant dans l'air humide (II, p. 17, 5, renvoi 12).

55. — Briques attaquées par l'air salin.

Giornale del Genio Civile, mars 1902 : p. 114 à 122 : « Sulle corrosioni delle murature di matoni dorate alla presenza dei solfati alcalini. »

56. — Grès de la cathédrale de Cologne attaqué par les fumées des usines, des locomotives, des bateaux.

Oesterreichische Wochenschrift für den öffentlichen Baudienst, 28 septembre 1907, p. 616. « Der Zahn der Zeit am Kölner Dome. » J. L. Algemissen — Kola-Richl.

57. — Ponts de Laval et Autoinette : les noyaux des piles, les massifs des culées enfouis dans le sol sont en grès tendre gélif.

tout autant⁷⁰ qu'aujourd'hui aux excellents ciments que nous devons à Vicat.

Les grandes voûtes du XVIII^e siècle sont en pierre de taille à joints minces.

De nos excellents mortiers, on peut accepter beaucoup plus dans les voûtes.

La plus grande, celle de Plauen, est en tout petits matériaux de 10 à 12^{cm} d'épaisseur : elle contient 45 % de mortier.

On demande de plus en plus au mortier, de moins en moins à la taille.

Art. 3. — Augmentation de résistance du mortier en joints minces. — Les essais de laboratoire donnent la résistance à l'écrasement r du mortier en briquettes normales de 22^{mm} d'épaisseur : en joints de 10^{mm} à 15^{mm}, elle dépasse 1,20 r ⁷¹.

Art. 4. — Faire au ciment les grandes voûtes. — Toutes les voûtes de 40^m et au-dessus ont été construites : avant 1854, à mortier de chaux ; après 1890, à mortier de ciment à prise lente⁷².

Nous avons fait en chaux, des pleins cintres de 25^m, 27^m, 35^m ; mais en ciment, des arcs de 33^m à 1 7,5.... On ne fera qu'en ciment une voûte de 40^m.

Art. 5. — Dosages usuels pour un m. c. de sable.

A. Chaux⁷³ : 400^k^{73, 74}, 350^k⁷³, 333^k⁷⁵, 300^k⁷⁶ ;

B. Ciment⁷⁷ : 700^k, 650^k, 600^k, 500^k, 400^k, 350^k⁷⁸, 333^l.

On cherchera, dans chaque cas, le dosage du liant et le sable qui donne le plus de résistance⁷⁹.

70. — Ponts de : Trezzo (1370-77, détruit en 1416, — 72^m25), (III, p. 19) ; Vieille-Brionde (1454, tombé en 1822 ; — 54^m20) (II, p. 15) ; Lavour (1773-1790, — 48^m72) (I, p. 97) ; Gignac (1777-1810, — 48^m42) (I, p. 103).

71. — Briquettes en 8 de 22^{mm} d'épaisseur, 35^{cm}3 de surface horizontale, 5^{cm} de section transversale au milieu.

Quand on écrase des cubes de mortier, les faces latérales « soufflent ». En briquettes normales de 22^{mm} d'épaisseur, le mortier résiste déjà de 1 fois 1/2 à 2 fois, comme en cubes ; en joints très minces, c'est-à-dire sans surfaces latérales pouvant souffler, le mortier, retenu par frottement entre les deux lits de la pierre, résiste de 2 à 4 fois comme en cubes. — Voici le résumé des essais faits à l'Ecole des Ponts, sur du mortier de ciment de Boulogne (Demarle et Lonquety) au dosage en poids de 1 de ciment pour 3 de sable normal (500^k par m. c. de sable) à consistance plastique.

			A 28 JOURS	A 84 JOURS
Charge d'écrasement.	{	en cubes de 0 ^m 07.....	95 k.	142 k.
		en briquettes normales en 8 de 22 ^{mm} d'épaisseur.....	170 k.	»
		Rapport à la résistance en cubes.....	1,8	»
Charge produisant un commencement de désagrégation.	{	En joint de 15 ^{mm} { comprimé.....	188 k. à 270 k.	272 k. à 305 k.
		Rapport à la résistance. / en cubes de 0 ^m 07.....	2 à 2,8	2,8 à 3,2
		à la résistance. / en briquettes en 8.....	1,1 à 1,6	1,0 à 1,8
	{	En joint de 10 ^{mm} { comprimé.....	224 k. à 283 k.	270 k. à 389 k.
		Rapport à la résistance. / en cubes de 0 ^m 07.....	2,4 à 4	2,8 à 4,1
		à la résistance. / en briquettes en 8.....	1,3 à 1,4	1,0 à 2,3
	{	non comprimé.....	182 k. à 238 k.	205 k. à 332 k.
		Rapport à la résistance. / en cubes de 0 ^m 07.....	1,9 à 2,5	2,8 à 3,5
		à la résistance. / en briquettes en 8.....	1,1 à 1,4	1,0 à 2

Communication faite par M. H. Tavernier, au Congrès des méthodes d'essais tenu à Paris du 9 au 16 juillet 1900.

72. — sauf, en 1901-02, celle en briques, de 40^m, sur la Diveria (III, p. 130), qui est à mortier de chaux (Voir Chap. II, § I).

73. — Voir Chap. II, § 1.

74. — Ouvrages à mortier de chaux de la ligne du lac de Constance au lac de Zurich : chaux 1^{re}, sable 2^{me}.

75. — Viaduc de Mussy (arches de 25^m), Ponts de l'Arconce (25^m), du Sornin (35^m). (Ligne de Paray-le-Monial à Lozanne),....

76. — Avec la chaux du Teil, on est descendu à 250^k aux viaducs de la ligne de Limoges à Meymac, pour les tympans du pont de Luxembourg (II, p. 69, 12-B), à 200^k, même à 150^k pour des maisons.

77. — Voir Chapitre II, § 3 et 3 bis.

78. — Les voûtes du Métropolitain sont en meulière ou en pierre de Souppes à mortier de ciment de laitier : 350^k pour 1^{re} de sable.

79. — Voir les essais faits pour le Pont de Luxembourg (II, p. 69).

Art. 6. — Mortiers bâtards (chaux et ciment)^{80, 81, 82}. — On peut accepter le mélange, mais à condition qu'il soit très intime, c'est-à-dire que les deux poudres, chaux et ciment, soient mélangées mécaniquement avant usage.

Art. 7. — Fabrication. — Pour les grands ouvrages, on fera le mortier au manège (roues broyeuses pesant au moins 25^k par 0^m01² de largeur de jaute).

Art. 8. — Protection du mortier.

A. — Contre la gelée. — Quand il faut maçonner par le froid, on ajoute à l'eau du mortier du carbonate de soude (1^k de sel anhydre pour 12 litres d'eau) : cette dissolution ne gèle pas à — 12°⁸³.

Pendant quelques mois, le carbonate⁸¹ maintient humides les maçonneries : ce n'est un inconvénient que pour les murs à enduire de plâtre.

B. — Contre les eaux contenant du sulfate de chaux. — Les eaux gypseuses ramollissent les mortiers, les mettent en bouillie.

Il faut :

1° — les écouler promptement par des chemises à pierres sèches séparant complètement les maçonneries des terrains gypseux. On ne mettra pas de maçonnerie à mortier en contact direct avec le gypse ou les remblais gypseux⁸⁵.

2° — n'employer que du gros sable (2^{mm} à 5^{mm}) : les mortiers de sable fin se laissent plus facilement attaquer.

3° — avoir des mortiers très pleins et compacts⁸⁶, pour que l'eau n'y puisse pas entrer : du gros sable sans gypse, du ciment inattaquable par le gypse^{87, 88} ; faire le mortier au manège avec de l'eau sans gypse.

80. — Voir le Tableau, Chapitre II, § 2.

81. — Viaduc de Pompadour (1873-75) (Ligne de Limoges à Brive - Voûtes de 25^m). — Sur 6^m de chaque côté de la clef, on a ajouté à la chaux 150^k de ciment Portland par m. c. de mortier. (*Rapport sur la Construction des Travaux*, p. 29).

82. — Pont de Mauzac sur la Dordogne (1877-79) (Ligne de Bergerac au Buisson - 7 arches en ellipse ; Portée 30^m, montée 9^m20). Sur 4^m de chaque côté de la clef, on a ajouté à la chaux 200^k de ciment Portland par m. c. de mortier. (*Rapport sur la Construction des Travaux*, p. 23).

83. — Ont employé avec succès ce procédé, les Compagnies de l'Est, de l'Ouest, d'Orléans, PLM.

Les mortiers carbonatés se recouvrent d'efflorescences blanches ; elles disparaissent au bout d'un ou de deux ans.

La dissolution du sel se fait dans une grande marmite où l'eau est portée à 40° : c'est là qu'on la puise pour faire le mortier.

Avec le sel hydraté (le « cristal » des ménagères), au lieu du sel anhydre, il faut 1^k de sel pour 4 litres d'eau.

84. — On a employé aussi le sel (une solution à 20 % gèle à — 14°), le chlorure de calcium...

85. — On rencontre souvent le gypse : en France (Lignes de Saint-Gérons à Foix, d'Anduze à Saint-Jean-du-Gard, de Moutiers à Bourg-Saint-Maurice, de Nice à Coni, ...); en Algérie ; en Espagne (Ligne de Linares à Almeria).

Depuis qu'on y veille, on trouve du gypse plus souvent qu'on ne le souhaite.

86. — Par des essais, on détermine pour chaque sable le dosage du liant qui donne la « compacité » maxima (volume du liant + volume du sable dans l'unité de volume du mortier). C'a été 600^k (ciment Pelloux n° 2) pour le calcaire broyé employé sur les lignes de Frasné à Vallorbe, et de Nice à Coni.

87. — Dans le gypse et l'anhydrite, nous avons employé le ciment « indécomposable » Lafarge aux dosages de 500^k et 600^k pour les maçonneries, de 800^k pour les chapes, — puis le ciment Pelloux « spécial n° 2 » aux dosages de 450^k, 600^k, 650^k, 780^k pour les maçonneries, de 800^k pour les chapes.

En Algérie, dans les eaux très sulfatées, M. l'Inspecteur général L. Godard met par m. c. de sable 1000^k de ciment maritime Lafarge.

88. — Le ciment qui résiste aux eaux sulfatées résiste moins que d'autres à l'écrasement.

Art. 9. — Joints du parement. — Dans les parements en bonne pierre, les joints en mortier sont la partie faible⁸⁹. Il faut les tenir en arrière, — « rejointoyer » à plat, en creux, — et non pas, comme on l'a trop souvent fait, soit à niveau, soit surtout en saillie : c'est laid et cela part au premier hiver.

On rejointoye à fleur de pierre : les pierres tendres, elles ne résistent pas plus que le mortier, il n'y a plus de raison de le tenir en arrière ; les moulures, pour ne pas en interrompre les lignes.

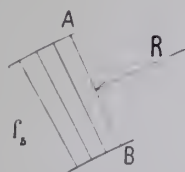
La couleur du joint doit aller avec celle de la pierre : joints clairs sur les archivoltes moulurées blanches ; joints foncés sur les pierres noires.

CHAPITRE IV

DISPOSITION DES MATÉRIAUX. — APPAREIL

§ 1. — PARTOUT, DANS UN OUVRAGE, ON DOIT DISPOSER LES MATÉRIAUX PAR ASSISES NORMALES A LA PRESSION

Art. 1. — Pourquoi ? — Considérons une section quelconque AB dans une voûte, une pile, une culée : soit R la résultante des actions qui agissent sur elle (f_s).

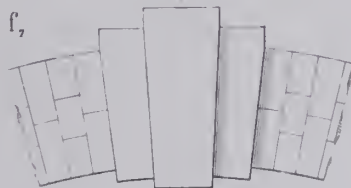
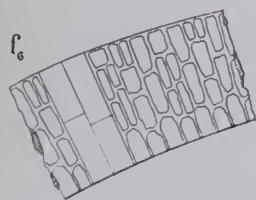


Les matériaux, pour ne pas glisser, doivent être disposés perpendiculairement à R.

Si, dans l'assise AB, il y a des parties plus compressibles, elles tendront à s'enfoncer par rapport aux autres, à s'en séparer.

Done, n'avoir dans une assise que des matériaux également compressibles.

Normalement à R, on peut, comme on veut, changer l'appareil : par exemple,

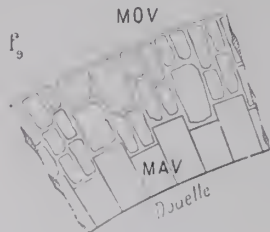
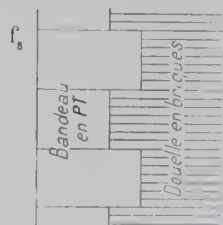


traverser une voûte en moellons bruts, par des chaînes de pierre de taille (f_0) ; placer au sommet, des clefs et contre-clefs plus épaisses (f_1) ; couper une pile de viaduc

en moellons bruts par des assises de libages, faire un mur d'assises superposées de béton, de galets, de moellons, de briques, de pierres de taille.

89. — Les Grecs, les Romains posaient sans mortier les pierres de taille : il n'y en a pas au Parthénon, au Pont du Gard.

Art. 2. — Danger de faire autrement. — Mais il peut être dangereux de changer les matériaux parallèlement à la résultante R; par exemple



dans une voûte surbaissée ou de grande portée, d'avoir des bandeaux de pierre de taille, c'est-à-dire avec peu de joints et des joints minces, et un corps en briques qui en a beaucoup ⁹⁰ (f_8);

ou bien de « queuter » une douelle en pierre de taille ou en moellons d'appareil par des moellons bruts, qui ont plus de joints et des joints plus épais (f_9).

Il y aura tendance à séparation derrière les parties qui tassent moins, c'est-à-dire entre le bandeau et le queutage, entre la douelle et le queutage, entre le bandeau et la douelle ⁹¹, tendance à écrasement du bandeau, qui tasse moins ^{90, 92, 93}.

Art. 3. — Règle pratique pour la direction des assises. — Les assises devraient être normales à la courbe de pression; on tâchera d'obtenir, par des tracés appropriés de l'intrados et de l'extrados, qu'elle se confonde avec la fibre moyenne.

Mais, si on disposait les assises suivant des plans normaux à la fibre moyenne ⁹¹, on aurait des angles aigus à l'intrados.

En pratique, on appareille normalement à l'intrados.

§ 2. — MATÉRIAUX DES TROIS PARTIES DE LA VOÛTE, BANDEAUX, DOUELLE, QUEUTAGE

Art. 1. — Bandeaux.

A. - Appareil. — Ils sont toujours en moellons d'appareil ou en pierre de taille; dans les villes, toujours en pierre de taille, soit de petit échan-

90. — Au pont de Belleperche, sur la Garonne (Ligne de Castelsarrasin à Beaumont), ellipses de 33^m, le corps est en briques, les voussoirs du bandeau en craie tendre de Chancelade (1 pour 3 briques); au décintrement, il y en eut de fendus, d'écornés, d'éclatés.

91. — Pont Saint-Jean à Saubusse, - ellipses de 24^m à 13.2, - mortier de chaux, bandeaux en PT, douelle en MA, queutage en MOV. Au décintrement de la 2^e arche, le 13 mai 1881, 35 jours après clavage, la douelle descendit à la clef de 40^m de plus que les bandeaux, et s'en sépara sur 4^m de part et d'autre du sommet.

Annales des Ponts et Chaussées, octobre 1885, p. 645 à 659. « Note sur la construction du Pont Saint-Jean sur l'Adour à Saubusse (Landes) », M. Trépied, Ingénieur des Ponts-et-Chaussées.

92. — De même la façade en grandes pierres de taille des maisons tend à se séparer des murs intérieurs en briques; de même, dans un mur en moellons bruts, coupé par une chaîne verticale de pierres de taille, il y a souvent décollement le long de la chaîne.

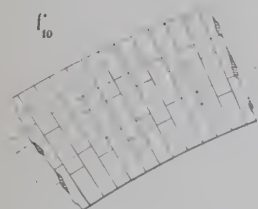
93. — On a souvent revêtu les souterrains avec douelle en moellons d'appareil (MAV) et queutage en moellons bruts liés (MOV), - queutage difficile à bien faire. Nous les faisons maintenant tout en MOV.

94. — On a fait ainsi, un peu à tort, au pont des Amidonniers, pour ne pas avoir d'angles trop aigus à l'extrados aux reins.

tillon, soit de grand, plus monumental, plus difficile à poser et, en général, plus cher.

Dans les voûtes en plein cintre, les bandeaux ont une épaisseur uniforme : on les fait avec les mêmes moellons ⁹⁵.

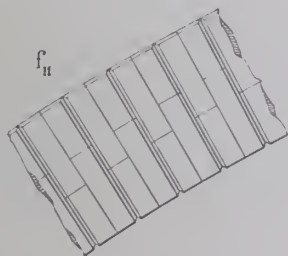
Quand ils ne sont pas extradossés parallèlement, la longueur des moellons varie en chaque point. Pour un pont de luxe, on fera diminuer, de façon continue des naissances à la clef, les épaisseurs, hauteurs et queues en douelle des moellons de bandeau : on réglerà les joints suivant des courbes continues bien ajustées à l'intrados et à l'extrados ^{96, 97, 98}.



Aux ponts de Luxembourg ⁹⁹ et des Amidonniers ¹⁰⁰ (f_{10}), l'épaisseur des moellons en douelle est le 1/6 de celle des voûtes.

Ces épreuves ne laissent pas d'être un peu compliquées.

Aux ponts de Chalonnès et de Nantes, on a, pour figurer de la pierre de taille, groupé les moellons par 4, creusé des refends de deux en deux assises, rejointoyé en creux les grands joints, à plat les joints intermédiaires (f_{11}). Bien qu'en principe il vaille mieux montrer ce qu'on fait, l'effet est bon si l'œil est bien trompé.



On a fait ainsi aux voûtes latérales de Gignac ¹⁰¹.

Quand le bandeau est mouluré, on ne peut pas enchevêtrer les pierres : on a un joint continu sous chaque moulure, à chaque ressaut. Au pont Antoinette ¹⁰², au pont de Lavar ¹⁰³, il y a ainsi deux rouleaux superposés ; à Luxembourg ¹⁰¹, trois. Les pierres de taille du bandeau ne tiennent au reste que par leurs queues.

95. — APPENDICE : Viaducs.

96. — Aux ponts du Castelet (II, p. 130) de Lavar (II, p. 135) et Antoinette (II, p. 145), les hauteurs des voussours sont définies par des arcs de cercle leur donnant des découpes :

	Castelet	Lavar	Antoinette
à la clef, de	0 ^m 15	0 ^m 14	0 ^m 14
aux retombées, de	0 ^m 375	0 ^m 17	0 ^m 20

97. — On ne l'a pas fait aux Amidonniers (I, p. 193) : je l'ai un peu regretté.

98. — Au pont de Lavar (II, p. 135), les moellons d'appareil (MAV) du bandeau ont :

	Naissances	Clef
Épaisseur.....	0 ^m 228	0 ^m 185
Queues en douelle { boutisses.....	0 ^m 52	0 ^m 43
carreaux	0 ^m 35	0 ^m 29

99. — II, p. 67.

100. — I, p. 193.

101. — I, p. 103.

102. — II, p. 145 - f_2 .

103. — II, p. 136 - f_{13} .

104. — II, p. 68^{iv} - f_{11} .

B. — Pierre de taille simulée. — Sur un placage de mortier, on a parfois tracé des joints et simulé le grand appareil à des têtes de voûte en petits moellons irréguliers ¹⁰⁵, en béton ¹⁰⁶.

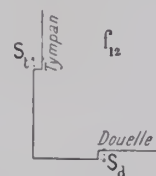
Ce n'est pas à conseiller : l'œil n'est pas trompé, et ce gros appareil rapetisse les voûtes ¹⁰⁷.

C. — Saillie.

C₁. — En douelle. — La saillie en douelle $S_d (f_{12})$, trop souvent acceptée, n'a que des inconvénients.

Elle augmente un peu la dépense et impose quelque sujétion dans l'exécution des voûtes.

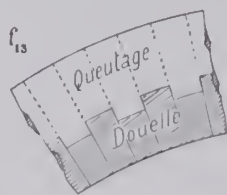
Elle diminue sans profit l'ouverture utile, dessine une deuxième arête à côté de la seule qu'on doit voir.



C₂. — Sur les tympans. — Mais la saillie $S_t (f_{12})$ sur le nu du tympan accentue utilement le bandeau, le détache du tympan ¹⁰⁸.

Quand l'aspect n'importe pas, pour les ouvrages courants, aqueducs, passages inférieurs, petits viaducs, on la supprimera.

Art. 2. — Douelle (f_{12}). — Elle doit être tout entière en moellons équarris ou d'appareil, par assises de même queue : la découpe est entre deux assises et non pas entre deux moellons d'une même file ¹⁰⁹. Il y faut tenir la main.



Art. 3. — Queutage.

A. — Faibles pressions. — Alors, on a peu à craindre des inégalités de tassement ; on peut accepter, par économie, un queutage en moellons bruts (MOV) au-dessus d'une douelle ou en arrière de bandeaux en moellons d'appareil (MAV) ou en moellons équarris (MEV), même un corps en béton avec parement en moellons d'appareil.

On a fait en moellons bruts (MOV) à mortier de chaux des queutages de pleins cintres de 35^m ¹¹⁰, d'ellipses de 30^m au 1/4 ¹¹¹, de 36^m à 1/3,6 ¹¹², de 40^m à 1/3,8 ¹¹³ ; encore en MOV, mais à mortier de ciment ¹¹¹, le pont d'Iguerande

105. — Ponts construits par MM. Liebold : Plauen (III, p. 52), Wengern (III, p. 207), Ziegenhals (III, p. 268), Michelau (III, p. 209), Neuhammer (III, p. 211), Schwusen (III, p. 213), Kupferhammer (III, p. 214), Krappitz (III, p. 265), Gross-Kunzendorf (III, p. 267), Chemnitz (III, p. 129), Göhren (IV, p. 139).

106. — Munderkingen (IV, p. 55), Grasdorf (IV, p. 129), Walnau-Lane (II, p. 83).

107. — Chemnitz (III, p. 129), Göhren (IV, p. 139).

108. — Au pont en béton de l'Avenue Edmondson (I, p. 122), le bandeau et les tympans ne font qu'un ; les voûtes apparaissent comme découpées dans un mur en béton.

109. — On ne « découpera » pas dans une même file, comme on l'a fait à Montanges (III, p. 67).

110. — Pont du Sornin (Paray-le-Monial à Lozanne).

111. — Ponts de Chalonnès et de Nantès.

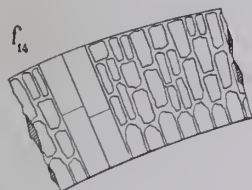
112. — Pont de Marmande.

113. — Fium' Alto (I, p. 110).

114. — Voir le Tableau, p. 10.

sur la Loire¹¹⁵ (ares de 28^m60 à 1 7,62), le pont d'Arciat sur la Saône¹¹⁶ (ares de 31^m à 1 7,42), le pont d'Épinay sur la Seine¹¹⁷ (ellipses de 38^m50 à 1 3,08).

Φ_1 — Pont d'Épinay sur la Seine, — 11 avril 1906



Pour réduire le tassement, prévenir ou limiter les fissures dans les voûtes à queutage plus compressible que la douelle, on pourrait les traverser par des chaînes de pierre de taille ou de moellons d'appareil (f_u).

B. — Fortes pressions. — Les pressions augmentant, il faut des matériaux de mieux en mieux équarris, de plus en plus résistants, à joints de plus en plus minces, en meilleur mortier. Il faut, surtout, qu'il y ait de moins en moins de différence de tassement entre la douelle, les bandeaux, le queutage, c'est-à-dire que les matériaux soient de plus en plus semblables.

Plus la voûte est hardie, plus il la faut homogène^{118, 119}.

115. — Épaisseur à la clef $e_0 = \begin{matrix} 0^m90 \\ 0^m97 \end{matrix}$ Prix du m. c. de « MOV » $\begin{cases} 17^f50 \\ 24^f50 \end{cases}$

117. — Ligne de Saint-Ouen-les-Docks à Ermont.

118. — Voir les Tableaux, p. 8, 9, 10.

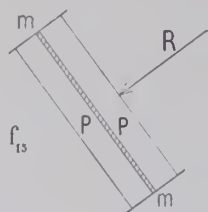
119. — La voûte d'expériences de Souppes (37^m881 à 1 17,8) était toute en pierre de taille. (III, p. 375, art. 2).

CHAPITRE V

TRAVAIL

§ 1. — *DISTINGUER ENTRE LES MAÇONNERIES APPAREILLÉES ET LES AUTRES*

Une maçonnerie faite d'assises de pierres P et de lits de mortier m , d'épaisseur uniforme, normaux à la pression R , résiste à l'écrasement comme le moins résistant de ses éléments : pierre P , mortier m (f_{13}).



Mais une maçonnerie de moellons bruts, qui n'a pas de lits, de joints réguliers, se fissurera, se disloquera, sous une charge très inférieure à celle qui écrase les pierres ou le mortier, charge qui dépendra de la disposition des pierres, de l'adhérence du mortier.

§ 2. — *TRAVAIL DANS QUELQUES VOÛTES APPAREILLÉES*

Les tableaux, p. 8, 9, 10, donnent, pour des voûtes appareillées de 40^m et plus, les efforts et la résistance de la pierre.

Les voûtes de 40^m (arc de cercle au 1/4) de Maretta et Prarolo¹²⁰, ont été construites en 1851-1852 avec des briques s'écrasant en moyenne à 54^k74. Au passage de deux trains, la pression atteignait à la clef 12^k51, soit les 23/100 de la charge d'écrasement des briques.

L'arche d'essai de Souppes¹²¹ a donné sur la charge de rupture d'une voûte des renseignements très précieux et, jusqu'ici, bien peu mis à profit. C'était un arc de 37^m881 de portée, surbaissé à 1/17,8, en pierre de taille de Souppes s'écrasant, en moyenne, à 455^k, et mortier de ciment au dosage de 750^k, en joints de 12^{mm}. La contre-clef, diminuée au ciseau, tenait encore sous une pression de 399^k66 et ne s'est écrasée qu'à 468^k57, c'est-à-dire sous la charge même de rupture de la pierre.

§ 3. — *RAPPORT A ACCEPTER DANS LES VOÛTES APPAREILLÉES ENTRE LE TRAVAIL PERMIS ET LA CHARGE D'ÉCRASEMENT*

Art. 4. — Travail des moellons. — Pour les ouvrages métalliques, le rapport du travail permis à la charge de rupture est :

120. — III, p. 93.

121. — Voir III, p. 375, art. 2.

25 100 pour les câbles des ponts suspendus ¹²² ;

27 100 pour les maîtresses poutres de plus de 30^m d'ouverture ¹²³.

Pour le béton armé ¹²⁴, on admet les 28 100 de la résistance à l'écrasement à 90 jours ¹²⁵ du même béton non armé.

Or, pour les ponts en pierre, — à l'inverse de ce qui a lieu pour les ponts métalliques et surtout pour les ponts suspendus, — la surcharge roulante est peu de chose à côté de la charge morte. Les efforts sont toujours dans le même sens et varient peu ; il n'y a pas d'effort instantané. Le temps, qui rouille le métal, qui desserre les rivets, durcit le mortier. On y pourrait réserver beaucoup moins de marge à l'imprévu.

Par contre, la répartition des efforts est encore mal connue dans les voûtes inarticulées.

Tout ceci permet de faire travailler les moellons d'une grande voûte, bien assisée, bien exécutée, dans les conditions les plus défavorables de surcharge et de température, au 1/4 de leur charge d'écrasement, — c'est-à-dire beaucoup plus qu'on ne le fait.

Art. 2. — Travail du mortier. — Bien que les mortiers durcissent avec le temps, on conservera la même limite de travail que pour les moellons, le 1/4 de la résistance à la rupture du mortier en joints minces, soit $0,3 r$ ¹²⁶, r étant la résistance des briquettes normales ayant l'âge des mortiers au jour prévu pour le décintrement ou pour l'ouverture à la circulation. Par exemple, dans une voûte à décintrer un mois après le clavage, exécutée en mortier de ciment résistant en briquettes d'un mois à 450^k, on pourrait accepter une pression maxima au décintrement de 45^k ^{127, 128}.

122. — Cahier des Charges joint à la circulaire du 7 mai 1870, art. 4.

123. — Voici les chiffres du règlement du 29 août 1891, art. 2 :

		Fer laminé	Acier laminé
Charge de rupture à l'extension par 0 ^m 001 ²	$\rho =$	32 ^s	42 ^s
Limite de travail par 0 ^m 001 ² dans les fermes principales des ouvertures de plus de 30 ^m	$\frac{\rho}{2} =$	8 ^s 5	11 ^s 5
Rapport.....	$\frac{\frac{\rho}{2}}{\rho} =$	27 100	27 100

124. — Instruction du 20 octobre 1906, art. 4.

125. — Mesurée sur des cubes de 0^m20.

126. — Voir Chapitre III, § 2, art. 3.

127. — Soit K la résistance à admettre pour la maçonnerie, h_1 celle de la pierre en cubes, h_2 celle du mortier en cubes :

On a employé au Pont de Salcano la formule $K = \frac{1}{3} h_1 + \frac{2}{3} h_2$ (Tome III, p. 144, renvoi 5).

128. — Voici les pressions en Kg 0^m01² admises suivant l'appareil et le mortier dans les voûtes de la ligne du lac de Constance au lac de Zurich :

Mortier	Composition	Ciment hydraulique : 1 ^{er}				Ciment : 1 ^{er}			
		Sable : 2 nd				Sable : 3 rd			
	Age en mois	1	2	3	4	1	2	3	4
Moellons	bruts (MOV) (<i>Bruchstein</i>)	8 ^s	10 ^s	14 ^s	18 ^s	18 ^s	22 ^s	24 ^s	26 ^s
	équarris (MEV) (<i>Spitzstein</i>)	10	13	16	19	23	25	28	30
	d'appareil (MAV) (<i>Schichtenstein</i>)	10	14	18	22	26	30	32	35

* Bodensee-Toggenburg-Zürichsee. Denkschrift über die Eisenbahnverbindung Romanshorn-S^t-Gallen-Wittwil-Urzach, p. 70. Zollikoffer-S^t-Gallen, 1911.

Art. 3. — Travail permis dans une grande voûte en moellons bien équarris et mortier de ciment. — On trouve partout des pierres s'écrasant au-dessus de 400^k, c'est-à-dire pouvant impunément travailler à 100^k par 0^m01², charge qu'on n'atteint pas.

C'est alors le mortier qui détermine l'effort permis.

En briquettes, un mortier plastique à 600^k de bon ciment à prise lente par m. c. de sable, porte plus de 200^k à 1 mois, plus de 300^k à 3 mois.

En joints de 10 à 15^{mm}, ce même mortier, bien fait au manège, bien serré au maillet, travaillera impunément à 60^k à 1 mois, à 90^k à 3 mois.

Le mortier empêche d'utiliser toute la résistance de la pierre.

Ce sont donc les joints qu'il faut améliorer : on l'a essayé ¹²⁹.

§ 4. — *RÉSISTANCE DES VOÛTES A LA TRACTION*

Le mortier adhère aux maçonneries ; c'est par cette adhérence, qui croît avec le temps, que les maçonneries résistent à la traction : si la voûte est mal faite, les matériaux sales, il n'y en a plus.

Dans les très grandes voûtes, les très surbaissées, sous les positions les plus défavorables de la surcharge, aux grands abaisséments de température, les calculs indiquent presque toujours des tensions, c'est-à-dire des tendances à fissures. A 1^k, 2^k, il n'y a pas de fissure ¹³⁰, mais il est prudent de tracer les voûtes pour que la courbe de pression ne sorte jamais du noyau central.

On emploiera le meilleur ciment, celui qui adhère le plus ¹³¹.

Le béton de ciment, bien fait, résiste mieux à la traction que la maçonnerie appareillée.

129. — M. Tavernier a construit, en 1906, à la gare d'eau Branla, près de Lyon, un pont à deux arcs jumeaux en pierre de taille, à 3 articulations, de 25^m à 110^m, à joints en zinc coulé.

La résistance du joint en zinc a augmenté avec celle de la pierre.

Annales des Ponts et Chaussées, 1907, volume V, septembre et octobre, p. 6 : « Pont à arcs de pierre de taille articulés à la clef et aux naissances, avec joints coulés en zinc ». M. Henri Tavernier, Ingénieur en Chef des Ponts et Chaussées.

130. — Expériences autrichiennes (III, p. 376, art. 4).

131. — Le ciment happe fortement à la meulière de Paris, qui est trouée, rugueuse.

TITRE II

VOÛTES EN BÉTON

§ 1. — CE QU'ON A FAIT EN BÉTON

On a fait ¹ en béton :

- sous route, des buses ², des passages par-dessus ^{3, 4}, des ponts ⁵ ;
- sous chemin de fer, — lignes d'intérêt local ⁶ et grandes lignes ^{7, 8}, — des buses ², de petits ouvrages ⁹, des moyens ⁷, des grands ⁷ ;
- des souterrains ^{9, 10}.

1. — Dans leurs aqueducs, leurs thermes, les Romains ont souvent fait le corps des voûtes comme celui des gros murs, par assises horizontales de cailloux et de mortier : ce sont les matériaux du béton, ce n'est pas du béton.

Choisy : « Histoire de l'Architecture », Tome I, p. 521 à 523.

2. — APPENDICE.

3. — La C^e d'Orléans a construit, de 1873 à 1879, quantité de passages supérieurs en béton soit de chaux, soit de chaux et de ciment, jusqu'à 28^m de portée (Brive à Limoges, 1873-1875 ; Nantes à Châteaubriant, 1875-1878 ; Bergerac au Buisson, 1877-1879, ...)

4. — De 1893 à 1901, la Direction des Chemins de fer bavares a construit 110 passages supérieurs en anse de panier, en béton, de 0^m45 d'épaisseur à la clef, soit de 15^m10 de portée avec tympans pleins, soit de 13^m70 avec tympans traversés par deux voûtes de 5^m.

Nouvelles Annales de la Construction, juin 1901, p. 88, Pl. 23, 24. « Cintres métalliques mobiles employés en Bavière ». René Philippe, Ingénieur des Ponts-et-Chaussées.

5. — § 2. Art. 1-A, Art. 2-A, Art. 3-A.

6. — Sur le chemin de fer d'intérêt local de Nurtigen à Neuffen (Wurtemberg), tous les ponts voûtés sont construits en béton :

Le plus grand (portée = 19^m60 ; surbaissement = 1,5,6) s'est bien comporté aux épreuves, sous une locomotive de 29^t.

Zeitschrift des Österreichischen Ingenieur-und Architekten Vereines, 12 octobre 1900.

7. — § 2. Art. 1-C, Art. 2-B, Art. 3-B.

8. — Sur la ligne de Linarès à Almeria (Espagne), quand on n'avait ni maçons, ni carrière, on a construit en béton (ciment : 450^k, pierre cassée et gravier 2^t, sable 1^t - et souvent, à la place, 3^t du tout venant du lit des torrents sans criblage), quantité d'ouvrages courants jusqu'à 5^m, - souvent sous charge de remblai de 3 à 4^m.

9. — Souterrains :

	Pierre cassée ou gravier	Cube	Mortier	
			Dosage	
			Sable	ciment à prise lente
Métropolitain de Paris (pieds-droits et radier).....	0 ^m 8	0 ^m 55	1 ^m	450 ^k (laitier)
Mont d'Or (Frasne à Vallorbe, 1910-1913) reins et pieds-droits				
partie courante dans la marne bleue.....	1 ^m	0 ^m 50	0 ^m 90	500 ^k (Vicat)
là où il y avait des suintements d'eau gypseuse.....	1 ^m	0 ^m 50	0 ^m 90	600 ^k (Pelloux)
là où il fallait un revêtement imperméable (béton à petits éléments)...	0 ^m 8 ("gravillon")		0 ^m 4 (sable fin)	500 ^k
Mauvages (Canal de la Marne au Rhin) (4880 ^m dans une marne bleue se délitant à l'air, - en reconstruction depuis 1910 ; — cerveau de 3 ^m 90 de rayon ; revêtement de 0 ^m 80.....	1 ^m (gravier)	0 ^m 60	1 ^m	500 ^k (laitier)
Col de Tende (1 voie, - Ligne de Nice à Coni).....	0 ^m 8 (calcaire cassé)		0 ^m 480 (quartzite)	250 ^k
Col de Puymorens (traversée des Pyrénées, ligne d'Ax à Bourg-Madame).	1 ^m (pierre cassée à 0 ^m 06)	0 ^m 67	0 ^m 80	500 ^k
New-York Central.	Suivant le terrain		2 ^{vol} 3 ^{vol}	4 ^{vol} 6 ^{vol}

10. — Et aussi des écluses :

Ecluses du Canal de Panama, environ 3,5 millions de m. c. de béton à 1', 3', 6'. — Effort maximum : 21^t par 0^m01².

Annales des Ponts-et-Chaussées, 1912, mars et avril : « Le Canal de Panama », M. Dumas.

Ecluse à la mer, de Emden (Deutsche Bauzeitung, 12 à 23 juillet 1913).

Des formes de radoub : cale sèche Gladstone à Liverpool (Génie Civil, 16 août 1913) ;

Des murs de soutènement.....

§ 2. — QUELQUES VOÛTES EN BÉTON

COMPOSITION — RÉSISTANCE — PRESSIONS

Pont	Pays	Date	Voir Tome. page	Nombre	Intrados ¹¹	Portée	Surbaissément	Voûtes						Rapport : Pression MAX. dans la voûte \bar{N}	Observation Sources		
								Béton		Pressions en kg 0°01 ²		Clef				Reins	
								Composition en volume : Ciment 1 vol	Résistance en Kg 0°01 ²								
								Sable	Pierre cassée ou Gravier	\bar{N}	à	MAX.	MOY.			MAX.	MOY.
Art. 1. — Voûtes inarticulées ¹²																	
A. — Sous route.																	
de Kinclaven, sur la Tay	Angleterre	1905	"	6	OE	18 ^m 75	1 4.56	1 ^{er} roul. 3 ^e 12 ^e roul. 8 ^e							Engineering, 12 mai		
sur le Piney Creek, à Washington	États-Unis	1907	"	1	A	38.10	1 3.20	2.5	5 ^e p.c.						Engineering Record, 26 janvier 1907, p.		
de l'Avenue Edmondson, à Baltimore	États-Unis	1908-09	1-122	1	E	42.37	1 3.17	2.5	5 p.c.			"	"	"	"		
de Bellefield, à Pittsburg ¹³	États-Unis	1895-97	111-49	1	A	45.72	1 4.10					"	"	"	"		
de l'Avenue du Connecti- cut ¹⁴ , à Washington	États-Unis	1904-08	1-67	5	C	45.72	"	2	4.5 p.c.			"	"	"	"		
sur la Mehring	Allemagne	1903-04	252	4	A	46	1 7.45	3	5			"	21.3	31.5	18.6		
Schweich	Allemagne	1905-06	268	3		46	1 7.45	2.5	5			33.8	21.1	32.8	19.3		
Trittenheim	Allemagne	1907-08	276	1		30	1 6.71	2.5	5			"	22.5	29.2	21.6		
à Longuich	Allemagne	1909-11	279	2		46	1 7.45					"	"	"	"		
				1		43	1 8.05	8	gr.			"	"	"	"		
				1		34	1 10					"	"	"	"		
de Guggersbach	Suisse	1905	111-59	1	A	50.20	1 6.11	Pour 1 ^{re} de béton 250 ^e de ciment				22		22.5			
de Walnut-Lane	États-Unis	1906-08	83	2	AA	70.71	1 3.32	2	5 p.c.	331 ^e	1 an	Pression maxima : 26 ^e 6				1 12	
sur la Rocky River	États-Unis	1908-10	95	2	AA	85.34	1 3.46	2	4 p.c.	145 ^e 223 ^e	30 j. 6 mois	44.1	37.1	39.8	32.3	1 5.6	
B. — Sous conduite d'eau.																	
sur la Sosa (Can ^o d'Aragon)	Espagne	1904	"	5	E	15	1 3	Ciment 225 ^e Sabl ^e 500 ^e Gr. 880 ^e	140 ^e	28 j.	Pression maxima : 14 ^e				1 10	Revista de Obras Pu 27 octobre 1904.	
				1	E	40	1 5										
de Pont-sur-Yonne	France	1870-73	1-213	3	E	30		chaux 0 ^m 250 ciment 0 ^m 125				"	"	"	"		
				2	E	22.60						"	"	"	"		
de Weisenbach	Allemagne	1885	111-219	1	A	40	1.8	2.5	5			20		25			
C. — Sous chemin de fer à voie normale.																	
de Cheltenham, sur la Rivière des Pères (Ch. de fer St-Louis San Francisco)	États-Unis		"	4	C	9.52	"	6								Engineering News, 1914. — Moins ch qu'en béton armé	
de Cannington ¹¹	Angleterre		"	10	E	15.24	"	6								Id., 2 nov. 1905.	
de Glenfinnan (West Highland Ry)	États-Unis	1897-98	"	21	C	15.24	"	sable et pierre sor- tant du concasseur								Minutes of Proceed. the Am. Soc. C.E. p. 304.	
de Northampton (New Jersey)	États-Unis		"	1		15.78	"									Pont biais — 17 (1 ^{re} en 3 mois 1 2.	
de Lindenwood, sur la Rivière des Pères (Ch. de fer St-Louis-San Francisco)	États-Unis		"	1		10.36	"									Engineering News, 1904. — Moins ch qu'en béton armé	
de Lauscha (Viaduc : haut ^r 40 ^m)	Allemagne	1912	"	6	C	20	"	2	4 p.c.	225 ^e		Pression maxima : 16 ^e				Beton und Eisen, 2 vier 1913.	
de Galveston (une chaussée et 3 voies)	États-Unis	"	"	28	A	21	"									Engineering Record 27 mai 1914.	
sous la gare de Rangier	Allemagne	1906-08	"	1	E	21.06	"									D ^r von Emberger, Buch für Eisenbet Vol. VI, p. 339.	
d'Ashtabula (Ohio) (Lake Shore Ry — 4 voies)	États-Unis	1904	"	2	C	22.56	"									Railroad Gazette, vier 1905.	
de Berne (Ch. de fer d. Gurbethal)	Suisse	1901	"	1	A	23.40	1 3.9									Coût 15250 ^e - En fer S. Schweizerische Bau 14 déc. 1901.	
sur le Deep Creek, près de Degilbo	Angleterre	1905	"	1	A	24.38	1 2.85	3	6 p.c.	180 ^e	3 mois					Engineering, 27 jui Moins cher qu'en armé.	
de Bellefield Avenue, à Philadelphie	États-Unis	1900-10	"	1	A	24.38	1 4.72	"	"							Engineering Record 20 août 1910.	
de Riverside (Californie) (Los Angeles and Salt Lake Ry)	États-Unis	1902-03	"	8	C	26.21	"	2	4.5 p.c.							Engineering Record 9 septembre 1905.	
de Borrodale (West Highland Ry)	États-Unis	1897-98	"	1	A	38.73	1 5.54	sable et pierre sor- tant du concasseur								Minutes of Proceed. the Am. Soc. C.E. p. 304.	
sur la Big Muddy River	États-Unis	1901-03	1-225	3	E	42.67	1 4.67	2	5			47.7	23.9	13	10.3		

Art. 2. — Voûtes semi-articulées.

A. — Sous route.

						Portée totale	entre rotules									
d'Ehingen, sur le Danube	Allemagne	1897-98	IV	2	21	260	18	2.5	5							
d'Ehingen (l'assage sup ^r)	Allemagne	1891		1	20			2	6			9 ^e 2		14 ^e 6		
de Rechtenstein	Allemagne	1892		2	23			1 9.2				17		18		
de Mühlheim	Allemagne	1895		2	23			1 10								
sur le Lein	Allemagne	1895		2	29.20			2.5	5							
de Gemmrigheim	Allemagne	1895-96		4	38			1 6.6								
				4	38			1 6.9								
de la Coufourenière	Suisse	1895-96	81	2	40	40	1 7.41	Pour 1 ^{re} de béton Ciment 425 ^e Sable 5 Gravier 8	295 ^e	28 j.	30	"	"	"	1 9.8	
de Munderkingen	Allemagne	1893	55	1	59	50	1 10	2.5	5 gr.	254 ^e	28 j.	35.3	"	39.2	"	1 6.6

B. — Sous chemin de fer à voie normale.

sur la Gocina	Italie	1910-12	IV-264	3	30	30	1 8.82	Ciment 425 ^e Sabl ^e 5 Gr. 8	230 ^e	28 j.						
---------------	--------	---------	--------	---	----	----	--------	---	------------------	-------	--	--	--	--	--	--

11 — Pour le sable et gravier voir l'Annuaire, p. 6. 12 — Voir aussi, Tome III, p. 81 et suivante. 13 — Bandeaux et douelle en pierre de taille. 14 — L'andoux en béton.

Pont	Pays	Date	Voir Tome IV, page	Voûtes										Rapport : Pression MAX. dans la voûte R	Observations Sources			
				Nombre	Portée entre appuis	Entre rotules		Béton		Pressions en kg 0 ^m 1 ²		Clef	Reins					
						Portée	Surbaissent ¹	Composition en volume : Ciment 1 ^{er} Sable Pierre cassée ou Gravier	Résistance en Kg 0 ^m 1 ² R à	MAX. MOY.	MAX. MOY.							
Art. 3. — Voûtes articulées.																		
A. — Sous route.																		
Wasser, à Neubourg	Allemagne	1907-08	261	3	23 ^m 72	22 ^m	1 8.3 et 1 9.3	»	»									
Hillesheim		»	»	1	24.60	»	»	»	»									
Balden		1904	261, 266	1	»	25	1 9.09	4	6 ^m	172 ^s	28 j.	Pression maxima :	25 ^s 6 24 ^s 2			D ^r von Emperger, Hand- buch für Eisenbetonbau, Vol. VI, p. 340.		
Lagen		»	»	1	25.50	»	1 7.28	»	»							Id., p. 341.		
Sturf, sur la Sieg		1907	»	1	28	»	1 9.3	»	»							Id., p. 340.		
Brookside Park, à Cleveland	États-Unis	1906	269	1	28.04	26.33	1 16.5	2.5	5									
Ulm et Neu-Ulm	Allemagne	1911-12	261	1	»	28.50	1 7.05											
Man		1896	266	1	»	30	1 10	2.5	5					Pression maxima :	35 ^s			
Arvis, sur la Schlitz (2 ponts)	Autriche	1902	264	1	30	30.40	1 9.8	2	3									
Arst, sur l'Etsch	Allemagne	1903	264	1	30	30.40	1 9.8	2.5	4									
Misseldorf		1902	266	1	30.13	28.02	1 14.6	4	4	278 ^s	6 mois							
Lauecourt	Alsace	»	266	5	33	33	1 7.67	3	1.5									
Surzweiler		1897	269	1	34.20	34	1 8.39	3	1.5									
Passages supérieurs	France	1912-13	»	1	25.60	25.60	1 6.56	Ciment 750 ^s sable 1 ^{er}	»	»				Pression maxima :	35 ^s			
Mortigues		1913-14	»	1	36.30	36.30	1 9.2	Pierre cassée 2 ^{me}	»	»				Pression maxima :	38 ^s 2			
ouage	Allemagne	1906-07	266	1	36	36	1 7.04							Pression maxima :	28 ^s 6			
tafel, sur la Lahn		1904	»	1	37.10	»	1 7.5	2.5	5							D ^r von Emperger, Hand- buch für Eisenbetonbau, Vol. VI, p. 662.		
Bennhausen	Bohême	1909-10	266	3	38	36	1 8.9	3.5	3.5									
Le Stvanice, sur la Moldau à Prague		1911	»	1	39	»	1 5.86	4	p.c.	606 ^s	28 j.					Génie Civil, 5 oct. 1912.		
Britz, sur le Canal de Heflow, près de Berlin	Suisse	1904-05	266	1	39	36.42	1 7.5	5	6.5							Biais à 69°.		
Lauffacher, à Zurich		1899	»	1	39	39.60	1 10.7	»	»									
Marie-Auguste, à Dresde	»	1907-10	266	1	36.15	»	»	»	»									
ubingen		1901	»	1	39.40	»	1 11.2	»	»							D ^r von Emperger, Hand- buch für Eisenbetonbau, Vol. VI, p. 662.		
Reichberg	»	1901-03	177	2	39.40	40	1 7.41	2.5	5	p.c.								
Radstorf		1899-1900	129	1	40	40.39	1 8.93	2.5	4	p.c.	228 ^s	96 j.	Pression maxima :	37 ^s	1 6			
Walling	»	1899-1901	175	3	40	40.50	1 8.56	3	6	p.c.						Gravier 1 ^{er} 5 ^e 4 ^e 5		
Leckgartach		1903-05	186	5	40	40	1 8.10	2.5	4.5					Pression maxima :	38 ^s			
Reichenbach ¹⁵	»	1902-03	183	1	44	41	1 10							27	»	26	»	
Wittelsbach ¹⁵		1904-05	199	1	27	»	»	2.5	5	gr.				29	27	28	26	
Wittelsbach ¹⁵	»	1904-05	202	1	44	44.70	1 7.75							25		31	15	
Wittelsbach ¹⁵		1903-07	151	1	40.54	40.54	1 8.37							24		32	18	
Wittelsbach ¹⁵	»	1895	225	1	47.50	43.50	1 9.89	2.3	4.7					27	»	35.7	»	
Wittelsbach ¹⁵		1911-12	213	1	48	48.42	1 6.25	2	5	p.c.	181 ^s	160 j.	43.9		37.7		1 5	
Wittelsbach ¹⁵	»	1899-1900	232	1	59.40	50	1 11	2.5	5	p.c.				23.2		33.6		
Wittelsbach ¹⁵		1905-08	203	2	59.50	58.50	1 10.6	4	3	p.c.				Pression maxima :	39 ^s 8			
Wittelsbach ¹⁵	»	1904-05	143	1	65.45	57	1 9.83	3	5	p.c.	346 ^s	57 j.	37	27	35	31	1 8.6	
B. — Sous chemin de fer à voie normale ¹⁶ .																		
Wittenburg	»	1907	266	5	30	30.50	1 7.26	5										
Dresde		1894-96	266	5	31.35	»	»	5	6.75									
Wittenburg	»	1898-1900	107	1	43.40	»	»	4	4.5	p.c.	253 ^s	3 mois	Pression maxima :	28 ^s 5				
Wittenburg		1898-1900	107	6	27.90	»	»	5	6.5					admise	25 ^s			
Wittenburg	»	1905-08	95	1	44.35	38.55	1 3.32							305 ^s	69 j.	Pression maxima :	26 ^s	1 11.7
Wittenburg		1903-04	159	1	33.95	»	1 2.58											Gravier 1 ^{er} 5 ^e 4 ^e 5
Wittenburg	»	1903-04	159	1	33.89	»	1 2.65											
Wittenburg		1903-04	159	1	59	57.46	1 5.82	2.5	5	p.c.	240 ^s	28 j.	Pression maxima :	31 ^s	1 7.7			
Wittenburg	»	1903	115	1	64.50	50.60	1 5.52							291 ^s	28 j.	Pression maxima :	35 ^s	1 8.3
Wittenburg		1903	115	2	63.80	»	»											
Wittenburg	»	1903	115	6	21.60	»	»											
Wittenburg		1903	115	2	20.60	»	»											

¹⁵ — Bandeaux en pierre.

¹⁵ — Voir renvoi 59, p. 62.

¹⁶ — Voir aussi, Tome IV, p. 249 et suivantes.

Art. 1. — Éléments.

A. - Ciment. — On choisit pour les voûtes le meilleur ciment.

B. - Sable. — Sable naturel, - sable de pierres broyées^{17, 18}.

C. - Pierre cassée ou gravier. — On a employé le plus souvent de la pierre cassée ; on l'a parfois mélangée de gravier¹⁹.

D. - Matériaux lavés. — En général, on lave les matériaux²⁰.

Art. 2. — Dosage²¹. — En Allemagne, aux États-Unis, où l'on a fait beaucoup de voûtes en béton, les dosages les plus employés sont :

		Ciment	Sable	Pierre cassée, ou Gravier, ou mélange des deux
Voûtes	Volumes.....	1	2.5	5
	soit, pour 1 ^{me} de sable.....	0 ^{me} 4	»	2 ^{me}
Culées	Volumes.....	1	3	6
	soit, pour 1 ^{me} de sable.....	0 ^{me} 33	»	2 ^{me}

Certains cahiers des charges imposent seulement la résistance que doit avoir le béton, à charge pour l'entrepreneur de trouver le dosage.

Art. 3. — Pierres dans le béton. — Pour diminuer le cube du béton, peut-être pour en augmenter la résistance, on y a noyé de grosses pierres : en fondation²² ;

dans de grandes voûtes²³.

On y emploie le béton comme du mortier entre de grosses pierres plates posées dans le sens du rayon²⁴.

§ 4. — EFFORTS. — RÉSISTANCE IMPOSÉE

Dans les grandes voûtes, on fait travailler couramment le béton de 30^k à 40^k^{25, 26}.

17. — Neckarhausen (IV, p. 232). Voir les essais de M. von Bach à Stuttgart, p. 235. — Wallstrasse (IV, p. 143), mortier de parement.

18. — Voir p. 12, Art. 1.

19. — Voir tableau p. 25, dernière colonne.

20. — Aux essais faits pour le pont de Neckarhausen (IV, p. 232), les matériaux lavés et non lavés ont donné les mêmes résistances.

21. — Sur la ligne de Miramas à L'Estaque, on a construit, en 1911-14 deux passages supérieurs en béton, articulés, de 25^m60 (IV, p. 62) et 36^m30 de portée, au dosage : ciment 750^k, sable 1^{re}, pierre cassée 2^{me}.

22. — Höfen (IV, p. 41), Marbach (IV, p. 45), Inzigkofen (IV, p. 225), Moulins-lez-Metz (IV, p. 202), Edmondson (I, p. 122), Walnut Lane (II, p. 83), Rocky River (II, p. 95).

23. — Walnut Lane (II, p. 83), Rocky River (II, p. 95).

24. — On a construit en béton de ciment et gros blocs noyés les barrages de : Barossa, près de la ville de Gower (Australie), 29^m de hauteur. (Engineering News, 7 avril 1904, p. 321) ; la Shoshone River (Montagnes Rocheuses, - État de Wyoming), hauteur 100^m au-dessus de la fondation, 75^m au-dessus du lit. — béton à 1', 2', 5', avec 25 environ de blocs de 10 à 100', 0^m15 au moins de béton entre eux (Engineering Record, 23 juillet 1910, p. 88).

25. — Voir § 2.

26. — Une voûte d'épreuve faite en Wurtemberg a donné, au bout de 2 ans et 8 mois, une résistance de 520^k par 0^m01².

Centralblatt der Bauverwaltung, 26 oct. 1901.

§ 5. — MODE D'EXÉCUTION DES GRANDES VOÛTES EN BÉTON

Art. 1. — Béton damé. — Sauf les premières (celles de Pont-sur-Yonne²⁷, qu'on reconstruisit trois fois), toutes les grandes voûtes en béton sont construites par tranches entre cloisons normales à l'intrados ou plutôt à la fibre moyenne, et sur toute l'épaisseur à la fois²⁸. Dans chaque tranche, le béton est pilonné par couches horizontales.

On maintient humide la surface du béton posé le soir : au besoin, on la nettoie et on y applique du mortier.

Pour avoir encore une meilleure liaison, on y ménage quelquefois des rainures²⁹.

Art. 2. — Béton moulé. — On a parfois employé des voussoirs de béton moulé d'avance (pierre de taille artificielle)³⁰ :

soit pour la douelle et le quentage³¹ ;

soit pour la douelle seulement^{31 bis} ;

soit pour les bandeaux seulement³².

Art. 3. — Voûte partie en béton, partie en pierre de taille. — On fait, quelquefois, le corps seulement en béton et les bandeaux en pierre de taille³³ ; ou les bandeaux et la douelle en pierre de taille, le reste en béton³⁴.

Art. 4. — Parements. — On a renoncé aux enduits ; ils adhèrent mal. On fait les parements en même temps que le corps, mais en béton plus fin, qu'on dresse ensuite au ciseau ou qu'on lave quelquefois à l'acide chlorhydrique pour lui donner l'aspect de la pierre³⁵.

On a employé des ciments colorés^{35, 36}, des sables de couleur³⁷.

Art. 5. — Protection contre la gelée. — Quand il a fallu bétonner par le froid, on a ajouté à l'eau du mortier, du sel dénaturé³⁸, du carbonate de soude³⁹.

27. — I, p. 213.

28. — Sauf les voûtes de Guggersbach (III, p. 59) et de Kinclaven (V, p. 24), construites en deux rouleaux.

29. — Big Muddy (I, p. 225), — Avenue du Connecticut (I, p. 67).

30. — On a revêtu sur 0^m25 la calotte du souterrain de Montrichard (Ligne de Vierzon à Tours) en briques de béton de ciment comprimé (300^e de ciment de Portland par m. c. de sable à gros grains).

Au souterrain de Puech Mergou (ligne d'Albi à Saint-Mérique), 960^m de longueur, sur 920^m dans le schiste compact, on a revêtu la calotte, sur 0^m25, en briques de ciment : ciment 300^e, gravillon 1^{er}.

Dans son Rapport sur les souterrains des Alpes, au Congrès de Berne en 1910, M. Hennings conseille l'emploi des voussoirs en béton, même pour les fortes pressions : alors, les armer.

Au deuxième souterrain du Simplon, on emploie des pierres artificielles de 35^e × 17^e × 7^¼ ainsi composées : 5 % de ciment Portland, 15 % de chaux, 85 % de sable siliceux. On les chauffe sous pression de 6^{at} ; elles portent 400 à 600^e par 0^m01².

Au souterrain de Puymorens (traversée des Pyrénées, ligne d'Ax à Bourg-Madame), on a prévu ce dosage : ciment à prise lente, 300^e ; sable, 400 litres ; pierre cassée à l'anneau de 0^m04, 800 litres.

31. — Wiesen (I, p. 235). 31^{bis}. — Viaduc des Torrents, à Finhaut (Ligne de Martigny au Châte-lard), Portée 35^m40, Surbaissement 1 3.64. Ciment Portland, 400^e ; sable 450^e ; pierre cassée à 0^m04, 900^e.

32. — Avenue du Connecticut (I, p. 67), — Cannington (§ 2, Art. 1, C).

33. — Reichenbach (IV, p. 183), Wittelsbach (IV, p. 199), Moulins-lez-Metz (IV, p. 202), Mannheim (IV, p. 206), Elise (IV, p. 151).

34. — Bellefield (III, p. 49). 35. — Grasdorf (IV, p. 129). 36. — Munderkingen (IV, p. 55), Inzigkofen (IV, p. 225). 37. — Wallstrasse (IV, p. 143).

38. — A 7 pas d'accident par - 14^e (Esterreichische Wochenschrift für den öffentlichen Baudienst, 1^{er} novembre 1902, p. 777. « Über Betonbauten auf der Salzkammergutbahn », M. Karl Muck, Ingénieur.

On a proposé aussi le chlorure de calcium qui abaisse davantage le point de congélation et rendrait le mortier plus étanche.

39. — Voir, pour l'emploi du carbonate, p. 14, Art. 7-A.

Art. 1. — Avantages. — Le béton est économique, lorsqu'on a, à proximité, du ciment, du sable, du gravier^{40, 41}; ou quand il est difficile de trouver des moellons⁴² ou des maçons.

Il dispense des sujétions d'appareil dans les ponts biais⁴³.

Il est fait par des machines, et est vite fait.

Chaque jour, les bons maçons se font plus rares; malgré qu'on en ait, on construit de plus en plus en béton, que mettent en place de simples manœuvres^{44, 45}, bientôt des machines⁴⁶. Aussi, l'emploie-t-on beaucoup aux États-Unis⁴⁷.

Il est moins lourd que la maçonnerie et pèse moins sur le sol⁴⁸.

Art. 2. — Inconvénients.

A. — Perméabilité. — Si l'eau traverse une voûte appareillée, elle n'y peut appauvrir en mortier que les joints: il n'y a du mortier que là.

Si elle traverse le béton, où le mortier est partout, elle attaque tout.

On devra donc, encore plus que pour les voûtes en moellons, mettre à l'abri de l'eau les voûtes en béton.

Le béton est très perméable⁴⁹. On a fait beaucoup d'essais pour le rendre étanche: on n'y a pas encore réussi⁵⁰.

Le mieux est de forcer le dosage et de n'y mettre que de petites pierres. Le béton riche et à petits éléments se laisse moins traverser.

B. — Fissures. — Il faut au béton des formes pleines, arrondies⁵¹: pas de rentrants, pas de changements brusques de formes.

S'il y en a, comme aux retombées des arcs très surhaissés, il faut l'articuler. Autrement, il y aura, non pas des ouvertures localisées de joints comme dans les voûtes appareillées, mais des fissures irrégulières, irréparables.

C. — Vilain aspect. — Jusqu'ici, il demeure désagréable d'aspect: grandes surfaces ennuyeuses, tachées. On ne sait encore qu'y dessiner des moulures, de faux joints.

40. — Munderkingen (IV, p. 55), Inzigkofen (IV, p. 225), Grasdorf (IV, p. 129), Illerbeuren (IV, p. 159).

41. — On se contente parfois de mélanger le ciment à ce qui sort du concasseur: le fin est le sable (Ponts de Glenfinnan, 21^e, Borrodale, 38^e73, — § 2, Art. 1-C₁).

42. — Wiesen (I, p. 235).

43. — Munderkingen (IV, p. 55), Élise (IV, p. 151), Pont-sur-Yonne (I, p. 213), Ponts de l'île Stvanice à Prague, de Britz, près de Berlin (p. 25),....

44. — Big Muddy (I, p. 225).

45. — On le préfère pour remplir les chambres de travail à l'air comprimé, où les maçons ne travaillent pas volontiers.

46. — On commence à le pilonner mécaniquement.

47. — On y voit concasser de beau granit pour faire des pierres en béton moulé.

48. — Dans les culées qui résistent par leur poids, il faut de plus grandes épaisseurs.

49. — Le capitaine américain Taylor a constaté des suintements à travers plus de 9" de béton. (Revue du Génie, juillet 1903).

50. — On a enduit la surface d'huile. On a mélangé, au moment du gâchage, du pétrole, du savon noir...

Jusqu'ici, les bétons imperméabilisés ne résistent qu'aux faibles pressions d'eau. Sous les fortes, ils sont plus perméables que d'autres. Le mieux paraît être de forcer le dosage et de badigeonner de goudron.

Au Canal de la Marne à la Saône, le béton de gravier, avec des grains de 0^m02 au plus, bien comprimé, a été « remarquablement étanche ».

Génie Civil, 10 octobre 1908, p. 396 à 400. « Le Canal de la Marne à la Saône ». M. Jacquinet, Ingénieur en chef des Ponts et Chaussées.

51. — Il est très bien employé dans un phare (Phare de Raz-Tina, Tunisie).

Annales des Ponts et Chaussées, 1897, 1^{er} trimestre, p. 252, M. Regnaud.

TITRE III

FRUIT DES TÊTES

§ 1. — CE QUI A ÉTÉ FAIT

Art. 1. — Petits ouvrages. — Pas de fruit¹.

Art. 2. — Viaducs. — Voir à l'APPENDICE.

Art. 3. — Ponts bas à voûtes de moins de 40^m. — Presque tous ont des tympons verticaux.

Art. 4. — Voûtes de 40^m et plus. — Sur 153 ouvrages comportant des voûtes de 40^m et plus, 101 n'ont pas de fruit, dont tous les ponts sous route inarticulés, à un seul anneau :

52 sont à fruit : les voici

Fruits	Voie ² portée	Ponts de : ²	<i>Les routes articulées sont en italiques.</i>
1/45=0,022	Fr	Kempton, \widehat{A}^1 , IV, p. 115.	
1/40=0,025	1 ^{re}	Luxembourg, Walnut-Lane, Rocky River, Constantine, $\widehat{A}^1 \widehat{A}^1$, II, p. 67, 83, 95, 107.	
		Amidonniers $E^n E^n$, I, p. 193.	
	Fr	Cêret, Escot, \widehat{A}^1 , II, p. 160 et 174; Krummenau \widehat{A}^1 , III, p. 164 (<i>Baudouin: I/40, Tympons I 50</i>).	
	fr	Solis C^1 , I, p. 55; Wiesen, E_h^1 , I, p. 235; Cinuskel, Tuoi, \widehat{A}^1 , II, p. 189 et 194.	
1/36=0,026	Fr	Ballochmyle C^1 , I, p. 41.	
1/33=0,030	Fr	Pouch, Freyssinet \widehat{A}^1 , III, p. 110 et 112.	
1/30=0,033	Fr	Castelet \widehat{A}^1 , II, p. 130; Gutach, Schwändelholzobel, Langenbrand, \widehat{A}^1 , III, p. 122, 126 et 152; <i>Garrhing</i> E^n , IV, p. 95.	
1/25=0,04	Fr	Lavaur, Antoinette, \widehat{A}^1 , II, p. 135 et 145.	
1/20=0,05	1 ^{re}	Wallstrasse \overline{A}^1 , IV, p. 143.	
		\widehat{A}^1 , II : Wäldlitobel, p. 157; Palmgraben, p. 164; Schalchgraben, p. 168; Rothweinbach, p. 171.	
	Fr	\widehat{A}^1 , III : Marett, Prarolo, p. 93; Gour-Noir, p. 103; Jaremeze, p. 114; Jamna, p. 118; Worochta, p. 120; Diveria, p. 130; Strandeelven, p. 132; Krenngraben, p. 134; Steyrling, p. 137; Salcano, p. 141; Svenkerud, p. 150; Boilefos, p. 159.	
		Canale \widehat{A}^n , III, p. 185; Morbegno, \overline{A}^1 , IV, p. 65; Illerbeuren, \overline{A}^1 , IV, p. 159.	
1/10=0,10	1 ^{re}	Hochberg, Neckurgartach, \overline{A}^n , IV, p. 177 et 186.	
	Fr	Chemnitz \widehat{A}^1 , III, p. 129.	
Fruit courbe	1 ^{re}	\overline{A}^1 , IV : Inzigkofen, p. 225; Neckarhausen, p. 232; Marx-Joseph, p. 242.	

La première grande voûte à fruit, celle de Ballochmyle³, est de 1846.

1. — APPENDICE : Ouvrages de 8^m et au-dessous.

2. — Pour le sens des abréviations, voir Préliminaires, p. 3.

3. — I, p. 41.

Le fruit augmente les sujétions d'appareil et la dépense, mais allonge les joints des reins et y réduit le travail.

Il augmente la résistance aux efforts transversaux (vent, force centrifuge).

Il est souvent utile, quelquefois nécessaire, dans les ponts en courbe ⁴.

Mais, surtout, il fait bien.

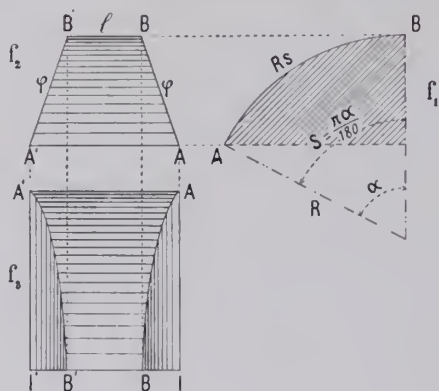
De plus, si on se place sous la voûte, près d'une retombée, l'effet des fruits s'ajoute à celui de la perspective : l'ouvrage paraît plus grand.

Au-dessus de piles à fruit, on se gardera de placer des tympans verticaux : ils paraîtraient en surplomb ⁴.

Il ne faut pas exagérer le fruit : 1/40 suffit ⁵.

4. — APPENDICE : Viaducs.

5. — Dans une voûte en arc de cercle de rayon R , en fruit φ , les courbes de tête d'intrados sont des arcs d'ellipse surhaussée de 1/2 axes R et $R\sqrt{1+\varphi^2}$.



Soient :

l la longueur de la génératrice de clef;

α l'angle au centre de l'arc AB ;

s sa longueur sur la circonférence de rayon l .

La surface de douelle D entre la clef et une retombée est :

$$D = R s \left[l + 2 R \varphi \right] - 2 R^2 \varphi \sin \alpha$$

Le volume du vide $ABIA'B'P'$ (f_3) est :

$$V = R^2 \left[s - \frac{\sin 2 \alpha}{2} \right] \left(\frac{l}{2} + R \varphi \right) - \frac{2}{3} \varphi R^3 \sin^3 \alpha$$

TITRE IV

PILES

CHAPITRE I. — DIMENSIONS ET DISPOSITIONS

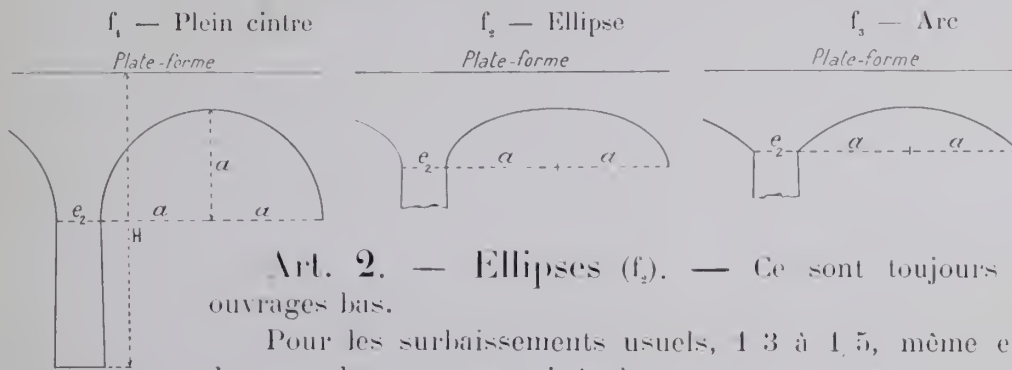
§ 1. — ÉPAISSEUR DES PILES AUX NAISSANCES DES VOÛTES

Art. 1. — Pleins cintres (f_1). — Pour un premier essai, — et même mieux, — on peut accepter la formule empirique :

$$e_2 = \frac{2a}{10} + 0,04 H$$

quel que soit H , c'est-à-dire pour les pleins cintres bas¹, comme pour les très hauts viaducs².

Pour les ponts bas, $\frac{e_2}{2a}$ est au moins 1/8.



Art. 2. — Ellipses (f_2). — Ce sont toujours des ouvrages bas.

Pour les surbaissements usuels, 1/3 à 1/5, même entre deux arches un peu inégales, on peut encore accepter

$$\frac{e_2}{2a} = \frac{1}{8} \text{ }^{3,4}, \text{ et même moins, } \frac{1}{9}, \frac{1}{10}.$$

Avant Perronet⁶, on prenait $\frac{e_2}{2a} = 1/5$ et même plus⁷ : à Neuilly, $\frac{e_2}{2a}$ est réduit à 1/9,2.

Art. 3. — Arcs (f_3). — Ce sont aussi des ouvrages bas.

On prend $\frac{e_2}{2a}$ de 1/8 à 1/10⁸ pour des piles entre deux voûtes de portées et montées (et par conséquent de poussées) égales, — et même un peu différentes.

1. — Au pont de Nogent-sur-Marne (I, p. 79) : $e_2 = 6^m$; $2a = 50^m$; $H = 28^m$; $\frac{e_2}{2a} = 0,12$. La formule donne 0,1224.

Au pont de St Waast sur l'Agoût (ligne de Montauban à Castres) : $2a = 11$; $e_2 = 3^m$; $2a = 20^m$; $\frac{e_2}{2a} = 0,15$. L'effet est bon. La formule donne 0,14.

2. — APPENDICE : Viaducs. — Pour $2a = 0,40 H$, rapport conseillé, $e_2 = 0,2 (2a)$ épaisseur courante aux naissances des piles à mortier de chaux.

3. — Pont au Change (I 4,5) ; ponts de Port-S^t Marie (I 3,2), Marmande (I 3,6), Saubusse (I 3),...

4. — Ponts : de l'Alma, arche centrale de 43^m au 1/5 entre 2 de 38^m50 (I, p. 153) ; des Amudonniers, entre l'arche de 46^m et celles de 42^m, — entre celles de 42^m et de 38^m50 (I, p. 193).

5. — Au pont de Verdun-sur-le-Doubs (I, p. 165), la pile a 4^m entre 2 arches de 41^m et 38^m50.

6. — Les Ingénieurs romains, ceux du Moyen âge, réglaient souvent les piles de façon à résister à la poussée d'une arche : on pouvait ainsi construire les voûtes l'une après l'autre.

Choisy. — *Histoire de l'Architecture*, I, p. 583, - II, p. 593.

7. — A la fin du XVIII^e siècle, Bélidor conseille pour les grandes voûtes : en plein cintre, le 1/6 ; en anse de panier, le 1/5.

Architecture hydraulique, seconde partie, Tome II, p. 443, - Paris, Firmin-Didot, M.DCC.LXXXV.

8.

$\frac{e_2}{2a}$	Ponts	Dates	Portée $2a$	Surbais- sement	$\frac{e_2}{2a}$	Ponts	Dates	Portée $2a$	Surbais- sement
1/8,2	de la Rouvière, sur le Lot, (Mende)	1878-82	21 ^m	1/7,21	1/9,5	d'Iguerande, sur la Loire (Saône-Loire)	1895	28 ^m 60	1/7,62
1/8,1	de la Farelle, id. (Sévérac)	1879-82	26	1/8,28	1/9,7	d'Arciat, sur la Saône (et L ^e)	1906	31	1/7,1
1/8,6	National, à Paris.	1852-53	34,50	1/7,5	1/10	Corneille, à Rouen.	1810-35	31	1/7,54
1/9	de St Loup, sur l'Allier (La Ferté-Hauterive-Gannat).	1910-13	33	1/7,5	1/10,1	Boucicaut (III, p. 243).	1888-90	40	1/8
1/9,3	de Roanne, sur la Loire.	1858	28	1/8	1/11,8	d'Austerlitz, à Paris.	1854	32,30	1/6,86
						d'Orléans (III, p. 255).	1901-06	43,85	1/7,56

§ 2. — FRUIT TRANSVERSAL DES PILES

Un parement vertical est sec et dur⁹.

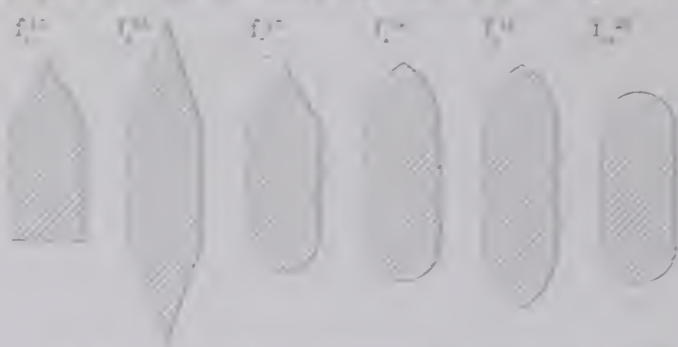
On donnera un fruit de 1/50 à 1/20, soit 5^m3 à 5^m18.

Dans quelques ponts de ville, on a dressé en courbe les pieds-droits¹¹, soit pour continuer l'ellipse d'intrados¹², soit même sous des travées métalliques¹³.

Les fruits courbes s'imposent pour les très hauts viaducs¹⁴.

§ 3. — BECS

Art. 1. — Tracé en plan. — On a fait des avant-becs en pointe (f₁, f₁), en pointe effilée (f₁), plus tard en ogive (f₁, f₁), en demi-cercle (f₁) ; des arrière-becs carrés (f₂), en pointe, en pointe effilée (f₂), en trapèze (f₂), en ogive (f₂), en demi-cercle (f₂, f₂).



Aujourd'hui, on fait trop de becs circulaires (f₂) : c'est monotone.

9. — Ponts romains de Saône-et-Loire, de Saône, PAF, autre sur la page...

10. — 1^{er} grand pont de Montpont, de Montpont, 1^{er} pont sur la Seine de la ville de Montpont (Ardenne), 4^e pont de Châtillon, de S. Amand, 1775 au pont d'Arail (Saône-et-Loire).

11. — Pont de Dijon, sur la Loire (Saône-et-Loire).

12. — Pont de Bezy, (Pont) de l'Empereur-François (I, p. 188 ; Edouard VII (I, p. 182) des Ardennes (I, p. 188).

13. — Pont du Montpélain à Paris.

14. — APP. S. — Viaducs.

15. — Ponts romains : Remus, Saône-et-Loire, Fribourg, Milvius, S. Ange....

Laculm (X^e siècle), Albi (XI^e), S. Etienne, S. Martin, à Louanges, Valentré à Cahors, Estréogues, Estréog (XIII^e), Pont-Avrone (III, p. 173) (XIV^e).

16. — Pont de la Roche, à Lyon (XIII^e), Pont-S. Esprit (XIII^e), Montauban (XIV^e), Toulouse, Trévis à Florence, Pont-Neuf à Paris (XVI^e), Pont-Marie, Pont-Royal (XVII^e),....

Φ_1 — Pont de Bezy — juillet 188



Φ_2 — Pont de Jumièges — août 1885

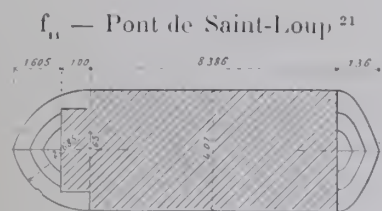


17. — Bois (1716-1724) (Φ_1), Jumièges (Φ_2),...

18. — Compiègne (1734), Pont-de-Poissy, sur la Seine (1747) (Φ_1 , Φ_2), Orléans (1754-60), Montfort (1757-65), Tours (1764-77),...

19. — Neuville, sur l'Ain (1770-74), Beauchamp, sur le Tarn, à Saumur (1773-84), Mirepoix sur l'Hers (1773-92), Houdou, sur l'Aude (1781-88),...

20. — Avant 18 XIX siècle : L'abbaye, sur la Saône (1782-85), St-Die, sur la Meurthe (1785-1821), Neufchâteau, sur la Moselle (1786-1806)....



L'arrière-bee ne compte pas pour l'écoulement des eaux.

On peut le supprimer et réduire le volume de la pile et de sa fondation : si l'aspect n'en souffre pas ; quand les fondations sont sur un sol peu affouillable.

Sans le supprimer complètement, on peut l'aplatir en triangle obtus à lignes droites ²², ou courbes ^{23,24} (f_{11}).

Pont de Port-de-Piles, sur la Creuse

Φ_2 — amont — septembre 1906



Φ_4 — aval — septembre 1906



Art. 2. — Hauteur. — Si les naissances sont au-dessus de l'eau, on y arrête les becs ; sinon, on les élève au moins jusqu'à l'extrados des bandeaux.

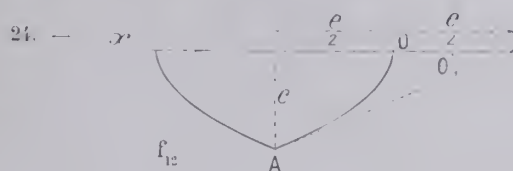
S'il y a de la navigation, ils doivent dépasser les « hautes eaux navigables », pour que les bateaux les voient et que le courant les rejette sous l'arche.

Les becs des ponts bas en plein cintre et en ellipse, qui s'élèvent au-dessus des naissances, sont comme rapportés, plaqués devant les ouvrages (Φ_2, Φ_4).

21. — sur l'Allier (La Ferte-Hauterive à Gannat), 1910-1913, 7 arcs de 33° à 17.5.

22. — Amidonniers (I, p. 193).

23. — Orléans (III, p. 257), Saint-Loup, (voir renvoi 21).



$$y = c \sqrt{\frac{2x}{e}} = z \frac{e^2}{e}$$

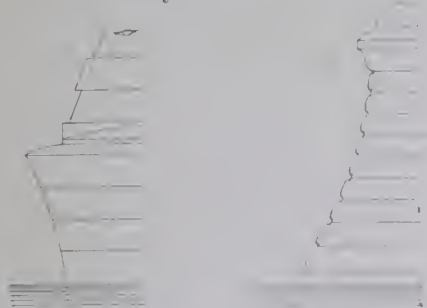
Pont d'Entraygues (Aveyron), sur la Truyère (XIII^e siècle) Φ_5 — amont — septembre 1907 Φ_6 — aval — septembre 1907

La fondation de la pile est mal utilisée si elle ne sert qu'à porter une estacade pour couper l'eau.

On peut élever le bec jusqu'à la voie et l'utiliser comme refuge. On a ainsi très heureusement prolongé des becs triangulaires ou carrés (Φ_5 , Φ_6), — moins heureusement des becs ronds ²⁵.

Art. 3. — Profil des avant-becs. — On donne en général aux becs le même fruit qu'aux pieds-droits.

f_{13} — Pont de Navilly
 f_{14} — Pont des Amidonniers



Un courant qui heurte une surface verticale en affouille le pied.

Au pont de Navilly (1783-88), Gauthey a profilé l'avant-bec en proue de bateau ²⁶, forme très propre à provoquer des affouillements ²⁷ (f_{13}).

Au pont des Amidonniers, la courbe est concave, en forme d'éperon : elle s'est rencontrée bien tracée pour les prévenir ²⁸ (f_{14}).

Φ_7 — Pont à Dresde — septembre 1906



A un pont de Dresde (Φ_7), les voûtes reposent sur des piles de couronnes qui sont comme gonflées sous leur poids.

Ceci n'a guère été imité, — heureusement.

Art. 4. — Chaperon. — Le fût des becs est coiffé d'un chaperon. On l'a souvent fait trop maigre : ceux des ponts de St Waast (f_{15}), de St Loup (f_{17}) font bon effet.

On lui donnera de fortes épaisseurs, de fortes saillies : on ne voit que sur les dessins les moulures fines.

25. — Pont sur la Bidassoa. — Pont de Mauzac (Ligne de Bergerac au Buisson).

26. — Annales des Ponts et Chaussées, 3^e trimestre 1904, p. 5 à 130, Pl. 11 à 13. « La vie et les travaux de Emiland Gauthey. — Le Pont de Navilly sur le Doubs », M. de Dartain.

M. de Dartain a reproduit ce mémoire dans son grand ouvrage : « Etudes sur les ponts en pierre remarquables par leur décoration, antérieurs au XIX^e siècle », vol. IV — Paris, Béranger, 1909, p. 1 à 89, 173 à 189, PL. 23 à 30.

27. — « On constata en septembre 1787 un affouillement de 11 à 12 pieds de profondeur devant le premier avant-bec et jusqu'au milieu de la longueur de la pile ». Loc. cit. renvoi 26, — p. 129.

28. — 1 à 103

Mais il ne faut pas exagérer ²⁹ $\bar{f}(\Phi_s)$.

Φ_8 — Pont Cornélius, à Munich ³⁰ — août 1908



Φ_9 — Pont de Reichenbach, à Munich ³¹ — août 1908

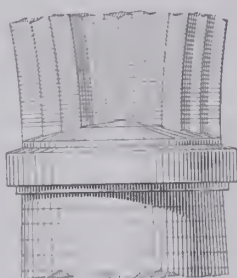


On a quelquefois supprimé le chaperon (Φ_9).

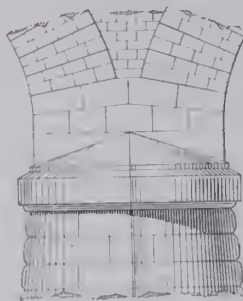
§ 4. — RETOMBÉES DES BANDEAUX SUR LES BECS

Art. 1. — Les naissances des voûtes sont plus hautes que les becs. — Pas de difficulté pour les pleins cintres (f_{15}), les ellipses (f_{16}), les arcs (f_{17}).

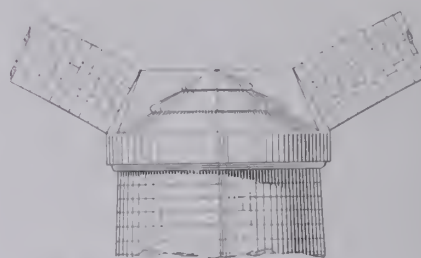
f_{15} — Plein cintre
Pont de St Waast ³²



f_{16} — Ellipse
Pont d'Orzillac ³³



f_{17} — Arc
Pont de St Loup ³⁴



En faisant porter la retombée sur la moulure ³⁵, on réduit la portée des voûtes (f_{17}) ; les Egyptiens avaient ainsi diminué par la saillie des chapiteaux la portée des architraves ³⁶.

29. — Pont de Garching (IV, — Φ_1 , p. 95, Φ_2 , p. 97). 30. — Voir IV - p. 180. 31. — Voir IV - p. 183.

32. — sur l'Agoût (Montauban à Castres) 1882-84, 5 arches en plein cintre, de 20^m.

33. — sur la Loire (Le Puy à Nieigles-Prades), 5 arches en ellipse, de 33^m (Projet).

34. — Voir renvoi 21.

35. — Ponts de Charrey, d'Orleans (III, p. 257, — 4 — renvoi 4), de Saint-Loup (f_{17}).

36. — La poussée de la voûte est oblique : la moulure porte peu. C'est ainsi qu'on a reçu sur un corbeau c (f_{18}) la retombée des nervures, à Sens, à Châlons (Choisy : « Histoire de l'Architecture », II, p. 294, 295).

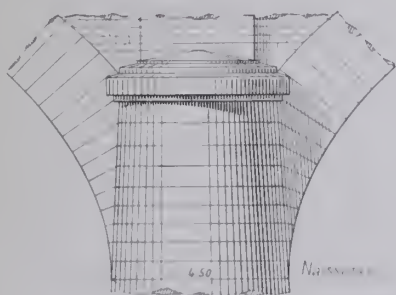


Art. 2. — Les naissances sont plus basses que les bees. —
 A. Pont en plein cintre ou en ellipse. — Les ponts en plein cintre quelque-
 fois, les ponts en ellipse souvent, sont des ouvrages bas : les bees coupent alors
 les bandeaux (Φ_{10}).

Φ_{10} — Pont de Marmande ³⁷ — septembre 1904



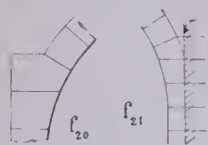
f_{19} — Pont de Marmande ³⁷



Il faut raccorder les assises de la pile, qui sont horizontales, à celles du bandeau, qui sont normales à l'intrados : on les « balance », de façon à n'avoir ni assises trop épaisses, ni voussoirs trop petits (f_{19}) : on n'y réussit pas toujours.

Il convient que le couronnement soit à la rencontre de l'extrados du bandeau et de l'arête de la pile ³⁸, — non plus haut.

Au pont des Amidonniers, on a prolongé les assises de la pile jusqu'à l'intrados ³⁹ ; les sommiers sont en porte-à-faux, « en tas de charge » ⁴⁰.



37. — sur la Garonne (Marmande à Mont-de-Marsan), 1881-1885, 5 arches en ellipse de 36^m à 13.6.

38. — On ne l'a pas fait, — à tort, — aux ponts de Moissac, (Φ_4 , p. 93), de Bercy, au viaduc du Point-du-Jour

39. — I, p. 196^{ter}, f_{10} .

40. — On a reçu ainsi des nervures (f_{20} , f_{21}) (Choisy : « Histoire de l'Architecture », II, p. 273, 294).

B. Ponts en arc — Quelquefois, on a prolongé les fûts au-dessus des bandeaux. Ils sont alors coupés brutalement, sans raccordement d'appareil (Φ_{11}).

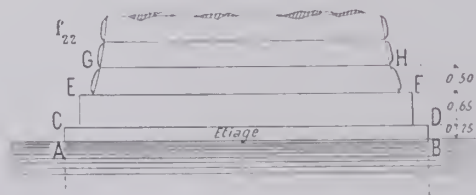
Φ_{11} — Pont « di Mezzo » sur l'Arno, à Pise — juin 1908



§ 5. — NIVEAU DU SOCLE OU DU RESSAUT

Il convient que le massif de fondation ne soit jamais découvert de plus de 40^{cm} à 50^{cm} et qu'on voie le socle la plus grande partie de l'année.

C'est d'après le graphique des hauteurs d'eau qu'on en fixe le niveau ⁴¹.



41. — Au pont des Amidonniers, l'eau est en moyenne par an :

- 4 jours au niveau AB ;
- 199 jours entre AB et CD.
- 10 jours entre CD et EF.
- 44 jours entre EF et GH.
- 18 jours au-dessus de GH.

CHAPITRE II

MATÉRIAUX ET APPAREIL

§ 1. — MASSIF DE FONDATION

Art. 1. — Parement. — Dans les rivières qui charrient des graviers, des cailloux, on parementera le massif en moellons durs, bien assisés, avec peu de joints ; on ne le fera jamais en béton, en béton armé : dans la Durance, les hausses d'une fondation descendue à l'air comprimé ont disparu en quelques années.

Art. 2. — Noyau. — En maçonnerie ordinaire ; à défaut, en galets, en béton.

§ 2. — AU-DESSUS DE L'EAU OU DU SOL

Art. 1. — Socle. — Le socle est en libages ou en pierre de taille.

Art. 2. — Parement du fût. — Le parement est, suivant le lieu où le pont est bâti, — campagne ou ville, — suivant son caractère, en moellons équarris, en moellons d'appareil, en libages⁴², en pierre de taille.

On ne parement jamais une pile en moellons bruts : il y a trop de joints et l'eau les attaque : il y faut des maçonneries assisées avec très peu de joints.

Art. 3. — Noyau. — Le noyau est en moellons ordinaires, en galets, quelquefois en béton, s'il coûte moins.

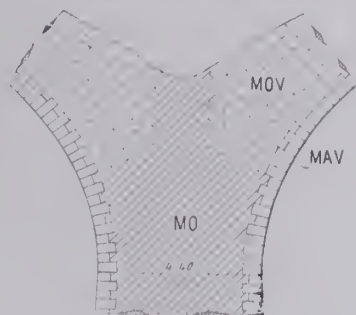
Si l'on craint qu'une trop forte pression tende à séparer le parement du corps, on maçonne la pile au ciment, on la coupe par des assises de libages.

Art. 4. — Appareil à la retombée des voûtes.

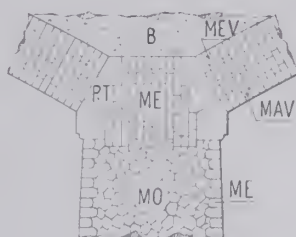
A. Pleins cintres. — Je renvoie à l'APPENDICE : Viaducs.

B. Ellipses. — Voir f_{23} et les monographies, Tome I.

f_{23} — Pont de Marmande⁴³



f_{24} — Pont de St Loup⁴⁴



C. Arcs. — Voir f_{21} et les monographies du Tome III, en particulier les ponts

Boucicaut (III, p. 243) et d'Orléans (III, p. 255).

42. — Pont des Amidonniers (I, p. 196^{bis}, f_3).

43. — Voir renvoi 37.

44. — Voir renvoi 21.

Art. 5. — Quelques détails d'appareil. — Dans les arcs à grandes poussées, on dispose, derrière les sommiers en pierre de taille, des moellons équarris par assises verticales (f_{24}).

CHAPITRE III

EFFETS DES BECS SUR LE COURANT

Devant un avant-bec, l'eau se gonfle, puis s'écroule de chaque côté en cataractes (Φ_{12}), qui contrarient l'écoulement sous les voûtes et contractent le débouché ⁴⁵.

Un avant-bec effilé gêne moins l'eau (Φ_{13}).

Φ_{12} — Pont St Clair, à Lyon — mai 1907



Φ_{13} — Pont d'Avignon — septembre 1903



CHAPITRE IV

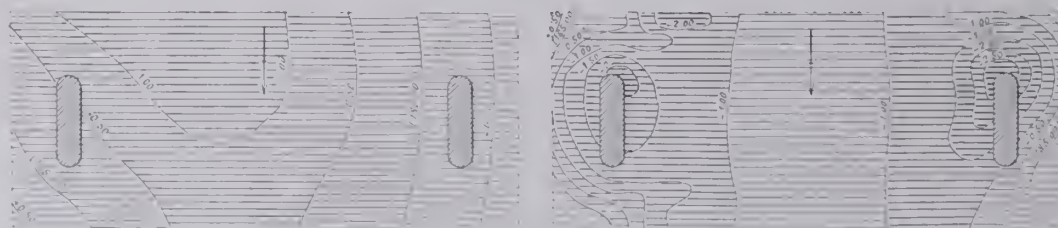
ACTION DES PILES SUR LES FONDS AFFOUILLES

La rivière affouille le pied de l'avant-bec (f_{25}), dépose derrière l'arrière-bec.

Pont de Pesoux sur le Doubs ⁴⁶ — Plans — 1^{mm}

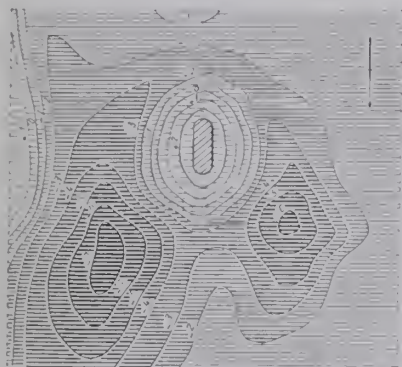
f_{25} — Avant le commencement des travaux

f_{26} — Après la crue du 14 avril 1901



45. — On trouve dans les Cours des valeurs du coefficient de contraction : elles prêtent fort à la critique ; on n'en a pas d'autres.

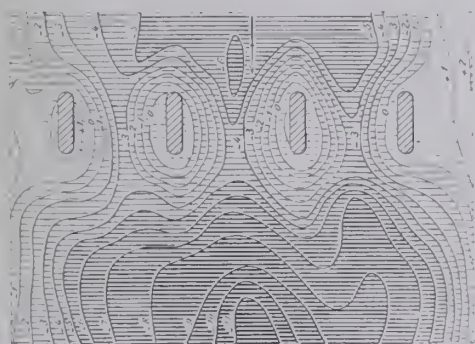
46. — Ligne de St Jean-de-Losne à Lons-le-Saulnier.

f_{27} — Passerelle du Collège, à Lyon

Quand on n'a pas fondé assez bas, on a défendu par des enrochements le sol affouillable.

Sous un pont à très grandes portées, une pile entourée d'enrochements creuse deux trous à l'aval (f_{37}).

Sous de moindres, les affouillements d'aval se réunissent en un seul, dans l'axe des voûtes (f_{28}).

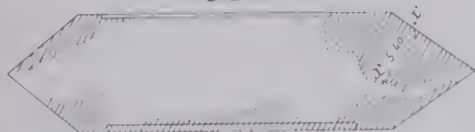
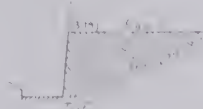
 f_{28} — Pont de Tarascon, sur le Rhône ⁴⁷ f_{29} — Pont de Serin, sur la Saône, à Lyon

À l'aval d'un pont à trop petites arches, il y a un creux général en travers de la rivière (f_{29}), comme à l'aval d'un barrage.

Certains terrains compacts, incompressibles, sont lentement affouillables (tuf de la Garonne) ⁴⁸, non par une crue, mais par l'action continue des eaux.

En tout terrain, il faut fonder au-dessous des plus grands affouillements connus.

Avec l'air comprimé, c'est souvent facile, toujours possible : un Ingénieur qui ne fonde pas assez bas est aujourd'hui sans excuse.

 f_{30}  f_{31} — Coupe sur xx' de f_{30} ⁴⁷. — Ligne de Tarascon à Cette (1851).⁴⁸. — Au vieux pont de Toulouse (1542-1632), la pile 3 a été affouillée jusqu'à 5^m40 (f_{30} , f_{31}).

TITRE V

CULÉES

CHAPITRE I

COMMENT ON CALCULE LEURS DIMENSIONS

§ 1. — EFFORTS QUE SUPPORTENT LES CULÉES

Art. 1. — De la part des voûtes. — Sur les piles, les poids, les surcharges ne produisent que des efforts verticaux ou à peu près : mais sur les culées, ils se résolvent en poussée.

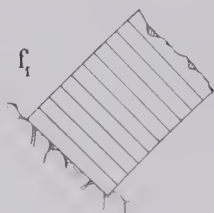
Moins la voûte a de flèche, plus la poussée est inclinée.

Art. 2. — De la part des terres. — La poussée des terres¹ agit en sens contraire de celle de la voûte ; elle soulage l'arête postérieure de la culée ; elle en écarte la courbe de pression.

Dans le calcul de la culée, on n'en tient pas compte : on ne remblaie en effet l'ouvrage qu'achevé ; la culée doit avoir résisté à la poussée de la voûte sans l'aide de celle des terres.

§ 2. — CE QU'IL FAUT POUR RÉSISTER AUX EFFORTS

Art. 1. — La voûte retombe sur le rocher. — On taille le rocher suivant le dernier lit : c'est le cas des passages supérieurs sur tranchées en rocher, des arches jetées par-dessus un torrent entre deux parois de rocher.



Art. 2. — La culée résiste par son poids.

Si l'on a fondé par épuisement dans un batardeau, ou sur pilotis, ou à l'air comprimé, le sol de fondation est à peu près horizontal : c'est par son poids que la culée résiste à la poussée.

A toute hauteur, la maçonnerie doit ne pas s'écraser, ne pas se couper horizontalement².

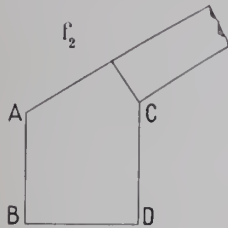
La culée ne doit ni s'enfoncer dans le sol³, ni glisser sur lui.

1. — Voir les Tableaux numériques de M. Flamant (Annales des Ponts et Chaussées 1885, 1^{er} semestre, p. 523), reproduits à la fin du Cours de *Ponts en maçonnerie* de MM. Degrand et Resal, Tome I, p. 380 et suivantes.

2. — Soient, par rapport au pied de l'arête postérieure : \mathcal{M}_s le moment de stabilité, \mathcal{M}_r le moment de renversement. — On a souvent admis que le rapport $C = \frac{\mathcal{M}_s}{\mathcal{M}_r}$ dit « coefficient de stabilité » mesurait la stabilité de la culée, et qu'elle était stable avec $C = 1.5$. M. Resal a montré que cette conception était fautive, dangereuse ; que, pour la stabilité de l'ouvrage, on n'en pouvait rien conclure (*Stabilité des Constructions*, p. 559 et suivantes). — Ce n'est pas le rapport $\frac{\mathcal{M}_s}{\mathcal{M}_r}$ qui est intéressant, mais la différence $\mathcal{M}_s - \mathcal{M}_r$, laquelle entre dans l'expression de la pression maxima.

3. — Pour une même pression par unité, la déformation du sol croîtrait avec la surface de fondation. Zentralblatt der Bauverwaltung, 1893, p. 366 à 368 : « Zur Theorie des Baugrundes » Fr. Langesser.

Enfin, elle doit être rigide, c'est-à-dire ne pas se courber sous la poussée. L'arête postérieure AB (f_2) est plus comprimée que CD : le haut de la culée reculera donc légèrement sous la poussée⁴ : elle pliera comme un poteau vertical élastique encastré à son pied, poussé horizontalement à son sommet⁵.



Pour calculer les pressions dans les voûtes, on suppose expressément que les retombées ne reculent pas.

Les appuis d'un arc très surbaissé à grande portée doivent être invariables : le moindre déplacement horizontal est dangereux.

Sur des culées hautes, conviennent des pleins cintres, des ellipses surhaussées. Plus le sol est douteux, moins il faut le charger, plus il faut de flèche. Les voûtes très surbaissées exigent des culées rigides, partant, très longues⁶.

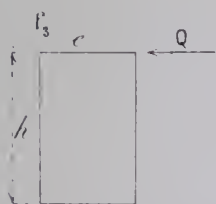
CHAPITRE II

DISPOSITIONS DES CULÉES

§ 1. — RENVOI AUX MONOGRAPHIES ET A L'APPENDICE

Les culées se font à la demande du terrain.

Je renvoie aux monographies (Tomes I à IV) pour celles des voûtes de 40^m et plus, — à l'APPENDICE pour celles des ouvrages courants et des viaducs.



4. — Soit une culée d'épaisseur constante e , soumise à une poussée Q ; le déplacement au sommet est : $f = \frac{2 Q h^3}{E e^3}$.

$$\text{D'où : } e = h \sqrt[3]{\frac{2 Q}{E f}}$$

e varie : pour un même déplacement f , comme la hauteur h ; pour un même travail à toute hauteur, comme \sqrt{h} .

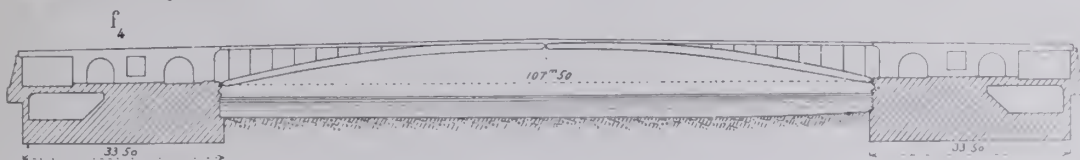
M. Résal : « *Stabilité des Constructions* », p. 556.

5. — Arche d'expériences de Souppes (Portée = 37^m886, Surbaissement 1 18). La culée avait 15^m10 : on a enlevé à l'arrière des tranches verticales.

Quand elle a été réduite		le tassement total à la clef a été de :
de	à	
15 ^m 10	12 ^m 10	0 ^{mm} 3
12 ^m 10	10 ^m 10	2 ^{mm} 7
10 ^m 10	7 ^m 10	6 ^{mm} 3

A 7^m10, la culée ne se renversait pas, ne s'écrasait pas ; mais elle commençait à plier sous la poussée. Voir Tome III, p. 376, renvoi 31.

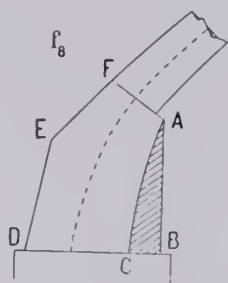
6. — Au pont Alexandre III (f_1) (arcs d'acier de 107^m50 au 1 17^e), les deux culées ont ensemble 67^m, — les 64 100 de la portée.



§ 2. — ÉPAISSEURS

On les détermine par une épure^{7,8}.

§ 3. — CULÉES A PAREMENT ANTÉRIEUR EN PORTE-A-FAUX OU EN ENCORBELLEMENT. — CULÉES PERDUES



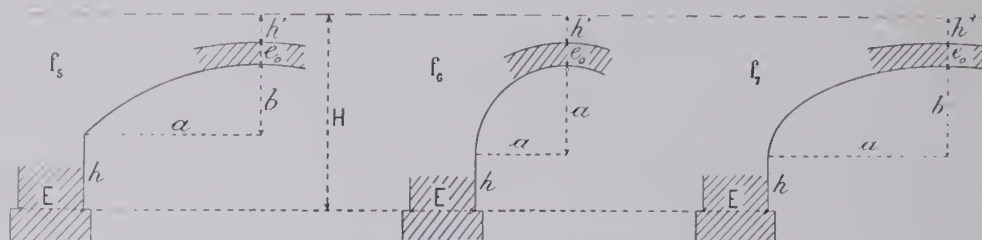
Dans une culée telle que f_8 , la maçonnerie ABC travaille peu ; on peut la supprimer.

La culée en porte-à-faux, fort économique, est à adopter pour les grandes voûtes par-dessus les torrents, les ravins profonds.

On peut faire ainsi, non seulement avec retombées inclinées (Lavaur⁹, Antoinette¹⁰, Luxembourg¹¹, Amidonniers¹², — passages supérieurs en tranchée de rocher), mais même avec fondations profondes sur sol horizontal^{12bis}.

7. — APPENDICE, — Comment on calcule une voûte.

8. — Voici, pour un premier essai, les formules de Lèveillé :



$$\text{Arc de cercle (} f_5 \text{)} : E = \left(0,33 + 0,212 (2a) \right) \sqrt{\frac{h \times (2a)}{H (b + e_0)}}.$$

$$\text{Plein cintre (} f_6 \text{)} : E = \left(0,60 + 0,162 (2a) \right) \sqrt{\frac{[h + 0,25 (2a)] \times 0,865 (2a)}{H [0,25 (2a) + e_0]}}.$$

$$\text{Anse de panier (} f_7 \text{)} : E = \left(0,43 + 0,154 (2a) \right) \sqrt{\frac{(h + 0,54 b) \times 0,84 (2a)}{H [0,465 b + e_0]}}.$$

« Note sur les Ponts en maçonnerie » par M. Lèveillé, Ingénieur en chef des Ponts et Chaussées. (Extrait du Bulletin de la Société d'Agriculture, Sciences et Arts de la Sarthe, — Le Mans, Imprimerie Monnoyer, 1855).

Voici, pour 3 ponts en arc, l'épaisseur calculée par la formule Lèveillé et celle qu'on a adoptée :

Ponts	Formule Lèveillé	Épaisseur adoptée
Boucicaut (III, p. 243).	13 ^m 06	14 ^m 07
de la Farelle (1877-1880 — <i>Ligne de Mende à Séverac</i>).	11 ^m 18	11 ^m 35
d'Orléans (III, p. 255).	15 ^m 07	15 ^m

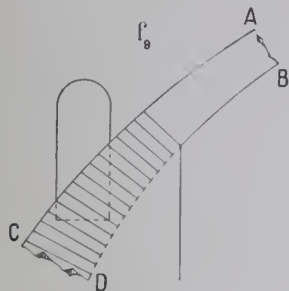
9. — II, p. 135 ; 10. — II, p. 145. — Le grès molasse a été taillé suivant le lit de la dernière assise.

11. — II, p. 67. — Grès en petites assises horizontales. Les fouilles faites formaient une série de petits ressauts. On les a noyés dans du béton de ciment, damé suivant la courbe de la retombée.

12. — I, p. 193.

12bis. — Höfen (IV, p. 41), Marbach (IV, p. 45), Munderkingen (IV, p. 55), Grasdorf (IV, p. 129), Göhren (IV, p. 139), Inzigkofen (IV, p. 225), Neckarhausen (IV, p. 232), Teinach (III, p. 203), Mehring (III, p. 252), Cassel (III, p. 303).

Pour résister à la poussée, on a quelquefois chargé les culées perdues en avant du porte-à-faux¹³.



§ 4. — CULÉES ÉVIDÉES

Il ne faut pas couper ou entailler la retombée d'une grande voûte ABCD (f_9) par un évidement transversal allant d'un tympan à l'autre.

Mais il est permis d'évider par des puits ronds de petit diamètre la culée d'un plein cintre^{13bis} : la poussée passe autour des puits.

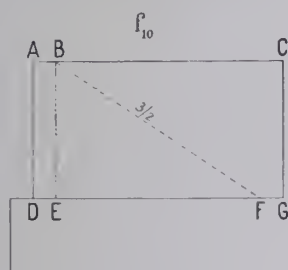
§ 5. — PRÉCAUTIONS CONTRE LE GLISSEMENT

Quand on le peut, on découpe le sol normalement à la résultante des efforts¹⁴ ; on bute le massif contre le rocher ; on dispose des ergots¹⁵, des gradins¹⁶ ; on élargit la culée par rapport à la voûte¹⁷.

§ 6. — CULÉES LONGUES ET HAUTES

COMMENT ON SUPPORTE ÉCONOMIQUEMENT L'ABOUT DU PARAPET

Soient (f_{10}) : BF la trace du quart de cône sur le mur de la culée, EF sa projection horizontale.



En AB, pour que l'extrémité A ne soit pas déchaussée, on ménage un jeu de 0^m30 ou 0^m40 ; de même, en FG, pour garantir le pied du talus.

L'extrémité A ne sert qu'à porter le garde-corps : si la culée est haute, la fondation profonde, on la mettra en porte-à-faux :

- sur des dalles portées par des consoles ;
- sur des voûtains portés par des corbeaux ;

13. — Hofen (IV, p. 41), Marbach (IV, p. 45), Baiersbrunn (IV, p. 48), Inzigkofen (IV, p. 225), Neckarhausen (IV, p. 232), Mehring (III, p. 253), Cassel (III, p. 303).

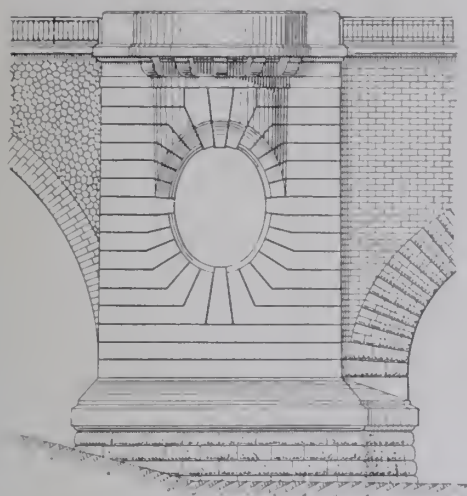
13bis. — Voir APPENDICE, Viaducs.

14. — Lavour (II, p. 135), Antoinette (II, p. 145), Luxembourg (II, p. 67), Amidonniers (I, p. 193).

15. — Marbach (IV, p. 45), Prince-Régent (IV, p. 239), Max-Joseph (IV, p. 242), Gohren (IV, p. 139).

16. — Teinach (III, p. 203), Illerbeuren (IV, p. 159), Moulins-lez-Metz (IV, p. 202).

17. — Neckarhausen (IV, p. 232), Prince-Régent (IV, p. 239).

f_{17} — Pont d'Orzillac ²² — $\frac{1}{4}^{mm}$ 

§ 7. — CULÉES ENTRE ARCHES INÉGALES

Une large culée entre l'ouvrage principal et des arches d'accès n'est point agréable à voir : on l'accidente souvent par des pilastres (Φ_1) ; on y ouvre un œil-de-bœuf (f_{17} , Φ_2).

 Φ_1 — Pont de Marmande ²³ Φ_2 — Pont de Passy ²⁴

CHAPITRE III

MATÉRIAUX. — APPAREIL

Art. 1. — Parement ²⁵. — Suivant l'expression à donner, les faces seront en moellons bruts (MOI) ²⁶, en moellons assisés (MOH, MEH) ²⁶, avec arêtes en moellons d'appareil (MA) ²⁶, en libages (L) ²⁶.

La culée doit être et paraître robuste.

Il convient souvent d'y supprimer la plinthe ²⁵ :

Les culées ne sont pas l'ouvrage : elles l'encadrent ; elles peuvent être brutales ²⁷.

22. — sur la Loire. Ligne du Puy à Niegles-Prades (Projet).

23. — Voir renvoi 37, p. 37.

24. — Ligne Paris-St-Lazare-Invalides (Projet de M. Bonnet, Ingénieur en chef des Ponts et Chaussées et de la C^{ie} de l'Ouest).

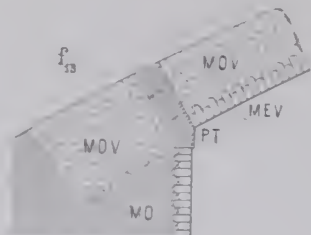
25. — Voir à l'APPENDICE, l'appareil des culées des petits ouvrages, des viaducs.

26. — Pour le sens de ces abréviations, voir Titre I, p. 7.

27. — Luxembourg (II, p. 67).

Art. 2. — Corps de la culée. — Disposition des assises. —

Les voûtes sont en matériaux de choix : on y admet un travail élevé. Mais leurs culées, sauf celles des très grandes, sont en "MO"²⁸, tout au plus en "MOV"²⁸ : on y abaisse le travail.



Sous les retombées des très grandes, on range les moellons par assises courbes, normales à la pression et aux deux parements.

Dans les voûtes en ellipse, les culées commencent aux reins.

Dans les culées des grands arcs surbaissés, le devant, qui travaille peu, reste en moellons ordinaires. On appareille la retombée de la voûte : c'est comme une culée perdue dans la maçonnerie (f_{13}).

Art. 3. — Culées armées. — A des ponts allemands récents²⁹, fondés sur pilotis, on a noyé dans les culées plusieurs cours de rails.

Dans des ponts autrichiens, on a étalé la pression sur le sol par une dalle en béton, armée de rails³⁰.

28. — Voir renvoi 26.

29. — Wengern (III, p. 207), Ziegenhals (III, p. 208), Krappitz (III, p. 265), Gross-Kunzendorf (III, p. 267).

30. — Paigraben (II, p. 165), Schalchgraben (II, p. 169), Krenngraben (III, p. 134), Salcano (III, p. 141).

Au viaduc de Morez (Ligne de Morez à Saint-Claude. — 9 arches en plein cintre de 20^m, 1909-11), nous avons ainsi réparti la pression de 7^t4 à 3^t4 sur l'argile. — de 7^t4 à 5^t8 sur la moraine.

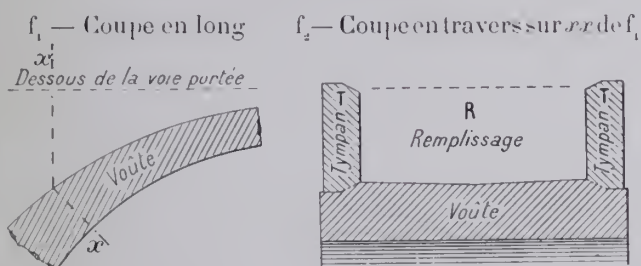
TITRE VI

VOLUME ENTRE LES GRANDES VOÛTES ET LA VOIE PORTÉE

CHAPITRE I

VOLUME PLEIN

Art. 1. — Tympan. — Le volume entre le dessus des grandes voûtes et le dessous de la voie portée est occupé par un remplissage R entre deux murs de tête T, dits tympan¹ (f_1, f_2).



Art. 2. — Murs de tête. Matériaux et appareil. — Les tympan chargent les voûtes et travaillent peu.

Il y faut des matériaux légers², et qui paraissent légers, au besoin peu résis-

tants : ce qui est porté doit être et paraître moins lourd que ce qui porte. Même dans une très grande ville, il n'y faut point de grand appareil.

On y a employé du tuf³, des briques⁴, du béton⁵, soit sur toute l'épaisseur, soit seulement en parement ; on a doublé de béton maigre un mince parement⁶.

C'est à tort qu'on les a faits parfois en meilleurs matériaux que la voûte⁷.

Il peut convenir de les distinguer des voûtes et du couronnement par la couleur (briques⁸), par la taille des matériaux (joints incertains...),...

1. — Pour l'épaisseur des tympan et le remplissage entre eux, pour l'appareil le long des bandeaux, voir APPENDICE, Viaducs.

2. — Les Romains ont très souvent employé dans leurs voûtes pour y réduire les efforts, des ponces, des tufs volcaniques poreux (Colisée, Thermes de Titus et de Caracalla,...) à l'exclusion des pierres à tissu compact. (Ghoisy : *L'Art de bâtir chez les Romains*, p. 96).

3. — Les tympan sont : au pont du Diable (I, p. 116) en tuf lacustre de Perstum pesant 1000^k et s'écrasant à 10° ; au pont de Fium'Alto (I, p. 110), en maçonnerie s'écrasant à 32°.

4. — Putney (III, p. 239) : corps en briques.

5. — Parements en béton moulé aux ponts de : Krenngraben (III, p. 134), Steyrling (III, p. 137), Palmgraben (II, p. 164), Schalchgraben (II, p. 168).

6. — Boucicaut (III, p. 213).

7. — Tympan en pierre et voûtes en briques : Calcio (III, p. 100), Diveria (III, p. 130) ; viaducs italiens, notamment ceux de la ligne en construction de Coni à Vintimille.

Tympan en pierre de taille et voûtes en béton : Coulouvrenière (IV, p. 81),...

8. — Antoinette (II, p. 145), Verdun-sur-le-Doubs (I, p. 165), Orléans (III, p. 255), Amidonniers (I, p. 193).

CHAPITRE II

AU-DESSUS DE QUELLES VOÛTES A-T-ON ÉVIDÉ, ET COMMENT ?

§ 1. — QUAND FAUT-IL, QUAND NE FAUT-IL PAS ÉVIDER ?

Même en matériaux légers, le volume entre l'extrados et le dessous de la voie ne laisse pas de peser lourdement sur les voûtes.

Quand il est grand, — c'est-à-dire au-dessus des grandes voûtes peu surbaissées, — il y a intérêt à l'évider⁹.

On n'évide pas, — ou guère, — au-dessus des pleins cintres de moins de 15^m¹⁰, des arcs peu surbaissés ou des ellipses de moins de 20^m, des arcs très plats de toute portée¹¹.

On n'évide pas non plus de façon apparente un pont bas, qu'on veut massif, robuste.

On évide : § 2. — COMMENT ON ÉVIDE

soit en travers, par des voûtes s'arrêtant aux murs de tête (évidements cachés), ou les traversant (évidements apparents) ;

soit en long, par des voûtes, par des dalles ;

soit à la fois en long et en travers : voûtes sur arcades, voûtes d'arête, dalles sur piliers.

Voici ce qui a été fait au-dessus des voûtes de 40^m et plus :

			Pleins cintres	Ellipses	Arcs			En tout						
					peu surb.	assez surb.	très surb.							
					C	E	A				A	A		
Ponts construits	avant 1881	Pas d'évidements		2	5	5	6	1	»	»	19	42		
		Évidements	en travers	cachés	»	3	2	2	»	7	11		23	
				vus	1	1	1	»	4					
		Évidements	en long	sous voûtes	3	1	1	2	»	7				
				sous dalles	1	2	1	»	»	4				
				ou plate-forme	1	2	1	»	»	4				
	Évidements	dans les 2 sens	cachés	»	»	»	»	1	1	1				
			vus	»	»	»	»	»	»					
			Pas d'évidements		»	2	1	7	14		»	»	24	111
			Évidements	en travers	cachés	»	»	»	1		1	60		
vus	4	5			16	17	17	59						
Évidements	en long	sous voûtes	1	2	»	2	2	7	13					
		sous dalles	»	»	»	1	5	6						
		ou plate-forme	»	»	»	1	5	6						
Évidements	dans les 2 sens	cachés	1	»	»	»	4	5		14				
		vus	»	»	»	2	7	9						

Ainsi, depuis 1881, on a construit 111 ponts à voûtes de 40^m et plus : on en a évidé 87, dont 59 par des voûtes transversales apparentes.

9. — En élégissant, on a abaissé la pression moyenne à la clef, au passage d'un train, de 19° à 17° au pont de Lavaur, de 20° à 18° au pont Antoinette.

10. — APPENDICE ; — Viaducs.

11. — Arcs très surbaissés, de 40^m et plus, à tympans non évidés :

Pont	Tome, p.	Portée	Surbaissém ¹	Pont	Tome, p.	Portée	Surbaissém ¹
Mosca	111-199	15 ^m	1 8.18	de Ziegenhals	111-208	40 ^m	1 9.52
Boucicaud	111-213	40	1 8	de Neuhammer	111-211	52	1 8.7
de Huzenbach	111-206	41.50	1 8.25	de Gross-Kunzendorf	111-267	10	1 9.52
de Malling	1V-175	40	1 8.56	d'Avignon	111-270	40	1 8
Cornélius	1V-180	41	1 12	de Bellows-Falls	111-225	12.67	1 7

CHAPITRE III

ÉVIDEMENTS TRANSVERSAUX CACHÉS

Le mur de tympan n'y est qu'un masque.

On a évidé, on évide ainsi des viaducs à plein cintre¹².

Sur 8 ponts ayant des voûtes de 40^m et plus, à évidements transversaux cachés, un seulement est postérieur à 1881¹³.

C'est un mode d'évidement fort ancien¹⁴.

CHAPITRE IV

ÉVIDEMENTS TRANSVERSAUX APPARENTS

§ 1. — VIADUC D'ÉVIDEMENT A PETITES ARCHES EN PLEIN CINTRE COURANT SUR LE DOS DE LA GRANDE VOÛTE

Art. 1. — Ponts à une seule grande arche.

Voici ce qui a été fait :

Voie portée ¹⁵	Dates	Ponts :	Pays	Pour les voûtes ≥ 40 ^m , voir la Mono- graphie Tome, p.	Grandes voûtes		Évidements				
					Portée 2 a	Surbaiss ^t σ	Portée 2 a'	Rapport $\frac{2 a'}{2 a}$	Piles		
									Épaisseur E'	Hauteur max. sous clef 11'	Rapport $\frac{2 a'}{11'}$
Pleins cintres C ¹											
r ^{te}	1899-1900	Brent	Suisse	1 - 34	44 ^m	»	4 ^m	0.090	1 ^m 00	15 ^m 75	0.25
	1901-03	Le Bachelard	France	»	32	»	4.08	0.127	0.80	10.63	0.38
F ^r	1898-1900	Rébuzo	France	1 - 48	40	»	4.10	0.102	1.10	9.75	0.42
	1904-05	Dössenbach	Autriche	»	32	»	1.5, 2.5, 3	0.092	1.20 et 1.30	8.3	0.36
f ^r	1901-02	Solis	Suisse	1 - 55	42	»	3.50	0.083	1 et 1.20	7.5	0.47
Ellipses surbaissées E ¹											
r ^{te}	1886	Saint-Pierre	France	1 - 120	40	1/3.33	4	0.100	0.90	7	0.57
r ^{te} et F ^r	1909-10	Havrincourt		»	38.70	1/2.42	3.50	0.090	0.80	8.53	0.41
Ellipse surhaussée E ¹ _h											
f ^r	1906-09	Wiesen	Suisse	1 - 235	55	1/1.65	4	0.073	$1 - \frac{1.20}{1.40}$	21	0.19

12. — APPENDICE — Viaducs.

13. — ÉVIDEMENTS TRANSVERSAUX CACHÉS, AU-DESSUS DE VOÛTES ≥ 40^m :

Évidements :	Dates	Ponts :	Monographie Tome, p.	Portée	Surbaissement
en plein cintre	1812-46	Saint-Etienne (Autriche)	II - 55	43 ^m 60	12.471
en arc	1351-1583	Tournon (France)	II - 35	49.20	12.775
	1815-17, 1871-77	Bains de Lucques (Italie)	III - 32	47.835	16.71
	1857-61	Cabin John (États-Unis)	III - 75	67.10	13.84
	1873-75	Mantes (France)	I - 160	40	13.5
	1906-07	Elise (Allemagne) (voûte articulée)	IV - 151	47.50	19.89
annulaires	1868-70	Annibal	I - 112	55	13.92
	1871-72	Diable	I - 116	55	14.06

14. — Au vieux pont d'Orléans, la pile 7 s'était enfoncée en 1758-59 de 49^m. On soulagea les piles 5, 6, 7, 8 en traversant au-dessus d'elles par 3 voûtes la maçonnerie des reins.

Perronet. « Description des Projets et de la Construction des Ponts de Neuilly, de Mantes, d'Orléans et autres... » Paris, Imprimerie royale, MDCCCLXXXIII, Tome 2^e, p. 14, 15, Pl. XXXIII.

En restaurant le pont de Tours (1764-77), Beaudemoulin a trouvé des voûtes intérieures qui s'appuyaient, par un large empattement, sur les reins des grandes arches. (Annales des Ponts et Chaussées, 1839, 2^e semestre, p. 86 à 133.)

15. — Pour le sens des abréviations, voir Préliminaires, p. 3.

Viaduc d'évidement en plein cintre sur le dos d'une grande voûte (*Suite*).

Voie portée ¹⁵	Dates	Ponts :	Pays	Pour les voûtes > 40 ^m , voir la Monographie Tome, p.	Grandes voûtes		Évidements								
					Portée 2 a	Surbaiss ^t τ	Portée 2 a'	Rapport $\frac{2 a'}{2 a}$	Piles						
									Épaisseur E'	Hauteur max. sous clef H'	Rapport $\frac{2 a'}{H'}$				
Arcs peu surbaissés \hat{A}^1															
r ^{te}	1899-1903	Luxembourg	Luxembourg	II	67	84 ^m 65	1 2.73	5 ^m 40	0.063	1 ^m 08	15.6	0.34			
	1906-08	Walnut-Lane	États-Unis		83	70.71	1/3.31	6.10	0.086	1.22	21.5	0.25			
	1908-10	Rocky-River			95	85.34	1 3.46	6.40	0.075	1.22	23.35	0.27			
	F ^r	1908-12	Constantine	Algérie		107	68.76	1 2.76	{ 4.75 r. d., 4.85 r. g. }	0.070	1	13.75	0.35		
1905-07		Le Bachelard	France	II	30	1 2.72	5	0.16	0.90	7.50	0.66				
1882-83		Castelet			130	41.20	1 2.94	4	0.097	0.80	8.10	0.49			
1882-84		Lavaur			135	61.50	1 2.24	4.50	0.073	1.10	11.40	0.39			
1883-84		Antoinette			145	50	1/3.14	4	0.080	0.96	9.50	0.42			
1883-84		Wäldlitobel	Autriche		157	41	1 3.10	2	0.050	1.20	8.50	0.24			
1883-85		Cèret	France	II	160	45	1 2.31	3	0.066	1.50	9.10	0.33			
1889-90		Villefranche de Conflent			»	39.35	1 2.31	4.5 et 5	0.127	1	9.30	0.53			
1896		Grunièret			»	35.50	1 3.27	3	0.084	»	6.19	0.18			
1904-05		Palmgraben			164	49	1 3.93	3	0.061	1.20	10.20	0.30			
1904-05		Schalehgraben	Autriche		168	52	1 3.46	3.20	0.061	1.20	10.20	0.31			
1904-06		Rothweinbach	France	II	171	41	1 2.68	3	0.072	1.20	9.25	0.32			
1907-09	Escot	174			56	1/2.99	{ 4.5 r. g., 4.75 r. d. }	0.084	0.91 0.92	9.25 10	0.46 0.48				
1906-08	Ramounails	186			40.30	1/3.12	{ 3.50 r. d., 4 r. g. }	0.086 0.099	0.70 0.90	9 7.5	0.39 0.53				
1910-12	Cinuskel	189			46.98	1 2.32	4	0.085	1 et 1.2	15	0.27				
f ^r	1911-12	Tuoi	Suisse		194	47.71	1 2.23								
	1910-12	Mela	»		38.96	1 2.41	3.50	0.090	1 et 1.2	11.8	0.29				
Arcs assez surbaissés \hat{A}^1															
r ^{te}	1901	Saint-Chély-du-Tarn	France	III	39	1/5.41		2.25	0.057	0.80	5.74	0.39			
	1908-09	Montanges			62	80.29	1 3.92	5.30	0.066	1.06	20.40	0.26			
	1903-04	La Brague			30	1 6		1.90	0.063	0.60	4.25	0.44			
	1888-89	Gour-Noir			103	62	1 3.73	4.30	0.069	0.95	11.20	0.38			
	1890	Pouch			110	47.85	1 3.68	4.90	0.102	1.10	10.50	0.46			
	1890-91	Freyssinet			112	45	1/4.09	4.50	0.100	1.00	8.50	0.52			
	F ^r	1893-94			Jaremcze	Autriche	III	114	65	1 3.63	3.60	0.055	»	16.80	0.24
		Jamna			118			48	1 4	3.50	0.072	»	19.20	0.34	
Worochta		120	40	1 4	3.50			0.087	»	9	0.39				
Gutach		122	64	1 3.97	4			0.062	1.35	14.38	0.27				
1899-1900	Schwändeholzobel	Allemagne		126	57	1 4	3.50	0.061	1	12.50	0.28				
F ^r		Krenngraben	Autriche	III	134	40	1 4	2.50	0.062	1.20	6.32	0.39			
	1904-05	Steyrling			137	70	1 4.45	3.25	0.046	1.25 à 1.45	10.96	0.30			
		Gratschacher Graben			»	32	1 3.55	3	0.094	1.20	5.5	0.54			
	1904-06	Salcano			141	85	1 3.90	3.4 à 5	0.058	1.35 à 1.5	1.9	0.26			
	1907-09	Langenbrand	Allemagne	III	152	59	1 4	3.90	0.066	1 à 1.35	13.2	0.30			
	1907-09	Lichtensteig			161	42.82	1 3.71	3.50	0.084	1 à 1.25	11.5	0.30			
	1910-11	Krummenau			164	63.26	1 4.57	3.50	0.055	1 à 1.2	10	0.35			
	1904-06	Triège			Suisse	»	35	40	1 3.64	3	0.084	1	8.40	0.35	
f ^r	1909	Malavaux, sur le Rouillon	France	»	35	1/5.22	4	0.113	0.8	7	0.57				

¹⁵ — Pour le sens des abréviations, voir Préliminaires, p. 3.

Viaduc d'évidement en plein cintre sur le dos d'une grande voûte (*Suite*).*Les voûtes articulées sont en italique.*

Voie portée 15	Dates	Ponts :	Pays	Pour les voûtes ≥ 40 ^m , voir la Mono- graphie Tome, p.	Grandes voûtes		Évidements				
					Portée 2 a	Surbaiss. ^t σ	Portée 2 a'	Rapport $\frac{2 a'}{2 a}$	Piles		
									Épaisseur E'	Hauteur max. sous clef 11'	Rapport $\frac{2 a'}{11'}$
Arcs très surbaissés \bar{A}^1											
r ^{te}	1885	Höfen	Allemagne	IV	41 28 ^m	1 10	1 ^m 40	0.05	0 ^m 70	2 ^m 60	0.51
	1899-1900	Grasdorf			129 40.39	1 8.93	1.30, 1.40	0.034	0.60	3.50	0.40
	1903-04	Göhren			139 60.56	1 8.89	2, 2.40	0.016	0.9-1	3.50	0.80
	1903-04	Illerbeuren			159 57.16	1 5.82	2.35	0.041	0.7 à 0.8	8	0.29
aq	1885	Weisenbach	Italie	III - 219	40	1.8					
F ^r	1902-03	Morbegno		IV - 65	70	1/7	4.50	0.064	1.10	8	0.56

Ce qui s'évide le mieux, ce sont les reins d'une arche unique peu surbaissée.
On n'évide pas que les ponts de luxe¹⁶.

Art. 2. — Ponts à plusieurs grandes arches.

Intrados Voie portée	Dates	Ponts :	Pays	Pour les voûtes ≥ 40 ^m , voir la Monogra- phie, Tome, p.	Grandes voûtes		Évidements au-dessus des voûtes				
					Portée $2 a$	Surbaiss ^t σ	Portée $2 a'$	Rapport $\frac{2 a'}{2 a}$	Piles		
									Épaisseur E'	Hauteur max. sous clef $11'$	Rapport $\frac{2 a'}{11'}$
Pleins Cintres C^a											
r^{te}	1845	La Cadène, sur la Truyère	France	»	22 ^m 10	»	3 ^m	0.135	0 ^m 80	5 ^m 74	0.52
	1864-66	Albi, sur le Tarn		»	27.60	»	4	0.144	1.05	7.58	0.52
	1895-97	Le Chambon, sur la Loire		»	28	»	2	0.071	0.80	5.40	0.37
	1899-1901	Avenue du Connecticut,	États-Unis	1 - 67	45.72	»	4.27	0.093	0.91	13.50	0.32
1904-1908	à Washington	»			»	»	»	»	»	»	
F^r	1901-02	Oued Dar-el-Oued	Algérie	»	25	»	2.50	0.10	»	»	»
	1904-07	Le Rozier, sur le Tarn		»	25	»	3	0.120	0.65	7	0.43
	1889-92	Saint-Florent, sur le Cher	France	»	30	»	4.30	0.143	0.80	7.50	0.57
	1890-92	Amélie-les-Bains, sur le Tech		»	26	»	2.62	0.10	0.70	6.60	0.40
f^r	1908	Lantosque, sur la Vesubie	»	»	22	»	2.20	0.10	0.60	6.20	0.35
	1903-05	Gros-Vallon		»	22	»	2.20	0.10	0.60	6.35	0.34
Ellipses E^a											
r^{te}	1874-76	Courcelles-sur-Seine	France	»	33 ^m	1 3.3	2.20	0.067	0.75	4.20	0.52
	1895-97	Verdun-sur-le-Doubs		1 - 165	41	1 4.47	2.32	0.056	0.68	3.70	0.62
	1908-09	Le Creux, sur l'Aunance		»	16.30	1/3.26	1.60	0.10	0.50	4.20	0.38
	1910-13	Saint-Victor		»	15.70	1 3.20	2	0.09	0.50	4.13	0.48
aq	1870-73	Pont-sur-Yonne	États-Unis	1 - 213	40	1/5	1.10 à 1.23	0.029	0.27 à 0.35	5	0.22
F^r	1901-03	Big-Muddy River		1 - 225	42.67	1 4.67	3.96	0.093	0.61	5	0.79

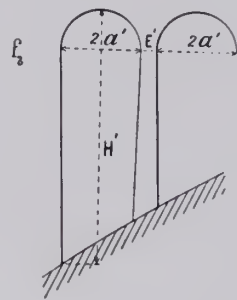
Φ₁ — juillet 1912

15. — Pour le sens des abréviations, voir Préliminaires, p. 3.

16. — On a évidé presque tous les ouvrages de la ligne qui descend de Bevers à Schuls (Engadine) (Φ₁).

Viaduc d'évidement en plein cintre sur le dos de grandes voûtes (*Suite*)*Les voûtes articulées sont en italique.*

Voie portée	Dates	Ponts :	Pays	Pour les voûtes ≥ 40 ^m , voir la Mono- graphie Tome, p.	Grandes voûtes		Évidements					
					Portée 2 a	Surbaiss ^t σ	Portée 2 a'	Rapport $\frac{2 a'}{2 a}$	Piles			
									Épaisseur E'	Hauteur max. sous clef H'	Rapport $\frac{2 a'}{H'}$	
Arcs assez surbaissés \widehat{A}^n												
r^{te} F^r	1892-93	Vals-les-Bains	France	»	20 ^m	1 6.66	1 ^m 408	0.07	0 ^m 45	2 ^m 48	0.56	
	1901-02	Oued Amacin	Algérie	»	27	1 6	1.70	0.063	0.45	»	»	
	1904-06	Canale	Autriche	III-185	40	1 5	2.50	0.061	1.20	5	0.50	
Arcs très surbaissés \widehat{A}^n												
r^{te}	1900-04	Arciat	France	»	31	1 7.12	2.14	0.069	0.68	4	0.53	
	1901-03	Hochberg	»	IV-177	40	1 7.41	1.40	0.035	0.60	2.23	0.62	
	1901-05	Moulins-lez-Metz	»	IV-202	44.70	1 8	1.50	0.033	0.60	4.10	0.36	
	1903-04	Mehring	Allemagne	III-252	46	1 7.45	2	0.043	0.70	4.50	0.44	
		1905		Krappitz	III-265	50	1 8.33	1	0.02	1	3.40	0.29
		1905-06		Schweich	III-268	46	1 7.45	2	0.043	0.70	4	0.50
	1907-08	Trittenheim	»	III-276	46	1 7.45	2	0.043	0.70	4	0.50	
	1908-09	Andrézieux	France	»	36.45	1 7.75	2	0.054	0.70	4.07	0.49	
					33.30	1 8.32	2	0.060	et 1			

**Art. 3. — Portée $2a'$ des voûtes d'évidement (f_2).**

On règle la portée $2a'$ au mieux pour l'aspect, d'après la hauteur H' ¹⁷, un peu d'après l'ouverture des grandes arches $2a$ ¹⁸ : on n'a pas dépassé 5^m40¹⁹.

A Luxembourg, les piles trop hautes ont été coupées par deux chapiteaux²⁰.

Quelquefois, on a fait varier avec la hauteur H' la portée $2a'$ et l'épaisseur E' ²¹, ou, pour ne pas avoir de poussées inégales, seulement l'épaisseur E' ²².

Art. 4. — Comment les voûtes d'évidement s'appuient sur les grandes. — On reçoit les piles des voûtes d'évidement sur les voussoirs des grandes voûtes taillés en crossettes dépassant l'extrados (f_4).



On a quelquefois, fort à tort, soit creusé la grande voûte (f_5), soit découpé un angle rentrant dans une crossette (f_6).

On étudiera avec soin l'appareil des crossettes : il n'y faut ni angles rentrants, ni becs de flûte, ni délits.

17. — A des ponts à pente unique, $2a'$ n'est pas le même de chaque côté (Constantine, II, p. 107; Escot, II, p. 174; Ramounails, II, p. 186).

18. — On a donné, p. 51 à 54, les rapports $\frac{2a'}{H'}$, $\frac{2a'}{2a}$. 19. — Luxembourg (II, p. 67).

20. — II, p. 68*, Pl. 3, f. 22.

21. Salcano (III, p. 141), Göhren (IV, p. 139).

22. — Wiesen (I, p. 235), Gutach (III, p. 122), Schwändeholzdohel (III, p. 126), Steyrling (III, p. 137), Langenbrand (III, p. 152), Lichtensteig (III, p. 161), Krummenau (III, p. 164), Illerbeuren (IV, p. 159).



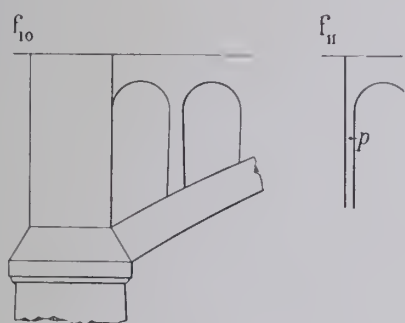
Sur un extrados fuyant, il est difficile d'accrocher les piles (f_7) : on les reçoit plutôt sur le couronnement horizontal d'un mur (f_8)²³, (f_9)²⁴.

On a quelquefois, dans les grandes voûtes en béton, ancré de hautes piles en béton armé²⁵.

Dans la disposition des évidements, il faut un peu de goût : on en a quelquefois manqué (Φ_1 , Φ_2).



Art. 5. — Ce qu'on met sur les piles des ponts à plusieurs arches. — Un pilastre plein (f_{10})²⁶ couronne bien un avant-bee qui, autrement, ne porte rien.



Quelquefois on a, d'une arche à l'autre, continué le viaduc d'évidement²⁷ : dans ce cas, on se gardera d'appuyer une petite pile sur le milieu de la grande.

Art. 6. — Demi-piles le long des culées (p de f_{11}). — On a presque toujours disposé une demi-pile p le long d'un pilastre ou d'une culée.

C'est une recherche inutile. Il y a des demi-piles à Lavour et au Castelet : on les a supprimées à Luxembourg : c'est plus ferme.

§ 2. — VIADUC D'ÉVIDEMENT EN ARC DE CERCLE

On a, quelquefois, évidé par des arcs²⁸.

Le dernier arc, le plus voisin de la clef, ne fait pas toujours bon effet.

S'il y a un pilastre au-dessus des piles, il faut au moins 3 petites voûtes de chaque côté. Deux font mal : une, c'est pis.

23. — Castelet (II, p. 130).

24. — Lavour (II, p. 135).

25. — Walnut-Lane (II, p. 83), Rocky River (II, p. 95).

26. — Connecticut (I, p. 67), Big Muddy River (I, p. 225), Mehring (III, p. 252), Orléans (III, p. 255), Schweich (III, p. 268), Trittenheim (III, p. 276), Neckargartach (IV, p. 186), Maximilien (IV, p. 192), Moulins-lez-Metz (IV, 202).

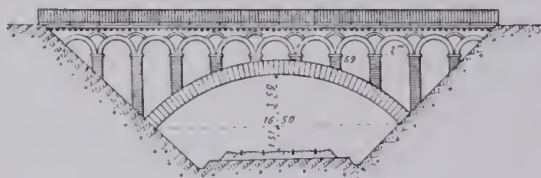
27. — Pont-sur-Yonne (I, p. 213), Verdun-sur-le-Doubs (I, p. 165), Canale (III, p. 185), Amélie-les-Bains, Arciat,....

28. — Passerelle de Boulainvilliers (Ligne de Paris-St-Lazare aux Invalides), Orléans (III, p. 255), Maximilien (IV, p. 192). A Orléans, on a armé les voûtes d'évidement.

§ 3. — VIADUC D'ÉVIDEMENT
PASSANT PAR-DESSUS LA CLEF DES GRANDES VOÛTES

Quelquefois, on a continué le viaduc d'évidement au-dessus de la clef²⁹ (f_{12}) : c'est évidemment plus cher.

f_{12} — Pont de Bressuire (1867-68) — 2^{mm}



Des arches aveugles peuvent dissimuler agréablement la cuvette d'un pont-canal (Φ_4), et fort bien décorer un tympan^{30bis}.

Φ_4 — Pont-canal sur l'Orb, à Béziers (1856-57)^{30-a}



§ 4. — OUVRAGES A PLUSIEURS ARCHES :
OUVERTURE UNIQUE AU-DESSUS DES PILES

A quelques ponts, on a traversé le tympan au-dessus des piles par une ouverture unique, pour augmenter le débouché, quelquefois pour décorer l'ouvrage.

Elle est :

*en plein cintre*³¹ (Φ_5) ;

*en ogive*³² (Φ_6) ;

en ellipse : au pont des Amidonniers³³, pour l'aspect et le débouché ;

Φ_5 — Pont Fabricius, à Rome — (- 54)^{30-b}



Φ_6 — Pont de Montauban — (XIV^e)^{30-c}



ronde, et simple motif de décoration^{34, 35} : ce trou rond est de médiocre effet s'il est petit et encadré d'un maigre bandeau³⁵ ; au vieux pont de Toulouse (Φ_7),

29. — Big Muddy (1, p. 225). 30. — Dates des photographies : a - avril 1908 ; b - août 1908 ; c - juin 1902.
30bis. — Façades d'églises romanes.

31. — Ponts Fabricius et Emilius à Rome, — Pont d'Avignon, pont Saint-Esprit, ...

32. — Pont de la jeune Fille (XII^e siècle, Perse). Annales des Ponts et Chaussées, juillet, 1883 « Construction des Ponts en Perse ». M. Dieulafoy. Pl. 19.

33. — 1, p. 193.

34. — Pont d'Orléans (Ligne de Vierzon).

35. — Pont de l'Île Verte sur l'Isère, près de Grenoble (1897-99) : œil de bœuf avec cadre appareillé.

L'« œil de pont » fait fort bien et augmente le débouché ;

Φ_7 — Vieux Pont de Toulouse (1542-1632) ^{36.a}



en anneau elliptique à grand axe vertical ^{36.bis} : ce n'est point à imiter ;

en arc surbaissé : quand on élégit entre deux voûtes par un arc unique, il est

bon de ménager

un élément verti-

cal $AB(f_{13})$ ^{37,38} ; l'as-

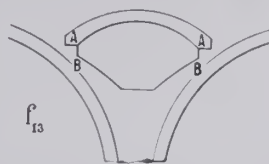
pect est peu agré-

able quand l'arc

retombe sur l'extrados ^{39,40} : à des ponts

bas, cet évidement fait bien ⁴¹, moins bien

au-dessus de hautes piles ³⁷.



36. — Date des photographies : a - septembre 1903 ; b - août 1907.

36^{bis}. — Ponts des Échavannes à Chalon-sur-Saône, 1781-90, (Φ_8) (Gauthey), de Garching (IV, p. 95).

37. — Viaduc de Morez, 1909-11 (Ligne de Morez à Saint-Claude), - pleins cintres de 20°, arcs d'évidement de 8°.

38. — Viaduc de Fontpédrouse, pleins cintres de 17°, arcs d'évidement de 5°80 (Voir Titre XI).

39. — Pont de Plessis-lez-Tours (Ligne de Tours à Vendôme) (1855-57), anses de panier de 24°, arcs d'évidement de 7°.

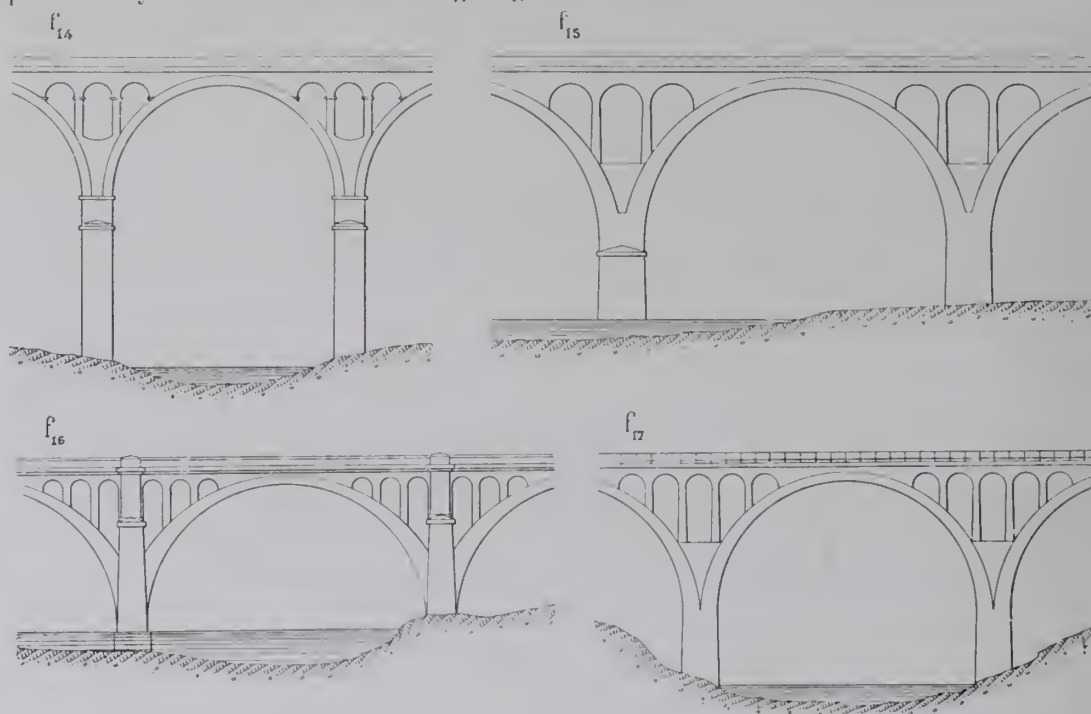
40. — Les deux viaducs de Saint-Chamas (Φ_7) et de la Cadière (Ligne d'Avignon à Marseille, 1847) ont été ainsi évidés : on a fendu un viaduc en plein cintre par le plan vertical de son axe et fait avancer l'une des moitiés, par rapport à l'autre, de la demi-ouverture. — C'est cher et laid. — Fort heureusement, ces ouvrages saugrenus n'ont pas été imités.

41. — Amidonniers (I, p. 193).

§ 5. — *CE QU'IL NE FAUT PAS FAIRE*

On ne réussit guère à éviter agréablement :

les ponts en plein cintre à plusieurs grandes arches : plus ils sont hauts, plus mal y font les évidements (f_{14} à f_{17})^{41 bis}.



ni les arcs très surbaissés :

ni les ponts biais : droites ou biaises, les voûtes d'évidement y font très mal, et il est malaisé de les accrocher sur les grandes.

Il ne faut pas que les voûtes d'évidement ou leurs piles retombent sur un extrados trop fuyant : c'est laid et les piles s'y accrochent mal.

Φ_{10} — Pont de la Goule-Noire (1871)⁴³



Il n'est pas toujours bon de prolonger sur la culée un viaduc d'évidement ; il conviendra souvent de le faire buter contre des culées pleines.

Il n'est point facile de réussir un évidement unique au-dessus d'une pile : on en a fait de fort laids.

On n'acceptera pas volontiers un arc unique de part et d'autre d'une grande voûte⁴² ; encore moins un arc soutenant la culée par la voûte (Φ_{10}).

41 bis. — Silhouettes de 4 ponts existants.

42. — Berdoulet (II, p. 128). Passage supérieur de Camperiès (ligne de Quillan à Rivesaltes).

43. — Route de Villars-de-Lans aux Baraques (Isère) — Date de la photographie : juillet 1908.

§ 6. — *FORME DES GRANDES VOÛTES*
SOUS DES ARCHES D'ÉVIDEMENT TRANSVERSALES

Les appuis des évidements transversaux pressent sur une tranche de voûte parallèle aux génératrices, et appellent vers l'extrados la courbe de pression.

Il peut convenir de cambrer l'intrados et l'extrados pour bien l'encadrer et répartir au mieux les efforts, — surtout si l'on évide par une voûte unique qui concentre les charges ⁴⁴.

CHAPITRE V

ÉVIDEMENTS LONGITUDINAUX

Art. 4. — Avec voûtes ⁴⁵. — On trouvera à l'APPENDICE ce qui concerne les voûtes d'évidement longitudinales des viaducs.

On les a adoptées plutôt sur les voûtes moyennes ^{46, 47} que sur les très grandes : elles ont moins d'appareil, moins de parement.

Sur 153 ponts à voûtes de 40^m et plus, 12 seulement sont ainsi évidés ⁴⁸.

Sur des arches de grande montée, on a posé plusieurs étages de voûtes ⁴⁹.

Pour qu'elles pèsent moins, on peut faire en briques voûtes et cloisons.

Elles sont en plein cintre ⁴⁸, en arc ⁴⁸, mieux, en ogive ^{48, 50}, en ellipse surhaussée, pour moins pousser les tympans.

Toutes poussent les tympans, d'autant plus que plus grandes, plus surbaissées.

44. — Au viaduc de Nérard (Ligne de Saint-Germain-des-Fossés à Rouanne), des arceaux ont repoussé à l'intérieur, de 0^m02 environ, leurs appuis sur les grandes voûtes.

Croizette-Desnoyers, *Construction des Ponts*, Tome II, p. 84.

45. — Il y a des évidements longitudinaux au pont Rouge (milieu du XI^e siècle), au pont de la Jeune Elle (milieu du XII^e siècle). Loc. cit. renvoi 32, p. 26, Pl. 18, fig. 3 ; p. 38, Pl. 19, fig. 3.

46. — C'est le mode d'évidement ordinaire des ouvrages de Morandière et de ses élèves : Ponts de Chalonnès, de Nantes (ellipses de 30^m) ; viaducs de Port-Launay (22^m), de Pompadour (25^m), du Blanc (20^m),.....

47. — Voir APPENDICE, Viaducs.

48. — VOUTES D'ÉVIDEMENT LONGITUDINALES AU-DESSUS DE VOUTES > 40^m :

Les voûtes articulées sont en italique.

	Dates	Ponts	Voir Monographie Tome, p.	Grandes voûtes		Evidements		Épaisseur des murs	
				Portée	Surbaiss ^e	Nombre	Portée	de tête	inter- médiaire
en plein cintre	1840-41	Nydeck (<i>Suisse</i>).	II-51	15 ^m 00	1 2,51	3	"	"	"
	1855-56	Nogent-sur-Marne	I-79	50	"	5 (1 ét ^e)	0 ^m 80, 0 ^m 45, 1 ^m 20	0 ^m 40	0 ^m 60
	1860-61	St-Sauveur	I-27	12	"	2	"	"	"
	1860-73	Collonges	I-31	10	"	1	"	1,50	"
	1881-82	Oloron	I-45	10	"	3-2	1,50-1,65	"	0,40
	1882	Teinach (<i>Allemagne</i>)	III-203	33 (retombées)	1 10	3	1	0,80	0,50
	1895-96	Coulouvrenière (<i>Suisse</i>).	IV-81	10	1 7,11	9 (3 et ^{es})	1,40	1,25	0,45
en arc	1854-55	Alma (<i>France</i>).	I-153	43	1 5	7	2,12 à 2,95	1,00	0,35
	1896-97	Bellefield (<i>Etats-Unis</i>).	III-19	15,72	1 1 10	7	2,21 et 2,59	1,68	0,69
	1901-03	Edouard VII (<i>Angleterre</i>)	I-182	10,537	1 5,13	11	"	"	"
	1903-05	Plaueu (<i>Allemagne</i>).	III-52	90	1 5	6	1 de 1,50 2 de 1,80	2,20	0,40
en ogive	1833-31	Chester (<i>Angleterre</i>).	III-29	60,950	1 4,76	4 2 étages	"	"	"

49. — Nogent-sur-Marne (I, p. 80) : 4 étages superposés.

50. — Luxembourg (II, p. 68^{es}, 1^e), au-dessus des voûtes de 21^m60.

On les a, quelquefois, tenues avec des tirants de métal. Ils ne sont pas à conseiller : ils ne se dilatent ni ne se contractent de ce qu'il faudrait. Si on en met, il faut les bien noyer dans la maçonnerie, pour qu'ils en aient la température.

Il convient d'aérer par des soupiraux, des jours, les évidements cachés, — les maçonneries se conservent mal dans l'air humide, — et de les visiter. On ménage à cet effet, dans les trottoirs ou l'entrevoie, des regards (trous d'homme) permettant d'y descendre ; on ouvre des passages dans les pieds-droits.

Art. 2. — Dalles sur murs longitudinaux. — Presque tous les ponts anglais sont ainsi évidés ⁵¹.

Il n'y a pas de poussée sur les tympans.

Art. 3. — Plate-forme en béton ou métallique sur murs longitudinaux. — On a ainsi évidé quelques ponts allemands ⁵².

Art. 4. — Répartition des efforts dans les grandes voûtes sous évidements longitudinaux. — Entre les pieds-droits des voûtes longitudinales ou des dalles, les grandes voûtes ne portent rien : les charges y sont mal réparties ⁵³.

51. ÉVIDEMENTS LONGITUDINAUX SOUS DALLES AU-DESSUS DE VOÛTES > 40^m :

Dates	Ponts :	Pour les voûtes > 40 ^m voir Mono-graphie, Tome , p.	Grandes voûtes		Évidements		Épaisseur des murs	
			Portée	Surbaiss-ment	Nombre	Portée	de tête	intermé-diaires
1821-31	Londres	1-117	16 ^m 33	1 4.02	8	"	"	"
1826-27	Gloucester	1-107	15.72	1 1.29	5	"	1 ^m 07	0 ^m 61
1836-38	Victoria	11-201	48.77	1 2.22	4	"	"	"
1846-48	Ballochmyle	1-41	55.168	"	5	0 ^m 91	0.76	0.61
1882-83	Putney	111-239	43.891	1 7.46	8	1.06 et 1.07	"	0.57
1891-92	Wheeling (Etats-Unis)	111-47	48.163	1 5.612	9	0.86 et 0.89	0.91	0.61

52. ÉVIDEMENTS LONGITUDINAUX SOUS PLATE-FORME :

Les voûtes articulées sont en italiques.

Plate-forme	Dates	Ponts :	Voir Mono-graphie, Tome , p.	Grandes voûtes		Évidements		Épaisseur des murs	
				Portée	Surbaiss-ment	Nombre	Portée	de tête	intermé-diaires
en béton	1886-87	<i>Marbach</i>	IV-45	32 ^m	1 10.32	3	1 ^m 00	0 ^m 80	0 ^m 50
	1889	<i>Baersbrunn</i>	IV-48	33	1 10	3	1.07	0.80	0.50
	1893	<i>Munderkingen</i>	IV-55	50	1 10	1 (4 étages)	0.90	1.00	0.60
				entre totales					
métal-lique	1904	Wengern	111-207	59	1 9.10	2	1.99	0.60	0.50

53. — Viaduc à deux étages du Point du Jour à Paris : dans la région centrale de l'étage inférieur qui porte le viaduc de Ceinture, on a augmenté l'épaisseur des voûtes.

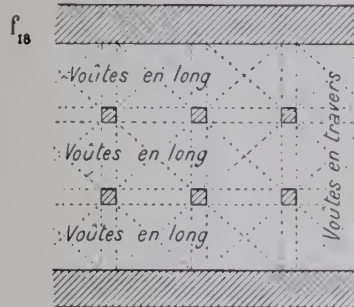
CHAPITRE VI

EVIDEMENTS DANS LES DEUX SENS

Traversons par des évidements transversaux des évidements longitudinaux. On n'aura plus que des voûtes sur arcades ⁵⁴, des voûtes d'arête ⁵⁵ (f_{15}) ou une plate-forme sur des piliers ⁵⁶. On ne peut pas éléger plus : on fera ainsi quand il faut réduire le poids sur l'arche, ou le poids total sur les fondations.

Toute la charge est concentrée sous les piliers.

Sur 153 ponts ayant des voûtes de 40^m et plus, on en a ainsi évidé 15 : 7 à évidements cachés, 8 à évidements apparents ^{55, 56}.



54. — Pont des Andelys, sur la Seine (1872-73). Ellipses de 34^m à 1 3.86, 2 voûtes longitudinales de 1^m35 ; murs de tête de 1^m27 et intermédiaire de 1^m, traverses, au-dessous des naissances, par 5 voûtes de 2^m10, sur piles de 0^m70.

Pont du Saulnier (III, p. 40).

55, 56. EVIDEMENTS DANS LES DEUX SENS AU-DESSUS DE VOÛTES $\geq 40^m$

Les voûtes articulées sont en italique.

Voûtes ou plate forme et piliers en :	Dates	Ponts : <i>Tous sont sous route</i>	Voir Mono- graphie Tome, p.	Grandes voûtes		Portée des évidem ^{ts}		Épaisseur			
				Portée	Surbais- sement	en long	en travers	de la plate- forme	des piliers en long	en travers	
1 ^{re} Évidements cachés											
Maçonnerie	1873-74	Claix * (France)	III-36	52 ^m	1 6.46	1 ^m 50	1 ^m 50	»	0 ^m 80	0 ^m 80	
Béton	1900-01	<i>Prince Régent</i>	IV	239 63	entre routes	1 9.69	1.48	»	0.25	0.52*	0.52*
	1901-02	<i>Max-Joseph</i>		1 10		2.53 à 3 ^m	2.20	0.40	0.90	0.70	
	1902-03	<i>Reichenbach</i>		1 10		»	1.00	0.25	»	0.50	
	1904-05	<i>Wittelsbach</i>		1 10		1.00	1.50	0.25	0.50	0.50	
Béton armé	1905-08	<i>Mannheim</i>	206	58.5	1 10.6	»	»	»	»	»	
	1908-09	Edmondson-Avenue, à Baltimore (Etats-Unis)	1-206	12.367	1 3.17	2.44	2.01	»	0.46	0.46	
2 ^{re} Évidements apparents											
Maçonnerie	1903-05	<i>Maximilien</i>	IV	192 44	entre routes	1 8.98	2.10 à 2.65	1.70	0.40	0.90	0.80
Béton	1895	<i>Inzigkofen</i>		225 13		1 9.81	1.15 et 1.20	0.68	0.30	0.60	0.70
	1899-1900	<i>Neckarhausen</i>		232 50		1 11	1.07, 1.20	0.73	0.32	0.52	0.60
	1903-05	<i>Neckargartach</i>		186 40		1 9.11	»	1.30	0.35	0.60	0.60
Béton armé	1904-05	<i>Wallstrasse</i>	113 57	1 9.83	2.55	1.26 et 1.36	0.46	0.3, 0.45	0.3, 0.5		
	1908-11	Seythenex (France)	III-177	11.19	1 1.10	2.22 (2 év ^{ts})	2.40	0.12	0.25	0.20	
	1909-11	Longuich	III-279	46	1 7.16	2.30	1.15	0.20	0.40	0.40	
	1911-12	<i>Gräveneck</i>	IV-213	18.125	1 6.25	2.35	1.29	0.15	0.25, 0.3	0.25	

* Tirants entre tympans.

** Piliers en maçonnerie.

CHAPITRE VII

EMPLOI DU BÉTON ARMÉ ⁵⁷

Il est simple et pratique de placer la chaussée sur un hourdis en béton armé, porté par des murs ⁵⁸ ou des piliers apparents ou cachés ⁵⁷.

Le hourdis est léger, ne pousse pas les murs de tympans, se prête bien aux encorbellements.

On y ménage facilement des joints de dilatation, utiles sur les grandes voûtes plates, nécessaires sur les voûtes articulées.

Quand on emploie le béton armé, il faut adopter des plates-bandes ⁵⁹, et renoncer à rappeler des voûtes ⁵⁸.

Φ_{11} — Passage supérieur
de la gare de Port-de-Bouc — avril 1914



57. — Voir renvoi 56.

58. — Guggersbach III, p. 59.

59. — Sur la ligne de Miramas à l'Estaque, nous avons construit deux passages supérieurs de 25°60 (Φ_{11}) et 36°30 (ares en béton non armé à 3 articulations en pierre, tympans et tablier en béton armé). (Voir tableau, p. 25 - A).

TITRE VII

COMMENT ON RÉDUIT LA LARGEUR DES VOÛTES ENTRE TÊTES

UN SEUL ANNEAU AVEC TROTTOIRS EN ENCORBELLEMENT PLANCHER SUR DEUX ANNEAUX MINCES

CHAPITRE I

POUR ÉPUISER LA RÉSISTANCE DES VOÛTES, IL FAUT EN RÉDUIRE LA LARGEUR

§ 1. — *DANS UN GRAND PONT EN PIERRE, AVEC LES DISPOSITIONS HABITUELLES, LES MATÉRIAUX NE TRAVAILLENT GUÈRE QU'À SE PORTER EUX-MÊMES, ET ILS NE TRAVAILLENT PAS ASSEZ*

Art. 1. — Conditions à réaliser pour réduire au minimum le cube des matériaux d'un grand pont en pierre.

Un pont est uniquement fait pour les surcharges mobiles, — véhicules et piétons, — qui passeront dessus. Il ne travaille utilement que du fait de ces surcharges. Il faut donc que le travail de ses matériaux soit produit surtout par elles, et non par le poids mort.

Il faut, ensuite, qu'en chaque point ce travail total soit le maximum que permettent la résistance des pierres à l'écrasement, leur préparation (c'est-à-dire la taille des lits et joints), le mortier employé (chaux ou ciment).

Or, dans les grands ponts en pierre, on ne peut remplir ni l'une ni l'autre de ces deux conditions.

Art. 2. — Les charges roulantes comptent peu dans le travail total des maçonneries d'un grand ouvrage en pierre. — Dans l'effort total qu'on demande à la maçonnerie, ces charges, *en vue desquelles, encore une fois, le pont est uniquement fait*, comptent très peu¹.

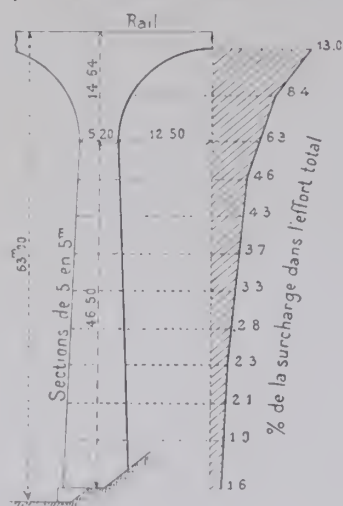
1. — Voici, pour divers ouvrages, leur part dans le travail total des maçonneries :

Portée	Surlai- sement	PART ° ° DE LA SURCHARGE ROULANTE* DANS L'EFFORT TOTAL					
		PONTS-ROUTE			PONTS DE CHEMIN DE FER		
		0 ^m 35 à 0 ^m 45 d'épaisseur au-dessus de la clef. Surcharge roulante de 100 k. par mq.			0 ^m 95 à 1 ^m d'épaisseur sur la clef. Surcharge roulante de 1.000 à 1.100 k. par mètre carré.		
		à la clef	au plan horizontal des naissances	sur le sol de fondation (sous une pile)	à la clef	au plan horizontal des naissances	sur le sol de fondation (sous une pile)
Viaducs en plein cintre	5 ^m	12	14 ° °	10 ° °	23 ° °	17 ° °	9 ° °
	20 ^m	12	8	4	16	8	3
	25 ^m	12	6	3	13	6	1,6
Ponts en ellipse.....	20 ^m	14	9,5	4,5	21	12	5,3
	36 ^m	13,6	6	3,4	13	7,5	4,6
	41 ^m	14,5	7	5	14,5	11	8
	46 ^m	14,2	6	4	14	11	8
Ponts en arc.....	16 ^m 8	16	9	8	17	13	8
	31 ^m	17	9	8	16	14	9
	40 ^m	18	7	5	13	10	7
	61 ^m 5	12,24	»	»	12	»	1,8

* Dans tous ces ouvrages, on n'a pas appliqué les mêmes règles pour la détermination des épaisseurs ; les profondeurs de fondation et les densités des matériaux sont fort inégales. Ils ne sont pas rigoureusement comparables

Leur part ° dans le travail total est sensiblement moindre dans un pont-route que dans un pont de chemin de fer.

f_1 - Viaduc de la Gruize² - 1^{mm}



La part d'une même surcharge est d'autant plus faible qu'il y a plus de maçonnerie intéressée : dans un ouvrage, elle va donc en diminuant de la clef aux fondations, à mesure qu'on s'abaisse sous la plate-forme (f_1).

Pour une même portée, elle est plus grande dans une voûte plate que dans un plein cintre qui a plus de maçonnerie pour une même projection horizontale.

Pour deux ouvrages semblables, elle diminue avec la portée.

Dans tous les cas, elle compte très peu dans le travail total, c'est-à-dire que dans un grand ouvrage en pierre, les voûtes, les piles, ne travaillent guère qu'à se porter elles-mêmes, et les maçonneries en sont d'autant plus mal utilisées que la portée et la hauteur sont plus grandes.

§ 2. — AVEC LES DISPOSITIONS USUELLES, ON NE PEUT PAS IMPOSER AUX GRANDES VOÛTES TOUT L'EFFORT QUE ELLES PEUVENT SUPPORTER. — IL FAUT RÉDUIRE LEUR LARGEUR

En réduisant les épaisseurs, on n'augmente pas à son gré les pressions dans les voûtes³.

Le travail n'y dépasse 40^k que dans les très grandes voûtes⁴ : il est de 69^k à Plauen (arc de 90^m au 1/5), dans les conditions les plus défavorables de surcharge et de température⁵.

Ainsi donc, avec les épaisseurs pratiques, et sauf les cas de portée et surbaissément exceptionnels, on ne peut pas faire travailler une bonne voûte aux 70^k, 80^k qu'elle peut supporter⁶.

Pour y arriver, il faut la charger, c'est-à-dire en réduire la largeur :

soit en faisant déborder les trottoirs sur une voûte unique de largeur réduite ;
soit en plaçant la voie sur un plancher porté par deux minces anneaux.

2. — Ligne de Marvejols à Neussargues.

3. — Tome III, p. 341.

4. — 50^k à Montanges (arc de 80^m29 au 1/4) (III, p. 62) ; 51^k à Salcano (arc de 85^m à 1/3,9) (III, p. 141) ; 56^k à Morbegno (arc de 70^m à 1/7) (IV, p. 65) ; 83^k dans un plein cintre de 157^m (M. Résal, *Ponts en maçonnerie*, Tome I, p. 224).

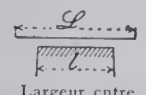
5. — III, p. 54.

6. — Titre I, p. 22, Art. 3.

CHAPITRE II

UN SEUL ANNEAU AVEC TROTTOIRS EN ENCORBELLEMENT

§ 1. — CE QUI A ÉTÉ FAIT SUR LES VOÛTES DE 40^m ET PLUS

Types d'encorbellement	Dates	Ponts ⁷	Voir Monogra- phie Tome, ... p.			Economie de largeur $L - l$	Encorbel- lement de chaque côté $\frac{L - l}{2}$	Parapets en :	
				parapets L	tympan l				
Ponts-route									
Plinthe en saillie	1895	Inzigkofen	IV, 225	3 ^m 80	3 ^m 60	0 ^m 20	0 ^m 10	Métal	
	1903-05	Maximilien	IV, 192	22.00	21.80	0.20	0.10	Pierre de taille ajourée	
Plinthe sur sous-plinthe	1886	Elyria (2 sous-plinthes	III, 46	7.925	6.096	1.829	0.914	Métal	
	1903-04	Mehring	III, 252	6.50	6.30	0.20	0.10		
	1905-06	Schweich	III, 268	7.00	6.60	0.40	0.20		
	1907-08	Trittenheim	III, 276	6.50	6.10	0.40	0.20		
Corbeaux	en pierre de taille	1860-61	St-Sauveur	I, 27	6.20	4.90	1.30	0.65	Métal
		1882	Teinach	III, 203	6.20	5.60	0.60	0.30	
		1885	Hofen	IV, 41	3.90	3.40	0.50	0.25	
		1886-87	Marbach	IV, 45	6.20	5.60	0.60	0.30	
		1889	Baiersbronn	IV, 48	6.60	5.81	0.79	0.395	
		1889	Hutzenbach	III, 206	3.80	3.00	0.80	0.40	Pierre de taille ajourée Métal
		1900-01	Prince-Régent	IV, 239	17.20	17.00	0.20	0.10	
		1902-01	Londres	I, 147	19.82	17.07	2.75	1.375	
		1903-05	Plauen	III, 52	17.00	16.00	1.00	0.50	
		1903-05	Neckargartach	IV, 186	10.80	10.40	0.40	0.20	
ou	1906-07	Elise	IV, 151	8.90	8.70	0.20	0.10	Pierre de taille ajourée	
	1908-09	Montanges	III, 62	6.20	5.45	0.75	0.375	Métal	
Consoles	en béton	1893	Munderkingen	IV, 55	8.00	7.40	0.60	0.30	Métal
		1899-1900	Brent	I, 31	8.20	7.25	0.95	0.475	
		1899-1901	Malling	IV, 175	6.00	5.72	0.28	0.14	
		1899-1908	Connecticut	I, 67	15.545	"	"	"	
		1899-1900	Neckarhausen	IV, 232	5.50	4.80	0.70	0.35	
en béton armé	1901-05	Wallstrasse	IV, 143	10.00	8.80	1.20	0.60	Béton armé	
	"	Gross-Kunzendorf	III, 267	8.30	7.20	1.10	0.55		
	1906	Guggersbach	III, 59	5.00	3.90	1.10	0.55		
	1907	Schwusen	III, 213	5.00	4.60	0.40	0.20		
	1908	Seythenex	III, 177	3.80	2.80	1.00	0.50		
	1909-11	Longuich	III, 279	4.60	4.10	0.50	0.25		
	1911-12	Gräveneck	IV, 213	5.70	5.00	0.70	0.35		
Plate-forme en métal posée sur les tympan	1904	Wengern	III, 207	7.00	5.50	1.50	0.75	Métal	
Ponts sous chemin de fer									
Plinthe sur sous-plinthe	1890	Pouch	III, 140	8.90	8.30	0.60	0.30	Métal	
	1890-91	Freyssinet	III, 142	8.25	7.65	0.60	0.30		
Modillons	1877-78	Calcio	III, 100	8.00	7.50	0.50	0.25	Métal	
Corbeaux	en pierre de taille	1871-72	Signac	I, 131	4.50	4.20	0.30	0.15	Métal
		1899-1900	Gutach	III, 122	5.00	4.20	0.80	0.40	
		1899-1900	Schwändeholzdobel	III, 126	5.20	4.10	0.80	0.40	
		1901-02	Solis	I, 55	4.00	3.70	0.30	0.15	
		1901-05	Schalchgraben	II, 468	5.00	4.50	0.50	0.25	
		1904-05	Steyrling	III, 137	4.75	4.50	0.25	0.125	
		1907-08	Escot	II, 174	"	3.87	"	"	
		1907-09	Langenbrand	III, 152	4.70	4.20	0.50	0.25	
ou	1903-01	Illerbeuren	IV, 159	4.60	4.00	0.60	0.30	Métal	
	1906	Kempten ^{Pont à 4 voies}	IV, 115	16.75	16.00	0.75	0.375		
	1907-08	Garching	IV, 95	8.25	7.50	0.75	0.375		
	1907-09	Wiesen	IV, 95	4.00	3.80	0.20	0.10		
	1907-09	Wiesen	I, 235	4.00	3.70	0.30	0.15		
en métal	1905-06	Verdon	I, 133	5.58	4.85	0.73	1 passerelle en encorbel- le de 0.855	Métal	
Plate-forme en métal posée sur les tympan	1901-02	Chemnitz	III, 129	"	2.70	"	"	Métal	

7. — Voir aussi les ponts en béton un peu armé de Spokane, III, p. 293, Boberullersdorf, III, p. 298.

§ 2. — QUELQUES TYPES D'ENCORBELLEMENTS

Jusqu'ici, on a pratiqué les encorbellements surtout pour élargir les anciens ponts ⁸.

Ils sont fort à conseiller dans les ponts neufs pour supporter les trottoirs ⁹ où ne passent que des piétons.

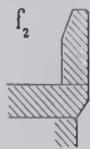
On gagne beaucoup et on couronne agréablement un pont par de grands corbeaux en pierre de taille portant des dalles ¹⁰, des voûtes en briques ¹¹ (Φ_1).

Φ_1 — Hôtel d'Assezat à Toulouse (XVI^e siècle) — octobre 1911



Le béton armé, hourdis et grandes consoles, est là très spécialement indiqué ^{12, 13}.

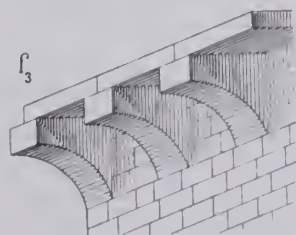
Sauf dans les ponts de ville, où ont paru parfois s'imposer des parapets en pierre, on ne met en encorbellement que des garde-corps en métal, plus légers, plus minces. Ils gagnent déjà 30 à 35^m sur la largeur du pont ¹⁴.



8. — Pont de Jurançon sur le Gave de Pau (Φ_4 , p. 109),...

9. — A un pont d'Audoubert, le parapet s'appuie sur une corniche en surplomb; il est, pour moins encombrer, taillé en biseau (f_2) (Choisy, *Histoire de l'Architecture*, Tome II, p. 132).

10. — Pont de Londres, I, p. 150, 151; — Arènes d'Arles (f_3) (Choisy, *Art de bâtir chez les Romains*, Pl. XVI, fig. 3); — Murs latéraux des églises romanes d'Auvergne,...



11. — Pont de Cazères sur la Garonne (Croizettes-Desnoyers, *Construction des Ponts*, Tome II, p. 132).

12. — Au viaduc de Saint-Florent (Ligne de Saint-Florent à Issoudun), on a posé une voie de chemin de fer départemental à côté des deux voies normales, en mettant les parapets en porte-à-faux de 1^m38, sur des consoles en béton armé ancrées dans les tympans (1907).

Pour pouvoir installer une nouvelle voie sur le pont sur l'Isle, en gare de Coutras, on a mis le garde-corps en encorbellement de 2^m25, sur consoles en béton armé, et placé le rail extérieur à 10^m en arrière du tympan (1908).

13. — Pont de Corbeil, (*Annales des Ponts et Chaussées*, 1907, IV, p. 89, - M. Lorient).

14. — APPENDICE, - Viaducs.

Il ne faut pas avoir peur des encorbellements : il y en a de célèbres exemples ¹⁵.

§ 3. — RÉDUCTION DE LARGEUR POUR LES VOÛTES SOUS RAILS

On a réduit la largeur des grandes voûtes :

sous une voie normale : à 3^m80 ^{16, 17} au lieu de 4^m50 ;

sous deux voies normales : à 7^m50 ¹⁸ au lieu de 8^m ;

sous une voie étroite : à 3^m70 ¹⁹ au lieu de 4^m.

Au pont de Fontpédrouse ²⁰, on a obtenu la largeur de 4^m14 en plaçant une dalle en béton armé sur des voûtes larges, au sommet, de 2^m50 seulement.

Plus l'ouvrage est haut, plus on gagne de cube ²¹.

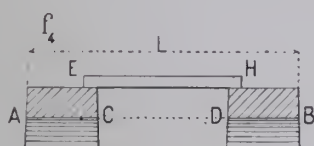
CHAPITRE III

VOIE LARGE SUR DEUX ANNEAUX MINCES PORTANT UN PLANCHER

§ 1. — DESCRIPTION SOMMAIRE

Art. 1. — Principe du système. — Soit à établir un ouvrage d'une largeur L (f_1).

Au lieu d'une voûte continue AB, construisons deux ouvrages indépendants AC, DB, et jetons sur le vide CD, un plancher EH en béton armé, en métal ^{22, 23}.



Art. 2. — Son économie. — Nous réalisons ainsi les deux conditions pour réduire au minimum le cube des matériaux de l'ouvrage (Chap. I, - Art. 1),

conditions irréalisables avec la voûte pleine AB :

on augmente très sensiblement la part % de la surcharge dans le travail total ;

en concentrant les charges sur les voûtes de largeur réduite AC, BD, on y augmente, à volonté, le travail par unité.

Une charge au milieu est portée, non par un anneau de voûte de grande ouverture, mais par un plancher léger de petite portée.

Φ_2 — octobre 1908



15. — Au Vieux Palais de Florence (Φ_2), sur les corbeaux du couronnement, s'élève une tour dont le couronnement est aussi sur corbeaux.

16. — Garching (IV, p. 95).

17. — Le pont de Chemnitz (III, p. 129) aurait 2^m70 entre têtes pour une seule voie normale.

18. — Calcio (III, p. 100). Kempton (IV, p. 115).

19. — Solis (I, p. 55), Wiesen (I, p. 235).

20. — Voir plus loin, Titre XI.

21. — APPENDICE, - Viaducs,

22. — Cela revient, au fond, à traiter un pont comme une maison. Pour une maison, on construit d'abord les gros murs : on les fonde avec soin, on y met les matériaux chers. On y ménage les fenêtres, les portes : ce sont les deux ponts jumeaux avec leurs grandes voûtes et leurs voûtes d'évidement. Puis, on les couvre d'un plancher léger calculé pour les surcharges qu'il peut avoir à supporter, qu'on peut remplacer par parties, par feuilles. C'est le plancher en béton armé, en poutrelles avec briques,...

23. — C'est, comme dans les voûtes « gothiques », une coque légère sur deux nervures.

Le plancher transporte toutes les charges verticales sur les anneaux de tête ; ceux-ci les transforment en poussées et les conduisent aux culées extrêmes qui les absorbent. Les poussées ne sont plus dispersées sur toute la largeur du pont : elles sont concentrées sur celle des anneaux ²⁴.

On supprime tous les matériaux mal utilisés de l'intervalle CD ; on les remplace par un plancher qui, lui, travaille partout au maximum permis. On supprime, en particulier, les matériaux de voûte, qui sont chers.

On supprime le cintre, dont le prix augmente avec le carré de la portée.

Art. 3. — Avantages divers. — Les deux ouvrages, étant indépendants, peuvent être fondés à des niveaux fort différents, avantage sensible si le rocher se rencontre ainsi, — tandis que, pour une grande arche unique, il faut un appui continu, sans ressaut ²⁵.

S'il y a des mouvements inégaux à chaque tête (tassement, dilatation), pas de tendance à fissures, les voûtes étant indépendantes.

La deuxième voûte peut être faite sur le cintre de la première, transporté ou réemployé ²⁶ : on a très facilement ripé de très grands cintres.

La première voûte sert de pont de service pour la deuxième.

Dans l'intervalle entre les deux voûtes, on fera, si l'aspect ne le défend pas, passer l'égout, les conduites d'eau, de gaz, les fils de télégraphie, de téléphone.

Il n'y a en béton armé, en métal, ... que le plancher qui, seul, travaille à la flexion, partie accessoire, facile à réparer.

Les autres parties, qui, toutes, travaillent à la compression, — les essentielles : fondations, piles, culées, voûtes, — sont en maçonnerie.

24. — De même, tandis que sur toute leur longueur, les voûtes romanes poussent un mur plein, les nervures « gothiques », dégagées de la masse de la voûte, localisent la poussée sur les arcs-boutants.

25. — Au pont de Pont-Sainte-Maxence, sur l'Oise (1771-86), Perronet posa 3 arcs de 23^m40 surbaissés à 1 11,2 sur 2 piles faites chacune de 2 groupes de 2 colonnes (Φ_3 , f_3), de 2^m92 de diamètre, écartés de 2^m92. C'était hardi ; c'a été solide : le 1^{er} avril 1814, on fit sauter la première voûte rive gauche : il n'en resta qu'un arc de 2^m40 de largeur ; les deux autres arches restèrent debout.

Pont de Pont-Sainte-Maxence.

Φ_3 — avril 1914
(un siècle après l'explosion)

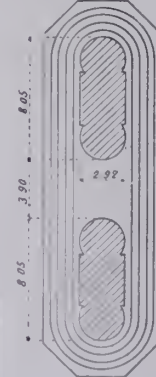


f_3 - Coupe horizontale
des piles - 2^m



Pont de la Concorde.

Coupe horizontale des piles - 2^m
 f_6 - projetée f_7 - exécutée



Perronet, plus tard (il avait alors près de 80 ans), voulait faire de même à Paris, près de l'admirable place Louis XV (Concorde) (f_6). On le trouva déjà trop célèbre... : on rejeta le projet.

26. — Peut-être a-t-on ainsi construit le pont du Gard qui est en arceaux accolés.

Art. 1. — Pont Adolphe à Luxembourg. — Cette très économique disposition a d'abord été appliquée au pont Adolphe à Luxembourg, de 16^m de largeur entre parapets, en deux anneaux de 5^m25 écartés de 6^m.

Art. 2. — Pont des Amidonniers. — On a fait mieux, ensuite, à Toulouse²⁷.

Les nervures prolongées du plancher sous chaussée débordent les tympans et portent les garde-corps et les trottoirs. Cet auvent en porte-à-faux fait comme un encastrement à l'appui des nervures et soulage leur milieu.

Φ₁ — Pont de Romans — mai 1908



On a donné à la circulation une largeur disponible de 22^m sur deux anneaux ayant ensemble 6^m50.

On tire ainsi le meilleur parti du système.

Art. 3. — Autres ponts en deux anneaux. — Le système inauguré à Luxembourg a été appliqué à Constantine, aux trois ponts américains de Walnut Lane, Rocky River et Spokane qui sont, vraiment, une réplique de Luxembourg; — à quelques autres : pont de Romans sur l'Isère (Φ₁)^{27 bis}...

J'ai réuni au tableau ci-après ce qui les concerne.

27. — Aux ponts romains du Gard, de Sommières, plus tard au pont d'Avignon, (Voir p. 40, Φ₁₂), les voussoirs des grandes voûtes forment des anneaux accolés sans liaison : ces anneaux, on peut les écarter et les recouvrir de dalles.

On a fait ainsi au pont romain d'El Kantara, à l'entrée du Sahara, sur la route de Biskra (Choisy, Tome I, p. 517; — Annales des Ponts et Chaussées, 1912, III, p. 478, M. Boisnier), et, au Moyen-Age au pont d'Airvault sur le Thouet (Φ₃).

Φ₃ — Pont d'Airvault — juin 1908



On croit inventer : on retrouve.

§ 3. — FAIRE EN DEUX ANNEAUX LES PONTS LARGES

Art. 1. — Ce qu'enseigne le tableau précédent.

A. *Épaisseur des anneaux.* — Malgré l'augmentation du travail, on n'a pas augmenté à Luxembourg ni à Toulouse, l'épaisseur à la clef des formules usuelles.

B. *Rapport à la portée libre de la largeur d'un anneau.*

Cette largeur est :

7,3 % de la portée libre, à Luxembourg, aux Amidonniers ;

6 % de la portée totale, à Luxembourg.

Elle a suffi : au décentrement des deux voûtes de Luxembourg, des dix voûtes des Amidonniers, les appareils disposés aux têtes n'ont accusé aucune tendance au flambement.

Art. 2. — *Économie.* — Par rapport à un pont « plein », l'économie a été d'environ : 250.000^f à Luxembourg, soit 16 % ; 300.000^f aux Amidonniers, soit 26 %³³.

Art. 3. — *Faire en deux anneaux les ponts larges.* — Un pont est fait pour la circulation. Ce qui sert, c'est la largeur entre parapets, trop souvent insuffisante dans les ponts de ville^{34,35} : ce qui coûte, ce sont les maçonneries mal utilisées des fondations, des piles et des voûtes.

Plaçons donc une très large chaussée sur de très minces anneaux dont on aura réduit la largeur et l'épaisseur à juste ce qu'il faut pour ne craindre ni écrasement, ni flambement transversal.

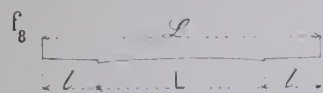
Si on demande à la maçonnerie de ces anneaux tout l'effort qu'elle peut supporter sans danger, si on peut ne rien sacrifier pour l'aspect, on arrivera à une économie qu'aucun autre système ne paraît, en l'état, pouvoir donner³⁶.

Les premiers ponts ainsi faits pourront sembler élargis après coup. Mais on s'y fera. L'idée est juste : on trouvera, — peut-être a-t-on trouvé, — des formes que l'œil accepte.

33. — I, p. 207.

34. — Au XVIII^e siècle, on a donné souvent aux grands ponts 45 pieds (14^m75) entre parapets (Orléans, Tours, Concorde,...) : c'est devenu tout-à-fait insuffisant à la Concorde.

Dans une grande ville, il faut au moins 16^m, mieux 20^m, 22^m. — Le pont d'Austerlitz a été élargi de 12^m74 (1805) à 18^m (1854), puis à 29^m80 (1884). Le pont au Change a 30^m, le pont Alexandre III, 40^m, le pont de Charlottenbourg à Berlin, 55^m (Génie Civil, 26 juin 1909).



35. — On règle L (L_p) suivant ce qui passera dessus : voitures, tramway, chemin de fer d'intérêt local ; l , suivant le nombre de piétons.

Comme première indication, on peut admettre que les trottoirs doivent laisser passer autant de piétons de 0^m75 que la chaussée

de voitures de 2^m50 : $\frac{l}{L} = \frac{0.75}{2.50} = 0,3$. 1/3 est bon pour l'aspect ; à moins de 1/4, le trottoir est maigre.

36. — Voici, pour quelques ponts, ce qu'a coûté le m.q. de surface offerte à la circulation :

11 ponts en maçonnerie construits à Paris de 1806 à 1866 ont coûté de 304^f (Austerlitz, 1854), à 578^f (Petit Pont, 1853), les 2 autres, 746^f (Pont National, 1853), 752^f (Pont au Double, 1847). — Morandière, *Construction des Ponts*, Tome I, p. 340.

Les ponts récents à grands arcs d'acier ont coûté : Pont Mirabeau, à Paris (1893-95), 594^f ; Pont Alexandre III, à Paris (1897-1900), 1120^f ; Ponts sur le Rhône à Lyon : La Fayette (1888-90), 623^f ; Morand (1888-90), 678^f ; Université (1905), 441^f ; Pont de Rouen, 889^f.

Les trois derniers ponts en maçonnerie construits sur la Garonne (sous chemin de fer à 1 voie) ont coûté au m.q. : pont de Port-Sainte-Marie, 612^f ; de Marmande (1877-81), 695^f ; de Belleperche (1895-1900), 312^f.

Aux Amidonniers, — pont de luxe, — le m.q. de surface offerte à la circulation, ne coûte que 202^f (I, p. 207).

TITRE VIII

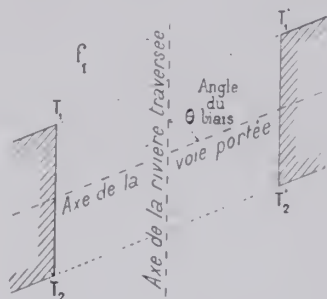
PONTS BIAIS

CHAPITRE I

VOÛTES BIAISES

§ 1. — DÉFINITIONS

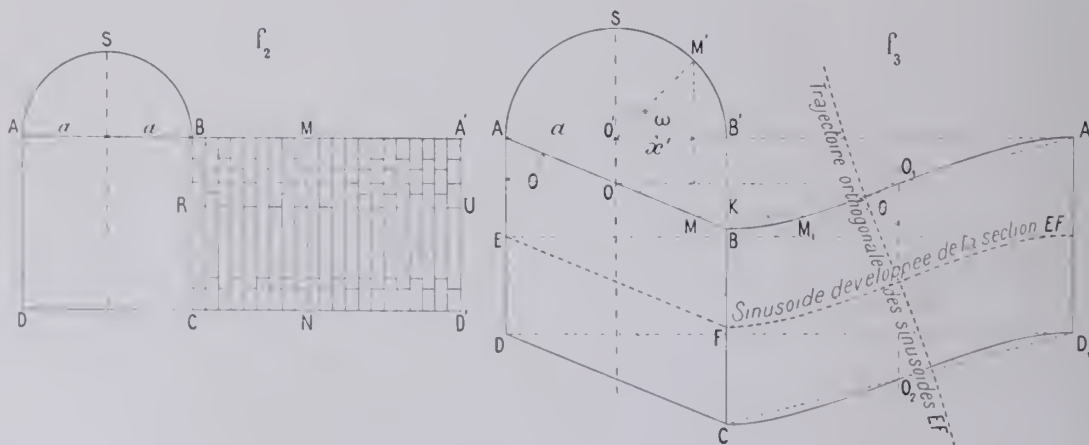
Art. 1. — Berceau biais. — Un berceau est biais quand ses têtes T_1, T_1', T_2, T_2' , ne sont pas perpendiculaires au plan vertical des génératrices de la douelle (f_1).



Art. 2. — Angle du biais. — Le biais est l'angle aigu θ^1 que fait l'axe de l'ouvrage avec celui de la voie ou de la rivière traversée (f_1).

Art. 3. — Développement de la douelle. — Deux systèmes de lignes orthogonales. — Considérons un berceau droit (f_2). Fendons-le suivant AD et développons la douelle autour de BC.

Sur le développement, on voit deux systèmes de lignes à angle droit :
des joints discontinus parallèles aux têtes, tels que RU ;
des lignes continues d'assises, — ou lits, — telles que MN, génératrices du berceau, perpendiculaires aux têtes.



¹. — Quand la voûte est droite, $\theta = 90^\circ$. Il eût été plus rationnel de mesurer le biais par son complément θ' : la difficulté du biais eût cru avec θ' .

De même, soit un berceau biais de section droite ASB' (f_3) : fendons-le suivant AD et développons-le autour de BC .

On tracera sur la douelle développée, deux systèmes de lignes à angle droit : les sinusoides, développements² des têtes et des sections parallèles aux têtes : ce seront les lignes des joints discontinus ; les trajectoires orthogonales de ces sinusoides : ce seront les lits continus³.

§ 2. — APPAREILS BIAIS⁴

Art. 1. — Appareil orthogonal parallèle. — Sur la douelle développée, on trace les sinusoides (développements des sections parallèles aux têtes), leurs trajectoires orthogonales ; puis on les relève horizontalement et verticalement⁵.

2. — Un point quelconque M de la tête vient en M_1 (f_3), tel que :

$$\begin{aligned} KM_1 &= x_1 = \text{arc } B'M' \\ BK &= y_1 = \frac{MK}{\text{tg } \theta} = \frac{(\alpha - x_1)}{\text{tg } \theta}. \end{aligned}$$

Comme les arcs se conservent en développement, la courbe BO_1A_1 est inclinée sur les génératrices, de θ en O_1 .

Si c'est une voûte complète (plein cintre, ellipse), elle leur est normale en B et A_1 .

Si ASB' est un plein cintre de rayon α ,

$$\begin{aligned} x_1 &= \alpha \omega \\ y_1 &= \frac{\alpha (1 - \cos \omega)}{\text{tg } \theta} \end{aligned}$$

$$\text{tangente en } M_1 = \frac{dy_1}{dx_1} = \frac{\sin \omega}{\text{tg } \theta}. \text{ On la construit facilement.}$$

3. — $X_1 = x_1 = \alpha \omega$

$$\frac{dY_1}{dX_1} = -\frac{dx_1}{dy_1} = -\frac{\text{tg } \theta}{\sin \omega} \quad dY_1 = -\frac{\text{tg } \theta \alpha d\omega}{\sin \omega}.$$

$$Y_1 = -\alpha \text{tg } \theta L \text{tg } \frac{\omega}{2} + \text{constante.}$$

Φ_1 — Pont de Rimini^{4 bis}



Toutes ces trajectoires sont les mêmes. On en construit une, puis on en découpe un patron.

4. — Déjà le pont de Rimini est appareillé biais (Φ_1).

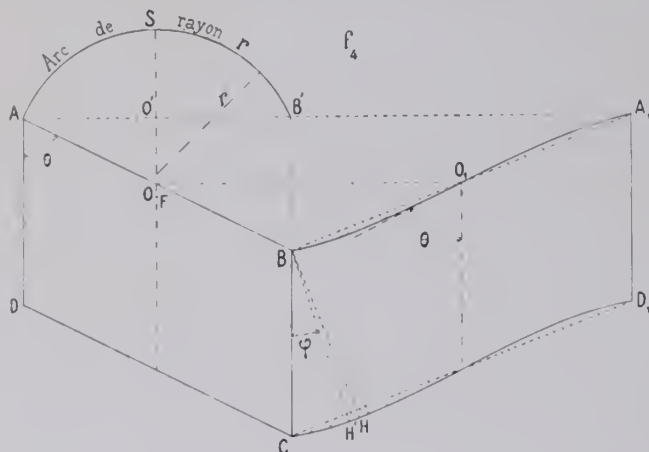
^{4 bis}. — Date de la photographie : septembre 1908.

5. — Je renvoie, pour les appareils et les épures, aux Cours de Stéréotomie et à la fort copieuse littérature des voûtes biaises : on y doit tout spécialement distinguer l'excellent Traité : « *Appareil et Construction des ponts biaises* » de Graeff (alors Ingénieur en chef des Ponts et Chaussées), Paris, Dunod, 1867.

Art. 2. — Appareil hélicoïdal. — Divisons en parties égales les deux arcs de tête. Menons la normale BH à la corde BO₁A₁. Prenons le point de division le plus voisin H' et joignons BH'.

Aux trajectoires orthogonales des sinusoïdes parallèles BO₁A₁, substituons les parallèles à BH'.

Elles en diffèrent d'autant moins que la corde est plus voisine de l'arc BO₁A₁, c'est-à-dire que l'arc est plus surbaissé.

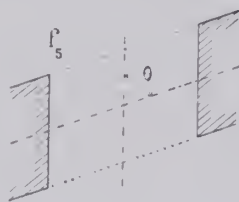


Ces droites font avec les génératrices l'angle « intradosal rectifié » φ ; elles s'enroulent sur la douelle en décrivant des hélices de pas $\frac{2\pi r}{\tan \varphi}$, d'où le nom de l'appareil.

Tous les joints dans le plan de tête passent par un même « foyer » F tel que :

$$SF = r \left(1 + \frac{\tan \varphi}{\tan \theta} \right)$$

§ 3. — CHOIX DE L'APPAREIL SUIVANT LE BIAIS (f₃).

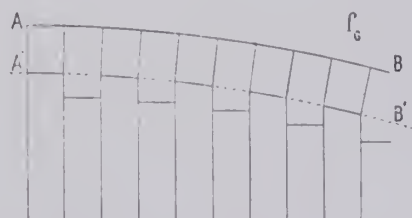


Art. 1. — $\theta > 80^\circ$. — On appareille comme si la voûte était droite.

Art. 2. — θ entre 70° et 80° . — Soient AB, A'B' les sinusoïdes, développements de l'intrados du bandeau, et de la courbe des queues des voussoirs courts.

Ils sont appareillés normalement à ces deux courbes : les longs, au-delà de la queue des courts, sont retournés suivant les génératrices.

La douelle est celle d'une voûte droite⁶.



Art. 3. — θ entre 60° et 70° . —

On emploiera l'appareil « hélicoïdal » quel que soit l'intrados. On trace les lits et joints sur le platelage du cintre en pliant dessus une règle flexible.

Sauf aux têtes, les matériaux de douelle sont rectangulaires (moellons, briques⁷).

6. — Viaduc de l'Épau (Ligne de Tours à Vendôme) : portée = 10*10; $\theta = 70^\circ$. Nous avons fait ainsi des passages supérieurs, des têtes de souterrains.

7. — Dès l'origine des chemins de fer, en Angleterre, pays de briques, on a employé l'appareil hélicoïdal.

Art. 4. — θ entre 50° et 60° . — On adoptera quand on le pourra des arcs surbaissés, et alors l'appareil hélicoïdal, lequel diffère peu de l'appareil théorique près de la clef, et de plus en plus à mesure qu'on s'en éloigne.

Si un plein cintre ou une ellipse s'impose, et que l'aspect n'importe pas, on acceptera la construction de Léveillé⁸, lequel limite l'appareil hélicoïdal au cerveau de la voûte, et appareille les reins en voûte droite : avec ses joints ainsi brisés, il se rapproche de l'appareil théorique à la clef et aux naissances. Il y a aux reins une file de crossettes motivées seulement pour des yeux avertis.

Mais si l'aspect importe, il faudra bien pour les pleins cintres et les ellipses, en venir à l'« appareil orthogonal parallèle ». Il est cher, de projet laborieux, d'exécution délicate, et laid⁹, même bien exécuté¹⁰.

Art. 5. — $\theta < 50^\circ$. — Les appareils biais ne sont plus pratiques. Si on ne peut pas découper l'ouvrage en arcs droits indépendants, on fera un pont métallique ou en béton armé.

§ 4. — TRÈS LONGUES VOÛTES BIAISES

Les traités des Ponts biais indiquent les dispositions à adopter pour n'appareiller en biais que les abords des têtes dans les longues voûtes biaisées (ouvrages sous grands remblais, têtes de souterrains...): appareil orthogonal convergent, difficile et cher; — hélicoïdal, qui l'est un peu moins; — appareil Léveillé modifié¹¹.

§ 5. — PORTÉE LIMITE DES VOÛTES A APPAREIL BIAIS

Une des plus grandes paraît être celle de Tavignano en Corse (ligne de Bastia à Corte)^{12,13} : braise à 53° , — têtes en ellipse de 30^m au 1/4, — appareil orthogonal parallèle.

8. — Elle est indiquée à l'APPENDICE, — ouvrages de 8^m d'ouverture et au-dessous.

9. — J'ai le droit, comme auteur du projet (1877), de qualifier ainsi le pont de Becdejeu (Φ_2) sur le Lot (Ligne de Mende à Sévérac), 4 arches en plein cintre de 16^m, biaisées à 54° , en appareil orthogonal parallèle.

Φ_2 Pont de Becdejeu.



10. — Dans les Traités des ponts biais (renvoi 4), on indique comment, aux têtes très biaisées, on abat par un chanfrein les angles aigus, comment on évase la tête en bouche de cloche, comment on découpe les panneaux des voussoirs de tête, etc.,...

11. — Annales des Ponts et Chaussées, décembre 1879, p. 339. « Simplification pratique de l'appareil orthogonal convergent. Application au pont souterrain des Kours ». M. A. Picard, Ingénieur des Ponts et Chaussées.

12. — Annales des Ponts et Chaussées. Décembre 1882, p. 578. « Appareil orthogonal dans les routes biaisées dont la section droite est une ellipse sur-

baissée » — par M. Sampitè, Ingénieur des Ponts et Chaussées. (Pont de Tavignano p. 587, Pl. 32).

13. — La voûte de 40^m de Pont-sur-Yonne (I, p. 213) est biaisée à 70° ; celle de 47^m50 du pont Elise (IV, p. 151) à $81^\circ 20'$; celle de 50^m du pont de Munderkingen (IV, p. 55) à 75° : elles sont toutes en béton.

§ 6. — *PRÉCAUTIONS DANS L'EXÉCUTION DES VOÛTES BIAISES*

Art. 1. — *Cintres.* — Les cintres des voûtes biaises doivent être exceptionnellement rigides ; il faut éviter les cintres retroussés, sauf pour les petites ouvertures, et contreventer à outrance.

Pour un ouvrage très long, on déviara les plans des fermes à partir de chaque tête, de façon à les orienter au plus tôt suivant la section droite de la voûte.

Les fermes doivent être reliées par des entretoises biaises, c'est-à-dire parallèles aux génératrices de la voûte, et par des entretoises droites ou des tirants perpendiculaires aux plans des têtes¹⁴.

Il est bon de clouer sur les couchis un platelage sur lequel on trace les lits de douelle.

Art. 2. — *Maçonnerie des voûtes.* — On maçonnera les voûtes en bon mortier de ciment ; on les laissera très longtemps sur cintre pour réduire les tassements, très dangereux pour elles¹⁵.

§ 7. — *OBSERVATIONS DIVERSES*

Art. 1. — *Pas de voûtes d'évidement apparentes au-dessus des voûtes biaises.* — Il faut bien se garder de traverser les tympans des voûtes biaises par des voûtes apparentes, droites ou biaises.

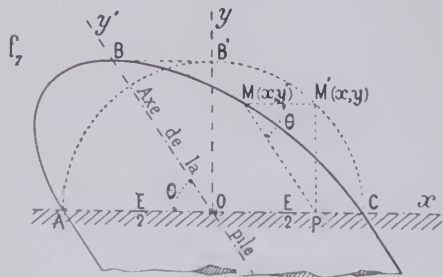
Elles y font assez mauvais effet, et il y a, pour les accrocher sur les grandes voûtes, des appareils fort compliqués.

Art. 2. — *Ne pas craindre, ne pas rechercher les voûtes biaises.* — Les voûtes biaises sont chères, assez désagréables, même bien faites. Il convient de les éviter, mais sans payer trop cher un redressement du tracé.

Il ne faut pas en avoir peur, mais encore moins les rechercher par amour du compliqué.

§ 8. — *PILES BIAISES SOUS VOÛTES BIAISES**TRACÉ DES BECS*

Art. 1. — *Bec en ellipse.* — On peut adopter une ellipse rapportée à Ox, Oy' , directions conjuguées (f_1) :



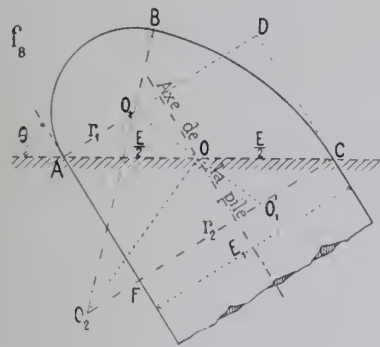
$$\frac{x^2}{\left(\frac{E}{2}\right)^2} + \frac{y'^2}{\left(\alpha \frac{E}{2}\right)^2} = 1$$

Pour $\alpha = 1$ $OB = OA = OC$

On l'effilera un peu avec $\alpha = \frac{1}{\sin \theta}$: (c'est déplacer de M' en M chaque point de la $1/2$ circonférence $AB'C$) (f_1).

14. — Annales des Ponts et Chaussées, 1^{er} trimestre 1905, p. 63. M. Thérél : Deux passages supérieurs biaises de la Corniche de l'Estérel, entre Fréjus et Cannes, par-dessus la ligne de Marseille à Nice ; voûtes construites sur cintre retroussé, par rouleaux, joints secs ; bandeaux reliés à la douelle par des feuillards ; dépense 113', 137' par m. q. de surface couverte.

15. — Le pont par-dessus la rue d'Alésia à Paris (Ligne de Paris à Sceaux) a été si éprouvé au décintrement qu'il a fallu le reconstruire. On y aurait pu prendre la précaution, autrefois recommandée, de relier les têtes par des tirants en fer.



Art. 2. — Bec en anse de panier à deux rayons r_1, r_2 . — C'est moins simple.

Les centres sont sur AD et CF (f_8).

Je prends $CO'_1 = AO_1 = r_1$. Je joins $O_1O'_1$ qui passe par le milieu O de AC, et j'élève en O la perpendiculaire OO_2 à $O_1O'_1$.

O_2 est le 2^e centre, O_2C le 2^e rayon r_2 .

r_1 a été pris arbitrairement. On peut s'imposer une deuxième condition : par exemple celle-ci, la plus usitée : $OA = OC = OB$ (f_9)¹⁶, ou une autre¹⁷.

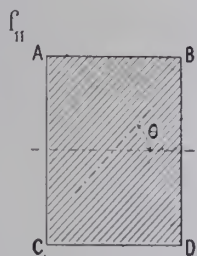
CHAPITRE II

VOÛTES DROITES

DONT L'AXE EST OBLIQUE SUR LA RIVIÈRE OU LA VOIE TRAVERSÉE

Art. 1. — Ouvrages à une seule arche. — En augmentant la portée on peut, par une voûte droite, franchir obliquement une rivière : il y en a maints exemples¹⁸.

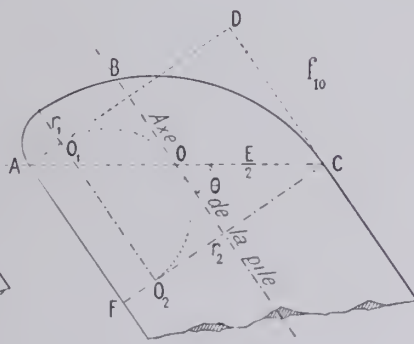
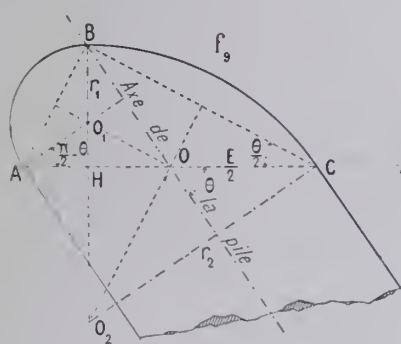
Art. 2. — Ouvrages à plusieurs arches. Voûtes droites sur piles biaises. — La coupe horizontale d'une pile aux naissances est un rectangle dont les côtés sont :



AB l'épaisseur aux naissances ;

AC la largeur de la voûte.

Ce rectangle assure la stabilité de la voûte, mais non l'écoulement des eaux.



16. — Les centres sont les points de rencontre des hauteurs dans les deux triangles isocèles ABO, OBC (f_9) :

$$r_1 = \frac{E}{2} \operatorname{tg} \frac{\theta}{2} \quad r_2 = \frac{E}{2} \cotg \frac{\theta}{2}$$

17. — La différence $r_2 - r_1 = O_1O_2$ (f_{10}) (longueur interceptée entre AD et CF) est minima pour O_1O_2 perpendiculaire à AD, c'est-à-dire parallèle à l'axe de la pile. On a (f_{10}) :

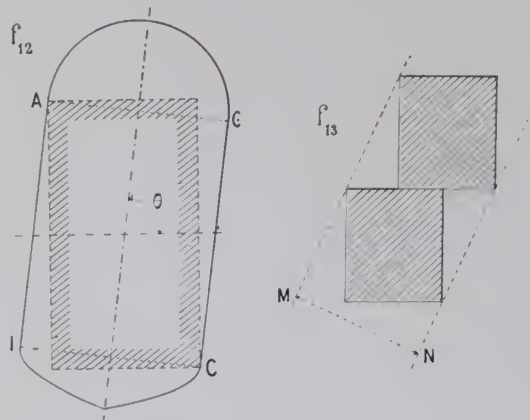
$$\begin{cases} AF = r_2 - r_1 \\ E = r_2 + r_1 \end{cases} \quad \begin{cases} r_2 = \frac{E}{2} (1 + \cotg \theta) \\ r_1 = \frac{E}{2} (1 - \cotg \theta) \end{cases}$$

La courbe est tort aplatie aux reins : elle peut convenir à un arrière-bec.

18. — Castelet (II, p. 130), Escot (II, p. 174), Gour-Noir (III, p. 103), Pouch (III, p. 110), Freyssinet (III, p. 112), Jaremcze (III, p. 114), Diveria (III, p. 130),...

Si le pont est droit, il suffit d'ajouter des becs.

S'il est biais, enveloppons le rectangle « nécessaire » par un polygone, par une courbe, de façon à avoir la moindre surface (par économie), le moindre encombrement de la rivière.



On tracera l'enveloppe au mieux suivant le biais, la largeur du pont, l'épaisseur de la pile.

Au besoin, on aplatira l'arrière-bec¹⁹.

Pour les faibles biais ($\theta < 80^\circ$), on acceptera le rectangle AGCI et deux becs (f_{12}).

Avec deux arcs décrochés (f_{13}), on réduit l'enveloppe et l'encombrement.

Nous avons fait le pont de la Croix sur le Doubs (Ligne de Frasne à Vallorbe), biais à 45° , en deux voûtes droites de 4^m de largeur, déplacées l'une par rapport à l'autre de 4^m206 (Φ_3)^{19ms}.

Elles reposent sur une pile rectangulaire sans bec qui fait sur l'eau l'effet d'un avant-bec à 90° ²⁰.

Φ_3 — Pont de la Croix, sur le Doubs — mai 1914

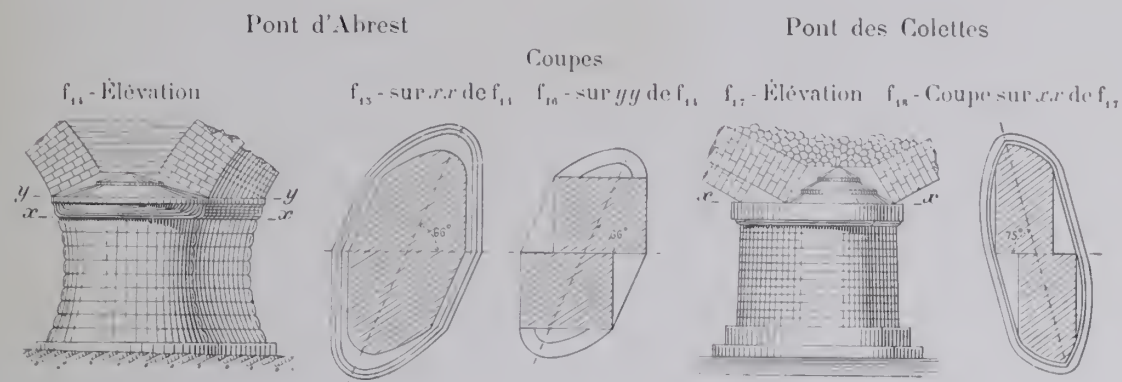


19. — Canale (III, 4p. 185).

19ms. — Portée : 20^m; montées : 4^m374 et 4^m350.

20. — Les becs sont à 90° : au pont du Vieux-Château, à Vérone (III, p. 173); au vieux pont de Toulouse (1542-1632); il a aujourd'hui plus de 300 ans; il a résisté à quantité d'inondations, en particulier à celle de juin 1875, qui a emporté nombre de ponts plus jeunes; au pont d'Ornaisons (1750-1760) (I, p. 63); au pont de la Big-Muddy River (I, p. 225); à un pont sur la Delaware (III, p. 289).....

Voici ce que nous faisons (f_{11} à f_{16}) au pont d'Abrest²¹, biais à 66° , 7 ellipses de 33^m surbaissées à 1 3,63 :



et ce que nous ferons (f_{17} , f_{18}) au pont des Colettes²², biais à 75° , 4 arcs de 23^m à 1 7,5.

Dans ces ponts, les 2 anneaux accolés ne sont pas reliés : ils ne se contraindront pas au décintrement.

Art. 3. — Voûte en arcs droits minces. — On peut découper une voûte biaise, non plus seulement en deux, mais en autant d'anneaux que l'on veut, soit accolés, soit séparés^{23,24}.

Les arcs doivent être assez larges pour ne pas flamber.

Ils ont beaucoup de parement et d'appareil.

Art. 4. — Ouvrages courants sous remblais, droits, à plinthe rampante.

On les adoptera toutes les fois que la hauteur le permettra²⁵.



Φ_1

21. — sur l'Allier (Ligne de Riom à Vichy).

22. — sur la Sioule (Ligne de La Ferté-Hauterive à Gannat).

23. — Pont d'Albi sur le Tarn, biais à 74° , 5 pleins-cintres de 27^m60 en 5 anneaux de 1^m714 , espacés de 0^m857 . — Pont de Tounis, sur un bras de la Garonne à Toulouse, biais à 45° , — arc de 24^m au 1 6 en 9 anneaux de 1^m espacés de 0^m80 .

24. — Passage supérieur de la gare de Mende (Φ_1), biais à 42° , en 5 anneaux de 24^m70 à 21^m40 de portée*, 3^m048 de montée, larges de 1^m575 , espacés de 1^m19 .

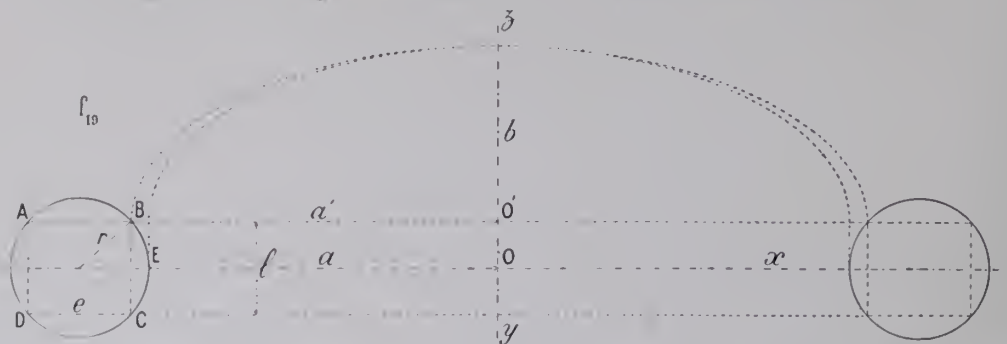
* Les 2 culées ne sont pas parallèles.

25. — Voir APPENDICE.

CHAPITRE III

VOÛTES DROITES, NON EN BERCEAU, SUR PILES RONDES

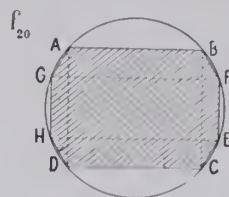
Soit ABCD le « rectangle nécessaire »²⁶. Traçons le cercle circonscrit.



Engendrons la douelle par une courbe (ellipse, arc,...) de montée constante et de portée croissante, de OE à O'B^{27,28}.

Soit par exemple, une voûte de 36^m d'ouverture, sous chemin de fer à 1 voie, c'est-à-dire de 4^m50 de largeur. Donnons à la pile 1/8 de la portée, soit 4^m50. Le « rectangle nécessaire » est, ici, un carré.

Le « ventre » est $\frac{l}{2}(\sqrt{2} - 1) = 0,207 l$.



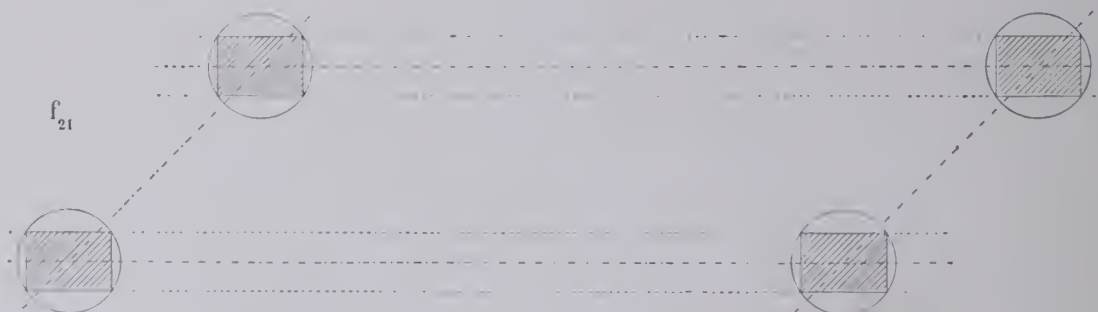
On peut accepter cette douelle ventrue pour $l \leq e$.

On pourrait aussi conserver la voûte en berceau sur la bande GHFE (f_{20}), et échancrer les têtes par les voussures BF, EC.

CHAPITRE IV

PONTS EN DEUX ANNEAUX

Si le pont des Amidonniers eut été biais, on eût pu faire ceci (f_{21}) :



Il y a là, pour les larges ponts biais, des solutions intéressantes.

26. — Chap. II, art. 2.

27. — Ponts de Maretti et de Prarolo (III, p. 95).

28. — L'équation de la douelle rapportée à O_x, O_y, O_z, est :

si la génératrice est une ellipse (a, b),

$$\left\{ \frac{b^2 x^2}{b^2 - z^2} - \left[(a + r)^2 - y^2 + r^2 \right] \right\}^2 = 4 (a + r)^2 (r^2 - y^2)$$

si c'est un arc de cercle,

$$\left[b \left\{ x^2 + (b - z)^2 \right\} - \left\{ (a + r)^2 + b^2 + r^2 - y^2 \right\} (b - z) \right]^2 = 4 (r^2 - y^2) (a + r)^2 (b - z)^2.$$

TITRE IX

VOÛTES EN COURBE ¹

A l'APPENDICE, on trouvera tout ce qui concerne les ouvrages courants et les viaducs en courbe.

Dans les grandes voûtes ², les plinthes et les parapets sont en général en ligne droite, suivant la corde du tracé; l'ouvrage est élargi, sur la portée $2a$, de la flèche $\frac{4a^2}{8R}$; les têtes sont planes.

Au pont de Krenngraben ³ en courbe de 320^m, du côté du centre le parapet suit le tracé: la plinthe concave est portée près des culées par des corbeaux de saillie variable.

TITRE X

PONTS EN RAMPE, EN DOS D'ÂNE

§ 1. — PONTS EN RAMPE

Art. 1. — Ponts sous route : ponts sous chemin de fer. — Un ouvrage à rampe unique semble tomber vers sa culée basse.

On plie en dos d'âne les ponts-route dans les villes; mais les ponts sous chemin de fer suivent la rampe du tracé.

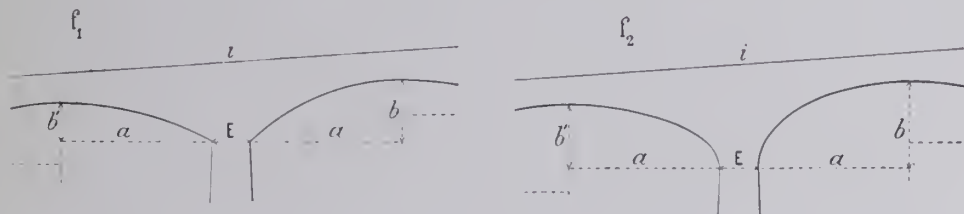
Art. 2. — Ouvrages courants. Viaducs. — Voir l'APPENDICE.

Art. 3. — Ouvrages bas. — L'eau, les socles des piles, font des plans horizontaux de comparaison très voisins des naissances : on les met au même niveau des deux côtés de chaque pile.

Pour les pleins cintres, voir l'APPENDICE, Viaducs.

Pour les arcs et les ellipses, on fait chaque voûte de deux $1/2$ voûtes ayant la $1/2$ ouverture, et dont les montées diffèrent de :

$$[2a (\text{portée}) + E (\text{Épaisseur de la pile})] i (\text{rampe})$$



1. — Le frère Joconde, de Vérone, a construit au XVI^e siècle, près d'Aquino, le célèbre « *ponte Corro* » en courbe d'environ 200^m de rayon, convexe vers le courant.
Croizette-Desnoyers. « *Construction des Ponts* », Tome I, p. 54; Pl. VI, fig. 8.

2. — Ponts à 2 voies : Maretta, Prarolo (III, p. 93); Pouch (III, p. 110).
Ponts à 1 voie : Castelet (II, p. 130), Schwändeholzdobel (III, p. 126), Krenngraben (III, p. 134), Salcano (III, p. 141).

3. — III, p. 134.

Art. 4. — Tracé des grandes voûtes en rampe. — La 1^{re} 2 voûte la plus haute est la plus chargée : la courbe de pression s'y rapproche de l'extrados. On l'a, quelquefois, plus cambrée ^{1,2}, plus élégie ².

Art. 5. — Intrados des voûtes en très forte rampe (sous un escalier, sous un chemin de fer à crémaillère, sous un funiculaire). — On peut adopter une ellipse rampante ³, dont la ligne des naissances soit inclinée suivant la pente et son diamètre conjugué vertical ⁴, ou une courbe composée d'un arc de parabole et d'un arc de cercle...

§ 2. — PONTS EN DOS D'ÂNE

Art. 1. — Pour l'aspect, un long pont doit toujours être en dos d'âne ⁵. — Si les lignes du couronnement ne sont pas convexes, elles paraîtront creuses au milieu ^{6,7}.

Φ — Vieux Pont d'Orléans — (1751-1760) ^{7bis}



Un ouvrage en dos d'âne a un milieu et deux extrémités : il fait un tout.

1. — Munderkingen (IV, p. 55), rampe de 30°; Illerbeuren (IV, p. 159), rampe de 22°5.

2. — Ramonnais (II, p. 186), rampe de 59°.

3. — Dans un pont, un viaduc en pente, les génératrices de douelle demeurent horizontales ; dans un pont sous remblai, dans un souterrain en pente, elles sont inclinées sur l'horizon, la voûte est en pente : quand les naissances d'une voûte en berceau sont à des niveaux différents, elle est « rampante ».

4. — Amidonniers (I, p. 193), arches sous l'escalier des enlées.

5. — Les ponts de Paris, de Lyon, d'Orléans, de Blois, de Toulon, de Bordeaux, sont en dos d'âne.

6. — Les Grecs ont courbé vers le ciel l'entablement, le dallage du Parthénon : l'œil les voit horizontaux.

7. — Le pont de Tours est en palier : c'est fâcheux.

7bis. — Voir Tome III, p. 258, renvoi 8. — Date de la photographie : août 1905.

Quand les deux rives sont à des niveaux différents, on force la pente à partir de la rive haute pour avoir un point haut au milieu ⁸.

Les deux rampes ne sont pas nécessairement égales : elles sont à la demande des quais ⁹.

Φ_2 — Pont sur le Serchio ^{13, 11-a}



Dans les longs ponts, pour l'aspect comme pour la circulation, il ne faut pas un dos d'âne à trop grandes pentes ^{10, 11} ; l'^{er} fait très bien (Φ_1) ¹².

Mais dans les courts, surtout dans les ponts à une arche, l'œil accepte de très fortes rampes (Φ_3, Φ_2, Φ_4).

Ponts à Venise ^{14 b}

Φ_3



Φ_4



Art. 2. — Intrados des ponts en dos d'âne. — L'œil rapporte tout au plan de l'eau. On place les naissances au même niveau, non plus seulement de part et d'autre de chaque pile, mais toutes.

8. — Pont de Luxembourg (II, p. 68, n° 2).

9. — Le pont au Change est en rampes de 10 et 20^m ; le pont Saint-Michel, de 15 et 6^m ; le nouveau pont d'Orléans, de 10 et 4^m.

10. — Les rampes sont de : 17^m au pont de l'Alma, 20^m aux ponts Mirabeau et Alexandre III, 24^m au pont des Invalides, 26^m au pont du Midi sur le Rhône à Lyon.

11. — Pont de Blois (Φ_1 , p. 32), en pente et rampe de 49^m ; pont de Toulouse (Φ_3 , p. 84), en déclivités de 22^m7 et 40^m4 ; le sommet est trop haut au-dessus des quais.

12. — Vieux pont d'Orléans, 8 lignes par toise, soit 0,097 ou 1/10 (Φ_1).

13. — Entre Lucques et les Bains-de-Lucques.

14. — Date des photographies : a - octobre 1906 ; b - mai 1911.

On augmente les montées, des rives à l'arche du milieu :

soit en conservant la même ouverture ^{14bis} ;

soit, bien mieux, en augmentant en même temps les portées dans un rapport à étudier ¹⁵.

Les piles doivent résister à la différence des poussées : c'est dangereux si elles sont fondées sur pilotis ¹⁶.

Φ. — Vieux Pont de Toulouse (1542-1932) ²⁰



Art. 3. — Raccordement des déclivités au sommet. — On y peut :
soit laisser les deux rampes avec leur angle (Φ)¹⁷ ; il s'accroît, vu de biais ;
soit les raccorder par une courbe ^{18, 19}.

14^{bis}. — Exemples :

Pont des Invalides (4 arches)
de Valence (4 arches)

Voûtes				Pente en mm
de rive		centrale		
Portée	Montée	Portée	Montée	
31 ^m 87	3 ^m 338	31 ^m 69	4 ^m 108	24 ^m
49.20	11.575	49.20	12.305	34

15. Pont

Nombre
d'arches

15.	Pont	Nombre d'arches	Voûtes				Pente en mm
			de rive		centrale		
			Portée	Montée	Portée	Montée	
	Vieux Pont d'Orléans	9	29 ^m 88	8 ^m 13	32 ^m 48	9 ^m 10	10 ^m
	Pont de l'Alma	3	38.50	7.70	43	8.60	»
	Pont de Tolbiac	5	29	7.09	35	8.18	17
	Vieux Pont de Toulouse	7	13.36	7.68	31.82	12.54	41 et 23.
	Pont de Verdun	3	38.50	8.52	41	9.47	30 et 15

16. — Accident du pont des Invalides, en 1878.

17. — Ponts du Moyen-Age : ponts de Toulouse, de Blois, d'Orléans ; — ponts de Luxembourg (II, p. 60), Plauen (III, p. 14),...

18. — Mantes (I, p. 140), Valence (I, p. 142), Édouard VII (I, p. 144), Amidonniers (I, p. 188), Orléans (III, p. 232),...

19. — Ponts Morand et La Fayette, à Lyon, en arc de cercle de 5206^m de rayon, incliné à 0°02' à la rencontre des murs de quai ; — Pont du Prince-Regent (IV, p. 222).

20. — Date de la photographie : août 1903.

TITRE XI

COMMENT ON AJUSTE L'OUVRAGE AU TERRAIN

CHAPITRE I

QUELQUES SILHOUETTES D'OUVRAGES

SUR QUELQUES FORMES DE TERRAIN

§ 1. — FAIRE LES OUVRAGES A LA DEMANDE DU TERRAIN

Art. 1. — Indications générales. — Supposons arrêtée la place des culées, — soit d'un pont, pour laisser passer les crues, — soit d'un viaduc, à la limite pratique de la hauteur des remblais¹.

Quelles portées adopter ?

C'est affaire d'espèce, de circonstances locales.

La seule règle est d'ajuster l'ouvrage aux lieux, de le faire à leur mesure.

Art. 2. — Cas où la place des piles est imposée par un ouvrage voisin. — Si deux ponts sont tout-à-fait voisins, les piles de l'un doivent, — pour la navigation et aussi pour l'écoulement des eaux, — être à peu près en prolongement des piles de l'autre².

Art. 3. — Nombre pair ou impair d'arches. — L'œil accepte à peine quatre arches^{3,4}, à grand'peine deux.

Art. 4. — Comment on arrête la silhouette de l'ouvrage. — On trace sur du papier calque les élévations possibles ; on les promène sur le profil en long de la traversée, pour les bien placer, assurer le passage des chemins, mettre une arche au-dessus du creux de la vallée, etc...¹

Pour un grand ouvrage, on étudiera ses dispositions d'ensemble à temps pour modifier au besoin le tracé.

Quand le choix est restreint à un petit nombre de solutions, on étudie des projets comparatifs, d'abord en gros, puis, s'il y a doute, de près.

Les portées arrêtées, on étudie pour chaque partie toutes les variantes sur calques en retombe : c'est toujours trop tôt qu'on cesse d'étudier.

§ 2. — OUVRAGES BAS : PONTS

Si le lit mineur est bien défini entre des berges, des quais, des levées insubmersibles, on le franchit par un ouvrage à grandes arches à peu près égales.

1. — Voir APPENDICE, — Viaducs.

2. — A Paris, les bateaux avaient quelque difficulté à passer du pont Notre-Dame, qui avait 5 arches sous le pont au Change, qui n'en a que trois.
On vient de démolir le pont Notre-Dame.

3. — Pont des Invalides.

4. — Pont de Valence (I, p. 173) : la pile du milieu était près et à la suite de celle d'un pont suspendu.

S'il est creusé dans une plaine submersible, on encadre l'ouvrage principal par des viaducs d'accès à plus petites arches (Pont de Marmande, f_1).

f_1 — Pont de Marmande, sur la Garonne — 0^m4



f_2 — Pont de Port-Sainte-Marie, sur la Garonne — 0^m4



C'est souvent une faute que de prolonger les grandes arches hors du lit mineur (Pont de Port-Sainte-Marie) (f_2).

Sur les creux de certaines vallées submersibles, on jette des ouvrages de décharge⁵.

Des guideaux⁶ entonnent l'eau sous les arches et arrêtent les courants latéraux.

On n'a réussi qu'à Gignac⁷ une grande arche entre deux petites.

§ 3. — OUVRAGES HAUTS. — VIADUCS⁸

On franchira :

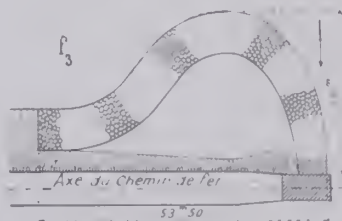
une vallée régulière, par un viaduc à arches égales ;

une vallée à pentes douces, brusquement creuse au milieu, par une grande arche ou plusieurs grandes arches au-dessus du creux, par de petites arches aux abords.

Si une vallée régulière ABCD (f_1) est coupée d'un creux profond, on jettera sur le creux une voûte CSD ; sur le sommet de la voûte, on appuiera une pile P.

Le creux est supprimé⁹. Au-dessus de AB, on n'a plus qu'un viaduc courant.

On a fait ainsi au viaduc de Fontpédrouse :



5. — On n'en a pas fait sur l'Allier.

6. — A Marmande (1881-1884) (f_1), puis à Belleperche (1895-1900), on a, pour guider le courant, épanoui le remblai : l'eau glisse sans trop affouiller. A l'amont des remblais, on plante des saules : ils créent un matelas d'eau morte qui les protège.

7. — I, p. 103.

8. — Voir : APPENDICE, Viaducs.

9. — SC, SD sont comme les jambes d'un homme dont le tronc est PS, on comme les deux moitiés d'une pile unique fendue verticalement.

VIADUC DE FONTPÉDROUSE

Φ_1 — aval — Août 1908



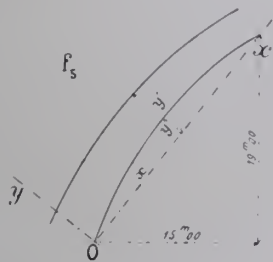
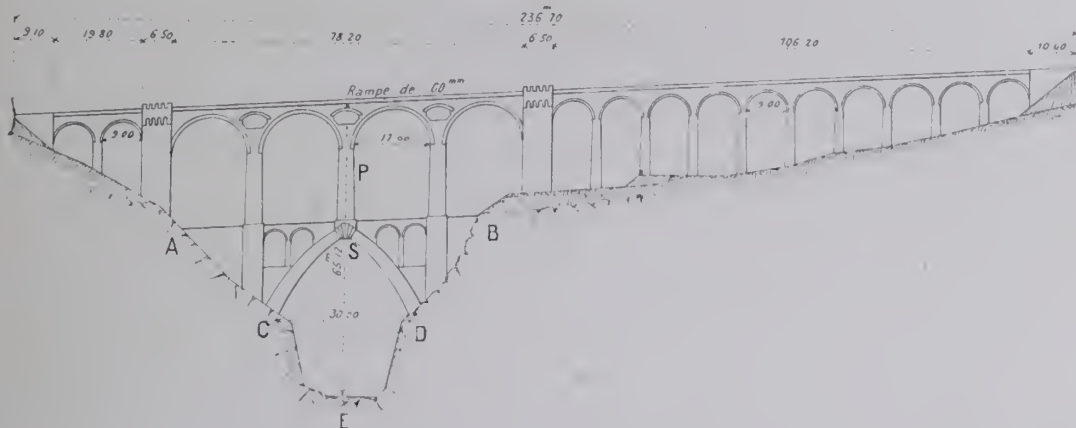
T. V

VIADUC SUR LA TÊT, PRÈS DE FONTPÉDROUSE

(PYRÉNÉES-ORIENTALES)

Ligne électrique à voie de 1^m de Villefranche-de-Conflent à Bourg-Madame (1906-08)

f₄ — Elevation — 0^m6



1. Ogive.

Intrados : $y = 0,24587 x [1 - 0,023385 x - 0,000756 x^2]$.

Extrados :

$y' = 3,806412 [1 - 0,047199 x - 0,0013736 x^2 - 0,000045697 x^3]$.

Les courbes de pression sont bien encadrées.

2. Matériaux. — Le pont est en granit.

L'ogive est, jusqu'à 4^m de la clef, à mortier de chaux du Teil à 300^k ; au-dessus, à mortier de ciment du Teil à 600^k.

Le béton de la dalle est à 300^k de ciment, 400^l de sable, 800^l de « gravillon ».

3 Pressions maxima, en kg 0^m01², sous la surcharge.

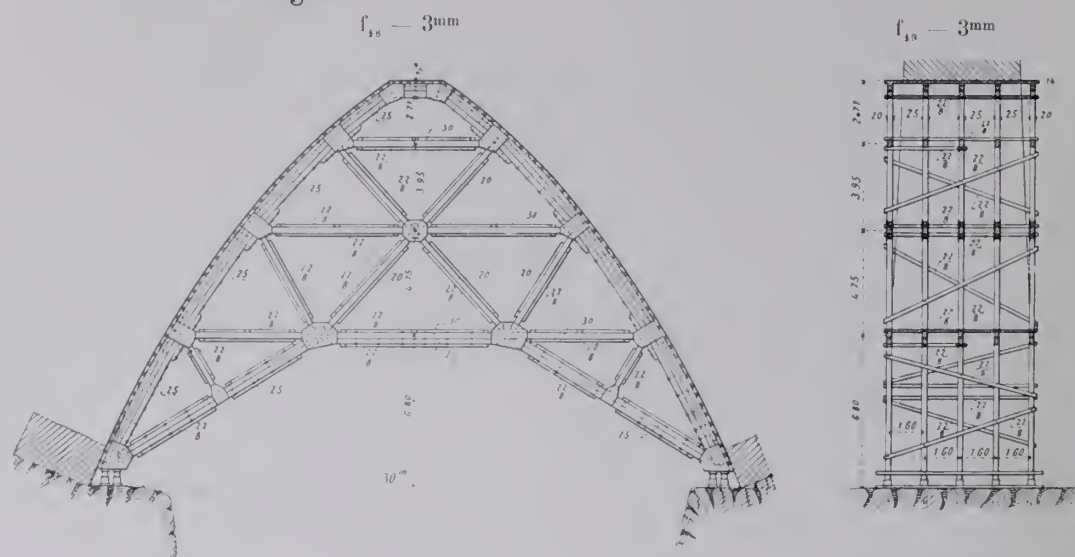
	Ogive		Voûtes de 17 ^m 10		
	Clef	Naissances	Clef	Retombée	
				R. G.	R. D.
A la température du décaintement....	10 ^k	12 ^k	11 ^k	8 ^k	26 ^k
A 10° au-dessus.....	17	14	31	8	11
A 10° au-dessous.....	10	9	11	11	19

4. Dispositions en vue des variations de température. — La dalle est continue, sans coupure. Elle est ancrée dans les culées.

Les tympans sont chaînés par des feuillards.

En août 1911, après 3 ans, ni la dalle, ni les tympans, n'étaient fissurés.

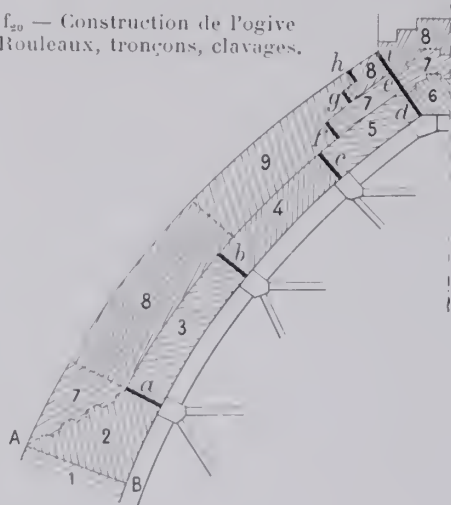
5. Cintre de l'ogive.



6. Exécution des voûtes.

A. — *Ogive*. — On l'a construite à pleine épaisseur jusqu'à AB ; puis en deux rouleaux,

f_{20} — Construction de l'ogive
Rouleaux, tronçons, clavages.



dans l'ordre des chiffres de f_{20} : on ménageait en a, b, \dots, i , des joints secs, maintenus à l'intrados par des bandes de plomb de $25\text{mm} \times 15\text{mm}$, à l'extrados par des coins et barrettes en fer ^{11, 12} ; on les matait au mortier de ciment à l'état de terre humide :

dans l'ordre.....	a	b	c, d	e	f, g, h, i
après exécution des					
tronçons.....	4	5	6	7	9

B. — *Voûtes de 17^m*. — En deux rouleaux ; à la clef et aux retombées, joints secs maintenus comme ceux de l'ogive, puis matés en commençant par la clef.

7. Décintrement de l'ogive (30 novembre 1907).

A. — *État d'avancement du pont*. — L'ogive portait : au sommet, toute la pile ; sur les reins, les voûtes d'évidement, clef et retombées non clavées ¹³.

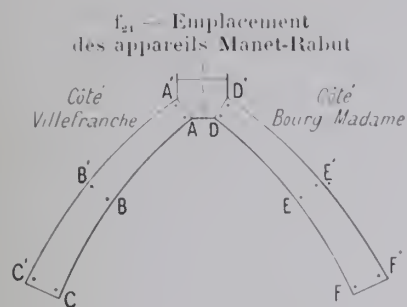
B. — *Travail dans l'ogive, en kg/cm^2* . — On avait disposé, à l'amont et à l'aval, en A, B, C... D' E' F' (f_{21}), 24 appareils Manet-Rabut.

¹¹. — Voir le pont de Ramounails (II, p. 188).

¹². — Les coins et les barrettes étaient suifés, pour empêcher le mortier d'y adhérer. Nous ne le faisons plus (voir plus loin : Livre II, Titre III, Chap. II).

Les joints, à l'extrados, étaient bouchés de chiffons afin de rester propres.

¹³. — On les a matés après le décintrement de l'ogive.



Voici, d'après leurs indications, les efforts dus au décintrement, en supposant le coefficient d'élasticité du granit : $E \text{ (kg/0}^{\text{m}}\text{01}^2) = 5,5 \times 10^5$.

	A	B	C	A'	B'	C'	D	E	F	D'	E'	F'
amont...	12 ^k	7 ^k	5 ^k	5 ^k	10 ^k	5 ^k	14 ^{k5}	4 ^{k5}	»	3 ^{k5}	7 ^{k5}	»
aval.....	»	4,5	»	4,5	7	»	9,5	8	»	5	10	»
moyenne	12	5,7	5	4,7	8,5	5	12	6,2	»	4,2	8,7	»

La courbe des pressions dues au décintrement se rapproche de l'intrados à la clef, de l'extrados aux reins.

8. Dates.

Commencement des travaux.....	2 mai 1906
Construction de l'ogive {	
Commencement des maçonneries.....	6 novembre 1906 ¹⁴
Montage du cintre.....	24 mars - 7 avril 1907
Achèvement du { 1 ^{er} rouleau.....	24 août 1907
2 ^e rouleau.....	15 septembre 1907
Décintrement.....	30 novembre 1907
Dalle {	
Moulage des entretoises.....	1 ^{er} avril - fin mai 1908
Pose de la dalle.....	1 ^{er} juin - fin juillet 1908
Achèvement des travaux.....	Décembre 1908
Ouverture à l'exploitation.....	Juillet 1910

9. Quantités et dépenses.

A. — Totales.

Décompte (rabais de 8 % déduit).		
1 ^o Sous la dalle en béton armé	Fouilles.....	12.309 ^f 62
	Remplissage.....	681 ^f 29
	Maçonnerie à mortier (10.352 ^{mc}).....	349.611 ^f 02
	Chainage des tympans.....	5.308 ^f 23
	Chapes et gargouilles.....	2.213 ^f 54
2 ^o Dalle en béton armé	Cintres.....	26.288 ^f 97
	Indemnité allouée à l'entrepreneur.....	123.494 ^f 16
	$d_1 =$	519.986 ^f 83
	Béton (116 ^{mc} 72 à 70 ^f).....	8.170 ^f 12
	Acier (21.531 ^k à 0 ^f 65).....	13.995 ^f 31
3 ^o Garde-corps (11.456 ^k à 0 ^f 85).....	Enduit en ciment (220 ^{mq} à 2 ^f 50).....	550 ^f
	Coaltar (2 couches) (7296 ^k à 0 ^f 25 et 0 ^f 15).....	1.216 ^f 01
	$d_2 =$	23.931 ^f 44
$d_3 =$		9.737 ^f 60
$D =$		553.655 ^f 87

B — Par unité.

1 ^o Ouvrage.— Prix {	par m.q. de surface utile.....	D : 994 ^{mq} 14 ¹⁵	=	556 ^f 91
	par m.c. de volume « utile ».....	D : 24.040 ^{mc} 8 ¹⁶	=	23 ^f 03
	par m.c. de maçonnerie à mortier.....	D : 10.352 ^{mc}	=	53 ^f 48

14. — Le mauvais temps arrêta à peu près complètement les travaux de décembre 1906 à mars 1907.

15. — Longueur entre abouts des garde-corps \times Largeur entre garde-corps.

16. — Surface vue de l'élévation \times Largeur entre garde-corps.

	Cube de béton	Poids de fer	Prix
2 ^e Dalle seule en béton armé	0 ^m 117	21 ^k 6	24 ^f 1
par m. q. en plan.	»	184 ^k	205 ^f
par m. c. de béton.			

10. Personnel.

Projet : M. Sejourné, Ingénieur en Chef des Ponts et Chaussées.

Exécution : $\left\{ \begin{array}{l} \text{M. Sejourné,} \\ \text{M. Lannusse, Ingénieur des Ponts et Chaussées,} \\ \text{M. de Noël, Chef de section.} \end{array} \right.$

Entrepreneurs : MM. Jean et Marc Sanfourche.

CHAPITRE II

OÙ ET POURQUOI

ON A FAIT DES PONTS A UNE SEULE GRANDE ARCHE

Art. 1. — Par économie. — On a jeté une grande arche :

par-dessus une rivière dans laquelle il eût été difficile de fonder : sol de fondation très bas¹⁷ ou mauvais¹⁸ ; crues hautes, subites, fréquentes¹⁹, surtout s'il est facile de fonder sur berges (rocher apparent²⁰, terrain imperméable¹⁷) :

par-dessus une gorge profonde²¹, à la place d'un viaduc à très hautes piles²², surtout entre deux flancs escarpés qui suppriment murs ou viaducs d'accès²³.

Pour une grande voûte, construite sur cintre retroussé, la hauteur au-dessus du fond ne coûte rien²².

Art. 2. — S'il faut réduire les remous. — S'il y a des villages dans la vallée submersible en amont du pont, et en général dans les villes, on supprimera, si on le peut, les appuis en rivière²⁴.

Art. 3. — Si la voie coupe en biais la rivière. — Dans ce cas, ou les piles en rivière seraient dans le sens du courant, mais sous des voûtes à appareil biais, — ou normales à la voie sous des voûtes droites, mais alors elles seraient obliques au courant et encombreraient le lit.

Φ_2



17. — Antoinette (II, p. 145). 18. — Bains-de-Lucques (III, p. 32).

19. — Collonges (I, p. 31), Oléron (I, p. 45), Gravona (II, p. 183), Bains de Lucques (III, p. 32), Morbegno (IV, p. 65), Prince-Régent (IV, p. 239), Max-Joseph (IV, p. 242).

20. — Gravona (II, p. 183), Castelet (II, p. 130).

21. — À Ronda (Andalousie), on a, au XVIII^e siècle, franchi la gorge du Tajo par une voûte de 13^m20 seulement (Φ_2). (Voir Tome II, p. 107, renvoi 1) — Date de la photographie : octobre 1893.

22. — Solis (I, p. 55), Wiesen (I, p. 235), Constantine (II, p. 107).

23. — Widditobel (II, p. 157), Rothweinbach (II, p. 171), Steyrling (III, p. 137), Montanges (III, p. 62).

24. — Grasdorf (IV, p. 129), Prince-Régent (IV, p. 239), Max-Joseph (IV, p. 242).

Ronda

Il vaut mieux, quand on le peut, jeter par-dessus la rivière une voûte droite d'assez grande portée pour que les culées soient en dehors du courant ²⁵.

Art. 4. — Pour l'aspect. — Dans une ville, on doit faire beau et grand ²⁶.

Quand le pont à construire est près d'une grande voûte, on ne peut, avec de plus grands moyens, se reconnaître inférieur aux anciens Ingénieurs ²⁷.

Art. 5. — Quand on a voulu une grande arche ²⁸.

CHAPITRE III

CHOIX DE L'INTRADOS

Art. 1. — Pleins cintres.

A. — *A une seule arche.* — On a jeté un plein cintre par-dessus des tranchées de rocher, entre des berges très inclinées ²⁹ : il est, là, assez peu gracieux ; il lui faut préférer un arc qui leur soit à peu près normal.

B. — *A plusieurs arches.*

B₁ — Ponts proprement dits. — Quand les naissances sont près du sol ou de l'eau, il y a, pour l'aspect, trop de tympans. Sont ainsi les ponts romains de Rimini ³⁰, de Salamanque ³¹, — assez malencontreusement imités au commencement du XIX^e siècle (Sèvres, Φ_3 ; Agen ; Moissac, Φ_4 ; ...)

Φ_3 — Pont de Sèvres — mai 1906

Φ_4 — Pont de Moissac — août 1908



Ces ponts bas, lourds, semblent faits pour porter quelque chose ³².

25. — Marella, Prarolo (III, p. 93), Isola del Cantone (III, p. 98), Gour-Noir (III, p. 103), Pouch (III, p. 110), Freyssinet (III, p. 112), Jaremcze (III, p. 114), Diveria (III, p. 130), Castelet (II, p. 130), Escot (II, p. 174).

26. — Prince-Régent (IV, p. 239), Max-Joseph (IV, p. 242), Walnut Lane (II, p. 83), Rocky River (II, p. 95), Constantine (II, p. 107).

27. — Clair (III, p. 36), Lavour (II, p. 135), Cêret (II, p. 160). 28. — Plauen (III, p. 52).

29. — Pont de St Sauveur sur le Gave de Pau (I, 27).

30. — Φ_{12} , p. III.

31. — Φ_{12} , p. 112.

32. — Projet de Palladio pour le pont du Rialto : le socle rappelle le pont de Rimini.

Giovanni Rossi, *Le Fabbriche e i Disegni di Andrea Palladio*, Tome IV, p. 77-78, 79, Tav. LII, LIII, Vicenza, 1709.

Il faut que les naissances soient franchement au-dessus de l'étiage³².

Les pieds-droits doivent être, ou assez bas pour un pont, ou assez hauts pour un viaduc.

B_2 - Viaducs. — Voir l'APPENDICE.

Art. 2. — Ellipses. — Les naissances seront, comme celles d'un plein cintre, au-dessus de l'eau ; autrement, à la moindre crue, on ne voit plus qu'un pont à arcs très peu surbaissés, à naissances noyées, d'aspect désagréable³³, — mais pas trop haut : il ne faut pas jucher une ellipse sur de hauts pieds-droits : un pont en ellipse doit rester bas³⁴.

A . - A une arche. — Il y a de fort belles voûtes très peu surbaissées³⁵ ; on en peut aussi faire de très plates (Φ_3).

Φ_3 — Pont sur le Canal de Brienne, à Toulouse³⁶ — juillet 1912



32. — Pont en plein cintre de Sèvres (Φ_3), où le barrage de Suresnès a élevé l'eau à 2-10 au-dessus des naissances.

33. — Pont de l'Alma (I, p. 153), Viaduc du Point du Jour.

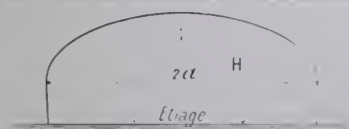
34. — Ceci, en dépit de quelques ponts récents : Ponts de la Reine Marguerite à Rome (Φ_6 p. 95) et à Turin (Φ_{10} , p. 110), Pont Cavour, à Rome (Φ_7 , p. 95).

35. — Lavour (Vieux Pont) (I, p. 97), Gignac (I, p. 103).

36. — Pres du pont des Aundonniers.

*B. - A plusieurs arches.**B₁. - Les naissances sont au-dessus des chaperons.* Φ_6 - Pont de la Reine Marguerite, à Rome - août 1908 Φ_7 - Pont Cavour, à Rome - août 1908

Ces ponts sont un peu juchés.

B₂. - Les naissances sont plus basses que les chaperons. f_{22} 

C'est l'emploi ordinaire et le meilleur, de l'ellipse.

On aura un joli pont en prenant :

$$2a = 2.5 H (f_{22}),$$

et le surbaissement du 1/4.

Art. 3. — Arcs.*A. Un seul grand arc.*

A₁. Arcs peu surbaissés. — L'œil accepte fort bien un grand arc à grande flèche, retombant sans pieds-droits sur le terrain naturel³⁷ : l'arc-en-ciel, peu surbaissé, est fort gracieux.

Il n'y faut pas de petits pieds-droits³⁸ : si on ne peut pas les supprimer tout-à-fait, on les élèvera aux dépens de la montée.

A₂. Arcs très surbaissés. — Il faut, dessous, assez d'air³⁹.

B. Plusieurs arches.

B₁. Meilleur surbaissement. — L'arc est disgracieux quand il n'est pas très surbaissé.

Un pont au 1/3 est très lourd : il faut au moins le 1/6.

Le meilleur surbaissement est 1/7,5, 1/8⁴⁰ ; on ne dépasse guère 1/10⁴¹,⁴².

Aux arches très tendues, il faut des culées très résistantes : le moindre recul est fort dangereux.

37. — Pont du Castelet, surbaissé à 1/2,94 (II, p. 130).

La partie au-dessus du sol du pont de Lavour est surbaissée à 1/2,68 (II, p. 135). Vieux ponts de Nyons (II, p. 25), de Tournon (II, p. 35), de Claix (II, p. 42).

38. — Cérêt (II, p. 160), Jaremeze (III, p. 114),...

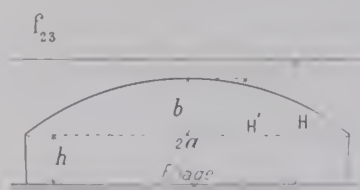
39. — Turin (III, p. 199), Claix (III, p. 36).

40. — Concorde (Φ_{20} , p. 117)

41. — Iéna.

42. — Le pont de Nemours (1795-1804), construit par Boistard sur les dessins de Perronet, est surbaissé au 1/15.

L'arche d'expérience de Souppes, de 37^m88 d'ouverture, était surbaissée à 1/18 (III, p. 375).



B_1 — Rapport entre la portée et la hauteur. —
Sous un pont à plusieurs arcs, il faut des pieds-droits ajustés, ni trop bas ⁴³, ni trop hauts.

Le rapport de la hauteur h des pieds-droits à la hauteur sous clef H' est 0,56 à 4 ponts en arcs réussis ⁴⁴.

Si on est libre et qu'on ne se préoccupe que de l'aspect, on prendra pour la portée 3 fois, 3 fois 1 2 la hauteur totale, et le surbaissement de 1 7,5 : on aura un joli pont.

Si les crues y obligent, on tend les arcs et on accepte des pieds-droits trop hauts (Φ_1).



Φ_8 — Pont de Tilsitt, sur la Saône, à Lyon (1864) ^{48 bis}

Art. 4. — Ogives. —
A. Ogive surhaussée. — C'est l'intrados des voûtes lourdement chargées à la clef ⁴⁵.

On l'a adoptée aussi pour d'autres motifs.

Comme elle pousse peu, elle convenait pour des ponts du Moyen-Age, qui « s'exécutaient arche par arche au fur et à mesure des ressources ⁴⁶ », chaque pile devant jouer successivement le rôle de culée ; elle convient pour des voûtes d'élégissement longitudinal qui poussent les tympans ^{47, 48}.

Grâce à sa hauteur, elle s'inscrit dans le toit pointu des cathédrales, dans l'angle de deux fortes rampes (Φ_9) ; elle assure un passage à travers une pile, un pilastre ⁴⁹.

43. — Ponts du Moyen-Age en arcs peu surbaissés, avec naissances à l'étiage, sans pieds-droits. Ils gênent les crues et sont affouillés (Avignon, Saint-Esprit, La Guillotière, Ratishonne, ...)



Φ_{10}

44.

	$\sigma = \frac{h}{2a}$	$\varepsilon = \frac{h}{H'}$
Pont National, à Paris.....	1 7,5	0,55
Pont d'Austerlitz, à Paris.....	1 6,8	0,56
Pont de Roanne.....	1 8	0,56
Pont Corneille, à Rouen.....	1 7,5	0,57

45. — Fontpédrouse (V, p. 87).

46. — Choisy, *Histoire de l'Architecture*, Tome II, p. 563.

47. — Chester (III, p. 29), Luxembourg (II, p. 67).

48. — On a, fort à tort, fait en ogive des ouvrages de la ligne d'Arles à Marseille (1850-54) (Φ_{10} — 1^{re} 858' + 274 de Paris).

48 bis. — Date de la photographie : août 1907.

49. — Laval (II, p. 135), Luxembourg (II, p. 67).



Son cintre, peu chargé, est léger.

Comme il ne faut pas d'angle rentrant dans une pierre, il y a un joint au sommet A (f_{24}), ou bien, comme à l'ontpédrouse⁵⁰, des clefs suppriment la pointe de l'intrados.

Φ_9 — Pont de Mostar^{53 bis}



B. — *Ogive surbaissée*⁵¹. — L'ogive très élégante et hardie du pont de la Trinité⁵² ne fait bien que bas : elle a été fâcheusement employée au pont sur la rue d'Alésia à Paris⁵³.

L'angle du sommet motive et justifie un cartouche.

50. — V, p. 87.

51. — Pont de Martorell (III, p. 313).

52. — III, p. 340 ; V, Φ_2 , p. 105.

53. — Ligne de Sceaux (III, p. 340).

53 bis. — Date de la photographie : mai 1911.

TITRE XII
QUELQUES RÉFLEXIONS
SUR L'ARCHITECTURE DES PONTS

CHAPITRE I
ENSEMBLE DE L'OUVRAGE

Art. 1. — Caractère de l'architecture des ponts. — Un pont est fait pour qu'on passe dessus : c'est une œuvre d'utilité, et qui doit durer. Il doit être et paraître ajusté à son objet, solide, clair, simple, bien exécuté, sans vains ornements.

Écoutons Perronet : « *Les grands Ponts étant.... des monuments qui peuvent « servir à faire connoître la magnificence et le génie d'une Nation, on ne saurait « trop s'occuper des moyens d'en perfectionner l'Architecture, qui peut d'ailleurs « être susceptible de variété, en conservant toujours dans les formes et la décoration, « le caractère de solidité qui lui est propre*¹ ».

.....
« *Le pont* », — de la place Louis XV², — « *devant être construit dans la « Capitale..... dans un lieu où la Nature & l'art ont répandu les plus beaux « aspects & des édifices de la plus grande magnificence, nous avons cru indispen- « sable de lui donner un caractère de décoration : nous n'y avons cependant « employé aucune espèce d'ornements de Sculpture, autant pour ne pas trop sortir « du genre de simplicité consacré à ces sortes de monuments, que pour ne point « affaiblir le caractère mâle qui convient à l'Architecture des Ponts*³ ».

Art. 2. — Proportions. — Un pont en maçonnerie vaut par ses formes générales, ses grandes lignes, ses proportions, son intrados, par un heureux rapport de la portée à la hauteur, de la montée à la portée : la décoration n'y compte guère.

Chacun de ses éléments, voûtes, piles, culées, tympans, couronnement, doit avoir l'importance qui lui revient, ne pas entreprendre sur les autres, bien s'ajuster à l'ensemble.

Ils seront tous légers dans un pont léger ; tous lourds, dans un pont lourd.

On n'érasera pas de légères voûtes par un lourd tympan, des piles grêles par des bandeaux à grand appareil, des tympans évidés par un parapet plein,....

Art. 3. — Adaptation aux lieux. — Le pont doit être adapté, non seulement aux lieux, mais au climat, aux monuments voisins, à la lumière, à la couleur locales : il doit sentir le terroir, avoir poussé naturellement sur le sol, n'avoir pas l'air importé, transplanté : il faut à Toulouse un pont toulousain.

1. — A la fin du Mémoire sur la Réduction de l'épaisseur des Piles & sur la Courbure qu'il contient de donner aux Voûtes, lu à l'Académie des Sciences le 12 novembre 1777.

Perronet : « *Description des projets et de la construction des Ponts de Neuilly, de Mantès, d'Orléans et autres* »,... Tome I, p. 112, Imprimerie Royale M DCC LXXXII.

2. — Aujourd'hui : de la Concorde.

3. — *Loc. cit.*, renvoi I, Tome II, p. 27, « Pont de la place Louis XV ».

Art. 4. — Viaducs. — La beauté d'un viaduc est dans le rapport de la portée à la hauteur, dans ses arêtes montantes et sa courbe d'intrados. Il faut que rien ne coupe les piles : pas de socles, pas de cordon aux naissances, pas de tailloirs aux contreforts, pas de chaînes d'angles aux arêtes des piles, pas de saillie des bandeaux sur la douelle ; pas d'autres lignes horizontales que celles du couronnement ⁴.

Art. 5. — Il ne faut pas se trop laisser conduire par les calculs. — Le projet fait, on s'assure qu'il tient : la science doit aider l'art, mais non pas l'étouffer. S'il manque de la matière quelque part, on en ajoute, mais sans blesser l'œil ; au besoin, on ne lui fait pas voir tout ce qu'il faut pour la stabilité : ainsi on cachera derrière un tympan plein une voûte trop épaisse aux reins ; s'il y en a trop, on en retranche, mais seulement ce que permet l'œil.

Art. 6. — Si on copie, ne pas faire de faute de copie. — Quand on se borne à copier, tout au moins faut-il faire s'accorder ce qu'on a emprunté : par exemple, ne pas juxtaposer des éléments d'un pont lourd et d'un pont léger.

On a trop copié depuis quelque cent ans.

Art. 7. — Se préoccuper toujours de l'aspect. — De tous les ouvrages, — je dis de tous, même des petits, — l'aspect importe : il n'est pas permis de faire laid.

C'est une étrange opinion que d'estimer cher ce qui est beau, bon marché ce qui est laid : on a fait laid et cher, beau et bon marché.

C'est dans les tracés qu'on économise : après, on ne fait plus que glaner, que grappiller. Ce qu'on gagne sur les ouvrages est misérable, et c'est faire voir bien peu de goût que les gâter pour si peu.

Art. 8. — Travailler toujours au progrès de l'art des ponts.

Tout n'a pas été fait, depuis quelque deux mille ans qu'on bâtit des ponts. Dans une grande ville, dans une capitale, on n'a pas le droit de faire un grand pont qui ne marque un progrès.

« Il en résultera peut-être un surcroît de dépense, mais l'art des Ponts ne saurait être trop perfectionné et il ne peut l'être que par de grands exemples ; il en coûte plus pour l'ouvrage qu'on entreprend, mais il en coûte moins pour ceux qui suivent ⁵. »

On a maintenant d'excellents mortiers ; on se joue des difficultés de fondations. Avec de plus grands moyens, a-t-on fait mieux que les anciens Ingénieurs ?

Art. 9. — Les Ingénieurs doivent savoir l'Architecture. — Les Savants qui ont fondé l'Ecole Polytechnique : Laplace, Monge,.... y ont institué un Cours d'Architecture.

A l'Ecole des Ponts et Chaussées, elle est aussi enseignée, — et fort bien.

4. — APPENDICE, Viaducs.

5. — Mémoire présenté au Roi par les Etats du Languedoc, 31 décembre 1779.

Sans doute, les Ingénieurs doivent avoir appris la Résistance des Matériaux : mais l'utile n'est pas tout.

La culture intellectuelle ne doit pas être rétrécie à l'utile seul, et c'a été un crime que de lui sacrifier, — pour un temps, j'espère, — les vieilles Humanités.

CHAPITRE II

ÉLÉMENTS DE L'OUVRAGE

Art. 1. — Appareil. — Les épaisseurs des assises, la vigueur de l'appareil, le poids apparent des matériaux doivent aller en diminuant du sol au couronnement ⁶.

Art. 2. — Piles, culées. — Les pieds, les supports de l'ouvrage, doivent paraître tout particulièrement solides : pour en assurer l'œil, on les revêt d'assises épaisses, avec bossages : on leur donne du fruit.

Art. 3. — Voûtes. — Dans les ponts en maçonnerie, la voûte est tout. On accentue vigoureusement ses têtes par une forte saillie sur les tympans, par l'appareil des voussoirs ; on les relève d'une archivolté ; on exagère les dimensions de la clef : on la fait saillir au-dessus et au-dessous du bandeau ; on la flanque de deux contre-clefs ; on y sculpte un cartouche.

Art. 4. — Tympans. — Les tympans, qui sont un poids sur le dos de la voûte, doivent être et paraître légers : on les revêt d'assises minces, de briques.

On se gardera, même dans une capitale, de les faire en pierres de taille de grand appareil.

On les traverse par des voûtes d'élégissement ; dans un pont long, on les raye de lignes d'ombre par des pilastres.

Art. 5. — Pilastres. — Au-dessus d'une pile, un pilastre sépare et encadre deux arches voisines ; sur une pile-culée, il peut séparer utilement une grande arche de petites voûtes d'accès.

Plaqué sur une culée pleine, il fait partie de la culée, il ne sépare rien.

On appareille un pilastre avec plus de vigueur que les tympans qu'il encadre, avec moins que les piles qu'il surmonte.

Art. 6. — Couronnement. — Pour regarder un pont, il faut reculer assez loin : on ne voit plus alors les petites moulures des chaperons, des corniches, des bahuts. Il en faut donc peu, mais de simples, nettes de loin, avec fortes saillies.

La hauteur et la saillie des corniches seront ajustées au pont.

On mettra sur un pont lourd, à tympans pleins, une corniche épaisse ; sur un pont léger, très évidé, un parapet très ajouré ; sur les culées, qui doivent toujours paraître robustes, un parapet plein.

6. — Au Pont de Saint-Loup (Ligne de La Ferté-Hauterive à Gannat, 1911-14), la saillie des bossages est de 4 à 5" aux culées, 3 à 4" aux piles, 2" aux pilastres et aux bandeaux.

Voir aussi : APPENDICE, Viaducs.

TITRE XIII

RESPECT AUX VIEUX PONTS

On a gâté de vieux ponts pour les élargir.

Au pont de la Tournelle à Paris, au pont de la Guillotière à Lyon, il n'y a pas très grand dommage.

Mais on a failli porter la main sur le joli pont d'Entraygues¹.

Des Ingénieurs se sont rencontrés, qui ont proposé de démolir le beau pont de Toulouse², le seul du pays qu'ait laissé debout la terrible crue de 1875.

C'est une méchante action que de jeter par terre un fruit, une parure de la « terre des pères » : c'est nous diminuer.

On doit respecter les choses qui ont duré, surtout celles de chez nous.

Restons fidèles au passé, soutien du présent et garant de l'avenir, et gardons des Barbares nos vieux ponts, nos vieilles églises, toute notre vieille France...

Præteriti fides, spes futuri.

1. — Φ_5 , Φ_6 , p. 34.

2. — Φ_7 , p. 57 ; Φ_5 , p. 84.

TITRE XIV DÉCORATION DES PONTS

CHAPITRE I

QUELQUES RÉFLÉXIONS SUR LA DÉCORATION DES PONTS

Dans un pont, la décoration doit seulement distinguer les différents membres, marquer, accentuer le rôle et l'importance de chacun. Mais elle doit faire partie du corps même de l'ouvrage : elle ne doit pas en pouvoir être détachée : elle ne sera pas rapportée, accrochée, plaquée.

Elle doit être sobre, discrète, modeste, raisonnable, utile¹.

Elle sera à l'échelle du pont : du point d'où on le regarde, il faut qu'on la voie. Les Architectes qui ont décoré des ponts ont quelquefois oublié qu'un pont n'est pas une maison, ni un théâtre, qu'on regarde de tout près, et les ont chargés de petites choses qu'on ne voit pas de loin.

On doit se rendre très exactement compte² de l'effet que fera, réalisée en vraie grandeur, une disposition agréable en dessin : on a eu des désillusions.

On n'est point obligé de traiter de même les deux têtes d'un pont^{3,4}.

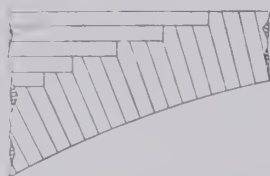
CHAPITRE II

TÊTES DES VOÛTES

§ 1. — BANDEAUX A CROSSETTES

Au XVIII^e siècle, dans le centre de la France, on a presque toujours extradossé les bandeaux à crossettes^{5,6} (f₁).

f₁



On a fait ainsi, en Italie dans les premiers ponts de chemin de fer⁷, aux États-Unis⁸, en Suisse⁹, en Autriche¹⁰, en Allemagne¹¹, en Angleterre¹².

1. — La coupe horizontale de quelques piles de Gauthey est en ovale. Les douelles de ses ponts de Navilly sur le Doubs et sur la Guyotte, qui ne sont vues que des pêcheurs et des grenouilles, sont à caissons : c'est raffiner hors de propos.

2. — Par des maquettes en plâtre, en terre, en pâte plastique... Il est bon d'avoir dans les bureaux des dessinateurs qui y soient exercés.

Perronet a fait faire beaucoup de maquettes : celles des ponts de Pont-Sainte-Maxence et de la Concorde sont à l'Ecole des Ponts-et-Chaussées.

3. — Pont des Amidonniers (I, p. 193).

4. — Pont de Saint-Loup sur l'Allier, 1910-1914 (Ligne de La Ferté-Hauterive à Gannat). La tête amont est revêtue de briques et coupée par des pilastres au-dessus des piles ; la tête aval est en moellons ordinaires à joints incertains, sans pilastres.

5. — *Ponts en anse de panier* : Blois, 1716-24 (Φ₁, p. 32 ; Φ₄, p. 107) ; Orléans, 1751-60 (Φ₁, p. 82 ; Φ₃, p. 107) ; Saumur, 1756-70 (Φ₂₃, p. 116) ; Mantes, 1757-65 (I, p. 160) ; Tours, 1764-77 (Φ₂₃, p. 116 ; Φ₃₆, p. 122) ; Neuilly, 1768-74 (Φ₉, p. 109 ; Φ₃₉, p. 122) ; ...

6. — *Ponts en arc* : Fouchard, à Saumur, 1773-84 (Φ₃₆, p. 116) ; Pont-Sainte-Maxence, 1771-86 (p. 68, renvoi 25) ; Brunoy, 1785-87 (Φ₃₄, p. 116) ; Concorde, 1786-91 (Φ₃₀, p. 117) ; Nemours, 1795-1804 (p. 95, renvoi 42) ; ...

7. — Prarolo (III, p. 93), Isola del Cantone, pont aval (III, p. 98).

8. — Cabin John (III, p. 75), Wheeling (III, p. 47).

9. — Nydeck (II, p. 51).

10. — St-Etienne (II, p. 55).

11. — Reichenbach (IV, p. 183).

12. — Londres (I, p. 147), Waterloo, à Londres (Φ₁₈, p. 113), Gloucester (I, p. 107), Putney (III, p. 239), Edouard VII (I, p. 182).

Les bandeaux à crossettes ne sont pas à conseiller.

Ils sont chers ; la voûte et les tympans ne font qu'un, alors qu'il faudrait séparer ce qui porte de ce qui est porté : les intrados semblent découpés dans un mur plein.

§ 2. — ARCHIVOLTES

Art. 1. — Avantages. — L'archivolte accentue la voûte, la sépare franchement de ses tympans. C'est une excellente décoration : on ne l'a pas assez pratiquée.

Elle est particulièrement motivée sous tympans très évidés, parce qu'on voit alors toute l'épaisseur de la voûte aux reins : il est bon, pour l'œil, de la diviser.

Elle n'est pas justifiée dans un pont rustique, simple, au-dessus d'un bandeau à bossages.

Φ_1 — Pont St-Ange (Pont Élius) à Rome ¹³ (138 ap. J.-C.)



Les Romains en ont fait grand usage dans leurs ponts (Φ_1), leurs portes, leurs arcs de triomphe, et aussi les Italiens de la Renaissance : ponts du Rialto (Φ_{29} , p. 117) et des Soupîrs (Φ_{30} , p. 125) à Venise, pont Saint-Michel à Vicence, pont de la Trinité à Florence (Φ_2 , p. 105).

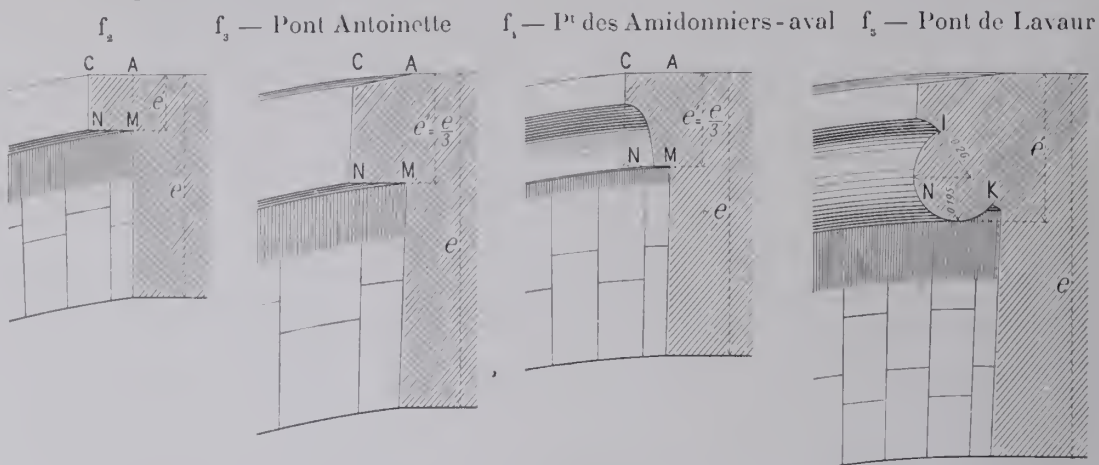
En France, au XVIII^e siècle, tandis que dans le Centre on supprimait toute saillie au bandeau, en Languedoc ¹⁴, en Bourgogne ¹⁵, revenant à la tradition romaine, on le détachait par de vigoureuses archivolttes.

13. — Date de la photographie : août 1908.

14. — Lavar (I, p. 97), Gignac (I, p. 103).

15. — Ponts de Gauthy : Pont-Pierre, sur la Thalie, 1766-70 ; Ponts de la Barque sur la Vallière, 1777-80 ; de Gueugnon, sur l'Arroux, 1783-87 ; de Saint-Laurent, sur la Saône, à Chalon, aval, 1784-89 ; de Navilly, sur la Guyotte, 1786-89.

Art. 2. — Profils. — L'archivolte peut être un simple filet ACNM (f_2)¹⁶, avec une pente AC (f_3)¹⁷.

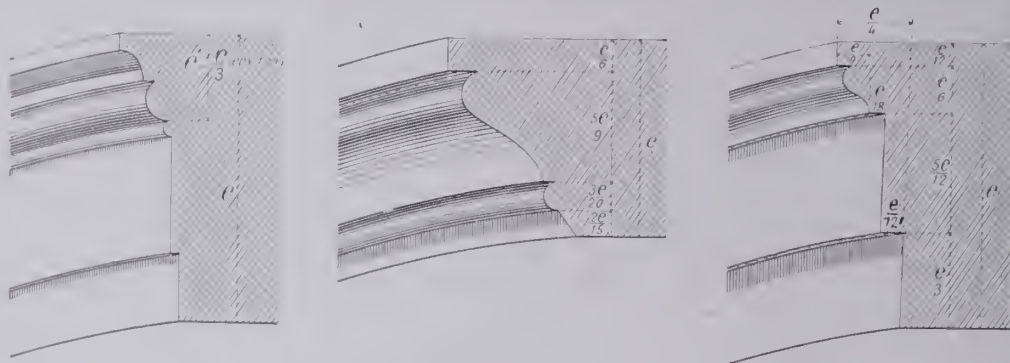


On y peut soit creuser un cavet (f_4)¹⁸, soit dégager le tore INK (f_5) : c'est l'archivolte des porches romans, — peut-être un peu lourde à Lavour¹⁹ (f_5), puis à Valence^{20, 21}.

On adopte pour $\frac{e'}{e}$ (f_5) un rapport simple 1/3²², 1/4; à 1/6, l'archivolte n'est plus qu'un mince filet²³.

On peut encore diviser le bandeau en tables²⁴ (f_6 , f_7), orner de moulures toute l'archivolte (f_8).

f_6 — Pont St-Ange, à Rome²⁵ f_8 — Pont de la Trinité, à Florence²⁶ f_7 — Ponts de Luxembourg²⁷ et des Amidonniers²⁸



Pour toutes ces archivoltes, il faut, entre les hauteurs de la moulure et des tables et l'épaisseur totale de la voûte, des rapports simples voisins de ceux du Vieux pont de Lavour²⁹. Si on s'en écarte trop, l'effet se perd.

16. — Pont de Narni, sur la Nera (Italie). Voir III, p. 317.

17. — Antoinette (II, p. 145), Gour-Noir (III, p. 103), Rébuzo (I, p. 48), Morbegno (IV, p. 65), Lusserat (III, p. 155).

18. — Porte de Pérouse. Amidonniers (face aval) (I, p. 196^{IV}, Pl. 3, f_{22}).

19. — II, p. 135. 20. — I, p. 173.

21. — On a relevé ainsi par des boudins romans des têtes de souterrain sur les lignes de Rodez à Millau, de Mende à Severac, de Mantes à Argenteuil.

L'effet est excellent pour ceux à deux voies (souterrain de Meulan, ligne de Mantes à Argenteuil).

22. — Antoinette (II, p. 145). 23. — Narni. 24. — Gignac (I, p. 103).

25. — Eau-forte du Piranèse. — Mes photographies. 26. — Voir f_{22} , p. 105.

27. — II, p. 68^{IV}, Pl. 2, f_{11} . 28. — I, p. 196^{IV}, Pl. 3, f_{22} .

29. — I, p. 96^{III}, Pl. 1, f_3 . On les a adoptés à Luxembourg, aux Amidonniers (f_7).

Art. 3. — Appareil. — Voir Titre I, p. 17, dernier alinéa.

Art. 4. — Fruit. — Quand, ce qui est le cas général, l'épaisseur de l'archivolte augmente à partir de la clef, il faut, de même, qu'augmente la saillie; elle aura ainsi plus de fruit que la voûte ³⁰.

Φ_2 — Pont de la Trinité, à Florence ³¹



Art. 5. — Archivoltes de voûtes en briques. — Avec la brique, il est facile de faire, à peu de frais, des archivoltes d'un bon effet ³²; on fait simplement ressauter chaque rouleau sur le rouleau inférieur.

Art. 6. — Arrêter ou recevoir l'archivolte. — Quand on fait une archivolte, il faut la recevoir, l'arrêter quelque part, ne pas la laisser suspendue.

A Lavar ³³, elle se retourne horizontalement à 60° de la clef; au pont Antoinette ³⁴, elle s'enfonce dans le sol avec l'arc; à Luxembourg ³⁵, elle est arrêtée par un sommier.

Les archivoltes et leur retour horizontal sont souvent sous des voûtes d'élégissement.

Si ce retour est bas, les piles d'élégissement sont hautes et s'appuient sur une partie fuyante de la voûte; s'il est haut, il reste dessous trop de tympan, au détriment de l'aspect.

30. — Les fruits sont :

	Têtes	Archivoltes
au Pont de Lavar	1 25	1 22
au Pont Antoinette	1 25	1 20

 31. — Voir Tome III, p. 340. — Date de la photographie : juin 1908.

32. — Pont de Saint-Waast, sur l'Agoût (1882-84), Ligne de Montauban à Castres (Φ_{31} , p. 118).

33. — II, p. 135. 34. — II, p. 145. 35. — II, p. 67.

Si des pilastres encadrent la grande voûte, il faut que le retour horizontal soit assez long.

Il n'est pas facile d'accorder ces conditions opposées.

§ 3. — BANDEAUX, AVEC TABLE INFÉRIEURE EN RETRAITE SUR LES TYMPANS

Dans les ponts romains, plus tard en Languedoc, en Bourgogne, l'archivolte est en saillie sur les tympans.

Au moyen-âge, la voûte est souvent en rouleaux : le supérieur dans le plan du tympan, l'inférieur en retraite (Φ_3), ^{36, 37}.

Φ_3 — Vieux pont de Prague (xiv^e) ³⁸



Quelquefois, on a mis en encorbellement les tympans sur les têtes, les parapets sur les tympans ³⁹ : la chaussée est plus large que la voûte.

§ 4. — CLEFS PENDANTES. — CARTOUCHES

Dans les ponts ornés, on marque le milieu de la voûte par une clef et des contre-clefs ^{39 bis}, soit plates ⁴⁰, soit, mieux, sculptées ⁴¹ aux armes du pays, de la

36. — Dans les églises ogivales, les voûtes des nefs sont ainsi.

37. — Ponts de Soissons (Choisy : *Histoire de l'Architecture*, II, p. 564); d'Espalion; d'Entraygues : sur la Truyère (Φ_5 , Φ_6 , p. 34), sur le Lot; vieux pont à Chester,...

38. — Date de la photographie : Septembre 1904.

39. — Vieux pont de Pise (Choisy : *Histoire de l'Architecture*, tome II, p. 564).

39 bis. — Elles pourront relier utilement une corniche à une archivolte (Luxembourg, II, p. 68^{re}), Annidonniers (I, p. 196^{IV}).

40. — Aux vieux ponts de Lavaur (I, p. 97) et de Gignac (I, p. 103), on devait sculpter sur les clefs les armes du Languedoc.

41. — Ponts Montaudran et des Minimes à Toulouse sur le canal du Midi (Φ_{12} , Φ_{13} , p. 123).

province ⁴², de la ville, du souverain ⁴³.

Voici le beau cartouche sculpté à Blois par Guillaume Coustou (1724) ⁴⁴ :

Φ_4 — Pont de Blois — Clef amont de la voûte du milieu ^{45-a}



Si le pont a plusieurs arches, on ne mettra de cartouche qu'à la clef de la

Φ_5 — Vieux pont d'Orléans ^{45-b}



voûte centrale, pour bien marquer le milieu du pont, surtout s'il est en dos d'âne et a, alors, un sommet (Φ_5).

On peut n'en mettre qu'à l'amont ⁴⁶, ne pas faire le même à l'aval ⁴⁷.

Les gens qui passent sur le pont voient le dos du cartouche : il y faut dessiner quelque chose ^{48, 48}.

42. — Ornaisons (I, p. 65) ; Amidonniers (I, p. 193).

43. — Luxembourg (II, p. 67).

44. — La Révolution brisa la couronne royale, martela les fleurs de lys de l'écusson.

De Dartéin. *Etudes sur les Ponts en pierre remarquables par leur décoration antérieurs au XIX^e siècle*, vol. II, p. 92, "Pont de Blois, par Jacques Gabriel et l'atron, 1716-1724".

45. — Dates des photographies : a, avril 1914 ; b, août 1905.

46. — Vieux pont d'Orléans (1751-60).

47. — Blois, Luxembourg (II, p. 67), Amidonniers (I, p. 196^{IV}, f₁₇, f₁₈).

48. — Luxembourg (II, p. 67).

Le cartouche doit être à l'échelle du pont (Φ_6) : on l'a parfois fait trop petit. A Toulouse ⁴⁹, le cartouche central a 8^m de long.

Φ_6 — Aqueduc de Montpellier (1770-72) ⁵⁰



Aux ponts du Prince-Régent ⁵¹ et Max-Joseph ⁵² à Munich, on a suspendu des appliques de bronze.

§ 5. — VOSSURES

Art. 1. — Pourquoi on a échaucré par une voussure des têtes de ponts.

1° Pour mieux entonner les eaux : ceci n'est qu'un prétexte qui, au demeurant, ne les justifie pas à la tête aval.

2° Pour réduire l'avant-bec des piles : c'est une raison. — On a fait ainsi aux Amidonniers, seulement à la tête amont.

3° Pour l'aspect : c'est, je crois, fort à tort ; de loin, d'un pont en ellipse avec voussure, on voit surtout les bandeaux en arc : on dirait d'un pont en arc renforcé aux reins : c'est lourd ⁵³.

Tout au contraire, on a très heureusement ébrasé en bouche de cloche les arches latérales de Gignac ⁵⁴.

49. — Amidonniers (I, p. 196^{IV}, f. 17).

50. — Date de la photographie : juin 1914.

51. — IV, p. 239.

52. — IV, p. 242.

53. — Neuilly (Φ_9), Alma (I, p. 153), Empereur-François (I, p. 168), Valence (I, p. 173).

54. — I, p. 103.

4° Pour élargir de vieux ponts (Φ_7 , Φ_8).

Φ_7 — Pont St-Laurent, à Chalon-s. S., amont ^{55, 60-a}



Φ_8 — Pont de Jurançon, sur le Gave de Pau ^{56, 60-b}



Art. 2. — Quels intrados a-t-on « voussurés » ? — On ne « voussure » guère que les ponts en ellipse ⁵⁷, on « voussure » rarement les ponts en arc ⁵⁸.

Φ_9 — Pont de Neuilly, sur la Seine ^{59, 60-c}



55. — Construit au xve siècle, élargi en 1785-89 par Gauthey. (De Dartein, loc. cit. renvoi 44. Vol. IV, p. 207.)

56. — Construit vers 1739, élargi en 1870-73.

57. — Tome I : Gloucester, p. 107 ; Annibal, p. 112 ; Diable, p. 116 ; Alma, p. 153 ; Empereur-François, à Prague, p. 168 ; Valence, p. 173 ; Amidonniers, p. 193.

58. — Mosca, à Turin (III, p. 199) ; pont Verdi, à Parme.

59. — Perronet : « Description des Projets et de la Construction des Ponts de Neuilly, de Mantes, d'Orléans et autres... » Tome I^{er}, Paris. Imprimerie Royale, MDCCCLXXXII. p. 1 à 65, Pl. I à XIX.

60. — Dates des photographies : a, mai 1909 ; b, octobre 1909 ; c, août 1901.

Art. 3. — Tracé des voissures. — J'ai indiqué comment on avait défini les cornes de vache de l'Alma ⁶¹ et celles, plus courtes, de Valence ⁶².

Φ_{10} — Pont de la Reine Marguerite, à Turin ^{71-a}



Φ_{11} — Pont Humbert I^{er}, à Rome ^{71-a}



Il faut que les surfaces soient bien régulières, sans creux ni bosses : on n'y a pas toujours réussi (Φ_{11}).

Les voissures compliquent l'appareil et le cintre ; elles exigent beaucoup de pierre de taille et coûtent très cher.

Φ_{12} — Pont de Châtellerault ^{71-b}



Art. 4. — La voissure est-elle française ? — On en voit au Pont-Neuf de Paris (1578-1607) (Φ_{32} , p. 119), au pont de Neuilly (1768-74) (Φ_9) imité à Gloucester ⁶³, au pont en arc de Homps (1781-88) ⁶⁴, au pont Mosca à Turin ⁶⁵, imité d'un projet de Perronet, à Bordeaux (1819-1822), à Châtellerault ^{65 bis} (Φ_{12}), à Bar-

bentane sur la Durance ⁶⁶, à l'Alma ⁶⁷, puis à Prague ⁶⁸, à Valence ⁶⁹.

On s'en est fort engoué en Italie ⁷⁰.

61. — I, p. 153.

62. — I, p. 173.

63. — I, p. 107.

64. — De Dartein, *loc. cit.* renvoi II, vol. III, p. 173.

65. — III, p. 199.

65 bis. — Pont de Châtellerault, 1564-1609. Directeur des travaux : de 1594 à 1606, Charles Androuet du Cerceau ; ensuite son fils René, architectes du Roi. — Les voissures dateraient de 1825-1830.

Bulletin et Mémoires de la Société des Antiquaires de l'Ouest. Tome XXIV (de la 2^e série). Année 1900. « Un Monument historique du XVI^e siècle, Le Pont de Châtellerault, 1564-1830 », par M. Alfred Barbier. Mémoire : p. 1 à 85 ; pièces justificatives, p. 87 à 151.

66. — Ligne d'Avignon à Marseille (1846-49).

67. — I, p. 153.

68. — I, p. 168.

69. — I, p. 173.

70. — Ponts Annibal (I, p. 112), du Diable (I, p. 116) ; nouveaux ponts de Rome (Φ_{11}), de Turin (Φ_{10}).

71. — Dates des photographies : a-août 1908 ; b-mai 1907.

CHAPITRE III

MURS DE TÊTE

On y a creusé des niches ⁷² (Φ_{13}).

On a très souvent entouré d'un cadre un panneau en recul ⁷³, avec ornements en relief (Φ_{14}) ⁷⁴.

Φ_{13} — Pont de Rimini ⁷⁵



On a suspendu des couronnes ⁷⁶, des écussons avec ⁷⁷ ou sans ⁷⁸ attributs, des médaillons ⁷⁹ (Φ_{15}), sculpté des initiales ⁸⁰, souvent trop maigres.

On a traversé les tympons d'arches ; on y a ouvert un œil-de-bœuf ⁸¹.

72. — Rimini ; Pont Marie, à Paris (XVII^e siècle) ; Gloucester (I, p. 107) ; Chester (III, p. 29) ; Bains-de-Lucques (III, p. 32) ; ...

73. — Trinité (Φ_2 , p. 105), Laval (Vieux Pont) (I, p. 97), Ballochmyle (I, p. 41), Calcio (III, p. 100), Bellefield (III, p. 49).

74. — Pont de Navilly sur le Doubs (Φ_{16} , p. 113).

75. — Date de la photographie : août 1908.

76. — Bercy, Louis-Philippe, à Paris.

77. — Austerlitz (Φ_{11} , p. 122).

78. — Iéna, Tilsitt (Φ_8 , p. 96), Edouard VII (I, p. 182).

79. — Boucicaut (III, p. 243), Prince-Régent (IV, p. 239), Pont Isabelle, à Turin, ...

80. — Saint-Michel ; Pont-au-Change ; Saint-Jean, à Saubusse ; Point-du-Jour, ...

81. — Vieux Pont de Toulouse (Φ_7 , p. 57) ; pont de l'Isle sur le Loir, près Bonneval (1710-1717).

Φ_{11} — Ponte Rotto, à Rome ^{82, 86-a} Φ_{15} — Pont de Salamanque ^{86-b}

Pour de longs ouvrages, il est bon d'établir, au-dessus des piles, des pilastres : ils rayent d'une ligne d'ombre la surface monotone des tympanans ⁸³ ; ils réunissent les pieds et le couronnement du pont ; ils portent les dés du parapet, des candélabres, des statues, ... On en voit dans des ponts romains (Φ_{11}) ⁸⁴, dans des ponts du XVIII^e siècle ⁸³, dans ceux de nos jours ⁸⁵.

⁸². — Pont Palatin, restauré et décoré en 1575 par les Borghèse. (Leur chimère est sculptée dans les cadres). — Aujourd'hui *Ponte Rotto*.

De Dartein, *loc. cit.*, *renvoi 44*, vol. IV, Introduction, p. xvii.

Au pont de Navilly (Φ_{16}), pour le relief des tympanans, Gauthey paraît s'être souvenu du pont Palatin.

⁸³. — Tours (Φ_{25} , p. 116), Saumur (Φ_{21} , p. 116), Fouchard (Φ_{26} , p. 116), ...

⁸⁴. — Pont Saint-Ange (Φ_1 , p. 103), ...

⁸⁵. — Londres (I, p. 147) ; Putney (III, p. 239) ; Marmande (Φ_{10} , p. 37) ; Tolbiac, à Paris, ...

⁸⁶. — Dates des photographies : a - août 1908 ; b - mai 1889.

Φ_{16} — Pont de Navilly, sur le Doubs — amont ^{93-a} Φ_{17} — Pont de Navilly, sur le Doubs — aval ^{93-a} Φ_{18} — Pont de Waterloo, à Londres ^{93-b}

Sur les pilastres, on sculpte un motif de décoration : on l'a souvent fait trop maigre, trop menu ⁸⁷.

On peut varier à l'infini les formes et la décoration du motif au-dessus des becs : pyramides (Φ_{16}) ^{88, 90}, colonnes portant un globe ^{89, 90}, piédouche portant un écusson (Φ_{17}) ⁹⁰; globe sur la pointe d'un chaperon ⁹¹, sur un piédouche à fût cannelé ⁹²;...

Il y en a beaucoup à ne pas imiter, par exemple ce morceau de frise sur deux colonnes (Φ_{18}).

Dans ses ponts, Gauthy ⁹⁰ a fait voir plus d'imagination que de goût. Retenons seulement qu'il ne s'est pas cantonné dans un type, qu'il a traité différemment chacun de ses 15 ponts : ceci est à imiter.

87. — Nouveau pont d'Ainay sur la Saône, à Lyon. — Pont de l'Université, sur le Rhône, à Lyon.

88. — Ponts des Echavannes (Φ_8 , p. 57), Saint-Laurent à Chalon (Φ_7 , p. 100).

89. — Pont de Cuisery (emporté en 1789).

90. — Ponts de Gauthy : De Dartein, *loc. cit.* *renvoi 11*, vol. IV, Introduction, p. XIV.

91. — Pont de Tours, aval (Φ_{25} , p. 116).

92. — Pont de Tours, amont.

93. — Dates des photographies : a - mai 1911; b - juin 1906.

Φ_{19} = Pont des Invalides, à Paris

Sur la pile, on a placé une statue (Φ_{19})⁹⁴, un groupe (Φ_{20}).

Au pont La Fayette (Φ_{20}), les sujets sont, de loin, indistincts, confus. Rien ne se dégage d'une tache générale sombre.

On voit bien les colonnes du pont Morand (Φ_{21}).

Ponts sur le Rhône à Lyon (1888-90)⁹⁵ Φ_{20} = Pont La Fayette Φ_{21} = Pont Morand

La décoration ne doit pas envahir l'ouvrage : elle doit rester modeste, effacée.

Il faut que les ornements soient à l'échelle du pont ; qu'on les distingue de loin ; qu'ils ne soient pas rapportés, mais fassent corps avec lui.

Je l'ai dit ; je le redis.

CHAPITRE IV

COURONNEMENT

§ 1. — *PLINTHE ou CORNICHE*

L'épaisseur, la saillie, varient suivant l'ouvrage, sa hauteur, ses formes. Aux hauts viaducs, aux ponts lourds, il faut une corniche épaisse, donnant une ombre large.

Une corniche sépare les tympanes du parapet ; elle couronne l'ouvrage et supporte l'attique, toujours plus léger : ces deux membres doivent être et paraître fort différents : s'ils ont même aspect, la plinthe ne se comprend plus.

On a dit que la plinthe indique à l'œil le niveau de la voie ou du trottoir. Je n'entends plus guère cette raison-là.

94. — Alma (1, p. 153) ; Mirabeau.

95. — Date des photographies : juin 1909.

Il y a de beaux profils de corniche : celui de Rimini (Φ_{22}), ceux à grand cavet des cathédrales des x^{e} et $xiii^{e}$ siècles ⁹⁶, le gros boudin du $xviii^{e}$ ^{97, 98}, posé sur un cavet (f_9) ^{99, 100}, sur une doucine (f_{10}) ¹⁰¹.

On a placé la plinthe sur des modillons (Φ_{22}) ¹⁰², des corbeaux : on en règle au mieux l'aspect, la hauteur, l'espacement. On les arrête aux culées, ils ne les pourtourment pas.

Φ_{22} — Pont de Rimini ¹⁰⁶



Nous supprimons maintenant la plinthe sur les culées ¹⁰³ : c'est plus vigoureux, plus cru. Les culées ne sont pas l'ouvrage, elles en sont le cadre : un peu brutales, elles l'arrêtent bien.

Dans nombre de ponts du Moyen-âge ¹⁰⁴, dans de plus récents ¹⁰⁵, il n'y a pas de plinthe.

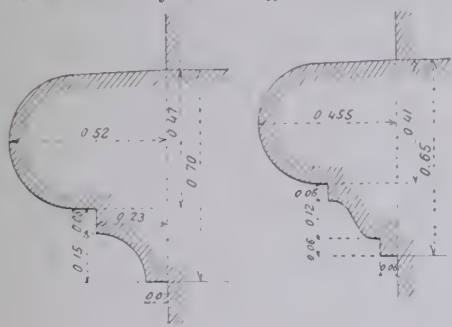
96. — Castelet (II, p. 131, f_3), Lavour (II, p. 136, f_3), Antoinette (II, p. 145, f_3), Saint-Waast (Φ_{31} , p. 118). Voir aussi : APPENDICE, - Viaducs.

97. — Ornaisons (I, p. 64, f_3).

98. — Sa surface supérieure, presque horizontale, se couvre de mousse, de végétation, d'ordures.

f_9 - P^e de Neuilly - 4mm

f_{10} - P^e de Blois - 4mm



99. — Ponts du $xviii^{e}$ siècle en Languedoc : des Minimes, sur le canal du Midi, à Toulouse (1760-1763) (Φ_{11} , p. 123), de Carbonne, sur la Garonne (1764-1780), de Gignac (I, p. 103). — De Dartain : *loc. cit. renvoi H.* Vol. III.

100. — Neuilly (1768-74) (Φ_9 , p. 109, f_9), Luxembourg (II, p. 67), Amidonniers (I, p. 193).

101. — Blois (1716-1724) (f_{10} , Φ_{11} , p. 107).

102. — On en a un peu abusé (Ponts de Roanne, de Chalonnes, etc...).

103. — Luxembourg (II, p. 67), Fontpédrouse (Φ_1 , p. 88 bis), La Croix (Φ_{11} , p. 78). — Voir APPENDICE, - Viaducs.

104. — Entraygues (Φ_1 , Φ_6 , p. 34), Tournon (II, p. 35), Claix (III, p. 36).

105. — Passages supérieurs : lignes de Lyon à Marseille, de Mende à Séverac, de Marvejols à Neussargues.

106. — Date de la photographie : août 1908.

§ 2. — PARAPETS

Art. 1. — Parapets pleins. — Sur un pont un peu long, un parapet à profil constant est monotone : on peut l'accider de dés en saillie, faire des encadrements de pierres de différentes couleurs, des panneaux de briques, etc...

Sur la paroi extérieure, on peut dessiner une « poste » (Φ_{23}), une grecque, plus ferme (Φ_{21})¹⁰⁷.

Φ_{23} — Pont de Saumur^{108, 110.a}



Φ_{24} — Pont de Brunoy^{109, 110.b}



A Saumur, sur la Loire (1756-1770) (Φ_{23}), à Tours (1764-1777) (Φ_{25}), à Saumur, sur le Thouet (Pont Fouchard) (1773-1784) (Φ_{26}), de Voglie a adopté une disposition originale, intéressante, imitable :

Φ_{25} — Pont de Tours, aval^{110.c}



Φ_{26} — Pont Fouchard^{110.c}



Une large bande plate court d'un bout à l'autre du pont, embrassant corniche et parapet : elle s'appuie au droit de chaque pile sur une table verticale de même saillie. La bande et les tables font des

Φ_{27} ^{110.d}



107. — Voici (Φ_{27}) celle de la Promenade du Peyrou, à Montpellier (fin du XVIII^e siècle).

108. — De Dartein, *loc. cit.*, renvoi 41, vol. II, p. 69.

109. — Sur l'Yères (1785-87) — Pont de Perronet — *id.*, p. 193.

110. — Dates des photographies : a, août 1907 ; b, avril 1914 ; c, août 1907 ; d, juin 1914.

cadres rectangulaires contenant chaque arche, en manière « *d'arcade renforcée* »¹¹¹.

Art. 2. — Parapets évidés. — Un parapet plein au-dessus d'une plinthe ne se comprend guère : un attique doit être et paraître léger.

Ponts à Venise^{111-a}

Φ_{24} — Près du Palais des Doges



Φ_{25} — Pont du Rialto



On couronne très heureusement un pont par une file de balustres¹¹², interrompue par des dés pleins¹¹³.

Φ_{30} — Pont de la Concorde, à Paris (1786-91)^{114-b}



Les balustres du pont de la Concorde sont d'un joli dessin, bien ferme.

111. — De Dartein, *loc. cit. renvoi II*, Vol. II : Notice sur Jean de Voglie, p. 67 ; Pont de Tours, p. 117 ; Pont Fouchard, p. 159.

112. — Il faut très peu de vide entre les panes.

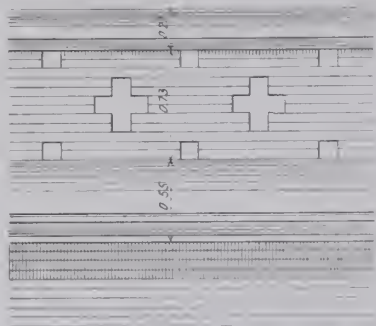
113. — Luxembourg (II, p. 68^{ter}, Pl., f₁).

114. — Dates des photographies : a, juin 1908 ; b, juillet 1902.

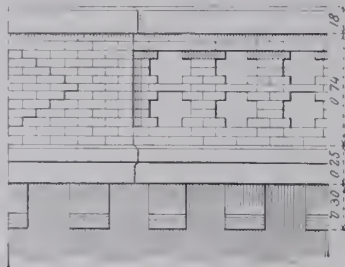
On ajoute très facilement un parapet en briques : petits piliers ¹¹⁵, fût troué de vides (f_{11} , f_{12}). Il y faut un peu de goût : on en a quelquefois manqué.

Si le pont est étroit, par exemple sous chemin de fer à une voie, et si l'on est à son niveau, on voit, à travers les jours du parapet d'une face, les pleins de l'autre.

f_{11} — P^r de St-Waast, projet non exécuté — 2^{cm}



f_{12} — Pont des Andelys ¹¹⁶ 2^{cm}



Un ouvrage avec un parapet trop léger en métal ne paraît pas couronné du tout : on ne perçoit qu'un « grisé », — et des dés, s'il y en a.

Il faut étoffer les garde-corps en métal ¹¹⁷.

Φ_{11} — Pont de Saint-Waast ¹¹⁸



§ 3. — REFUGES

Il n'est pas aussi facile qu'il semble de disposer, sans dommage pour l'aspect, des refuges dans un parapet : il y faut quelque étude.

On ne peut accepter des refuges pleins que dans un parapet très étoffé.

Un dé plein est bien placé sur un contrefort, sur un pilastre surmontant un bec, sur des voûtains ou des consoles en pierre (Φ_{11} , f_{12}).

Si le garde-corps est léger, le mieux est de le conserver pour les niches, mais un peu plus nourri, et de le soutenir par des corbeaux discrets.

115. — Anloinette (II, p. 145); — Saint-Waast (Φ_{11}) : voir renvoi 32, p. 105.

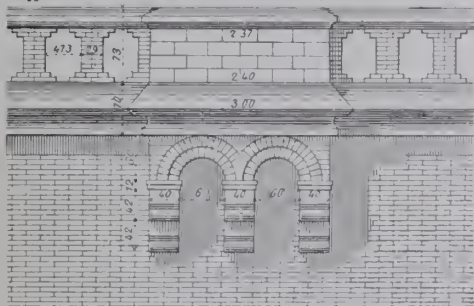
116. — Sur la Seine, 1872-73. — Voir p. 61, renvoi 54.

117. — Pont de l'Université, à Lyon.

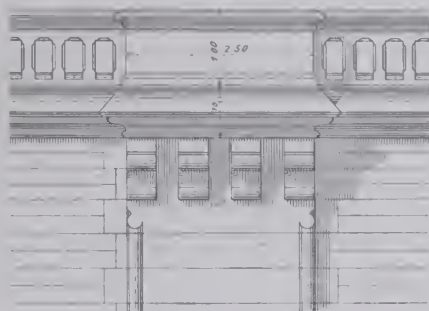
118. — Cliché Terpereau, Bordeaux.

Voici quelques dispositifs :

f_{13} — Pont de Saint-Waast (1882-84) — 1^{cm}

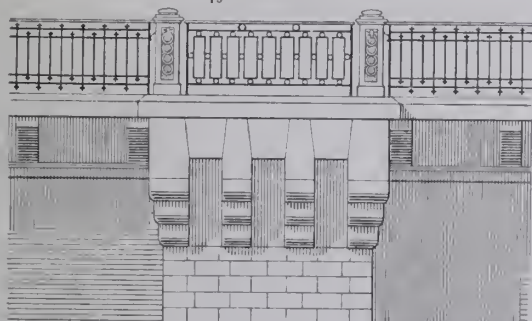


f_{14} — Pont de Mantes (1888-92) ¹¹⁹ — 1^{cm}

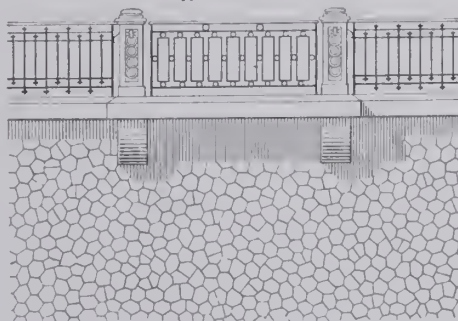


Pont de Saint-Loup (1910-14) ¹²⁰ — 1^{cm}

f_{15} — Amont



f_{16} — Aval



Au Pont-Neuf, on a appuyé des niches rondes sur des becs pointus (Φ_{32}).

Φ_{34} — Pont-Neuf, à Paris (1578-1607) ¹²¹



119. — Sur le bras navigable de la Seine. « Monographie de la ligne d'Argenteuil à Mantes », M. Bonnet, Ingénieur des Ponts et Chaussées, Paris, Dunod, Atlas, Pl. IX.

120. — Voir renvoi 21, p. 33.

121. — Date de la photographie : juillet 1902.

§ 4. — STATUES SUR UN PONT

 Φ_{13} — Pont de Wurzburg ^{121 a}

Pour être vues avec lui, elles doivent être à son échelle, c'est-à-dire énormes.

Pour être vues des gens qui passent sur le pont, elles doivent être à l'échelle des passants, c'est-à-dire n'être pas beaucoup plus grandes qu'un homme ¹²².

De petites statues, à bonne échelle de près, sont trop petites vues avec le pont (Φ_{22}) ¹²². De grandes, à bonne échelle de loin, sont écrasantes de près ¹²³.

Il n'est donc pas possible de placer sur un pont des statues, à voir à la fois des rives et du pont : il faut choisir.

Pont des Belles-Fontaines (1728), (sculptures de Guillaume Coustou). — Aval ^{124 b} Φ_{14} — Ensemble Φ_{15} — Détail

122. — Pont Saint-Ange à Rome (Φ_1 , p. 103); Vieux Pont de Prague (Φ_2 , p. 106); Tritenheim (III, p. 276)

123. — Les socles posés sur les colonnes du pont de la Concorde attendent depuis plus de cent ans d'avoir quelque chose à porter. Au lieu des pyramides de Perronet, en métal, creuses, à faces ajourées, on songea à y placer des statues de grands hommes. Douze étaient en place en 1836, mais elles écrasaient le pont. On les envoya à Versailles faire cortège à celle de Louis XIV.

124. — Dates des photographies : a, juillet 1909; b, mai 1907.

On peut placer de grandes statues sur les becs des piles, les passants ne les voient pas¹²⁵, ou encore aux entrées élargies des ponts, sur de hauts piédestaux¹²⁶.

Les statues doivent être du style du pont : on se gardera de placer des marbres du XVIII^e siècle sur un vieux pont¹²⁷.

On n'a pas fait cette erreur au pont des Belles-Fontaines¹²⁸ (Φ_{34} , Φ_{35}).

On peut trouver des motifs de décoration n'ayant pas, comme une statue, des dimensions obligées, une échelle propre, par exemple, les obélisques qui couronnent très heureusement le pont du Midi, sur le Rhône, à Lyon (Φ_{36}).

Φ_{36} — Pont du Midi, à Lyon (1889-91)^{131-a}



Ils chargent, comme il convient, les pilastres qui prolongent les becs, et séparent les arches. Au pont voisin de l'Université, les pilastres ne portent que des candélabres : maigre charge sur cette large base.

§ 5. — INSCRIPTIONS COMMÉMORATIVES

Φ_{37} — Pont Cestius, à Rome (20 av. J.-C.)^{131-b}



On a souvent inscrit la date de construction, les noms des souverains, des auteurs des ponts, sur des piédestaux¹²⁹, des colonnes, dans des cartouches, aux abouts des ponts¹³⁰, au sommet des arches (Pont Fabricius, à Rome), sur une partie surélevée de la face intérieure du parapet (Pont de Rimini, Pont Cestius, à Rome, Φ_{37} ,....)

125. — Alma (I, p. 153), Invalides (Φ_{130} , p. 113), Mirabeau,....

127. — Wurzburg (Φ_{13}).

128. — Sur l'Orge, près de Juvisy (1728). — De Darleins, *loc. cit. renvoi II*, Vol. II, p. 107 à 116, Pl 7 à 10.

129. — Pont des Belles-Fontaines (Φ_{33}).

130. — Pont Alexandre III, à Paris.

131. — Dates des photographies : a, juin 1909 ; b, août 1908.

126. — Iéna, Saints-Pères.

CHAPITRE V

CULÉES. — ABORDS

Art. 4. — Abords. — Aux ponts des grandes villes, il faut d'amples abords. On trouvera de beaux modèles dans les ponts du xviii^e siècle, les grands (Φ_{38} , Φ_{39}), les petits (Φ_{42} , Φ_{43}).

Φ_{18} — Pont de Tours. aval ^{133, 111 a}



Φ_{19} — Pont de Neuilly ^{134, 111-b}



On peut ébraser la dernière arche par une trompe ¹³⁵, une voussure en pendentif (Φ_{38}).

Les tours rondes de Lavour ¹³⁶, de Turin ¹³⁷, encadrent bien la grande voûte, mais conduisent mal la circulation.

Φ_{10} — Pont de Chantilly ^{111-c}



Φ_{11} — Pont d'Austerlitz ^{111-d}



Les courbes de Vizille ¹³⁸, de Chantilly (Φ_{10}), d'Austerlitz (Φ_{11}), de Luxembourg ¹³⁹, des Amidonniers ¹⁴⁰, « entonnent » bien mieux la circulation dans le pont, résistent bien à la poussée des terres, font de belles lignes d'ombre.

133. — Voir p. 116 : Φ_{23} et renvoi 110.

134. — Voir p. 109 : Φ_9 et renvoi 59.

135. — Pont-Royal, à Paris. 136. — I, p. 97.

137. — III, p. 199. 138. — I, p. 93.

139. — II, p. 67. 140. — I, p. 193.

141. — Dates des photographies : a, août 1907 ; b, août 1901 ; c, juillet 1903 ; d, juin 1901.

Φ_{12} — Pont Montaudran, à Toulouse ¹³²



Φ_{13} — Pont des Minimes, à Toulouse (1760-63) ¹³²



132. — Sur le Canal du Midi. — Date des photographies : juillet 1902.

Art. 2. — Têtes ou Portes de pont. — Il y avait des têtes de pont à Toulouse; il y en a au pont Flavien, sur la Touloubre, près de Saint-Chamas (Φ_{44}); au pont Valentré à Cahors (Φ_{45}), à Prague; il en reste à Châtellerault ^{141 bis}.

Les Allemands en élèvent à l'entrée de leurs grands ponts métalliques ¹⁴².

C'est une intéressante décoration: on y pourrait revenir dans les grandes villes.

Φ_{44} — Pont Flavien



Φ_{45} — Pont Valentré (xiii^e)



Tout au moins peut-on annoncer le pont par des pyramides, des obélisques ¹⁴³.

CHAPITRE VI

TOURS, OBÉLISQUES, SUR UN PONT

Φ_{46} — Pont d'Orthez (xii^e) ^{146-a}



Φ_{47} — Pont de Blois ^{146-b}



On a élevé quelquefois sur les ponts, des tours, probablement pour défendre le passage (Φ_{43} , Φ_{46}), un obélisque, une aiguille au sommet d'un dos d'âne (Φ_{47}) ^{144, 145}.

141 bis. — Les deux tours de l'entrée rive gauche encadraient un joli bâtiment achevé en 1611 par René Androuet du Cerceau. On l'a démoli en 1824; il ne laissait qu'un accès de 2^m 92 à un pont de 21^m.

Loc. cit. renvoi 65 bis, p. 109.

142. — Ponts sur le Rhin: de Bonn (1896-1898), de Worms (1898-1900), de Ruhrort-Homburg (1904-1907), de Cologne (1911),....

143. — Pont de Pont-Sainte-Maxence, sur l'Oise (voir p. 68, renvoi 25); Pont Alexandre III.

144. — Moulins (projet de Mansart), III, p. 306, f₁, f₂.

145. — Le pont construit fin du xviii^e siècle, sur l'Oise, à Compiègne (3 anses de panier de 21^m et 23^m), portait, sur la clef de l'arche centrale, un obélisque surmonté d'une croix.

Bellidor. « *Architecture hydraulique* », seconde partie, Tome II, Paris, MDCCLXXX. Pl. LVII, p. 480.

146. — Dates des photographies: a, octobre 1909; b, avril 1914.

CHAPITRE VII

PONTS COUVERTS

Pont de Pavie (XIV^e) ¹⁴⁹

Φ_{18} — Ensemble



Φ_{19} — Chaussée



Φ_{30} — Pont des Soupirs, à Venise ¹⁴⁹



On n'en fait plus. Pourquoi ?

Un pont peut, cependant, porter quelque chose (Φ_{30}) ¹⁴⁷.

Il y a plusieurs étages de circulation sur les grands ponts suspendus de New-York, sur le pont métallique de Passy.

On en peut concevoir sur les ponts en maçonnerie ¹⁴⁸.

147. — Chenonceaux. — Projet de Palladio, pour le Pont du Rialto, à Venise. (*Loc. cit. renvoi 32, p. 93.*)

148. — Au Point-du-Jour, à Bercy, les étages de circulation ne sont pas superposés.

149. — Date des photographies : juin 1908.

CHAPITRE VIII

ÉTUDIER LES PONTS FRANÇAIS DU XVIII^E SIÈCLE¹⁵⁰

On ne saurait assez étudier les ponts français du xviii^e siècle : il y a là mieux et plus qu'un simple intérêt historique.

Sans doute, on ne fonderait plus sur pilotis les grands ponts de la Loire, ni par épuisements sous 26 pieds d'eau les piles-culées du Pont de Gignac ; sans doute, on ne construira plus de grandes voûtes sur les cintres flexibles de Perronet.

Ce ne sont là que procédés d'exécution : ils ont passé, comme les coches d'eau et les chaises à porteur.

Mais ce qui n'a point vieilli, c'est la beauté et la variété des formes de nos vieux ponts, le choix judicieux de leur décoration ; c'est l'ampleur, c'est la majesté solennelle de leurs accès : on ne les a pas égalées.

150. — On lira avec le plus grand profit les excellentes « *Études sur les ponts en pierre remarquables par leur décoration, antérieurs au XIX^e siècle* », par M. de Dartein, — Paris, Béranger, 1907.

LIVRE II

COMMENT ON EXÉCUTE

UN PONT EN MAÇONNERIE

FONDATIONS — CINTRES — VOÛTES

FONDATIONS

§ 1. — COMMENT ET SUR QUEL SOL ON A FONDÉ LES GRANDES VOUTES¹

Art. 1. — Piles

Les routes articulées sont en italiques.

Fondations		Ponts :	Intrados	Voir			Dates	Plus grande portée	Profondeur MAXIMA sous l'étiage	Pression admise sur le sol de fondation	
Procédé	Sol		Voie portée	Tome	pages					MAX.	moy.
					Tableau synopt.	Mono- graphie					
Épuisements dans des batardeaux	Rocher	Victoria	\bar{A} 1 ^{re}	II	198	201	1836-38	48 ^m 77	7 ^m 31 sous le thalweg	36 ^s	
	Calcaire fissuré	Hochberg	\bar{A} 1 ^{re}	IV	166	177	1899-1901	40			
	Mollasse (tuf)	Amidonniers	\bar{E} 1 ^{re}	I	188	193	1904-07	46	5.29	6.4 ^s	
		Cornelius			166	180	1902-03	44	6.6	4.9	3 ^s 7
		Reichenbach			168	183	1902-03	44	7.2	5.5	
		Maximilien	\bar{A} 1 ^{re}	IV	168	192	1903-05	45.87	5	5.5	
	Marne	Wittelsbach			170	199	1904-05	44	5	4.1	
		Moulins-lez-Metz			170	202	1904-05	44		5	
Argile	Edouard VII	\bar{E} 1 ^{re}	I	144	182	1901-03	40.54	4.88	2.7		
Pilotis		Londres ^a	\bar{E} 1 ^{re}		138	147	1824-31	46.33			
	Argile	Alma		I	138	153	1854-55	43			
		Big Muddy River	\bar{E} 1 ^{re}		222	225	1901-03	42.67			
		Gross-Kunzendorf	\bar{A} 1 ^{re}	III	232	267	»	40			
	Sable argileux affouillable	Boucicaut	\bar{A} 1 ^{re}	III	230	243	1888-90	40		3.3	
Havage	Rocher	Mehring	\bar{A} 1 ^{re}	III	230	252	1903-04	46			
	Argile	Putney			230	239	1882-83	43.89			
	Gravier	Garching	\bar{E} 1 ^{re}	IV	92	95	1907-08	44.35	6.30	4.3	
Béton immergé	Poudingue	Mantes	\bar{E} 1 ^{re}	I	140	160	1873-75	40	6		
		Nogent-sur-Marne	\bar{C} 1 ^{re}	I	76	79	1855-56	50	8.50		7.1
	Gravier	Pont-sur-Yonne	\bar{E} 1 ^{re}	I	210	213	1870-73	40			
		Mannheim (RD)	\bar{A} 1 ^{re}	IV	172	206	1905-08	59.50			
Air comprimé	Schiste	Empereur-François	\bar{E}	I	140	168	1898-1901	42.34	10.55	9.8	
	Calcaire	Avignon	\bar{A}	III	234	270	1905-09	40	14.03	12.3	
		Valence	\bar{E}	I	142	173	1901-05	40.20	14.56		6.5
	Marne	Orléans	\bar{A} 1 ^{re}	III	232	255	1904-06	43.85	18.60	9.4 ^s	
		Avignon	\bar{A}	III	234	270	1905-09	40	15.01		
	Argile	Verdun-sur-le-Doubs	\bar{E}	I	140	165	1895-97	41	6.18		3.6
	Gravier	Avignon	\bar{A}	III	234	270	1905-09	40	16.34		
		Mannheim (RG)	\bar{A}	IV	172	206	1905-08	59.50	5		

1. — Faute de renseignements, on n'a pas indiqué aux Tableaux, Art. 1 et 2, toutes les voûtes de 40^m ou plus.2. — Sous les culées : 8^s 9.

3. — Aux culées, on a incliné les pieux.

4. — Sous les culées : 17^s 3.

Art. 2. — Culées ⁵

Les routes articulées sont en italiques.

Fondations		Ponts :	Intrados Voie portée	Voir			Dates	Plus grande portée	Profondeur MAXIMA sous l'étiage	Pression admise sur le sol de fondation	
Procédé	Sol			Tome	pages					MAX.	moy.
					Tableau synopt.	Mono- graphie					
à sec	Gneiss	Cinuskel	(A ¹ fr	II	178	189	1910-12	46-98		22.9	20*
		Plauen	(A ¹ r ^{te}	III	14	52	1903-05	90		23.9	
	Granit	Gravona	(A ¹ fr	II	178	183	1884	43.53		14	
		Gour-Noir			80	103	1888-89	62		9.8	
		Gutach	(A ¹ Fr	III	84	122	1899-1900	64			
		Schwändelholzobel			84	126	1899-1900	57			
		Langenbrand			88	152	1907-09	59		5.6	
	Micaschiste dur	Castelet	(A ¹ Fr	II	116	130	1882-83	41.20			
	Schiste cristallin	Solis	(C ¹ fr	I	52	55	1901-02	42		9.8	
	Schiste	Tuoi	(A ¹ fr	II	180	194	1911-12	47.71		22.9	20
	Grès	Guggersbach	(A ¹ r ^{te}	III	14	59	1906	50.20			5
		Wiesen	(E ¹ fr	I	232	235	1907-09	55		8.6	
	Calcaire	Escot	(A ¹ Fr	II	122	174	1907-09	56		14.3	
		Wallstrasse	(A ¹ r ^{te}	IV	124	143	1904-05	65.45		8	
		Montanges	(A ¹ r ^{te}	III	16	62	1908-09	80.29			
	Mollasse (tuf)	Lavaur	(A ¹ Fr	II	118	135	1882-84	61.50	2-87	6.7	5.9
		Antoinette			118	145	1883-84	50	4.80	6.4	6.4
	Moraine glaciaire	Brent	(C ¹ r ^{te}	I	12	34	1899-1900	44			9
		très compacts	Steyrling	(A ¹ Fr	III	86	137	1904-05	70		7.5
	Éboulis		Palmgraben	(A ¹ Fr	II	120	164	1904-05	49		
		compacts	Schalchgraben		120	168	1904-05	52			3.5
			Salcano	(A ¹ Fr	III	86	141	1904-06	85		
	peu compacts	Krenngraben	(A ¹ Fr	III	86	134	1904-05	40		3.5	
		Terre et pierrailles	Seythenex (RG)	(A ⁿ r ^{te}	III	170	177	1908-11	41.19		2
	Épauements dans des batardeaux	Granulite	Göhren	(A ¹ r ^{te}	IV	124	139	1903-04	60	7.5	8.9
Oloron (RG)			(C ¹ Fr	I	38	45	1881-82	40	3		
Schiste dur		Rocky River	(A ¹ A ¹ r ^{te}	II	62	95	1908-10	85.34	7.31	7.5	6.5
		Schiste tendre	Fium' Alto	(E ¹ r ^{te}	I	88	110	1862-63	40	2.55	
Grès		Teinach	(A ¹ r ^{te}	III	192	203	1882	46	8	5.5	
		Höfen	(A ¹ r ^{te}	IV	38	41	1885	41	2	9	
Tuf		Gignac	(E ¹ r ^{te}	I	86	103	1776-1810	48.42	9		
		Lusserat (RG)	(A ¹ Fr	III	88	155	1908-10	45.70		10	6.4
Conglomérat solide		Krummenau	(A ¹ Fr	III	90	164	1910-11	63.26		12	
		Illerbeuren	(A ¹ Fr		156	159	1893-94	59	4.80	3.4	
Marne dure		Prince-Régent	(A ¹ r ^{te}	IV	222	230	1900-01	63	6	4.8	
		Mar-Joseph			222	242	1901-02	64	6.10	5	
Argile		Diable (RG)	(E ¹ r ^{te}	I	88	116	1871-72	55	5.52	7.2	2.6
		Putney	(A ⁿ r ^{te}	III	230	239	1882-83	43.89			
		Gloucester	(E ¹ r ^{te}	I	86	107	1826-27	45.72			
Gravier		Nydeck (arrière de la culée RD)	(A ¹ r ^{te}	II	12	51	1840-44	45.90			
		Calcio	(A ¹ Fr	III	80	100	1877-78	42	4.20		
		Inzigkofen (RG)	(A ¹ r ^{te}	IV	220	225	1895	47.90		3.7	
		Mannheim (RD)	(A ⁿ r ^{te}	IV	172	206	1905-08	59.50			
		Gräfeneck	(A ¹ r ^{te}	IV	210	213	1911-12	48		4.5	
Sable et rognons de tuf		Alma (RG)	(E ⁿ r ^{te}	I	138	153	1854-55	43	0.30		

5. Les seuls ponts à plusieurs arches indiqués dans ce tableau sont ceux pour lesquels les culées sont fondées autrement ou sur autre sol que les piles.

Fondations		Ponts :	Intrados Voie portée	Voir			Dates	Plus grande portée	Profondeur MAXIMA sous l'étiage	Pression admise sur le sol de fondation		
Procédé	Sol			Tome	pages					MAX.	moy.	
					Tableau synopt.	Mono- graphie						
Pilotis	Argile	(Diable (RD))	E ¹ r ^{te}	I	88	116	1871-72	55*	3.28	7.2	2.6	
		(Verdun-sur-le-Doubs)	E ⁿ r ^{te}	I	140	165	1895-97	41			2.9	
		(Munderkingen (RG)) ⁶	A ¹ r ^{te}	IV	52	55	1893	59		3	2.1	
	Gravier	(Mannheim (RG))	A ⁿ r ^{te}	IV	172	206	1905-08	59.50				
		(Garching)	E ⁿ Fr	IV	92	95	1907-08	44.35			3.2	
	Sable	Empereur-François	E ⁿ r ^{te}	I	140	168	1898-1901	42.34				
	Sable mouvant	Chester (arrière de la culée RD)	A ¹ r ^{te}	III	10	29	1833-34	60.96				
	Glaise et boue glaciaire	(Coulouvrenière (RG)) ⁶	A ⁿ r ^{te}	IV	78	81	1895-96	40			3.2	
		Vizille	E ¹ r ^{te}	I	86	93	1751-66	41.08				
		Mantes	E ⁿ r ^{te}	I	140	160	1757-65	40				
		Victoria	A ⁿ r ^{te}	II	198	201	1836-38	43.89				
		Mosca			192	199	1834	45				
		Wengern			192	207	1904	50			3	
		Ziegenhals	A ¹ r ^{te}	III	194	208	1905	40				
		Schwusen ⁶			194	213	1907	48				
		Kupferhammer ⁶			196	214	1907	48				
		Kräppitz ⁶	A ⁿ r ^{te}	III	232	265	1905	50				
Air comprimé	Calcaire	Avignon (RD)	A ⁿ r ^{te}	III	234	270	1905-09	40	6			
	Craie tuffau	Lusserat (RD)	A ¹ Fr	III	88	155	1908-10	45.70	12.80	10	6.4	
	Marne	Verdon	E ¹ Fr	I	128	133	1905-06	40	13.22	14	8	
		Avignon (RG)	A ⁿ r ^{te}	III	234	270	1905-09	40	13.10			
	Gravier	(Collonges (RG))	C ¹ r ^{te}	I	10	31	1869-73	40	6			
		Valence	E ⁿ r ^{te}	I	142	173	1901-05	49.20	6.85	8.7		

Art. 3. — Ce qu'indiquent les tableaux précédents. — On a fondé de grandes voûtes par tous les procédés, et à peu près sur tous les sols.

On fonderait aujourd'hui à l'air comprimé la plupart des ponts qu'on a fondés sur pilotis⁷ ou sur béton immergé⁸.

§ 2. — IL FAUT AUX GRANDES VOUTES DES APPUIS INVARIABLES

Il faut aux grandes voûtes des piles qui ne s'enfoncent pas, des culées qui ne s'enfoncent pas, qui ne reculent pas.

Sur les sols compressibles, on étale souvent la pression par des dalles en béton armé⁹.

Sur un sol douteux, il est délicat, il peut être imprudent de faire une grande voûte.

6. — On y a incliné les pieux.

7. — Londres (I, 147); Alma (I, 153);

8. — Nogent-sur-Marne (I, 79);

9. — Walnut-Lane (II, 89); Palmgraben (II, 165); Schallchgraben (II, 169); Krenngraben (III, 135); Steyring (III, 86); Salcano (III, 143); Seythenex (III, 178); Wengern (III, 207); Ziegenhals (III, 208); Kräppitz (III, 265); Gross-Kunzendorf (III, 267).

Nous avons fait ainsi à 3 piles du viaduc de Morez (ligne de Morez à Saint-Claude, 1909-11). — Voir p. 48, renvoi 30.

TITRE II

CINTRES¹

CHAPITRE I

GÉNÉRALITÉS

§ 1. — BOIS. — ASSEMBLAGES

Art. 1. — Choix des bois. — Généralement, on fait en chêne les pièces très chargées, ou qui le sont perpendiculairement à leurs fibres : semelles sur et sous les appareils de décintrement, chapeaux des palées doubles, sommiers d'une poutre armée², clefs des traits de Jupiter, coins, pistons des boîtes à sable ; — en pin ou sapin, les autres³.

On a quelquefois employé des bois en grume : pour tout le cintre⁴, pour les étages inférieurs seulement⁵.

Art. 2. — Ne pas trop presser le bois normalement à ses fibres. — Le bois résiste mal aux compressions transversales^{6,7}.

On n'y a pas toujours assez pris garde⁸.

Pour empêcher qu'une pièce ne s'enfonce dans une autre, on intercale entre elles une feuille de zinc⁹ ou de tôle¹⁰.

Art. 3. — Assemblages des bois. — On assemble les pièces des cintres surtout avec des boulons, des équerres, des étriers, des plaques de tôle. Ces assemblages sont très simples, peuvent résister à la traction, réduisent la main-d'œuvre et les déchets.

Les couvre-joints en tôle de 5^{mm} à 7^{mm}, boulonnés, font des assemblages très rigides et solides.

1. — Dans tout ce titre, quand, à la suite d'un pont à voûtes de 40^m ou plus, il y a 2 pages citées, la 1^{re} est celle du tableau synoptique, la 2^e, celle de la monographie.

2. — Castelet (II, 117, 132); Luxembourg (II, 61, 72^{bis}).

3. — Étaient en châtaignier les cintres des ponts Annibal et du Diable (I, 89); en peuplier, quelques pièces secondaires au pont des Bains de Lucques (III, II, 33).

4. — Annibal (I, 89); Diable (I, 89); Guggersbach (III, 15, 61).

5. — Palmgraben (II, 121); Schalchgraben (II, 121); Krenngraben (III, 87).

6. — Viaduc de la Sitter. Expériences faites par la maison T. Bell, qui a construit la grande pile en bois sur laquelle on a monté la travée de 120^m.

Du sapin rouge, abattu en hiver un an avant l'emploi, s'est écrasé à 40°, à 55° par 0^m01².

Dans les calculs, on a admis comme effort-limite :

pression parallèle aux fibres : 80° 0^m01²;

pression normale : 12° 0^m01².

Schweizerische Bauzeitung, 15 octobre 1910, p. 205 à 210 : « Der Sitterviadukt der Bodensee-Toggenburgbahn », von den Ingenieuren A. Acatos, L. Luchinger, E. Ackermann.

7. — Pour construire la ligne de Frasne à Vallorbe, on a dû dériver le Doubs en souterrain, sous une falaise : des longrines de 0^m30 d'épaisseur, coiffant les poteaux d'appui, ont été réduites à 0^m05 (ϕ_1).

8. — Pont Cornélius (IV, 182).

9. — Ponts du Castelet (II, 132), de Lavour (II, 137), Antoinette (II, 146),...

10. — Pont du Castelet (II, 132); pont de Wiesen (I, 241).

ϕ_1 — 24 avril 1913



Art. 4. — Ne pas tirer les assemblages des bois : les comprimer. — Une pièce de bois résiste bien à la compression et à la traction ; mais les assemblages, eux, ne résistent bien qu'à la compression.

Dans un cintre bien étudié, sauf les vaux et les couchis qui sont fléchis, les pièces maîtresses des fermes travaillent de bout à la compression simple.

Pour une pièce très tendue, on emploiera un tirant en acier, — mieux, un câble dont on règle la tension.

§ 2. — FERMES

Art. 1. — Nombre et écartement. — Presque toujours, les fermes sont espacées d'environ 4^m50 ; on écarte un peu plus celles de rive qui ne supportent que la moitié de la charge, et on en diminue l'épaisseur¹¹.

En général, il y en a :

4 pour un pont de chemin de fer à une voie (4^m50 entre garde-corps) ;

6 pour un pont à deux voies (8^m entre garde-corps) ;

3 pour un pont sous une voie étroite, — pour un pont-route de moins de 4^m.

Art. 2. — Épaisseur. — Pour les grands cintres, 0^m20 à 0^m25¹².

Art. 3. — Tracé. — On peut imiter ce qui a été fait, mais il faut se bien rendre compte de ce que portera chaque pièce.

On se gardera de placer des pièces au hasard : non seulement on paie du bois inutile, mais on fatigue les autres, et, quelquefois, on introduit dans les principales des efforts dangereux.

On peut avoir un très mauvais cintre avec beaucoup de bois.

Art. 4. — Vaux. — Un vau haut se fait en deux¹³, en trois pièces¹³, bien boulonnées.

Solidement assemblés entre eux par des plaques de tôle, des vaux hauts sont comme les voussoirs d'une voûte de bois¹⁴.

§ 3. — PIÈCES TRANSVERSALES

Art. 1. — Contreventement. — On contrevente chaque ferme dans son plan par des moises longitudinales, des écharpes ; mais ce sont surtout les fermes entre elles qu'il faut solidement contreventer.

Elles sont calculées et construites comme devant rester dans un plan vertical : il faut les y maintenir, c'est-à-dire les empêcher de se voiler, de gauchir, de flamber.

11. — Voir plus loin les tableaux synoptiques, p. 136 à 141, p. 144, 145, 148.

12. — Antoinette (II, 144^{bs}) ; Sornin (p. 146, art. 3).

13. — Castelet (II, 132) ; Ramounails (II, 187).

14. — Ramounails (II, 188). L'arc des vaux a pris la moitié de la charge sur le cintre.

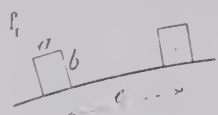
Un grand cintre étroit peut flamber : il faut le contreventer à outrance¹⁵.

Les croix de Saint-André font un excellent contreventement, à condition que les deux bras de la croix ne soient ni trop fermés, ni trop ouverts ; on contrevente aussi par de simples écharpes, par des moises horizontales.

On ne calcule pas les pièces de contreventement : le sens pratique, c'est-à-dire le bon sens, indique leur place et leurs dimensions.

Quand on doute, il vaut mieux en mettre trop, mettre les pièces plus faibles et les multiplier.

Art. 2. — Couchis. — Pour les moyens ouvrages, on pose jointifs des madriers de 7 à 8^e d'épaisseur ou des poutrelles carrées.



Pour les couchis des grands, on prendra : $\frac{a}{b} = \frac{1}{\sqrt{2}}$, soit $\frac{5}{7}$ ¹⁶.

Avec ce rapport, on a la résistance maxima d'une pièce fléchie découpée dans un bois rond : j'ai presque toujours pris 10^e et 14^e.

On calcule l'espacement c des couchis suivant l'écartement des fermes et la charge.

Art. 3. — Platelage. — On cloue sur les couchis, à angle droit sur eux, des voliges minces jointives de 2^e à 2^e 1/2.

Sur ce plancher continu, on trace les lignes d'assises, les courbes de tête, les queues des voussoirs de tête, la place des joints secs, l'épure d'un pont biais.

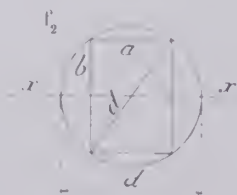
CHAPITRE II

CINTRES FIXES

C'EST-A-DIRE BIEN APPUYÉS SUR LE SOL ENTRE LES NAISSANCES

§ 1. — QUELLES VOÛTES FAIT-ON SUR CINTRES FIXES ?

Toutes celles pour lesquelles il est facile de prendre appui sur le sol, — spécialement les arcs et les ellipses surbaissés, qui, presque toujours, en sont près.



15. — Luxembourg (II, p. 72^{ter}).

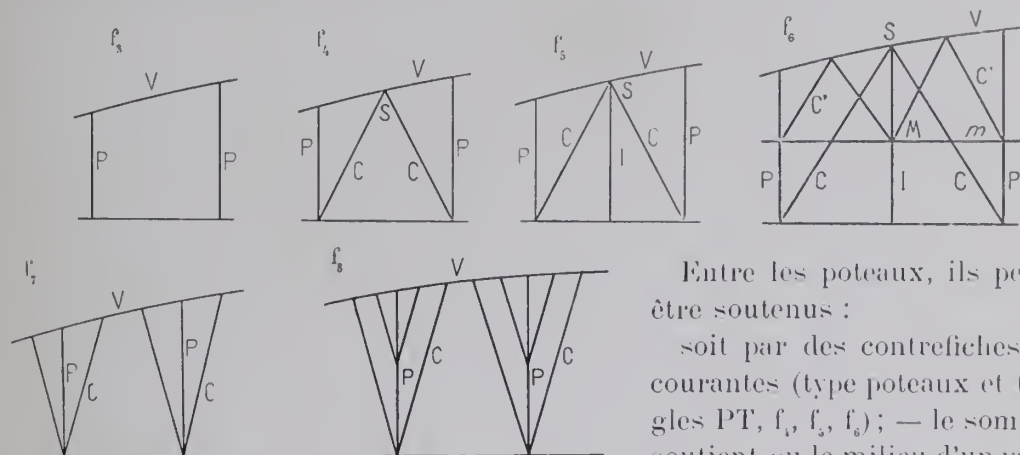
16. — Le couple de flexion par rapport à xx est (f_2) :

$$\mathcal{M} = \frac{Rl}{b} = \frac{1}{6} R ab^2 = \frac{1}{6} R a (d^2 - a^2)$$

Il est maximum pour $a^2 = \frac{d^2}{3}$, $b = a \sqrt{2}$

§ 2. — ON PEUT CLASSER LES CINTRES FIXES
SUIVANT LA DISPOSITION DES MAÎTRESSES PIÈCES
SOUTENANT LA COURONNE DES VAUX

Art. 1. — Cintres à poteaux. Type P. — Les vaux sont portés par deux poteaux verticaux P (f_3).



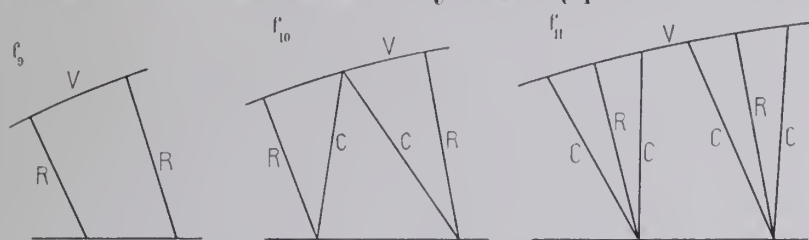
Entre les poteaux, ils peuvent être soutenus :

soit par des contrefiches concourantes (type poteaux et triangles PT, f_1 , f_2 , f_6) ; — le sommet S soutient ou le milieu d'un vau, ou

l'about de deux vaux ; — on y peut suspendre un poinçon I qui porte une moise horizontale m ou plusieurs ; — il y a souvent deux systèmes de triangles CC' (f_6) ;

soit par des contrefiches isolées (type PC), — système unique (f_7), ou double (f_8) ; elles travaillent isolément ; elles ne s'entraident pas.

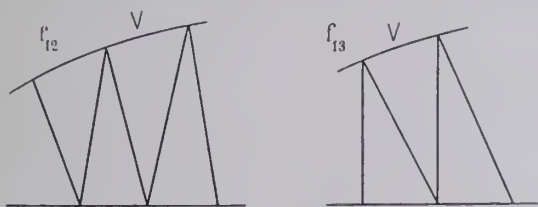
Art. 2. — Cintres à rayons. Type R. — Les vaux sont portés par



deux pièces R, dirigées suivant le rayon de l'intrados (f_9).

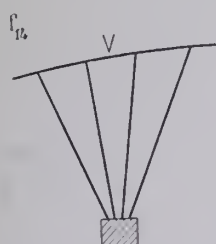
Entre les rayons R, ils peuvent être soutenus par des

contrefiches, soit concourantes (type rayons et triangles RT, f_{10}), soit isolées (RC, f_{11}).



Art. 3. — Cintres à treillis. — On en a fait en W (f_{12}), en X (f_{13}).

Art. 4. — Cintres à contrefiches rayonnant de piles provisoires (f_{14}). — A partir de piles provisoires, on a étalé en éventail des contrefiches.



Mais il a fallu fonder ces piles : on ne comprend guère que sur elles on n'appuie pas un ouvrage à plusieurs arches.

Art. 5. — Cintres à un ou plus d'un étage. — Pour les voûtes basses, il n'y a qu'un étage : il repose directement sur les appuis. Pour les hautes, il y en a deux, trois.

§ 3. — CINTRES FIXES A POTEAUX (P)

Intrados	Ponts :	Voir			Portée	Montée	Fermes		Par m. q. de douelle ¹⁷			A la clef en m m	
		Tome	page	Monographie			Epaisseur en o ^m 01	Ecartement d'axe en axe	Cube de bois	Poids de fer	Dépense	Surhaussement	Tassement

Art. 1. — Poteaux seuls (P) et nombreux étages.

Arcs peu surbaissés à grande flèche	Crespano	II	11	47	40 ^m 40	16 ^m		1 ^m 40			48 ^t 60	530 ^{mm}	370 ^{mm}
	Walnut-Lane	II	63	88	70.71	21.41	25	1.524	1 ^m 20	202 ^k			95.3

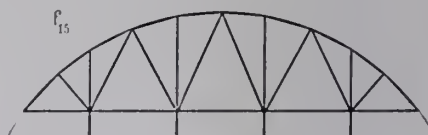
les deux voûtes ont été construites sur le même cintre.

Art. 2. — Poteaux et triangles (PT).

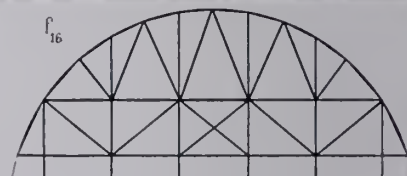
A. — Sans poinçons.

1° — Un étage ¹⁸ (f₁₅).

Arcs	Ellipse	Signac	I	129	132	40	12.31	30	1.25	0.71	3	54.80	
	assez surbaissés	Seythenex	III	171	179	39.66	10.05	20	1.25	0.63	11.1	63.50	50
		Losde ¹⁹				30.60	6.30	20	1.40	0.486	7.61	28.50	
	très surbaissés	Lays-sur-le-Doubs ²⁰				26	3.48			0.445	4.82	30.80	
		Arciat ²⁰				31	4.35			0.491	5.97	35.60	
		Digoin ²⁰				26	3.50	25-30	1.44	0.595	9.37	41.90	
		Morbegno ²¹	IV	63	71	70	10	25	1.40				120
		Andrézieux				36.45 33.30	4.70 4	rive 16/ inter ^m 18	1.65	0.52	12.24	32	

2° — Deux étages ²² (f₁₆).

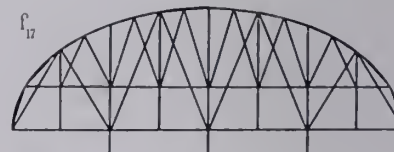
Plein cintre	Rébuzo	I	39	49	40	20	25	1.57	0.80	17.3	31.90		22
Arc très surbaissé	Illerbeuren (articulé)	IV	157	160	59 57.16	9.82 entre rotules	ét ^{er} sup ^r 20 ét ^{er} inf ^r 26	1.28	0.89		75.80	60	15 jusqu'au clavage



B. — Avec poinçons.

Un étage et deux systèmes de triangles
(type Montlouis) (f₁₇).

Arcs	Ellipses	Bléré ²³			24	6.43	25		0.662	12.22	47.96		
		Chalonnnes ²¹			30	7.5	25		0.729	10.16			28 à 71
		Marmande			36	10	30		0.669	10.92	80.05		37 à 68
		Le Verdon	I	129	134	40	10	25	1.40	0.39	10	39.10	50
	assez surbaissés	Claix	III	13	37	52	8.05	35	1.50	0.74		68.90	4
	très surbaissés	Boucicaut	III	231	246	40	5	25	1.60	0.75	7.88	35.93	
		Argental ²⁵				32.64	5.47	25	1.25	0.90	16.24	60.33	



17. — Voir à l'Avertissement, en tête des tomes I à IV, comment est calculée la surface de douelle.

18. — Pont sur l'Aude de la station de Saint Martin Lys (Ligne de Quillan à Rivesaltes, 1896-97) : portée, 34^m; montée, 8^m86.

19. — Sur l'Ariège (Ligne de Tarascon à Ax, 1882-83).

20. — Saône-et Loire.

21. — Deux systèmes de triangles (comme au croquis f₁₅).

22. — Plus de 2 étages. Pleins cintres de Nogent sur Marne (I, 77, 81), de Ballochmyle (I, 39, 42); arc assez surbaissé de Jamna (III, 83, 119).

23. — Sur le Cher (Route Nationale n° 77).

24. — Morandière. Montlouis, Pl. 130, fig. 1-2; Chalonnnes, Nantes, Pl. 131, fig. 1.

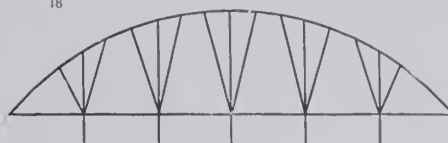
25. — Route Nationale n° 126 de Rodez à Limoges (1893).

Art. 3. — Poteaux et contrefiches isolées (PC).

Intrados	Ponts :	Voir		Portée <i>Portée entre articulations</i>	Montée <i>Montée entre articulations</i>	Fermes		Par m. q. de douelle			A la clef en m m	
		Tome	page Tableau synoptique Monographie			Epaisseur en c ^m	Ecartement d'axe en m	Cube de bois	Poids de fer	Depense	Surhaussement	Tassement

f₁₈

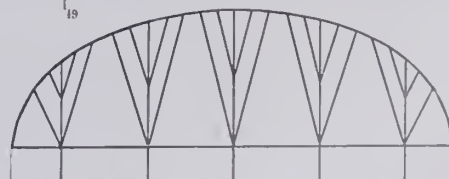
A. — Un système unique de contrefiches.

(2 par poteau)²⁶ (f₁₈).

Ellipses	Ouroux			36 ^m 38	8 ^m 02 8.80	20	1 ^m 80	0 ^m 435 0.432	5 ^m 19 5.02	30 ^m 80 30.15		
	Big Muddy River	I	223	228	42.67	9.14	25	1.225			v ^{nt} nord 38 ^m v ^{nt} sud 20	42 ^m 33
	Garching (voûte articulée)	IV	93	98	44.35 38.55	13.34 7.23	18	1.235		48.20	80	39
Arcs assez surbaissés (Ponts suisses)	Guggersbach	III	15	60	50.20	8.22		1.58	0.35	7.3	37.50	40
	Lichtensteig		89	162	42.82	11.54	22	1				80
	Krummenau		91	165	63.26	13.85	22	0.96	0.77	21.6	68.90	130
Arcs très surbaissés Ponts allemands	Orléans	III	233	259	43.85	5.80	25	1.70	0.58	15.2	40.10	20 à 29
	Mehring		231	252	46	6.17	20	1.18	0.62			100
	Tritenheim		235	277	46	6.17	20	1.17				100
	Longuich		237	279	43	5.34	20	0.96	0.82	16		120
	Göhren	IV	125	140	60 60.56	6.75 6.80	20	1.08 1.03 1	0.51			122
	Wallstrasse		125	148	65.45 57	11.94 5.80	25	1.40	0.58		42.20	90
	Hochberg		167	177	39.40 40	5.40 5.40	20	1.48	0.49	5.7	30.30	100
	Cornelius		167	181	44 41	3.42	24	2	0.71	5.5		120
	Reichenbach		169	183	44 41	4.10	25	2	0.70	5.8		100
	Maximilien		169	194	45.87 41	4.90	24	2	0.72	5.7		120
	Wittelsbach		171	199	44 41	4.10	25	2	0.70	5.71		120
	Inzigkofen		221	226	47.90 43	8.30 4.38	16 18	1.07			18.70	153
	Neckarhausen		221	233	59.40 50	12.585 4.545	18	1.30	0.35		21.90	200
	Max-Joseph		223	244	64 60	8 6	24	2.10	0.55	2.4	44.60	120
												45

f₁₉

B. — Deux systèmes de contrefiches.

(1 par poteau)²⁷ (f₁₉).

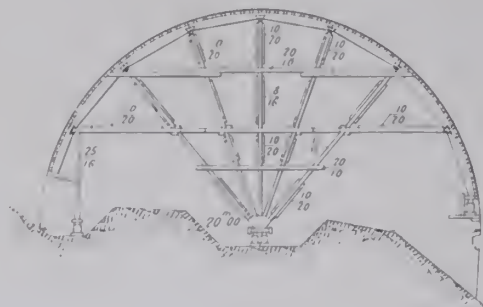
Ellipses	Annibal	I	89	113	55	14.02	bois ronds de 21 ^e	1.32	0.54	3.3	66.20		260
	Diable	I	89	117	55	13.55	bois ronds de 21 et 26 ^e	1.30	0.58	4.5	57.50	130	65
Arc peu surbaissé	Céret	II	121	161	45	19.50	30	1.35	1.31	21.7	104.20	70	90

26. — Michelau, III, 195, 209; Schwusen, III, 195, 213; Neckargartach, IV, 169, 189; Grasdorf, IV, 125, 130; Gräveneck, IV, 211, 214, Sigmaringen, IV, 251, 255; Boberullersdorf, III, 287, 299; Cabin-John, III, 73, 76.

27. — Pont de Villefranche sur la Têt (1890, Ligne de Prades à Olette) : Portée, 39^m 346; montée, 17^m.

§ 4. — CINTRES FIXES A RAYONS (R)

Art. 1. — Rayons seuls (R). — A. — Type Saint-Waast (pleins cintres bas). — On fait aboutir toutes les contrefiches à un seul support, comme des rayons de roues sur un moyeu (f_{20} , Φ_2).

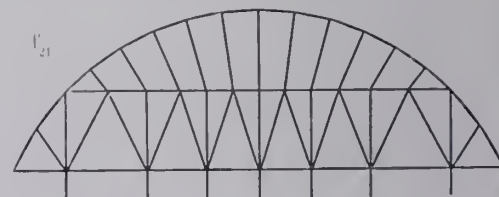
 f_{20} — Pont de Saint-Waast ²⁸ Φ_2 — Pont sur le Bachelard ²⁹

Intrados	Ponts :	Voir			Portée	Montée	Fermes		Par m. q. de douelle			A la clef en m/m	
		Tome	page	Monographie			Epaisseur en o/m	Ecartement d'axe en axe	Cube de bois	Poids de fer	Dépense	Surhaussement	Tassement
Pleins cintres	Saint-Waast ^{28, 31}				20 ^m	10 ^m	14 ¹ / ₁₆	1 ^m 50	0 ^m 232	8 ^k 27	19 ^f 49		5 ^{mm}
	Le Bachelard ²⁹				32	16	18	1.74	0.346	15.35	33.04		
Arcs peu surbaissés	Luxembourg (voûtes latérales)				21.60	10.80	14 ¹ / ₁₆	1.50	0.30	14.39	44.29		
	Place Croizière ³⁰				30	10			0.606	24.16	51.86		

B. — Type Lavour

(Voûtes à grande flèche)

Plusieurs étages ³² (f_{21})



Plein cintre		Brent	1	13	35	44	22	25	1.50	0.77	9.6	67		
Arcs	peu surbaissés	Lavour	11	119	137	61.50	27.50	20 ² / ₂₅	1.50	0.66	22.8	76.90	0 ^{mm}	18.7
		Escot	11	123	175	56	18.70	25	1.50	0.52	16.3	135.70	35	40
		Eaux-Salées ³³				50	25	20 ² / ₂₅	1.50	0.70	20.8	112.32	0	31
	assez surbaissés	Gour-Noir	111	81	104	62	16.10	25	1.50	0.71	28.6	79.20	30	14
		Steyrling	111	87	139	70	15.70	30 × 42	1.50	1.72		83.30	250	130

²⁸ — Ligne de Montauban à Castres, 1882-1884 : voûtes de rive.

²⁹ — Arche de 32^m sur le Bachelard (Basses-Alpes), route nationale n° 210 (1901-1903); cintre étudié, en 1904, sur la demande de M. l'Ingénieur en chef Zürcher. Même cintre à une arche de 30^m de la même route (1905-1907).

³⁰ — Près Ardes-sur-Couze (Puy-de-Dôme)

(1). — Mêmes cintres aux arches de rive du pont d'Amélie les Bains, sur le Tech, 26^m (Chemin de fer d'Elne à Arles-sur-Tech, 1890-1892).

(2). — Guntach (III, 124), Schwandholzobel (III, 127).

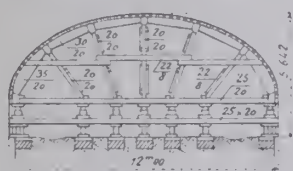
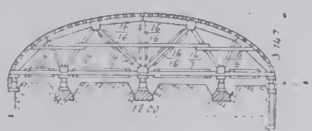
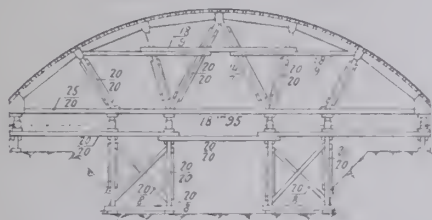
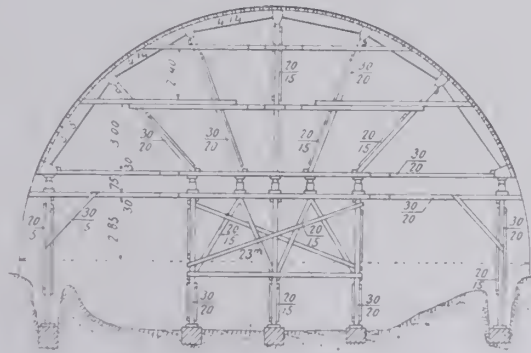
(3). — Ligne de Miramas à l'Estaque. — Voir APPENDICE.

Art. 2. — Rayons et triangles (RT)

Type Antoinette³⁴Un étage (f_{22})

Intrados	Ponts :	Voir			Portée	Montée	Fermes		Par m. q. de douelle			A la clef en m m																																						
		Tome	page				Epaisseur en o ^m 01	Ecartement d'axe en axe	Cube de bois	Poids de fer	Dépense	Surhaussement	Tassement																																					
			Tableau synoptique	Monographie																																														
Ellipses	34-a	Amidonniers Voûtes	centrale	{ amont aval	I	189	199	46 ^m	10 ^m 99	Fermes intermé- diaires : 24	{ 1 ^m 90	{ 0 ^m 54 0.52	{ 13.5 13.1	{ 51 ^m 40 48.40	{ 30 ^m 30	{ 36 ^m 33																																		
																	intermédiaire	{ amont aval	42	10.38	{ 0.49 0.47	{ 13.6 13.2	{ 47.10 44.60	{ 25 25	{ 28 23																									
																										rive droite	{ amont aval	38.50	9.43	{ 0.46 0.44	{ 13.7 13.2	{ 44.70 42.30	{ 20 20	{ 19 21																
																																			les Calvets ³⁵	27	6.90	{ 16 20	1.40	{ 0.40 0.375	{ 24.38	{ 23.97								
																																											la Sampenne ^{33,36}	27	6.90	{ 16 20	1.40	{ 0.386	{ 24.5	{ 23.97
Ares	{ peu surbaissé ^{21-b} très surbaissé	Antoinette	II	119	145	50	15.90	{ 20 25	1.40	{ 0.59	{ 24.8	{ 102.50	{ 0	{ 13																																				
															Saint-Loup ³⁷	33	4.40	{ 18 20	1.65	{ 0.45	{ 23.5	{ 45.76	{ 30	{ 40 à 50																										

Art. 3. — Quelques autres applications du type à rayons seuls (Saint-Waast, Lavalur), et à rayons et triangles (Antoinette). — Le type à rayons est très souple et s'ajuste à toutes voûtes. Exemples :

f₂₃ — Passage supérieur de Corabeuf³⁸f₂₄ — Viaduc des Roches-Avises³⁸f₂₅ — Passage supérieur de Laveix^{39-a}f₂₆ — Viaduc de Muratel^{39-b}

34. — Type Antoinette. Ponts en arc assez surbaissé de : Pouch (III, 111), Freyssinet (III, 112).

34-a. — Pont Saint-Pierre (I, 120).

34-b. — Pont de Wälditobel (II, 157); Pont Victoria (II, 205).

35. — Ligne de Castelsarrasin à Beaumont.

36. — On y a employé les cintres du viaduc des Calvets.

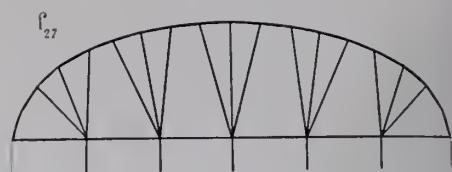
37. — Ligne de la Ferté-Hauterive à Gannat.

38. — Ligne d'Epinaic à Dijon. (Voir Tome III, p. 333, renvoi 24.)

39. — Ligne de Nontron à Sarlat. Section d'Hautefort à Terrasson et de Condat à Sarlat. *Rapport sur l'exécution des Travaux :*

a) Passage supérieur de Laveix, p. 61, Pl. 25 ; b) Viaduc de Muratel, p. 37, Pl. 37.

Art. 4. — Rayons et contrefiches isolées (RC) ⁴⁰ (f₂₇)
(Type Gloucester)



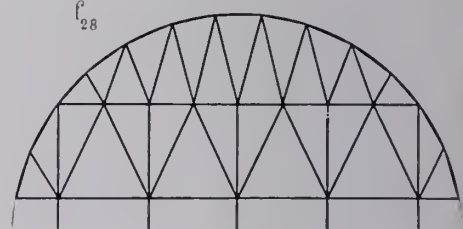
Intrados	Ponts :	Voir		Portée <i>Portée entre articulations</i>	Montée <i>Montée entre articulations</i>	Fermes		Par m. q. de douelle			A la clef en mm	
		Tome	page Tableau synoptique Monographie			Epaisseur en o/0	Ecartement d'axe en axe	Cube de bois	Poids de fer	Dépense	Surhaussement	Tassement
Arcs très surbaissés, articulés	Höfen	IV	39	41	41 ^m 28	2 ^m 80	25	1 ^m 35		56 ^r 40		2 ^{mm}
	Marbach		39	45	43.50 32	3.10	25			17.30		72
	Baiersbronn		39	48	40 33	3.30				16.20		
	Munderkingen		53	56	59 50	15	24	1.85		22.60	120 ^{mm}	

Les contrefiches ne s'entraident pas. Ce type est fort inférieur au précédent à rayons et triangles.

§ 5. — CINTRES A TREILLIS. PLUSIEURS ÉTAGES. — ARCS A GRANDE FLÈCHE

f₂₈

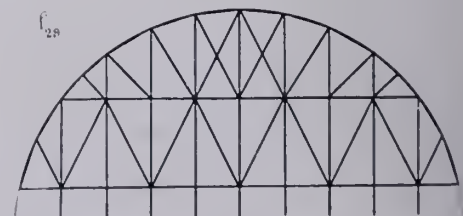
Art. 1. — Treillis en W ⁴¹ (f₂₈)



Arcs peu surbaissés	Palmgraben	II	121	165	49	14.44	Étages sup ^r : 21 infér ^r : bois ronds : 21 à 27	1.50			35	130	
	Schalchgraben			170	52	15.033		Étages sup ^r : 17 à 22 infér ^r : bois ronds : 18 à 27	1.50			80.80	150
Arcs assez surbaissés	Krenngraben	III	87	136	40	10	Étages sup ^r : 20 infér ^r : bois ronds : 20 à 25		1.60			49.50	100
	Salcano			144	85	21.80		Étages sup ^r : 20 à 28 interm. 20 à 25 infér ^r : 21 à 32	1.30	1.51	12.5	359.90	220
	Langenbrand			153	59	14.75	Étages sup ^r : 25 infér ^r : 40		1.50	0.74	13.9	48.80	150

f₂₈

Art. 2. — Treillis en N (f₂₉)



Arcs assez surbaissés	Montanges	III	17	65	80.29	20.465	25	1.633	1.07	80.5	186.30	160	(am ^r : 85 /av ^r : 160)
	Strandeelven		85	132	41	11.25		1.25 1.15			49.10		42

Intrados	Ponts :	Voir :			Portée	Montée	Fermes		Par m. q. de douelle			A la clef en m m	
		Tome	pages				Epaisseur en o ^m ou	Ecartement d'axe en axe	Cube de bois	Poids de fer	Dépense	Surhaussement f.	Tassement
Ellipse	Avenue Edmonson	I	91	124	42 ^m 37	13 ^m 39	20 ^m 3	1 ^m 676	0 ^m 64			16 ^{mm}	8 ^{mm}
Arcs	assez surbaissés	Chester Oppedette ⁴³	III	41	29	60.96	12.80	22 25	1.65	0.43	9 ^k 91	27	
						32	6.40						
	très surbaissé (articule)	Elise	IV	127	152	47.50	4.40	1.16	0.62			80	40
						43.50 entre rotules							

§ 7. — COMMENT ON A APPUYÉ LES CINTRES FIXES
QUAND ON NE POUVAIT PAS BATTRE DE PIEUX

On a :

nivelé le rocher et fixé ensuite les poteaux par des goujons ⁴⁴;

foré des trous dans du rocher ⁴⁵, dans de la marne dure qui se serait étoilée sous le battage ⁴⁶, puis descendu dans ces trous les pieux coupés normalement à leur axe, en les y maintenant par du ciment coulé ou injecté;

appuyé les poteaux sur des semelles en bois ⁴⁷, sur des plates-formes en maçonnerie ⁴⁸, en béton ⁴⁹.

§ 8. — CUBE DE BOIS K, POIDS DE FER p, DÉPENSE d, PAR m. q. DE DOUELLE
POUR LES DIVERS TYPES DE CINTRES FIXES

Art. 1. — Graphique des renseignements recueillis (p. 143). — Il rapproche et compare pour 62 cintres fixes les quantités de bois et de fer, et aussi les prix, — le tout par m. q. de douelle, celle-ci calculée comme l'indique l'Avertissement en tête des Tomes I à IV.

Les portées sont comptées au-dessus du sol ⁵⁰.

Au graphique, ne figurent pas les cintres qui cubent plus de 1^{mc} par m. q. de douelle ⁵¹.

42. — Nydeck (II, 33); Chemnitz (IV, 109) : appuis sur palées.

43. — Basses-Alpes (1904).

44. — Bellows Falls (III, 227).

45. — Gour-Noir (III, 105); Rébuzo (I, 48) : quelques palées.

46. — Lavour (II, 137); Antoinette (II, 146); Amidonniers (I, 199).

47. — Signac (I, 132).

48. — Plauen (III, 54).

49. — Rébuzo (I, 50); Cornélius (IV, 181).

50. — On a réduit celle des ponts : Antoinette, à 47^m50; du Diable, à 54^m; de Lavour, à 60^m; de Saint-Waast (étude'), à 63^m.

* Projet d'une voûte de 65^m, présenté en 1882, non approuvé.

51. — Notamment, parmi ceux de 40^m et plus, ceux de : Wäldlitobel, 1^{mc}03 (II, 121); Calcio, 1^{mc}08 (III, 81); Walnut Lane, 1^{mc}20 (II, 63); Plauen, 1^{mc}24 (III, 15); Nogent, 1^{mc}373 (I, 77); Salcano, 1^{mc}51 (III, 87); Steyrling, 1^{mc}72 (III, 87).

Art. 2. — Que conclure du graphique ? — Pour quelques cintres, on a pris les équarrissages un peu au hasard.

Dans le coût des cintres fixes, le fer compte peu.

Pour les cintres à rayons (seuls R, ou à triangles RT), tant que la hauteur entre la clef et le terrain naturel est inférieure à la moitié de la portée, on peut accepter :

$$K = 0,06 + \frac{2a}{100}$$

Le cube total, par conséquent le prix, varie donc avec le carré de la portée.

K est aussi fonction de la hauteur h entre la clef et le sol, de la forme de la voûte, et quelque peu encore de sa largeur. Il augmente avec la hauteur et le surbaissement.

Les cintres à rayons sont légers.

Pour des portées voisines, les cintres de Neckarhausen, Göhren, Max-Joseph et Wallstrasse semblent sensiblement plus légers que celui de Lavour : mais ils sont beaucoup plus bas.

CHAPITRE III

CINTRES COMPLÈTEMENT RETROUSSÉS

C'EST À DIRE NE S'APPUYANT QU'ÀUX NAISSANCES OU TOUT PRÈS DES NAISSANCES

§ 1. — QUAND ET POUR QUELLES VOUTES ⁵² « RETROUSSE-T-ON » LE CINTRE ?

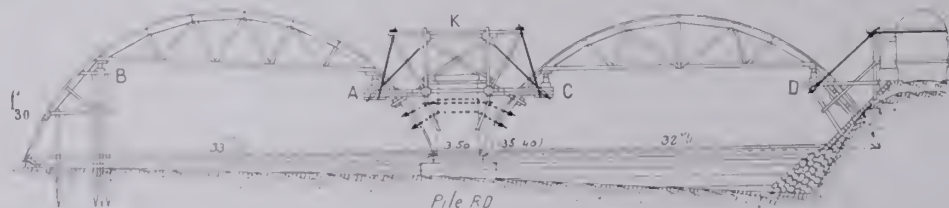
On « retrousse » une ferme quand on ne peut pas l'appuyer sur le sol, c'est-à-dire quand il est trop loin ; — qu'il est mauvais ; — quand on n'y peut pas enfoncer de pieux ; — quand il ne faut pas gêner sous le cintre l'eau, les crues, la navigation ; — pour deux voûtes jumelles, quand on veut transporter tout d'une pièce le cintre de la première voûte sous la deuxième ⁵³.

52. — Au XVIII^e siècle, on employait systématiquement pour les anses de panier surbaissées des cintres retroussés flexibles, formés de plusieurs cours d'arbalétriers assemblés sous des angles très ouverts, reliés par des moises pendantes (Ponts d'Orléans, 1751-1760, plus grande arche : 32^m 48 ; de Nogent-sur-Seine, 1769, 29^m 24 ; de Mantes, 1757-65, 38^m 98 ; de Neuilly, 1768-74, 39^m). On acceptait des tassements énormes : 0^m 51 à Neuilly.

On voulait que les cintres suivissent, sans jarrets, tous les mouvements de la voûte : on employait des mortiers de chaux grasse qui prenaient très lentement et restaient très longtemps plastiques. On a encore, sur de tels cintres, construit les ponts de Vieille-Brioude (I, 25), de Prarolo et Maretta (III, 96), de Saint-Etienne (II, 56).

Toutefois, dès la fin du XVIII^e siècle, Gauthey recommandait de soutenir autant que possible les cintres sur leur longueur par des appuis portant directement sur le ferme. Il a construit sur cintres fixes le pont de Navilly, sur le Doubs, achevé en 1790.

53. — Au pont de Romans, sur l'Isère (voir tableau, p. 70), les fermes retroussées AB, CD (f_{30}) des



deux voûtes rive droite, étaient posées en A et C sur les abouts d'un cantilever K installé sur la pile rive droite.

Echelles. — Portée 0m05 p. 1m; K cube de bois, 0m15 p. 1m; p poids de fer, 0m007 p. 1m; Epaisseur du 1er rouleau, 0m01 p. 1m.
Les échelles sont prises de telle sorte qu'au point de vue de la dépense, le bois et le fer soient équivalents; c'est-à-dire que le m. c. de bois étant estimé 75', le kilog. de fer 0'35, la distance verticale entre les deux points relatifs à un ouvrage donne le prix par m. q. de douelle à l'échelle de 0'002 p. 1'.

et indiqués par le signe
○
lettre droites
lettres rondes
On a souligné ceux que l'on sait avoir été calculés.
h est la hauteur au-dessus du terrain naturel.
(E) indique les cintres à rayons, étudiés, non exécutés.

Rayons (écartail)

Poteaux et triangles

Poteaux et contrefiches

Argentat (0.90)

Longueuil (0.82)

Illerbeuren (h. 13.00)

(0.89)

Chalons (h. 10.00)

Reuilly (h. 11.00)

Reuilly (h. 11.00)

Reuilly (h. 11.00)

Chalons (h. 10.00)

Reuilly (h. 11.00)

Reuilly (h. 11.00)

Reuilly (h. 11.00)

Chalons (h. 10.00)

Reuilly (h. 11.00)

Reuilly (h. 11.00)

Reuilly (h. 11.00)

Chalons (h. 10.00)

Reuilly (h. 11.00)

Reuilly (h. 11.00)

Reuilly (h. 11.00)

Chalons (h. 10.00)

Reuilly (h. 11.00)

Reuilly (h. 11.00)

Reuilly (h. 11.00)

Chalons (h. 10.00)

Reuilly (h. 11.00)

Reuilly (h. 11.00)

Reuilly (h. 11.00)

Chalons (h. 10.00)

Reuilly (h. 11.00)

Reuilly (h. 11.00)

Reuilly (h. 11.00)

Chalons (h. 10.00)

Reuilly (h. 11.00)

Reuilly (h. 11.00)

Reuilly (h. 11.00)

Chalons (h. 10.00)

Reuilly (h. 11.00)

Reuilly (h. 11.00)

Reuilly (h. 11.00)

Chalons (h. 10.00)

Reuilly (h. 11.00)

Reuilly (h. 11.00)

Reuilly (h. 11.00)

Chalons (h. 10.00)

Reuilly (h. 11.00)

Reuilly (h. 11.00)

Reuilly (h. 11.00)

Chalons (h. 10.00)

Reuilly (h. 11.00)

Reuilly (h. 11.00)

Reuilly (h. 11.00)

Chalons (h. 10.00)

Reuilly (h. 11.00)

Reuilly (h. 11.00)

Reuilly (h. 11.00)

Chalons (h. 10.00)

Reuilly (h. 11.00)

Reuilly (h. 11.00)

Reuilly (h. 11.00)

Chalons (h. 10.00)

Reuilly (h. 11.00)

Reuilly (h. 11.00)

Reuilly (h. 11.00)

Chalons (h. 10.00)

Reuilly (h. 11.00)

Reuilly (h. 11.00)

Reuilly (h. 11.00)

Chalons (h. 10.00)

Reuilly (h. 11.00)

Reuilly (h. 11.00)

Reuilly (h. 11.00)

Chalons (h. 10.00)

Reuilly (h. 11.00)

Reuilly (h. 11.00)

Reuilly (h. 11.00)

Chalons (h. 10.00)

Reuilly (h. 11.00)

Reuilly (h. 11.00)

Reuilly (h. 11.00)

Chalons (h. 10.00)

Reuilly (h. 11.00)

Reuilly (h. 11.00)

Reuilly (h. 11.00)

Chalons (h. 10.00)

Reuilly (h. 11.00)

Reuilly (h. 11.00)

Reuilly (h. 11.00)

Chalons (h. 10.00)

Reuilly (h. 11.00)

Reuilly (h. 11.00)

Reuilly (h. 11.00)

Chalons (h. 10.00)

Reuilly (h. 11.00)

Reuilly (h. 11.00)

Reuilly (h. 11.00)

Chalons (h. 10.00)

Reuilly (h. 11.00)

Reuilly (h. 11.00)

Reuilly (h. 11.00)

Chalons (h. 10.00)

Reuilly (h. 11.00)

Reuilly (h. 11.00)

Reuilly (h. 11.00)

Chalons (h. 10.00)

Reuilly (h. 11.00)

Reuilly (h. 11.00)

Reuilly (h. 11.00)

Chalons (h. 10.00)

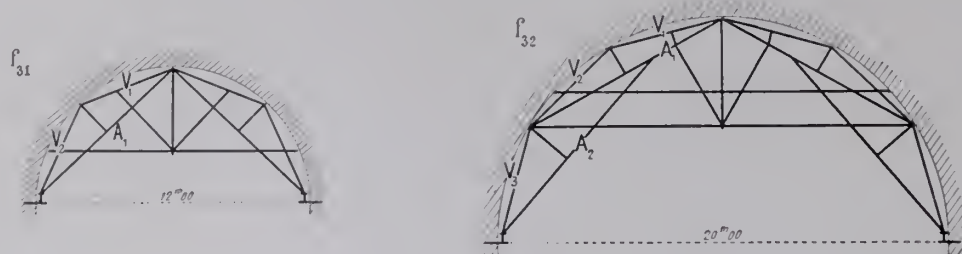
Reuilly (h. 11.00)

Reuilly (h. 11.00)

Reuilly (h. 11.00)

Art. 1. — Viaducs en plein cintre. Voûtes jusqu'à 30^m.

De 4 à 16^m, 2 vaux V_1, V_2 , un arbalétrier A_1 (f_{31}).



De 16 à 25^m, 3 vaux V_1, V_2, V_3 , 2 arbalétriers A_1, A_2 (f_{32}).

C'est le type classique des cintres de viaducs, justifié jusqu'à 25^m par d'innombrables exemples. Il n'a guère changé depuis les premiers viaducs de Morandière.

Voici, pour quelques cintres à arbalétriers, des quantités et des prix :

Viaducs :	Portée	Fermes		Par m. q. de douelle			Lignes de :	Dates
		Épaisseur en 0 ⁰ 01	Écartement d'axe en axe	Cube de bois	Poids de fer	Dépense		
du Crêt et de la Culée	5 ^m	12	1 ^m 28	0 ^m 244	3 ^k 671	16 ^f 64	Morez à Saint-Claude	1909-11
du Puits	6	12	1.28	0. 236	3.083	15.64		
de la Croix	8	20		0. 264	4.27	26.94	Brives à Limoges	1873-75
de Valfin	10	20	1.32	0. 289	3.164	21.81	Morez à Saint-Claude	1909-11
de Châteaulin	12	28		0. 343	3.74	23.86	Nantes à Châteaulin	1863-64
de Parthenay	12	28		0. 325	2.24	13.54	Neuville à Bressuire	1879-81
du Saillard (calculé)	12	20	1.40	0. 240	2.077	17.54	Morez à Saint-Claude	1909-11
de Quimperlé	15			0. 345	3.73		Nantes à Châteaulin	1861-63
de Vezouillac	16		1.60	0. 289			Rodez à Millau	1873-77
de Senouard	18	25	1.60	0. 348	10.55	32.10	Marvejols à Neussargues	1879-82
d'Aguessac	18.46	30	1.55	0. 304			Rodez à Millau	1873-77
du Sarget	20	27		0. 460	7.10		Brives à Limoges	1873-75
du Piou	20	25	1.60	0. 362	13.80		Séverac à Marvejols	1878
de Chante-Perdrix	20	25	1.60	0. 336	13.87	34.62	Marvejols à Neussargues	1879-82
de Barajol	20	25	1.45	0. 463	42.71	52.80	Bort à Neussargues	1903-07
de Morez	20	25	1.47	0. 443	2.33	27.11	Morez à Saint-Claude	1909-11
de Pompadour	25	27		0. 534	5.81		Brives à Limoges	1873-75
de la Crueize	25	24	1.55	0. 434	12.88	42.48	Marvejols à Neussargues	1879-82
de Mussy	25	27	1.47	0. 436			Paray-le-Monial à Givors	1892-97
des Plaines	30	27	1.333	0. 692	51.052		Moûtiers à Bourg-Saint-Maurice	1910-12

A titre de comparaison avec les cintres à arbalétriers de 25^m, voici celui du Saillard, à arbalétriers rayonnant des naissances ⁵⁴, cintre *calculé*.

du Saillard	25	18 22	1.55	0. 351	16.194	31.34	Morez à Saint-Claude	1909-11
-------------	----	----------	------	--------	--------	-------	----------------------	---------

54. — Imité de celui de Ramounails (II, 179, 187).

Art. 2. — Voûtes de 40^m et plus.

Intrados	Ponts :	Voir :			Portée	Montée	Fermes		Par m. q. de douelle			A la clef en m/m	
		Tome	pages Tableau synoptique	Monographie			Épaisseur en o ^{vo} i	Écartement d'axe en axe	Cube de bois	Poids de fer	Dépense	Surhaussement	Tassement
Pleins cintres	Collonges	I	11	32	40 ^m	20 ^m	30 ^r	1 ^m 34	0 ^m 99	19 ^t 7	122 ^t 70		
	Oloron		30	46	40	20	35	1.17 1.84	1.08	9.4	95.40		30 ^{mm}
	Saint-Sauveur ⁵⁵		11	29	42	21	30	1.57	2.23 1.23	25.5 13.8	313.40 avec l'échafaudage 155.60 cintre seul		
Arcs	peu surbaissés	II	179	187	40.30	12.90	18 22	1.35	0.47	22.7	45.60	30 ^{mm}	21
				184	43.53	16.80	23	1.10	1.13	3.6	69.30		
	assez surbaissé	III	171	179	41.19	10.05	27	1.25	0.63	11.1	63.50	50	29

Le cintre de Ramounails, avec ses arbalétriers rayonnant des naissances et ses entrails horizontaux, est fort bien compris.

Mais, aux autres grandes voûtes, le type à arbalétriers n'a pas été heureusement appliqué : à Oloron, à la Gravona, il est confus ; à Collonges, les arbalétriers atteignent 21^m20 avec 30^r×30^r.

§ 3. — CINTRES A ÉTAGES EN PORTE-A-FALX

Comme ils sont fort épais aux naissances, ils exagèrent la portée de la voûte : celle-ci devrait peu dépasser la portée retroussée du cintre, qui est celle qu'imposent les lieux : or, elle est bien plus grande (tableau ci-dessous).

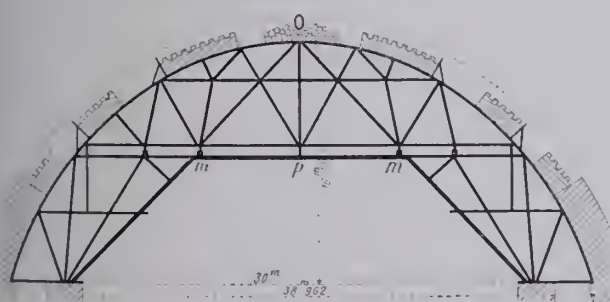
Ces cintres sont un peu confus : il y a beaucoup de pièces, et il n'est pas aisé d'en prévoir le travail^{56, 57}.

Voici ce qui concerne 4 grands cintres :

Intrados	Ponts :	Voir :			Portée 2a	Montée	Portée retroussée du cintre 2a'	Augmentation de portée de la voûte 2a-2a'	Fermes		Par m. q. de douelle			A la clef en m/m	
		Tome	pages Tableau synoptique	Monographie					Épaisseur en o ^{vo} i	Écartement d'axe en axe	Cube de bois	Poids de fer	Dépense	Surhaussement	Tassement
Plein cintre	Solis	I	53	57	42 ^m	21 ^m	27 ^m	15 ^m	22 ^r à 30 ^r	1 ^m 15	0 ^m 85	8 ^t 5	66 ^t 10	100 ^{mm}	51 ^{mm}
Ellipse surhaussée	Wiesen	I	233	241	55	33.34	39	16	22 à 28	1.33	2.65	51.9	119.50	100	100
Arcs peu surbaissés	Cinuskel	II	179	190	46.98	20.24	36	10.98	18 à 20	1.20	0.53	14.8	52.20	0	62
	Tuoi		181	195	47.71	21.42			18 à 20	1.00 0.95	0.61	7.6	61.10	100	33

55. — Il a fallu soutenir le cintre par un échafaudage partant du fond de la vallée.

f₃₃ — Pont sur le Val-Mela
Cintre — État des travaux au moment de la chute



56. — Chute du cintre du pont sur le Val-Mela (Ligne de Bevers à Schuls, Engadine) (f₃₃), 29 août 1911.

Il était calculé pour le 1^{er} rouleau.

Il y avait des bois ronds mal assemblés. L'été de 1911 a été très chaud : les bois avaient travaillé.

A l'amont, le bandeau débordait la ferme de 30 à 35^m.

Le 29 août 1911, — jour de la chute, — les points O et p avaient tassé par rapport aux points m de :

	Amont	Aval
O	20 ^{mm}	5 ^{mm} 5
p	55 ^{mm}	28 ^{mm}

Schweizerische Bauzeitung, 23 novembre 1912, p. 281 à 285 : « Zum Gerüstesturz des Val-Mela-Viadukts auf der Linie Bevers Schuls der Rh. B. »

57. — Même type de cintre : au plein cintre de Mutttertobel (cintre retroussé sur 16^m50) (Allula-Bahn, Denkschrift im Auftrage der Rhätischen Bahn, — Prof. Dr Hennings, Pl. 13, Coire, chez F. Schuler, 1908) ; — à l'arche de Triquent sur

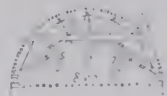
le Triège (Portée, 35^m40 ; montée, 9^m70), (Ligne électrique à voie de 1^{re} du Chatelard à Martigny ; — au plein cintre de 25^m de Stulsertobel (Ligne de Bevers à Schuls, Engadine).

§ 4. — CINTRES RETROUSSÉS A RAYONS (ÉVENTAIL)

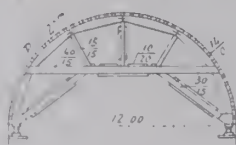
Art. 1. — Entrait non armé. — Pleins cintres de 8^m à 12^m. — L'éventail repose sur un chevalement fait d'un entrait et de deux arbalétriers (f_{31} , f_{32} , f_{36}).

L'entrait est fléchi dans f_{34} , f_{35} , non dans f_{36} .

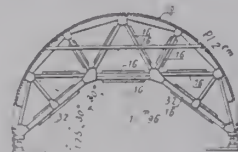
f_{31} — Viaduc du Caty⁵⁸



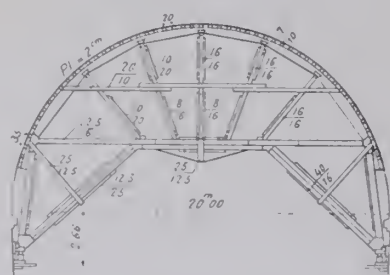
f_{32} — Viaduc de Nice^{58, 59}



f_{36} — Viaduc de la Bassera⁶⁰



f_{37} — Pont de Saint-Waast⁵⁸

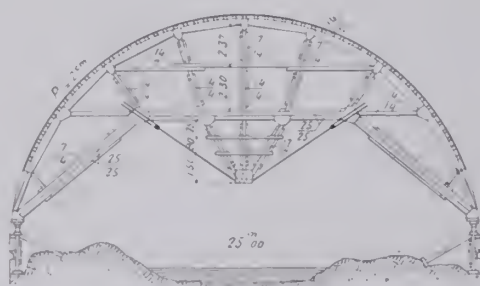


Art. 2. — Entrait armé par un tirant (Type Saint-Waast). Pleins cintres de 20 à 25^m. — Pour 20 à 25^m, on a armé l'entrait par un tirant en fer rond fileté aux deux bouts (f_{37})^{61, 62}.

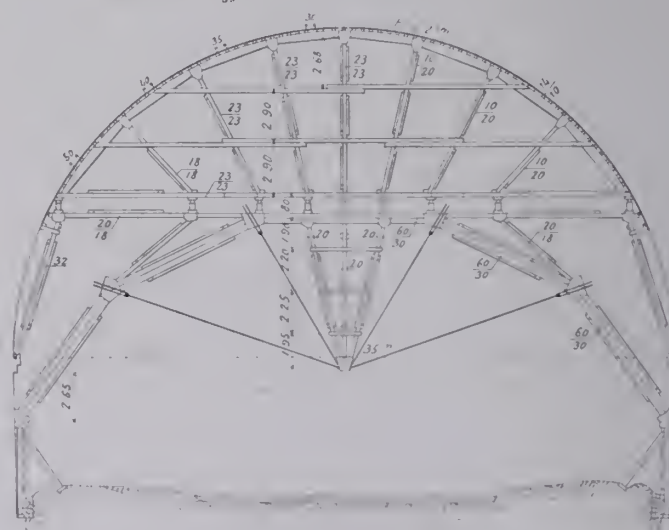
Art. 3. — Entrait armé par un câble d'acier. Cintres de l'Arconce, 25^m (f_{38}).

du Sornin, 35^m (f_{39}). — Pour armer l'entrait, un câble d'acier vaut mieux qu'un tirant. Il résiste mieux à la tension et se règle comme on veut.

f_{38} — Pont sur l'Arconce^{63, 64}



f_{39} — Pont du Sornin⁶⁵



Quand la portée augmente, on brise les arbalétriers⁶⁶ qui portent l'entrait,

58. — Ligne de Montauban à Castres (1882-1884).

59. — Le type de Nice a été appliqué à des viaducs de la ligne de Nyon à Sarlat (1885-87) : Saint-Jean-de-Cole (14^m), Saint-Germain (15^m).

60. — Ligne de Nice à Coni (1913).

61. — Le type de Saint-Waast a été appliqué à trois ponts en plein cintre de la ligne d'Elne à Arles-sur-Tech : sur la rivière Ample (13^m) ; sur la Palmère (21^m) ; sur le Tech, à Amélie-les-Bains (26^m).

62. — On a, de même, raidi par un tirant l'entrait des cintres partiellement retroussés de deux ponts sur l'Aude, de 30^m (Ligne de Quillan à Rivesaltes, 1899) : ponts d'Abès et d'Axat.

63. — Ligne de Paray-le-Monial à La Clayette (1896-1900).

64. — Même cintre au pont de Courlans, sur la Vallière (25^m) (Ligne de Saint-Jean-de-Losne à Lons-le-Saunier, 1900-1902).

65. — Ligne de La Clayette à Lamure (1896-1900).

66. — Au pont du Castelet (II, p. 132), retroussé sur 26^m40, l'écartement était maintenu par des cornières attachées à un encoffrement de tôle qui coiffait l'about des arbalétriers : on ne pouvait pas régler la tension.

suivant un polygone dont chaque sommet est tenu par un câble : on n'y accepte pas d'angle de plus de 160° .

On a fait ainsi : d'abord le cintre de 35^m du Sornin (f_{39} , Φ_3), puis ceux de Luxembourg ⁶⁷ et de Constantine ⁶⁸.

Φ_3 - Cintre du Pont du Sornin



Voici ce qu'ont coûté les cintres de l'Arconce et du Sornin :

		Pont sur l'Arconce	Pont du Sornin
<i>I. Main-d'œuvre :</i>			
Fondations		113' 70	86' 35
Bois	Epure, taille, montage	1.604' 20	4.709' 20
	Démontage et enlèvement	490 50	1.246 60
	Outils et faux-frais (environ 1' 20)	106 60	357 85
	Ensemble	2.315 »	6.400 »
<i>II. Fournitures</i> (les matériaux restant à l'Entrepreneur) :			
Bois sur chantier (déchets non compris)		1.904 16	7.236 60
Tôles pour assemblages		488 76	1.413 60
Métaux	Fers pour boulons, brides, broches, clameaux, chevilles	444 78	786 20
	Acier pour câbles, tendeurs, étriers, plaques d'ancrage, et fonte pour culots	910 20	2.171 75
	Plomb pour articulations, zinc aux abouts des pièces	68 66	144 75
<i>III. Divers :</i>			
Câbles de contreventement, pieux d'amarrage, boîtes à sable		46 »	1.047 10
Total		6.174 56	19.200 »

67. — II, p. 72 bis.

68. — II, p. 110.

Art. 4. — Cintres retroussés à rayons (Éventail) : Dimensions, quantités, prix.

				Viaducs				Ponts					
				en plein cintre				en plein cintre			en arc peu surbaissé		
				Caly	Nice	Bassera	St-Waast	Courlans	Arconce	Sornin	Castelet	Constantine	Luxembourg
Voir Tome, page				V, 146	V, 146	V, 146	V, 146		V, 146	V, 146	11, 117, 132	11, 65, 110	11, 61, 72 ^{bis}
Portée.....				8 ^m	12 ^m	12 ^m	20 ^m	25 ^m	25 ^m	35 ^m	41 ^m 20	68 ^m 76	84 ^m 65
Montée.....				4 ^m	6 ^m	6 ^m	10 ^m	12 ^m 50	12 ^m 50	17 ^m 50	14 ^m	25 ^m	31 ^m
Nombre.....				4	4	4	4	6	6	6	5	4	5
Formes	Épaisseur	de rive	chevalement..		0 ^m 12		0 ^m 14		0 ^m 25	0 ^m 25	0 ^m 25	0 ^m 38	0 ^m 25
			cerveau	0 ^m 10		0 ^m 16		0 ^m 14	0 ^m 18	0 ^m 20	0 ^m 23	0 ^m 19	
		intermédiaire	chevalement..	0 ^m 15	0 ^m 15	0 ^m 16		0 ^m 25	0 ^m 30	0 ^m 25	0 ^m 38	0 ^m 38	
			cerveau	0 ^m 10				0 ^m 17	0 ^m 23	0 ^m 25	0 ^m 23	0 ^m 23	
	Ecartement d'axe en axe	de rive.....		1 ^m 37		1 ^m 50		1 ^m 50	1 ^m 60	1 ^m 65		1 ^m 50	1 ^m 60
		intermédiaire.						1 ^m 50	1 ^m 50				
Cube de bois (poteaux compris)	d'une ferme	de rive.....	0 ^m 96	2 ^m 23	2 ^m 647	5 ^m 73	7 ^m 10	7 ^m 082	21 ^m 625	29 ^m 379	deux anneaux	45 ^m 716	42 ^m 374
		intermédiaire.		2 ^m 59		6 ^m 41	8 ^m 20	7 ^m 864	25 ^m 91	34 ^m 391			55 ^m 775
	de toutes les fermes C ₁	3 ^m 84	9 ^m 64	10 ^m 588	24 ^m 28	47	45 ^m 62	146 ^m 89	161 ^m 931	365 ^m 724		252 ^m 073	
	des pièces communes (platelage, contreventements, couchis) C ₂ ...	3 ^m 49	6 ^m 37	5 ^m 999	12 ^m 09	31 ^m 77	22 ^m 33	47 ^m 27	45 ^m 308	111 ^m 477		134 ^m 466	
	total du cintre C = C ₁ + C ₂	7 ^m 33	16 ^m 01	16 ^m 587	36 ^m 37	78 ^m 77	67 ^m 95	194 ^m 16	207 ^m 239	508 ^m 907		386 ^m 539	
	par m. q. de douelle K = $\frac{C}{S}$	0 ^m 14	0 ^m 204	0 ^m 223	0 ^m 281	0 ^m 248	0 ^m 257	0 ^m 511 ⁷⁰	0 ^m 556	0 ^m 597		0 ^m 634	
Poids de fer	rapport $\frac{C_2}{C}$		0 ^m 48	0 ^m 40	0 ^m 36	0 ^m 33	0 ^m 40	0 ^m 33	0 ^m 24	0 ^m 22	les deux anneaux	0 ^m 22	0 ^m 34
	total P.....		179 ^k	276 ^k	1 ^m 400 ^k	1 ^m 965 ^k	7 ^m 879 ^k	9 ^m 443 ^k 69	15 ^m 520 ^k	14 ^m 759 ^k		83 ^m 719 ^k	57 ^m 900 ^k
	par m. q. de douelle p = $\frac{P}{S}$		3 ^m 5	3 ^m 51	18 ^m 8	15 ^m 19	24 ^m 77	35 ^m 63	40 ^m 81	39 ^m 60		99	95
	par m. c. de bois $\frac{P}{C}$		24 ^m 42	17 ^m 24	84 ^m 4	54 ^m 83	100	139	79 ^m 94	71 ^m 21		163 ^m 80	149 ^m 79
Dépense réelle (tout compris)	totale D.....				2 ^m 943 ^f 38	3 ^m 293 ^f »	5 ^m 820 ^f 75	6 ^m 174 ^f 56	19 ^m 200 ^f	30 ^m 000 ^f	pour les deux anneaux	250 ^m 132 ^f 84	101 ^m 138 ^f 75
	par m. q. de douelle $\frac{D}{S}$				39 ^m 72	25 ^m 46	18 ^m 30	23 ^m 29	50 ^m 48	80 ^m 50		296 ^m »	165 ^m 80
	par m. c. de bois $\frac{D}{C}$				177 ^m 45	90 ^m 64	73 ^m 90	90 ^m 87	98 ^m 89	144 ^m 76		489 ^m 50	261 ^m 65
Dépense par m. c. de bois, fers non compris..						109 ^m 93		44 ^m 56	62 ^m 77	75 ^m 63	102 ^m 82	376 ^m 83	140 ^m 11

§ 5. — CUBE DE BOIS K, POIDS DE FER p, DÉPENSE d, PAR m. q. DE DOUELLE
POUR LES DIVERS TYPES DE CINTRES RETROUSSÉS

Art. 1. — Graphique des renseignements recueillis (p. 149). — Le graphique, p. 149, rapproche et compare pour 43 cintres retroussés les quantités de bois et de fer, et aussi le prix, — le tout par m. q. de douelle, celle-ci calculée comme l'indique l'Avertissement en tête des Tomes I à IV.

Au graphique, ne figurent pas les cintres qui cubent plus de 0^m 80 par m. q. de douelle ⁷¹.

Art. 2. — Que conclure du graphique ? — Pour quelques cintres, on a pris les équar-rissages au hasard.

Les cintres à rayons (seuls R, ou à triangles RT) sont légers; toutefois, sauf pour les très grandes portées, d'autres cintres quand ils sont *calculés*, peuvent l'être aussi.

Pour les cintres retroussés à rayons, on peut accepter, pour une première indication, les formules empiriques :

$$K = 0,04 + 0,012 (2a) \quad p = 1,2 (2a) - 8$$

Sauf pour des hauteurs excessives, le cintre fixe est toujours plus économique. Mais si, pour le cintre retroussé, le prix de revient se peut assez approximativement évaluer d'après les quantités de bois et de fer, pour le cintre fixe, il y faut faire entrer les dépenses de fondation, de battage de pieux, etc...

69. — A l'Arconce, on a réemployé les câbles du Sornin, trop forts pour une voûte de 25^m.

70. — Au Sornin, premier cintre à câbles, on a été timide.

71. — Notamment, parmi ceux de 40^m et plus, ceux de : Solis, 0^m 85 (I, 53); Collonges, 0^m 99 (I, 11); Oloron, 1^m 08 (I, 39); Gravona, 1^m 13 (II, 179); Saint-Sauveur, 1^m 23 (I, 11); Wiesen, 2^m 65 (I, 233).

SUPÉRIORITÉ DES CINTRES A RAYONS (ÉVENTAIL) ET COMME CINTRES FIXES ET COMME CINTRES RETROUSSÉS

Dans ces cintres, les assemblages sont simples : au Sornin (f_{20} , Φ_3), à Luxembourg ^{71 bis}, pas de tenons, de mortaises, d'embranchements : par exemple, les vaux portent, sans coupe, sur les contrefiches ; tout tient par les couvre-joints boulonnés.

L'exécution en est facile et précise.

Ils n'ont pas de lignes surabondantes ; les calculs en sont très simples par la Statique graphique.

Ils doivent donc être les plus économiques : ils le sont.

Ils tassent peu.

Quand on construit une voûte, il faut connaître les points du cintre au droit desquels elle tendra à s'ouvrir. Dans un cintre susceptible de déformations d'ensemble, on ne le peut pas : avec le type en éventail, ce sont sûrement les abouts des contrefiches ; c'est là que, par un joint sec, un taquet, un coffrage, on ménagera une articulation dans le rouleau en construction.

J'ai employé ce type : en cintres fixes, pour pleins cintres, pour arcs peu surbaissés, assez surbaissés, très surbaissés, pour ellipses ; en cintres retroussés, pour toutes portées.

Les Ingénieurs qui l'ont appliqué s'en sont félicités.

Il est fort à conseiller.

CHAPITRE V

CINTRES MARINIERS

RETROUSSÉS SUR LA LARGEUR DE LA PASSE NAVIGABLE

Au-dessus d'une passe navigable, on a jeté :

des arbalétriers peu inclinés concourants⁷², ou soutenant une pièce horizontale⁷³ ;

Φ_4 — Pont de Marmande : Cintres mariniers



des fermes à grands arbalétriers très inclinés qui reçoivent la charge de flanc ⁷⁴ (Φ_1) ;

des poutres de bois : à grandes mailles ⁷⁵ ; à treillis serré ⁷⁶ ;

des poutres : bois, et tirants en fer ⁷⁷ ;

des poutres métalliques ⁷⁸.

^{71 bis} — II, p. 71^{ter}.

⁷² — Mehring (III, 231, 252), passe de 11^m20.

⁷³ — Lusserat (III, 89, 156), passe de 10^m ; Orléans (III, 233, 259), passe de 9^m ; Boucicaut (III, 231, 247), passe de 10^m60 ; Neckargartach (IV, 169, 189), passe de 9^m.

Au pont Boucicaut, on a agrandi la passe pendant la construction d'une voûte (III, 247).

⁷⁴ — Marmande, 1881-1886 : arches de 36^m, passe de 18^m.

⁷⁵ — Londres (I, 139, 147), passe de 13^m50.

⁷⁶ — Alma (I, 139, 155), passe de 11^m80 ; Mantes (I, 141, 161), passe de 16^m ; Pont-sur-Yonne (I, 211, 214), passe de 15^m.

Viaigne du Point du Jour, 1863-66, (Dessins distribués aux Élèves de l'École des Ponts et Chaussées, série 3, section A, p. 20, Pl. 8) : à 2 arches, passe de 12^m.

⁷⁷ — Ponts de : Lays, sur le Doubs (26^m) ; Arcial, sur la Saône (31^m) ; Schweich (III, 235, 263), passe de 16^m ; Cassel (III, 286, 303), passe de 6^m.

⁷⁸ — Longueuil (III, 237, 279), passe de 19^m.

CINTRES EN MÉTAL

Art. 1. — Pourquoi a-t-on fait des cintres en métal ? — Pour laisser passer les crues, la navigation^{80, 81, 82}, des trains⁸³.

Ils sont indiqués quand on a à construire un grand nombre de voûtes semblables⁸⁴, ou quand on doit faire un pont large en accolant des anneaux minces^{79, 85}.

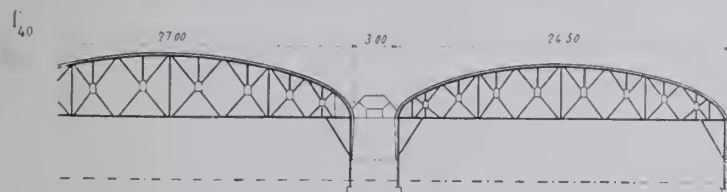
Art. 2. — Types de cintres en métal. — On a fait en métal un étage inférieur seul⁸⁶, — la couronne des vaux seule, et alors à poutre pleine⁸⁷, — tout le cintre⁸⁸.

On en a appuyé⁸⁹ entre naissances.

On en a retroussé sur toute la portée⁸⁸.

Parmi ceux-ci, les uns sont posés à leurs abouts, d'autres articulés⁹⁰. Il y en a d'articulés à la clef et aux retombées⁹¹.

79. — Nouveau pont de Bâle sur le Rhin (1904-1905), 6 voûtes en maçonnerie : 2 de 24^m50, 2 de 27^m,



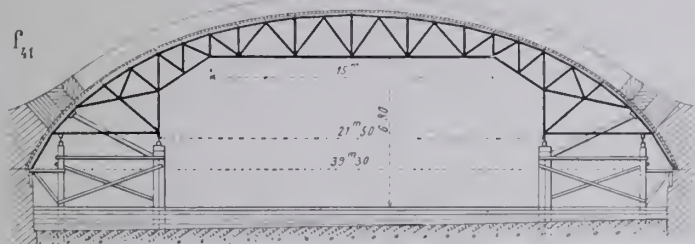
2 de 28^m. Elles ont 18^m8 de largeur : on les a faites chacune en trois anneaux de 6^m26 sur un seul cintre à 4 fermes métalliques (f_w).

Chaque cintre a servi 3 fois pour une voûte, 6 fois pour les deux voûtes de même portée.

Tassement pendant la construction : 14^{mm} à 22^{mm}.

Die Haupt-, Neben-, und Hilfsgerüste im Brückenbau. — von Dr. techn. Robert Schönhöfer, K. K. Ober-Ingenieur und Privatdozent, — W. Ernst und Sohn, Berlin, 1911, p. 95.

80. — Nouveau pont Auguste à Dresde. Voûtes en béton ; ouvertures : 32^m95 à 39^m3 ; largeur : 18^m.



Aux 5 plus grandes, on ménagea une passe marinière haute de 6^m80 au-dessus de l'étiage, large de : 21^m50 en bas, 15^m en haut.

Les cintres (f_w) avaient 10 fermes espacées de 1^m74. Ils ont tassé de 50^{mm} à la clef, pendant le bétonnage.

Loc. cit. renvoi 79.

81. — Tolkmitt a construit (1890-1891) une arche, de 18^m de portée, 3^m40 de montée, 10^m de largeur, du pont de Copenick à Berlin, sur une poutre en treillis, ménageant une passe de 7^m70. Les fermes étaient appuyées aux naissances et sur deux palées. On les amenait de l'usine en trois morceaux.

Une ferme pesait 1.340^k ; le cintre, 8.550^k, — soit 47^k par m. q. de surface couverte.

Zeitschrift für Bauwesen, 1892, p. 355 et suivantes.

82. — Pont de Valence (I, 143, 177).

83. — Passages supérieurs en béton pour remplacer des passages à niveau. — A la fin de 1900, on avait construit 110 ponts avec 6 cintres : l'un d'eux avait servi 24 fois.

Nouvelles Annales de la Construction, juin 1901, p. 88 : « *Cintres métalliques mobiles employés en Bavière* », par René Philippe, Ingénieur des Ponts et Chaussées.

84. — Souterrains. — Au Mont-d'Or (Ligne de Frasné à Vallorbe, 1911-1914), les mêmes cintres ont servi 55 à 60 fois.

85. — Rocky River (II, 63, 101).

86. — Kempten (IV, 113, 117) ; Spokane (III, 285, 296).

87. — Putney (III, 231, 241) ; Edouard VII (I, 145, 184).

88. — Valence (I, 143, 179) ; arche centrale rive gauche.

89. — Valence (I, 143, 178) ; arches de rive, arche centrale rive droite.

90. — Svenkerud (III, 87, 151).

91. — Rocky River (II, 63, 101) ; Delaware (III, 285, 291).

Art. 3. — Poids et prix par m. q. de douelle.

Ponts :			Voir :			Portée	Montée	Écartement des fermes	Par m. q. de douelle			A la clef en m m		
			Tome	pages					Cube de bois	Poids de fer	Dépense	Surhaussement	Tassement	
Cintres tout en métal	appuyés (2 palées entre les naissances)	Valence Voûte :	rive droite	I	143	178	49 ^m 20	10 ^m 85	1 ^m 66	0 ^m 44	183 ^k 5	119 ^l 10	60 ^{mm}	50 ^{mm}
			rive gauche (2 ^e emploi)				id.	id.		0 30	180.9	31.70	50	41
			centrale				id.	12 30	1.66	0.28	209.6	118.10	100	91
	entière- ment retroussés	Rocky River	rive droite											
			centrale											
			rive gauche	I	143	179	id.	id.	1.33	0.28	377.1	189.50	85	97
			II	63	101	85.34	24.64	7.06 2 fermes		584	201.80		44.5	
Étage inférieur seul en métal (2 appuis entre les naissances)			Kempten	IV	113	117	Pont aval 63.80 25.76 Pont amont 64.50 27.58 50.60 8.85 entre rotules		1.55	0.42		114.20	Bois Etage supér 50 Fer Etage infer 23.4	

Les cintres métalliques sont fort chers de premier emploi.

CHAPITRE VII

SURHAUSSEMENT

Art. 1. — Cintres fixes. — On a souvent surhaussé les cintres fixes⁹². Or, ils tassent peu; on ne sait pas à l'avance de combien, et il n'importe guère que la clef soit basse de quelques centimètres.

Les surhausser complique assez inutilement les épures.

Art. 2. — Cintres retroussés. — Les grands cintres retroussés tassent beaucoup⁹³; on ne peut prévoir de combien. On les surhausse, un peu d'après ce qui a été observé à des cintres comparables, beaucoup au sentiment.

Pour les cintres à câbles, c'est facile en serrant leurs écrous⁹⁴.

CHAPITRE VIII

ACCIDENTS

Un cintre s'est écroulé :

parce que les palées portaient sur des semelles de bois ayant servi et percées de trous⁹⁵;

parce qu'il était mal assemblé ou mal conçu;

parce que de longs poteaux, mal contreventés, ont flambé;

parce qu'une crue a emporté des palées.....

92. — Voir les Tableaux synoptiques, p. 136 à 141.

93. — Voir les Tableaux synoptiques, p. 145.

94. — Voir Tome II, p. 73, renvoi 19.

95. — Voûte de 38^m50 du pont Cornélius (IV, 182).

PRÉCAUTIONS DIVERSES

Art. 1. — Cintres ayant déjà servi. — Parfois les cintres employés à nouveau tassent beaucoup : il y est tout particulièrement nécessaire de mettre des feuilles de tôle dans les assemblages ^{98, 99, 100}.

Art. 2. — Arrosage. — On a quelquefois arrosé les cintres pendant la construction des voûtes pour faire gonfler les bois ; puis on les a laissés sécher après clavage pour favoriser le décintrement ¹⁰¹.

Art. 3. — Incendie. — Pour prévenir ou arrêter un incendie, on organise une surveillance spéciale de jour et de nuit ; on dispose un réservoir d'eau tout près ¹⁰².

CHAPITRE X

APPAREILS DE DÉCINTREMENT

§ 1. — BOITES A SABLE ¹⁰³

Excellent appareil de décintrement, très simple. Pour les grandes voûtes, c'est, en France, à peu près le seul employé ¹⁰⁴.

On a logé des boîtes à sable dans des caisses remplies de plâtre qui foisonne par l'humidité et remplit bien les vides ¹⁰⁵.

Quelquefois, le cintre porte d'abord sur des billots qu'on remplace par des boîtes à sable au moment du décintrement ¹⁰⁶. Ce n'est pas à conseiller : une voûte en ciment, qui tasse très peu, est décintrée au changement.

98. — Au pont de Losde (Ligne de Tarascon à Ax, 1882-1883), arc, portée 30^m60, montée 6^m30, on a employé le cintre du pont voisin de Remoulins. Il a tassé : sur cintre, de 58^{mm} ; au décintrement (60 jours après clavage, — MOV, chaux du Teil), de 1^{mm}4.

99. — A une arche de 25^m (la 2^e à partir de la culée rive droite) du viaduc de la Sitter, le cintre tassa de 180^{mm}, tassement énorme « imputable pour la plus grande partie à ce fait que les cintres avaient déjà été employés à d'autres viaducs et que leurs assemblages avaient du jeu ». (Observations pendant la construction et aux épreuves, par M. l'Ingénieur Acatos.)

Schweizerische Bauzeitung, 29 octobre 1910, p. 242. « Der Sitterviadukt der Bodensee Toggenburgbahn ».

100. — Au pont des Amidonniers, les cintres en 2^e emploi n'ont pas plus tassé qu'au premier.

	Voûtes de 42 ^m		Voûtes de 38 ^m 50	
	amont	aval	amont	aval
Premier emploi (Rive droite).....	28 ^{mm}	23 ^{mm}	19 ^{mm}	21 ^{mm}
Deuxième emploi (Rive gauche).....	24 ^{mm}	25 ^{mm}	18 ^{mm}	17 ^{mm}

101. — Teinach (IV, 204) ; Gravona (II, 184) ; Munderkingen (IV, 59) ; Walnut Lane (II, 90).

102. — Walnut Lane (II, 89).

Le 7 avril 1905, le feu a pris au cintre de Salcano (III, p. 149, S₆).

103. — On se servait d'abord de simples sacs remplis de sable, dont on réglait la sortie en serrant l'ajutage par une corde. Ce mode d'opérer a été imaginé, en 1847, par Beaudemoulin, au pont de Port-de-Piles ; mais il était employé par les Egyptiens pour mettre en place les obélisques. (Choisy, *Histoire de l'Architecture*, I, p. 38.)

104. — Toutes les voûtes françaises de 40^m et plus ont été décintrées sur boîtes à sable, sauf :

a — sur coins : Fium'Alto (I, 89, 110) ; Berdoulet (II, 117, 128) ; Gravona (II, 179, 184) ;

b — sur vérins : Saint-Sauveur (I, 11, 29) ; Boucicaut (III, 231, 246) ;

c — avec roulettes descendant sur une surface de vis : Nogent-sur-Marne (I, 77, 81).

105. — Lavar (II, 119, 137) ; Antoinette (II, 119, 144 bis).

106. — Claix (III, 13, 37) ; Grasdorf (IV, 125, 130).

§ 2. — COINS¹⁰⁷

Les coins suffisent pour de petits cintres, jusqu'à 12^m par exemple. Mais, pour les grands, les bois s'impriment l'un dans l'autre, l'humidité les gonfle, et il est à peu près impossible de les faire glisser.

On les a cependant employés à des voûtes de 40^m et plus, récemment encore à l'étranger¹⁰⁸, — très rarement en France^{104-a}.

On les a munis de boulons à vis, et encore n'a-t-on pas toujours réussi à les « décoller »¹⁰⁹.

On desserre plus facilement trois coins : un mobile entre deux fixes¹¹⁰.

On a employé des coins d'acier manœuvrés par des vis¹¹¹.

On a placé quelquefois les coins sous les couchis¹¹², sous les vaux¹¹³.

§ 3. — VÉRINS¹¹⁴

Pour les voûtes de 40^m et plus, on les a employés : en France, très peu¹¹⁵; en Allemagne, à quelques ponts inarticulés¹¹⁶, à la plupart des ponts articulés^{117, 118}.

§ 4. — DÉCINTREMENT PAR ÉCRASEMENT DE PIÈCES DU CINTRE

On a entaillé les poteaux sous les vaux¹¹⁹; — ruiné des billots placés au niveau du sol pour dégager des coins sous l'étage supérieur¹²⁰; — diminué progressivement, à coups de scie verticaux, des billots à base évidée (système Zuffe^{121, 122}).

§ 5. — DÉCINTREMENT EN DÉTENDANT DES CABLES

Dans les cintres retroussés à câbles d'acier, on commence le décintrement du

107. — Boîtes à sable et coins : Edouard VII (I, 145, 184); Wiesen (I, 233, 241); Guggersbach (III, 15, 60); Coulouvrenière (IV, 79, 82).

108. — Ballochmyle (I, 39, 42); Big Muddy River (I, 223, 228); Walnut Lane (II, 63, 88); Victoria (II, 199, 204); Jaremcze (III, 83, 116); Canale (III, 183, 187); Mosca (III, 193, 200); Putney (III, 231, 241); Mehring (III, 231, 252); Schweich (III, 235, 268); Longuich (III, 237, 279); Spokane (III, 285, 296, (coins en fonte sous les couchis); Boberullersdorf (III, 287, 299); Elsen (III, 287, 300); Cassel (III, 287, 303); Munderkingen (IV, 53, 56); Gohren (IV, 125, 140).

109. — Luxembourg (II, 61, 72^{ab}). 110. — Gloucester (I, 87, 108); Morbegno (IV, 63, 71).

111. — « Screw wedges » (Pont sur la Rocky River, II, 63, 101).

112. — Gignac (I, 87, 105); Chester (III, II, 29); Crespano (II, II, 47); Nydeck (II, 13, 53); Bellows-Falls (III, 223, 226).

113. — Connecticut (I, 61, 71).

114. — Vérins et coins : à Reichenbach (IV, 169, 183); à Sidi Rached (II, 65, 110); vérins, coins et boîtes à sable : à Signac (I, 129, 132).

115. — Dès 1848, aux ponts de Cé.

Pour les voûtes de 40^m et plus, voir renvoi 104-b.

Au pont Boucicaut, ils ont servi à dégager les coins.

116. — Langenbrand (III, 89, 153).

117. — Tome IV : Garching (93, 98); Chemnitz (105, 109); Kempten (113, 117); Elise (127, 152); Illerbeuren (157, 160); Malling (167); Hochberg (167, 177); Cornelius (167, 181); Wittelsbach (171, 199); Moulins-lez-Metz (171); Mannheim (173); Neckarhausen (221, 233); Max-Joseph (223, 244); Prince Régent (223); Sigmaringen (251, 255).

118. — Au pont de Neckarhausen (IV, 221, 236), les vérins s'étaient enfoncés de 3^m dans les semelles pendant le bétonnage. On les a encadrés de billots, qu'on a sciés au moment de décintre.

119. — Annibal (I, 89, 113); Diable (I, 89, 117).

120. — Plauen (III, 15, 55).

121. — Décrit dans la monographie du pont de Krenngraben (III, 136).

122. — Système appliqué aux ponts autrichiens de : Krenngraben (III, 87, 136); Steyrling (III, 87, 139); Salcano (III, 87, 144); Palmgraben (III, 121, 165); Schalegraben (II, 121, 170); Rothweinbach (II, 123, 172); puis en Suisse, aux ponts de : Lichtensteig (III, 89, 162); Krummenau (III, 91, 165); Cinuskel (II, 179, 190); Tuoi (II, 181, 195).

cerveau en détendant les câbles¹²³.

On fait ensuite descendre les reins sur coins, mieux sur boîtes à sable.

§ 6. — DIVERS

Au pont de Nogent¹²⁴, on a fait descendre des roulettes sur une surface de vis.

Au pont de la Delaware¹²⁵, les voûtes sont bâties sur fermes d'acier à trois articulations : en manœuvrant des tiges filetées, on a diminué la longueur des deux panneaux de clef.

CHAPITRE XI

CALCUL

§ 1. — PRESSION NORMALE p PAR UNITÉ SUR LE CINTRE A UNE DISTANCE ANGULAIRE α DE LA CLEF

J'ai proposé en 1886 la formule :



$$p = \gamma c \left(1 + \frac{c}{2R} \right) \sqrt{\cos \frac{4}{3} \alpha} \quad 126$$

γ est la densité de la maçonnerie ;

c l'épaisseur en M (f_{42}) à attribuer au 1^{er} rouleau ;

R le rayon de courbure en M.

Pour les grands cintres, on néglige c devant $2R$,
et on applique la formule simplifiée :

$$p = \gamma c \sqrt{\cos \frac{4}{3} \alpha} \quad 127, 128$$

Par elle, les cintres se calculent très facilement et très vite¹²⁹ ; j'ajouterai, très exactement : au pont de Luxembourg, les efforts des câbles mesurés par leurs flèches étaient ceux que donnait le calcul.

123. — Luxembourg (II, 61, 80).

Ponts du Sornin, de l'Arconce (voir leurs cintres, p. 146, 147).

124. — I, 77, 81.

125. — III, 285, 291.

126. — J'ai indiqué comment elle a été établie : Annales des Ponts et Chaussées, octobre 1886, « Construction des Ponts du Castelet, de Lavour et Antoinette », p. 508 à 527.

C'est une bonne formule pratique. Elle suppose que les voussoirs s'appuient sur le cintre dès 22° $\frac{1}{2}$ sur l'horizontale, — ne glissent sur le cintre qu'à 45°. Ces deux hypothèses sont plus défavorables que la réalité.

En effet, soient : φ l'angle de glissement d'un voussoir sur mortier,
 φ' — des voussoirs sur le cintre,
j'ai trouvé :

	Maximum	Minimum	Moyenne
pour φ , sur 712 expériences.....	90°	25°	37°
pour φ' , sur 206 expériences.....	44°	25°	36° 30'

(Loc. cit. p. 506, 507.)

127. — On a ainsi calculé nombre de cintres : Castelet (II, p. 132) ; Lavour (II, p. 137) ; Antoinette (II, p. 144^{bis}) ; Luxembourg (II, p. 72^{bis}) ; Amidonniers (I, p. 199) ; Gour-Noir (III, p. 104) ; Montanges (III, p. 65) ; Sornin, Arconce (p. 146),....

128. — On trouvera à l'APPENDICE, des tables de : $\log \sqrt{\cos \frac{4}{3} \alpha}$; $\sqrt{\cos \frac{4}{3} \alpha}$.

129. — Voir à l'APPENDICE, le calcul du cintre de Luxembourg.

§ 2. — TRAVAIL PERMIS

Art. 1. — Bois (Pin, Sapin). — *A. - Pièces fléchies (vau, couchis).* — Le 1/5 de la charge de rupture, pratiquement $80^k \overline{0^m01^2}$.

B. - Pièces comprimées. — *B₁. - Dans le sens des fibres.* — Soit φ « l'élan-
cement » d'une pièce, c'est-à-dire le rapport :

$$\frac{L \text{ (longueur libre)}}{b \text{ (plus petit côté ou diamètre)}}$$

On peut admettre pour le travail par $\overline{0^m01^2}$ les formules suivantes :

Pièces rectangulaires (coefficient de sécurité de 1/5) :

$$\beta_m = \frac{80}{1 + \left(\frac{\varphi}{24}\right)^2} \quad 130, 131$$

Bois ronds, pieux (coefficient de sécurité de 1/7) :

$$\beta_m = \frac{60}{1 + \frac{1}{3} \left(\frac{\varphi}{12}\right)^2} \quad 130, 131$$

*B₂. - Normalement aux fibres*¹³². — Le 1/4 de la charge d'écrasement, 10^k à 12^k ¹³³.

Art. 2. — Câbles d'acier. — L'acier des fils résiste couramment à $100^k, 120^k \overline{0^m001^2}$.

J'ai admis 20 à 25^k par $\overline{0^m001^2}$ de surface utile.

CHAPITRE IX

POUR UN PONT A n ARCHES, COMBIEN DE CINTRES ?

Art. 1. — Pour 2, 3 arches. — On emploiera 2, 3 cintres.

Art. 2. — Pour 4 arches. — On a fait quelquefois 3 cintres, presque toujours 4.

Art. 3. — Pour 5 arches. — On a fait rarement 3 cintres¹³⁴ (Φ), souvent 4¹³⁵.

130. — Voir pour ces formules : *Loc. cit. renvoi 126*, p. 529 à 534.

131. — On trouvera à l'APPENDICE une table numérique de β_m .

132. — Voir p. 132, art. 2. 133. — Voir p. 132, renvoi 6.

134. — Ponts : des Amidonniers (I, p. 193) ; de Belleperche, 5 ellipses de 33^m à $1, 3, 75$.

135. — Ponts : de Lays sur le Doubs, 5 arcs très surbaissés de 26^m ; d'Ouroux sur la Saône, 5 ellipses de 33^m à 38^m , surbaissées à $1, 4, 5$.

Φ_5 — Pont des Amidonniers

Pour un pont à voûtes très tendues, le mieux est d'employer 5 cintres et de tout décintrer le même jour¹³⁶. Autrement, les piles tendent à se déverser du côté de la moindre poussée; une arche, décintrée avant que les autres ne la contrebuttent, tasse trop.

Art. 4. — Pour plus de 5 arches. — On s'est contenté quelquefois de 3 cintres neufs¹³⁷.

Pour les pleins cintres, on en a, le plus souvent, employé 4, 5¹³⁸.

Pour les arcs surbaissés et les ellipses, le nombre en a fort varié¹³⁹. Pour les arcs surbaissés, il est bon d'en faire 5.

Si on est pressé, on augmente le nombre des cintres¹⁴⁰.

Quand on emploie moins de cintres que de voûtes, on conduit les voûtes de façon à ne pas trop pousser les piles¹³⁸.

136. — Boucicaut (III, p. 243).

137. — Viaduc des Calvets, 6 ellipses de 27^m à 1 3,85; pont de Puichéric, sur l'Aude, 6 arcs de 20^m à 1,6.

138. — APPENDICE. — Viaducs.

139. — Ponts : d'Arciat, 7 arcs de 31^m à 1 7,47, 4 cintres; de Digoin, 9 arcs de 26^m à 1 7,4, 6 cintres; d'Avignon, 10 arcs de 40^m à 1 8, 5 cintres (III, p. 270); de Saint-Loup, 7 arcs de 33^m à 1 7,5, 5 cintres; de Bléré, 6 ellipses de 24^m à 1 3,65, 5 cintres; de Cè, 11 ellipses de 25^m à 1 3,27, 4 cintres; de Lanne, sur l'Adour, 7 ellipses de 24^m à 1 3,16, 4 cintres; de Port-Sainte-Marie, 8 ellipses de 32^m à 1 3,2, 6 cintres.

140. — Pont de Chalennes, 17 ellipses de 30^m au 1 4, 9 cintres.

TITRE III

COMMENT ON EXÉCUTE LES GRANDES VOÛTES EN MAÇONNERIE APPAREILLÉE ¹

CHAPITRE I

ROULEAUX

§ 1. — POURQUOI ON CONSTRUIT PAR ROULEAUX

Le prix des cintres augmente avec le carré de l'ouverture et l'épaisseur de la charge : il importe donc de les charger aussi peu que possible, surtout les grands.

On construit à pleine épaisseur jusqu'au joint à partir duquel la voûte commence à s'appuyer sur le cintre : ce sera vers 60° de la clef pour les pleins cintres, les ellipses, les arcs peu surbaissés ; aux naissances pour les arcs assez et très surbaissés.

Au-dessus, on n'exécute pas du premier coup la voûte sur toute son épaisseur ; mais on l'étale par deux, par trois couches successives.

§ 2. — COMMENT, DEPUIS 1800, ON A CONSTRUIT LES VOÛTES DE 10^m ET PLUS

De 1800 à 1850, toujours à pleine épaisseur ; voici ce qu'on a fait ensuite :

Epais- seur à la clef <i>e₀</i>	de 1850 à 1880			après 1880			
	à pleine épaisseur	en 2 rouleaux	en 3 rouleaux	à pleine épaisseur	en 2 rouleaux	en 3 rouleaux	en 4 rou- leaux
1m15 et au- dessous				Michelau, Ziegenhals, Huzenbach, Gross-Kun- zendorf, Schwusen, Tei- nach, Chemnitz, Avi- gnon, Boucicaut, Neu- hammer, Elyria	Seythenex <i>e₀</i> = 0° 90		
1.20				Edouard VII, Weagern, Bellows-Falls, Krappitz	Saint-Pierre Verdun Ramounails	Amidonnières	
1.25				Orleans	Castelet	Amidonnières	
1.30	Alma				Brent Oloron Rebuzo Sanlier		
1.35				Puney, Wheeling			
1.40	Calcio			Worochta, Diveria	Ceret Gravona Canale	Solis Rothweinbach Boilefos	
1.45	Saint- Sauveur				Empereur- Francois	Luxembourg Lusserat	
1.50		Claix		Plauen	Verdon Escot Freyssinet	Antoinette, Ponch Krenngraben Strandeeven Montanges Constantine	
1.60	Mantes					Valence, Svenkerud	
1.65						Lavaur	
1.70		Signac Berdoulet		Wäldlitobel	Jamna	Gour-Noir Palmgraben Schalchgraben	
1.75		Fium'alto					
1.80	Prarolo	Bains-de- Lucques	Nogent- sur- Marne		Schwande- holzdobel Langenbrand	Wiesen	Krm- menau
1.90	Collonges						
2.00		Cabin- John	Annibal Diable		Gutach	Steyrling	
2.10						Jaremeze, Salcano	

1. — Pour les voûtes en béton, voir p. 27.

Le nombre de rouleaux dépend de l'épaisseur de la voûte. En général, on a construit : en deux rouleaux, jusqu'à 1^m40 d'épaisseur à la clef; en trois rouleaux, au-delà.

§ 3. — ÉPAISSEUR DU 1^{er} ROULEAU

Art. 1. — Que porte le 1^{er} rouleau? — On constate que le 2^e rouleau tasse peu², souvent ne tasse pas³, que le 3^e ne tasse pas.

Le premier fait office de cintre pour le 2^e³.

Le cintre et le premier rouleau ne sont pas également compressibles : ils ne portent pas ensemble le 2^e. De plus, après le clavage du 1^{er} rouleau, la température peut s'élever assez pour qu'il quitte le cintre et travaille seul.

Il doit être assez fort pour se porter et porter le 2^e rouleau, sans flamber ou s'écraser⁴.

Art. 2. — Rapport, dans les voûtes exécutées, de l'épaisseur du 1^{er} rouleau e_0 , e_1 , à l'épaisseur totale e_0 , e_1 ⁵.

		2 rouleaux	3 rouleaux
à la clef : $\frac{e_0'}{e_0}$	minimum	0.326	0.33
	maximum	0.72	0.58
	en général	0.50	0.33 à 0.43
aux retombées : $\frac{e_1'}{e_1}$	minimum	0.25	0.28
	maximum	0.67	0.44
	en général	0.50	0.30 à 0.40

Il y a intérêt à avoir des rouleaux minces :

1^o pour moins charger le cintre ;

2^o pour bien remplir jusqu'à l'intrados, soit les fissures sur cintre s'il s'en produit, soit les joints secs ménagés pour les prévenir.

On a donné, de l'épaisseur du 1^{er} rouleau, un calcul théorique^{6,7} : dans mes voûtes, je l'ai prise au sentiment^{7bis}.

Aux Amidonniers (I, 203), le 1^{er} rouleau n'avait, au cerveau, qu'un moellon : nous avons fait ainsi à quantités de voûtes.

2. — Au pont du Diable (I, 116), pouzzolane et chaux grasse additionnée de chaux du Teil, le cintre tassa sous le 2^e rouleau.

3. — Pas de tassement après le clavage du 1^{er} rouleau aux ponts du Castelet (II, 134), de Lavour (II, 142), Antoinette (II, 148),....

4. — Si les rouleaux sont indépendants, on pourrait faire le 1^{er} en matériaux plus résistants. A Cabin-John (III, 72), le 1^{er} rouleau est en granit, le 2^e en grès.

5. — Pour les épaisseurs des rouleaux, voir : Castelet (II, 132); Lavour (II, 138); Antoinette (II, 146); Amidonniers (I, 203).

6. — Aux ponts de Wiesen (I, 242) et de Cinuskel (II, 191), le 1^{er} rouleau a été calculé comme un arc élastique pour porter le 2^e sans faire travailler le cintre.

7. — « Lorsqu'on construit une route par rouleaux, au lieu de l'exécuter en une seule opération, on réduit les distances à l'intrados des différents points de la courbe des pressions dans un rapport sensiblement égal à 1/2, quel que soit le nombre de rouleaux. » (M. Résal : « Traité des Ponts en maçonnerie », Tome I, p. 211, Paris, 1887).

Ce calcul suppose que « l'on décintre le premier rouleau avant de procéder à l'exécution du second ». (Loc. cit. p. 211, renvoi.)

Si on ne le fait pas, — et il est peu probable qu'on s'y risque, — « le rapport des distances à l'intrados des points correspondants des deux courbes des pressions relatives l'une à la route construite par rouleaux, l'autre à la route construite en une seule fois, est égal : pour deux rouleaux à 3/4, pour trois rouleaux à 2/3 ». (Loc. cit. p. 212, renvoi.)

« Ce procédé (la construction par rouleaux) procure nécessairement une réduction de travail maximum à la compression ou à l'extension à la clef.... »

«, par contre,.... dans la région du joint de rupture, les valeurs du travail maximum sont augmentées. »

« on peut corriger ce défaut,.... en réglant convenablement les épaisseurs relatives des rouleaux successifs, qui doivent varier de la clef aux naissances et non pas rester constantes, comme nous l'avons jusqu'ici supposé dans cette étude toute théorique. » (M. Résal : « Emplacements, débouchés, fondations. — Ponts en maçonnerie », p. 217, Paris, 1896.)

« L'épaisseur à la clef doit être partagée à peu près également entre les rouleaux successifs. Au joint de rupture, elle doit être attribuée en presque totalité au premier rouleau. » (Loc. cit. p. 223.)

Dans ces indications toutes théoriques, on ne tient compte ni des mouvements des cintres, ni des matages des joints laissés vides dans chaque rouleau, lesquels créent ou modifient les pressions.

7bis. — Voir I, 242, renvoi 6.

§ 4. — ROULEAUX SOLIDAIRES OU ROULEAUX INDÉPENDANTS ?

Art. 1. — Rouleaux solidaires. — Presque toujours, les queues des assises de chaque rouleau forment dents d'engrenage avec les découpes nécessaires pour y encastrer les voussoirs du suivant⁸.

La découpe est d'une assise à l'autre et non d'un moellon à l'autre dans la même assise.

Art. 2. — Rouleaux superposés indépendants. — Dans les voûtes romaines⁹, puis du Moyen-âge¹⁰, dans quelques voûtes modernes¹¹, les rouleaux sont superposés sans lien entre eux. C'est ainsi qu'on construit souvent les voûtes en briques^{12, 13}.

§ 5. — ADOPTION SYSTÉMATIQUE
DE LA CONSTRUCTION PAR ROULEAUX

On a reproché à la construction par rouleaux de répartir très inégalement les charges, le premier rouleau portant presque tout.

Aussi quelques Ingénieurs l'ont-ils déconseillée^{14, 15}.

Mais, dans les voûtes construites sans joints secs, c'est-à-dire avec fissures, les efforts se répartissent plus mal qu'entre les rouleaux successifs d'une voûte

Φ₁ — Cloaca-Maxima¹⁶



8. — Les rouleaux n'étaient reliés que de distance en distance : au pont du Diable (I, 118), par quelques briques engagées ; au pont Annibal (I, 114), par des voussoirs de tuf.

Ce n'est pas à imiter.

9. — Dans « *L'Art de bâtir chez les Romains* », Choisy donne des dessins de voûtes romaines en 2 rouleaux superposés (Basilique de Constantin, Thermes de Caracalla,...), en 3 (Panthéon).

L'Aqueduc Alexandrina est en 2 rouleaux, la Cloaca-Maxima (500 ans avant J.-C.), en 3 (Φ₁).

10. — Bandeaux en 2 rouleaux superposés aux vieux ponts de Cérêt (I, 118), de Tournon (II, 36).

11. — Pont de Cabin-John (III, 75).

12. — 3 rouleaux : pont sur la Gimone (Ligne de Toulouse à Auch) ; pont de St-Waast (V, 105, renvoi 32), 20^m ; 2 rouleaux : pont des Bains de Lucques (III, 33).

Les Italiens construisent ainsi leurs voûtes : viaducs tout récents de la ligne Coni-Vintimille (1911-14).

13. — Pour les petites voûtes, on moule les briques, avant de les cuire, en forme de voussoirs pour regagner la différence de développement entre l'intrados et l'extrados.

14. — « *La maçonnerie sera exécutée... sur toute l'épaisseur. Il est de règle, en effet, malgré des exemples contraires, de ne point maçonner une voûte... par zones parallèles à son épaisseur...* »

Dejardin : « *Routine de l'établissement des voûtes* », Paris, 1845, p. 247.

Lire dans le même sens : Morandière : « *Construction des Ponts* », p. 187 ; et, en sens contraire, Dupuit : « *Traité de l'équilibre des voûtes et de la construction des ponts en maçonnerie* », Paris, 1870, p. 283.

15. — La construction par rouleaux « *rend fort incertaine la position de la courbe de pression...* » Aussi y a-t-on renoncé en Allemagne pour les grandes voûtes surbaissées.

Centralblatt der Bauverwaltung, 1906, septembre, 5, p. 455 à 458 ; — 8, p. 462 à 465 ; 19, p. 483 à 486 ; « *Fortschritte im Bau weitgespannter flacher massiver Brücken* », von Landesbaurat Leibbrand in Sigmaringen.

16. — Date de la photographie : août 1908.

Il est possible qu'en théorie les efforts soient mal répartis, que les 2^e et 3^e rouleaux travaillent peu et ne fassent qu'empêcher le premier rouleau de flamber.

Mais, en fait, on n'a jamais vu le premier rouleau s'écraser.

Pour fuir un danger qu'on n'a pas constaté, on ne peut pas renoncer aux avantages, très réels, de la construction par rouleaux : cintre léger, — chaque rouleau fermé vite, — fissures faciles à bien remplir.

Cette méthode a rendu pratique et économique l'exécution des très grandes voûtes.

C'est par rouleaux qu'on a construit la plupart des grandes voûtes inarticulées¹⁷. L'expérience, « cette maîtresse impérieuse », a tranché.

CHAPITRE II

TRONÇONS ET CLAVAGES

ON COUPE LES ROULEAUX EN TRANCHES PAR DES JOINTS VIDES
PERMETTANT A LA VOÛTE DE SUIVRE, SANS CASSURES, LES MOUVEMENTS
DU CINTRE ; PUIS, ON MATE CES JOINTS

§ 1. — NÉCESSITÉ DES JOINTS VIDES

Le cintre est élastique : la maçonnerie ne le suit qu'en s'ouvrant.

Il y a fissure là où, à un appui moins flexible, succède un appui plus flexible¹⁸.

Un cintre, même très fixe, très raide, très fortement chargé, plie sous le poids de la voûte plus que la culée ou la pile¹⁹ : de là, une première fissure inévitable²⁰ au point où les voussoirs commencent à s'appuyer sur lui²¹ ; d'autres pourront s'observer au droit de parties plus spécialement fixes du

17. — Je ne sache pas qu'on ait construit, par rouleaux, de voûte à 3 articulations.

18. — De même qu'un aqueduc fondé sur deux terrains de compressibilité inégale se fend à la séparation, — de même que, dans une pile élargie, la nouvelle maçonnerie se sépare facilement de l'ancienne,...

19. — Au cerveau, les voûtes de souterrain se séparent du rocher.

20. — Les agents locaux s'entêtent souvent à les nier : il n'y a pourtant qu'à regarder.

Nombre de constructeurs n'ont pas craint de les avouer.

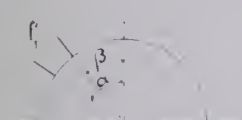
Voir les monographies des ponts de Fium'Alto (I, 110) ; Annibal (I, 112) ; des Bains de Lucques (III, 34) ; de Calcio (III, 102).

Viaduc de Puyheric, sur l'Aude (Ligne de Moux à Caunes), 1883-1886, 6 arcs de 20^m à 1 6 : aux trois premières arches, construites sans précautions spéciales, fissures légères aux naissances.

Pont de Lourdes, sur le Gave de Pau, 1879, arc de 28^m au 1 8 : large fente aux naissances du 1^{er} rouleau.

Je puis citer, comme fissurées pendant la construction, plusieurs centaines de voûtes.

21. — Voici, par exemple, les fissures à l'extrados observées à des viaducs en plein cintre :



Viaduc de :	Nombre d'arches fissurées	Portée	α Fissures	β Avancement du 1 ^{er} rouleau au moment de la fissure
Grangeneuve.....	4	15 ^m	58°	32°
Villon.....	7	15	60°	15°
Montvener.....	6	15	60°	18°
La Boucle.....	2	20	62-64°	13-26°
Mussy.....	1	25	60°	15°
l'Evalade (Morez-Saint-Claude), octobre 1908.....	1	25	44° 48°	4° 41°

cintre : palées²², abouts de vaux longs, extrémités d'une ferme retroussée d'un cintre marinier^{23, 24}, etc.... La fixité, la raideur, le chargement du cintre, le mode d'exécution de la voûte peuvent seulement réduire le nombre et l'amplitude des fissures, mais non les supprimer^{25, 26, 27}.

Acceptons-les, puisque nous ne pouvons pas les empêcher; mais localisons-les et soyons sûrs de les bien remplir.

Ménageons donc, là où elles peuvent se produire, — c'est-à-dire aux reins de la voûte et à tous les points fixes du cintre, — des joints vides qu'on bourrera, la voûte achevée.

§ 2. — EMBLACEMENT DES JOINTS VIDES

Art. 1. — Joints vides aux retombées seulement (c'est-à-dire clavages en trois points : clef et retombées). — Tout d'abord, on n'a ménagé de joints vides qu'aux retombées seulement, — là où la voûte commence à s'appuyer sur le cintre.

On a fait ainsi : en 1788, au pont de Maligny (arc peu surbaissé de 26^m)²⁸; puis à des arcs très tendus : en 1853, aux 1^{er} et 2^e rouleaux du Petit-Pont, à Paris (arc de cercle de 31^m à 1/10)²⁹; en 1862, au pont de Tilsitt, sur la Saône, à Lyon (ares de cercle de 21^m40 à 22^m84 à 1/8, 1/10)³⁰; en 1863-1864, à l'arche d'expérience de Souppes (arc de cercle de 37^m886 à 1/18)³¹; en 1882, au pont de Teinach³².

Art. 2. — Joints vides aux retombées et en d'autres points. — En 1847, au pont au Double (arc de cercle de 31^m à 1/10), le premier rouleau, exécuté en ciment prompt, fut divisé en 4 grands voussoirs par des intervalles de 1^m, maintenus pendant leur construction par des encaissements et clavés les quatre ensemble²⁹.

22. — Fentes au droit des palées au pont Annibal (I, 114), dans le 1^{er} rouleau des ponts de Saint-Pé (arc de 31^m au 1/5) et de Lourdes (arc de 28^m au 1/8), sur le Gave de Pau, construits en 1879.

Aux cinq voûtes du Point-du-Jour (30^m25), exécutées à mortier de ciment en un seul rouleau, légères fissures au droit des points d'appui de chaque ferme du cintre.

Annales des Ponts et Chaussées, 1870, 1^{er} semestre, p. 87.

23. — Deux arches du pont de Marmande, sur la Garonne (1883-1885), ellipses de 36^m à 1/3,6, ont été établies sur cintre marinier pour une passe de 18^m. Quoiqu'on eût chargé le cerveau du cintre, malgré les quatre coffrages des reins, pendant la construction du 1^{er} rouleau, on observa de minces fissures à un grand nombre de voussoirs du bandeau.

24. — Pont d'Orléans (III, 262). A la voûte extrême rive droite, fissure entre la clef et l'appui du cintre marinier.

25. — Pont du Gour-Noir (III, 106). Les voussoirs des bandeaux au droit des joints secs étaient posés sur mortier. On constata une fissure au droit de l'emplacement de chaque clavage.

26. — Pont de Wiesen (I, 242). On a laissé ouvert, dans la partie construite à pleine épaisseur, le 1/3 extérieur du joint à 64^e jusqu'après l'achèvement de la voûte. Au décintrement, on observa là une ouverture de 1^{mm}.

27. — Pont de Walnut Lane (II, 90). Bien que la voûte eût été attaquée en plusieurs endroits à la fois, on n'avait pas ménagé de vide aux retombées : elles s'ouvrirent.

28. — Gauthey : *Construction des Ponts*, p. 88.

29. — Claudel et Larroque : *Pratique de l'art de construire*, p. 489.

30. — M. Kleitz posa à sec sur liteaux de sapin les deux premiers rangs de voussoirs au-dessus des naissances et, après achèvement des voûtes, y coula du ciment. (Morandière : *Construction des Ponts*, p. 191.)

31. — III, p. 375, art. 2.

32. — III, p. 204.

En 1873-74, même méthode au pont de Claix³³; en 1883-84, au pont de Wäldlitobel³⁴, quatre attaques simultanées, aux reins et à 24° de la clef; en 1882-83, au pont du Castelet, six tronçons au 1^{er} rouleau³⁵: un s'est ouvert au-dessus d'une contrefiche du cintre.

Aussi, à Lavour³⁶ (1883-84), avons-nous articulé le premier rouleau au droit de tous les points fixes du cintre, c'est-à-dire aux abouts de tous les vaux.

Le mode de construction de Lavour, décrit Tome II, p. 138 à 142, a été appliqué, exactement, ou légèrement modifié, à nombre de grandes voûtes françaises³⁷, suisses³⁸, italiennes³⁹.

Art. 3. — Tous les joints vides. — Sur un cintre flexible⁴⁰, on ne sait pas où s'ouvrira la voûte; au lieu de la diviser en un petit nombre de tronçons, on pose tout sur cales, puis on coule, on fiche ou on mate le mortier⁴¹.

Aux grandes voûtes sous rails d'Autriche⁴², du grand-duché de Bade⁴³, on a suivi la méthode « française »^{44, 45}, mais en posant d'abord à sec les voussoirs dans chaque tronçon, puis en y bourrant les joints de mortier à l'état de terre humide, enfin, clavant au mortier sec les intervalles entre les tronçons.

§ 3. — COMMENT, PENDANT LA CONSTRUCTION DE LA VOÛTE, ON MAINTIENT LES JOINTS VIDES

Art. 1. — Comment on soutient les assises posées à sec. — Les assises à sec sont tenues :

à l'intrados par des bandes de plomb^{46, 47} qui restent dans la voûte (plomb mou ordinaire, ou durci par 2 % d'antimoine), ou des tuyaux de plomb⁴⁸, lesquels sous les coups de matoir se moulent sur la pierre et ne font pas vibrer le cintre;

33. — III, 38.

34. — II, 121, 158.

35. — II, 132.

36. — II, 119.

37. — Antoinette, 1883-84 (II, 119, 146); Cèret, 1883-85 (II, 121, 162); Gour-Noir, 1888-89 (III, 81, 106); Pouch, 1890 (III, 83, 110); Freyssinet, 1890-91 (III, 83); Saint-Pierre, 1886 (I, 91, 121); Verdun-sur-le-Doubs, 1895-97 (I, 141); Verdon, 1905-06 (I, 129, 133); Luxembourg, 1899-1903 (II, 61, 76); Amidonniers, 1904-07 (I, 189, 203); Ramounails, 1906-08 (II, 179, 188); Escot, 1907-09 (II, 123); Montanges, 1908-09 (III, 17, 67); Lusserat, 1908-10 (III, 89, 157); Seythenex, 1908-10 (III, 171); Sidi-Bached, 1908-12 (II, 65, 112).

38. — Solis, 1901-02 (I, 53); Wiesen, 1907-09 (I, 242).

39. — Morbegno, 1902-03 (IV, 63, 72).

40. — Par exemple, les cintres à cours superposés d'arbalétriers de Perronet, certains cintres marinières,....

41. — Ponts : Mosca, à Turin, 1834 (III, 193, 201); Notre-Dame, à Paris, 1853; de Berdoulet, 1860-61 (II, 117, 128); Empereur-François, à Prague, 1898-1901 (I, 141); Prince-Régent, à Munich, 1900-01 (IV, 233).

42. — Jaremcze, 1893-94 (III, 83, 116); Jamna, 1893-94 (III, 83, 118); Wrochta, 1893-94 (III, 82, 120); Krenngraben, 1904-05 (III, 87); Steyrling, 1904-05 (III, 87); Salcano, 1904-06 (III, 87, 145); Schalchgraben, 1904-05 (II, 121); Rothweinbach, 1904-06 (II, 123).

43. — Gutach, 1899-1900 (III, 85, 124); Schwändeholzdobel, 1899-1900 (III, 85, 128); Langenbrand, 1907-09 (III, 89).

44. — « im Einklange mit französischen Bauausführungen... » (Pont de Jaremcze, III, 110).

45. — « im Einklange mit den österreichischen oder vielmehr den französischen Bauausführungen die hierfür vorbildlich waren. » (Pont sur la Gutach, III, 124).

46. — Chester (III, 31); Mosca, à Turin (III, 201); Nydeck, à Berne (II, 54).

47. — Lavour (II, 139); Antoinette (II, 146); Luxembourg (II, 80); Castelet (II, 133).

48. — Nous avons fait ainsi, récemment, à des voûtes de la ligne de Morez à Saint-Claude.

par des liteaux de bois dur⁴⁹, larges de 3 à 4^m, plus minces de 3^{mm} ou 4^{mm} que le joint, et qu'on enlève ensuite :

à l'extrados, par des cales de chêne à la demande, mieux par des coins et des barrettes de fer⁵⁰.

On a proposé de remplir les joints en coulant du plomb ou du zinc⁵¹; mais ces métaux n'ont aucune adhérence avec la pierre, et le plomb résiste moins à la compression que le ciment.

Dans les joints, on a mis du sable, du mortier⁵², du mortier maigre⁵³, du sable entre des bandes de mortier maigre⁵⁴.

On ferme l'extrados par de vieux chiffons, des déchets de coton, des sacs,....

49. — Si on emploie des liteaux trop minces ou en bois tendre, ils cèdent; les voussoirs se touchent et s'écrasent. Le fait s'est produit récemment à un pont à 3 arches en arc de 20^m au 1/5: les 4 sommiers des bandeaux des 3 arches ont éclaté.

50. — Pont de Ramounails (II, 188).

On avait, auparavant, employé le même système aux reins d'une ogive de 30^m (pont de Fontpédrouse, V, p. 90). Bien que le joint y fut très incliné (60° sur la verticale) et le rouleau épais, on retira très facilement les coins et barrettes après matage.

Nous employons maintenant, très couramment, cette méthode.

Voici ce qui a été fait à l'arche de 25^m du Saillard, aux arches de 20^m du viaduc de Morez (Ligne de Morez à Saint-Claude) :

Viaduc de Morez — Comment étaient tenus les joints vides - 5^m

Fig. 2 — Coupe en long sur *xx* de Fig. 1

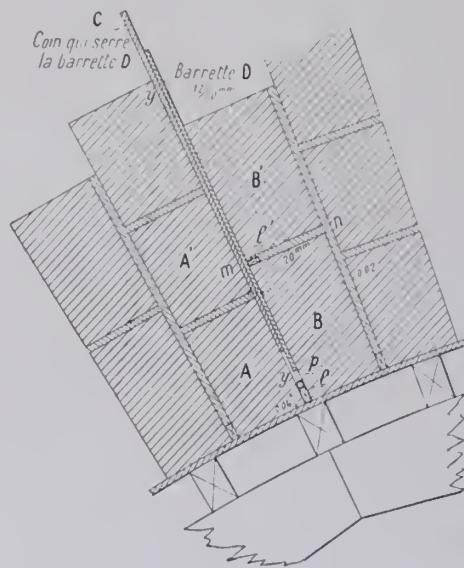
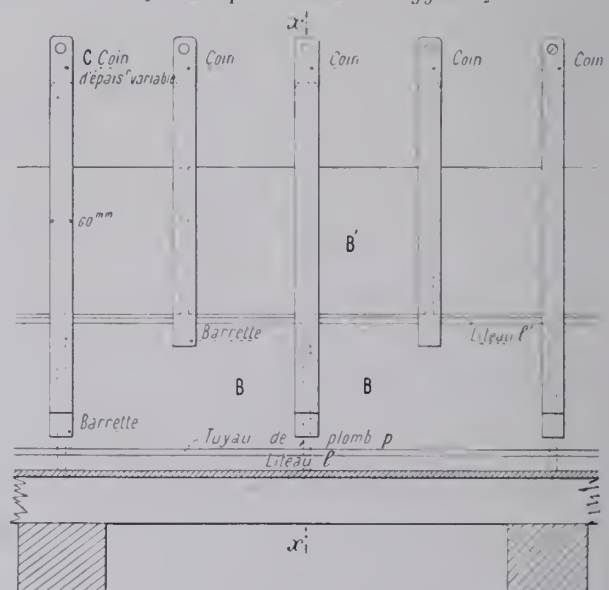


Fig. 3 — Coupe en travers sur *yy* de Fig. 1



l liteau s'appuyant sur les moellons bien équarris A (l'assise AA' est maçonnée);

p tuyau de plomb (tuyau à gaz) appuyé sur le liteau *l*;

D barrette sur laquelle s'appuieront les moellons bien équarris BB' *;

l' liteau sous le moellon B' : il retient le mortier du joint *m n*; il tombe quand on enlève les barrettes. Les barrettes *D* retiennent le mortier des joints verticaux et permettent de les ficher.

* A Ramounails (II, 188), on a soufflé coins et barrettes pour pouvoir les retirer facilement; mais là le mortier adhère mal à la pierre; un matage bien fait décale sûrement les barrettes.

51. — Voir V, p. 22, renvoi 129.

52. — « Les coins en bois dur ont l'inconvénient que, souvent, on ne peut plus les enlever....; aux ponts... des Chemins de fer rhétiques, on a employé, à la place,.... des bandes de mortier.... avec plein succès. » (Schweizer Ingenieur Kalender 1912, p. 268.)

53. — M. Rabut, Ingénieur des Ponts et Chaussées : Viaducs de 18^m et 27^m de la ligne de Vire à Saint-Lô (1884).

54. — M. Sabouret, Ingénieur des Ponts et Chaussées : Passage supérieur, en arc de 28^m34, dans la station de Bussière-Galand (Ligne de Limoges à Périgueux, 1885).

Art. 2. — Coffrages, taquets entre les tronçons. — Au-dessus des assises sèches, aux reins des voûtes, dans les parties très inclinées sur la verticale, on tient les tronçons supérieurs par des coffrages, des taquets : on les a décrits dans la monographie du pont de Lavour⁵⁵.

§ 4. — COMMENT ON REMPLIT LES JOINTS VIDES
ORDRE DES CLAVAGES

Art. 1. — Les mater au mortier de ciment sec. — Au moment où vont commencer les clavages, la voûte est décomposée en tronçons formant un polygone articulé au droit de chaque point fixe du cintre. Il s'agit de raidir ces articulations.

On ne peut se contenter du simple conlis, trop souvent employé pour dissimuler les fissures.

Il faut, dans les joints vides, enfoncer un coin⁵⁶ qui crée entre les voussoirs des réactions normales aux lits.

On y parvient en matant les joints secs *au refus absolu* avec du mortier de ciment à l'état de sable humide.

Ce mortier acquiert de suite une dureté extraordinaire.

Art. 2. — Employer pour les matages le ciment et non la chaux⁵⁷. — Avec de la chaux à 300^k (1 5 en poids), on obtient des pressions contre les joints presque aussi fortes qu'avec du ciment à 550^k (1 3); mais le mortier résiste bien moins à l'écrasement.

Si on augmente, au 1 3 par exemple, la quantité de chaux, on ne peut plus bourrer assez énergiquement.

Comme il s'agit de très petites quantités, la différence de dépense est insignifiante.

On meta donc toujours au ciment.

Art. 3. — Ordre des clavages. — On clave d'abord la clef, puis successivement tous les vides en descendant de chaque côté⁵⁸.

En général, on peut, au cerveau, enlever les taquets.

Aux coffrages inférieurs, on enlève les bois par chambres successives.

Le plus souvent, on ne commence le deuxième rouleau qu'après avoir clavé le premier⁵⁹.

55. — II, p. 139.

56. — On a clavé avec des coins en bois les petites voûtes de Luxembourg jusqu'au décintrement des grandes (II, p. 80).

57. — Annales des Ponts et Chaussées, 1904, 1^{er} trimestre, p. 75 à 100 : « Note sur le matage des joints de clavage dans les voûtes en maçonnerie », M. Tourtay.

58. — Au pont d'Ouroux, sur la Saône (1903-10), on a fini par le 1 3 supérieur du joint de clef que l'on a maté modérément, et le 1 3 supérieur des joints de naissance, que l'on a maté énergiquement. (Note de M. Bouteloup, Ingénieur des Ponts et Chaussées, janvier 1909.)

59. — Aux ponts des Chemins de fer rhétiques, pour que le 1^{er} rouleau ne se fendit pas sous le poids du 2^e, on n'a fermé des joints secs du 1^{er} rouleau qu'au moment de claver le 2^e.

Schweizer Ingenieur-Kalender, 1912, p. 268.

Si les cintres ont été calculés pour la charge totale, on peut ne claver les joints de rupture qu'après achèvement du deuxième rouleau ⁶⁰.

Art. 4. — Pratique des matages.

A. - Poids de ciment pour 1^{re} le sable. — Avec 750^k, la résistance est moindre qu'avec 500^k ⁶¹ : un mortier trop riche se ramollit par le matage.

On mettra 500^k au moins, 600^k au plus ⁶².

B. - Sable. — Choisir le meilleur : le sable de calcaire broyé est parfois trop peu régulier.

C. - Quantité d'eau. — Le mortier doit être tel qu'on puisse le mater.

Il ne sera donc pas plastique comme le mortier ordinaire, mais sec, pulvérulent, à l'état de sable humide : comprimé à la main, il ne tient pas en boule.

Il y faut assez d'eau pour que le ciment prenne. Voici comment on l'évalue : le sable, même s'il paraît sec, retient toujours un peu d'eau, généralement plus de 4 % ; on la mesure en le faisant sécher au feu.

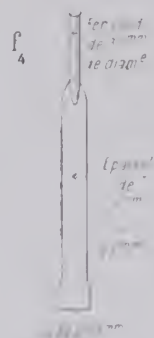
Dans les expériences faites, les quantités d'eau ont été les suivantes pour du mortier pulvérulent très sec ⁶³ :

Dosage en poids		Poids approximatif de ciment pour 1 ^{re} de sable (1500 ^k)	Quantités d'eau	
Ciment	Sable		pour % du poids du mélange sec	approximatives en litres pour 1 ^{re} de sable (1500 ^k)
1	3	500 ^k	6.5 % ⁶⁴	130 ^l
1	2	750 ^k	7.5 %	169 ^l
Pour le dosage de 600 ^k , on aurait :				
1	2.5	600 ^k	7.0 % ⁶⁵	147 ^l

Il y a assez d'eau quand, sous l'action d'un matage énergique, le mortier « sue ».

D. - Instruments pour le matage. — Au pont des Amidonniers ⁶⁶ (voûtes en moellons réguliers, à lits minces, bien équarris, pleins en queue), on a employé cinq types de matoirs en fer (f₁) :

largeur : 80^{mm}, 90^{mm}, 100^{mm}, 110^{mm}, 120^{mm}
épaisseur : 5^{mm}, 10^{mm}, 15^{mm}, 20^{mm}, 25^{mm}



60. — On a fait ainsi au pont de Marmande : ellipses de 36^m à 1, 3, 6.

61. — *Loc. cit. renvoi 57*, p. 79.

62. — Le dosage des joints secs était, comme pour tout le mortier de la voûte : 650^k aux ponts de Lavour (II, p. 135), Antoinette (II, p. 145), du Gour-Noir (III, p. 103); 600^k aux ponts de Luxembourg (II, p. 67), des Amidonniers (I, p. 193), d'Avignon (III, p. 270), d'Ouroux sur la Saône (voir renvoi 75); 500^k au pont de Digoin sur la Loire (renvoi 75); 450^k au pont d'Arcial sur la Saône (renvoi 75).

63. — *Loc. cit. renvoi 57*, p. 78.

64. — Pour le même mortier, plastique, il fallait 11.2 % d'eau au lieu de 6.5 à 7.5 %.

65.

	Poids de ciment	Quantité d'eau	
		pour 1 ^{re} de sable	en poids du mélange
Ponts de Lavour et Antoinette (II, p. 135 et 145)	650 ^k	130 à 150 ^l	6.04 à 6.65 *
Pont du Gour-Noir (III, p. 103)	650	117 à 156	5.44 à 7.77 **
Viaduc d'Arquejols (Langogne au Puy)	600	130 à 135	6.20 à 6.40 ***
Viaduc de Morez (Morez à Saint-Claude)	600	110 à 120	5.23 à 5.71 ****
Viaduc du Saillard		108 à 120	5.14 à 5.71 ****

* Sable jugé sec sans expérience précise.

** Suivant l'état du sable.

*** Sable séché.

**** Sable séché au feu.

66. — I, p. 193.

Dans les voûtes en moellons ordinaires lités⁶⁷, il y a de grands joints : on emploie alors des matoirs épais, jusqu'à 50^{mm}⁶⁸.

Pour pouvoir mater, il faut des joints assez larges, 20^{mm} au moins si le rouleau est épais.

E. - Opération du matage. — Avant de mettre du mortier dans les joints secs, on les nettoie avec soin, on les arrose copieusement. Entre les parois très propres et encore humides, on introduit le mortier par petites hauteurs (2 à 3^m) : on le régularise avec des fiches de fer ou des liteaux de bois.

D'abord, un homme pilonne vigoureusement au matoir chaque couche de mortier à coups répétés ; puis, quand le mortier commence à résister, un homme tient le matoir, un autre tape à grands coups de masse sur la tête du matoir⁶⁹. A chaque coup de masse, le matoir doit être déplacé de la moitié de sa largeur. Il y a deux équipes pour chaque joint à mater, chacune commençant le matage du côté de la tête et se rejoignant vers le milieu.

On arrête le matage, pour chaque couche, au moment où le mortier sue un peu d'eau.

Puis on recouvre les joints matés avec du sable, des nattes, des paillassons, des chiffons, que l'on entretient mouillés, afin que le ciment prenne sous l'eau.

Une voûte bien matée sonne comme un arc en métal.

F. - Présence de l'Ingénieur. — L'Ingénieur a le devoir d'assister à tous les matages et de s'assurer *par lui-même* qu'ils ont été bien faits.

Art. 5. — Coût du m. q. de joint maté⁷⁰. — Il a coûté :

10^h 70 au Viaduc du Saillard⁷¹ (1908-09) (une arche en plein cintre de 25^m et 4 de 12) } *Morez-*
12^h 40 au Viaduc de Morez⁷¹ (1910-11) (9 arches en plein cintre de 20^m) } *St-Claude*
11^h 10 au Pont de Saint-Loup⁷¹ (1912-13) (7 arcs de 33^m à 1 7,5), *La Ferté-Hauterive-Gunnat*.

67. — Voir renvoi 76, p. 168.

68. — Viaduc d'Arquejols (Langogne au Puy, 1905-07), pleins cintres de 16^m.

69. — Sur la ligne de Morez à Saint-Claude, les matages ont été plus vite et mieux faits par des mineurs habitués à manier la masse, que par des maçons et leurs aides.

70. — Voir Pont sur le Verdon (I, 135).

71.	Viaduc du Saillard 203 ^m 43				Viaduc de Morez 447 ^m 39				Pont de Saint-Loup 800 ^m 24			
Surface des joints matés	Quan- tités	Prix de l'unité	Dépenses		Quan- tités	Prix de l'unité	Dépenses		Quan- tités	Prix de l'unité	Dépenses	
			par- tielles	totales			par- tielles	totales			par- tielles	totales
<i>Fournitures :</i>												
Ciment Vicat.....	27 ^h 3	0 ^h 07	1 ^h 91		20 ^h 7	0 ^h 07	1 ^h 45		25 ^h	0 ^h 05	1 ^h 25	
Sable.....	0 ^m 055	9 ^h	0.49		0 ^m 039	9 ^h	0.35		0 ^m 041	1.25	0.05	
Plomb (bandes ou tuyaux)....	3 ^h 03	0.90	2.73		1 ^h **	0.90	0.90		0 ^h 89	0.67	0.59	
Acier forgé, réparation des	0 ^h 04	1.20	0.05		0 ^h 11	1.20	0.13		»	»	»	
Fer forgé, matoirs, barrettes.	»	»	»		0 ^h 04	0.80	0.03		»	»	»	
Huile.....	»	»	»	5 ^h 97	»	»	»	3 ^h 15	0 ^h 01	0.60	0.01	2 ^h 97
Charbon.....	»	»	»		»	»	»		0 ^h 75	0.04	0.03	
Chiffons, étoupes.....	0 ^h 47	0.50	0.23		0 ^h 18	0.50	0.09		0 ^h 75	0.08	0.05	
Liteaux.....	2 ^m 59	0.20	0.52		0 ^m 99	0.20	0.20		»	»	»	
Coins en bois.....	0.37	0.10	0.04		»	»	»		»	»	0.98	
Coins en fer, barrettes, matoirs***	»	»	»		»	»	»		»	»	»	
<i>Main-d'œuvre :</i>												
Chef de chantier.....	»	»	»		»	»	»		0 ^h 2 ^m	0.90	0.03	
Maçons.....	»	»	»		3 ^h 8 ^m	0.80	2.51		2 ^h 17 ^m	0.74	1.69	
Manœuvres.....	7 ^h 5 ^m	0.58	4.11	4 ^h 17	10 ^h 19 ^m	0.58	5.98	8 ^h 66	8 ^h 14 ^m	0.46	3.79	6 ^h 06
Forgerons.....	0 ^h 5 ^m	0.80	0.07		0 ^h 13 ^m	0.80	0.17		»	»	»	
Assurance 10.....	»	»	»		»	»	»		»	»	0.55	
<i>Outils et faux-frais</i>												
(1, 20 environ).....	»	»	»	0 ^h 55	»	»	»	0 ^h 59	<i>Frais génér. 13</i>			2 ^h 07
Totaux.....				10 ^h 70				12 ^h 40	<i>et bénéfice 10</i>			11 ^h 10

* Bandes de 25^{mm} × 20^{mm}.

** Tuyaux à gaz, meilleurs et moins chers que les bandes.

*** Au Saillard, puis à Morez, on a fait les matages en régie. — Les barrettes, coins, matoirs ont coûté 3709^h 76 (4637^h 20 à 6^h 80).

§ 5. — ON PEUT CONSTRUIRE PAR TRANCHES SANS CONSTRUIRE PAR ROULEAUX

Le sectionnement en tranches n'implique pas la construction par rouleaux : on peut fort bien établir des coffrages sur toute l'épaisseur de la voûte et la construire d'un seul coup^{72, 73}.

Mais ce joint est plus profond, donc plus difficile à bourrer; comme les reprises sont moins faciles, on en fera moins; on perd le bénéfice des rouleaux : légèreté des cintres, prompte fermeture de la voûte.

§ 6. — ON PEUT CONSTRUIRE PAR TRANCHES QUELS QUE SOIENT LES MATÉRIAUX DE LA VOÛTE

J'écrivais en 1886⁷⁴ : « Le sectionnement des voûtes en tronçons.... s'applique » facilement aux voûtes en moellons ordinaires » et « restreint pour le corps de » la voûte l'emploi des moellons d'appareil aux seuls clavages ».

Depuis, on a construit par tranches quantité de voûtes en moellons ordinaires⁷⁵; on en a même clavé en moellons ordinaires^{76, 77}.

Je préfère, pour un bourrage exact, claver en moellons équarris.

Dans les voûtes en briques, on ménage et on remplit facilement les joints vides^{78, 79}.

72. — Voûtes > 40^m construites par tranches, à pleine épaisseur :

Intrados	Ponts	Dates	Voir			Portée	Epais- seur à la clef	Nombre de	
			Tome	pages Tableau synopt.	Mono- graphie			tronçons	clavages
Arcs	peu surbaissé	Walditobel	1883-84	11	121	157	41 ^m	1 ^m 70	4
	assez surbaissé	Plauen	1903-05		15	56	90	1.50	6
		Teinach	1882		193	204	46	1.00	2
	très surbaissés	Boucicaut	1888-90	III	231	248	40	1.05	6
		Orléans	1904-05		233	260	43.85	1.25	10
		Avignon	1905-09		235	272	40	1.05	8

73. — Au pont d'Ouroux (voir renvoi 58), les trois premières voûtes ont été construites à pleine épaisseur, joints vides à la clef et à l'about de chaque vau.

74. — Annales des Ponts et Chaussées, octobre 1886, p. 472, p. 501 : « Construction des ponts du Castelet, de Laraur et Antoinette », M. Séjourné.

75. — Claix, arc de 52^m à 1 6,46 (III, 36); Marmande, ellipses de 36^m à 1 3, 6....

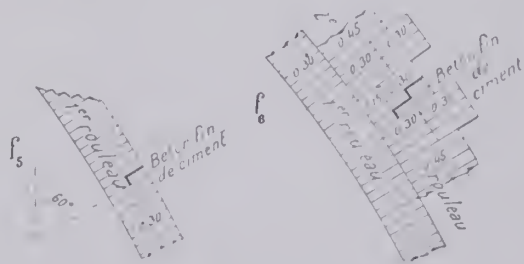
76. — Voûtes clavées en moellons ordinaires (M. l'Ingénieur en chef Tourtay) :

Intrados	Ponts :	Dates	Nombre d'arches	Portée	Surbaissement
Arcs très surbaissés	Iguerande, sur la Loire	1897-99	7	28 ^m 60	1 7,95
	Arciat, sur la Saône	1900-04	7	31	1 7,42
	Digoin, sur la Loire	1904-08	9	26	1 7,4
	Ouroux, sur la Saône	1906-10	5	33, 35, 38	1 4,53, 1 4,36, 1 4,3

77. — Nous avons ainsi clavé la voûte de 25^m de l'Arconce, 1898 (Ligne de Paray-le-Monial à La Clayette); celle de 35^m du Sornin, 1897 (Ligne de La Clayette à Lamure).

78. — Diveria (III, 85).

79. — A Saint-Waast (Ligne de Montauban à Castres), pleins cintres de 20^m, construits en trois rouleaux de briques, sur des cintres très légers, on a simplement posé, au droit des points fixes, une demi-brique, et bourré ensuite le complément de l'épaisseur avec du béton fin de ciment (f₅, f₆).



§ 7. — RÉACTIONS NORMALES AUX LITS

CRÉÉES PAR LE MATAGE DES JOINTS VIDES AU MORTIER PULVÉRULENT

M. Tourtay et moi, avons demandé à M. Mesnager de faire, au Laboratoire de l'École des Ponts et Chaussées, des expériences pour les évaluer⁸⁰. En voici le résultat :

En bourrant fortement un joint de 15^{mm} environ d'épaisseur avec du mortier de ciment sec⁸¹, à 1/3 en poids (soit environ 550^k pour 1^{m^e} de sable), on peut déterminer dans la maçonnerie une pression de 15 à 16^k par 0^{m01}².

Si, au lieu de bourrer un joint régulier de 15^{mm} environ d'épaisseur, on bourre un joint très irrégulier de 12^{mm} à 55^{mm}, on peut obtenir encore, avec du ciment de mortier au 1/3, sec, une pression de 8 à 10^k par 0^{m01}².

Ainsi, avec des matages bien faits, en nombre suffisant et aux points convenables, l'Ingénieur peut, à son gré, modifier la courbe de pression⁸².

Les joints vides sont aux points les plus fixes du cintre. Ce sont ces points-là qu'on abaisse au décintrement.

C'est là que s'exercent les plus grands efforts, que doivent se produire, par conséquent, les plus grands tassements. Si donc les joints ont été fortement bourrés, on a créé des réactions normales au lit, soulagé le cintre et amorcé le décintrement, qui s'achèvera sans tassement appréciable⁸³.

§ 8. — CONCLUSION :

ADOPTION SYSTÉMATIQUE DES CLAVAGES MULTIPLES

En résumé, le système des clavages multiples :

localise les fissures pendant la construction et en assure à temps le parfait remplissage ;

80. — M. Tourtay en a rendu compte dans les Annales des Ponts et Chaussées, 1904, 1^{er} trimestre, p. 75 à 100 : « Note sur le matage des joints de clavage dans les routes en maçonnerie ».

81. — Par rapport au mortier plastique à environ 11 % d'eau, la résistance du mortier sec (6,5 % d'eau), pilonné, est augmentée : à l'arrachement, de 30 à 40 % ; à l'écrasement, de 170 à 220 %.

82. — On a pu ainsi fermer au mortier sec une fissure ouverte à l'intrados d'un passage supérieur de 12^m (Ligne d'Etampes à Beaune-la-Rolande).

Annales des Ponts et Chaussées, 1905 (II, p. 232, 234, 240, 241).

83. — Voici pour 24 ponts, les tassements au décintrement t_v de voûtes $\geq 40^m$ construites par tronçons :

Intrados	Ponts :	Tome, page	Portée	t_v	Intrados	Ponts :	Tome, page	Portée	t_v
Plein cintre	Solis	55	42 ^m	0 ^{mm}		Gour-Noir	103	62 ^m	1 ^{mm} 3
Ellipses } surbaissées	Amidonnières	193	42-46	0 à 2.3	Arcs	Pouch	110	47.85	2.2
	Verdon	133	40	0.6		Krenngraben	134	40	2
	Wiesen	235	55	0		Salcano	141	85	6
	Lavaur	135	61.50	0.6		Langenbrand	152	59	1 à 2
Arcs } peu surbaissés	Antoinette	145	50	0.6	assez surbaissés	Lusserat	111	155	45.70
	Céret	160	45	0		Lichtensteig	161	42.82	0
	Luxembourg	67	81.65	6 et 5		Krummenau	164	63.26	3.2
	Rothweinbach	171	41	0		Guggersbach	59	50.20	0
Arcs } peu surbaissés	Escot	174	56	0		Montanges	62	80.29	0.2 à 0.4
	Ramounails	186	40.30	1.6		Seythenex	177	41.19	0
	Ginuskel	189	46.98	0					
	Tuoi	194	47.71	0					

crée, entre les voussoirs des clavages, des réactions qui soulagent le cintre et préparent le décintrement, en réduisent le tassement et préviennent les fissures ;

hâte l'exécution de la voûte, puisqu'on y peut faire autant d'attaques que de vaux⁸⁴ ;

ne laisse guère subsister, au décintrement, que les déformations élastiques.

Il s'applique, convenablement modifié, aux voûtes de toute ouverture, construites par rouleaux ou à pleine épaisseur, en moellons ordinaires ou d'appareil, à mortier de chaux ou de ciment, sur cintres fixes ou retroussés.

Enfin la maçonnerie des clavages est la meilleure de la voûte.

Nous l'appliquons systématiquement à *toutes* nos voûtes⁸⁵.

CHAPITRE III

QUELQUES PRÉCAUTIONS

Nos ciments sont durs : on ne peut dégrader les joints sans faire éclater la pierre. On disposera dans tous les joints vus des liteaux en sapin ayant une épaisseur un peu inférieure à celle du joint.

A l'extrados, les joints seront tenus creux et bien lissés pour découvrir de suite les fissures qui pourraient se produire et qu'on explique trop facilement par le retrait du mortier.

Dans les reprises des tronçons, tous les vieux mortiers sont repiqués et les joints secs lavés à grande eau.

Tous les voussoirs doivent être vigoureusement assujettis par de forts maillets en bois qui répartissent bien le choc sans écraser la pierre ; on l'impose dans le Cahier des Charges : on ne l'obtient guère.

84. — A Luxembourg, il y avait 10 attaques simultanées, 20 tronçons : on a fait chaque rouleau en 8 à 10 jours et la voûte entière en un mois et demi (II, p. 78).

85. — Dans les souterrains, nous matons de même le joint de reprise des pieds-droits sous la calotte de la voûte.

TITRE IV

DÉCINTREMENT

171

CHAPITRE I

MEILLEURE ÉPOQUE A CHOISIR, QUAND ON EST LIBRE, POUR CLAVER ET DÉCINTRER

Le froid contracte les matériaux, abaisse la clef des voûtes, fend les tympans, les corniches ; la chaleur dilate les matériaux, élève la clef des voûtes, resserre les tympans, les corniches.

C'est le froid qui est dangereux.

C'est donc en hiver, quand la clef est basse, les matériaux contractés, qu'il conviendrait de claver la voûte et de construire les tympans : mais il est assez rare qu'on le puisse.

An décintrement, la voûte se contracte par sa mise en pression et s'abaisse : s'il fait plus froid qu'au clavage, elle s'est encore contractée par le froid : les deux abaisséments s'ajoutent¹ ; s'il fait plus chaud, elle s'est dilatée : les deux effets se contrarient².

Si on décintre en été, le soleil a pu contracter le cintre en desséchant ses bois : c'est ainsi que se sont décintrées, toutes seules, la voûte de la Gravona³, toutes les voûtes de Constantine⁴.

CHAPITRE II

ÉTAT D'AVANCEMENT DES TYMPANS AU MOMENT DE DÉCINTRER



On a souvent décintré les pleins cintres et les arcs peu surbaissés, les tympans montés jusqu'à 60° de la clef ; les ellipses, les tympans faits jusqu'au milieu de la montée ; nus, les arcs pour lesquels θ est $< 60^\circ$ (f_1).

Quelquefois, avant de décintrer, on a chargé le cerveau⁵ ; on a élevé, sur le dos de la grande voûte, des piles de voûtes d'élégisement⁶.

Si on a cambré la voûte pour une certaine disposition des charges, il faut, avant de décintrer, mettre dessus ces charges-là⁷.

C'est ainsi qu'on a décintré : le pont Boucicaut⁸, les tympans montés jusqu'au niveau de l'extrados ; le pont de Luxembourg⁹, quand les petites voûtes étaient fermées sur cintre, clavées seulement avec des coins ; l'ogive du pont de Fontpédrouse¹⁰, la clef chargée d'une pile de 15^m de hauteur.

1. — On a dû, à Luxembourg, claver par la chaleur et décintrer par le froid.

2. — Au Castelet (41^m), décintré en hiver, tassement de 2^{mm} (II, 117). Au pont de Lavour (61^m 50), clavé par 12° de froid, décintré en été, tassement de 0^{mm} 6 (II, 119).

3. — II, 185.

4. — II, 113.

5. — Crespano (II, 11) ; Gour-Noir (III, 81).

6. — Sidi-Rached (II, 65) ; Schalchgraben (II, 121) ; Rothweinbach (II, 123) ; Escot (II, 123) ; Ramounails (II, 179) ; Steyrling (III, 87) ; Salcano (III, 87) ; Lichtensteig (III, 89) ; Krummenau (III, 91).

7. — Voir Tome III, p. 367 : Relation entre quelques formes de funiculaires et quelques dispositions des charges.

8. — III, 249.

9. — II, 80.

10. — V, 90.

Quelquefois, on a décintré, les tympans faits¹¹ et même l'ouvrage achevé¹².

Si on ne ménage pas de joints de dilatation, il convient que la voûte ait été maçonnée au ciment, qu'elle ait été clavée et les tympans faits par le froid ; sinon, l'hiver suivant, les tympans se fendront.

S'ils sont coupés par un joint de dilatation, on peut les achever avant de décintrer¹³.

CHAPITRE III

TEMPS PENDANT LEQUEL ON LAISSE LA VOÛTE SUR CINTRE

Les anciennes voûtes étaient en chaux grasse, qui ne faisait prise que très lentement. On décintrait, les mortiers encore plastiques, et on ne s'effrayait pas si une voûte tassait de 1 pouce par toise, soit de 1/144^e de sa portée¹⁴.

Avec nos chaux, qui prennent en moins de deux jours, surtout avec nos ciments, qui prennent en moins de douze heures, on décintré toujours le mortier pris : il faut qu'il le soit assez pour résister ; on attend le plus qu'on peut.

La règle attribuée à Morandière, — un jour sur cintre par mètre de portée, — est tout juste suffisante, même pour une voûte à ciment.

Il faut plus attendre en hiver qu'en été.

Il faut plus attendre pour une voûte en béton que pour une voûte appareillée : il y a plus de mortier ; il y durcit moins vite.

Toutes les fois qu'on décintré trop tôt, des joints s'ouvrent¹⁵.

Il faut décintrer très doucement, sans choc. Quand une crue décintré brusquement, il y a danger de fissures¹⁶.

Les voûtes construites par rouleaux doivent rester longtemps sur cintre. Il faut, en effet, qu'au moment du décintrément, les mortiers des maçonneries, suivant une même normale à l'intrados, aient fait une prise à peu près égale, c'est-à-dire que l'intervalle entre leur exécution soit négligeable devant le temps laissé sur cintre.

11. — Alma (I, 139) ; Mantes (I, 141) ; Jaremeze (III, 83) ; Jamna (III, 83) ; Svenkerud (III, 87).

12. — Annibal (I, 89) ; Diable (I, 89) ; Verdon (I, 129).

13. — Voûtes inarticulées : Connecticut (I, 61) ; Guggersbach (III, 15) ; Gutach (III, 85) ; Elsen (III, 287) Cassel (III, 287).

Voûtes articulées : Garching (IV, 93) ; Grasdorf (IV, 125) ; Wallstrasse (IV, 125) ; Hochberg (IV, 167) ; Cornélius (IV, 167) ; Elise (IV, 127) ; Illerbeuren (IV, 157) ; Reichenbach (IV, 169) ; Maximilien (IV, 169) ; Wiltelsbach (IV, 171) ; Moulins-lez-Metz (IV, 171) ; Gräveneck (IV, 211) ; Inzigkofen (IV, 221) ; Neckarhausen (IV, 221) ; Prince-Régent (IV, 223) ; Max-Joseph (IV, 223).

14. — A Neuilly, — 5 voûtes de 120 pieds (39^m) en anse de panier au 1/4, — on clava le 26 juillet 1772 : on commença le décintrément le 14 août, 18 jours après ; on l'acheva le 3 septembre. Le tassement a été :

immédiatement après la pose de la clef.....	10	pouces 5 lignes	(0 ^m 282)
au commencement du décintrément.....	12	— 6 —	(0 ^m 338)
après décintrément.....	18	— 6 —	(0 ^m 500)
après la pose du pavé et des parapets.....	22	— » —	(0 ^m 595)
5 ans après achèvement du pont.....	23	— 6 —	(0 ^m 636)

Perronet : *Description des Projets et de la Construction des ponts de Neuilly, de Mantes, d'Orléans et autres....* Tome I. — Imprimerie Royale, MDCCXXXII, p. 49 et 107.

Voici les tassements de l'arche centrale du pont de Mantes (120 pieds), 1764 :

avant le décintrément.....	13	pouces 6 lignes	(0 ^m 365)
après le décintrément.....	18	— 6 —	(0 ^m 500)
15 mois après.....	20	— 7 —	(0 ^m 557)

Perronet, *loc. cit.* p. 73.

15. — Plein cintre de 25^m de l'Evalude (Ligne de Morbier à Morez), clavé le 26 septembre 1898, décintré le 30 : fissures de 1^{mm} à l'extrados, à 44° et 35° de la clef. (Tassement de la clef : 8^{mm}.)

16. — Pont de Verdun-sur-le-Doubs (I, 167).

TASSEMENT DE LA CLEF AU DÉCINTREMENT

Nota. — Dans les Tableaux, § 1, § 2, on a écrit en caractères gras ce qui concerne les voûtes que l'on sait avoir été clavées en plusieurs points au mortier de ciment sec maté. Pour la nature des matériaux et la composition du mortier des voûtes de 40^m et plus, voir Tableaux, p. 8, 9, 10.

Matériaux du quaiage	Ponts : <i>Les chiffres après les noms des ponts indiquent, pour les voûtes de 40^m et plus, le Tome et la page du Tableau synoptique.</i>	Dates	Intrados	Portée	Surbaisse- ment	Temps sur cintre après clavage, en jours	Date du décintrement	Tassement en mm au décintre- ment	Provenance et marque de la chaux
-------------------------	---	-------	----------	--------	--------------------	--	----------------------------	---	--

§ 1. — VOUTES INARTICULÉES

Art. 1. — Voûtes à mortier de chaux.

A. — Chaux grasse.

PT	Lavaur (V ^x Pont), 1, 86	1773-91	Anse de panier	48-73	1 2.5	1145 j.	juin	65 ^{mm}	
	Mosca, III, 192	1834	Arc de cercle	45	1 8.18	20		153	
MAV	Chester, III, 10	1833-34		60.96	1 4.76	»		63 à 67	pays
Br	Annibal, I, 88	1868-70	Anse de panier	55	1 3.92	217	6 avril	69	16
	Diable, I, 88	1871-72		55	1 4.06	88	20 octobre	115	17

B. — Chaux maigre.

Br	Bains-de-Lucques, III, 10	1874-77	Arc de cercle	47.84	1 6.71	12	10 août	183	
----	---------------------------	---------	---------------	-------	--------	----	---------	-----	--

C. — Chaux hydraulique.

MAV	(V ^e de) la Gascarie ¹⁸	1894-97	Plein cintre	20	»	10		< 18	Teil
	Lanne ¹⁹	1871	Anse de panier	24	1 3.2	»		19 à 79	Echoisy
	Saulnier, III, 12	1882		43	1 5	39	octobre-nov.	52	
MEV	Losde ²⁰	1882-83	Arc de cercle	30.60	1 5	60	10 août	95	
	Pouch, III, 82	1890		47.85	1 3.68	55	4 août	2.2	
	Amélie-les-Bains ²¹	1890-92	Plein cintre	26	»	30		1	Teil
	(V ^e de) Saint-Georges ²²	1898	Plein cintre	16	»	8 à 14	février-mars	0.3 à 2	
	(V ^e de) Mouillero ²²							1 à 1.6	
	Chalonnès ²³	1863-65	Ellipse	30	1 4	17	21 novembre 28 juin	98 8 36	Doué
MOV	Port-Sainte-Marie ²⁴	1876-77		32	1 3.2	Sur x	max. 20 min. 44 moy. 28	15 janvier 28 décembre	28 0 11
	Saubusse ²⁵	1880-82		24	1 3.3	15	max. 35 min. 35 moy. 33	13 mai 2 juin	80 20 36
	Bléré ²⁶	1897-1900	Anse de panier	24	1 3.65	< 32		16	
	V ^e du Saillard ²⁷	1909	Plein cintre	25	»	50	10 décembre	0	Teil
	Calcio, III, 80	1877-78	Arc de cercle	42	1 3.53	32		48	Pallazzolo
Br	Belleperche ²⁸	1898	Ellipse	33	1 4	tassement	max. 11 min. 62	20 octobre 3 février	119 48
	(V ^e des) Calvets ²⁸	1898		27	1 4		max. 17 min. 30	21 janvier 1 mai	53 8
	(V ^e de la) Samponne ²⁸	1898		27	1 4		max. 47 min. 35	8 mars 12 juillet	112 44
	Diveria, III, 84	1901-02	Arc de cercle	40	1 4	15		60	Palazzolo

Art. 2. — Voûtes à mortier bâtard.

MOV	Oloron, I, 38	1881-82	Plein cintre	40	»	59		3	
-----	---------------	---------	--------------	----	---	----	--	---	--

18. — On a ajouté à la chaux grasse du ciment de Vassy : 1 8 en volume pour le 1^{er} rouleau, 1 4 pour le 2^e, 1 2 pour le 3^e (I, 88). C'est pour cela que le pont Annibal a été indiqué, au tableau de la p. 9, dans les voûtes à mortier bâtard.

19. — On a ajouté à la chaux grasse un peu de chaux du Teil : 1 8 en volume pour le 1^{er} rouleau, 1 4 pour le 2^e, 1 3 pour le 3^e (I, 88).

20. — Ligne de Carmaux à Rodez (Exposition 1900 : Notice, Travaux publics, p. 555).

21. — Route nationale n° 117 de Bayonne à Perpignan (id. 1878, p. 20).

22. — Ligne de Tarascon à Ax.

23. — Ligne d'Elne à Arles-sur-Tech (id. 1900, p. 112).

24. — Ligne de Quillan à Rivesaltes (id. p. 512, p. 599).

25. — Ligne d'Angers à Niort (Morandière, Construction des Ponts, Tome I, p. 374).

26. — Ligne de Condom à Port-Sainte-Marie (Exposition 1878 : Notice, Travaux publics, p. 306).

27. — Annales des Ponts et Chaussées, octobre 1885, p. 645 : Note sur la Construction du Pont Saint Jean sur l'Adour, à Saubusse (Landes). M. Trépied, Ingénieur des Ponts et Chaussées.

28. — Route nationale n° 76 de Nevers à Tours (Exposition 1900 : Notice, Travaux publics, p. 10).

29. — Ligne de Murex à Saint-Claude.

30. — Ligne de Castelsarrazin à Beaumont.

Matériaux du quentage	Ponts : <i>Les chiffres après les noms des ponts indiquent, pour les voûtes de 40^m et plus, le Tome et la page du Tableau synoptique.</i>	Dates	Intrados	Portée	Surbais- sement	Temps sur cintre après clavage, en jours	Date du décintrement	Tassement en mm au décintrement	Provenance et marque du ciment
--------------------------	---	-------	----------	--------	--------------------	--	----------------------------	--	--------------------------------------

§ 1. — VOUTES INARTICULÉES (Suite)

Art. 3. — Voûtes à mortier de ciment.

PT	Signac, I, 128	1871-72	Anse de panier	40 ^m	1 3.25	68 j.	3 avril	0 ^m	Boulogne
	Teinach, III, 192	1882	Arc de cercle	33 apparente	1 10	42		43	
	Empereur-François, I, 140	1898-1901	Anse de panier	42.34	1 4.95	8	9 décembre	21	
	Gutach, III, 84	1899-1900	Arc de cercle	64	1 3.97	27	9 juin	21	Schiffer- decker
	Schwändelholzobel, III, 84			57	1 4	42	13 juillet	21	
	Strandeelven, III, 84	1902-04	Arc d'anse de p.	41	1 3.64	357	14 septembre	1.5	
	Steyrling	1904-05	Arc de cercle	70	1 4.45	"	été	9	
	Salcano III, 86	1904-06		85	1 3.90	38	8 août	6	Spalato
	Svenkerud	1905-07	Arc d'anse de p.	44	1 6.66	108	2 mai	5.5 à 7	
	Seythenex, III, 170	1908-11	Arc de cercle	41.19	1 4.10	15	30 novembre	0	Vicat
L	Céret, II, 120	1883-85		45	1 2.31	79	30 janvier	0	
	Bellows-Falls, III, 222	1899	Arc de cercle	42.67	1 7	arche est : 21 arche ouest : 39		0	
	Montanges, III, 16	1908-09		80.29	1 3.92	68	7 novembre	0.2 à 0.4	Vicat
	Krummenau, III, 90	1910-11	Arc d'anse de p.	63.26	1 4.57	29	8 septembre	3.2	
	Boucicaut, III, 230	1888-90	Arc de projection de chaînette	40	1 8	229-207 185-67	5 juin	8, 13 6, 11	Vicat
	Saint-Martin-Lys ²⁹	1896		34	1 3.84	26	3 février	0.8 à 2.4	
	Luxembourg, II, 60	1899-1903	Arc cambré	84.65	1 2.73	voûte aval : 93 voûte am ¹ : 10	octobre septembre	6 5	Vicat
	Orléans, III, 232	1904-06	Arc de projection de chaînette	43.85	1 7.56	73-63-54 68-62	29-31 mai 24-25 juillet	8-6.6-8.3 5-7.4	Candlot
	Avignon, III, 234	1905-09		40	1 8	sur 10 (voûtes) tasse-ment : max. 76 min. 86 moy. 89	18 novembre 23 juillet	17.6 6 10.7	Parin de Lafarge maritime
	Cinuskel, II, 178	1910-12	Arc d'anse de panier	46.98	1 2.32	10	6 juillet	0	
MAV	Troi, II, 180	1911-12		47.71	1 2.23	11	5 août	0	
	Eaux-Salées ³⁰	1911-13	Plein cintre	50	"	38	12 août	0.1 à 0.3	
	Castelet, II, 116	1882-83		41.20	1 2.94	60	26 janvier	2	
	Lavaur, II, 118	1882-84	Arc	61.50	1 2.24	135	7 mai	0.6	Vicat
	Antoinette, II, 118	1883-84	de	50	1/3.14	99	10 septembre	0.6	
	Gour-Noir, III, 80	1888-89	cercle	62	1 3.73	52	28 septembre	1.3	
	Villefranche-de-Couffent ³¹	1889-91		39.35	1 2.31	53	22 juillet	1.9	
	Verdun-s ^r -le-Doubs, I, 140	1895-97	Ellipse	41	1 4.47	48	7 octobre	amont : 19 aval : 24	Vicat
	Axat ³⁰	1898-99	Plein cintre	30	"	29	22 juin	0.7 à 1	
	Aliès ³⁰					33	1 ^{er} septembre	0.6 à 0.7	
MEV	Rébuzo, I, 38	1898-1900		40	"	30	17 mai	1.2	Teil (grappier)
	Valence (voûtes de rive I, 142 / voûtes interm.)	1901-05	Arc d'anse de panier, puis de parabole	49.20	1 4.65 1 4	292 (RD) 29 (RG) 505 (RD) 39 (RG)	8 août 14 mars 26 février 26 mars	20 33 33 3	Vicat
				46	1 4.17	299 236	11 mars 22 décembre	0 0	
	Amidonnières, I, 188	1904-07	Ellipse aplatie aux reins	42 38.50	1 4.10 1 4.08	159-160 125-131 223-232 100-107	23 août 8 mai 23 août 19 juin	0 0 0 0	0.9 à 1.8, 1.6 à 2.3 0.4 à 0.8, 0.7 à 1.5
	Verdon, I, 128	1905-06	Ellipse	40	1 4	35	19 septembre	0.6	
	Ramounails, II, 178	1906-08	Arc d'anse de p.	40.30	1 3.12	23	18 juillet	1.6	
	Escot, II, 122	1907-09		56	1 2.99	89	10 octobre	0	(laitier)
	Lichtensteig, III, 88.	1907-09	Arc de cercle	42.82	1 3.71	"	juin	0	

29. — Ligne de Quillan à Rivesaltes (Exposition 1900, Notice Travaux publics, p. 582).

31. — Ligne de Prades à Olette (id., p. 617).

30. — id. (id., p. 585, 590).

32. — Ligne de Miramas à L'Estaque. — Voir APPENDICE.

Matériaux du quettage	Ponts : <i>Les chiffres après les noms des ponts indiquent, pour les voûtes de 40^m et plus, le Tome et la page du Tableau synoptique.</i>	Dates	Intrados	Portée	Surbaisse- ment	Temps sur cintre après clavage, en jours	Date du décintrement	Tassement en mm au décintre- ment	Provenance et marque du ciment
--------------------------	---	-------	----------	--------	--------------------	--	----------------------------	---	--------------------------------------

§ 1. — VOUTES INARTICULÉES (Suite)

Art. 3. — Voûtes à mortier de ciment (Suite).

MOV	Berdoulet, II, 116	1860-61	Arc d'anse de p.	40 ^m	1 3.44	20 j.		10 ^{mm}	
	Clair, III, 12	1873-74	Arc de cercle	52	1 6.46	42	10 avril	1 à 2	Vicat
	Ile-Verte, à Grenoble	1896-99	Arc	39.20 et 37	1 7.84, 1 7.54		3 février	0 à 5	
	Solss. I, 52	1901-02	Plein cintre	42	»	21	21 juin	0	
	Palmgraben, II, 120	1904-05	Arc de cercle	49	1 3.39		20 août	3	
	Krenngraben, III, 86	1904-05		40	1 4		8 mai	2	
	Lusserat, III, 88	1908-10		45.70	1 4.63	18	26 octobre	3.6	Boulogne
Petits MOV	Plauen, III, 14 45 % de mortier	1903-05	Arc d'anse de p.	90	1 5	8 mois	juillet	82	cerveau : Stern reins, Vorwöhler
Br	Gimone	1874-75	Ellipse	33	1 3.14	58 j.	9 mars	3 à 4	
	Weisenbach, III, 216	1885	Arc	40	1 8	1		0	Dyckerhoff et fils
B	Bellefield, III, 14	1896-97	Arc de cercle	45.72	1 4.10		sept.-octobre	47.2	
	Ave du Connecticut, I, 60	1899-1901 1904-1908	Plein cintre	45.72	»		commencement de l'été	< 2	
	Big Muddy River, I, 222	1901-03	Ellipse	42.67	1 4.67	voûtes { nord 178 centr. 41 sud 102	19 15 } janvier	67 à 70 21.3 à 24.1 51.5	
	Mehring, III, 230	1903-04	Arc d'anse	46	1 7.45		49-46-57-63	8-30-10-15	
	Schweich, III, 234	1905-06	de panier			»	20		
	Guggersbach III, 14	1906	Arc de cercle	50.20	1 6.19	92	15 décembre	0	
	Walnut Lane, II, 62	1906-08	Arc d'anse	70.71	1 3.32	1 ^{re} v ^{te} : 1 mois 2 ^{de} v ^{te} : 6 sem ^{mes}	juillet novembre	3.2 3.2	
	Trittenheim, III, 234	1907-08	de panier	46	1 7.45			20	
	Wiesen, I, 232	1907-09	Ellipse surhaussée	55	1/1.65	4	14 octobre	0	
	Avenue Edmondson, I, 90	1908-09	Arc d'anse	42.37	1 3.17	½ v ^{te} nord 83	3 mars	61	Alpha
B peu armé	Rocky River, II, 62	1908-10	de panier	85.34	1 3.46	v ^{te} sud 19	28 septembre	11.6	
	Longnich, III, 236	1909-11	Arc de cercle	46	1 7.45		15 septembre	20	
	Boberullersdorf, III, 286	1908-09		58.10	1 6.31		août	100	
	Elsen, III, 286	1909-10	Arc d'anse	46	1 9.02	1 mois 1, 2	octobre	110	
	Cassel, III, 286	1909-10	de panier	57.50	1 10.99		août	40	Vorwöhler
	Spokane, III, 284	1909-11	Arc de cercle	85.65	1 2.47		8 juin 10 août	0	

Art. 4. — Que conclure des tassements observés ? — On constate ce qu'il était facile de prévoir.

Le tassement est plus grand avec mortier de chaux qu'avec mortier de ciment; plus grand pour les voûtes en briques, parce qu'elles ont beaucoup de joints; plus grand en hiver qu'en été.

On le réduit à très peu de chose par les clavages multiples au mortier de ciment sec.

A le calculer d'avance d'après l'intrados, les matériaux, l'époque du clavage et du décintrement, on perdrait son temps.

§ 2. — VOUTES ARTICULÉES (mortier de ciment)

Matériaux du queutage	Ponts :	Tome IV, page	Dates	Intrados	Portée		Entre rotules	Temps sur cintre après clavage, en jours	Date du décintre- ment	Tassement	Provenance et marque du ciment
					entre appuis	Portée	surbaiss- ement			en mm au décintre- ment	
PT	Höfen	38	1885	Arc très surbaissés	41 ^m	28 ^m	1 10	35 j.		amont 42 ^m 5 aval 38 ^m	Blaubeuren
	Baiersbrunn	38	1889		40	33	1 10	28		92 ^m	
	Prince-Régent	222	1900-01		62.40	63	1 9.69	55	29 mai	34	Karlstadt <i>Dyckerhoff et fils</i>
	Max-Joseph	222	1901-02		64	60	1 10	42	25 juin	35 37	<i>Dyckerhoff et fils</i>
	Morbegno	62	1902-03		70	66	1 7	28	4 mai	126	
	Cornelius	166	1902-03		44	41	1 12	28	8 mai	22	
	Maximilien	168	1903-05		45.87	44	1 8.98	50	13 juin	20	
MEV	Marbach	38	1886-87		43.50	32	1 10.32	42		39	
MOV	Göhren	124	1903-04		60	60.56	1 8.89	42	1-2 décemb.	31.3	
B	Munderkingen	52	1893		59	50	1 10	28	4 septembre	30 38	Ehingen, Blaubeuren
	Inzigkofen	220	1895		47.90	43	1 9.81	35	12 octobre	7.5 7.7	Blaubeuren
	Conlouyreniere	78	1895-96		40	40	1 7.41	voûte RD : 79 — RG : 71	9 décembre 28 janvier	21.5 31.2	Reuchenette Le Pasquier
	Neckarhausen	220	1899-1900		59.40	50	1 11	56	28 août	12.1 12.5	Blaubeuren
	Grasdorf	124	1899-1900	40	40.39	1 8.93	49	12 septemb.	24		
	Malling	166	1899-1901	40	40.50	1 8.56	»	»	»		
	Hochberg	166	1901-03	39.40	40	1 7.41	1 mois 1/2	mi-novemb.	»		
	Reichenbach	168	1902-03	44	41	1 10	45 j.	12 mai	21 18		
	Illerbeuren	156	1903-04	59	57.16	1 5.82	30	2-3 novemb.	9	<i>Dyckerhoff et fils</i>	
	Neckargartach	168	1903-05	40	40	1 8 à 1 10	28	10 novemb.	13(moyenne)	Lauffen	
	Wallstrasse	124	1904-05	65.45	57	1 9.83	63		7.4	Blaubeuren	
	Wittelsbach	170	1904-05	44	41	1 10	49	30 mai	31		
	Moulins-lez-Metz	170	1904-05	44	44.70	1 8	50	29 juillet	7		
	Mannheim	172	1905-08	59.50	58.50	1 10.6	»	25 octobre	voûte RG : 150 RD : 224		
	Kempton (pont à 4 v ^{oûtes}) (2 ponts jumeaux P ₁ , P ₂)	112	1906	Arc peu surb.	63.80	50.60	1 5.52	42		Pont P ₁ : 29 P ₂ : 31	<i>Dyckerhoff et fils</i>
	Elise	126	1906-07	Arc très surb.	47.50	43.50	1 9.89	»		24	
	Garching	92	1907-08	Anse de pan.	44.35	38.55	1 5.33	51	27 juin	15	Blaubeuren
	Gräveneck	210	1911-12	A. assez surb.	48	48.42	1 6.25	46	4 janvier	14	

Les mouvements des voûtes articulées devraient être plus grands que ceux des inarticulées. On ne le constate pas : l'effet des articulations est masqué par d'autres causes³³.

§ 3. — CONTINUATION DU TASSEMENT APRÈS DÉCINTREMENT

Le tassement continue pendant quelque temps après le décintrement, sans qu'on charge la voûte^{34, 35}, surtout celui des voûtes en briques qui ont beaucoup de joints³⁶.

33. — IV, p. 27.

34. — A l'arche rive droite du pont de Navilly, sur le Doubs, l'abaissement au décintrement (16 novembre 1785) fut de 103^{mm}; dix heures plus tard, il était de 118^{mm} et atteignit finalement 176^{mm}.

De Dartin : « *Etude sur les ponts en pierre remarquables par leur décoration, antérieurs au XIX^e siècle* », Volume IV, p. 186.

35. — Voir page 171, renvoi 14.

36. — Ouvrages en briques de la ligne de Castelsarrasin à Beaumont, — intrados en ellipse, — mortier de chaux :

	Portée	Montée	Tassement au décintrement	Augmentation au bout de :		
				1 jour	5 jours	12 jours
Viaduc de décharge des Calvets....	27 ^m	6 ^m 75	53 ^{mm}	17 ^{mm}	27 ^{mm}	"
Pont de Belleperche	33 ^m	8 ^m 25	90 ^{mm}	29 ^{mm}	"	30 ^{mm}

Art. 1. — Voûte construite à pleine épaisseur. — Au décintrement, si la voûte est construite à pleine épaisseur sur cintre fixe, ses appuis (piles, culées,) recevront brusquement tout ce que portait le cintre ; leur compression et celle du sol s'ajouteront au tassement de la voûte : si le sol est compressible, les piles s'enfonceront, les culées s'enfonceront et reculeront ³⁷.

Si elle est construite sur cintre retroussé, ses appuis auront tassé au fur et à mesure de la construction.

Art. 2. — Voûte construite par rouleaux. — Jusqu'à sa fermeture, le premier rouleau pèse, sur le sol si le cintre est fixe, sur les piles ou les culées, s'il est retroussé.

Le premier rouleau clavé reporte sur les appuis de la voûte une partie du poids du second.

Art. 3. — Dans le tassement total, faire la part des appuis. — On mesurera le tassement des appuis. Pour les voûtes sur cintres fixes des ouvrages fondés sur pilotis ³⁸, il n'est pas du tout négligeable.

CHAPITRE V

ACCIDENTS AU DÉCINTREMENT : FISSURES, ÉCRASEMENTS

Il y a fissure aux reins, si on décintre trop tôt ^{39, 40}.

Si les joints du bandeau sont trop minces, — surtout si le queutage est en moellons bruts, — les voussoirs des reins se touchent par leur arête et éclatent ⁴¹.

C'est au décintrement que l'on constate la nécessité des voûtes homogènes ⁴².

37. — Au pont de la Coulouvrenière, les culées ont reculé au décintrement de 2^{mm} et 5^{mm}; après, de 4^{mm} et 1^{mm}5 (IV, p. 84).

38. — Alma (I, p. 156, 157). — Boucicaut (III, p. 249) :

Pont de Saubusse. — Tassement, en mm, des piles fondées sur pilotis à têtes noyées dans du béton :

	1 ^{re} pile (RD)	2 ^e	3 ^e	4 ^e	5 ^e	6 ^e
amont.....	1 ^{mm}	10 ^{mm}	19 ^{mm}	2 ^{mm}	7 ^{mm}	5 ^{mm}
aval.....	2	8	8	7	5	8

Loc. cit., p. 173, renvoi 25, p. 654.

39. — Voir plus haut, p. 172, renvoi 15.

40. — Pont de Port-Sainte-Marie sur la Garonne (Ligne de Port-Sainte-Marie à Condom); 8 arches en ellipse : portée, 32^m; montée, 10^m; épaisseur à la clef : bandeau, 1^m20; corps, 1^m35.

A toutes les arches, et de chaque côté, fissure imperceptible à un joint voisin du milieu de la montée.

41. — On sait cela depuis longtemps. Au pont de Navilly, sur le Doubs, on observa des épaufrures aux reins de la voûte. Gauthey, dans une lettre du 22 octobre 1785, se plaint « qu'on n'ait pas démaigri les arêtes en douelle des voussoirs inférieurs ».

M. de Dartain. Loc. cit. renvoi 34.

42. — Voir plus haut, p. 16, art. 2.

COMMENT ON MESURE LES TASSEMENTS

On ne peut pas mesurer au niveau à bulle les très petits tassements des voûtes en ciment à clavages matés.

Au pont de Lavaur⁴³, on a opéré ainsi : dix-huit leviers au $1/20^e$ étaient fixés sur chaque tête, aux angles de 0^e , 10^e , 23^e , 43^e , 53^e , et douze autres à l'extrados des joints à 55^e de la clef. (Les

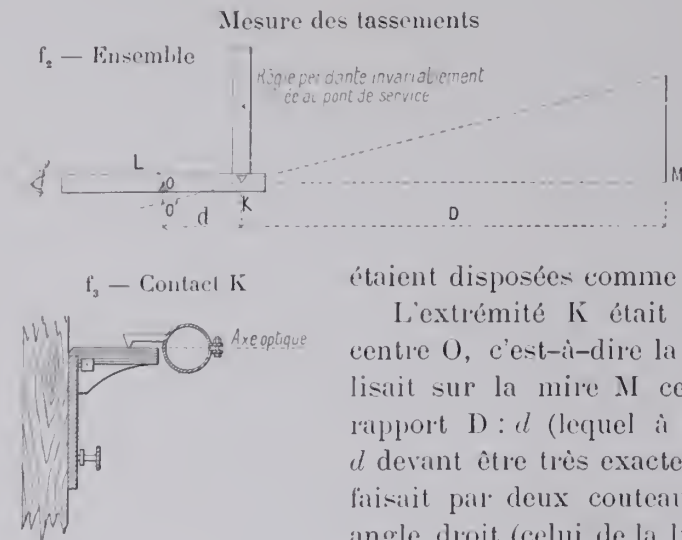
contacts se faisaient par des couteaux et étaient assurés par des poids ou des bandes de caoutchouc.)

En sept points de l'extrados de la voûte, sur l'axe, des lunettes plongeantes⁴⁴

étaient disposées comme l'indiquent f_1 , f_2 .

L'extrémité K était fixée au pont de service. Le centre O, c'est-à-dire la voûte, tassant de $t = OO'$, on lisait sur la mire M ce tassement t multiplié par le rapport $D : d$ (lequel à Lavaur variait de 500 à 700); d devant être très exactement apprécié, le contact K se faisait par deux couteaux reposant l'un sur l'autre à angle droit (celui de la lunette divisé en 0^m0005), et était assuré par une forte bande de caoutchouc.

Ce procédé a été, ensuite, conseillé par M. Rabut. Je renvoie à l'excellent mémoire où il a indiqué les méthodes et décrit les instruments qui ont sauvé tant de ponts métalliques, injustement menacés⁴⁵.



43. — Annales des Ponts et Chaussées, octobre 1886, p. 476 à 478.

44. — Les leviers et lunettes étaient au droit des abouts des contrefiches du cintre, points correspondant aux plus grands tassements.

45. — Annales des Ponts et Chaussées, octobre 1896, p. 374 : *Renseignements pratiques pour l'étude expérimentale des Ponts métalliques*.

ÉPREUVES DES VOÛTES EN MAÇONNERIE

Art. 1. — Voûtes inarticulées. — Les voûtes en maçonnerie travaillent, en général, fort loin de leur rupture : on n'utilise qu'une faible partie de leur résistance ; on ne leur a pas imposé d'épreuves et, en fait, on ne les éprouve pas¹.

C'est fort regrettable.

On devrait toujours observer l'effet des surcharges, non parce qu'il peut y avoir danger, mais pour s'instruire.

Si, cependant, l'effort se rapprochait de la charge d'écrasement, par exemple pour les ponts sous rails sous des machines plus lourdes, surtout pour les larges ponts-route en deux minces anneaux, il deviendrait nécessaire d'éprouver les voûtes, c'est-à-dire de mesurer, comme pour une travée métallique, ou un pont suspendu, leurs déformations, leurs vibrations.

Art. 2. — Voûtes articulées. — Celles-là, on les a quelquefois éprouvées². Il est fort bon de le faire.

1. — On a éprouvé la voûte de Jaremcze (III, p. 117).

2. — Voir, Tome IV :

Voûtes semi-articulées : Höfen, p. 44 ; Morbegno, p. 72 ; Coulouvrenière, p. 85.

Voûtes articulées : Illerbeuren, p. 164 ; Mannheim, p. 208 ; Inzigkofen, p. 230 ; Neckarhausen, p. 237.

MOUVEMENTS ET FISSURES DUS AUX CHANGEMENTS DE TEMPÉRATURE

NÉCESSITÉ DE S'EN PRÉOCCUPER POUR LES GRANDES VOÛTES JOINTS DE DILATATION

§ 1. — VARIATION DE LONGUEUR D'UN PRISME :

1° SOUS UNE COMPRESSION NORMALE β ($\text{kg}/\overline{0^m01^2}$) ; — 2° POUR UNE VARIATION
DE TEMPÉRATURE τ° ; — 3° PAR IMBIBITION

Art. 1. — Formules. — Considérons un prisme droit de longueur L (en mètres), de base Ω en $\overline{0^m01^2}$, pressée à son centre de gravité par une force normale N (en kg.).

Soient :

$$\frac{N \text{ (en kg)}}{\Omega \text{ (en } \overline{0^m01^2})} = \beta_m \text{ (pression moyenne, en } \text{kg}/\overline{0^m01^2})$$

$$E \text{ (coefficient d'élasticité)} = \varepsilon \times 10^9 \text{ (} \text{kg}/\text{cm}^2 \text{)} = \varepsilon \times 10^5 \text{ (} \text{kg}/\overline{0^m01^2} \text{)}$$

$$\alpha \text{ (coefficient de dilatation linéaire)} = \alpha' \times 10^{-6}$$

La variation en microns (μ) de la longueur du prisme est :

sous la pression β_m , si la déformation est proportionnelle à l'effort (hypothèse de Hooke) :

$$\Delta_\varepsilon L \text{ (en } \mu \text{)} = \frac{10 \beta_m}{\varepsilon} L \text{ (en mètres ;}$$

pour une variation de température τ° :

$$\Delta_\tau L \text{ (en } \mu \text{)} = \alpha' \tau^\circ L \text{ (en mètres).}$$

Il y faut ajouter l'allongement dû à l'imbibition ou le raccourcissement dû à la dessiccation.

Art. 2. — Quelques nombres.

Matériaux	Variation de longueur en μ par 1 ^m de longueur					
	pour une compression de 1 ^{re} $\overline{0^m01^2}$		pour une variation de température de 1° $\Delta\tau = \alpha' \cdot 1, 2$	pour une imbibition		
	pour $\varepsilon =$	$\Delta\varepsilon = \frac{10}{\varepsilon}$		à saturation	au 1 10°	au 1 100°
Pierre { de Vienne (Pont des Amidonniers)	0,6 - 1 - 2 5 (en moyenne)	16 μ - 10 μ - 5 μ 2 μ	» 6 μ , 7 μ	» 80 μ à 120 μ (en moyenne 100 μ)	» 10 μ	» 1 μ
Mortier de ciment	»	»	11 μ , 14 μ	»	»	»
Béton de ciment	2	5 μ	14 μ	»	»	»
A titre de comparaison : Acier à ponts	22 - 25	0,1 μ	11 μ	»	»	»
	A égalité de travail, l'acier se déforme de 5 à 40 fois moins que la pierre.					

1. — Pour $L = 100^m$, $\alpha' = 8$, $\tau = 20^\circ$: $\Delta L \text{ (en } \mu \text{)} = 8 \times 20 \times 100 = 16.000 \mu = 16^m$.

Ainsi un mur de 100^m, pour un abaissement de 20°, se contracte de 16^{mm} : la somme de ses fissures sera 16^{mm}.

2. — On a trouvé pour α' :

7, 9 - granit, d'après la largeur des fissures du parapet du viaduc de Lapradelle (Quillan à Rivesaltes),

Annales des Ponts et Chaussées, 1905, 1^{er} trimestre, p. 175 à 195 : « Étude sur les effets de la dilatation dans les ouvrages d'art en maçonnerie, viaducs et barrages réservoirs », M. Bonfret, Inspecteur général honoraire des Ponts et Chaussées ;

11, 8 - mortier de ciment à 1 p. 2 en volume,

4, 6 - maçonnerie de briques à mortier de ciment,

Annales des Ponts et Chaussées, 1864, 1^{er} semestre, p. 178 : « Expériences sur la dilatation des maçonneries », M. Bounicau, Ingénieur en chef des Ponts et Chaussées ;

3 à 4 - maçonnerie de briques à mortier de chaux,

Observations faites, sur ma demande, en 1911, sur le parapet du viaduc de Poix (Amiens Rouen), 12 arches de 16^m50, par les soins de M. Rossignol, Ingénieur en chef de la Compagnie du Nord.

Art. 3. — Les changements de température raccourcissent un prisme plus que les charges usuelles. — Pour le calcaire de Vianne du pont des Amidonniers, la variation est la même :

6 μ — pour une compression de 3^k, une variation de 1°, une imbibition de 6° ;
100 μ — pour une compression de 50^k, une variation de 17°, une imbibition à saturation.

Ainsi, les changements courants de température déforment les maçonneries autant, ou plus, que leurs charges et surcharges usuelles³ : il s'en faut donc préoccuper dans les grandes voûtes.

Art. 4. — Compression, si on contrarie la dilatation. — Si on empêche la dilatation de $\alpha' \tau$ L correspondant à une élévation de température τ° , on produit un effort de compression β_c ⁴, tel que : $\frac{10 \beta_c L}{\varepsilon} = \alpha' \tau$ d'où $\beta_c = \frac{\varepsilon \alpha' \tau}{10}$

Pour $\alpha' = 6$, et $\tau = 25^\circ$: $\beta_c = 15 \varepsilon$ Pour $\varepsilon = 2$, $\beta_c = 30^k / \sqrt{0.01^2}$: $\varepsilon = 5$, $\beta_c = 75^k / \sqrt{0.01^2}$

§ 2. — COMMENT VARIE LA TEMPÉRATURE DES VOUTES

La température moyenne d'une voûte par 24^h est à peu près la même que celle de l'air⁵ ; ses températures extrêmes s'en écartent moins⁶ que celles de l'air.

§ 3. — MOUVEMENTS OBSERVÉS AUX CLEFS DES VOUTES

Sous l'action des variations de température, les voûtes sont toujours en mouvement : « elles ne dorment jamais » ; souvent leurs clefs (pour celles à ciment) s'abaissent autant et plus qu'au décentrement.

Ponts :	Voir Monographie Tome (III ou IV) page :	Matériaux du queutage	Portée $2a$	Montée b	Surbaïssement	Tassement au décentrement	Variation h du niveau de la clef				
							en mm	quand la température varie			
								de	à	soit de τ	
VOUTES INARTICULÉES — Arcs surbaissés — Tome III											
Claix	39	MOV	52 ^m	8 ^m 05	1 6.46	1 à 2 ^{mm}	7 ^{mm}	— 7°	+ 45°	52°	
Teinach	203	PT Grès	33	3.30	1 10	43	1	»	»	2.5	
Gour-Noir	108	PT Granit	60	16.10	1 3.73	1.3	11 à 15	hiver	été	»	
Boucicaut	250	MAV Calc.	40	5	1 8	11 à 18	6 à 8	hiver rigoureux	1890-91	»	
Gutach	125	PT Grès	64	16.10	1 3.97	21	18	— 12	+ 22	34	
Schwändelholzobel	128	PT Grès	57	14.25	1 4	21	17	— 17	+ 25	42	
Plauen	57	MOV Phyllite	90	18	1 5	82	75	été 1908	hiver 1909	»	
Lusserat	158	MOV	45.70	9.87	1 4.63	3.2	6	— 4	+ 13	17	
VOUTE SEMI-ARTICULÉE — Arc très surbaissé — Tome IV											
Morbegno	73	PT Granit	70	10	1 7	»	33	+ 26	— 8	34	
VOUTES ARTICULÉES — Arcs très surbaissés — Tome IV											
		Béton	Portée totale	Entre rotules							
			Portée $2a_r$	Montée b_r	Surbaïssement						
Grasdorf	137		40 ^m	4 ^m 39	4 ^m 52	1 8.9	24	12	— 5	+ 22	27
Wallstrasse	150		65.45	57	5.80	1 9.83	7.4	48.5	— 12	+ 27	39
Elise	153		47.50	43.50	4.40	1 9.9	24	15	— 12	+ 27	39
Neckargartach	186		40	40	5	1 8	13	10	»	»	35
Neckarhausen	237		59.40	50	4.54	1/11	12.4	20 ^{av} 29 ^{av}	3 juin	30 janv.	»

3. — A l'intrados des naissances du pont de Morbegno, la compression est : sous la surcharge, 11^k ; sous le poids mort, 22^k ; pour un refroidissement de 34°, 36° (IV, p. 74).

4. — Dans des murs de revêtement faits en hiver, il y a eu en été des maçonneries écrasées ; les mortiers de chaux sont moins sensibles que ceux de ciment ; ceux de tuileau pilé le sont peu ; les briques le sont moins que le calcaire dur.

Annales des Travaux Publics de Belgique, avril 1912, M. Denil, Ingénieur principal des Ponts et Chaussées.

5. — Graphiques, f₁ à f₄, p. 182.

6. — Viaduc de Poix (Amiens-Rouen), 12 arches de 16^m50. — Températures extrêmes : de l'air, — 4° à + 38° ; du corps du parapet, — 2°5 à + 29° ; du corps de la voûte, 0° à + 19°.

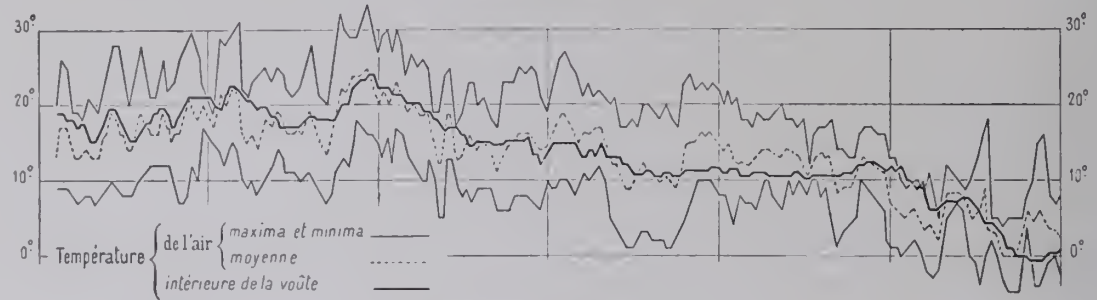
8. — Tome IV, p. 25.

Si on trace deux courbes ayant pour abscisses les jours, pour ordonnées : l'une, le mouvement des clefs, l'autre, la température, elles se suivent assez exactement.

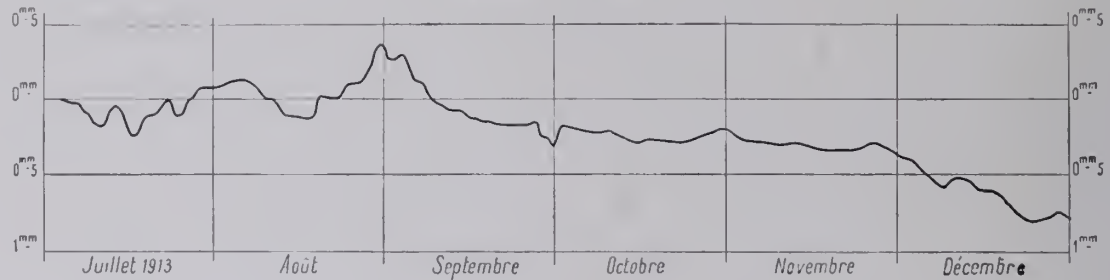
Je les ai données pour les ponts de Walnut Lane⁹. Plauen¹⁰, Morbegno¹¹, Elise¹². Les voici pour deux autres ouvrages :

Pont de Saint-Loup¹³ (voûte n° 1) — Arc de 33^m à 1/7.6

f_1 — Températures

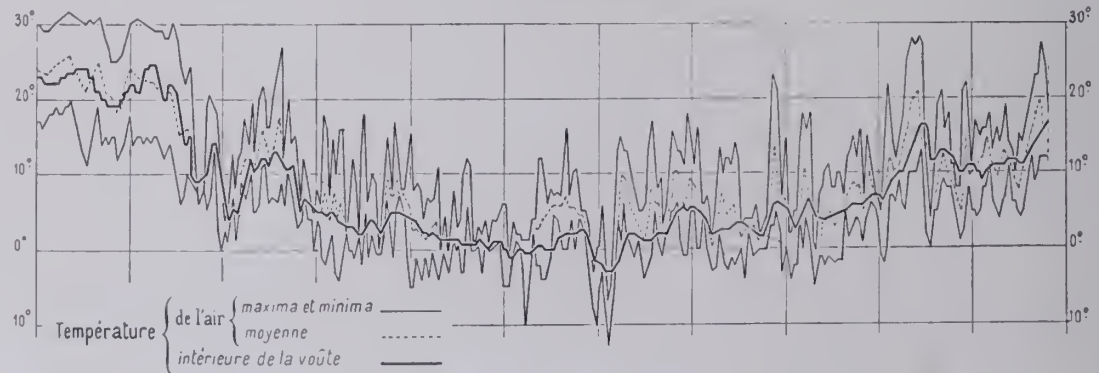


f_2 — Mouvements de la clef

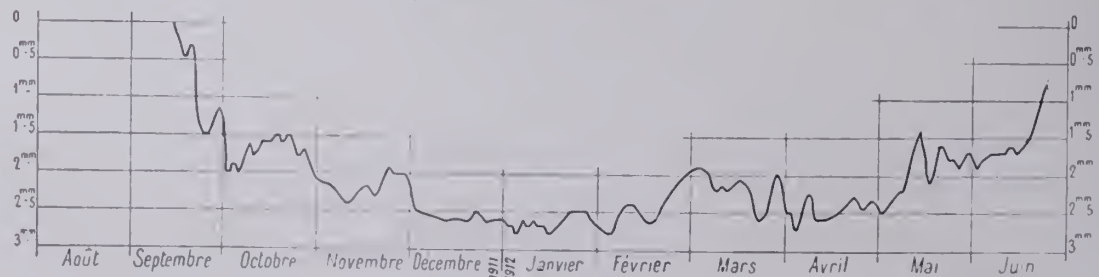


Viaduc de Morez¹⁴ (voûte n° 1, côté Morez) — Plein cintre de 20^m

f_3 — Températures



f_4 — Mouvements de la clef



9. — II, p. 93.

10. — III, p. 57.

11. — IV, p. 73.

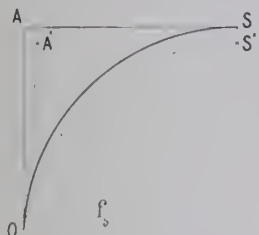
12. — IV, p. 153.

13. — Sur l'Allier (Ligne de la Ferté-Hauterive à Gannat).

14. — Ligne de Morez à Saint-Claude.

§ 4. — FISSURES D'HIVER

Art. 1. — Effet du froid. — Le froid contracte les voûtes, en diminue la longueur, abaisse la clef de S en S' (f_s); AS se contracte, AOS tourne autour d'un point O voisin des retombées. Il y a fissure ou tendance à fissure le long de OA.



En été, la clef de la voûte monte, le tympan est soulevé par la voûte et, de plus, se dilate. Il y a compression le long de OA.

Art. 2. — Ouverture de joints aux reins des voûtes. — Pour les arcs tendus, le centre de rotation O est dans les joints même de retombée : ils s'ouvrent en hiver^{15, 16}.

Art. 3. — Fentes des tympans. — Le tympan se contracte par le froid et, de plus, suit la voûte qui s'abaisse : de là les fissures constatées :

dans les tympans pleins^{17, 18, 19}, spécialement le long de contreforts de piles²⁰, de murs en retour de culées²¹ ;

dans les voûtes longitudinales d'élégissement : elles se coupent en un ou plusieurs points, mais normalement à leur axe^{22, 23} ;

aux clefs des dernières voûtes transversales d'élégissement^{21, 24} (point de moindre résistance), quelquefois le long de leur extrados²¹.

15. — Pont sur l'Yonne, à Montereau (Ligne de Flamboin à Montereau), arcs de 24^m à 1 7,4; pont de Saint-Loup, sur l'Allier (Ligne de la Ferté-Hauterive à Gannat), arcs de 33^m à 1 7,5.

16. — Observations faites, sur ma demande, par M. Rétraint, Conducteur principal des Ponts et Chaussées.

	Pont d'Austerlitz				Pont des Invalides			
	Amont		Aval		Amont		Aval	
	R. D.	R. G.	R. D.	R. G.	R. D.	R. G.	R. D.	R. G.
Hiver, 3 ^e	1 ^{mm} 5	7 ^{mm} 8	2 ^{mm} 3	3 ^{mm} 9	0 ^{mm} 9	1 ^{mm} 2	1 ^{mm} 5	1 ^{mm} 3
Eté { 20 ^e	fissures refermées				fissures refermées			
{ 26 ^e 7.....								

17. — Boucicaut, III, p. 260. — Pont du Brézou; arche de 29^m20 à 1/4, ligne de Limoges à Brive par Uzerche. (Annales des Ponts et Chaussées, 1892, 1^{er} semestre, p. 545 à 596, Pl. 6 : « Notice sur la construction du viaduc du Gour-Noir », M. Draux.)

Pont d'Austerlitz et Petit Pont, à Paris. — Viaducs en plein cintre de : Pierre-Buffière (Limoges à Brive par Uzerche); de Pompadour, de la Sagne, de Vignols (Limoges à Brive par Pompadour); d'Albi (Castelnaudary à Carmaux); d'Auray (Savenay à Landerneau); de Mussy (Paray-le-Monial à Givors); de Saint-Sulpice (Montauban à Castres).

18. — Dans les ponts en arc, elles partent de l'extrados des retombées.

19. — Elles peuvent être dangereuses pour les ponts-canaux ; il n'y faut point de grandes arches plates.

20. — Viaduc de Pierre-Buffière (Limoges à Brive).

21. — Castelet, II, 130.

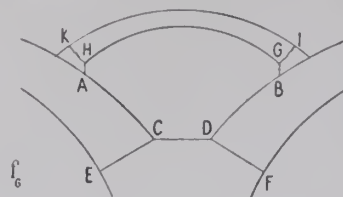
22. — Pont des Invalides (arcs : ouverture, 32^m; montée : 3^m10 pour les arches de rive, 4^m10 pour les arches intermédiaires), « les galeries longitudinales se disloquaient au droit des naissances et menaçaient de s'écrouler; on a dû les renforcer par un arceau inférieur en maçonnerie de briques doublant l'épaisseur de la voûte d'élégissement ».

M. Résal : « Emplacements, Débouchés, Fondations, Ponts en maçonnerie », Paris, Baudry, 1896, p. 266.

23. — On y a vu une supériorité des voûtes longitudinales sur les transversales.

24. — Gour-Noir (III, p. 108). — Constantine (II, p. 107, S₃, p. 509).

Art. 4. — Voûte unique d'élégissement jetée entre deux grandes voûtes²⁵. — En hiver, B et A (f_6) des grandes voûtes tournent autour d'un point de DF et GE; la distance AB augmente. Pendant ce temps, la petite voûte se contracte : GH tend à diminuer. Donc, tendance à fissurer le long de GI, de HK.



Voici ce qu'on a observé aux ellipses d'élégissement du pont des Amidonniers :

Avant la pose, — qui a un peu tardé, — de la dalle en béton armé, on y a vu des fissures de 1^{mm} au plus d'épaisseur²⁶ :

en hiver : à l'intrados, à la clef; à l'extrados, aux reins;

en été, par les fortes chaleurs : à l'extrados, à la clef; à l'intrados, aux reins.

Les arêtes des joints ouverts sont demeurées intactes. Les voûtes se sont articulées.

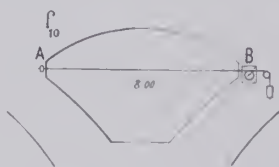
Mais la dalle a chargé lourdement les voûtes; elle les a abritées du soleil : leur température et celle des grandes voûtes ne varient plus guère que de 5 à 6° dans la journée, au lieu de 24. On n'y a plus vu de fissures.

C'est pour l'aspect qu'on a adopté des ellipses plates au lieu de pleins cintres, de courbes surhaussées, qui souffrent moins d'un petit changement de portée.

Au viaduc de Morez (ligne de Morez à Saint-Claude), voûtes d'élégissement de 8^m entre des pleins cintres de 20^m, on a, pour un abaissement de température des grandes voûtes de 18° (22° le 9 septembre 1911, 4° le 7 octobre 1911), mesuré²⁷ un écartement des pieds-droits de 0^{mm}34.

Quand l'aspect ne les impose pas, ces grandes voûtes d'élégissement ne sont pas à conseiller.

Art. 5. — Fentes des plinthes et des parapets. — Il y en a en prolongement des fentes des tympans^{28, 29}, et ailleurs³⁰.



25. — Amidonniers (I, p. 193); Fontpédrouse (V, p. 87).

26. — IV, p. 281, renvoi 34.

27. — On a mesuré la variation de AB (f_{10}), au moyen d'un fil d'invar tendu entre A et B. En B était une crémaillère s'engrenant sur un pignon denté fixé à la maçonnerie. Les mouvements du pignon étaient amplifiés sur un cadran.

28. — Viaduc de La Pradelle, 1898-1900 (Ligne de Quillan à Rivesaltes), 12 arches en plein cintre de 12^m, en courbe de 300^m : fissures dans les tympans et le parapet, au droit des piles :

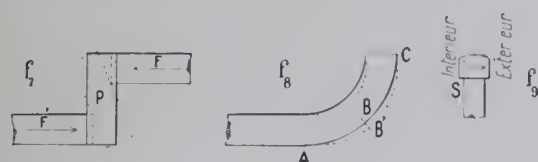
Dates		1902		Janvier		Février		Juillet	Décembre
				28	31	6	17		5
Température				+15°	-2°	+12°	-1°	+25°	-5°
Epaisseur en mm	6	Tympan ...	0 ^{mm} 5	0 ^{mm} 5	0 ^{mm} 7	0 ^{mm} 9	0 ^{mm} 2	1 ^{mm} 5	
			(côté concave) Bahut ...	0, 4	1, 2	0, 7	1, 3	0	1, 8
	7	Tympan ...	0, 2	0, 6	0, 3	0, 8	0, 1	1, 4	
			(côté convexe) Bahut ...	0, 8	2	1, 3	2, 4	0, 08	2, 7
maximum									

29. — Pont sur l'Armançon (3 arches en ellipse de 25^m à 14) : fissures partant de l'extrados et traversant les tympans. Fissures dans les plinthes de 2^{mm}, à 5°.

30. — Viaduc de Bramefond (Ligne de Saint-Denis au Buisson), parapet en pierre tendre de Chanclade, scellé à la plinthe tous les 0^m50 environ, exécuté en juillet et août : fissures à peu près tous les 20^m.

Annales des Ponts et Chaussées, avril 1892 : « Notice sur la construction du viaduc du Gour-Noir », par M. Draux, Ingénieur en chef des Ponts et Chaussées, p. 583.

Ces fissures, on ne peut pas les empêcher. On ne peut que les dissimuler pour un temps (par exemple par un coulis de ciment) : elles reparaisent à chaque hiver.



Aux angles du couronnement (refuges au-dessus des piles, ressaut des murs des culées), la pierre P (f_1) pivote en été sous les poussées FF' des bahuts dilatés ^{31, 32}.

L'hiver suivant, ils se contractent : la fissure restée ouverte se remplit de poussières : l'été d'après, la rotation de P s'accroît ³³.

Dans des parapets en courbe, le bahut ABC (f_8), plus dilaté que le fût S (f_9), a été déplacé en AB'C (f_8) ³⁴.

§. 3 — DISPOSITIFS PERMETTANT LA DILATATION JOINTS DE DILATATION

Art. 1. — Voûtes inarticulées et voûtes articulées. — Dans les voûtes articulées, les mouvements ne sont pas contrariés, et doivent être plus grands : aussi y a-t-on toujours ménagé le jeu de la dilatation.

Dans les voûtes inarticulées, on ne paraît s'en préoccuper que depuis quelque quinze ans ³⁵.

Art. 2. — Les murs des tympans sont pleins. — On les coupe verticalement au-dessus des retombées ^{36, 37} en dissimulant, si possible, la coupure derrière un pilastre sur une pile, derrière le mur en retour d'une culée ³⁸.

31. — Viaduc de Brabant (Ligne de Briey-Villerupt), parapet en briques, niches en pierre de taille sur les culées et les piles-culées, reliées à la plinthe par des goudrons de fer scellés, construit dans l'hiver 1905-06 : aux premières chaleurs du printemps, des pierres des niches se sont séparées et quelquefois rompues ; déplacement maximum 8mm ; le mortier des joints des couronnements des parapets a été remplacé, de distance en distance, par des feuilles de caoutchouc.

32. — Viaduc d'Anderny, parapets et niches établis à température moyenne : en hiver, nombreux joints ouverts.

33. — Pont de Tarbes sur l'Adour (3 arches de 18m30, surbaissées au 1/7), 1877-1880 : mouvements dans les angles des bahuts des parapets ; fissures de 4cm au cours de l'été, très chaud, de 1906.

34. — Pont de Tarbes. La saillie intérieure s (f_9) de 0m02 a disparu : la saillie extérieure s' a atteint 4cm.

Les voûtes inscrites en italiques aux renvois 35 à 47 sont articulées.

35. — 1899-1900 : Gutach (III, 122) ; Schwändelholzobel (III, 126).

36. — Plauen (III, 53), à 32m50 de part et d'autre de la clef, retombée d'un cerceau de 65m sur des culées en surplomb ; Ziegenhals (III, 208) ; Schwusen (III, 213) ; Coulourenière (IV, 81) ; Garching (IV, 95) ; Kempten (IV, 119) ; Elise (IV, 151) ; Hochberg (IV, 177) ; Mannheim (IV, 206).

37. — Au mur de garde du réservoir des Settons, on a, devant les joints de dilatation ménagés, disposé des lames de cuivre de 2mm, ployées en leur milieu, boulonnées par leurs bords sur la maçonnerie. Annales des Ponts et Chaussées, IV, juillet-août 1911, p. 204 : « Note sur les joints de dilatation du mur de garde des Settons », par M. P. Breuillé, Ingénieur en chef des Ponts et Chaussées.

Dans des murs de soutènement en béton, à Chicago, de 1.875m de long, on a ménagé des joints de dilatation fermés par du feutre.

Engineering Record, 27 janvier 1906.

38. — Munderkingen (IV, 57) ; Malling (IV, 175) ; Cornélius (IV, 180) ; Reichenbach (IV, 183) ; Wittelsbach (IV, 199).

Art. 3. — Les murs des tympans sont évidés par des voûtes. — La coupure verticale des tympans est alors :

soit entre la dernière demi-pile du viaduc d'élégissement et la pile ou la culée de la grande voûte³⁹ ;

soit au-dessus de la retombée extrême⁴⁰ ou de la naissance extrême⁴¹ de la dernière voûte d'évidement ;

soit au-dessus de la clef de cette voûte⁴² ;

soit à la fois au-dessus de sa clef et de ses retombées, parce qu'alors on l'a articulée en ces trois points⁴³.

On arme parfois :

soit l'ensemble des voûtes d'élégissement⁴⁴ ;

soit la dernière voûte seulement⁴⁵.

Art. 4. — La chaussée est portée par une plate-forme en béton armé sur murs ou colonnes en béton armé. — On coupe cette plate-forme :

soit seulement au-dessus des retombées⁴⁶ ;

soit, en outre, en d'autres points⁴⁷.

39. — Schalchgraben (II, 168) ; Rothweibach (II, 172) ; Krenngraben (III, 135) ; Michelau (III, 209) ; Mehring (III, 253) ; Orléans (le premier grand ouvrage français où l'on ait assuré le jeu de la dilatation) (III, 258) ; Schweich (III, 268) ; Göhren (IV, 141) ; Illerbeuren (IV, 161) ; Neckargartach (IV, 186) ; Moulins (IV, 202).

40. — Palmgraben (II, 164) ; Gutach (III, 122) ; Steyrling (III, 137) ; Salcano (III, 148) ; Langenbrand (III, 152) ; Maximilien (IV, 192) ; Max-Joseph (IV, 242).

Aux ponts de Walnut Lane (II, 86) et de la Rocky River (II, 98), où les voûtes d'évidement sont en béton armé, il y a, aux retombées des voûtes d'élégissement, un joint de dilatation par voûte au premier pont, par deux voûtes au deuxième.

41. — Big Muddy River (I, 227) ; Grasdorf (IV, 131) ; Inzigkofen (IV, 227) ; Neckarhausen (IV, 235).

Au viaduc de la Sitter (Ligne du lac de Zurich au lac de Constance), le joint des tympans a été rempli de goudron ; à Krenngraben (III, 134), à Steyrling (III, 137), à Salcano (III, 143) de feutre asphalté ; à Rothweibach (II, 171), d'asbeste.

42. — Schwändelholzdobel (III, p. 126).

43. — Morbegno (IV, p. 68).

44. — Connecticut (I, p. 69), il y a des joints de dilatation aux clefs des voûtes d'élégissement, de deux en deux ; Orléans (III, p. 258) ; Illerbeuren (IV, p. 161).

45. — Grasdorf (IV, p. 131) ; Inzigkofen (IV, p. 227) ; Neckarhausen (IV, p. 235).

46. — Guggersbach (III, p. 59) ; Longuich (III, p. 280) ; Wallstrasse (IV, p. 145).

47. — Edmondson (I, p. 124) ; Seythenex (III, p. 178) ; Grüeneck (IV, p. 215).

Au pont des Amidonniers (I, 199), la dalle en béton armé, non coupée, est posée sur des balanciers en béton armé.

LIVRE III

CONCLUSIONS GÉNÉRALES

PONTS MÉTALLIQUES OU PONTS VOÛTÉS ?

GRANDES VOÛTES

CLASSEMENT PAR PAYS

PLUS GRANDE VOÛTE A CHAQUE ÉPOQUE

PROGRÈS

PART DE LA FRANCE

PONTES MÉTALLIQUES OU PONTES VOÛTÉS ?

CHAPITRE I

QUELQUES GÉNÉRALITÉS

§ 1. — PIERRE ET MÉTAL

Le métal de nos ponts est un produit industriel; la nature ne nous le donne pas : on ne l'y rencontre qu'oxydé.

Abandonné à lui-même, il retourne à l'état d'oxyde : il faut, continûment, l'en empêcher.

La pierre, nous l'employons telle que nous la trouvons. On en peut choisir qui ne craint pas les intempéries. Sa résistance aux efforts ne diminue pas avec le temps¹ : la pierre des Pyramides résiste, aujourd'hui, comme il y a 50 siècles.

Le liant des mortiers est, lui, un produit industriel; mais le temps, qui rouille le métal, qui desserre les rivets, durcit le mortier.

Puisque l'acier est un produit fabriqué, il peut être amélioré; la pierre, non.

Le métal travaille à tous les genres d'efforts : on l'emploie depuis peu ; chaque jour on lui prête des formes nouvelles.

Les voûtes ne travaillent qu'à la compression : on en fait depuis plus de 2.000 ans; tout n'est pas trouvé, mais il y a moins à trouver.

§ 2. — CAS OÙ S'IMPOSE LE MÉTAL

Le pont en métal est mince, léger, se plie à toutes formes.

Il s'impose :

quand on n'a pas assez de revanche au-dessus des crues, des hautes eaux navigables, de la voie traversée;

pour les ponts de ville entre quais, quand le débouché superficiel manque, même en exagérant le dos d'âne ou les rampes d'accès; ou qu'il faut diminuer le remous et ne gêner ni la navigation, ni les crues, ni les courants de marée, ni la circulation sur les bas ports;

quand le sol de fondation est mauvais, ou seulement douteux, que les appuis peuvent s'enfoncer ou reculer;

quand il faudrait par trop dépasser ce qui a été fait :

comme portée², ou à la fois comme portée et surbaissement²;

1. — La maçonnerie de briques s'améliore en vieillissant. Vitruve fait remarquer que, pour estimer la valeur d'un mur en moellons, on déduit du prix d'exécution 1,80% par an : « *De latericiis vero, dummodo ad perpendicularum sint stantes, nihil deducitur; sed, quanti fuerint olim facti, tanti esse semper æstimantur* » (Livre II, chapitre VIII).

2. — Voir plus loin, Titres II, III, IV.

comme hauteur, — ou à la fois comme hauteur et portée³ ;
 pour les ouvrages à travées très inégales, à plan compliqué, irrégulier ;
 pour les très biais ;
 quand il faut opérer vite ;
 quand il n'y a pas de bons matériaux ou de bons ouvriers (colonies inhabitées....)

CHAPITRE II

COÛT TRÈS VARIABLE DE PREMIER ÉTABLISSEMENT DES PONTS MÉTALLIQUES COMME DES PONTS VOÛTÉS

Quand les deux solutions sont possibles, laquelle est la moins chère ?

A une question aussi générale, il n'y a pas de réponse.

Le coût dépend d'un grand nombre d'éléments très variables : prix des matériaux qui change avec les lieux, avec le temps⁴, — sol, profondeur, difficulté de fondation, — type d'ouvrage, sa largeur, sa longueur, — portée des arches ou travées, — aspect, — décoration, etc., etc....

3.		Ligne	Date	Hauteur H	Ouverture de la plus grande arche 2a	Somme H+2a	Sources
Aqued ^e de Roquefavour			1841-47	82 ^m 65	16 ^m	98 ^m 65	Morandière, « <i>Construction des Ponts</i> », p. 370.
	Goltzschthal Elsterthal	Leipzig-Hof	1846-51	80.34 69.68	30.875 30.59	111.215 100.27	Annales des Ponts et Chaussées, mai-juin 1853, p. 241. <i>Chemins de fer saxon.</i> M. de Villiers.
Viaducs de	P'Altier	Brioude-Alais	1867-69	73.33	16	89.33	Exposition, Paris, 1878, Notice Travaux publics, p. 352
	la Gruetze	Marvejols-Neussargues	1879-83	63.30	25	88.30	Ecole des Ponts et Chaussées. Dessins distribués aux Elèves, T. III, 4 ^e fascicule, p. 485.
	Mussy	La Clayette-Lamure (Paray le Montal-Givros)	1892-95	60	25	85	Annales des Ponts et Chaussées, 1901, I, p. 235. <i>Viaduc de Mussy.</i> M. Pouthier.
	Weissenbach	Saint-Gall-Wattwil	1907-09	61.40	25	87.70	Denkschrift über die Eisenbahnverbindung Romanshorn-S ^t Gallen-Wattwil-Uznach. Pl. 8.

Dans son *Cours de Chemins de fer*, 1868-69, p. 360, 361, Pl. 19, Bazaine décrit un aqueduc à Spolète, sans doute d'après Gauthey ; l'ouvrage existant a 76^m85 de hauteur au lieu de 131^m, des arches en ogive de 5 à 9^m et non de 21^m, a beaucoup plus de pleins que de vides et présente l'aspect lourd et massif d'un mur à arcades, au lieu de l'effrayante légèreté du dessin de Gauthey. Enfin, il n'a pas été construit en 741 par Théodoric, lequel est mort en 526, mais par la commune de Spolète, entre 1239 et 1278. Lire à ce sujet une très intéressante brochure de M. Clericetti, professeur à l'Ecole des Ingénieurs de Milan (Milan, 1884).

4. — Ponts en acier construits par la C^{ie} P.-L.-M depuis 1886 : 23.599 tonnes ; prix moyen annuel du kilog : 38^{fr} 25 (1896) — 50^{fr} 70 (1900) — 32^{fr} 15 (1904) — 52^{fr} 97 (1908) — 55^{fr} 58 (1913) ; minimum, 31^{fr} 30 (1904) ; maximum, 59^{fr} 50 (1909).

Si, pour un grand nombre de ponts métalliques ou de ponts voûtés, on relève le prix p du m. q. de surface offerte à la circulation, on trouve pour les deux des écarts énormes ^{5, 6}.

Des moyennes ne signifient rien, c'est affaire d'espèce. Il faut, dans chaque cas, comparer le moins cher des ponts en métal au moins cher des ponts voûtés, l'un et l'autre évalués sans parti pris.

5. — **Ponts en maçonnerie.** — A 26 ponts vicinaux de l'Ardèche, construits avec la plus stricte économie, — fondations faciles, matériaux à pied-d'œuvre, — p a varié de 34' à 265', moyenne 105'50.

Pour de grands ponts à fondations faciles, il faut déjà doubler :

Ponts de Bléré, sur le Cher (1898-99), 208'; des Andelys (1872-73), 222'.

Si les fondations sont chères, le prix s'élève : Pont de Mareuil, sur la Dordogne (1891), ligne de Cahors à Brive, 348'; ponts sur la Garonne (chemin de fer à une voie) : Belleperche (1895-1900), 312'; Port-Sainte-Marie (1874-77), 612'; Marmande (1881-85), 695'.

Voici, classés d'après leur prix, 71 ponts à voûtes de 40^m et plus, construits depuis 1875 ;

p	Voûtes inarticulées		Voûtes articulées (Tome IV)	
moins de 200'	Huizenbach, 1889, III, p. 193; Longnich, 1909-10, III, 237; Schweich, 1905-06, III, 235; Michelau, 1905-06, III, 195; Guggersbach, 1906, III, 15; Mehrling, 1903-04, III, 231; Lichtensteig, 1907-08, III, 89; Brent, 1899-1900, I, 13; Solis, 1901-02, I, 53; Teinach, 1882, III, 193.	Nombre de ponts 10	Ponts en 2 anneaux Voir Tome V, p. 71	Nombre de ponts 1
de 200' à 300'	Trittenheim, 1907-08, III, 235; Verdun-s.-Doubs, 1895-97, I, 111; Bellefield, 1896-97, III, 15; Plauen, 1903-05, III, 15; Boucicaut, 1888-90, III, 231; Saulnier, 1882, III, 13; Cinuskel, 1910-12, II, 179; Wälditobel, 1883-81, II, 121; Seythenex, 1908-11, III, 171; Pouch, 1890, III, 83; Krummenau, 1910-11, III, 91.	11	Amidonnières, 1903-11, I, 189.	10
de 300' à 400'	Calcio, 1877-78, III, 81; Bellows-Falls, 1899, III, 223; Escot, 1907-09, II, 123; Freyssinet, 1890-91, III, 83; Grayona, 1881, II, 179; Ramounails, 1906-08, II, 179; Rebuzo, 1898-1900, I, 39; Avignon, 1905-09, III, 235; Gour-Noir, 1888-89, III, 81; Svenkerud, 1905-07, III, 87; Saint-Pierre, 1886, I, 91.	11		2
de 400' à 500'	Big Muddy River, 1901-03, I, 223; Langenbrand, 1907-09, III, 89; Canale, 1901-06, III, 183; Strandeelven, 1902-03, III, 85; Orléans, 1901-06, III, 233; Valence, 1901-05, I, 143.	6	Luxembourg, 1899-1903, II, 61.	4
de 500' à 600'	Wheeling, 1891-92, III, 13; Schwändeholzobel, 1899-1900, III, 85; Wiesen, 1907-09, I, 233; Montanges, 1908-09, III, 17; Schalehgraben, 1901-05, II, 121; Oloron, 1881-82, I, 39; Lusserat, 1908-10, III, 89; Antoinette, 1883-81, II, 117; Castelet, 1882-83, II, 117; Gutach, 1899-1900, III, 85; Palmgraben, 1904-05, II, 121.	11		
de 600' à 700'	Verdon, 1905-06, I, 129; Mantes, 1873-75, I, 141.	2	Walnut-Lane, 1906-08, II, 63; Sidi-Rached, 1908-12, II, 65.	1
de 700' à 800'	Washington, 1899-1900, I, 61; Empereur-François, 1898-1901, I, 111.	2		
de 800' à 900'	Céret, 1883-85, II, 121; Lavaur, 1882-84, II, 119.	2		
1.173'	Steyrling, 1901-05, III, 87.	1		
1.598'	Salcano, 1904-06, III, 87.	1		

6. — **Ponts en métal** (métal, maçonneries, fondations) :

Poutres droites sous chemin de fer (deux voies) : Cosne (Bourges à Cosne, 1892), 315'; Melun, sur la Seine (Corbeil à Montereau, 1895), 466'; Montereau, sur la Seine (Corbeil à Montereau, 1896), 562'; Avignon (raccordement des deux lignes rive droite et rive gauche du Rhône, 1902), 602'; Pesceux, sur le Doubs (Saint-Jean-de-Losne à Lons-le-Saulnier, 1903), 635'; Caronte (Miramas-L'Estaque, 1909), travées de 82^m 50, 1.298'.

Ponts de grande ville (grands arcs d'acier sous chaussée) : Ponts sur le Rhône, à Lyon : Université, 1903, 141'; La Fayette, 1888-90, 623'; Morand, 1888-90, 678'; Pont Mirabeau, à Paris, 1893-95, 591'; Pont de Rouen, 1881-88, 889'; Pont Alexandre III, à Paris, 1897-1900, 1.120'.

SUPÉRIORITÉ DES PONTS EN MAÇONNERIE AU POINT DE VUE DE L'ENTRETIEN PROPREMENT DIT

§ 1. — ENTRETIEN DES PONTS MÉTALLIQUES

Art. 1. — Entretien proprement dit. — On visite chaque année⁷ les ponts métalliques ; on remplace les rivets desserrés, les bois fatigués du platelage. On les repeint pour les préserver de la rouille (une couche de peinture en moyenne tous les 5 ans). On vérifie, tous les 5 ans, leurs flèches permanentes⁷.

Pour les ponts de chemins de fer, cet entretien est fait par les Services de Voie. Mais les Villes, les Départements et les Communes n'ont pas de service organisé et souvent peu de ressources : pour eux, c'est un motif spécial à ne pas faire de ponts métalliques.

Art. 2. — Influence du type de poutre sur le nombre de rivets à remplacer. — Des ponts légers, à petits éléments, à treillis mince, « ferraillent » au passage des trains.

On y a surtout à refaire les rivets qui attachent les longerons aux entretoises⁸.

On n'a guère qu'à repeindre les ponts à poutre pleine⁹, ceux à gros éléments¹⁰, les très grands que le passage des trains impressionne peu¹¹, ceux qui sont très bien rivés¹².

Art. 3. — Causes spéciales de détérioration. — L'air salin au bord de la mer¹³, les fumées des machines attaquent le métal¹⁴.

7. — La circulaire du Ministre des Travaux publics n° 5 du 29 août 1891 impose :

une visite annuelle « portant principalement sur l'état de la rature » ;
une fois tous les 5 ans « une inspection détaillée et une vérification des flèches permanentes ».

La circulaire du Ministre de l'Intérieur du 21 mai 1892 prescrit ces visites et épreuves pour les ponts métalliques dépendant des chemins vicinaux.

8. — Depuis leur mise en service jusqu'en 1901, on a remplacé 263 % de ces rivets au viaduc de la Bouble.

N° Renvoi	Ponts :	Rivières traversées	Période	Soit pendant	Dépenses par an		Observations
					par tonne de métal	par m.q. de plan	
9	de Langon	Garonne	1892 VII-1911 VIII	19 ans	3' 47	1' 71	Garabit a coûté 3.315.000 ⁶ . L'entretien annuel a été de 1.650 ⁶ , soit à 1 % un capital de 116.000 ⁶ ne représentant qu'un accroissement de 3,1 % des dépenses de construction.
9	de Moissac	Tarn	1893 I-1902 XII	10 ans	3.30	1.45	
10	de Bordeaux	Garonne	1893 III-1902 IX	9 1 2	1.80	1.17	
11	de Garabit	Truyère	1888-1902	14 ans	1.10	2.31	
11	du Viaur	Viaur	1903 I-1911 XII	9 ans	1.00	0.63	

12. — Pour les ouvrages bien faits, bien rivés, l'entretien est insignifiant. Ex. : ces 3 ponts à 2 voies, à poutres droites, en acier, à travées solidaires :

Pont de :	Ligne de :	Longueur du tablier	Période		Durée	totale de la période	Dépense moyenne par an		
			de	à			pour l'ouvrage	p ⁶ m.q. en plan	par tonne
Melun, sur la Seine	Corbeil-Montreuil	115 ^m	1897	1910	13 ans 8 mois	521' 72	10' 36	0' 035	0' 045
Avignon, sur le Rhône	Raccordement des lignes de rive droite et de rive gauche du Rhône	553	1905	1910	5 ans	5.910.36	1.188.07	0.26	0.30
Peseux, sur le Doubs	St-Jean de Losne - Lons-le-Saulnier	148.27	1905	1911	6 ans 5 mois	560	87.27	0.0074	0.10

13. — Genio Civile, septembre 1903.

14. — Aux passages supérieurs métalliques de la ligne de Paris à Auteuil, les parties inférieures des poutres rongées par la fumée, n'avaient plus de résistance ; le moment d'inertie des poutres était réduit au 1/4 ou au 1/5 de sa valeur.

Revue Générale des Chemins de fer, 5 novembre 1901, M. Rabut : « Conférence sur l'expérimentation des ponts ».

Art. 4. — Capital à ajouter au coût de l'ouvrage pour tenir compte des frais d'entretien proprement dit. — Il serait fort intéressant, mais il est difficile, de faire la part de la dépense de consolidation due à l'augmentation des surcharges, et celle de l'entretien proprement dit.

J'essaierai seulement d'indiquer « l'ordre » des frais d'entretien :

	Dates des relevés..	Est	Midi		Orléans		P.-L.-M.
		1902	1902	1912	1902	1912	1911
Ouvrages	Longueur.....	767 ^m 344	1.570 ^m 21	3.635 ^m 80	3.784 ^m 40	6.859 ^m 72	2.792 ^m 58
	Poids.....	2.525 ^t	6.875 ^t	12.142 ^t	16.519 ^t	22.301 ^t	12.023 ^t
Dépense	pendant une période de	6 à 46 ans	2 à 35 ans	5 à 10 ans	7 à 23 ans	5 à 10 ans	5 à 51 ans
moyenne	totale.....	8.089 ^f 44	14.700 ^f 54	25.818 ^f 99	33.917 ^f 66	31.759 ^f 00	16.008 ^f 86
d'entretien	par m. q. en plan ¹⁵ ...	1 ^f 46	1 ^f 21	1 ^f 00	1 ^f 56	0 ^f 89	0 ^f 84
	par an par tonne.....	3 ^f 20	2 ^f 13	2 ^f 12	2 ^f 05	1 ^f 42	1 ^f 33
Correspondant	à un capital par m. q., de..	36 ^f 50	30 ^f 25	25 ^f 00	39 ^f 00	22 ^f 25	21 ^f 50
d'entretien (à 4 %)	par tonne, de..	80 ^f 00	53 ^f 25	53 ^f 00	51 ^f 25	35 ^f 50	33 ^f 25
Rapport du capital d'entretien au coût du tablier métallique compté au prix moyen de 500 ^f la tonne..		16/100	10,6/100	10,6/100	10,2/100	7,1/100	6,7/100
En gros, dans les grands ponts à poutres droites, le métal représente souvent les 70 % de la dépense : pour eux, le rapport du capital d'entretien au prix total de construction s'abaisse à.....		11/100	7,4/100	7,4/100	7,1/100	4,9/100	4,7/100

Pour des ouvrages bien conçus, le capital représentant l'entretien proprement dit est probablement inférieur à 10 % des dépenses totales de construction.

§ 2. — ENTRETIEN DES PONTS VOÛTÉS

Art. 4. — Entretien proprement dit. — Aux ponts en maçonnerie, on a eu à refaire des joints (ce qui peut se faire sans gêner la circulation), à remplacer des pierres gelées, pourries ; surtout, — c'est souvent la grosse dépense, — à refaire en asphalté d'anciennes chapes en ciment ou en béton¹⁶.

15. — M. de Boulongne, Ingénieur en chef de la Voie de la C^{te} P.-L.-M., évalue l'entretien normal par m. q. et par an, de 0^f 45 à 0^f 80 pour les ouvrages avec platelage métallique, soit, en capital à 4 %, de 11^f 25 à 20^f. Pour des ouvrages coûtant 500^f le m. q., ce n'est que 2,5 % à 4 % des dépenses de construction.

16. — Dépenses d'entretien d'ouvrages en maçonnerie sous rails :

Relevés faits en	Est	Etat	Midi		Orléans				P.-L.-M.	
	1902	1902	1912		1902		1912		1912	
	2 voies	1 voie	1 voie	2 voies	1 voie	2 voies	1 voie	2 voies	1 voie	2 voies
Nombre d'ouvrages.....	31	13	23	16	47	39	69	77	11	22
Longueur d'arches.....	161	39	57	26	329	426	373	620	139	333
Cube de maçonnerie (m.c.).....	3.615 ^m	785 ^m	1.281 ^m	371 ^m	7.313 ^m	7.231 ^m	3.313 ^m	10.411 ^m	2.623 ^m	3.936 ^m
Dépense moyenne pendant une période de	5 à 18 ans	9 à 21	5 à 17	9 à 17	4 à 13	6 à 13	5 à 10 ans	5 à 10 ans	10 à 10	11 à 62
d'entretien	totale.....	88 ^f 84	863 ^f 65	391 ^f 23	7.026 ^f 29	9.234 ^f 52	5.838 ^f 32	3.930 ^f 65	6.959 ^f 10	6.200 ^f 56
par m. c. de maçonnerie	0 ^f 683	0 ^f 0029	0 ^f 017	0 ^f 027	0 ^f 021	0 ^f 023	0 ^f 015	0 ^f 006	0 ^f 096	0 ^f 037
par an en élévation	0 ^f 32	0 ^f 0069	0 ^f 051	0 ^f 043	0 ^f 049	0 ^f 09	0 ^f 011	0 ^f 02	0 ^f 186	0 ^f 137
par m. q. en plan...	0 ^f 15	0 ^f 017	0 ^f 097	0 ^f 132	0 ^f 18	0 ^f 14	0 ^f 14	0 ^f 04	0 ^f 667	0 ^f 191

A la plupart des ouvrages, qui ont aujourd'hui plus de 40 ans, la chape était mauvaise : l'eau a traversé les maçonneries, dissous et entraîné la chaux du mortier, attaqué les matériaux sensibles à l'humidité (briques mal cuites, grès poreux, certains tufs,...). Après n'avoir rien coûté pendant longtemps, des ponts en maçonnerie ont tout à coup demandé une grosse réparation, qui a été de refaire entièrement¹⁷ la chape, — réfection qui, en cours d'exploitation, a coûté jusqu'à 5 et 6 fois le prix d'une chape neuve.

Sur les ouvrages bien faits, il n'y a à peu près rien à dépenser.

En 10 ans, on a dépensé 707^f pour entretenir 7 grands ouvrages construits par Morandière et son élève M. Dupuy, ouvrages qui ont coûté 6.754.398^f et cubent 105.853^{m³}¹⁸.

Au pont de Montlouis, de 1844, long de 378^m, on a, en 10 ans, dépensé 6^f — un sou par mois.

CHAPITRE IV

SUPÉRIORITÉ DES PONTS VOÛTÉS

POUR RÉSISTER A DES MACHINES PLUS LOURDES

§ 1. — IL FAUT CONSOLIDER

OU REFAIRE LES PONTS MÉTALLIQUES

La grosse dépense des ponts métalliques de chemin de fer, ce n'est pas l'entretien proprement dit des tabliers ne supportant que les surcharges pour lesquelles ils ont été calculés, — c'est que, s'ils doivent laisser passer des machines plus lourdes, il faut les consolider, souvent les remplacer.

17. — On réussit mal à ne refaire qu'une partie de la chape : il n'en coûte guère plus de la refaire toute.

18.

18.

	Dates d'exé- cution	Longueur	Hauteur	Arches		Cube de maçonnerie	Dépenses d'entretien					
				Nombre	Portée		de construc- tion	pendant	totale	par an		
										totale	par m. q. en plan	par m. c. de maçon- nerie
Pont de Montlouis, sur la Loire. (Orléans à Tours)	1843-44	378 ^m 60	11 ^m 30	12	21 ^m 75	19.598 ^{m³}	1.620.398 ^f	10 ans 1892-1902	(en francs) 6 ^f	(en millimes) 0 ^f 60	0 ^m 2	0 ^m 03
Viaduc de Pompadour..... (Nexon à Brive)	1873-75	285	55	8	25	18.120	1.200.000	12 ans 1888-1900	59.30	4.91	1	0.2
Ensemble, les 4 ponts de Mauzac, Trémolat, Alès, Limeuil (Bergerac au Buisson)	1876-78	890.31	12.10 11.40	7 21	30 24	21.461	1.721.000	10 ans 1893-1903	335.37	53.51	7.5	2.2
Viaduc du Blanc, sur la Creuse (Poitiers au Blanc)	1883-86	528	38.11	21	20	13.371	2.213.000	10 ans 1892-1902	106.48	10.65	1	0.2
Totaux et moyennes.....		2.081 ^m 91		60	204.30 ^m	105.853 ^{m³}	6.754.398 ^f		707 ^f 15	69 ^f 73	5.1	0.66

Or, le poids des essieux augmente continûment et très vite¹⁹; il faut donc, continûment, soit consolider les ponts métalliques si on le peut^{20, 21}, soit les refaire²², et souvent après peu d'années.

On fait travailler l'acier, sous les trains actuels, au 1/4 de sa rupture; si on calculait les tabliers pour les plus lourdes machines de l'avenir, il y faudrait beaucoup plus d'acier, et ils seraient tout de suite bien plus chers que les ponts voûtés.

Pour les ponts sous chaussée²³ et sous voie étroite, les surcharges ont peu augmenté.

§ 2. — LES PONTS EN MAÇONNERIE RÉSISTENT

Quelques petits ouvrages, — surtout de petits arcs surbaissés, — ont été disloqués parce que le matelas de remblai et de ballast était trop mince.

On a quelquefois refait des murs de tympans ébranlés par les nouvelles machines plus lourdes.

Mais les grands ouvrages en maçonnerie ont pu porter sans fatigue les lourdes et vites « Pacific »; leur capacité de résistance n'était pas épuisée.

Le pont en maçonnerie travaille surtout au poids mort; il a de la masse: « *mole suâ stat* ». Les surcharges ne l'impressionnent pas; on peut impunément les augmenter: elles demeurent fort au-dessous de celles qu'il peut porter.

19. — Augmentation du poids des machines et de leurs tenders:

	Dates des circulaires, normes, etc.	Essieux des machines				Machines avec leurs tenders							Sources
		Nombre	Pour le plus lourd		Augmentation	Poids total	Longueur	Poids de la machine par m. c.	Augmentation de poids				
			Poids	%					totale	pour un nombre d'années de :	par an		
												totale	
France (C ^o P.-L.-M.)	1891	4	14 ^r	15	32	80 ^r	15 ^m 30	5.229 ^k	1.502 ^k	10 ans	150 ^k	2.9	Circulaire ministérielle du 29 août 1891.
	1911	6	18.5			157.3	23.37	6.731					
Amérique (Missouri-Pacific)	1888	5	12.138	12.81	105.5	81	17.605	4.771	3.907	20 ans	195	4.1	Machine « Pacific ». N° 1. M. Byers, Ingé- nieur en che- f du « Missou- ri Pacific Ry ». N° 15, p. 417 à 450. M. Belébusky.
	1908	5	21.918			180.1	20.753	8.678					
Russie	1896	4 de	15	5	33.3	97.5	16.10	6.056	2.858	11 ans	260	1.3	Bulletin de l'Association du Congrès international des Chemins de fer, Berne 1910.
	1907	5 de	20			156	17.50	8.911					
Italie.....	1897	1	15	2	13.3	90	15.65	5.750	1.466	12 ans	122	2.1	N° 22, p. 198.
	1909	5	17			127	17.60	7.216					

20. — De 1892 à 1909, les Chemins de fer de l'Etat hongrois ont renforcé des ponts métalliques d'une longueur totale de 16.730^m; parmi les plus importants, 26 ouvrages comportant 80 travées de 26^m à 53^m298, d'une longueur totale de 3.797^m05, construits de 1863 à 1898, renforcés de 1897 à 1909. (Bulletin de l'Association du Congrès international des Chemins de fer, Berne 1910, 1^{re} fascicule, volume XXIV, n° 6, p. 2063 à 2136. — M. Maurer, Inspecteur principal des Chemins de fer de l'Etat autrichien.)

21. — Le viaduc du Credo, sur le Rhône (ligne de Bellegarde à Saint-Gingolph), construit en 1878, a été renforcé en 1912-13 (dépense: 152.300^{fr}). Le pont de Saint-Germain-des-Fossés, sur l'Allier (ligne de Saint-Germain-des-Fossés à Clermont), construit en 1858, a été renforcé en 1912 (dépense: 357.100^{fr}).

22. — Viaduc de la Vézéronce (ligne de Lyon à Genève), construit en 1855-58, reconstruit en 1912-13 (dépense: 315.000^{fr}).

23. — Les deux circulaires des 15 juin 1869 et 29 août 1891 prévoient les mêmes surcharges: véhicules de 11^t à 2 roues, de 16^t à 4 roues. — surcharges de 400^k par m. q. sur les trottoirs.

CHAPITRE V

AVANTAGES SPÉCIAUX DES PONTS VOÛTÉS

§ 1. — *ILS SONT PLUS BEAUX*

Les poutres droites, les poutres à semelle supérieure courbe, en poisson, en ventre de poisson, — les croissants de lune de Porto, de Garabit, — les ponts où l'on a réalisé, en métal la courbe des moments de flexion (quelques-uns de ceux-là sont hideux), — tout cela ne sert qu'à passer l'eau : l'aspect n'en importe pas plus que d'un pont de service ou d'un bac.

On a beau décorer un pont métallique, ce n'est qu'un outil, un instrument, un échafaudage : c'est grêle, c'est menu, cela sent le provisoire.

Un grand pont métallique peut être une solution élégante, un beau travail d'Ingénieur, étonner par sa portée, sa hauteur, son surbaissement, par la difficulté vaincue. S'étonner n'est pas admirer.

Ce qu'il y a encore de mieux dans les beaux ponts métalliques, c'est leur maçonnerie, et si l'on accepte les grands arcs de fonte ou d'acier, c'est qu'ils commencent à ressembler à des voûtes²⁴.

Le pont en maçonnerie, lui, peut être plus qu'utile : il peut valoir, non seulement par son objet, mais par lui-même, ses lignes, ses formes ; être beau, bien que petit ; — être grand sans être énorme.

La décoration y peut faire partie de l'ouvrage, n'y pas être rapportée, plaquée.

Il peut s'ajuster aux lieux ; — n'y point sembler étranger, importé. On peut jeter sur une gorge sauvage²⁵ un arc à pierres grossières, qui en fasse comme partie : on peut faire à Toulouse un pont toulousain.

§ 2. — *ILS SONT PLUS SOLIDES*

Jamais un pont voûté n'a été écrasé sous un train²⁶, crevé par un train déraillé²⁷, renversé par le vent²⁸.

Ils résistent aux chocs des bateaux, des arbres emportés par une crue, ils ne sont pas rongés par la fumée des trains ou des bateaux.

§ 3. — *ILS DURENT*

La passerelle en fonte des Arts a 112 ans ; le pont suspendu sur le détroit de Menai, 89 ans.

24. — On les fera pleins. — Ceux du pont de l'Université, à Lyon, sont à jours, il est permis de le regretter.

25. — Il est quelquefois demandé — non sans raison — par les Syndicats de défense des paysages.

26. — 14 juin 1891. Pont de Mönchenstein, près de Bâle. Travée de 42^m.

27. — 4 avril 1907. Pont de Cè. (Génie Civil, 14 septembre 1907, p. 320.)

28. — 27 décembre 1879. Pont de la Tay. (Annales des Ponts et Chaussées, mai et novembre 1880. — Morandière, Tome 2, p. 750 et suivantes.)

Mais les ponts de Trajan ont 18 siècles, ceux d'Auguste 19; mais le Parthénon a 24 siècles, les Temples de Thèbes 34 et 37, les Pyramides 54.

Pour le fer, on compte encore par année; pour la pierre, par siècle.

On peut croire impérissable un pont en maçonnerie bien fondé, en bons matériaux, avec une bonne chape bien protégée.

§ 4. — ILS SONT PLUS SIMPLES DE PROJET ET DE CONSTRUCTION

Pour les ponts métalliques, il s'agit de millimètres et de kilogrammes; les projets sont délicats, quelquefois laborieux; ceux des ponts voûtés, sauf des ouvrages exceptionnels, se dressent sans calculs: ils sont faciles, courants; on s'y contente de formules empiriques.

Ce sont des entrepreneurs spéciaux qui construisent les ponts métalliques: tous les entrepreneurs peuvent faire une voûte.

Souvent, le métal vient de loin: la pierre, le sable, sont sur place ou près.

§ 5. — SOUS CHEMIN DE FER, ON BALLASTE COMME EN PLEINE VOIE

On ballaste les ponts en maçonnerie comme en pleine voie.

Il y a continuité dans le matelas du rail, tandis que, dans les ponts métalliques, le train passe du ballast qui fléchit sous lui à des longrines ou des traverses sur tablier rigide.

En passant sur un pont en maçonnerie, un train n'assourdit ni le voisinage, ni les voyageurs.

§ 6. — QUELQUES CAS OÙ LE PONT VOÛTÉ EST SPÉCIALEMENT INDIQUÉ

Art. 1. — Traversée d'une vallée profonde. — La grande voûte en maçonnerie est spécialement indiquée par dessus une vallée profonde, à flancs raides, (il n'y a pas de culées, pas d'ouvrages d'accès).

Art. 2. — Ouvrages en courbe. — En courbe de rayon R, une travée métallique de portée $2a$ doit être élargie de la flèche $f = \frac{a^2}{2R}$

Il y faut de petites ouvertures ²⁹.

Dans les viaducs en courbe de 100^m des chemins de fer d'intérêt local, la maçonnerie s'impose ³⁰.

29. — Il y a eu économie à faire en maçonnerie avec voûtes de 16^m, le viaduc de l'Altier (Ligne de Brioude à Alais), en courbe de 400^m, hauteur 73^m.

30. — Si R =

300 ^m		100 ^m	
pour 2a =	60 ^m	20 ^m	60 ^m
ou a f =	1 ^m 50	0 ^m 17	4 ^m 50

CHAPITRE VI

PRÉFÉRENCE DONNÉE AUJOURD'HUI AUX PONTS VOÛTÉS

Il y a quelques années, on a été de la maçonnerie au métal.

Partout aujourd'hui, on revient du métal à la maçonnerie.

On vient de faire en maçonnerie les grands ponts de Toulouse³¹, de Valence³², d'Orléans³³, d'Avignon³⁴.

Les Chemins de fer de l'État d'Autriche ont préféré systématiquement aux ponts métalliques les grands ponts voûtés sur la ligne Stanislau-Woronienka 1893-1894 (ils y ont coûté moins cher)³⁵, sur les nouvelles lignes des Alpes³⁶.

En Italie, les Chemins de fer de l'État remplacent sur les lignes existantes les travées métalliques par des ponts voûtés ou en béton armé³⁷, et les évitent sur les nouvelles³⁸.

Sur les 148 kil. du Great Central Railway Extension à Londres, les arches en briques ont été, partout où on l'a pu, préférées aux arcs métalliques, à la fois pour les ponts par-dessus et par-dessous³⁹.

La plus grande Compagnie américaine, la Pennsylvania R.R., remplace, autant qu'elle le peut, les ponts métalliques par des ouvrages voûtés. Depuis 1900, elle a construit :

sur la Susquehanna, à Rockville, près de Harrisburg, pour 4 voies, 48 voûtes en plein cintre de 21^m336 (douelle en pierre de taille, queutage en béton)⁴⁰, à la place de 23 travées d'acier de 48^m77 sous 2 voies ;

à New-Brunswick, sur la Raritan-River, 21 arches en maçonnerie à 4 voies, (20 arches en plein cintre de 15^m54 à 20^m21, 1 biaise en arc au 1/3 de 21^m946)⁴¹.

A Constantine, on a franchi le Rhumel :

en 1864, sur un arc en fonte de 57^m40 ;

en 1912, sur deux voûtes jumelles de 68^m76⁴².

31. — I, 193. 32. — I, 173.

33. — III, p. 255. Le Conseil municipal d'Orléans a mis comme condition de la participation de la Ville que le pont serait en maçonnerie (Délibérations du 2 août 1897 et du 6 avril 1899). (III, p. 264, renv. 20).

34. — III, p. 270.

35. — Geschichte der Eisenbahnen der Oesterreichisch-Ungarischen Monarchie, VI Band, 1898-1908, II Band : « Trassierung, Unterbau und Brückenbau, I, Der Eisenbahnneubau », Josef Ziffer, K.K. Oberbaurat im Eisenbahnministerium, p. 60-61.

36. — id. p. 74.

37. — Pour remplacer 20 ouvrages ayant 48 travées de 5 à 41^m76 par 71 arches en maçonnerie ou travées en béton armé, on a dépensé 4.200.328 fr. : des tabliers neufs auraient coûté 4.339.325 fr.

Le nombre des ponts métalliques sous rails a été réduit :

sur les lignes de	Florence-Pistoie	Venise-Udine	Bologne-Ancône	Ancône-Orte	Modène-Vérone	
de	85	32	41	79	32	269
à	42	15	22	46	10	135

Bulletin de l'Association du Congrès international des Chemins de fer, Berne 1910, Janvier, volume XXIV, n° 1, p. 325 à 410. — M. Randich, Ingénieur du Service de l'Entretien des Chemins de fer de l'Etat italien.

38. — Sur 433 kil. de lignes concédées en 1888, la Compagnie des Chemins de fer méridionaux n'a posé aucun tablier métallique. L'excédent de dépense est insignifiant.

39. — The Engineer, 21 juin 1901.

40. — Engineering News, 10 mai 1900, p. 310, 311 : « The 3820 ft stone arch bridge for the Pennsylvania RR, at Rockville, Pa. ».

Engineering News, 12 décembre 1901, p. 448 : « Methods of construction of the 3820 ft stone arch bridge at Rockville, Pa; Pennsylvania RR. »

41. — Engineering News, 18 juin 1903, p. 538 : « The Raritan River stone Arch bridge of the Pennsylvania RR, at New Brunswick, N.J. ».

42. — II, p. 107.

TITRE II

VOÛTES DE 40^m DE PORTÉE ET PLUS, CLASSÉES PAR PAYS

1° PAR INTRADOS, 2° PAR PORTÉE, 3° PAR DATE

PLUS GRANDE VOÛTE A CHAQUE ÉPOQUE

Pour le sens des symboles C¹, Cⁿ, E¹, ... \hat{A} ¹, ... r^{te}, F^r, f^r, aq, voir Préliminaires, p. 3

	FRANCE	LUXEM-BOURG	ITALIE	ANGLETERRE	ALLEMAGNE	AUTRICHE	SUISSE	NORVÈGE	ÉTATS-UNIS	Plus grande portée	NOMBRE d'ouvrages
sous route	C ¹ 1 ^{re} 1821-39 Cérat 45m45 1824-31 Vieille-Brioude 45m 1860-61 St Sauveur 42m 1869-73 Collonges 40m						1899-1900 Brent 44m			45m45	5
	C ⁿ 1 ^{re} 1745-52 Ornaisons 42m9								Avenue du Connecticut à Washington 1899-1908 43m72	45m72	2
sous chemin de fer	C ¹ 1 ^{re} 1881-82 Oloron 40m 1898-1900 Rebuzo 40m		1846-48 Ballochmyle 53m17							55m17	3
	C ¹ 1 ^{re} 1855-56 Nogent-s-Marne 50m		1836-38 Victoria 43m89				1901-02 Solis 42m			42m	1
Plus grande portée Nombre d'ouvrages de 40m à 49m	C ⁿ 1 ^{re} 50m (Nogent-s-Marne) 8 11		55m17 (Ballochmyle) 1 ^{re} 2				44m (Brent) 2 2		45m72 (Av. Connecticut) 1 5	55m17 Ballochmyle	12 20
	E ¹ 1 ^{re} 1751-66 Vizille 41m08 1773-91 Lavar 48m73 1776-1810 Gignac 48m42 1802-03 Fiumalto 40m 1886 St-Pierre 40m		1826-27 Gloucester 45m72						Avenue Edmondson, à Baltimore 1908-09 42m37	55m	9
sous route	E ⁿ 1 ^{re} 1851-55 Alma 43m 1873-75 Mantres 40m 1895-97 Verdun-s-Doubs 41m 1901-05 Valence 49m20		1824-31 Londres 46m33 42m67 Edouard VII, à Kew 1901-03 40m34		Empereur-François à Prague 1898-1901 42m34						7
	E ⁿ 1 ^{re} 1904-07 Amidon-niers 42m										12
sous chemin de fer	E ⁿ 1 ^{re} 1870-73 Pont-s-Yonne 40m									46m	1
	E ¹ 1 ^{re} 1871-72 Signac 40m 1905-06 Verdun 40m									40m	1
sous route	E ⁿ 1 ^{re} 1871-72 Signac 40m 1905-06 Verdun 40m								Big-Muddy-River 1901-03 42m67	42m67	1
	E ⁿ 1 ^{re} 1871-72 Signac 40m 1905-06 Verdun 40m									55m	1
SUR-HAUSSEES	E ¹ 1 ^{re} 49m20 (Valence) 13 21		55m (Annibal, Diable) 2 2	46m33 (Londres) 3 5	42-34 (Emp-François) 1 1	55m (Wiesen) 1 1	42m67 (Big-Muddy-R) 2 4			55m Annibal Diable Wiesen	22 34
	Plus grande portée Nombre d'ouvrages de 40m à 49m										
sous route	A ¹ 1 ^{re} 1340-1479 Vieille-Brioude 54m26 (Ancien P. écroulé en 1822) 1351-1407 Nyons 40m53 1351-1583 Tournon 49m20 1608-11 Clair 46m35		1832-36 Crespano 40m40		1842-46 St-Etienne 43m00	1840-44 Nydeck 45m90				49m20	7
	A ¹ 1 ^{re} 1908-12 Sidi-Rached, à Constantine 68m76	Adolphe 1899-1903 84m65							Walnut-Lane 1906-08 70m71 Rocky-River 1908-10 83m34	85m34	4
sous chemin de fer	A ¹ 1 ^{re} 1860-61 Berdoulet 40m 1882-83 Castellet 41m20 1882-84 Lavar 61m30 1883-84 Antonette 50m 1883-85 Cérat 45m 1907-09 Escot 56m		Kleinvolmsdorf 1844-45 43m32		Walditobel 1883-84 41m Palmgraben 1904-05 49m Schalchgraben 1904-05 52m Rothweinbach 1904-06 41m					61m50	11
	A ¹ 1 ^{re} 1884 Gravona 43m53 1906-08 Ramou-nais 40m70								46m85 Cinskel 1910-12 1911-12 Tuol 47m71	47m71	1

TRÈS SURBAISSÉS : $\frac{1}{2}$ (Tome III)

1. Le pont Victoria, a une voûte en plein cintre de 4^{es}, et une voûte en arc peu surbaissée de 38-77 il est comploté dans les « Arcs peu surbaissés ».

2. Dont 1 éroulé e

3. Dont 1 ruiné e

4. Dont 2 éroulé(e)s.

5. Dont 1 ruiné (e) et 2 éroulé(e)s

TABLEAU II VOÛTES INARTICULÉES ET ARTICULÉES DE 40^m ET PLUS, CLASSÉES PAR PAYS ET PAR DATE

Les voûtes articulées sont en italiques.

Siècle	FRANCE	LUXEM- BOURG	ITALIE	ANGLETERRE	ALLEMAGNE	AUTRICHE SUISSE	NORVÈGE	ÉTATS-UNIS	Plus gde Portée	NOMBRE
XIV ^e	1321-39 Céret (Vieux P ^u) C ⁱ r ^{ss} 45m65		1354-56 Vérone A ^a r ^{ss} 48m70 1370-77 Trezzo A ⁱ r ^{ss} 72m détruit en 1416						72 ^m détruite 48m70	3 ¹ 3 ²
	1340-1479 Vieille-Brioude ^a (Anc. P ^u) écroulé en 1822 A ⁱ r ^{ss} 54,26 1351-1407 Nyons A ⁱ r ^{ss} 40,53 1351-1583 Tournon A ⁱ r ^{ss} 49,20								54 ^{m26} écroulée 49 ^{m20}	3 ² 3 ²
XVI ^e										
XVII ^e	1608-11 Claix (Vieux P ^u) A ⁱ r ^{ss} 46,35								46 ^{m35}	1 1
1701- 1750	1745-52 Ornaisons C ⁱ r ^{ss} 42,90			1749-50 Pont-y-tu-Pridd A ⁱ r ^{ss} 42m67					48 ^{m73}	5 5
	1751-66 Vizille E ⁱ r ^{ss} 41,08 1753-91 Lavalur (Vieux P ^u) E ⁱ r ^{ss} 48,73 1776-1810 Gignac E ⁱ r ^{ss} 48,42									
1801- 1825										
1826- 1850	1824-31 Vieille-Brioude (Pont actuel) C ⁱ r ^{ss} 45		1834 Mosca, à Turin A ⁱ r ^{ss} 45m 1845-47, 1874-77 Bains- de-Lucques A ⁱ r ^{ss} 47m84 1832-36 Crespano A ⁱ r ^{ss} 40m40 1836-38 Victoria A ^a r ^{ss} 48m77, 43m89 1846-48 Ballochmyle C ⁱ r ^{ss} 55m17	1824-31 Londres E ⁱ r ^{ss} 46m33, 42m67 1826-27 Gloucester E ⁱ r ^{ss} 45m72 1833-34 Chester A ⁱ r ^{ss} 60m96 1836-38 Victoria A ^a r ^{ss} 48m77, 43m89 1846-48 Ballochmyle C ⁱ r ^{ss} 55m17	1844-45 Kleinwolmsdorf A ⁱ r ^{ss} 45m32	1842-46 St-Etienne A ⁱ r ^{ss} 43m60	1840-44 Nydeck A ⁱ r ^{ss} 45m90			
1851- 1880	1854-55 Alma E ⁱ r ^{ss} 43m 1855-56 Nogent-s-Marne C ⁱ r ^{ss} 50 1860-61 St-Sauveur C ⁱ r ^{ss} 42 1860-61 Berdoutet A ⁱ r ^{ss} 40 1862-63 Fium'Alto E ⁱ r ^{ss} 40 1863-73 Collonges C ⁱ r ^{ss} 40 1870-73 Pont-s-Yonne E ^a aq 40 1871-72 Signac E ⁱ r ^{ss} 40 1873-74 Clain A ⁱ r ^{ss} 52 1873-75 Mantes E ⁱ r ^{ss} 40		1851-52 40m Maretta, Prarolo A ⁱ r ^{ss} 1852 Isola del Cantone P ^u en amont et P ^u en aval A ⁱ r ^{ss} 40m 1868-70 Annibal E ⁱ r ^{ss} 55m 1871-72 Diable E ⁱ r ^{ss} 55m 1877-78 Calcio A ⁱ r ^{ss} 42m					1857-64 Cabin-John A ⁱ aq 67m10	Voûtes inarticulées 67 ^m 10 60 ^a 71 ²	
1881- 1890	1881-82 Oloron C ⁱ r ^{ss} 40 1882 Saulnier A ⁱ r ^{ss} 43 1882-83 Castellet A ⁱ r ^{ss} 41,20 1882-84 Lavalur A ⁱ r ^{ss} 61,50 1883-84 Antoinette A ⁱ r ^{ss} 50 1884 Gravona A ⁱ r ^{ss} 43,53 1883-85 Ceret A ⁱ r ^{ss} 45 1886 St-Pierre E ⁱ r ^{ss} 40			1882-83 Putney A ^a r ^{ss} 43m89	1882 Teinach A ⁱ r ^{ss} 46m 1885 Weisenbach A ⁱ r ^{ss} 40m 1885 Hofen A ⁱ r ^{ss} 43m50 1886-87 Marbach A ⁱ r ^{ss} 41m50 1889 Huzenbach A ⁱ r ^{ss} 40m 1889 Battersbrunn A ⁱ r ^{ss} 40m	1883-84 Wädliholzel A ⁱ r ^{ss} 41m	1886 Elyria A ⁱ r ^{ss} 45m72	Voûtes articulées 59 ^m 10 10 13		

TABLEAU III VOÛTES INARTICULÉES ET ARTICULÉES DE 40^m ET PLUS, CLASSÉES PAR PAYS ET PAR PORTÉE

Les routes articulées sont en italiques.

Portée en mètres	FRANCE	LUXEM- BOURG	ITALIE	ANGLETERRE	ALLEMAGNE	AUTRICHE	SUISSE	NORVÈGE	ÉTATS-UNIS	Nombre		
										d'ou- vrages	de voutes 10 ^m	de voutes 10 ^m
					Plauen 1903-05 A 1 ^{re} 90 ^m					1	1	1
90 85						Salsano 1904-06 A 1 ^{re} 85 ^m			Rocky River près de Cleveland 1908-10 A A 1 ^{re} 85-34	2	3	3
85 80	Montanges 1908-09 A 1 ^{re} 80-20	Adolphe 1899-1903 A A 1 ^{re} 84-65								2	3	3
80 75												
75 70			Trezzo 1370-77 ruiné en 1410 A 1 ^{re} 72 ^m Morbegno 1902-03 A 1 ^{re} 70 ^m						Walnut Lane à Philadelphie 1906-08 A A 1 ^{re} 70-71	3 1 1	4 1 1	4 1 1
70 65	Sidi-Rached, à Constantine 1908-12 A A 1 ^{re} 68-76				Wallstrasse à Ulm 1901-05 A 1 ^{re} 65 ^m 15	Jaremeze 1893-94 A 1 ^{re} 65 ^m			Cabin-John 1857-59 A aq 67-10	3 1 1	3 1 1	3 1 1
65 60	Gour-Noir Lavaur 1888-89 A 1 ^{re} 62 ^m 1882-84 A 1 ^{re} 61-50			Chester 1833-34 A 1 ^{re} 60-66	Kempten 1 Pont à 2 routes) Gutach 1906 A 1 ^{re} 61 ^m 50 1899-1900 A 1 ^{re} 64 ^m Maa-Joseph, à Munich 1901-02 A 1 ^{re} 61 ^m Kempten (2 1 ^{re} à 2 routes, accolés) 1906 A 1 ^{re} 63-80 Prince-Régent, à Munich 1900-01 A 1 ^{re} 63 ^m 1903-04 A 1 ^{re} 60 ^m		Krum- menau 1910-11 A 1 ^{re} 63-26			3 3 6	3 3 6	3 3 6
60 55	Escot 1907-09 A 1 ^{re} 56 ^m		Annibal 1868-70 E 1 ^{re} 55 ^m Diablo 1871-72 E 1 ^{re} 55 ^m	Ballochmyle 1846-48 C 1 ^{re} 55-17	Mannheim Neckarhausen 1899-1900 A 1 ^{re} 59-50 1893 A 1 ^{re} 59 ^m Manderkingen 1907-09 A 1 ^{re} 59 ^m Langenbrand 1903-04 A 1 ^{re} 59 ^m Hilberstein Schwanholz- dobel 1899-1900 A 1 ^{re} 57 ^m		Wiesen 1907-09 E 1 ^{re} 55 ^m			7 7 4	7 7 4	7 7 4
	Vieille-Brigoule Amont à Pieux alignés 1360-1379 A 1 ^{re} 54-26			Neuhannner Wengern 1905 A 1 ^{re} 52 ^m 1904 A 1 ^{re} 50 ^m 1903 A 1 ^{re} 50 ^m	Schalchgraben 1904-05 A 1 ^{re} 50 ^m	Guggers- bach 1906				9 9 0	12 12 0	12 12 0

[illegible]

IV. — A		SUIVANT LA FORME DE L'INTRADOS				VOÛTES		IV. — B SANS TENIR COMPTE DE LA FORME DE L'INTRADOS				
A Année	C	E	E _h	VOÛTES INARTICULÉES		VOÛTES		De — à soit pen- dant	La plus grande voûte à être celle du Pont de :	Portée	Plus grande voûte précé- dente de :	Pays
				Â	Â	SEMI- ARTICULÉES	ARTICULÉES					
1339 1356					48 ^m 70 Vérone A ⁿ 1 ^{re} Italie			1339 1356	17 ans	45 ^m 45	»	France
1377 1397	45 ^m 45 Céret (Vieux Pont)			40 ^m 53 Nyons A ¹ 1 ^{re} France	72 ^m 25 Trezzo (détruit en 1810) A ¹ 1 ^{re} Italie			1377 1397	21—	48 ^m 70	9 ^m 25	
1416 1479 1766	C ¹ 1 ^{re} France	41 ^m 08 Vizille E ¹ 1 ^{re} France		54 ^m 26 Vieille- Brioude (Ancien Pont, écroulé en 1822) A ¹ 1 ^{re} France	48 ^m 70 Vérone A ⁿ 1 ^{re} Italie			1416 1479	39—	72 ^m	23 ^m 30	Italie
1822 1834 1848	55 ^m 17 Ballochmyle	48 ^m 73 Lavaur (Vieux Pont) E ¹ 1 ^{re} France		49 ^m 20 Tournon A ¹ 1 ^{re} France	60 ^m 96 Chester A ¹ 1 ^{re} Angleterre			1822 1834	63—	48 ^m 70	»	France
1864 1870 1882 1884 1885	C ¹ 1 ^{re} Angleterre	55 ^m Annibal E ¹ 1 ^{re} Italie		61 ^m 50 Lavaur A ¹ 1 ^{re} France	41 ^m Höfen A ¹ 1 ^{re} Allemagne 43 ^m 50 Marbach A ¹ 1 ^{re} Allemagne 59 ^m Munder- kingen A ¹ 1 ^{re} Allemagne			1864 1870 1882 1884 1885	12—	49 ^m 20	5 ^m 46	
1893 1895					59 ^m Munder- kingen A ¹ 1 ^{re} Allemagne			1893 1895	28—	60 ^m 96	11 ^m 76	Angleterre
1900								1900	41—	67 ^m 10	6 ^m 14	Etats-Unis
1901								1901	2—	84 ^m 65	17 ^m 55	Luxembourg
1902 1903 1904					84 ^m 65 Adolphe à Luxem- bourg A ¹ A ¹ 1 ^{re} Luxembourg			1902 1903 1904	2—	84 ^m 65	17 ^m 55	Luxembourg
1905 1909			55 ^m Wiesen E ¹ 1 ^{re} Suisse		90 ^m Plauen A ¹ 1 ^{re} Allemagne			1905 1909	2—	90 ^m	5 ^m 35	Allemagne
1910								1910	2—	90 ^m	5 ^m 35	Allemagne

1. Existait alors : le Pont sur le Serchio, près de Lucques (31^{re}80, an 1000, (Pl., p. 83) Croizette-Desnoyers, Tome I, p. 36, Pl. IV, fig. 12, le Pont d'Avignon (plus grande arche : 31^{re}80 — XII^e siècle), T. II, p. 25 renvoi 3, le Pont Saint-Esprit (plus grande arche 35^m20 — VIII^e siècle, T. II, p. 25 renvoi 3, La plus grande voûte romaine, le Pont Auguste, à Narni, avait 31^{re}75 — Elle

1. Existait alors : le Pont sur le Serchio, près de Lucques (31^{re}80, an 1000, (D¹, p. 89) Croizette-Desnoyers, Tome I, p. 36, Pl. IV, fig. 12, le Pont d'Avignon (plus grande arche 31^{re}80 — 31^{re}80), T. II, p. 25 renvoi 3, le Pont Saint-Esprit (plus grande arche 39^m20 — 39^m20), T. II, p. 25 renvoi 3. La plus grande voûte romaine, celle du Pont Auguste, à Narni, avait 31^{re}75. Elle

TITRE III

POURQUOI N'A-T-ON PAS ENCORE FAIT DE VOÛTES DE PLUS DE 100^m ?

Aujourd'hui, on a d'excellents ciments, on sait faire une voûte : il est permis d'être hardi, et on n'y court pas grand risque : une voûte bien fondée, bien faite, en bons matériaux, ne peut tomber ^{1, 2, 3, 4, 5}.

Il y a quelque 120 ans, Perronet recherchait « *les moyens que l'on pourrait employer pour construire de grandes arches de pierre de 200, 300, 400 et jusqu'à 500 pieds d'ouverture, qui seraient destinées à franchir de profondes vallées bordées de rochers escarpés* » ⁶ (65^m, 97^m, 130^m, 162^m).

Plauen ⁷ a 90^m de portée et, sur 30^m de part et d'autre de la clef, 105^m de rayon : c'est le cerveau d'un plein cintre de 210^m.

On a déjà étudié des voûtes de 100^m ^{8, 9, 10} et plus ^{11, 12, 13}.

1. — Le pont de Trezzo (III, p. 19) n'est pas tombé : on l'a jeté par terre.

2. — La voûte de Vieille-Brioude (II, p. 15) a péri parce qu'elle était en un tuf tendre, usé, pourri, et qu'on l'a mal garantie. Cependant, elle a duré environ quatre siècles : il a fallu, pour en venir à bout, la surcharger de remblai, et encore y a-t-elle résisté quelques années.

3. — Les voûtes de Neuilly (anses de panier de 39^m au 1/4) ont, sans accident, tassé après la pose de la clef de 63^e (V, p. 171, renvoi 14).

Sans que les voûtes fussent compromises, les piles de l'Alma ont tassé de 37^e et 51^e (I, p. 157), celles de Nantes, de 27^e, 40^e, 47^e (Morandière, *Construction des Ponts*, p. 379).

4. — Voûtes d'essai en arc très surbaissé de Vassy et de Souppes (III, p. 375) ; voir aussi V, p. 20.

5. — La voûte articulée en béton de l'Exposition de Dusseldorf, 1902, tenant encore à 196^e de pression, 30^e de tension (IV, p. 278, renvoi 9).

6. — Paris, Imprimerie du Louvre, 1793.

7. — III, p. 52.

8. — M. Tourtay en a esquissé un projet : voûte mince à 3 articulations, de 64^m de portée, 8^m de flèche, appuyée sur des culées épaisses en surplomb de 18^m ; intrados, extrados et chaussée en chaînette, tympans évidés ; épaisseur à la clef 1^m40 ; pression moyenne, 31^e.
(Génie Civil, 18 juin 1892).

9. — Pour un pont-route sur le Rhin à Worms, on avait proposé une arche de 100^m entre 2 de 96^m, en briques, à 3 articulations de basalte.

(Allgemeine Bauzeitung, 1898, p. 19 à 24, Pl. 10 à 12 : « *Entwurf für eine gewölbte Strassenbrücke über den Rhein bei Worms* » MM. Krone et Ebhardt).

10. — Projet récemment approuvé d'un pont en béton à Villeneuve-sur-Lot (Chemins de fer départementaux de Lot-et-Garonne) : 2 arcs jumeaux en béton, larges de 3^m, espacés de 4^m90 ; portée 98^m ; montée 15^m39 ; épaisseur à la clef, 1^m45, aux retombées, 3^m30.

(Projet : M. Freyssinet, Ingénieur des Ponts et Chaussées. Exécution : MM. F. Mercier et Limousin, Entrepreneurs).

11. — Un des projets du pont sur le Neckar à Mannheim, étudié par M. Probst, présenté par la maison Grün et Billfinger (1901), comportait une arche de 113^m entre deux de 60^m, toutes trois très surbaissées, à 3 articulations. — Joli et hardi projet, primé, non exécuté.

Pour le pont exécuté (1905-08), voir IV, p. 206.

12. — Pour le viaduc de la Sitter (ligne du lac de Zurich au lac de Constance), M. Acatos avait proposé, au lieu de la travée métallique de 120^m exécutée, une arche en maçonnerie, inarticulée, en anse de panier surhaussée : Portée, 121^m35 ; montée, 64^m99 ; rayons, au cerveau 54^m265, aux reins, 66^m421 ; épaisseurs, à la clef 2^m, aux retombées (à 40^m94 sous la clef), 4^m58.

(Dessins gracieusement remis par M. Acatos).

13. — On vient de commencer les fondations d'une voûte en béton de 173^m de portée (Pont du Bernand, Loire, ligne d'intérêt local de Balbigny à Régnay), surbaissement environ 1/6,5, épaisseur à la clef, 2^m10.

Projet : M. Freyssinet, Ingénieur des Ponts et Chaussées. Exécution : MM. F. Mercier, Président du Conseil d'Administration des Chemins de fer du Centre, et Limousin, Entrepreneurs.

Dans une très grande voûte, on fera travailler les matériaux jusqu'au quart de leur charge de rupture.¹⁴

On y abaissera les pressions en donnant du fruit aux têtes, en ajourant largement les tympans, en employant pour les parties qui travaillent peu¹⁵ des matériaux légers¹⁶, par exemple de la brique.

Il y faut de bonnes pierres, de bon mortier, des appuis qui ne reculent pas, qui ne s'enfoncent pas.

En coupant les rouleaux en tronçons, en matant au refus les joints vides, en laissant longtemps la voûte sur cintre, on prévient les fissures sur cintre et au décintrement.

Une grande voûte ne coûtera pas très cher si on sait se défendre des recherches d'appareil qu'entraîne trop naturellement un grand ouvrage. Si on emploie de petits matériaux, une petite installation suffira ; si on construit par rouleaux, les cintres seront légers.

Elle sera vite faite, si on y occupe autant d'équipes de maçons que le cintre a de vaux.

Pendant la construction, l'Ingénieur vivra sur la voûte et ne s'en remettra à personne, — je dis, à personne, — de la surveillance aux moments et aux points critiques.

14. — V, p. 20.

15. — V, p. 49, renvoi 3.

16. — V, p. 49, renvoi 2.

TITRE IV

PROGRÈS DES GRANDES VOÛTES DEPUIS 1880

§ 1. — AUGMENTATION DES PORTÉES ; AUGMENTATION DU NOMBRE, DU SURBAISSEMENT, DU RAYON DE COURBURE AU CERVEAU DES VOÛTES DE 40^m ET PLUS

Art. 1. — Augmentation des portées.

Voûtes		Plus grande portée en						Augmentation de la plus grande portée	
		1880			1913				
		Portée	Pont	Tome page	Portée	Pont	Tome page		
inarticulées	sous route	Pleins cintres	45.45 ^m	Céret	I, 15	45.72 ^m	Connecticut Av ^e	I, 67	0.27 ^m
		Ellipses	55	Diable	I, 116	55	Diable	I, 116	0
		Arcs { peu } sur- { assez } baissés { très }	49.20	Tournon	II, 35	85.34	Rocky River	II, 95	36.14
			60.96	Chester	III, 29	90	Plauen	III, 52	29.04
			45	Mosca	III, 199	52	Neuhammer	III, 211	7
	sous conduite d'eau	Ellipses	40	Pont-sur-Yonne	I, 213	40	Pont-sur-Yonne	I, 213	0
		arcs { assez } sur- { très } baissés	67.10	Cabin-John	III, 75	67.10	Cabin-John	III, 75	0
			Pas de route de 40 ^m ou plus			40	Weisenbach	III, 219	»
	sous chemin de fer	Plein cintres	55.17	Ballochmyle	I, 41	55.17	Ballochmyle	I, 41	0
		Ellipses { surbaissées surhaussées	40	Signac	I, 131	42.67	Big Muddy River	I, 225	2.67
			Pas de route de 40 ^m ou plus			55	Wiesen	I, 235	»
		Arcs { peu } sur- { assez } baissés { très }	48.77	Victoria	II, 201	61.50	Lavaur	II, 135	12.73
			42	Calcio	III, 100	85	Salcano	III, 141	43
			Pas de route de 40 ^m ou plus			42.67	Bellow-Falls	III, 225	»
	semi-articulées	{ sous route sous ch ^m de fer	Pas de routes articulées avant 1880			59	Munderkingen	IV { 55 65	» »
						70	Morbegno		
	articulées	{ sous route sous ch ^m de fer				65.45	Wallstrasse	143	»
						64.50	Kempton		

Pas d'augmentation de portée, ou augmentation insignifiante, pour les pleins cintres, les ellipses surbaissées.

Pas d'augmentation de portée, ou augmentation insignifiante, pour les pleins cintres, les ellipses surbaissées.

Art. 2. — Augmentation du nombre de voûtes de 40^m et plus.

Voûtes : Voie portée — Intrados		Nombre					
		d'ouvrages ayant des voûtes de 40 ^m et plus			de voûtes de 40 ^m et plus		
		en 1880	en 1913	Augmen- tation	en 1880	en 1913	Augmen- tation
inarticulées	Pleins cintres	5	7	2	5	11	6
	Ellipses	10	17	7	12	27	15
	sous route	6	10	4	6	14	8
	Arches peu ¹ sur-	27	65	38	29	111	82
	Arches assez ¹ baissés	5	12	7	5	12	7
	Arches très baissés	1	19	18	1	47	46
	sous conduite	1	1	0	1	1	0
	Arches assez sur-	1	3	0	1	3	0
	Arches très baissés	»	1	1	»	1	1
	Ellipses	1	1	0	1	1	0
articulées	Pleins cintres	2	5	3	6	9	3
	surbaissées	1	3	2	1	5	4
	surhaussées	»	1	1	»	1	1
	chemin de fer	3	16	13	3	16	13
	Arches peu ¹ sur-	11	52	41	15	61	46
	Arches assez baissés	5	26	21	5	28	23
	Arches très baissés	»	1	1	»	2	2
	semi-articulées	Pas de voûtes articulées	5	6	Pas de voûtes articulées	6	7
	sous route	avant 1880	18	24	avant 1880	29	35
	sous ch ^m de fer	6	24	24	6	35	35

* Ces quatre ouvrages sont à 2 anneaux.

Art. 3. — Augmentation du surbaissement des voûtes de 40^m et plus.

Voûtes : Intrados — Voie portée		Plus grands surbaissements des voûtes de 40 ^m et plus					
		en 1880			en 1913		
		Surbaiss ^t	Pont	Tome page	Surbaiss ^t	Pont	Tome page
inarticulées	en ellipse	1 5	Alma	I, 153	1/5. 428	Edmondson Av ^e	I, 122
		1 3. 25	Signac	I, 131	1/4. 667	Big Muddy River	I, 225
	en arc	1 8. 18	Mosca, à Turin	III, 199	1/9. 52 ²	Ziegenhals	III, 208
		1 4	Maretta	III, 93	1/7	Bellows-Falls	III, 225
semi-articulées	sous route		Pas de voûtes articulées		1/10	Munderkingen	55
	sous ch ^m de fer				1/7	Morbegno	65
articulées	sous route		avant 1880		1/12	Cornélius	IV, 180
	sous ch ^m de fer				1/5. 82	Illerbeuren	159

1. — On n'a pas compté la voûte détruite de Trezzo (III, p. 19), les voûtes écroulées de Vieille-Brioude (II, p. 15), du Saulnier (III, p. 40).

2. — Pour des portées de moins de 40^m, il y a de plus grands surbaissements, aux vieux ponts de Nemours (1795-1804), de Saint-Dié sur la Meurthe (1804-1821), surbaissés à 1 15, 6 — 1 18.

M. de Dartin: « Etudes sur les ponts en pierre remarquables par leur décoration, antérieurs au XIX^e siècle », volume II: Ponts français du XVIII^e siècle, — Centre de la France, p. 245 à 259, Pl. 44 à 46; p. 261 à 270, Pl. 47 à 49.

Art. 4. — Augmentation du rayon de courbure de l'intrados au cerveau (voûtes de 40^m et plus).

Voûtes :			Plus grand rayon de courbure					
			en 1880			en 1913		
Intrados — Voie portée			Rayon	Pont	Tome page	Rayon	Pont	Tome page
inarticulées	en ellipse	sous route	^m 53.75	Alma	I, 153	^m 69.28	Emp ^r -François	I, 168
		sous ch ⁱⁿ de fer	35.92	Signac	I, 131	49.78	Big Muddy River	I, 225
	en arc	sous route	48.77	Mosca, à Turin ³	III, 199	105	Plauen	III, 52
		sous ch ⁱⁿ de fer	25	Maretta	III, 93	52.33	Salcano	III, 141
semi-articulées		sous route	<i>Pas de voûtes articulées avant 1880</i>			69.70	<i>Munderkingen</i>	IV } 55
		sous ch ⁱⁿ de fer				74	<i>Morbegno</i>	
articulées		sous route				90	<i>Neckarhausen</i>	} 232
		sous ch ⁱⁿ de fer				48.25	<i>Illerbeuren</i>	

La voûte de Plauen a la plus grande portée, 90^m, et le plus grand rayon de courbure, 105^m.

§ 2. — ONT FAIT PROGRESSER L'ART DES VOÛTES LES INGÉNIEURS QUI EN ONT CONSTRUIT BEAUCOUP

On commence par copier, puis l'expérience rend hardi.

C'est à la fin de leur carrière, que de Saget¹, Garipuy⁵, ont construit les beaux ponts de Lavour⁶ et de Gignac⁷.

Le pont de Neuilly est le 4^e pont de Perronet; le pont de la Concorde, son 10^e et dernier⁸.

Le pont de Gloucester est le 11^e pont en maçonnerie, la 35^e voûte de Telford⁹.

De 1843 à 1871, Morandière a exécuté 71 grands ouvrages, ayant ensemble 509 arches¹⁰. C'est après 20 ans de travaux qu'il a construit les voûtes de Chalonnès et de Nantes (ellipses de 30^m); son plus grand viaduc, celui de Pompadour (1873-75), est son dernier¹¹.

Les progrès faits depuis 30 ans par l'Allemagne et par l'Autriche, on les a attribués à un calcul plus exact des efforts. N'est-ce pas, plus simplement, parce que leurs grandes voûtes ont été faites par un petit nombre d'Ingénieurs¹² ?

3. — Le rayon de l'arche d'essai de Souppes (1868) était 85^m496 (III, p. 375).

4. — De Dartein: « *Etudes sur les ponts en pierre remarquables par leur décoration, antérieurs au XIX^e siècle* », vol. III: *Ponts français du XVIII^e siècle*, — Languedoc, p. 15 et 16.

5. — . . . id. . . . p. 12 à 14. 6. — I, p. 97. 7. — I, p. 103.

8. — Loc. cit. renvoi 4, vol. II, *Centre de la France*, p. 9 et 10.

9. — Life of Thomas Telford (mort en 1834), Londres 1838.

10. — Morandière: « *Construction des Ponts* », préface, p. VI, VII.

11. — Ligne de Limoges à Brive. — Rapport sur la Construction, M. Dupuy, Ingénieur en chef.

12. — Sur les 49 ponts d'Allemagne qui ont des voûtes de 40^m et plus, 6 ont été projetés par le Président Leibbrand, 5 par M. Beutel; les entreprises Liebold et C^e de Langebrück et d'Holzminden en ont projeté et construit 13; l'Entreprise Sager et Werner de Munich, 7.

Sur les 13 ponts d'Autriche qui ont des voûtes de 40^m et plus, 11 ont été construits par la Direction des Chemins de fer de l'Etat.

§ 3. — PART DE LA FRANCE

Récapitulons les progrès depuis quelque 35 ans.

Tous sont français¹³.

Articuler les voûtes, Dupuit l'avait proposé dès 1871¹⁴.

Partout où il y a une fissure à craindre, couper les rouleaux en tronçons et les claver au mortier sec. — méthode française^{15, 16}.

Construire les ponts larges sur deux minces anneaux de tête, — méthode française.

Au XVIII^e siècle, les Ingénieurs de France ont enseigné au monde l'art des ponts¹⁷: de ces maîtres, nous n'avons pas dégénéré.

Provisoirement, la France n'a plus la plus grande des grandes voûtes: mais elle a les plus belles, les plus diverses: c'est elle qui en a le plus.

Elle a gardé son rang: le premier.

Paris, 29 Juin 1914.

13. — « Der Bau höherer Steinbrücken mit grossen Spannweiten und beträchtlicher Inanspruchnahme des Materials kommt angeregt durch wohlgelungene französische Bauwerke solcher Art — auch in Deutschland allmählich in Aufnahme. . . »

« La construction de ponts hardis en maçonnerie de grande portée dans lesquels on fait beaucoup travailler les matériaux, stimulée par le succès d'ouvrages français semblables, devient peu à peu en faveur en Allemagne. . . »

Zeitschrift für Bauwesen, 1888, p. 235 à 259: « Steinbrücken mit gelenkartigen Einlagen », Leibbrand Kgl. Ober-Baurath, — Stuttgart, novembre 1887, p. 235.

14. — Tome IV, p. 26. 15. — Voir p. 163, art. 3, renvoi 44. 16. — Voir p. 163, art. 3, renvoi 45.

17. — « E che dirr delle opere pubbliche, e specialmente dei ponti? Mentre le areate dei ponti in muratura dell'epoca romana avevano una luce che raramente sorpassava i 25 metri, la Francia che fin dall'epoca del Perronet (1760), è stata maestra in fatto di costruzioni di tal genere, ha costruito negli ultimi tempi dei ponti in muratura come il ponte Lataur, il ponte Castelet, il ponte Antoinette, il ponte sulla Petrusse nel Lussemburgo ed altri, nei quali ad un'arditezza straordinaria è congiunta un'ammirevole eleganza di forme ».

C. Guidi: « I progressi della scienza e dell'arte del costruire », — Discorso inaugurale del 1° anno scolastico 1906-07 del R. Politecnico di Torino, p. 19 et 20.

* La voûte sphérique du Panthéon d'Agrippa a 43^m de diamètre (Raynaud — *Art de bâtir*, p. 364), le dôme de Saint-Pierre 42^m60 (Raynaud, *Edifices*, p. 398).

TABLE DES MATIÈRES

DU TOME V

3^{ME} PARTIE. — CE QUE L'EXPÉRIENCE ENSEIGNE DE COMMUN À TOUTES LES VOÛTES

	Pages.
PRÉLIMINAIRES. — <i>SYMBOLES</i>	3
1. Intrados. — 2. Ponts à une seule grande arche et ponts à plusieurs grandes arches. — 3. Voie portée. — 4. Ponts en deux anneaux.	

LIVRE I. — COMMENT ON PROJETTE UN PONT EN MAÇONNERIE MATÉRIAUX. — APPAREIL. — DISPOSITION ASPECT. — DÉCORATION

TITRE I. — GRANDES VOÛTES EN PIERRE MATÉRIAUX — APPAREIL — TRAVAIL

CHAPITRE I. — DÉSIGNATION DES PRINCIPAUX MATÉRIAUX LEUR DISTRIBUTION USUELLE DANS LES OUVRAGES	7
---	---

CHAPITRE II. — COMMENT SONT FAITES LES VOÛTES APPAREILLÉES DE 40^m ET PLUS

§ 1. — VOÛTES \geq 40 ^m A MORTIER DE CHAUX.....	8
§ 2. — VOÛTES \geq 40 ^m A MORTIER BÂTARD (<i>CHAUX ET CIMENT</i>)	8
§ 3. — VOÛTES \geq 40 ^m A MORTIER DE CIMENT.....	9

TITRE I. — GRANDES VOÛTES EN PIERRE
MATÉRIAUX. — APPAREIL. — TRAVAIL (Suite)

CHAPITRE III. — MATÉRIAUX

§ 1. — PIERRES.

	Pages.
Art. 1. — Nature.....	11
Art. 2. — Écarter les matériaux sensibles aux intempéries.....	11

§ 2. — MORTIERS.

Art. 1. — Sable.....	12
Art. 2. — Anciens mortiers de chaux grasse et mortiers actuels.....	12
Art. 3. — Augmentation de résistance du mortier en joints minces.....	13
Art. 4. — Faire au ciment les grande voûtes.....	13
Art. 5. — Dosages usuels pour un m.c. de sable.	
A. — Chaux.....	13
B. — Ciment.....	13
Art. 6. — Mortiers bâtards (chaux et ciment).....	14
Art. 7. — Fabrication.....	14
Art. 8. — Protection du mortier.	
A. — Contre la gelée.....	14
B. — Contre les eaux contenant du sulfate de chaux.....	14
Art. 9. — Joints du parement.....	15

CHAPITRE IV. — DISPOSITION DES MATÉRIAUX. — APPAREIL

§ 1. — PARTOUT, DANS UN OUVRAGE, ON DOIT DISPOSER LES MATÉRIAUX
PAR ASSISES NORMALES A LA PRESSION.

Art. 1. — Pourquoi ?.....	15
Art. 2. — Danger de faire autrement.....	16
Art. 3. — Règle pratique pour la direction des assises.....	16

§ 2. — MATÉRIAUX DES TROIS PARTIES DE LA VOÛTE, BANDEAUX,
DOUELLE, QUEUTAGE.

Art. 1. — Bandeaux.	
A. — Appareil.....	16
B. — Pierre de taille simulée.....	18
C. — Saillie.	
C ₁ . — En douelle.....	18
C ₂ . — Sur les tympans.....	18
Art. 2. — Douelle.....	18
Art. 3. — Queutage.	
A. — Faibles pressions.....	18
PHOTOGRAPHIE. — Φ_1 . Pont d'Epinay sur la Seine (p. 19).	
B. — Fortes pressions.....	19

TITRE I. — GRANDES VOÛTES EN PIERRE
MATÉRIAUX. — APPAREIL. — TRAVAIL *(Suite)*

CHAPITRE V. — TRAVAIL

	Pages.
§ 1. — DISTINGUER ENTRE LES MAÇONNERIES APPAREILLÉES ET LES AUTRES.....	20
§ 2. — TRAVAIL DANS QUELQUES VOÛTES APPAREILLÉES.....	20
§ 3. — RAPPORT A ACCEPTER DANS LES VOÛTES APPAREILLÉES ENTRE LE TRAVAIL PERMIS ET LA CHARGE D'ÉCRASEMENT.....	
Art. 1. — Travail des moellons.....	20
Art. 2. — Travail du mortier... ..	21
Art. 3. — Travail permis dans une grande voûte en moellons bien équarris et mortier de ciment.....	22
§ 4. — RÉSISTANCE DES VOÛTES A LA TRACTION.....	22

TITRE II. — VOÛTES EN BÉTON

§ 1. — CE QU'ON A FAIT EN BÉTON.....	23
§ 2. — QUELQUES VOÛTES EN BÉTON. COMPOSITION, RÉSISTANCE, PRESSION.	
Art. 1. — Voûtes inarticulées.	
A. — <i>Sous route</i>	24
B. — <i>Sous conduite d'eau</i>	24
C. — <i>Sous chemin de fer à voie normale</i>	24
Art. 2. — Voûtes semi-articulées.	
A. — <i>Sous route</i>	24
B. — <i>Sous chemin de fer à voie normale</i>	24
Art. 3. — Voûtes articulées.	
A. — <i>Sous route</i>	25
B. — <i>Sous chemin de fer à voie normale</i>	25
§ 3. — COMPOSITION DU BÉTON.	
Art. 1. — Éléments.	
A. — <i>Ciment</i>	26
B. — <i>Sable</i>	26
C. — <i>Pierre cassée ou gravier</i>	26
D. — <i>Matériaux lavés</i>	26
Art. 2. — Dosage.....	26
Art. 3. — Pierres dans le béton.....	26
§ 4. — EFFORTS. — RÉSISTANCE IMPOSÉE.....	26

TITRE II. — VOÛTES EN BÉTON (*Suite*)

§ 5. — MODE D'EXÉCUTION DES GRANDES VOÛTES EN BÉTON.

Pages.

Art. 1. — Béton damé	27
Art. 2. — Béton moulé	27
Art. 3. — Voûte partie en béton, partie en pierre de taille	27
Art. 4. — Parements	27
Art. 5. — Protection contre la gelée	27

§ 6. — AVANTAGES ET INCONVÉNIENTS DU BÉTON.

Art. 1. — Avantages	28
Art. 2. — Inconvénients.	
A. — <i>Perméabilité</i>	28
B. — <i>Fissures</i>	28
C. — <i>Vilain aspect</i>	28

TITRE III. — FRUIT DES TÊTES

§ 1. — CE QUI A ÉTÉ FAIT.

Art. 1. — Petits ouvrages	29
Art. 2. — Viaducs	29
Art. 3. — Ponts bas à voûtes de moins de 40 ^m	29
Art. 4. — Voûtes de 40 ^m et plus	29

§ 2. — INCONVÉNIENTS ET AVANTAGES DU FRUIT..... 30

TITRE IV. — PILES**CHAPITRE I. — DIMENSIONS ET DISPOSITIONS**

§ 1. — ÉPAISSEUR DES PILES AUX NAISSANCES DES VOÛTES.

Art. 1. — Pleins cintres	31
<i>DESSINS.</i> — f_1 , Plein cintre. — f_2 , Ellipse. — f_3 , Arc (p. 31).	
Art. 2. — Ellipses	31
Art. 3. — Arcs	31

§ 2. — FRUIT TRANSVERSAL DES PILES..... 32

§ 3. — BECS.

Art. 1. — Tracé en plan	32
<i>DESSIN.</i> — f_{11} , Pont de Saint-Loup, (p. 33).	
Art. 2. — Hauteur	33
<i>PHOTOGRAPHIES.</i> — Pont de Port-de-Piles, sur la Creuse: Φ_2 - amont, Φ_4 - aval (p. 33). — Pont d'Entraygues, sur la Truyère: Φ_3 - amont, Φ_6 - aval (p. 34).	
Art. 3. — Profil des avant-becs	35
<i>PHOTOGRAPHIE.</i> — Φ_7 Pont à Dresde (p. 35).	
Art. 4. — Châperon	35
<i>PHOTOGRAPHIES.</i> — Φ_8 - Pont Cornélius, à Munich. — Φ_9 - Pont de Reichenbach, à Munich (p. 36).	

TITRE IV. — PILES (Suite)

	Pages
§ 4. — RETOMBÉES DES BANDEAUX SUR LES BECS.	
Art. 1. — Les naissances des voûtes sont plus hautes que les becs.....	36
<i>DESSINS.</i> — f_{15} . Plein cintre. Pont de Saint-Waast. — f_{16} . Ellipse. Pont d'Orzillac. — f_{17} . Arc. Pont de Saint-Loup (p. 36).	
Art. 2. — Les naissances sont plus basses que les becs.	
A. — <i>Pont en plein cintre ou en ellipse</i>	37
<i>PHOTOGRAPHIE.</i> — Φ_{10} . Pont de Marmande (p. 37). — <i>DESSIN.</i> — f_{19} . Pont de Marmande (p. 37).	
B. — <i>Ponts en arc</i>	38
<i>PHOTOGRAPHIE.</i> — Φ_{11} . Pont « <i>di Mezzo</i> » sur l'Arno, à Pise (p. 38).	
§ 5. — NIVEAU DU SOCLE OU DU RESSAUT.....	38

CHAPITRE II. — MATÉRIAUX ET APPAREIL

§ 1. — MASSIF DE FONDATION.	
Art. 1. — Parement.....	39
Art. 2. — Noyau.....	39
§ 2. — AU-DESSUS DE L'EAU OU DU SOL.	
Art. 1. — Socle.....	39
Art. 2. — Parement du fût.....	39
Art. 3. — Noyau.....	39
Art. 4. — Appareil à la retombée des voûtes.	
A. — <i>Pleins cintres</i>	39
B. — <i>Ellipses</i>	39
<i>DESSINS.</i> — f_{23} . Pont de Marmande. — f_{24} . Pont de Saint-Loup (p. 39).	
C. — <i>Arcs</i>	39
Art. 5. — Quelques détails d'appareil.....	40

CHAPITRE III. — EFFETS DES BECS SUR LE COURANT..... 40

PHOTOGRAPHIES. — Φ_{12} . Pont Saint-Clair, à Lyon. — Φ_{13} . Pont d'Avignon (p. 40).

CHAPITRE IV. — ACTION DES PILES**SUR LES FONDS AFFOUILLABLES..... 40**

DESSINS. — Pont de Pesoux sur le Doubs. Plans : f_{25} . Avant le commencement des travaux ; f_{26} . Après la crue du 14 avril 1901 (p. 40). — f_{27} . Passerelle du Collège, à Lyon. — f_{28} . Pont de Tarascon, sur le Rhône. — f_{29} . Pont de Serin, sur la Saône, à Lyon (p. 41).

TITRE V. — CULÉES**CHAPITRE I. — COMMENT ON CALCULE LEURS DIMENSIONS**

	Pages.
§ 1. — EFFORTS QUE SUPPORTENT LES CULÉES.	
Art. 1. — De la part des voûtes.....	42
Art. 2. — De la part des terres.....	42
§ 2. — CE QU'IL FAUT POUR RÉSISTER AUX EFFORTS.	
Art. 1. — La voûte retombe sur le rocher.....	42
Art. 2. — La culée résiste par son poids.....	42

CHAPITRE II. — DISPOSITIONS DES CULÉES

§ 1. — RENVOI AUX MONOGRAPHIES ET A L'APPENDICE.....	43
§ 2. — ÉPAISSEURS.....	44
§ 3. — CULÉES A PAREMENT ANTÉRIEUR EN PORTE-A-Faux OU EN ENCORBELLEMENT. — CULÉES PERDUES.....	44
§ 4. — CULÉES ÉVIDÉES.....	45
§ 5. — PRÉCAUTIONS CONTRE LE GLISSEMENT.....	45
§ 6. — CULÉES LONGUES ET HAUTES. — COMMENT ON SUPPORTE ÉCONOMIQUEMENT L'ABOUT DU PARAPET.....	45
<i>DESSINS.</i> — Viaduc d'Issy : f_{11} , Coupe en long d'une culée ; — f_{12} , About en porte-à-faux. — f_{13} , Pont de Saint-Loup. — Viaduc de la Lieure : f_{14} , Coupe en long d'une culée ; — f_{15} , Coupe en travers. — f_{16} , Pont de Saint-Waast (p. 46).	
§ 7. — CULÉES ENTRE ARCHES INÉGALES.....	47
<i>DESSIN.</i> — f_{17} , Pont d'Orzillac (p. 47). — <i>PHOTOGRAPHIES.</i> — Φ_1 , Pont de Marmande. — Φ_2 , Pont de Passy (p. 47).	

CHAPITRE III. — MATÉRIAUX. — APPAREIL

Art. 1. — Parement.....	47
Art. 2. — Corps de la culée. — Disposition des assises.....	48
Art. 3. — Culées armées.....	48

**TITRE VI. — VOLUME ENTRE LES GRANDES VOÛTES
ET LA VOIE PORTÉE****CHAPITRE I. — VOLUME PLEIN**

Art. 1. — Tympan.....	49
<i>DESSINS.</i> — f_1 , Coupe en long. — f_2 , Coupe en travers (p. 49).	
Art. 2. — Murs de tête. — Matériaux et appareil.....	49

**TITRE VI. — VOLUME ENTRE LES GRANDES VOÛTES
ET LA VOIE PORTÉE (Suite)**

**CHAPITRE II. — AU-DESSUS DE QUELLES VOÛTES A-T-ON ÉVIDÉ,
ET COMMENT ?**

	Pages.
§ 1. — QUAND FAUT-IL, QUAND NE FAUT-IL PAS ÉVIDER ?.....	50
§ 2. — COMMENT ON ÉVIDE.....	50

CHAPITRE III. — ÉVIDEMENTS TRANSVERSAUX CACHÉS.....

51

CHAPITRE IV. — ÉVIDEMENTS TRANSVERSAUX APPARENTS

§ 1. — VIADUC D'ÉVIDEMENT A PETITES ARCHES EN PLEIN CINTRE COURANT SUR LE DOS DE LA GRANDE VOÛTE.	
Art. 1. — Ponts à une seule grande arche.....	51
Art. 2. — Ponts à plusieurs grandes arches.....	53
Art. 3. — Portée 2 a' des voûtes d'évidement.....	54
Art. 4. — Comment les voûtes d'évidement s'appuient sur les grandes.....	54
Art. 5. — Ce qu'on met sur les piles des ponts à plusieurs arches.....	55
Art. 6. — Demi-piles le long des culées.....	55
§ 2. — VIADUC D'ÉVIDEMENT EN ARC DE CERCLE.....	55
§ 3. — VIADUC D'ÉVIDEMENT PASSANT PAR-DESSUS LA CLEF DES GRANDES VOÛTES.....	56
DESSIN. — f_{12} . Pont de Bressuire (1867-68), p. 56.	
PHOTOGRAPHIE. — Φ_4 . Pont-canal sur l'Orb, à Béziers (1856-57), p. 56.	
§ 4. — OUVRAGES A PLUSIEURS ARCHES : OUVERTURE UNIQUE AU-DESSUS DES PILES.....	56
PHOTOGRAPHIES. — Φ_5 . Pont Fabricius, à Rome (-54). — Φ_6 . Pont de Montauban (XIV ^e), p. 56. — Φ_7 . Vieux pont de Toulouse (1542-1632), p. 57.	
§ 5. — CE QU'IL NE FAUT PAS FAIRE.....	58
PHOTOGRAPHIE. — Φ_{10} . Pont de la Goule-Noire (1871), p. 58.	
§ 6. — FORME DES GRANDES VOÛTES SOUS DES ARCHES D'ÉVIDEMENT TRANSVERSALES.....	59

CHAPITRE V. — ÉVIDEMENTS LONGITUDINAUX

Art. 1. — Avec voûtes.....	59
Art. 2. — Dalles sur murs longitudinaux.....	60
Art. 3. — Plate-forme en béton ou métallique sur murs longitudinaux.....	60
Art. 4. — Répartition des efforts dans les grandes voûtes sous évidements longitudinaux.	60

CHAPITRE VI. — ÉVIDEMENTS DANS LES DEUX SENS.....

61

CHAPITRE VII. — EMPLOI DU BÉTON ARMÉ.....

62

TITRE VII. — COMMENT ON RÉDUIT LA LARGEUR DES VOÛTES ENTRE TÊTES

UN SEUL ANNEAU AVEC TROTTOIRS EN ENCORBELLEMENT PLANCHER SUR DEUX ANNEAUX MINCES

CHAPITRE I. — POUR ÉPUISER LA RÉSISTANCE DES VOÛTES, IL FAUT EN RÉDUIRE LA LARGEUR

§ 1. — DANS UN GRAND PONT EN PIERRE, AVEC LES DISPOSITIONS HABITUELLES, LES MATÉRIAUX NE TRAVAILLENT GUÈRE QU'À SE PORTER EUX-MÊMES, ET ILS NE TRAVAILLENT PAS ASSEZ.

Art. 1. — Conditions à réaliser pour réduire au minimum le cube des matériaux d'un grand pont en pierre..... Pages. 63

Art 2. — Les charges roulantes comptent peu dans le travail total des maçonneries d'un grand ouvrage en pierre..... 63
DESSIN. — Γ_1 , Viaduc de la Crueize (p. 64).

§ 2. — AVEC LES DISPOSITIONS USUELLES, ON NE PEUT PAS IMPOSER AUX GRANDES VOÛTES TOUT L'EFFORT QUE ELLES PEUVENT SUPPORTER. IL FAUT RÉDUIRE LEUR LARGEUR..... 64

CHAPITRE II. — UN SEUL ANNEAU AVEC TROTTOIRS EN ENCORBELLEMENT

§ 1. — CE QUI A ÉTÉ FAIT SUR LES VOÛTES DE 40^m ET PLUS..... 65

§ 2. — QUELQUES TYPES D'ENCORBELLEMENTS..... 66
PHOTOGRAPHIE. — Φ_1 , Hôtel d'Assezat, à Toulouse (XVI^e siècle), p. 66.

§ 3. — RÉDUCTION DE LARGEUR POUR LES VOÛTES SOUS RAILS..... 67

CHAPITRE III. — VOIE LARGE SUR DEUX ANNEAUX MINCES PORTANT UN PLANCHER

§ 1. — DESCRIPTION SOMMAIRE.

Art. 1. — Principe du système..... 67

Art. 2. — Son économie..... 67

Art. 3. — Avantages divers..... 68

§ 2. — PONTS EN DEUX ANNEAUX.

Art. 1. — Pont Adolphe, à Luxembourg..... 69

Art. 2. — Pont des Amidonniers..... 69

Art. 3. — Autres ponts en deux anneaux..... 69

PHOTOGRAPHIE. — Φ_1 , Pont de Romans (p. 69).

§ 3. — FAIRE EN DEUX ANNEAUX LES PONTS LARGES.

Art. 1. — Ce qu'enseigne le tableau précédent.

A. — *Épaisseur des anneaux*..... 71

B. — *Rapport à la portée libre de la largeur d'un anneau*..... 71

Art. 2. — Économie..... 71

Art. 2. — Faire en deux anneaux les ponts larges..... 71

TITRE VIII. — PONT BIAIS**CHAPITRE I. — VOÛTES BIAISES**

	Pages.
§ 1. — DÉFINITIONS.	
Art. 1. — Berceau biais.....	72
Art. 2. — Angle du biais.....	72
Art. 3. — Développement de la douelle. — Deux systèmes de lignes orthogonales.....	72
§ 2. — APPAREILS BIAIS.	
Art. 1. — Appareil orthogonal parallèle.....	73
Art. 2. — Appareil hélicoïdal.....	74
§ 3. — CHOIX DE L'APPAREIL SUIVANT LE BIAIS.	
Art. 1. — $\theta = 80^\circ$	74
Art. 2. — θ entre 70° et 80°	74
Art. 3. — θ entre 60° et 70°	74
Art. 4. — θ entre 50° et 60°	75
Art. 5. — $\theta = 50^\circ$	75
§ 4. — TRÈS LONGUES VOÛTES BIAISES.....	75
§ 5. — PORTÉE LIMITE DES VOÛTES A APPAREIL BIAIS.....	75
§ 6. — PRÉCAUTIONS DANS L'EXÉCUTION DES VOÛTES BIAISES.	
Art. 1. — Cintres.....	76
Art. 2. — Maçonnerie des voûtes.....	76
§ 7. — OBSERVATIONS DIVERSES.	
Art. 1. — Pas de voûtes d'évidement apparentes au-dessus des voûtes biaises.....	76
Art. 2. — Ne pas craindre, ne pas rechercher les voûtes biaises.....	76
§ 8. — PILES BIAISES SOUS VOÛTES BIAISES. — TRACÉ DES BECS.	
Art. 1. — Bec en ellipse.....	76
Art. 2. — Bec en anse de panier à deux rayons r_1 , r_2	77

CHAPITRE II. — VOÛTES DROITES**DONT L'AXE EST OBLIQUE SUR LA RIVIÈRE OU LA VOIE TRAVERSÉE**

Art. 1. — Ouvrages à une seule arche.....	77
Art. 2. — Ouvrages à plusieurs arches. — Voûtes droites sur piles biaises.....	77
<i>PHOTOGRAPHIE.</i> — Φ_3 , Pont de la Croix, sur le Doubs (p. 78).	
<i>DESSINS.</i> — Pont d'Abrest : f_{14} , Élévation. — f_{15} , f_{16} , Coupes horizontales. — Pont des Colettes : f_{17} , Élévation. — f_{18} , Coupe horizontale (p. 79).	
Art. 3. — Voûtes en arcs droits minces.....	79
Art. 4. — Ouvrages courants sous remblais, droits, à plinthe rampante.....	79

CHAPITRE III. — VOÛTES DROITES,**NON EN BERCEAU, SUR PILES RONDES..... 80****CHAPITRE IV. — PONTS EN DEUX ANNEAUX..... 80**

TITRE IX. — VOÛTES EN COURBE 81

TITRE X. — PONTS EN RAMPE, EN DOS D'ÂNE

	Pages.
§ 1. — PONTS EN RAMPE.	
Art. 1. — Ponts sous route; ponts sous chemin de fer.....	81
Art. 2. — Ouvrages courants. Viaducs.....	81
Art. 3. — Ouvrages bas.....	81
Art. 4. — Tracé des grandes voûtes en rampe.....	82
Art. 5. — Intrados des voûtes en très forte rampe (sous un escalier, sous un chemin de fer à crémaillère, sous un funiculaire).....	82
§ 2. — PONTS EN DOS D'ÂNE.	
Art. 1. — Pour l'aspect, un long pont doit toujours être en dos d'âne.....	82
<i>PHOTOGRAPHIES.</i> — Φ_1 . Vieux Pont d'Orléans (1751-1760), p. 82. — Φ_2 . Pont sur le Serchio. — Ponts à Venise : Φ_3 , Φ_4 (p. 83).	
Art. 2. — Intrados des ponts en dos d'âne.....	83
<i>PHOTOGRAPHIE.</i> — Φ_5 . Vieux Pont de Toulouse (1542-1632), p. 84.	
Art. 3. — Raccordement des déclivités au sommet.....	84

TITRE XI. — COMMENT ON AJUSTE L'OUVRAGE AU TERRAIN

CHAPITRE I. — QUELQUES SILHOUETTES D'OUVRAGES SUR QUELQUES FORMES DE TERRAIN

§ 1. — FAIRE LES OUVRAGES A LA DEMANDE DU TERRAIN.	
Art. 1. — Indications générales.....	85
Art. 2. — Cas où la place des piles est imposée par un ouvrage voisin.....	85
Art. 3. — Nombre pair ou impair d'arches.....	85
Art. 4. — Comment on arrête la silhouette de l'ouvrage.....	85
§ 2. — OUVRAGES BAS : PONTS.....	85
<i>DESSINS.</i> — f_1 . Pont de Marmande, sur la Garonne. — f_2 . Pont de Port-Sainte-Marie, sur la Garonne (p. 86).	
§ 3. — OUVRAGES HAUTS. — VIADUCS.....	86

Viaduc sur la Têt, près de Fontpédrouse (Pyrénées-Orientales).

Ligne électrique à voie de 1^m de Villefranche-de-Conflent à Bourg-Madame (1906-08)

TEXTE. — 1. Ogive. — 2. Matériaux. — 3. Pressions maxima. — 4. Dispositions en vue des variations de température (p. 87). — 5. Cintre de l'ogive. — 6. Exécution des voûtes. — A. *Ogive.* — B. *Voûtes de 17^m.* — 7. Décintrement de l'ogive (30 novembre 1907). — A. *Etat d'avancement du pont.* — B. *Travail dans l'ogive, en Kg / 10^m01²* (p. 90). — 8. Dates. — 9. Quantités et dépenses. — A. *Totales.* — B. *Par unité* (p. 91). — 10. Personnel (p. 92).

PHOTOGRAPHIE. — Hors-TEXTE (p. 86 bis). — Φ_1 . Aval.

DESSINS. — f_1 . Élévation (p. 87). — Corps central : f_6 . Élévation ; — f_7 . Coupe en travers à la clef de l'ogive. — Clef de l'ogive : f_8 . Élévation ; — f_9 . Coupe en travers. — Couronnement des tours : f_{10} . Élévation ; — f_{11} . Coupe en travers (p. 88). — Étage supérieur : f_{12} . Coupe en long. — Dalle en béton armé : f_{13} . Coupe en travers entre deux nervures ; — f_{14} . Coupe en travers sur une nervure. — Hourdis : f_{15} . au dessus du cerveau des voûtes ; — f_{16} . au-dessus des piles ; — f_{17} . Coupe (p. 89). — Cintre : f_{18} . Élévation ; — f_{19} . Coupe en travers. — f_{20} . Construction de l'ogive (page 90). — f_{21} . Emplacement des appareils Manet-Rabut (p. 91).

TITRE XI. — COMMENT ON AJUSTE L'OUVRAGE AU TERRAIN (Suite)**CHAPITRE II. — OÙ ET POURQUOI
ON A FAIT DES PONTS A UNE SEULE GRANDE ARCHE**

	Pages
Art. 1. — Par économie	92
Art. 2. — S'il faut réduire les remous.....	92
Art. 3. — Si la voie coupe en biais la rivière.....	92
Art. 4. — Pour l'aspect.....	93
Art. 5. — Quand on a voulu une grande arche.....	93

CHAPITRE III. — CHOIX DE L'INTRADOS

Art. 1. — Pleins cintres.	
A. — <i>A une seule arche</i>	93
B. — <i>A plusieurs arches.</i>	
<i>B₁. — Ponts proprement dits.</i>	93
<i>PHOTOGRAPHIES.</i> — Φ_3 . Pont de Sèvres. — Φ_4 . Pont de Moissac (p. 93).	
<i>B₂. — Viaducs.</i>	94
Art. 2. — Ellipses.	
A. — <i>A une arche</i>	94
<i>PHOTOGRAPHIE.</i> — Φ_5 . Pont sur le canal de Brienne, à Toulouse (p. 94).	
B. — <i>A plusieurs arches.</i>	
<i>B₁. — Les naissances sont au-dessus des chaperons.</i>	95
<i>PHOTOGRAPHIES.</i> — Φ_6 . — Pont de la Reine Marguerite, à Rome. — Φ_7 . Pont Cavour, à Rome (p. 95).	
<i>B₂. — Les naissances sont plus basses que les chaperons.</i>	95
Art. 3. — Arcs.	
A. — <i>Un seul grand arc.</i>	
<i>A₁. — Arcs peu surbaissés.</i>	95
<i>A₂. — Arcs très surbaissés.</i>	95
B. — <i>Plusieurs arches.</i>	
<i>B₁. — Meilleur surbaissement.</i>	95
<i>B₂. — Rapport entre la portée et la hauteur.</i>	96
<i>PHOTOGRAPHIE.</i> — Φ_8 . Pont de Tilsitt, sur la Saône, à Lyon (1864), p. 96.	
Art. 4. — Ogives.	
A. — <i>Ogive surhaussée.</i>	96
<i>PHOTOGRAPHIE.</i> — Φ_9 . Pont de Mostar (p. 97).	
B. — <i>Ogive surbaissée.</i>	97

**TITRE XII. — QUELQUES RÉFLEXIONS
SUR L'ARCHITECTURE DES PONTS****CHAPITRE I. — ENSEMBLE DE L'OUVRAGE**

Art. 1. — Caractère de l'architecture des ponts.....	98
Art. 2. — Proportions.....	98
Art. 3. — Adaptation aux lieux.....	98
Art. 4. — Viaducs.....	99

TITRE XIV. — DÉCORATION DES PONTS (*Suite*)

	Pages.
§ 5. — VOUSURES.	
Art. 1. — Pourquoi on a échancré par une voussure des têtes de ponts.....	108
<i>PHOTOGRAPHIES.</i> — Φ_7 . Pont St-Laurent, à Chalon-sur-Saône, amont. — Φ_8 . Pont de Jurançon, sur le Gave de Pau (p. 109).	
Art. 2. — Quels intrados a-t-on « voussurés » ?.....	109
<i>PHOTOGRAPHIE.</i> — Φ_9 . Pont de Neuilly, sur la Seine (p. 109).	
Art. 3. — Tracé des voussures.....	110
<i>PHOTOGRAPHIES.</i> — Φ_{10} . Pont de la Reine Marguerite, à Turin. — Φ_{11} . Pont Humbert 1 ^{er} , à Rome (p. 110).	
Art. 4. — La voussure est-elle française ?.....	110
<i>PHOTOGRAPHIE.</i> — Φ_{12} . Pont de Châtelleraut (p. 110).	
 CHAPITRE III. — MURS DE TÊTE	 111
<i>PHOTOGRAPHIES.</i> — Φ_{13} . Pont de Rimini (p. 111). — Φ_{14} . Ponte Rotto, à Rome. — Φ_{15} . Pont de Salamanque (p. 112). — Φ_{16} . Pont de Navilly, sur le Doubs—amont. — Φ_{17} . Pont de Navilly, sur le Doubs—aval. — Φ_{18} . Pont de Waterloo, à Londres (p. 113). — Φ_{19} . Pont des Invalides, à Paris. — Ponts sur le Rhône, à Lyon (1888-90) : Φ_{20} . Pont La Fayette. — Φ_{21} . Pont Morand (p. 114).	
 CHAPITRE IV. — COURONNEMENT	
§ 1. — PLINTHE OU CORNICHE	114
<i>PHOTOGRAPHIE.</i> — Φ_{22} . Pont de Rimini (p. 115).	
§ 2. — PARAPETS.	
Art. 1. — Parapets pleins.....	116
<i>PHOTOGRAPHIES.</i> — Φ_{23} . Pont de Saumur. — Φ_{24} . Pont de Brnnoy. — Φ_{25} . Pont de Tours—aval. — Φ_{26} . Pont Fouchard (p. 116).	
Art. 2. — Parapets évidés.....	117
<i>PHOTOGRAPHIES.</i> — Ponts à Venise : Φ_{28} . Près du Palais des Doges ; — Φ_{29} . Pont du Rialto. — Φ_{30} . Pont de la Concorde, à Paris (1786-91), p. 117. <i>DESSINS.</i> — f_{11} . Pont de St-Waast, <i>projet non exécuté</i> . — f_{12} . Pont des Andelys (p. 118).	
§ 3. — REFUGES.....	118
<i>PHOTOGRAPHIES.</i> — Φ_{31} . Pont de St-Waast (p. 118). — Φ_{32} . Pont-Neuf, à Paris (p. 119). <i>DESSINS.</i> — f_{13} . Pont de St-Waast (1882-84). — f_{14} . Pont de Mantes (1888-92). Pont de St-Loup (1910-14) : f_{15} . Amont ; — f_{16} . Aval (p. 119).	
§ 4. — STATUES SUR UN PONT	120
<i>PHOTOGRAPHIES.</i> — Φ_{33} . Pont de Wurzburg. — Pont des Belles- Fontaines (1728). — Aval : Φ_{34} . Ensemble ; — Φ_{35} . Détail (p. 120). — Φ_{36} . Pont du Midi, à Lyon (1889-91), p. 121.	
§ 5. — INSCRIPTIONS COMMÉMORATIVES.....	121
<i>PHOTOGRAPHIE.</i> — Φ_{37} . Pont Cestius, à Rome (20 av. J. C.), p. 121.	

TITRE XIV. — DÉCORATION DES PONTS (*Suite*)**CHAPITRE V. — CULÈES. — ABORDS**

	Pages.
Art. 1. — Abords.....	122
<i>PHOTOGRAPHIES.</i> — Φ_{38} . Pont de Tours—aval. — Φ_{39} . Pont de Neuilly. — Φ_{40} . Pont de Chantilly. — Φ_{41} . Pont d'Austerlitz (p. 122). — Φ_{42} . Pont Montaudran, à Toulouse. — Φ_{43} . Pont des Minimes, à Toulouse (p. 123).	
Art. 2. — Têtes ou Portes de pont.....	124
<i>PHOTOGRAPHIES.</i> — Φ_{41} . Pont Flavien. — Φ_{45} . Pont Valentré (xiii ^e) p. 124.	

CHAPITRE VI. — TOURS, OBÉLISQUES, SUR UN PONT..... 124

PHOTOGRAPHIES. — Φ_{46} . Pont d'Orthez (xii^e). — Φ_{47} . Pont de Blois (p. 124).

CHAPITRE VII. — PONTS COUVERTS..... 125

PHOTOGRAPHIES. — Pont de Pavie (xiv^e) : Φ_{48} . Ensemble ; — Φ_{49} . Chaussée. — Φ_{50} . Pont des Soupîrs, à Venise (p. 125).

CHAPITRE VIII. — ÉTUDIER LES PONTS FRANÇAIS
DU XVIII^e SIÈCLE..... 126
LIVRE II. — COMMENT ON EXÉCUTE**UN PONT EN MAÇONNERIE****FONDATIONS — CINTRES — VOÛTES****TITRE I. — FONDATIONS**

§ 1. — COMMENT ET SUR QUEL SOL ON A FONDÉ LES GRANDES VOÛTES.	
Art. 1. — Piles.....	129
Art. 2. — Culées.....	130
Art. 3. — Ce qu'indiquent les tableaux précédents.....	131
§ 2. — IL FAUT AUX GRANDES VOÛTES DES APPUIS INVARIABLES.....	131

TITRE II. — CINTRES**CHAPITRE I. — GÉNÉRALITÉS**

§ 1. — BOIS. — ASSEMBLAGES.	
Art. 1. — Choix des bois.....	132
Art. 2. — Ne pas trop presser le bois normalement à ses fibres.....	132
Art. 3. — Assemblages des bois.....	132
Art. 4. — Ne pas tirer les assemblages des bois : les comprimer.....	133

TITRE II. — CINTRES (*Suite*)

§ 2. — FERMES.	Pages.
Art. 1. — Nombre et écartement.....	133
Art. 2. — Épaisseur.....	133
Art. 3. — Tracé.....	133
Art. 4. — Vaux.....	133
§ 3. — PIÈCES TRANSVERSALES.	
Art. 1. — Contreventement.....	133
Art. 2. — Couchis.....	134
Art. 3. — Platelage.....	134

CHAPITRE II. — CINTRES FIXES**C'EST-A-DIRE BIEN APPUYÉS SUR LE SOL ENTRE LES NAISSANCES**

§ 1. — QUELLES VOÛTES FAIT-ON SUR CINTRES FIXES ?.....	134
§ 2. — ON PEUT CLASSER LES CINTRES FIXES SUIVANT LA DISPOSITION DES MAÎTRESSES PIÈCES SOUTENANT LA COURONNE DES VAUX	
Art. 1. — Cintres à poteaux, Type P.....	135
Art. 2. — Cintres à rayons, Type R.....	135
Art. 3. — Cintres à treillis.....	135
Art. 4. — Cintres à contrefiches rayonnant de piles provisoires.....	135
Art. 5. — Cintres à un ou plus d'un étage.....	135
§ 3. — CINTRES FIXES A POTEAUX (P).	
Art. 1. — Poteaux seuls (P) et nombreux étages.....	136
Art. 2. — Poteaux et triangles (PT).	
A. — <i>Sans poinçons</i>	136
B. — <i>Avec poinçons</i>	136
Art. 3. — Poteaux et contrefiches isolées (PC).	
A. — <i>Un système unique de contrefiches</i>	137
B. — <i>Deux systèmes de contrefiches</i>	137
§ 4. — CINTRES FIXES A RAYONS (R).	
Art. 1. — Rayons seuls (R).	
A. — <i>Type Saint-Waast (pleins cintres bas)</i>	138
DESSIN. — f ₂₀ . Pont de Saint-Waast (p. 138).	
PHOTOGRAPHIE. — Φ_2 . Pont sur le Bachelard (p. 138).	
B. — <i>Type Lavour (voûtes à grande flèche)</i>	138
Art. 2. — Rayons et triangles (RT). <i>Type Antoinette</i>	139
Art. 3. — Quelques autres applications du type à rayons seuls (Saint-Waast, Lavour), et à rayons et triangles (Antoinette).....	139
DESSINS. — f ₂₃ . Passage supérieur de Corabeuf. — f ₂₄ . Viaduc des Roches-Avises. — f ₂₅ . Passage supérieur de Laveix. — f ₂₆ . Viaduc de Muratel (p. 139).	
Art. 4. — Rayons et contrefiches isolées (RC) <i>Type Gloucester</i>	140

TITRE II. — CINTRES (Suite)

	Pages
§ 5. — CINTRES A TREILLIS. PLUSIEURS ÉTAGES. — ARCS A GRANDE FLECHE.	
Art. 1. — Treillis en W.....	140
Art. 2. — Treillis en N.....	140
§ 6. — CONTREFICHES RAYONNANT A PARTIR DE PILES PROVISOIRES.....	141
§ 7. — COMMENT ON A APPUYÉ LES CINTRES FIXES QUAND ON NE POUVAIT PAS BATTRE DE PIEUX.....	141
§ 8. — CUBE DE BOIS K , POIDS DE FER p , DÉPENSE d , PAR $m.q.$ DE DOUELLE POUR LES DIVERS TYPES DE CINTRES FIXES.	
Art. 1. — Graphique des renseignements recueillis.....	141
Art. 2. — Que conclure du graphique ?.....	142

CHAPITRE III. — CINTRES COMPLÈTEMENT RETROUSSÉS**C'EST-A-DIRE NE S'APPUYANT QU'AUX NAISSANCES****OU TOUT PRÈS DES NAISSANCES**

§ 1. — QUAND ET POUR QUELLES VOÛTES « RETROUSSE-T-ON » LE CINTRE ?	142
§ 2. — CINTRES RETROUSSÉS A ARBALÈTRIERS.	
Art. 1. — Viaducs en plein cintre. Voûtes jusqu'à 30 ^m	144
Art. 2. — Voûtes de 40 ^m et plus.....	145
§ 3. — CINTRES A ÉTAGES EN PORTE-A-FAUX.....	145
§ 4. — CINTRES RETROUSSÉS A RAYONS (ÉVENTAIL).	
Art. 1. — Entrait non armé. — Pleins cintres de 8 ^m à 12 ^m	146
DESSINS. — f_{34} , Viaduc du Caty. — f_{35} , Viaduc de Nice. — f_{36} , Viaduc de la Basséra (p. 146).	
Art. 2. — Entrait armé par un tirant (<i>Type Saint-Waast</i>). Pleins cintres de 20 à 25 ^m .	146
DESSIN. — f_{37} , Pont de Saint-Waast (p. 146).	
Art. 3. — Entrait armé par un câble d'acier. Cintres de l'Arconce, 25 ^m , du Sornin, 35 ^m .	146
DESSINS. — f_{38} , Pont sur l'Arconce. — f_{39} , Pont du Sornin (p. 146).	
PHOTOGRAPHIE. — Φ_3 , Cintre du Pont du Sornin (p. 147).	
Art. 4. — Cintres retroussés à rayons (Éventail) : Dimensions, quantités, prix.....	148
§ 5. — CUBE DE BOIS K , POIDS DE FER p , DÉPENSE d , PAR $m.q.$ DE DOUELLE POUR LES DIVERS TYPES DE CINTRES RETROUSSÉS.	
Art. 1. — Graphique des renseignements recueillis.....	148
Art. 2. — Que conclure du graphique ?.....	148

CHAPITRE IV. — SUPÉRIORITÉ DES CINTRES A RAYONS (ÉVENTAIL)**ET COMME CINTRES FIXES ET COMME CINTRES RETROUSSÉS..... 150**

TITRE II. — CINTRES (*Suite*)**CHAPITRE V. — CINTRES MARINIERS**

Pages.

RETROUSSÉS SUR LA LARGEUR DE LA PASSE NAVIGABLE..... 150*PHOTOGRAPHIE.* — Φ_4 . Pont de Marmande : Cintres marinières (p. 150).**CHAPITRE VI. — CINTRES EN MÉTAL**

Art. 1. — Pourquoi a-t-on fait des cintres en métal ?.....	151
Art. 2. — Types de cintres en métal.....	151
Art. 3. — Poids et prix par m.q. de douelle.....	152

CHAPITRE VII. — SURHAUSSEMENT

Art. 1. — Cintres fixes.....	152
Art. 2. — Cintres retroussés.....	152

CHAPITRE VIII. — ACCIDENTS..... 152**CHAPITRE IX. — PRÉCAUTIONS DIVERSES**

Art. 1. — Cintres ayant déjà servi.....	153
Art. 2. — Arrosage.....	153
Art. 3. — Incendie.....	153

CHAPITRE X. — APPAREILS DE DÉCINTREMENT

§ 1. — BOÎTES A SABLE.....	153
§ 2. — COINS.....	154
§ 3. — VÉRINS.....	154
§ 4. — DÉCINTREMENT PAR ÉCRASEMENT DE PIÈCES DU CINTRE.....	154
§ 5. — DÉCINTREMENT EN DÉTENDANT DES CÂBLES.....	154
§ 6. — DIVERS.....	155

CHAPITRE XI. — CALCUL

§ 1. — PRESSION NORMALE p PAR UNITÉ SUR LE CINTRE A UNE DISTANCE ANGULAIRE α DE LA CLEF.....	155
§ 2. — TRAVAIL PERMIS.	
Art. 1. — Bois (Pin, Sapin).	
A. — <i>Pièces fléchies (vaux, couchis)</i>	156
B. — <i>Pièces comprimées.</i>	
B_1 . — <i>Dans le sens des fibres.</i> — B_2 . <i>Normalement aux fibres</i>	156
Art. 2. — Câbles d'acier.....	156

TITRE II. — CINTRES (*Suite*)**CHAPITRE IX. — POUR UN PONT A n ARCHES,****COMBIEN DE CINTRES ?**

	Pages.
Art. 1. — Pour 2, 3 arches	156
Art. 2. — Pour 4 arches	156
Art. 3. — Pour 5 arches	156
<i>PHOTOGRAPHIE. — Φ_3. Pont des Amidonniers (p. 157).</i>	
Art. 4. — Pour plus de 5 arches	157

TITRE III. — COMMENT ON EXÉCUTE**LES GRANDES VOÛTES EN MAÇONNERIE APPAREILLÉE****CHAPITRE I. — ROULEAUX**

§ 1. — POURQUOI ON CONSTRUIT PAR ROULEAUX	158
§ 2. — COMMENT, DEPUIS 1800, ON A CONSTRUIT LES VOÛTES DE 40 ^m ET PLUS	158
§ 3. — ÉPAISSEUR DU 1 ^{er} ROULEAU.	
Art. 1. — Que porte le 1 ^{er} rouleau ?	159
Art. 2. — Rapport, dans les voûtes exécutées, de l'épaisseur du 1 ^{er} rouleau e'_1 , e'_2 à l'épaisseur totale e_0 , e_1	159
§ 4. — ROULEAUX SOLIDAIRES OU ROULEAUX INDÉPENDANTS ?	
Art. 1. — Rouleaux solidaires	160
Art. 2. — Rouleaux superposés indépendants	160
§ 5. — ADOPTION SYSTÉMATIQUE DE LA CONSTRUCTION PAR ROULEAUX...	160

CHAPITRE II. — TRONÇONS ET CLAVAGES

ON COUPE LES ROULEAUX EN TRANCHES PAR DES JOINTS VIDES

PERMETTANT A LA VOÛTE DE SUIVRE, SANS CASSURES,

LES MOUVEMENTS DU CINTRE ; PUIS, ON MATE CES JOINTS

§ 1. — NÉCESSITÉ DES JOINTS VIDES	161
§ 2. — EMBLACEMENT DES JOINTS VIDES.	
Art. 1. — Joints vides aux retombées seulement (c'est-à-dire clavages en trois points : clef et retombées)	162
Art. 2. — Joints vides aux retombées et en d'autres points	162
Art. 3. — Tous les joints vides	163
§ 3. — COMMENT, PENDANT LA CONSTRUCTION DE LA VOÛTE, ON MAINTIENT LES JOINTS VIDES.	
Art. 1. — Comment on soutient les assises posées à sec	163
Art. 2. — Coffrages, taquets entre les tronçons	165

TITRE III. — COMMENT ON EXÉCUTE**LES GRANDES VOÛTES EN MAÇONNERIE APPAREILLÉE (Suite)**

	Pages.
§ 4. — COMMENT ON REMPLIT LES JOINTS VIDES. — ORDRE DES CLAVAGES.	
Art. 1. — Les mater au mortier de ciment sec	165
Art. 2. — Employer pour les matages le ciment et non la chaux	165
Art. 3. — Ordre des clavages	165
Art. 4. — Pratique des matages.	
A. — Poids de ciment pour 1 ^m ^c de sable	166
B. — Sable	166
C. — Quantité d'eau	166
D. — Instruments pour le matage	166
E. — Opération du matage	167
F. — Présence de l'Ingénieur	167
Art. 5. — Coût du m. q. de joint maté	167
§ 5. — ON PEUT CONSTRUIRE PAR TRANCHES SANS CONSTRUIRE PAR ROULEAUX	168
§ 6. — ON PEUT CONSTRUIRE PAR TRANCHES QUELS QUE SOIENT LES MATÉRIAUX DE LA VOÛTE	168
§ 7. — RÉACTIONS NORMALES AUX LITS CRÉÉES PAR LE MATAGE DES JOINTS VIDES AU MORTIER PULVÉRULENT	169
§ 8. — CONCLUSION : ADOPTION SYSTÉMATIQUE DES CLAVAGES MULTIPLES.	169

CHAPITRE III. — QUELQUES PRÉCAUTIONS 170**TITRE IV. — DÉCINTREMENT**

CHAPITRE I. — MEILLEURE ÉPOQUE A CHOISIR,	
QUAND ON EST LIBRE, POUR CLAVER ET DÉCINTRER	171

CHAPITRE II. — ÉTAT D'AVANCEMENT DES TYMPANS	
AU MOMENT DE DÉCINTRER	171

CHAPITRE III. — TEMPS PENDANT LEQUEL	
ON LAISSE LA VOÛTE SUR CINTRE	172

CHAPITRE IV. — TASSEMENT DE LA CLEF AU DÉCINTREMENT

§ 1. — VOÛTES INARTICULÉES.	
Art. 1. — Voûtes à mortier de chaux.	
A. — Chaux grasse. — B. Chaux maigre. — C. Chaux hydraulique	173
Art. 2. — Voûtes à mortier bâtard	173
Art. 3. — Voûtes à mortier de ciment	174
Art. 4. — Que conclure des tassements observés ?	175
§ 2. — VOÛTES ARTICULÉES (mortier de ciment)	176

TITRE IV. — DÉCINTREMENT (*Suite*)

	Pages.
§ 3. — CONTINUATION DU TASSEMENT APRÈS DÉCINTREMENT.....	176
§ 4. — TASSEMENT DES APPUIS DE LA VOÛTE.	
Art. 1. — Voûte construite à pleine épaisseur	177
Art. 2. — Voûte construite par rouleaux	177
Art. 3. — Dans le tassement total, faire la part des appuis.....	177

CHAPITRE V. — ACCIDENTS AU DÉCINTREMENT :

FISSURES, ÉCRASEMENTS.....	177
-----------------------------------	------------

CHAPITRE VI. — COMMENT ON MESURE LES TASSEMENTS.....	178
---	------------

DESSINS. — Mesure des tassements : f_2 , Ensemble. — f_3 , Contact K (p. 178).

TITRE V. — ÉPREUVES DES VOÛTES EN MAÇONNERIE

Art. 1. — Voûtes inarticulées.....	179
Art. 2. — Voûtes articulées.....	179

TITRE VI. — MOUVEMENTS ET FISSURES**DUS AUX CHANGEMENTS DE TEMPÉRATURE****NÉCESSITÉ DE S'EN PRÉOCCUPER POUR LES GRANDES VOÛTES
JOINTS DE DILATATION**

§ 1. — VARIATION DE LONGUEUR D'UN PRISME : 1° <i>SOUS UNE COMPRESSION NORMALE</i> β (kg/cm^2) ; — 2° <i>POUR UNE VARIATION DE TEMPÉRATURE</i> τ° ; — 3° <i>PAR IMBIBITION.</i>	
Art. 1. — Formules.....	180
Art. 2. — Quelques nombres	180
Art. 3. — Les changements de température raccourcissent un prisme plus que les charges usuelles.....	181
Art. 4. — Compression, si on contrarie la dilatation.....	181
§ 2. — COMMENT VARIE LA TEMPÉRATURE DES VOÛTES	181
§ 3. — MOUVEMENTS OBSERVÉS AUX CLEFS DES VOÛTES..	181
<i>DESSINS.</i> — Pont de Saint-Loup : f_1 , Températures ; — f_2 , Mouvements de la clef. Viaduc de Morez : f_3 , Températures ; — f_4 , Mouvements de la clef (p. 182).	
§ 4. — FISSURES D'HIVER.	
Art. 1. — Effet du froid	183
Art. 2. — Ouverture de joints aux reins des voûtes	183
Art. 3. — Fentes des tympans	183
Art. 4. — Voûte unique d'élégissement jetée entre deux grandes voûtes	184
Art. 5. — Fentes des plinthes et des parapets.....	184
§ 3. — DISPOSITIFS PERMETTANT LA DILATATION. — JOINTS DE DILATATION.	
Art. 1. — Voûtes inarticulées et voûtes articulées.....	185
Art. 2. — Les murs des tympans sont pleins.....	185
Art. 3. — Les murs des tympans sont évidés par des voûtes	186
Art. 4. — La chaussée est portée par une plate-forme en béton armé sur murs ou colonnes en béton armé	186

LIVRE III. — CONCLUSIONS GÉNÉRALES*PONTS MÉTALLIQUES OU PONTS VOÛTÉS?*

GRANDES VOÛTES

CLASSEMENT PAR PAYS

PLUS GRANDE VOÛTE A CHAQUE ÉPOQUE

PROGRÈS. — PART DE LA FRANCE

TITRE I. — PONTS MÉTALLIQUES OU PONTS VOÛTÉS ?**CHAPITRE I. — QUELQUES GÉNÉRALITÉS**

Pages.

§ 1. — PIERRE ET MÉTAL.....	189
§ 2. — CAS OÙ S'IMPOSE LE MÉTAL.....	189

CHAPITRE II. — COÛT TRÈS VARIABLE

DE PREMIER ÉTABLISSEMENT

DES PONTS MÉTALLIQUES COMME DES PONTS VOÛTÉS.....	190
---	-----

CHAPITRE III. — SUPÉRIORITÉ DES PONTS EN MAÇONNERIE

AU POINT DE VUE DE L'ENTRETIEN PROPREMENT DIT

§ 1. — ENTRETIEN DES PONTS MÉTALLIQUES.	
Art. 1. — Entretien proprement dit.....	192
Art. 2. — Influence du type de poutre sur le nombre de rivets à remplacer.....	192
Art. 3. — Causes spéciales de détérioration.....	192
Art. 4. — Capital à ajouter au coût de l'ouvrage pour tenir compte des frais d'entretien proprement dit.....	193
§ 2. — ENTRETIEN DES PONTS VOÛTÉS.	
Art. 1. — Entretien proprement dit.....	193

CHAPITRE IV. — SUPÉRIORITÉ DES PONTS VOÛTÉS

POUR RÉSISTER A DES MACHINES PLUS LOURDES

§ 1. — IL FAUT CONSOLIDER OU REFAIRE LES PONTS MÉTALLIQUES.....	194
§ 2. — LES PONTS EN MAÇONNERIE RÉSISTENT.....	195

CHAPITRE V. — AVANTAGES SPÉCIAUX DES PONTS VOÛTÉS

§ 1. — ILS SONT PLUS BEAUX.....	196
§ 2. — ILS SONT PLUS SOLIDES.....	196
§ 3. — ILS DURENT.....	196
§ 4. — ILS SONT PLUS SIMPLES DE PROJET ET DE CONSTRUCTION.....	197
§ 5. — SOUS CHEMIN DE FER, ON BALLASTE COMME EN PLEINE VOIE.....	197
§ 6. — QUELQUES CAS OÙ LE PONT VOÛTÉ EST SPÉCIALEMENT INDIQUÉ.	
Art. 1. — Traversée d'une vallée profonde.....	197
Art. 2. — Ouvrages en courbe.....	197

TITRE I. — PONTS MÉTALLIQUES OU PONTS VOÛTÉS? (Suite)

CHAPITRE VI. — PRÉFÉRENCE DONNÉE AUJOURD'HUI	Pages.
AUX PONTS VOÛTÉS	198

TITRE II. — VOÛTES DE 40^m ET PLUS**CLASSÉES PAR PAYS****1° PAR INTRADOS, 2° PAR PORTÉE, 3° PAR DATE
PLUS GRANDE VOÛTE A CHAQUE ÉPOQUE**

TABEAU I. — VOÛTES INARTICULÉES DE 40^m ET PLUS,	
CLASSÉES PAR PAYS ET PAR INTRADOS.....	200
TABEAU II. — VOÛTES INARTICULÉES ET ARTICULÉES DE 40^m ET PLUS,	
CLASSÉES PAR PAYS ET PAR DATE.....	202
TABEAU III. — VOÛTES INARTICULÉES ET ARTICULÉES DE 40^m ET PLUS,	
CLASSÉES PAR PAYS ET PAR PORTÉE.....	204
TABEAU IV. — PLUS GRANDE VOÛTE A CHAQUE ÉPOQUE	
DEPUIS 1339.....	206

TITRE III. — POURQUOI N'A-T-ON PAS ENCORE FAIT	
DE VOÛTES DE PLUS DE 100^m ?	207

TITRE IV. — PROGRÈS DES GRANDES VOÛTES DEPUIS 1880

§ 1. — AUGMENTATION DES PORTÉES; AUGMENTATION DU NOMBRE, DU	
SURBAISSEMENT, DU RAYON DE COURBURE AU CERVEAU DES	
VOÛTES DE 40^m ET PLUS.	
Art. 1. — Augmentation des portées.....	209
Art. 2. — Augmentation du nombre de voûtes de 40 ^m et plus.....	210
Art. 3. — Augmentation du surbaissement des voûtes de 40 ^m et plus.....	210
Art. 4. — Augmentation du rayon de courbure de l'intrados au cerveau (voûtes de 40 ^m	
et plus).....	211
§ 2. — ONT FAIT PROGRESSER L'ART DES VOÛTES LES INGÉNIEURS QUI EN	
ONT CONSTRUIT BEAUCOUP.....	211
§ 3. — PART DE LA FRANCE.....	212
TAB. DES MATIÈRES.....	210

ERRATA DU TOME V

Page 34 : au lieu de : ϕ_3 — **amont**..., lire : ϕ_3 — **aval**...
et au lieu de : ϕ_6 — **aval**..., lire : ϕ_6 — **amont**...

Page 103, dans le titre de la photographie :
au lieu de :... (**Pont Ælius**)..., lire : ...
(**Pont Ælius**)...

GRANDES VOÛTES



GRANDES VOÛTES

PAR

Paul SÉJOURNÉ

INGÉNIEUR EN CHEF DES PONTS ET CHAUSSÉES
INGÉNIEUR EN CHEF DU SERVICE DE LA CONSTRUCTION
DE LA COMPAGNIE PARIS-LYON-MÉDITERRANÉE
PROFESSEUR A L'ÉCOLE NATIONALE DES PONTS ET CHAUSSÉES

TOME VI — APPENDICE

PRATIQUE DES VOÛTES

1^{RE} PARTIE

INSTRUCTIONS POUR PROJETER ET CONSTRUIRE

2^{ME} PARTIE

CALCULS ET ÉPURES

3^{ME} PARTIE

TABLES NUMÉRIQUES

ANNEXES

BOURGES

IMPRIMERIE V^{VE} TARDY-PIGELET ET FILS
15, RUE JOYEUSE, 15

—
1916

Tous droits de reproduction, de traduction et d'adaptation
réservés pour tous pays.

Copyright by Paul Séjourné — 1916.

APPENDICE

PRATIQUE DES VOÛTES

1^{RE} PARTIE

INSTRUCTIONS POUR PROJETER ET CONSTRUIRE

2^{ME} PARTIE

CALCULS ET ÉPURES

3^{ME} PARTIE

TABLES NUMÉRIQUES

I^{re} PARTIE

INSTRUCTIONS

POUR PROJETER ET CONSTRUIRE

LIVRE I

OUVRAGES DE 8^m D'OUVERTURE

ET AU-DESSOUS

LIVRE II

VIADUCS

LIVRE I

OUVRAGES

DE 8^m D'OUVERTURE ET AU-DESSOUS

TITRE I

PROJETS D'EXÉCUTION

CHAPITRE I

DÉBOUCHÉS

Il est fort important, — mais fort difficile, — de déterminer le débouché des petits ouvrages. On a pour eux beaucoup moins de renseignements que pour les grands : les circonstances locales y comptent beaucoup plus.

Il n'y a de sûr que la comparaison avec les ouvrages voisins, reconnus, après examen attentif, suffisants sans exagération d'ouverture. On relèvera donc, avec le plus grand soin, leurs débouchés¹ linéaire et superficiel, leur revanche, leur remous, etc...

En l'absence de renseignements précis, on à défaut d'ouvrages voisins, on a généralement exagéré les débouchés des petits ouvrages. Or, ils sont très nombreux : leur coût augmente très vite avec leur ouverture et leur longueur. Il faut donc ne faire pour eux que ce qui est strictement nécessaire.

Pour les petits ponts métalliques, au contraire, on peut augmenter un peu la portée sans bien grande dépense.

Sous la condition essentielle qu'il y ait une revanche suffisante sous la clef ou sous les poutres, un pont trop étroit suffit à débiter les eaux des crues s'il est bien fondé, si les terrassements et les quarts de cône aux abords n'ont rien à craindre, et si la vitesse sous l'ouvrage ne peut pas affouiller le terrain, au cas où il n'y aurait pas de radier.

Un ouvrage sous charge de remblai peut même être aveuglé sans inconvénient sérieux : le remous à l'amont forme une charge qui augmente le débit et compense l'insuffisance du débouché ; mais il faut être absolument sûr des fondations ; il faut que les parafoilles, ou les murs, s'il n'y a pas de radier, soient bien encastrés dans un terrain solide en contre-bas des affouillements possibles.

La revanche sous la clef ou sous les poutres est un élément encore plus important à déterminer que le débouché. Il y a beaucoup d'ouvrages qui sont insuffisants, malgré une ouverture exagérée, parce qu'ils n'ont pas assez de revanche.

Sur des torrents à largeur démesurée, il conviendra souvent de réduire l'ouverture, non seulement par économie, mais pour que les eaux fassent chasse sous l'ouvrage ; avec trop de débouché, le lit s'élève, et un ouvrage d'ouverture exagérée devient insuffisant.

En l'absence d'ouvrages existants voisins, voici différentes méthodes qui permettent une première approximation : elle suffit quelquefois.

1. On reconnaîtra en comparant ces renseignements que, pour beaucoup, les débouchés ont été pris au hasard.

Art. 1. — Difficulté de fixer les débouchés des petits ouvrages.

Art. 2. — Nécessité de réduire les débouchés à juste ce qu'il faut.

Art. 3. — Méthodes approchées pour fixer les débouchés.

A. — *Débouché en fonction du débit du cours d'eau.*

On calcule le débit de l'ouvrage à l'aide de la table T₁ (APPENDICE, — 3^e partie). On s'assure qu'il est à peu près le même que celui du cours d'eau, lequel s'évalue comme suit :

Lorsque, sur une certaine longueur, le lit est à peu près régulier et qu'on connaît bien la hauteur des plus hautes eaux, on lève, en différents points bien choisis, la section et le périmètre mouillés par les hautes eaux, et on calcule le débit à l'aide de la table T₁.

B. — *Débouché en fonction de la longueur du cours d'eau.*

Pour les petits ouvrages établis sur des cours d'eau qui ne dépassent pas 5 ou 6^k, on peut admettre sans bien grande erreur que, dans la même région, les ouvertures sont proportionnelles aux longueurs des cours d'eau. Des ouvrages existants, on déduira facilement le coefficient de proportionnalité ².

Dans une étude d'avant-projet, et comme première approximation, on pourra sans grande erreur adopter 1^m d'ouverture par km. de développement de la branche principale du cours d'eau, soit :

0^m60 pour de simples dépressions de moins de 250^m ³ ;

0^m70 pour des dépressions de 250 à 500^m ;

1^m00 pour des dépressions de 500^m à 1^{km} ;

1^m50 pour des dépressions de 1^{km} à 1^{km}500, etc...

On mesure la longueur sur le plan ou sur la carte, ou à défaut au pas.

On augmente le débouché pour les ravins qui charrient ; on le diminue pour les ouvrages sous charge.

C. — *Débouché en fonction de la surface du bassin versant.*

J'ai fait relever, pour plusieurs centaines d'ouvrages, les ouvertures, bassins, pentes, etc... Il est à peu près impossible d'en dégager une loi, même par régions bien définies. On a toutefois le sentiment, en établissant des graphiques, que, dans la même région et pour de petits bassins, les ouvertures sont proportionnelles à la racine carrée du bassin versant.

Soient : 2a l'ouverture en mètres, S la surface du bassin versant en hectares. On peut admettre comme première approximation :

Pour un bassin de :	2a =
4 hectares et au-dessous	0 ^m 60.
4 à 400 hectares.....	0 ^m 30 + 0,16 \sqrt{S} .
plus de 400 hectares et jusqu'à 30.000	0,17 \sqrt{S} .

Voici, d'après ces formules, les valeurs de 2a pour S de 0 à 7.000 hectares :

Surface du bassin en hectares S	Ouverture 2a	Surface du bassin en hectares S	Ouverture 2a	Surface du bassin en hectares S	Ouverture 2a
4 ^h	0 ^m 60	424 ^h	3 ^m 50	1.695 ^h	7 ^m 00
7	0 70	554	4 00	1.946	7 50
19	1 00	701	4 50	2.214	8 00
56	1 50	865	5 00	2.803	9 00
113	2 00	1.047	5 50	3.460	10 00
173	2 50	1.247	6 00	4.982	12 00
285	3 00	1.462	6 50	6.782	14 00

2. En Andalousie, pour les cours d'eau torrentiels (Ramblas), lesquels n'ont d'eau qu'à la suite d'orages, nous admettions de 1 mètre à 1^m20 d'ouverture par kilomètre de développement de la branche principale. On avait opéré de même à l'Ouest Algérien.

3. En principe, on place un aqueduc au fond de toutes les dépressions barrées par un remblai. On s'est quelquefois contenté, pour les toutes petites, d'un drain, d'un filtre : c'est une mauvaise pratique.

CHAPITRE II

LEVERS DE DÉTAIL AUX ABORDS DES OUVRAGES

Dans les limites qui intéressent l'ouvrage, on lèvera un plan spécial avec le nombre de cotes convenable.

Les plans levés aux abords des ouvrages doivent être dressés avec le procédé le plus pratique dans chaque cas ; ordinairement, avec une petite ligne de base et des profils en travers sur cette base ; exceptionnellement, dans les terrains difficiles, au tachéomètre.

Ils auront assez de cotes et s'étendront assez loin de chaque côté, surtout à l'amont, pour bien assurer l'entrée et la sortie des eaux, bien placer les têtes, bien orienter l'ouvrage.

C'est sur ces plans spéciaux qu'on lèvera le profil en long de l'ouvrage, puisque c'est sur eux qu'on arrêtera sa direction. Pour les ouvrages à faible pente, spécialement pour ceux d'irrigation, on vérifiera sur le terrain ce profil en long.

Sur le profil en long et sur les profils en travers des cours d'eau, on marquera, si on a pu l'avoir, la ligne des hautes eaux.

CHAPITRE III

HAUTEUR DES PIEDS-DROITS

§ 1. — OUVRAGES SERVANT EXCLUSIVEMENT A L'ÉCOULEMENT DES EAUX

On règle la hauteur des pieds-droits sur celle des hautes eaux.

La revanche sera déterminée comme suit :

Pour les aqueducs de 0^m60 et 0^m70 établis sur des dépressions de moins de 500^m, une revanche de 0^m25 est en général suffisante.

A des ponts sur de grands fleuves, on s'est contenté d'une revanche de moins de 2^m00. On peut, sauf dans des cas tout-à-fait exceptionnels, fixer à 1^m50 la revanche des ponts de 8^m00 en plein cintre.

On fera varier la revanche d'une manière continue de 0^m25 à 1^m50 comme l'indique ce tableau :

Ouverture	Revanche minima	Ouverture	Revanche minima
0 ^m 60	0 ^m 25	4 ^m 00	1 ^m 10
0 70	0 25	5 00	1 20
1 00	0 35	6 00	1 30
2 00	0 60	7 00	1 40
3 00	0 80	8 00	1 50

Pour les voûtes surbaissées, on admettra les mêmes limites, avec cette deuxième condition que les hautes eaux ne dépasseront pas la ligne des naissances.

Il est bien entendu que ces revanches sont des minima, qu'on les augmentera s'il y a lieu, — par exemple, si le cours d'eau entraîne de gros blocs, charrie des arbres, etc., — dans les régions à pluies torrentielles, à sol nu et friable : il faut là, pour prévenir les obstructions, élever sensiblement les pieds-droits des ouvrages.

Art. 1. — Revanche minima au-dessus des plus hautes eaux.

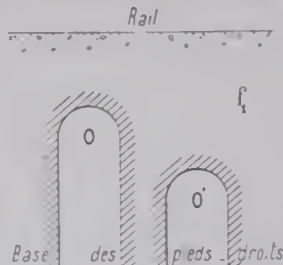
Les Agents qui débutent, cherchent, pour réduire les terrassements, à lécher de trop près le terrain naturel : on empêche ainsi les ouvrages de bien fonctionner, et on expose la plate-forme à être surmontée.

Art. 2. — Hauteur des pieds-droits des ouvrages en plein cintre.

A. — *Minima* : 0^m55.

B. — *Maxima* : 1^m00.

Pour visiter et curer un aqueduc, il faut une ouverture d'au moins 0^m60 et, sous clef, une hauteur d'au moins 0^m85, soit, pour un aqueduc de 0^m60, une hauteur minima de pieds-droits de 0^m55. Pour la plus grande ouverture d'un ouvrage courant, 8^m, on ne peut accepter de poser sur le sol la ligne des naissances. J'adopterai la même limite de 0^m55.



Soient deux ouvrages O et O' (f_1) de même ouverture, pour lesquels il y a même différence de cotes entre le rail et la base des pieds-droits ; O, plus haut et plus court, est (y compris murs en aile ou en retour) plus cher que O', plus bas et plus long.

Il convient donc de limiter strictement la hauteur des pieds-droits à ce qu'impose la revanche de la clef au-dessus des hautes eaux. Sauf cas très exceptionnels, 1^m00 suffit.

C. — *Entre les deux limites de 0^m55 et 1^m00.*

Elle sera déterminée dans chaque cas, soit uniquement par la revanche au-dessus des eaux, soit si, bien que l'ouvrage soit fait pour écouler l'eau, on veut permettre — à titre exceptionnel — à un piéton d'y passer en se courbant.

On adoptera, pour chaque ouverture, 3 hauteurs types de pieds-droits : 0^m55, 1^m, et une hauteur intermédiaire.

§ 2. — OUVRAGES SERVANT DE PASSAGE

Art. 11 du Cahier des charges des grandes Compagnies : « *Lorsque le chemin de fer devra passer au-dessus d'une route nationale ou départementale, ou d'un chemin vicinal, l'ouverture du viaduc sera fixée par l'Administration, en tenant compte des circonstances locales ; mais cette ouverture ne pourra, dans aucun cas, être inférieure à 8^m pour une route nationale, à 7^m pour la route départementale, à 5^m pour un chemin vicinal de grande communication, et à 4^m pour un simple chemin vicinal* »⁴.

« *Pour les viaducs de forme cintrée, la hauteur sous clef, à partir du sol de la route, sera de 5^m00 au moins. Pour ceux qui seront formés de poutres horizontales en bois ou en fer, la hauteur sous poutre sera de 4^m30 au moins...*

« *La hauteur des parapets sera fixée par l'Administration, et ne pourra, dans aucun cas, être inférieure à 0^m80* »⁵.

Pour les chemins ruraux, en général peu importants, on pourra réduire l'ouverture des ouvrages à 3^m et la hauteur sous clef à 3^m50.

Enfin, dans les acquisitions de terrains, il a pu convenir d'accorder aux propriétaires des passages particuliers pour piétons et bestiaux, de 1^m00 à 2^m50 d'ouverture ; on ménagera sous clef des hauteurs variant de 2^m à 2^m75.

On ne dépassera pas 3^m pour la hauteur des pieds-droits des ouvrages en plein cintre de 4^m à 8^m.

Les angles des culées des passages inférieurs doivent être en pierre dure. On les protégera contre le choc des roues des véhicules, par des trottoirs avec bordures, ou par des boute-roues.

4. Toutefois, sauf cas exceptionnels, l'ouverture des passages ne sera pas supérieure à la largeur fixée par l'arrêté de classement de la route ou du chemin.

5. D'après une décision ministérielle du 31 août 1855, la hauteur des parapets en maçonnerie doit être portée à 1^m50 pour les ponts placés à moins de 200^m en avant, et moins de 150^m en arrière du milieu des trottoirs des gares.

CHAPITRE IV

DISPOSITIONS DES OUVRAGES EN PLAN

J'appelle très spécialement l'attention sur la nécessité de bien placer les ouvrages. Il faut que la direction soit bien celle qui convient, et que les têtes soient placées où il faut. Dès qu'il y aura doute ou difficulté, les chefs de section devront faire indiquer devant eux, sur place, avec des jalons, l'emplacement des têtes. On peut relever, dans les lignes construites, quantité d'erreurs d'implantation ⁶ qui sautent aux yeux, et qu'un chef de section un peu soigneux eût évitées en « présentant » l'ouvrage.

Il faut surtout bien étudier sur place l'entrée des eaux, les bien entonner dans l'ouvrage. Si un fossé latéral amène beaucoup d'eau, on l'infléchira un peu avant d'arriver au cours d'eau.

Éviter en principe de dévier les cours d'eau, surtout les torrents. Si on les modifie, les modifier le moins possible : bien s'assurer qu'il n'y aura ni affouillement, ni dépôt, devant, sous, derrière l'ouvrage.

Une modification de cours d'eau impose souvent d'importants travaux de défense.

Dans certains torrents à large lit, il faut parfois prolonger les murs en aile, évasés par des guideaux en enrochements ou en blocs de béton, pour entonner les eaux sous le pont. Ce sont les courants obliques qui sont les plus dangereux.

Il faut enfin que les eaux sortent facilement, et aussi qu'elles ne ravinent pas les propriétés en aval du chemin de fer.

Les murs en aile ⁷ coûtent toujours un peu plus cher que les murs en retour ⁸, surtout pour les ouvrages à radier, du moins en apparence, quand on fait les métrés comparatifs ; mais les murs en retour comportent des gazonnements, souvent des perrés, qu'on ne peut pas évaluer d'avance.

Dans les ouvrages sur torrents, il faut non seulement défendre le pied des quarts de cône, mais quelquefois empêcher par des guideaux les eaux de se jeter sur les remblais et d'y faire brèche.

Pour les ouvrages sans radier, la différence de dépense est très peu importante ; pour les ouvrages à radier, elle peut être négligée pour les portées de 3^m et au-dessous.

S'il y a beaucoup à épuiser, s'il faut fonder sur pilotis, le mur en retour ramassé vaut mieux que de longues et étroites fondations de mur en aile.

Sauf ces cas, les murs en aile seront toujours adoptés :

1° pour tous les ouvrages sous charge de remblai, parce qu'ils résistent mieux à la poussée sur les têtes ;

2° pour tous les ouvrages sur cours d'eau, parce qu'ils assurent mieux l'entrée et la sortie des eaux, et qu'ils ne comportent pas d'ouvrages accessoires ; élever dans ce cas la murette de retour un peu au-dessus des hautes eaux ;

3° pour tous les ouvrages sans radier.

En principe, on n'étudiera de murs en retour que pour les passages inférieurs ne rentrant pas dans les catégories précédentes, c'est-à-dire ceux fondés sur radier général et sans surcharge, ceux où le tracé des chemins imposerait des murs en aile trop évasés ou des murettes trop hautes.

6. Par exemple : un ponceau débouchant en face d'une paroi de rocher — ou trop biais sur le lit à chaque tête....

7. Dits quelquefois en prolongement des pieds-droits.

8. Dits quelquefois en prolongement des têtes.

Art. 1. — Direction, entrée, sortie des eaux.

Art. 2. — Murs en aile ou murs en retour ?

A. — Choisir à faire.

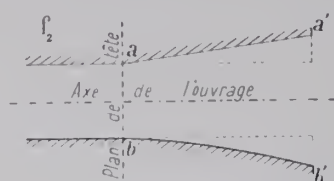
B. — *Évasement des murs en aile.*

Sauf exception motivée, pour les ouvrages de 0^m60 à 1^m00, les murs en aile seront établis sans évasement, en prolongement des pieds-droits.

Les ouvrages de plus de 1^m seront évasés suivant ce que les lieux demandent (entrée des eaux, raccordement avec les chemins latéraux, etc.).

Quand l'évasement ne sera pas motivé, le supprimer.

On pourra le supprimer à l'aval, tout en l'admettant à l'amont.



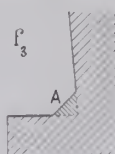
En pratique, l'évasement varie de 1/10 à 1/5.

Les murs en aile (f_2) seront, soit rectilignes (il y aura alors une arête en a), soit suivant une courbe tangente en b aux pieds-droits.

Aux ouvrages de lignes à 1 voie que l'on prévoit devoir être mises à 2 voies, il peut être prudent de ne faire commencer l'évasement qu'au delà de la place de cette seconde voie.

C. — *Remblais derrière les murs et murettes de retour.*

Faire ces remblais en graviers ou en matériaux non décomposables par l'humidité ou la gelée; exclure les terres argileuses, le gypse, etc.



Les murettes de retour s'ouvrent quelquefois en A (f_3) par l'effet du tassement des remblais: ne pas les faire trop longues, et renforcer l'angle rentrant A.

CHAPITRE V

PENTE DES OUVRAGES SUR COURS D'EAU

Sauf ceux pour irrigation qui écoulent des eaux claires et qui sont sur des canaux à faible pente, les ouvrages pour l'écoulement des eaux doivent avoir au moins 0,02 de pente.

Il faut donner aux ouvrages le plus de pente qu'on peut.

Il vaut bien mieux augmenter la pente qui ne coûte rien, que l'ouverture qui coûte cher.

Plus l'ouvrage est petit, plus il est long, plus il faut forcer la pente pour augmenter le débit et prévenir les dépôts.

Un ouvrage peut avoir plusieurs pentes, à condition que la plus petite soit encore suffisante et qu'elles soient bien raccordées.

A la sortie de l'ouvrage, avoir une pente telle que les matériaux entraînés ne s'y déposent pas; il suffira parfois de creuser un peu plus en aval qu'en amont la dérivation ou le lit.

Bien éviter les réductions de pente à l'amont et sous l'ouvrage par rapport au lit d'amont: elles diminueront la vitesse et provoqueraient des dépôts.

Un ouvrage bien fondé peut avoir une inclinaison allant jusqu'à 1/1^e. Au-delà de 30/100, on rejointoyera au ciment le bas des pieds-droits et le radier; avec de pareilles pentes, on n'a jamais à débiter beaucoup d'eau.

9. Exemples d'ouvrages en forte pente:

Lignes de :	Ouverture	Pente	Charge de remblai sur la voûte
Rodez à Millau.....	2 ^m 50	0 168	3
Mende à La Bastide.....	1 00	0 200	0 ^m 50
Brioude à Saint-Flour.....	0 70	0 37	2 90
Morez à Saint-Claude.....	1 00	0 335	6 70
	0 70	0 58	9 20
	2 00	0 71	3 60
Frasne à Vallorbe.....	0 70	0 39	1 80
	1 00	0 36	6 40

Sous aucun prétexte, on ne fera d'ouvrages à chutes, sauf quand le rocher en forme naturellement. Les ouvrages à chutes sont très chers, cassent facilement ¹⁰.

Dans certains cas exceptionnels, on acceptera un mur de chute, mais seulement à la tête aval, en dehors de la voûte : on protégera le pied de la chute par des dalles ou des enrochements.

Dans les terrains friables à forte pente, on coupera les ravins à l'amont par une série de petits barrages à pierres sèches, comme en fait le Service des Forêts.

Quand la pente dépassera 30 0/0, on retournera horizontalement la tête aval, afin de supprimer les angles aigus du bandeau.

On a quelquefois disposé la tête amont perpendiculairement à la pente : c'est laid.

CHAPITRE VI

DES DIFFÉRENTS TYPES D'OUVRAGES

§ 1. — DALOTS ¹¹

Bien qu'on en ait fait beaucoup, il faut éviter les dalots sous le chemin de fer, parce que les dalles peuvent casser brusquement ¹².

Les dalots sous rails doivent avoir au moins 0^m60, au plus 0^m80 de portée, une hauteur sous dalles d'au moins 0^m85.

On a fait des dalots avec des dalles directement sous ballast, d'autres sous charge de 4 à 5^m. Il conviendra de ménager sous ballast un matelas de 0^m30 au moins, 0^m40 si c'est possible.

On acceptera les dalots sous rails à l'entrée des souterrains, quand il s'agira de faire passer un fossé ou les deux fossés de la voie dans l'aqueduc du souterrain. Dans ce cas, la dalle est directement sous le ballast, et la portée est réduite à 0^m40, à 0^m50.

Les dalots sous rails ne seront pas couronnés au niveau du rail, ni même au niveau de la plate-forme ; on appareillera en crossette la dalle de tête, comme pour un ouvrage sous charge.

Pour ceux-là, pas d'ouverture minima ; on pourra descendre à 0^m40 et même 0^m50.

§ 2. — BUSES

Les buses en ciment ont été souvent employées sous rails ¹³. Elles sont trois fois moins chères que les aqueducs de même ouverture.

Comme leurs parois sont plus lisses, à égalité de section et de pente, elles débitent plus. (Voir plus loin la table T₁.)

Elles sont ordinairement moins chères que les dalots ; mais, comme eux, exposées à casser.

Il est prudent de ne les accepter que dans des cas tout à fait exceptionnels, et de préférence pour écouler des eaux claires (irrigations, sources).

Pour éviter des ruptures, on ménagera toujours, entre le dessous du ballast et le dessus de la buse, un matelas aussi épais que possible, jamais moins de 0^m50.

On n'emploiera pas de tuyaux achetés tout faits.

Les buses seront toujours faites, en place, autour d'un moule dont la surface est la douelle de la buse.

10. Il y en a eu beaucoup de cassés entre Millau et Séverac.

11. On a écrit dalots et non dallots, d'après Littré.

12. On pourrait, toutefois, les admettre dans certaines régions où l'on trouve des dalles d'un schiste très résistant et élastique (par exemple à Lourdes).

13. Sous la ligne de Marvejols à Neussargues, il y a 1.023^m de buses de 0^m70. J'en ai construit beaucoup : en Espagne, et sous de très grands remblais ; — sous les lignes de Mende à La Bastide, de Brioude à Saint-Flour (42 buses — charge maxima de remblai : 4^m). Il n'y a jamais eu d'accidents ni d'inconvénients pour l'écoulement des eaux, même sales, à condition que la buse eût une pente d'au moins 0,02.

Art. 1. — Sous rails.

Art. 2. — Hors la voie.

Art. 1. — Buses en ciment.

A. — Sous rails.

On ne tolérera que très exceptionnellement qu'elles soient faites par tuyaux pilonnés verticalement à côté de l'ouvrage : les joints en seront fermés par un bourrelet en béton (500^k de ciment pour 1^m de sable et « graville »).

Le diamètre sera d'au moins 0^m60, d'au plus 0^m80 : au-delà, il devient difficile de bien faire une buse en ciment non armé.

B. — Hors la voie.

Hors la voie, la rupture d'une buse est plus rare et moins grave. On ménagera un matelas de 0^m30 au moins entre le chemin et le dessus de la buse.

Pas de minimum d'ouverture prescrit ; on ne descendra pas toutefois au-dessous de 0^m30.

Les buses sous et hors la voie seront enveloppées de terre pilonnée sur 0^m30 au moins.

Art. 2. — Buses en fonte pour irrigations.

Pour les eaux d'irrigation, on peut aussi employer des buses en fonte.

Il convient de les établir en déblai sous une certaine charge de plate-forme. Avoir soin de ménager, à l'amont, un petit puisard pour décanter les eaux, et de tenir l'entrée de la buse à 0^m15 au-dessus du fond du puisard.

La pente de ces buses peut être abaissée à 0,002.

Elles sont en général plus chères que les buses en ciment de même section : pour leurs joints (à emboîtement et cordon), il faut des ouvriers spéciaux.

On ne les emploiera donc que pour les diamètres inférieurs à 0^m30, limite au-dessous de laquelle il n'est pas pratique de faire, sur les chantiers, des buses en béton de ciment.

§ 3. — CHOIX, POUR LES PETITS OUVRAGES HORS LA VOIE, ENTRE L'OUVRAGE VOÛTÉ, LE DALOT ET LA BUSE.

En général, l'aqueduc voûté est beaucoup plus cher que le dalot, et celui-ci, un peu plus cher que la buse.

Sauf exceptions motivées, employer le dalot pour les ouvertures de moins de 0^m30. Pour celles de 0^m30 inclus à 0^m80 inclus, employer toujours la buse en ciment ou le dalot : on choisira d'après le prix.

0^m80 est la limite d'ouverture des buses en ciment (en ciment non armé).

Pour les dalots, la limite est celle que donnent les matériaux du pays.

On ne dépassera pas en général 0^m80, ce qui exige des dalles de 1^m10 à 1^m20.

S'il s'agit de canaux d'irrigation, préférer toujours en principe la buse en ciment, qui à égalité de section débite plus, ou la buse en fonte pour les diamètres inférieurs à 0^m30.

§ 4. — SIPHONS SOUS RAILS

On les évitera, parce qu'ils sont difficiles à entretenir, et qu'ils donnent lieu à des difficultés avec les intéressés.

Il ne faut pas non plus en avoir une peur exagérée : ils fonctionnent bien lorsque les eaux sont claires et bien décantées par des puisards.

Les tuyaux de siphons seront en fonte ou en béton de ciment, ou même en maçonnerie, suivant leur ouverture et la charge d'eau.

Quand on a beaucoup d'eau à débiter, il vaut mieux accoler deux tuyaux qu'établir un seul tuyau d'un grand diamètre, parce qu'on a toujours intérêt à réduire la hauteur et que, d'autre part, en cas d'accident ou d'obstruction, il y a chance qu'un tuyau sur deux fonctionne.

§ 5. — BÂCHES EN TÔLE OU EN BÉTON ARMÉ

Quand une rigole d'irrigation est coupée à plus de 4^m80 au-dessus du rail, on examinera si, au lieu de la faire siphonner, il n'y aurait pas avantage à la faire passer par dessus le rail dans une bache.

§ 6. — OUVRAGES SOUS CHARGE DE REMBLAI

Un ouvrage sous charge coûte toujours moins cher qu'un ouvrage couronné au niveau de la plate-forme ¹¹. On ne cherchera donc pas à augmenter la hauteur des pieds-droits, sauf pour

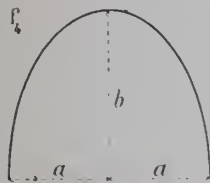
¹¹ Voir plus haut p. 10.

Art. 1. — Les adopter en principe.

ceux sur cours d'eau, quand il y a intérêt à augmenter le débouché, et lorsqu'il y aurait peu à augmenter la hauteur, pour atteindre le niveau de la plate-forme.

Pour les ouvertures de 2^m et au-dessus, sous charge de remblai de plus de 5^m, on pourra adopter, si l'économie en vaut la peine, des ouvrages en ellipse surhaussée ¹⁵.

Il n'y aura que 2 types (f_4) :



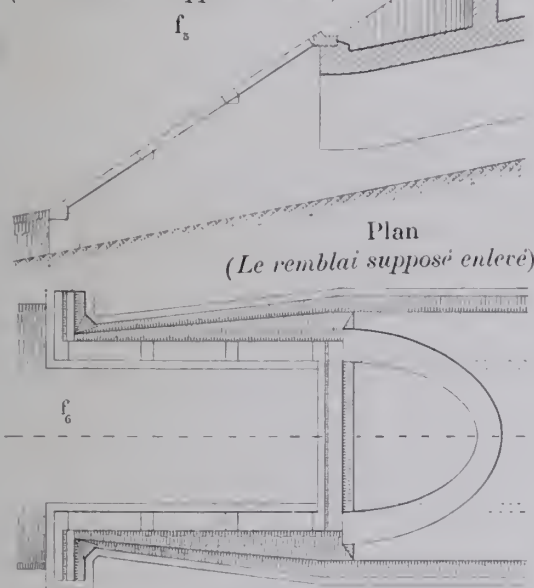
$$b = 1,5 a \quad \frac{b}{2a} = \frac{3}{4} = 0,75 \quad (\text{Type 1}).$$

$$b = 2 a \quad \frac{b}{2a} = 1 \quad (\text{Type 2}).$$

Pour la même hauteur sous clef, l'ellipse surhaussée cube moins de maçonnerie que le plein-cintre sur pieds-droits.

On adoptera le type 1, moins cher, quand sa revanche suffira.

Coupe longitudinale
(Le remblai supposé enlevé)



Sous un haut remblai, et surtout si l'ouvrage est en très forte pente, on peut craindre que la tête la plus basse se détache du corps.

Pour reporter la poussée sur les murs en aile, on a quelquefois ¹⁶ établi, à la tête la plus basse, une voûte à axe vertical en plein cintre; elle serait, plus utilement, en ellipse surhaussée ou en ogive (f_5 - f_6).

Ce dispositif ne sera pas appliqué sous charge de remblai de moins de 5^m.

Art. 2. — Ouvrages en ellipse surhaussée.

Art. 3. — Voûtes à axe vertical reportant sur les murs en aile la poussée du remblai.

15

Exemples :

Renvoi 15 (suite).

Lignes de :	Ouverture	Charge de remblai sur la voûte
Mende à Sévérac	2 ^m 00	25 ^m 00
Linarès à Almería (Espagne) ...	3 ^m 00	23 ^m 11
	1 ^m 00	8 ^m 09
	7 ^m 00	9 ^m 85
Mende à La Bastide	2 ^m 00	18 ^m 30
Embranchement de Stravopol (Russie) ...	1 ^m 00	12 ^m 65
	2 ^m 00	19 ^m 76
Pétrovsk à Bakou (Russie)	6 ^m 10	16 ^m 85
	8 ^m 51	6 ^m 00
Tikhoretskaïa à Tzarytsine (Russie) ...	1 ^m 92	21 ^m 27
	2 ^m 67	5 ^m 38
	6 ^m 06	34 ^m 20
Langogne au Puy	2 ^m 00	5 ^m 50
	1 ^m 00	10 ^m 00

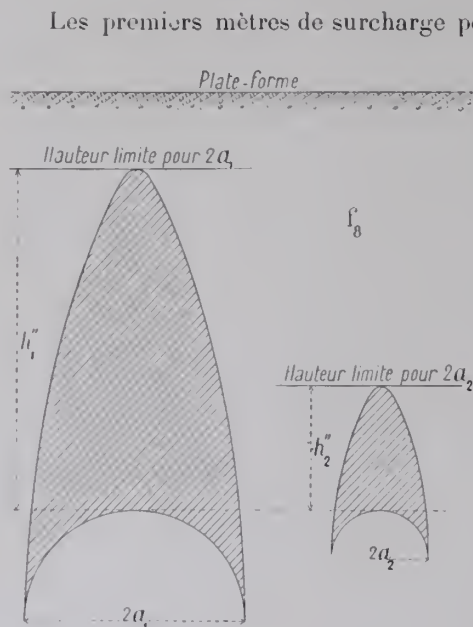
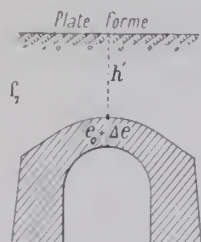
16

Lignes de :	Ouverture	Charge de remblai sur la voûte
Brioude à Saint-Flour	2 ^m 00	7 ^m 64
	2 ^m 00	9 ^m 65
	2 ^m 50	32 ^m 20
	3 ^m 00	15 ^m 77
	4 ^m 00	13 ^m 03
	5 ^m 00	13 ^m 88
	5 ^m 00	11 ^m 10

Lignes de :	Ouverture	Pente	Charge de remblai sur la voûte
Rodez à Millau	1 ^m 20	0,148	25 ^m 00
Mende à Sévérac	2 ^m 00	0,075	12 ^m 65
	1 ^m 00	0,167 et 0,20	12 ^m 30
	1 ^m 50	0,20	17 ^m 10
Marvejols à Neussargues	1 ^m 00	0,15 et 0,20	9 ^m 90
	2 ^m 00	0,20	5 ^m 10

Art. 4. — Supplément d'épaisseur des ouvrages sous charge de plus de 3^m de remblai.

A. — A la clef: Δe (f_7).



Les premiers mètres de surcharge pèsent de tout leur poids sur la voûte, mais le remblai des mètres suivants s'arc-boute au-dessus; ne pèse sur la voûte que la terre comprise dans une sorte d'ogive ou d'ellipse surhaussée (f_8) dont la montée augmente avec l'ouverture de l'ouvrage.

Il doit y avoir, pour chaque ouverture, une hauteur limite de surcharge h'' à partir de laquelle un supplément de remblai ne donne plus de supplément de poussée ¹⁷.

C'est ainsi que des souterrains tiennent sous d'épaisses masses en mouvement.

J'admets que Δe doit :

1° — être nul pour des surcharges de 3^m et au-dessous ;

2° — augmenter avec l'ouverture $2a$ et la surcharge h' ;

3° — cesser de croître à partir d'une certaine limite h'' de surcharge, laquelle augmente avec l'ouverture $2a$;

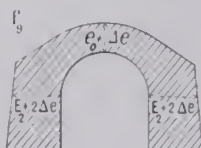
4° — être limité :

pour la portée de 5^m (souterrain à une voie) : à 0^m25 avec une hauteur limite $h'' = 16^m$.

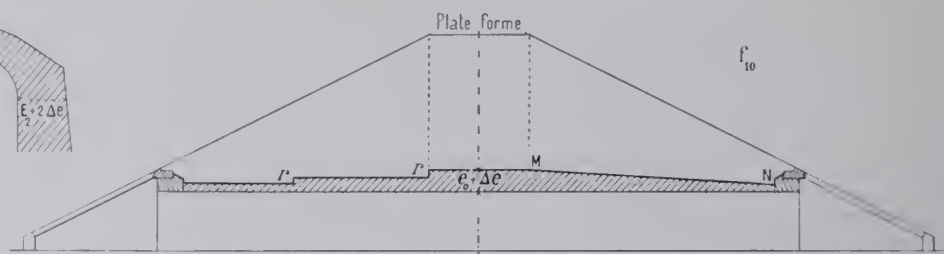
pour la portée de 8^m (souterrain à 2 voies) : à 0^m36 avec une hauteur limite $h'' = 20^m$.

C'est d'après ces données qu'a été dressé au Titre II, chapitre I, § 1, art. 3, le tableau II des valeurs numériques de Δe .

B. — Aux naissances (f_9).



On a admis $2 \Delta e$.



C. — Comment varie l'épaisseur de la voûte, d'une tête à l'autre (f_{10}).

L'épaisseur aux têtes et jusqu'à 3^m de surcharge est e_0 . Elle est $e_0 + \Delta e$ sur toute la largeur de la plate-forme.

De chaque tête au bord de la plate-forme, on gagnera le supplément Δe soit par une ligne continue d'extrados M N, soit par des ressauts r (f_{10}).

§ 7. — OUVRAGES COURONNÉS AU NIVEAU DU RAIL OU AU NIVEAU DE LA PLATE-FORME ?

Jusqu'à 3^m de portée, l'ouvrage couronné au niveau de la plate-forme coûte moins cher ; de 3^m à 6^m, il coûte plus cher, mais la différence est négligeable. Il a l'avantage de conserver à la plate-forme sa largeur normale ; on le préférera donc jusqu'à 6^m inclus.

17. On a impunément chargé des buses en ciment de hauts remblais, déposé à titre provisoire des remblais sur une file de tonneaux faisant aqueduc...

Pour 7^m et 8^m, bien que les différences soient peu importantes, on fera l'étude comparative.

Il peut y avoir quelquefois intérêt à couronner au niveau du rail les passages inférieurs à murs en retour, lorsque les chemins aux abords tournent très court; on gagne ainsi 0^m65 environ à chaque tête.

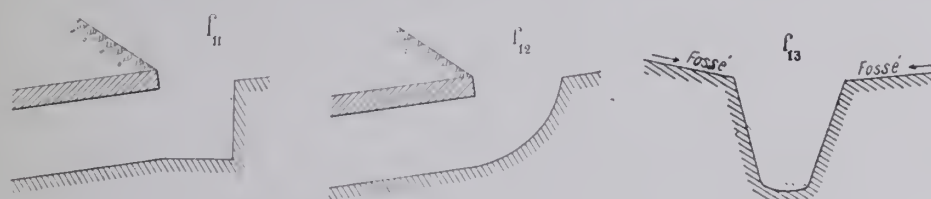
§ 8. — PUISARDS

Pour les ouvrages à flanc de coteau, il faut souvent placer un puisard à la tête amont.

L'inconvénient¹⁸ des puisards est qu'ils s'obstruent par les matières entraînées, la neige... : il est particulièrement grave là où, comme dans les Cévennes, tombent de grosses pluies d'orage et où le terrain est très friable.

Pour réduire le danger d'obstruction, il faut :

1° — diminuer, autant que possible, le cube des matières entraînées, en maçonnant les fossés, les descentes d'eau et les parois des puisards, quand la roche n'est pas très solide ;



2° — pour que les matières ne séjournent pas dans le puisard, se bien garder, comme on l'a fait souvent fort à tort, d'araser horizontalement le plafond du puisard (f_{11}) : il faut, tout au contraire, lui donner beaucoup de pente, ou le dresser en courbe à très forte pente (f_{12}) ;

3° — pour éviter, en outre, les accumulations d'atterrissements le long des pieds-droits et faciliter le nettoyage du puisard, dresser en fruit ses muraillements (f_{13}) ;

4° — pour que les matières soient facilement entraînées par l'aqueduc, lui donner une très forte pente, 20 0/0 au moins si on le peut.

§ 9. — OUVRAGES BIAIS¹⁹

Il faut éviter les appareils biais.

Sur un cours d'eau tranquille, on peut presque toujours placer l'ouvrage normalement au chemin de fer ; les ouvrages droits sont plus courts, leurs têtes plus faciles à appareiller.

On pourra aussi courber en plan les longs ouvrages pour supprimer ou réduire le biais des têtes.

S'il faut accepter un ouvrage biais, on se conformera aux indications suivantes :

1° — Le biais (angle aigu du tracé et des pieds-droits) sera en nombre rond de degrés.

2° — Il n'y aura pas de changement de pente du tracé entre les projections sur lui des points extrêmes de l'ouvrage. Au besoin, on modifierait légèrement son profil en long.

3° — De 90° à 80°, les têtes seront appareillées comme droites.

4° — De 80° à 70°, la douelle sera celle d'une voûte droite. On retournera seulement les voussoirs de tête normalement aux têtes (V, p. 74).

5° — De 70° à 55°, on adoptera l'appareil hélicoïdal pour les arcs surbaissés, l'appareil

18. Il ne faut pas se l'exagérer. Entre Marvejols et Saint-Sauveur de Peyre, sur 34 aqueducs à puisard, au bout de 15 ans (de 1879 à 1894), tous ont été trouvés en bon état, fonctionnant bien, sauf un qui était engorgé, parce qu'il n'était pas revêtu et que la roche était délitée.

19. Voir Tome V, p. 72.

Art. 1 — Ouvrages couronnés au niveau du rail ou au niveau de la plateforme.

L'éveillé ²⁰ pour les pleins cintres et les ellipses ;

6° — Quand le biais sera de moins de 55° ²¹, on étudiera un tablier à poutrelles enrobées de béton, ou, à défaut, un tablier métallique.

Pour les ouvrages dont la longueur entre têtes sera supérieure à quatre fois l'ouverture biaise, on n'appareillera en biais, à partir de chaque tête, qu'une longueur égale à cette ouverture.

Art. 2. — Ouvrages sous charge.

Pour tous les ouvrages sous charge, les têtes resteront droites, c'est-à-dire perpendiculaires à l'axe de l'ouvrage, sous plinthes rampantes, à condition que le remblai soit assez haut pour que la plinthe ne sorte pas de la plate-forme. (Voir plus loin Titre II, chapitre V).

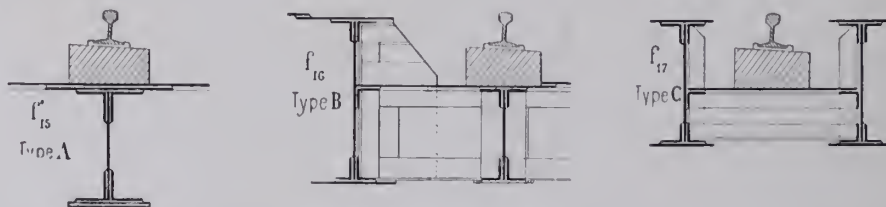
§ 10. — *TABLIERS MÉTALLIQUES, POUTRELLES ENROBÉES.*

Art. 1. — Tabliers métalliques.

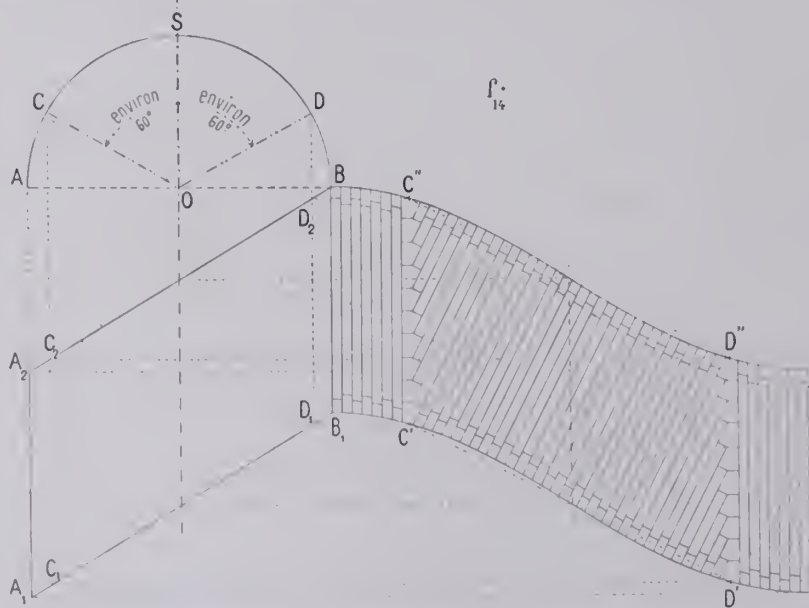
La longrine sous le rail repose : soit directement sur la poutre principale (Type A, f_{15}) ; soit sur un longeron (Type B, f_{16}) ; soit dans une poutre à caisson (Type C, f_{17}).

On choisira suivant l'épaisseur dont on dispose, (l'épaisseur est la distance verticale entre le dessus du rail bas et le point le plus bas du dessous des poutres principales).

Si la hauteur est suffisante, on adoptera le type A plus économique ; si non, — soit le type B, dont les longerons s'inscrivent facilement dans les courbes à petit rayon, — soit le type C, si la hauteur manque.



Pour un pont biais, la portée des poutres sera comptée suivant le biais ; à l'ouverture biaise, on ajoutera la distance à réserver entre les bords des sabots et les parements des culées, laquelle est au moins 0^m10 comptée normalement au parement de la culée.



20. Dans l'appareil L'éveillé (f_{14}), les segments de voûte AC et BD, au-dessous du milieu de la montée, sont traités comme un berceau droit (assises parallèles à la ligne des naissances) ; le cerveau CSD, au-dessus du milieu de la montée, est en appareil hélicoïdal. Pour CSD, sur la douelle développée, les lignes d'assises sont des droites perpendiculaires aux cordes C'D', C''D'' des courbes de tête développées. Pratiquement, l'angle COS = SOD sera pris (près de et un peu au-dessus de 60°), de façon que tous les voussoirs des têtes aient même largeur en douelle et que le point S tombe au milieu d'un voussoir.

21. A la page 75 du Tome V, on a indiqué 50° comme limite du biais ; on l'a élevée ici à 55° pour les ouvrages courants.

Voici les épaisseurs des trois types :

Ouverture droite	Type A		Type B		Type C	
	N° des types	Épaisseur de tablier	N° des types	Épaisseur de tablier	N° des types	Épaisseur de tablier
0 ^m 60	»	»	Au-dessous de 0 ^m 70 d'épais- seur, on n'a plus assez de hau- teur pour bien fixer les lon- gerons aux entretoises.		»	0 ^m 502
0 70	»	»			»	(si la haut. manque, 0 401)
1 00	»	»			»	»
1 50	N° 1	0 ^m 600			N° 21	0 502
2 00	2	0 640	N° 13	0 ^m 730	22	0 502
3 00	3	0 652		0 735	23	0 502
4 00	4	0 740		0 735	24	0 504
5 00	5	0 812		0 735	25	0 511
6 00	6	0 900		0 735	26	0 526
7 00	7	0 980		0 735	27	0 558
8 00	8	1 080		0 793	28	0 624

Ces épaisseurs de tablier sont pour le rail de 130^{mm} de hauteur (Vignole de 39^k). Elles devront être augmentées de 0^m012, pour celui de 142^{mm} de hauteur (Vignole de 48^k).

Depuis quelques années, on fait couramment des tabliers sous rails avec des poutrelles d'acier en **I** enrobées de béton de ciment : ciment 300^k, sable 400^l, gravier ou pierre cassée 800^l.

Jusqu'à la portée de 10^m, les poutrelles ont les hauteurs que fournissent couramment les forges.

Dans les calculs de résistance, on ne tient compte que des poutrelles.

Les tabliers à poutrelles enrobées ont, sur les métalliques, les avantages suivants :

1° — ils sont très faciles à exécuter ;

2° — on y pose la voie sur ballast et sur traverses, comme en voie courante ;

3° — ils ne demandent pas plus d'entretien que les ouvrages voûtés : l'acier enrobé de béton ne craint plus la rouille.

Si l'épaisseur de l'ouvrage n'est pas strictement limitée, on protégera le dessous des poutrelles, spécialement au-dessus des cours d'eau et des voies de chemins de fer, par un enduit en mortier de ciment : l'épaisseur du tablier est alors augmentée de 0^m030.

Voici, pour des ouvertures de 0^m60 à 8^m en palier, l'épaisseur des divers types d'ouvrages, comptée à partir du dessus du rail bas (0^m50 au-dessus de la plate-forme).

Ouverture	Épaisseur entre le dessus du rail bas (0 ^m 50 au-dessus de la plate-forme) et le dessous des :			Economie d'épaisseur des tabliers métalliques du type C par rapport :	
	tabliers métalliques (type C)	poutrelles enrobées (non compris la chape inférieure)	clefs des ouvrages voûtés (sans le matelas <i>m</i> sur la chape <i>f₁₂</i> - p. 21)	aux ouvrages avec poutrelles enrobées	aux ouvrages voûtés (sans le matelas <i>m</i> sur la chape <i>f₁₂</i> - p. 21)
0 ^m 60	0 ^m 401 ou 0 ^m 502	0 ^m 760	0 ^m 90	0 ^m 359 ou 0 ^m 258	0 ^m 499 ou 0 ^m 398
0 70	0 401 ou 0 502	0 760	0 91	0 359 ou 0 258	0 ^m 509 ou 0 ^m 408
1 00	0 401 ou 0 502	0 760	0 94	0 359 ou 0 258	0 ^m 539 ou 0 ^m 438
1 50	0 502	0 780	0 98	0 278	0 478
2 00	0 502	0 800	1 02	0 298	0 518
2 50	0 502	0 820	1 05	0 318	0 548
3 00	0 502	0 850	1 08	0 348	0 578
3 50	0 502	0 880	1 11	0 378	0 608
4 00	0 504	0 910	1 16	0 406	0 656
5 00	0 511	0 970	1 20	0 459	0 689
6 00	0 526	1 030	1 25	0 504	0 724
7 00	0 558	1 090	1 28	0 532	0 722
8 00	0 624	1 150	1 32	0 526	0 696

22. Adoptés dès 1901 par la C^e de l'Est ; aujourd'hui, par l'Etat, l'Orléans, le PLM.

Art. 2. — Tabliers à poutrelles enrobées de béton ²².

Les épaisseurs des ponts à poutrelles enrobées peuvent légèrement varier s'ils sont en rampe. En palier, ou en rampe de moins de 0,015, on dresse la chape en dos d'âne, à pentes de 0,015, de manière à renvoyer les eaux vers les culées; en rampe de 0,015 ou plus, la chape a celle de la voie : les eaux vont à la culée basse.

Art. 3. — Choix à faire entre les voûtes, les tabliers à poutrelles enrobées et les tabliers métalliques ²³.

Adopter toujours l'ouvrage voûté, lorsqu'il est possible.

Lorsqu'il ne l'est pas (manque de hauteur, biais trop aigu), préférer le tablier à poutrelles enrobées au tablier métallique.

N'accepter le tablier métallique que si on n'a pas la hauteur pour le tablier à poutrelles enrobées.

Sous les tabliers sur cours d'eau, à poutrelles enrobées ou métalliques, les revanches minima sont celles données pour les ouvrages voûtés en plein cintre (p. 9).

§ 11. — QUELQUES DISPOSITIONS EXCEPTIONNELLES.

Les ouvrages devront toujours être exactement adaptés, ajustés au terrain.

Ce ne seront pas des ouvrages « de confection » : ils seront faits sur mesure, je veux dire qu'ils doivent être faits pour le terrain et le cours d'eau, et non le terrain ou le cours d'eau pour eux.

Il faudra, dans certains cas, accepter des ouvrages courbes en plan et même courbes en profil.

Dans les ravins à grande pente, il y aura quelquefois avantage à faire déboucher les ouvrages de flanc, en dehors et au-dessus du thalweg. Dans ce cas, si la tête amont est aussi en dehors du thalweg, il faut remblayer à l'amont pour combler l'ancien lit, conduire les eaux au nouveau, les écarter du pied du remblai. Dans l'ancien thalweg, sous le remblai, on disposera un drain à pierres sèches ou un simple filtre pour écouler les eaux d'infiltration.

Les ouvrages ainsi établis en dehors du thalweg doivent être tout entiers en déblai, je veux dire que le lit d'amont, l'ouvrage et le lit d'aval doivent être en déblai.

CHAPITRE VII

CHAPES

Art. 1. — Leur constitution suivant l'ouverture.

Pour les voûtes de moins de 4^m, l'extrados sera revêtu d'une chape en mortier de chaux hydraulique, en 2 couches de 0^m03 massivées à la savate.

Pour celles de 4^m et au-dessus, sur la première chape en chaux de 0^m03, on étalera une chape en asphalte de 0^m015 (2 couches de 0^m0075 — la première en mastic pur additionné de 7 0/0 de son poids de bitume, la seconde avec une 1 2 partie de sable, 1 de mastic pur additionné de 7 0, 0 de son poids de bitume), puis on défendra cette chape par une contre-chape en béton maigre de ciment de 0^m04.

On barbonillera de 3 couches de coaltar (goudron minéral bouillant et flambé) :

1° — les chapes non asphaltées (ouvrages de moins de 4^m) ;

2° — tous les parements cachés des maçonneries.

23. On avait jusqu'à ces derniers temps accepté, pour des ouvertures de 0^m70, des aqueducs dits à plancher : rails sur longrines en bois. Sous les charges et les vitesses croissantes, les longrines ne sont plus assez sûres.

Au-dessus de la chape, on ménagera, autant que possible, sous le ballast, une épaisseur de remblai de 0^m40, ce qui porte la hauteur totale entre le dessus du rail et l'extrados de la clef à :

Ouvrages de moins de 4^m d'ouverture :

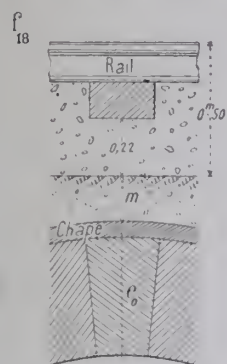
0^m06 (chape) + 0^m40 (matelas) + 0^m50 (ballast) = 0^m96.

Ouvrages de 4^m d'ouverture et au-dessus :

0^m085 (chapes et contre-chape) + 0^m40 (matelas) + 0^m50 (ballast) = 0^m985.

Mais en appliquant rigoureusement cette prescription, on réduirait beaucoup le nombre des ouvrages voûtés, ce qui serait fort regrettable.

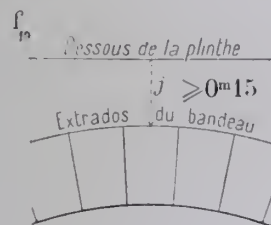
Pour la plupart des ouvrages courants de la ligne de Montauban à Castres, situés dans la plaine du Tarn et de l'Agoût, souvent sur d'autres lignes, on n'a pu adopter la maçonnerie qu'en réduisant sensiblement, voire même en supprimant, le matelas de remblai sous le ballast.



Au-dessous de la traverse portant le rail de 48 kilos, il reste une épaisseur de ballast de 0^m22 (f_{18}); avec un matelas m réduit à 0^m18, on disposera donc encore d'une épaisseur de 0^m40, bien suffisante pour protéger contre les pinces des poseurs les chapes des ouvrages qui, du reste, ne sont exposées qu'au sommet de la voûte.

A nombre d'ouvrages, il n'y a que 0^m65 entre le dessus du rail et la chape, soit un matelas de 0^m15 sous le ballast.

Il doit donc être entendu que l'épaisseur de 0^m40 pour le matelas est désirable; qu'un matelas de 0^m30 est encore fort convenable; qu'on pourra sans très grave inconvénient le réduire à 0^m20, à 0^m15, qu'il pourra encore être réduit, et même à la rigueur supprimé.



Entre le dessous de la plinthe et l'extrados du bandeau ²¹, il faut (f_{19}) $j \geq 0.15$, épaisseur d'un moellon.

Si le matelas m (f_{18}) était trop réduit, on n'aurait pas 0^m15 : alors on prolongerait la clef et, au besoin, les deux contre-clefs jusque sous la plinthe, soit en continuant les lits du bandeau, soit en les retournant verticalement.

CHAPITRE VIII

COURONNEMENT

§ 1. — PLINTHES

Pour les ouvrages couronnés au niveau de la plate-forme, la plinthe sera en saillie de 0^m05 sur la plate-forme.

Pour ceux couronnés au niveau du rail, le dessus de chaque plinthe sera toujours de 0^m10 en contre-bas du rail voisin.

Donc, dans les courbes, la plinthe du côté du grand rayon sera surhaussée du dévers par rapport à l'autre.

Dans les pentes, chaque plinthe aura la pente du rail voisin.

Pour les ouvrages sous charge, la plinthe sera en crossette, sans saillie sur le plan du talus.

24. Les dimensions de la plinthe et du bandeau sont données Titre II, Chapitre I.

Art. 2. — Matelas
entre le dessus de
la chape et la plate-
forme, pour les ou-
vrages non sur-
chargés.

Art. 1. — Niveau du
dessus.

Art. 2. — Tracé dans les courbes.

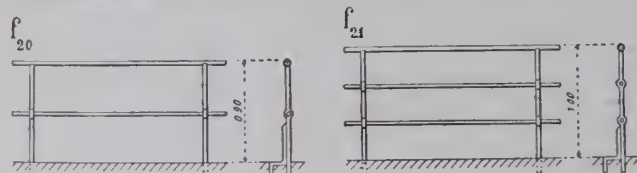
En courbe et en raccordement parabolique :

1^o — Pour les ouvrages à murs en aile, les plinthes et les têtes seront droites et parallèles à la corde du tracé sur la longueur des plinthes.

2^o — Pour les ouvrages à murs en retour, les plinthes, têtes et murs en retour seront courbes et parallèles à la courbe du tracé.

§ 2. — GARDE-CORPS**Art. 1. — Ouvrages sous rails.**

Pour tous les ouvrages sous rails, on n'emploiera que des gardes-corps métalliques et non des parapets en maçonnerie, savoir :

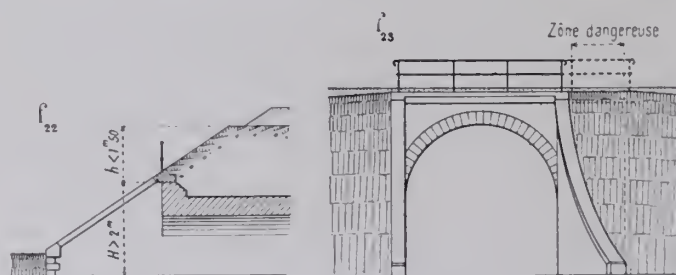
A. — Types.

dans tous les ouvrages hors des gares, le type à 2 lisses horizontales (f_{20}), de 0^m90 de hauteur pesant 13^k le mètre courant ;

dans les gares et aux abords (à moins de 200^m en avant et moins de 150^m en arrière du milieu des trottoirs), le garde-corps à trois lisses (f_{21}) de 1^m00 de hauteur pesant 21^k le mètre courant.

B. — Sur quels ouvrages ?

On ne mettra de garde-corps que :



1^o — sur tous les ouvrages couronnés au niveau du rail ;

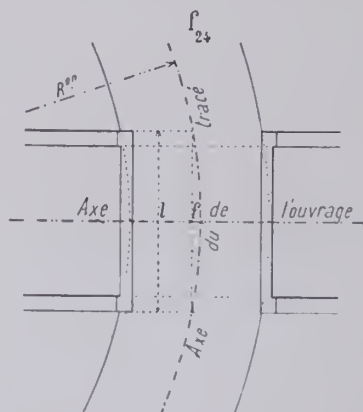
2^o — sur ceux de 1^m00 d'ouverture et au-dessus, si le dessous de la plinthe remplit les deux conditions suivantes : (f_{21})

α — être à plus 2^m00 au-dessus du radier ;

β — être au niveau de la plate-

forme ou à moins de 1^m50 au-dessous.

On prolongera les garde-corps si les abords des ouvrages sont dangereux, ²⁵ ouvrages à murs en aile biais ou courbes (f_{23}).

C. — Distance à l'axe de la voie voisine.

En alignement, la distance de la face intérieure du garde-corps à l'axe de la voie voisine sera de :

2^m90 pour les ouvrages couronnés au niveau de la plate-forme ;

2^m255 ²⁶ pour les ouvrages couronnés au niveau du rail.

En courbe (f_{21}), pour les ouvrages avec murs en aile, la distance de la face intérieure du garde-corps à l'axe de la voie voisine, mesurée suivant l'axe de l'ouvrage, sera :

25. Une dépêche ministérielle du 15 février 1898 invite la Compagnie P.L.M. à prolonger les garde-corps des ouvrages dangereux.

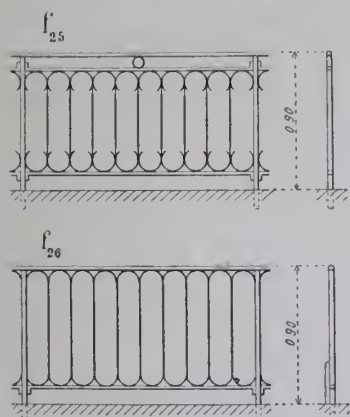
26. 1^m50 (distance libre à l'axe du rail voisin. — Règlements ministériels sur les ponts métalliques des 29 août 1891, art. 11, et 8 Janvier 1915, art. 27) + $\frac{1^m51}{2}$ (demi-voie) = 2^m255.

	Du côté du grand rayon	Du côté du petit rayon
Ouvrages couronnés au niveau de la plate-forme...	$2^m90 + \frac{7}{5} D^{27}$	$2^m90 + f$
Ouvrages couronnés au niveau du rail	2^m255	$2^m255 + \frac{3}{5} D^{28} + f$

D est le dévers maximum de la voie ;

$f = \frac{l^2}{8R}$ est la flèche du tracé en courbe de rayon R, sur la longueur l des plinthes, y compris la largeur des rampants.

Pour les ouvrages avec murs en retour, on ne tiendra pas compte de la flèche f.



On adoptera :

pour les ouvrages hors des villes, le garde-corps à maillons ²⁹ de 0^m90 de hauteur (f₂₅) pesant 33^k le mètre courant ;

aux abords des villes ou sur les routes très fréquentées, un type (f₂₆) un peu plus robuste pesant 35^k le mètre courant.

Dans certains cas, bien qu'il augmente la largeur entre têtes, on adoptera un parapet en maçonnerie ; il est un peu plus sûr, et ne demande pas d'entretien. On supprimera alors la plinthe : elle n'est pas motivée entre un tympan et un parapet pleins de même aspect.

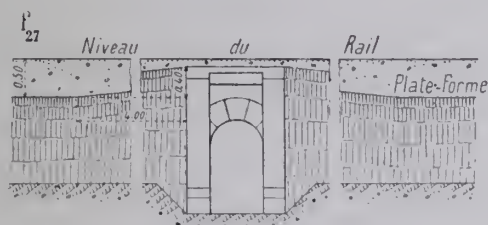
Art. 2. — Ouvrages hors la voie.

En dressant les projets des ouvrages, on distribuera les panneaux du garde-corps et on appareillera les pierres de taille du couronnement, de manière à ne pas avoir de montants à sceller à moins de 0^m15 des joints.

Les garde-corps métalliques doivent être peints en gris très clair et non en nuance foncée, pour réduire la dilatation, pour mieux voir si le garde-corps commence à s'oxyder.

CHAPITRE IX

ABORDS



De part et d'autre des abouts des plinthes (f₂₇), la banquette sera relevée de 0^m40 et se raccordera à la plate-forme sur une longueur de 4^m.

Si l'ouvrage est avec murs en retour, on établira le remblai de façon que les sommets des quarts de cône soient au niveau du dessus de la plinthe et

dans le plan du parement du mur. Sans cette précaution souvent négligée, ces ouvrages semblent déchaussés ou mal tracés.

Les quarts de cône non revêtus seront toujours au talus de 3/2.

27. $\frac{7}{5} D$, pour ne pas rétrécir la largeur de la banquette sur les ouvrages arasés au niveau de la plate-forme du côté extérieur des courbes.

28. $\frac{3}{5} D$, pour conserver la même distance entre le sommet du garde-corps supposé de 0^m90 de hauteur et les wagons inclinés par le dévers :

$$D \times \frac{0^m90 \text{ (garde-corps)}}{1^m50 \text{ (largeur de la voie)}} = \frac{3}{5} D$$

29. Avec vides d'au plus 14 cm, un enfant qui commence à marcher ne peut pas passer à travers.

Art. 1. — Comment on relève la banquette aux abords des ouvrages couronnés au niveau du rail.

Art. 2. — Quarts de cône.

On aura soin de les bien défendre : s'ils s'éboulaient, ils pourraient entraîner assez de remblai pour interrompre la circulation.

Art. 3. — Ouvrages hors la voie.

Sauf le cas où leurs terrassements feraient corps avec ceux de la ligne, les ouvrages sous un chemin latéral doivent être bien séparés des ouvrages sous la voie, ceci en vue de la remise aux intéressés.

On réduira autant que possible le nombre des ouvrages à remettre plus tard à des particuliers : passages privés, aqueducs, bâches, siphons pour canaux d'irrigation, etc. La remise et l'entretien ultérieurs donnent fréquemment lieu à des difficultés avec les intéressés : il peut être moins coûteux de les indemniser que de faire l'ouvrage.

Art. 4. — Remblais contre les ouvrages.

On choisira des déblais perméables et qui n'attaquent pas le mortier : des déblais rocheux, du gravier, des pierres cassées ; on exclura l'argile, le gypse...

A. — Nature des remblais.

Quand ce sera trop cher, on entourera l'ouvrage (pieds-droits et voûte) d'une chemise à pierres sèches rangées à la main, de 0^m30 d'épaisseur pour les ouvrages de 2^m et au-dessous, de 0^m40 pour ceux de plus de 2^m.

L'eau filtrant à travers cette chemise est écoulée par une file de barbacanes au bas des pieds-droits ; dans les ouvrages sur cours d'eau, on n'en ménagera pas ; on assurera l'écoulement de l'eau vers les têtes.

B. — Précautions à prendre pour que l'ouvrage ne se déverse pas pendant l'exécution du remblai.

Il faut bien éviter de charger de flanc, d'un seul côté, les ouvrages sous charge, surtout ceux en ellipse surhaussée, surtout ceux avec $b=2a$. (p. 15).

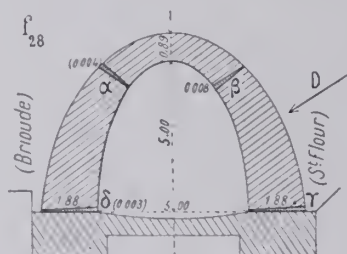
Des ouvrages en plein cintre³⁰, en ellipse surhaussée³¹, ont subi des déversements ou tout au moins des fissures, qu'on aurait dû éviter.

Je rappelle les précautions à prendre pour l'exécution des ouvrages sous charge et des remblais autour d'eux.

1° — Bien encastrent les fondations dans le terrain solide, maçonner à pleine fouille dans le roc.

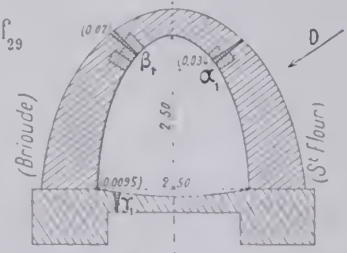
30. Sur les lignes de Brioude à Alais, La Clayette à Lamure, Paray à La Clayette.

31. Ligne de Brioude à Saint-Flour :



d'air, un coulis de ciment (50 k. de ciment pour 35 litres d'eau).

On a dépensé 24.17 fr., soit par mètre courant de fissure, 57 fr. 95 pour le matage, 15 fr. 92 pour l'injection : c'est 2,7 % du coût de l'ouvrage (74.135 fr.).



Pour réparer β_1 on dut démolir 3 assises ; on remplit ensuite β_1 comme α_1 .

On a dépensé 5.583 fr., soit 36 fr. 20 par mètre courant des fissures α_1 et β_1 , 12 fr. 20 par mètre courant de la fissure γ_1 : c'est 9,4 % du coût de l'ouvrage (59.119 fr.).

1° — Pont de 5^m (f_{24}) d'ouverture sur le ruisseau de Vendage, sous 20^m de remblai — fondé sur rocher — enveloppé d'une chemise en pierres sèches de 0^m40 d'épaisseur.

La décharge de côté D y produisit 4 fissures : β (8^m) et δ (3^m) apparentes, α γ seulement décelées par quelques plaquettes de mortier détachées dans les joints.

Fissure δ . — On la refouilla sur 0^m30, et on y bourra, à refus, du mortier pulvérulent de ciment.

Partie de la fissure β . — On enleva la file de moellons au-dessus de β , par longueurs de 1^m50 ; derrière, on ouvrit et on creusa la fissure sur 0^m25 à 0^m30 ; puis on y mata à refus du mortier pulvérulent, on remplaça les moellons, on mata les lits.

Reste de la fissure β et fissures α et γ . On dégrada les joints sur 0^m20, on perça sur la fissure des trous de 3^m5 de 2^m en 2^m, de préférence sur un joint, on y engagea de 0^m10 des tuyaux de plomb de 0^m20 par lesquels on injecta, sous pression

2° Ponceau de 2^m50 (f_{33}) sur l'Alagnonnette, sous 34^m de remblai, enveloppé d'une chemise en pierres sèches de 1^m recouverte d'un matelas de 4^m.

La décharge D y produisit 3 fissures :

α_1 — qui avait 34^m sur 76^m de long ;

γ_1 — fente dans le radier : 9^m5 sur 66^m.

β_1 .

On soutint la voûte par des contre-fiches. Le mouvement s'arrêta quand le remblai atteignit 20^m de haut.

On ficha γ_1 au ciment.

Pour réparer α_1 on enlevait deux files de moellons par longueur de 2^m environ ; derrière, on ouvrait et on creusait la fente, on y matait du mortier pulvérulent, puis on remplaçait les moellons et on matait les lits.

2° — Pour que l'ouvrage ne soit pas cisailé, bien éviter toute surface horizontale; la maçonnerie des pieds-droits y sera très enchevêtrée, très hérissée, faisant bien corps avec le massif de fondation.

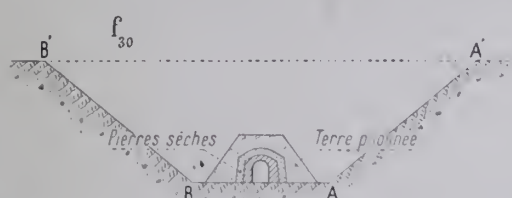
3° — L'envelopper de chemises superposées de pierres sèches appareillées grossièrement en voûte, sur une épaisseur augmentant avec l'ouverture de la voûte et la hauteur du remblai, — réduite vers les têtes.

4° — Entourer le tout d'un épais matelas de terre bien pilonnée, pour résister au déversement de l'ouvrage, pour amortir les chocs des pierres tombant de haut : au moins 2^m sur l'axe de l'ouvrage pour une ouverture de 3^m; 2^m50 à 3^m sur les flancs; moins aux têtes.

Il faut un fort matelas : consolider ou réparer un ouvrage fendu ou déversé coûterait beaucoup plus que lui.

5° — On ne commencera à décharger des remblais poussant contre l'ouvrage qu'après l'achèvement du matelas.

6° — Si on le peut, lorsque la décharge arrivera (f_{30}) en A par exemple, on l'arrêtera.



On traversera l'ouvrage sur une charpente provisoire, et l'on déchargera les terres de l'autre côté jusqu'à atteindre le talus BB', puis on remblaira l'intervalle AB, A'B' de terres légères, perméables, de gravier... jusqu'à une hauteur au-dessus de l'ouvrage, à spécifier dans chaque cas.

7° — Si on est forcé de décharger les

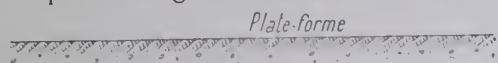


terres d'un seul côté, on devra d'abord étayer par du remblai pilonné le côté opposé à la décharge.

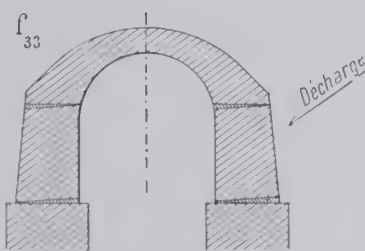
8° — Il ne faut jamais laisser faire la décharge directement contre le talus.

Par exemple, une fois que le talus est arrivé suivant AB (f_{31}), il faut remplir, par du remblai remanié, le trapèze ABCD, puis quand le talus est en GE on remplit de remblai remanié le trapèze GEDF, de façon qu'il y ait toujours du remblai horizontal entre le talus du matelas pilonné et le talus de la décharge.

9° — Lorsqu'un ouvrage est au pied d'un talus naturel assez incliné (f_{32}), il est fort important que de bon gradins retiennent le remblai.



10° — Sous une charge de flanc, les ouvrages se déversent toujours comme l'indique le croquis ci-contre (f_{33}).



Il faut constamment avoir l'œil sur les parties les plus exposées à se fendre.

Le chef de section doit mettre partout des témoins en plâtre ou en ciment, et les suivre tous les jours.

11° — Si, malgré les précautions prises, on aperçoit une fente en un point, il faut immédiatement remettre la voûte sur cintre, et la soutenir par des étais contre la poussée.

Dès qu'on a quelque crainte, ne pas attendre qu'il y ait des fissures : étayer par avance.

CHAPITRE XI

SONDAGES

1. — Les sondages doivent être faits à côté des fondations, et non à leur emplacement même; car, comme ils sont d'ordinaire plus profonds qu'elles, il faut alors les remplir de maçonnerie, ce qui est une dépense inutile, et ce qui peut, en outre, dans les terrains qui ne sont pas rigoureusement incompressibles, former sous les maçonneries un point dur, et les faire casser.

2. — J'appelle toute l'attention sur les sondages à l'emplacement des ouvrages. Il en faut assez pour bien définir la nature du terrain sur toute la longueur de l'ouvrage, pour représenter sur la coupe en long, sans grande erreur, par des lignes continues, les séparations des différentes couches; un sondage unique peut suffire pour un ouvrage court dans un terrain connu; mais pour des ouvrages longs et en terrain variable, il en faut au moins 3 : 1 au milieu et 1 à chaque tête.

3. — Dans certains cas, on fera une saignée longitudinale suivant l'axe de l'ouvrage.

4. — Quand on trouve du rocher, il faut non seulement s'assurer qu'il règne sous tout l'ouvrage, mais encore vérifier son épaisseur en le perçant à la barre à mine. On peut avoir, en effet, rencontré une dalle peu épaisse ou un bloc isolé.

Il faut toujours savoir ce qu'il y a au-dessous du sol de fondation sur lequel on s'arrête.

CHAPITRE XII

FONDATIONS

Je ne puis évidemment donner ici que des indications très générales.

1° — Il ne faut pas être aussi exigeant pour les fondations d'un ouvrage courant que pour celles d'un grand : il est absurde, comme je l'ai vu faire, de fonder à 14^m de profondeur un ouvrage de 2^m.

2° — Quand le rocher est trop loin, on peut : soit fonder sur radier, soit descendre sur le rocher des piliers que l'on relie par des voûtes sur lesquelles on établit les pieds-droits, soit encore soutenir le radier par de petits pilotis dont les pointes touchent le terrain ferme. (Exemples, p. 28, 29.)

3° — Pour les petits ouvrages, il n'est pas nécessaire d'avoir un terrain de fondation incompressible : il suffit qu'il soit peu, mais uniformément compressible.

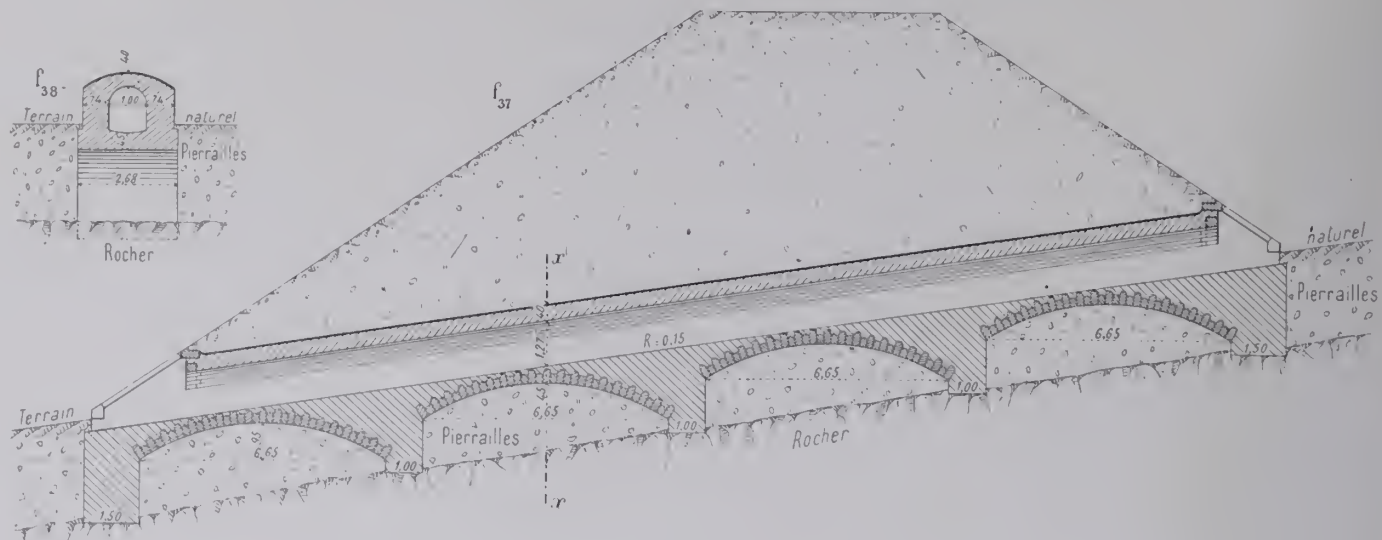
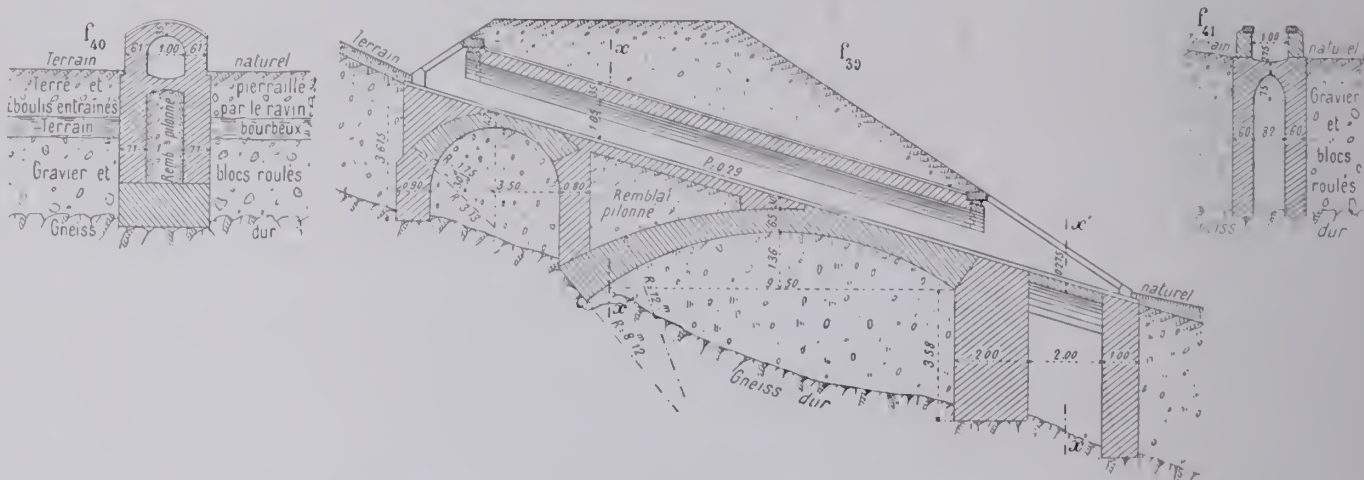
Quelquefois le terrain est moins solide en dessous qu'en dessus; dans ce cas, se garder de descendre trop bas.

4° — Quelquefois, une partie de l'ouvrage se trouve sur le rocher incompressible, l'autre sur des apports, sur des terrains vaseux, etc...; dans ce cas, il se cassera au point de passage — c'est sans grand inconvénient. On peut d'ailleurs, par un coup de sabre vertical, ménager d'avance une séparation régulière.

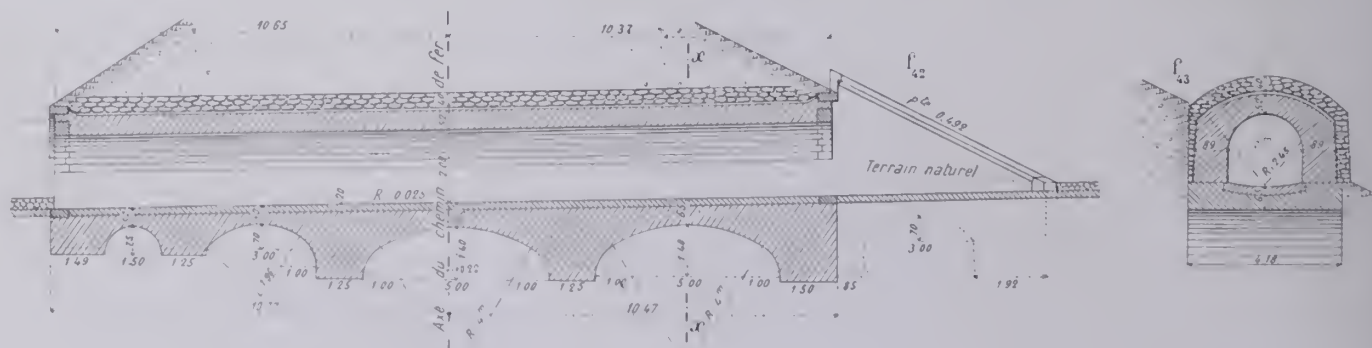
5° — Quand il n'y a aucun danger d'affouillement, on peut, à l'extrême rigueur, fonder les aqueducs hors la voie de 0^m60 à 1^m sur une couche uniforme de pierres cassées, de gravier ou de sable, arrosée d'un lait de chaux.

Coupes en long sur l'axe et coupes

LIGNE DE MENDE A LA BASTIDE

Aqueduc voûté de 1^m00 d'ouvertureAqueduc voûté de 1^m00 d'ouverture

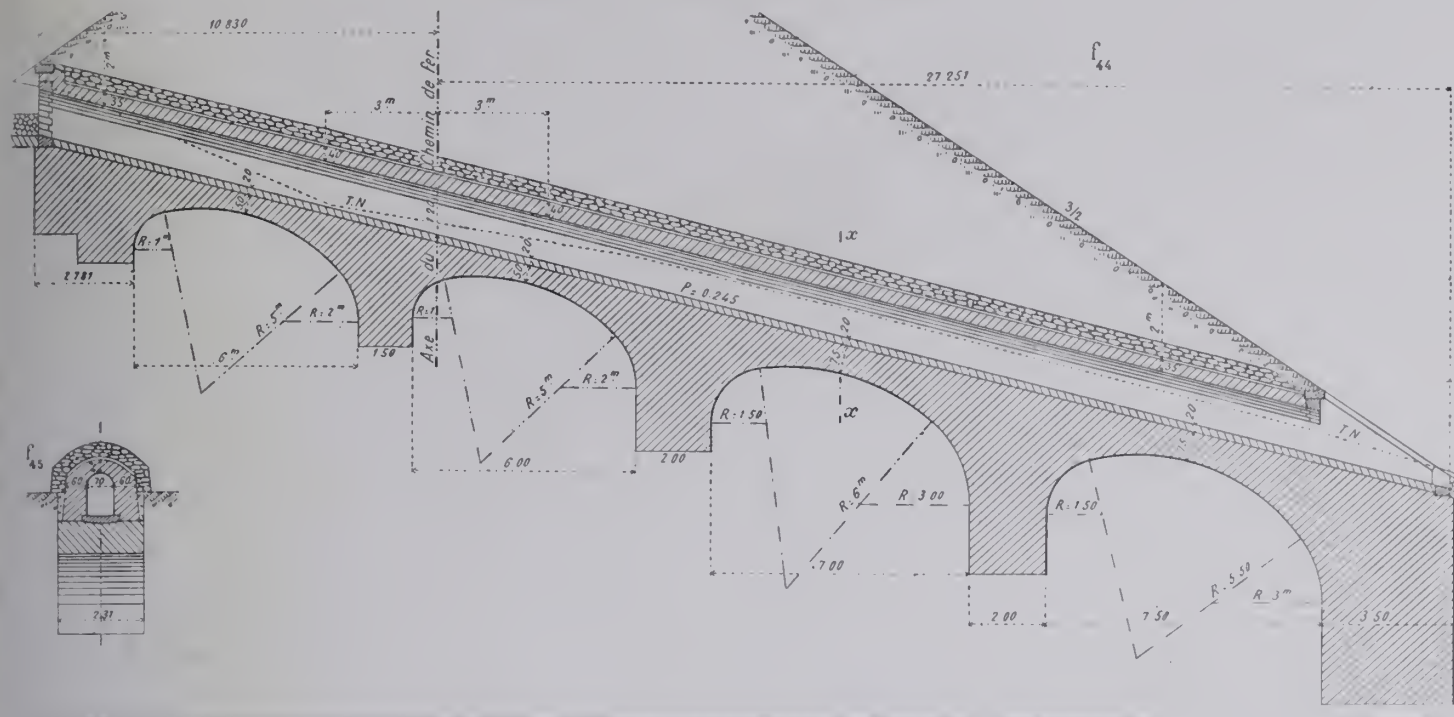
LIGNE DE BRIOUDE A SAINT-FOUR

Ponceau voûté de 2^m00 d'ouverture, biais à 50°

en travers sur $x-x$ des coupes en long — 5^{mm}

LIGNE DE BRIOUDE A SAINT-FLOUR

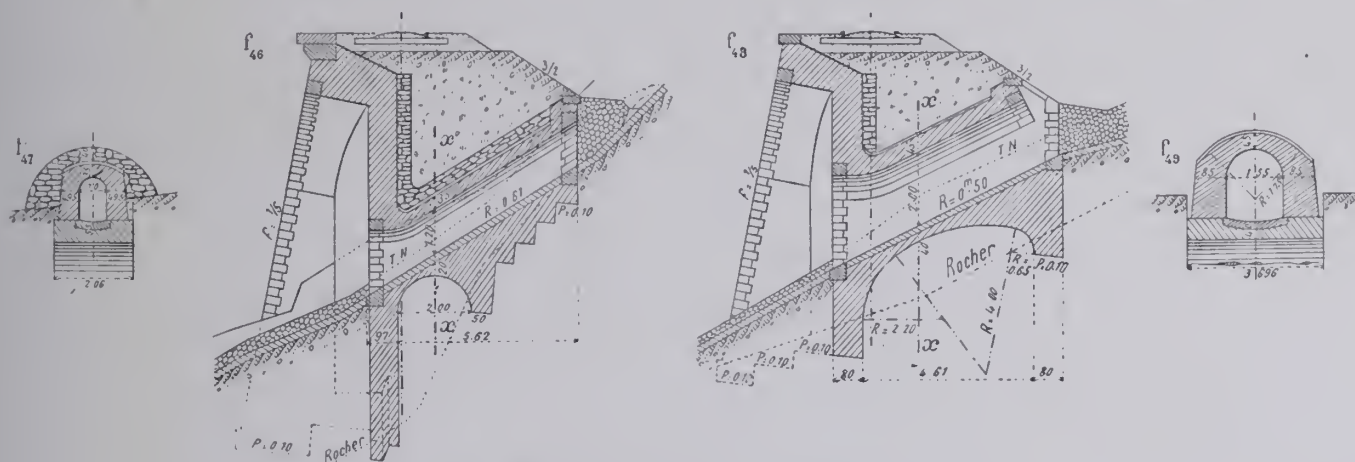
Aqueduc voûté de 0^m70 d'ouverture



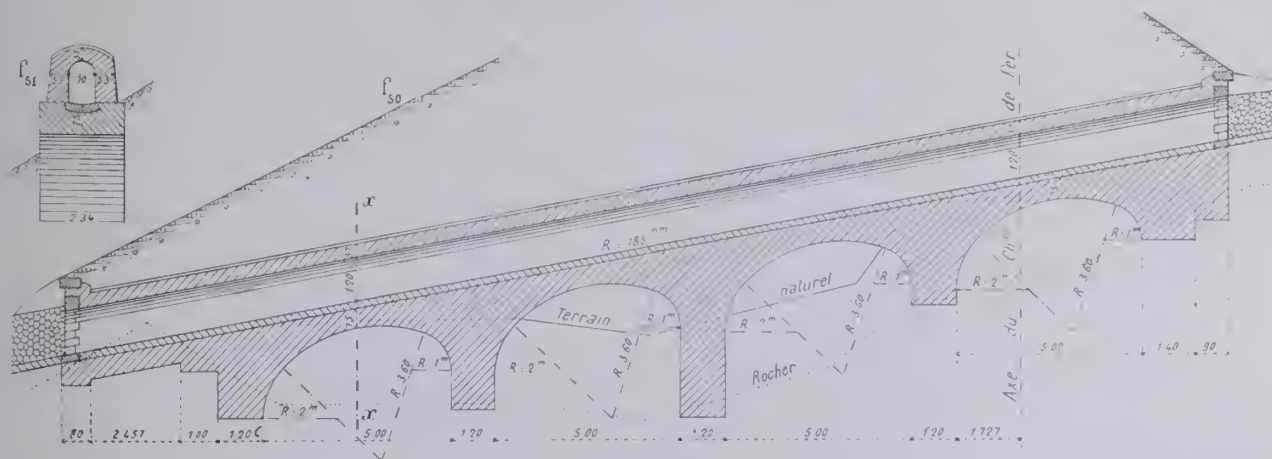
LIGNE DE MOREZ A SAINT-CLAUDE

Aqueduc voûté de 0^m70 d'ouverture

Ponceau voûté de 1^m50 d'ouverture

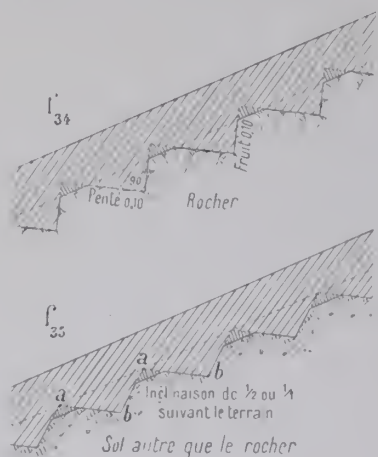


Aqueduc voûté de 0^m70 d'ouverture



6° — Il conviendra quelquefois de réunir, par une voûte dont l'extrados forme radier, les fondations des deux pieds-droits.

7° — Dans les terrains en pente, on accroche très solidement l'ouvrage au sol par des redans, pour qu'il ne glisse pas.



Ne faire des redans que dans les terrains à peu près incompressibles.

Ne pas les faire trop hauts, afin d'éviter des fissures résultant de tassements inégaux.

On disposera les redans :

comme au croquis (f'34) si l'on est sur rocher ;

comme au croquis (f'35) si l'on n'est pas sur rocher.

8° — Il ne faut pas placer systématiquement le radier des ouvrages au niveau du fond du lit des cours d'eau, même quand ce lit est tout à fait plat ; d'abord, parce qu'en général les terres de surface sont moins résistantes et plus compressibles ; ensuite, parce qu'il y a tout avantage à faire aboutir les eaux, tout au moins à l'aval de l'ouvrage, dans un fossé d'un peu de profondeur pour les y concentrer, et les empêcher de s'éparpiller à la surface du sol. Il n'y a évidemment pas de règle générale pour la profondeur des fossés d'amont et d'aval ; à moins de circonstances locales spéciales, on peut admettre 0^m25 à 0^m30 pour un ouvrage de 0^m60 ; 0^m30 à 0^m40 pour un aqueduc de 1^m, etc...

9° — Il peut arriver qu'un radier AB (f'36), tout en ayant ses extrémités A et B assez enfoncées dans le terrain naturel, soit en remblai au-dessus de trous C et D. On peut accepter cette disposition en remplissant les trous, soit de pierres sèches rangées à la main, soit de gravier pilonné arrosé d'un lait de chaux, ou, plus simplement, de terre pilonnée ; mais il vaut mieux, en général, enfoncer le radier au-dessous des trous

10° — Dans les ouvrages à radier, la profondeur des parafouilles dépend de la vitesse des eaux, de leur rétrécissement sous l'ouvrage, et de l'« affouillabilité » du terrain.

11° — Il y a généralement avantage, pour les ouvrages sur torrents, à tenir le radier en contre-bas du lit actuel, de 0^m50 à 0^m80 suivant les cas ; les apports ont vite comblé le dessus du radier et le garantissent ; dans ce cas, on augmentera la hauteur des pieds-droits de la hauteur présumée des apports.

12° — Dans les alluvions très meubles à grandes déclivités, le radier général doit être défendu, à l'amont et à l'aval, par un parafouille s'étendant entre les bouts des deux murs en aile, avec une profondeur dépendant de l'« affouillabilité » du lit, de la pente, de l'étranglement sous l'ouvrage, etc... (en général de 2^m à 5^m).

Dans ces terrains, les radiers sont souvent affouillés par l'aval, il faut défendre l'aval par des enrochements.

A l'abri de ces parafouilles, il est inutile, sauf en mauvais terrain, d'enfoncer les culées en contre-bas du radier.

13° — Quand le radier et le lit à l'aval ont peu de pente, et que les eaux charrient, il y a quelquefois, pour les aqueducs de 0^m60 à 1^m00, avantage, pour éviter les obstructions par l'aval, à tenir l'aval du radier en contre-bas du lit, de 0^m40 à 0^m50.

CHAPITRE XIII

PRINCIPALES DIMENSIONS ET DISPOSITIONS

DES OUVRAGES DE 8^m ET AU-DESSOUS

Les dessins, les dimensions, les matériaux, sont donnés au Titre II :

pour les ouvrages droits sous rails en plein cintre.....	Chapitre I.
pour les ouvrages droits sous rail en ellipse surhaussée.....	Chapitre II.
pour les dalots.....	Chapitre III.
pour les buses.....	Chapitre IV.
pour les ouvrages sous charge, biais sur le tracé, à têtes droites et plinthes rampantes.....	Chapitre V.

CHAPITRE XIV

DESSINS A PRODUIRE

1° — Plan au 1/500^e (0^m002) avec courbes de niveau de mètre en mètre, mais sans cotes, s'étendant assez loin de part et d'autre de l'ouvrage pour s'assurer que la direction est bonne, que les eaux y entrent bien, en sortent bien.

Art. 1. — Nomenclature.

Il pourra, dans certains cas, être supprimé pour les ouvrages de moins de 1^m00 : on se contentera alors des indications du plan de travaux à 1/1.000.

2° — Profil en long au 1/500^e pour les hauteurs et les longueurs. Il sera prolongé de ce qu'il faut, à l'amont et à l'aval ; il donnera la cote de la plate-forme sur l'axe, la longueur totale de l'ouvrage, les cotes du terrain naturel et du lit, les pentes de l'ouvrage et du lit.

3° — Coupe en long de l'ouvrage avec les sondages.

4° — Demi-plan, les maçonneries découvertes, et demi-plan au niveau des fondations, limités à l'axe parallèle aux pieds-droits.

5° — Elévation amont, élévation aval.

6° — Une coupe en travers avec indication du terrain, — ou plusieurs coupes en travers, si, en raison de la surcharge du remblai, il y a des épaisseurs différentes.

7° — Détails au 1/20^e aussi restreints que possible.

Ne rien mettre d'inutile sur les dessins.

Ne pas tracer les lits des voussoirs, ne pas dessiner de moellons ordinaires, ne faire aucune projection de coupe en pointillé...

Pour les ouvrages de 3^m et au-dessus, la coupe en long (3°), les demi-plans (4°), les élévations et coupes (5° et 6°) seront à l'échelle de 1/100^e.

Art. 2. — Echelles.

Pour les ouvrages de moins de 3^m, les élévations (5°) et coupes (6°) seront au 1/50^e.

La coupe en long (3°) et les deux demi-plans (4°) qui sont toujours à la même échelle seront en général au 1/50^e ; s'ils étaient trop grands, au 1/100^e.

TITRE II DESSINS — TABLEAUX

CHAPITRE I

OUVRAGES SOUS RAILS EN PLEIN CINTRE

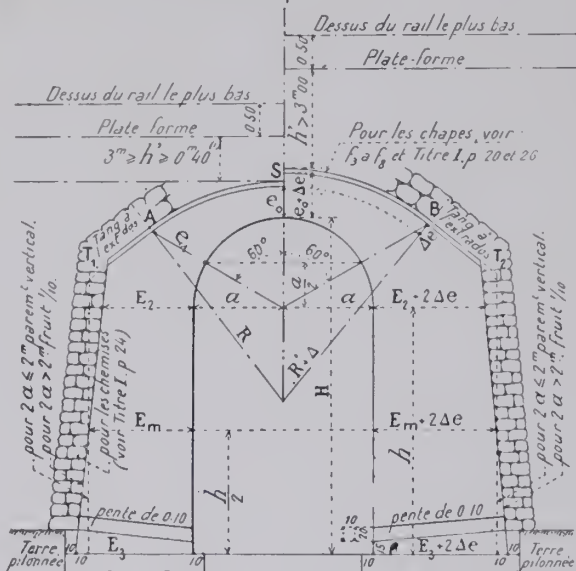
§ 1. — COUPE EN TRAVERS

Art. 1. — Dispositions d'ensemble

e_0 , E et R sont donnés au Tableau I (p. 33) ;
 Δe au Tableau II (p. 34).

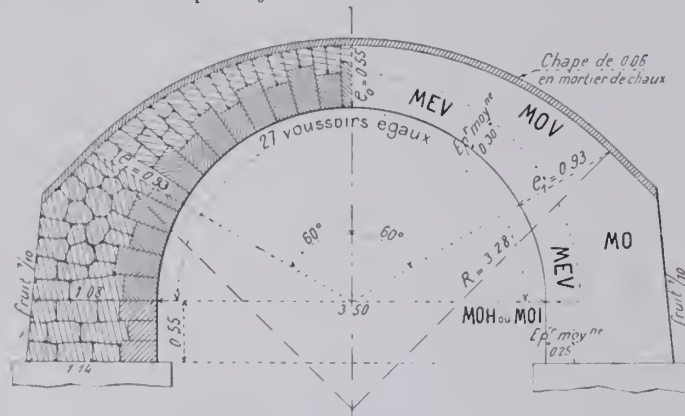
f_1 . — Ouvrages dits sans surcharge, c-à-d sous une charge h' ne dépassant pas 3^m.

f_2 . — Ouvrages dits avec surcharge, c-à-d sous une charge h' de plus de 3^m.



1. — Pour la réduction exceptionnelle de h' à moins de 0.40, voir Titre I (p. 21).

Ouvrures de : 3^m00 3^m50
Exemple : f_2 — Ponceau de 3^m50 — 1^m5

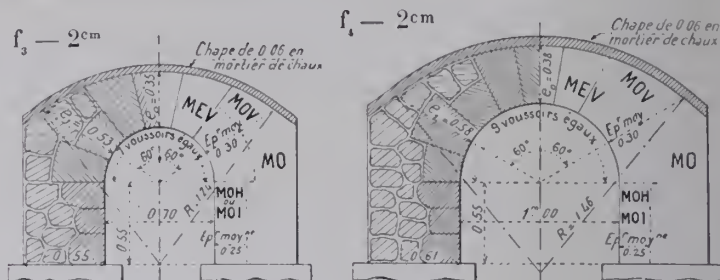


Ouvrures de : 4^m00 à 7^m50
Exemple : f_1 — Pont de 5^m — 1^m

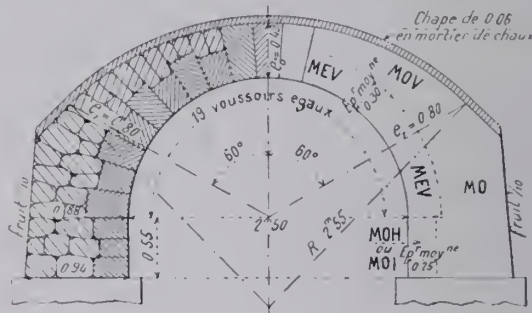
Art. 2. — Corps des voûtes et pieds-droits. Appareil (f_3 à f_4)

Ouvrures de : 0^m70

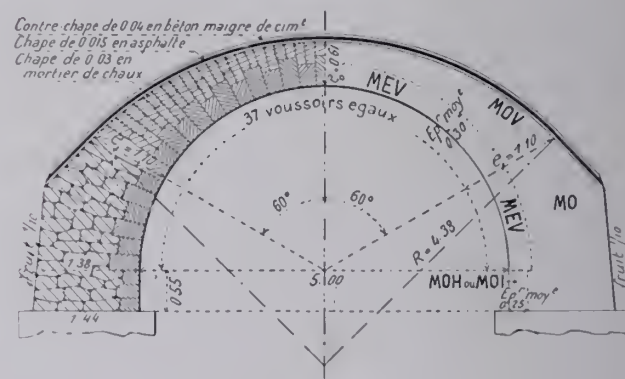
1^m



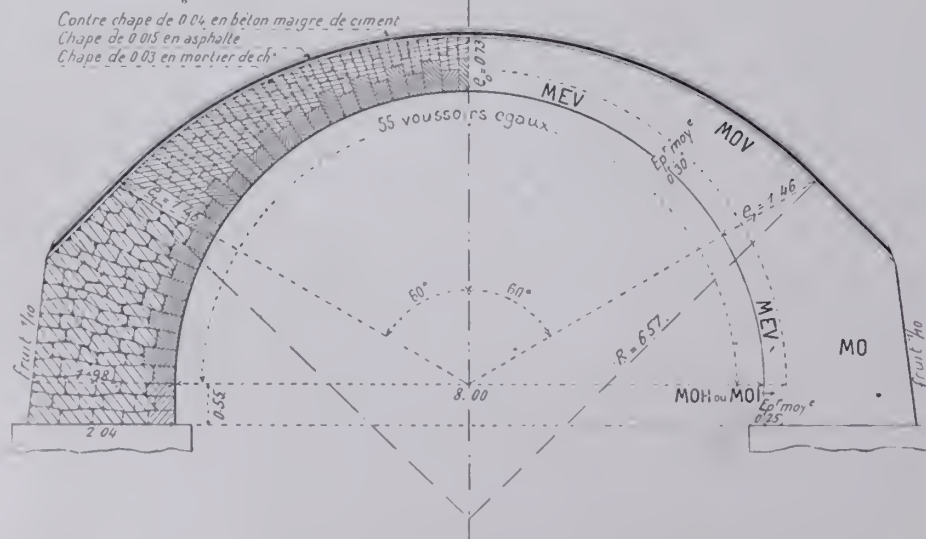
Ouvrures de : 1^m50 2^m00 2^m50
Exemple : f_3 — Ponceau de 2^m50 — 1^m5



Ouvrures de : 4^m00 à 7^m50
Exemple : f_1 — Pont de 5^m — 1^m



Ouvrures de : 8^m
Exemple : f_1 — 1^m



NOTA

La moitié de gauche de chaque figure montre comment l'ouvrage sera réellement exécuté. — La moitié de droite indique comment les différentes natures de matériaux seront indiquées et représentées au projet sur la coupe en travers.

Ces coupes supposent que la hauteur des pieds-droits est réduite au minimum de 0.55 (p. 10) et que la charge de remblai au-dessus de la chape est $\leq 3^m$.

Pour le sens de MO, MOV, ... voir Titre I, (p. 26).

Art. 3. — Dimensions (Suite). — TABLEAU II. — Ouvrages sous charge de plus de 3^m. (Titre I, p. 16 et f₁)

Ouverture 2 a	Quantité Δe , en centimètres, à ajouter à l'épaisseur à la clef e_0 et au rayon R, pour une hauteur de surcharge h' jusqu'à la plate-forme, de :													
	3 ^m au plus	4 ^m au plus	5 ^m	6 ^m	7 ^m	8 ^m	9 ^m	10 ^m	11 ^m	12 ^m	14 ^m	16 ^m	18 ^m	20 ^m et au-dessus
0 ^m 60 et 0 ^m 70	0 ^{cm}	1 ^{cm}	2 ^{cm}	3 ^{cm}	3 ^{cm}	4 ^{cm}	5 ^{cm}	6 ^{cm}	7 ^{cm}	8 ^{cm}	Pour 12 ^m et au-dessus			
1 ^m 00	0	1	2	3	4	5	7	8	9	10				
1 ^m 50 et 2 ^m 00	0	1	3	4	5	6	8	10	12	13				
2.50 et 3.00	0	1	3	5	7	9	11	13	15	16	Pour 14 ^m et au-dessus			
3.50 et 4.00	0	2	5	7	10	12	14	16	18	20				
5 ^m 00	0	2	6	9	12	15	17	19	21	23	Pour 16 ^m et au-dessus			
6.00	0	3	7	10	13	16	19	22	24	26				
7.00	0	3	8	12	16	19	22	25	27	29				
8.00	0	4	9	13	17	21	25	28	30	32	33	34	35	36

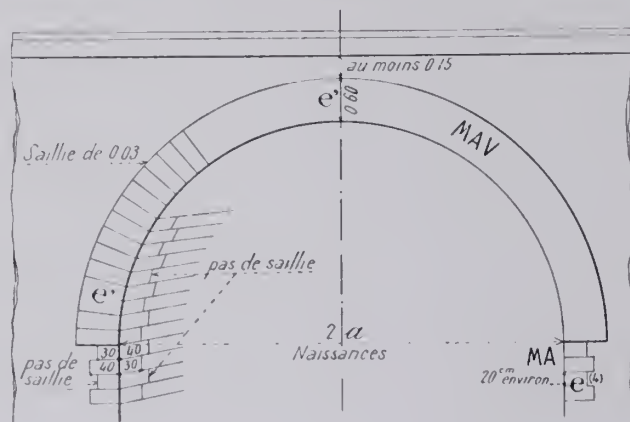
L'épaisseur aux naissances sera majorée de 2 Δe . (Voir f₂).

Mêmes hauteurs minima de pieds-droits que pour les ouvrages non surchargés, e-à-d h_m ou h'_m (Tableau I, colonnes 11 et 17).

§ 2. — BANDEAUX

Types. — Dimensions

TABLEAU III.

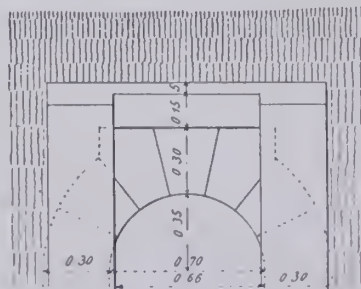
f₉ — Ouvrages à murs en retour — 1^{cm}

1 — Pour un moellon d'épaisseur e , il convient que sa plus petite longueur soit $\geq 1,5 e$, sa plus grande $\leq 3 e$.

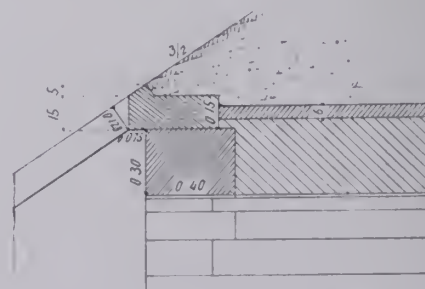
Ouverture 2a	Epaisseur du bandeau e'	Développement de l'intrados	Voissiors du bandeau		
			Nombre	Epaisseur joints compris	Queues dans le sens de la douelle
0 ^m 60	0 ^m 30	0 ^m 942	5	0 ^m 188	
0 ^m 70	0 ^m 30	1.100	7	0.157	
1.00	0 ^m 30	1.571	9	0.175	
1.50	0 ^m 30	2.356	13	0.181	
2.00	0 ^m 35	3.142	15	0.209	0 ^m 30
2.50	0 ^m 35	3.927	19	0.207	et
3.00	0 ^m 35	4.712	23	0.205	0 ^m 40
3.50	0 ^m 40	5.498	27	0.204	
4.00	0 ^m 40	6.283	31	0.203	
5.00	0 ^m 45	7.854	37	0.212	
6.00	0 ^m 50	9.425	43	0.219	
7.00	0 ^m 60	10.996	49	0.224	0 ^m 35 et 0 ^m 40
8.00	0 ^m 60	12.566	55	0.228	0 ^m 35 et 0 ^m 50

Aqueducs de 0^m60 et 0^m70 à murs en aile, sous charge de remblai

f₁₀
Élévation
3^{cm}

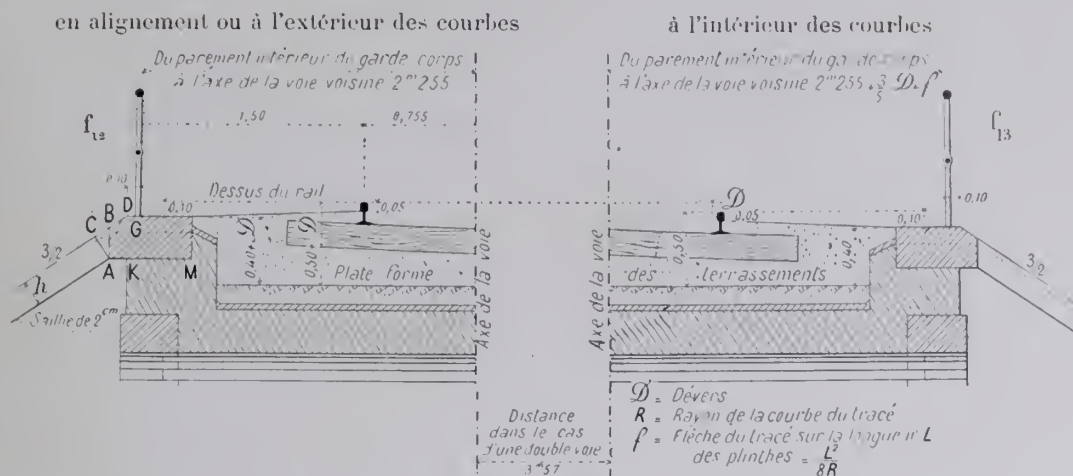


f₁₁
Coupe
en long
sur
l'axe
3^m

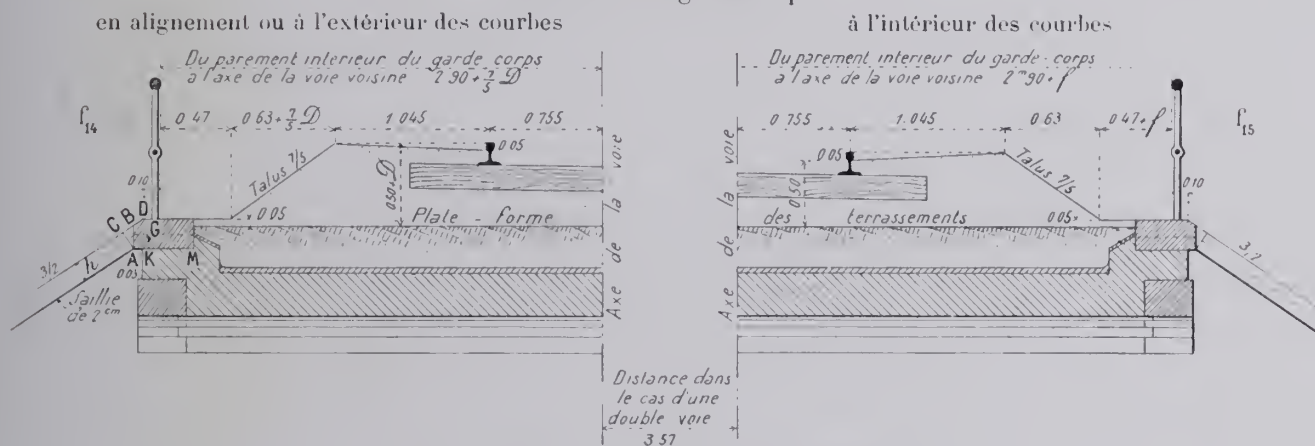


Art. 1. — Plinthes⁵ et rampantsA. — Plinthe à 0^m10 au-dessous du rail voisin

Position des garde-corps

B. — Plinthe à 0^m05 au-dessus de la plate-forme

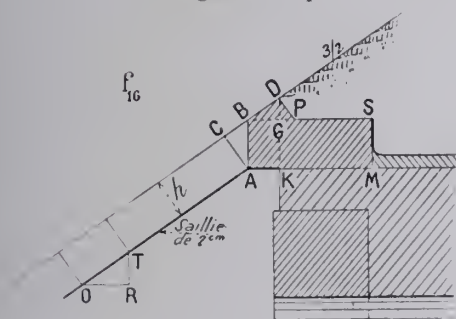
Position des garde-corps



C. — Plinthe sous charge de remblai (p. 21)

sans garde-corps

avec garde-corps



La plinthe est celle des ouvrages sans surcharge, échantonnée sur la hauteur DG. Pour les plinthes sans garde-corps, DG est donné au tableau IV. Pour les plinthes avec garde-corps, DG = 0^m12. Dans les 2 cas, MG = 2/3 DG.

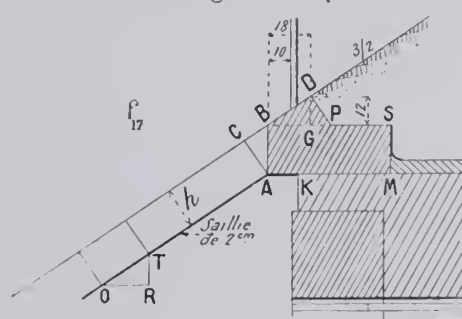


TABLEAU IV

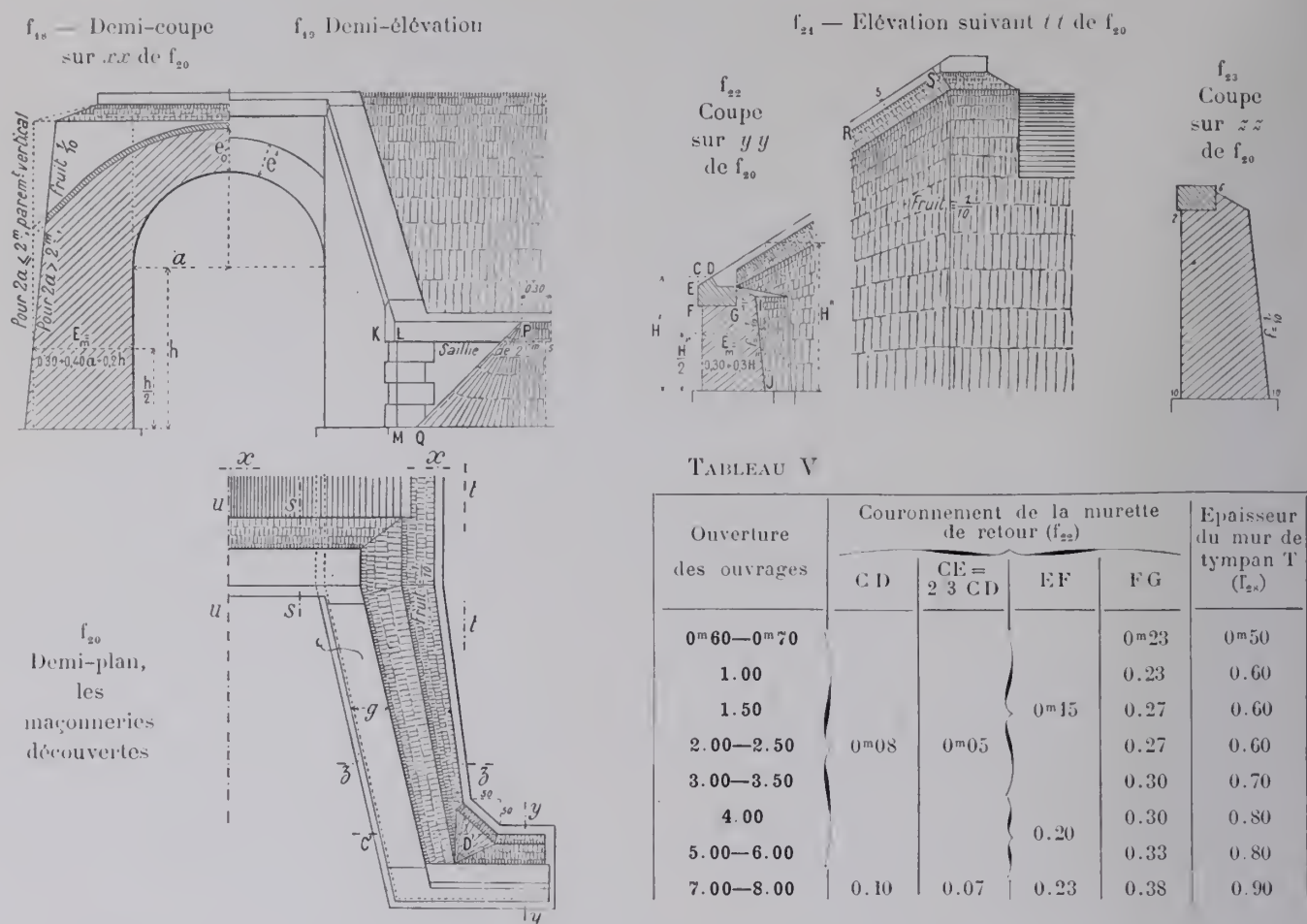
D. — Dimensions (f₁₂ à f₁₇)

Ouverture les ouvrages 2 ^a	Plinthes						Rampants				
	Longueur A M	Saillie A K	AB = 1.202 h	DG = 2/3 AK	BD = 1.202 AK	Epaisseur D K	Largeur horizontale g (f ₂₀)	Epaisseur h	Crossettes ⁶		
									OR 3/2 TR	TR	OT 1.202 OR
0 ^m 60—0 ^m 70	0 ^m 40	0 ^m 075	0 ^m 15	0 ^m 05	0 ^m 09	0 ^m 20	0 ^m 30	0 ^m 125	0 ^m 25	0 ^m 166	0 ^m 30
1.00	0.45	0.075	0.15	0.05	0.09	0.20	0.30	0.125	0.25	0.166	0.30
1.50	0.50	0.105	0.18	0.07	0.126	0.25	0.40	0.15	0.30	0.20	0.36
2.00—2.50	0.50	0.105	0.18	0.07	0.126	0.25	0.40	0.15	0.30	0.20	0.36
3.00	0.55	0.12	0.20	0.08	0.144	0.28	0.45	0.166	0.35	0.233	0.42
3.50	0.55	0.12	0.20	0.08	0.144	0.28	0.45	0.166	0.35	0.233	0.42
4.00	0.55	0.12	0.20	0.08	0.144	0.28	0.45	0.166	0.35	0.233	0.42
5.00—6.00	0.60	0.15	0.22	0.10	0.18	0.32	0.45	0.18	0.35	0.233	0.42
7.00—8.00	0.60	0.15	0.25	0.10	0.18	0.35	0.50	0.21	0.40	0.266	0.48

5. — En courbe, les plinthes et les têtes des ouvrages à murs en aile seront droites et parallèles à la corde de la courbe du tracé sur la longueur des plinthes. Les distances à l'axe de la voie indiquées aux figures f₁₂ à f₁₅, sont mesurées sur l'axe transversal de l'ouvrage.

6. — Si la hauteur du rampant est entre 1^m50 et 3^m00, une crossette ; au delà, une par chaque 1^m50 de hauteur. — On traitera le parement OIR comme le reste du mur.

Art. 2. — Murs avec murettes de retour



Le talus du quart de cône PQ (f_{19}) sera de 3/2. En le gazonnant, on pourra le raidir à 1/1.

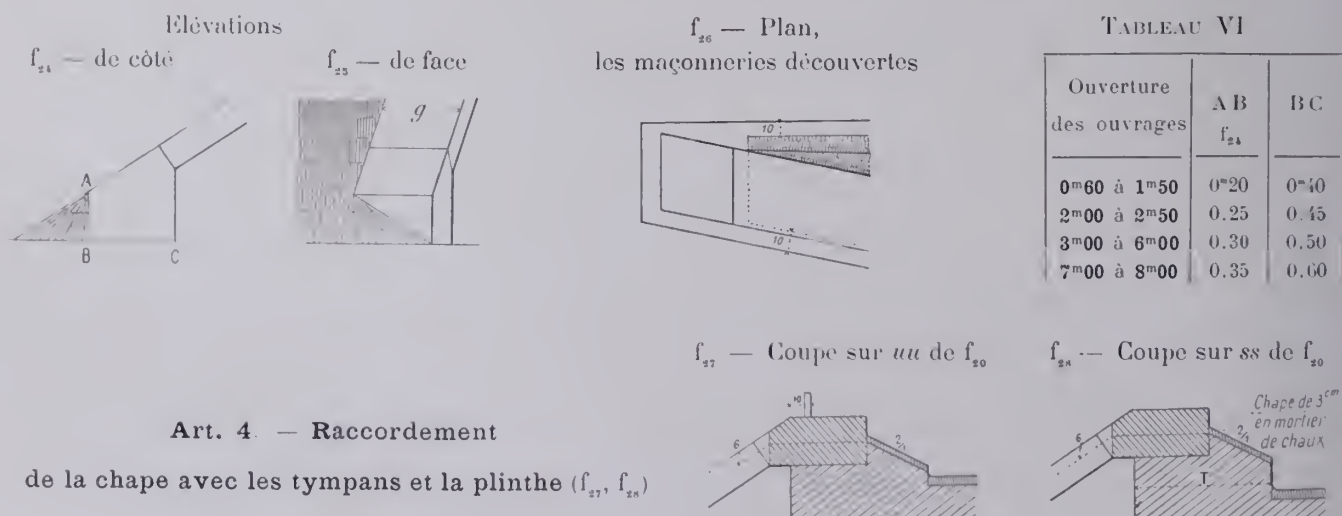
Les moellons d'appareil de la chaîne d'angle LM (f_{19}) auront, pour les ouvrages de 0^m60 à 6^m, 0^m30 et 0^m40, — de 7^m et 8^m, 0^m35 et 0^m45. L'about du dé KL (f_{19}) aura la même queue que les moellons les plus longs de la chaîne d'angle.

Si l'on doit gazonner le talus, l'arête supérieure RS (f_{21}) du mur en aile sera à 0^m10 au lieu de 0^m05 en contre-bas du dessus du rampant.

Le parement IJ (f_{22}) sera vertical : 1° pour les ouvrages de 2^m et au-dessous ; 2° quand la hauteur II' ne dépasse pas 2^m.

L'épaisseur moyenne du mur en aile dans la section C' D' (f_{20}) passant par le pied du parement arrière du mur en retour sera calculée par la formule : $E_m = 0^m30 + 0^m30 \frac{II'}{H'}$, H' (f_{22}) étant la hauteur du mur en aile dans la section C' D'.

Art. 3. — Murs avec dés au lieu de murettes de retour



Art. 1. — Tracé. — Arasement. — Position des garde-corps. — Pour les ouvrages courants, on n'adoptera qu'exceptionnellement les murs en retour (p. 11). — En courbe, les plinthes, têtes, murs en retour, seront courbes et parallèles à la courbe du tracé (p. 22). — Pour les ouvrages couronnés au niveau du rail ou au niveau de la plate-forme, les plinthes seront arasées, et les garde-corps disposés comme pour les murs en aile (voir f_{12} à f_{13}), sauf que, les plinthes étant courbes, il n'y aura pas à tenir compte de la flèche f du tracé sur la longueur des plinthes (p. 22).

Art. 2. — Coupe en travers. — Quand les murs ne seront pas fermés par une cloison du côté des terres, on leur donnera l'épaisseur : $E = 0^m25 + 0,25 H (f_n)$.

Toutefois, l'intervalle entre parements intérieurs des murs en retour d'une même culée ne devra pas descendre au-dessous de 2^m.

Quand la hauteur H atteindra 4 ou 5^m, et même, dans certains cas, pour des hauteurs moindres, on évidera la culée, soit par des puits circulaires remplis de déblais rocheux (f_{30}), soit par des voûtes d'évidement transversales, ... : ces dispositions feront l'objet d'une étude spéciale.

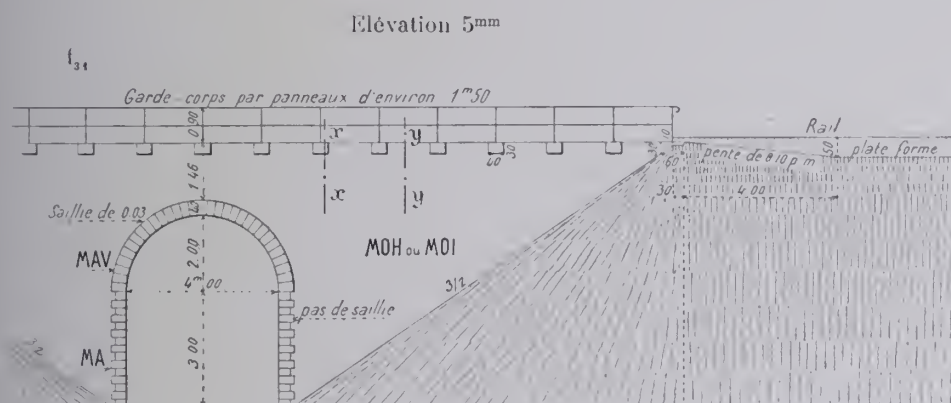
Art. 3. — Plinthe (f₂₉).

TABLEAU VII

Ouverture des ouvrages	Longueur AM	Saillie AK	Epaisseur MN	AB	DG	BG=2 DG	Pour les ouvrages de plus de 2 ^m , on creusera un larmier L (L ₂₀).
Jusqu'à 2 ^m inclus	0m50	0m10	0m25	0m18	0m06	0m12	
De 2 ^m à 6 ^m inclus	0.60	0.15	0.30	0.21	0.08	0.16	
De 6 ^m à 8 ^m	0.70	0.20	0.35	0.25	0.10	0.20	

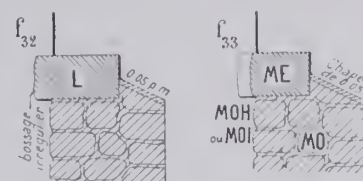
Art. 4. — Couronnement des ouvrages courants en rase campagne

Exemple. — Passage inférieur voûté de 4^m



Coupes

sur xx de f_{34} sur yy de f_{34}



L'ace supérieure des des arasée aux mêmes niveaux que les plinthes des ouvrages à murs en aile couronnés au niveau du rail ou de la plate-forme (p. 21).

Il convient que la verticale de la clef coïncide avec le milieu d'un panneau du garde-corps, à défaut, avec un montant.

§ 5. — RADIIERS

Art. 1. — Coupe en travers

Art. 2. — Garde-radriers. — Parafouilles

TABLEAU VIII

Ouverture $2a$	Flèche f	Epaisseur g
0 ^m 60 - 0 ^m 70	0 ^m 05	0 ^m 35
1 ^m 00 - 1 ^m 50	0.075	0.35
2.00	0.10	0.40
3.00 - 3.50	0.125	0.40
4.00	0.15	0.45
5.00	0.175	0.50
6.00 - 7.00	0.20	0.55
8.00	0.25	0.60

TABLEAU IX

Ouverture 2 <i>a</i>	NP
0 ^m 60 - 0 ^m 70	0 ^m 40
1 ^m 00 - 1 ^m 50	0 ^m 40
2.00	0.50
3.00	0.50
4.00 - 8.00	0.60

Les radiers seront, à l'amont et à l'aval, arrêtés suivant une ligne droite.

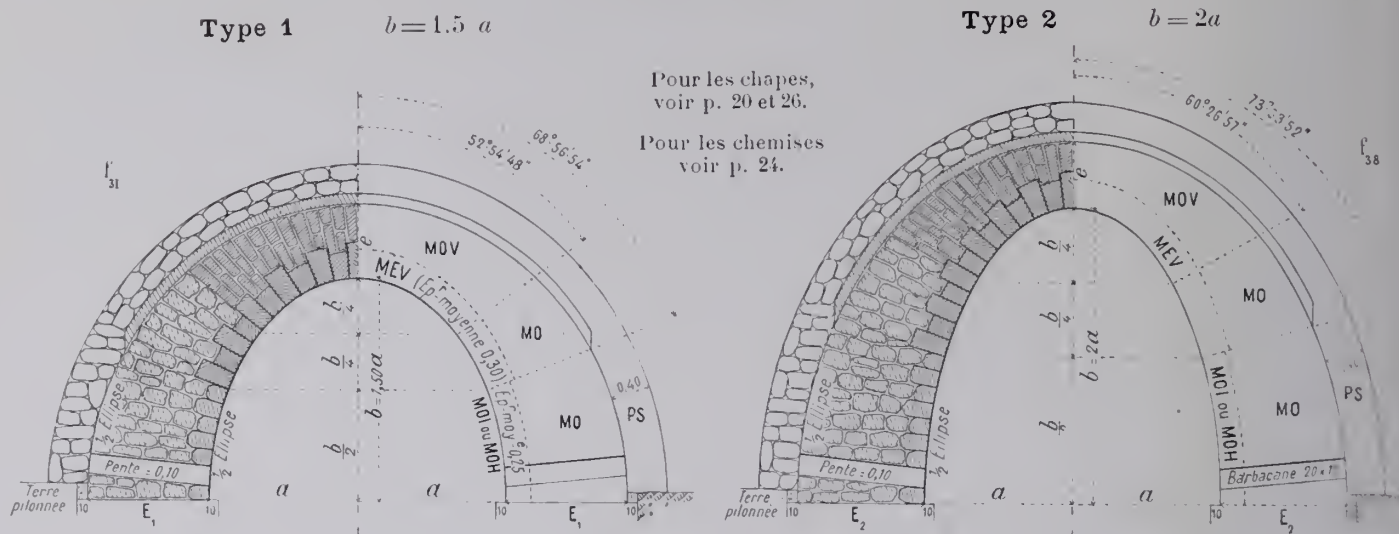
OUVRAGES DROITS SOUS RAILS EN ELLIPSE SURHAUSSÉE

PORTÉE DE 2^m ET PLUS — SURCHARGE DE PLUS DE 5^m

(Titre I, p. 15)

§ 1. — CORPS

Coupe en travers



Epaisseurs

$$\begin{cases} e = e_0 + \Delta e \\ E_1 = e_0 + 0,2a + 2\Delta e \\ E_2 = e_0 + 0,3a + 2\Delta e \end{cases}$$

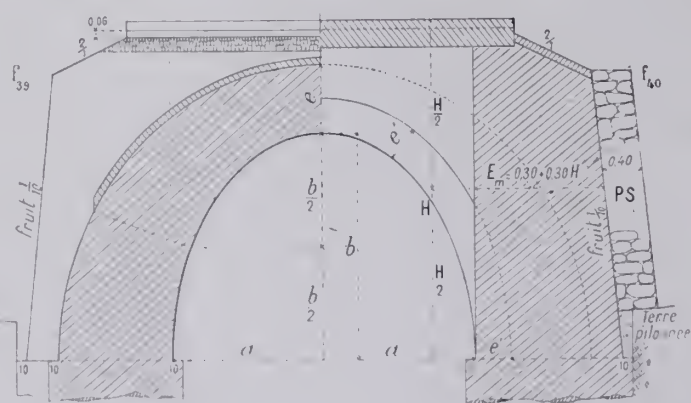
Pour les matériaux, voir p. 26.

On donne les valeurs numériques de :

$e_0 = 0,19 (1 + \sqrt{2a})$ Tableau I, p. 33.

Δe , surépaisseur à la clef Tableau II, p. 34

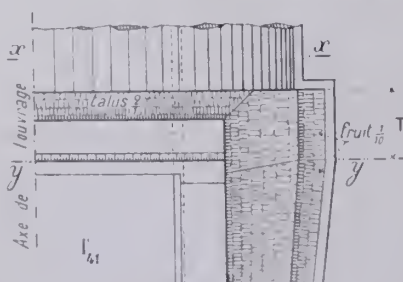
§ 2. — TÊTES

Demi-coupe sur xx de f_{41} Demi-coupe sur yy de f_{41} 

Plan, les maçonneries découvertes

L'extrados du bandeau est une courbe parallèle à l'ellipse.
(Tome III, p. 329).

(f_{41})
L'épaisseur T du tympan est donnée au Chap. I, Tableau V, p. 36.



Bandeaux

Ouverture $2a$	Épaisseur e'	Développement de la demi-ellipse d'intrados		Nombre de voussoirs		Queue dans le sens de la douelle
		Type 1	Type 2	Type 1	Type 2	
2 ^m 00	0 ^m 35	3 ^m 97	4 ^m 84	19	25	
2.50	0.35	4.96	6.05	25	29	
3.00	0.35	5.95	7.27	29	35	
3.50	0.40	6.94	8.48	33	41	
4.00	0.40	7.93	9.69	37	47	
5.00	0.45	9.91	12.11	45	57	
6.00	0.50	11.90	14.53	53	65	
7.00	0.60	13.88	16.95	61	75	0.35
8.00	0.60	15.86	19.38	69	85	et 0.50

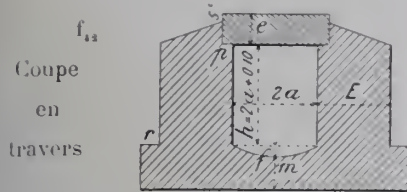
Voir pour :

- les plinthes, rampants, crossettes. art. 1, p. 35.
- les murs en aile, murettes de retour, dès art. 2, p. 36.
- les radiers art. 1, p. 37.
- les matériaux autres que ceux du corps de la voûte p. 26.

7. La même que pour les pleins cintres (p. 31, Tableau III).

DALOTS

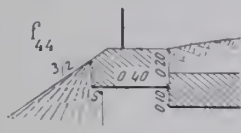
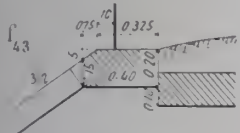
(Voir, p. 13)



Ouvrages couronnés au niveau du chemin
(coupes en long)

avec murs en aile

avec mur en retour



Ouverture	Épaisseur de la dalle	Largeur d'appui	Épaisseur des pieds- droits	Épaisseur minima du radier	Flèche du radier	Retraite de la fondation
$2a$	e	p	E	m	f	r
A. — <i>Sous rails</i>						
0 ^m 60	0 ^m 25	0 ^m 15	0 ^m 50	0 ^m 35	{ 0 ^m 05	0 ^m 10
0 ^m 70	0.30	0.20	0.55	0.40		
0 ^m 80	0.30	0.20	0.60	0.40		
B. — <i>Hors la voie</i>						
0 ^m 20	0.10	0.05	0.30	0.10	{ 0.00	0.05
0 ^m 30	0.10	0.05	0.30	0.15		
0 ^m 40	0.15	0.05	0.35	0.20		
0 ^m 50	0.15	0.10	0.35	0.20	{ 0.05	0 10
0 ^m 60	0.20	0.10	0.40	0.30		
0 ^m 70	0.20	0.10	0.40	0.30		
0 ^m 80	0.25	0.15	0.45	0.30		

Si, exceptionnellement, par exemple pour permettre à un homme de passer, on est obligé de dépasser la hauteur $h = 2a + 0^m10$, on calculera E par la formule : $E = 0^m15 + 0,30 a + 0,20 h$.

On ne mettra de garde-corps que sur les ouvrages de 0^m50 et au-dessus, quand la hauteur entre le dessus de la plinthe et le radier dépasse 1^m.

En rase campagne, le rampant sera en moellons ordinaires ; la plinthe, en libages sans chanfrein, sans saillie sur la tête.

CHAPITRE IV

BUSES

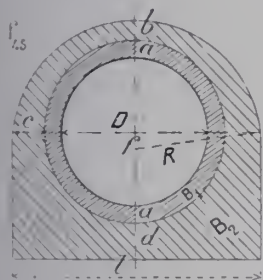
(Voir p. 13)

CORPS

SOUS RAILS

Coupe en travers

Dimensions



D	a	b	c	d	f	Cube par m. cour ¹ B_1	B_2
0 ^m 60	0 ^m 10	0 ^m 10	0 ^m 20	0 ^m 20	0 ^m 11	0 ^m 220	0 ^m 670
0 ^m 80	0 ^m 11	0 ^m 15	0 ^m 30	0 ^m 25	0 ^m 17	0 ^m 314	1 ^m 206

Composition :

 B_1 Ciment..... 800^k

Sable et gravilles

de 2 cm..... 1 mc

 B_2

Mortier de chaux

à 300^k..... 1 vol.

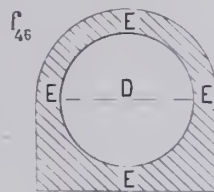
Gravier de 2 cm

à 3 cm..... 2 vol.

HORS LA VOIE

Coupe en travers

Dimensions



Composition :

Mortier de ciment à 500^k 1 vol.

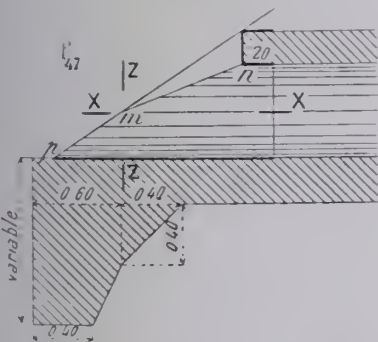
Gravier ou pierre cassée

de 3 cm..... 1 vol.

D	$E = 0,06 + \frac{D}{10}$	Cube par m. courant
0 ^m 30	0 ^m 09	0 ^m 135
0 ^m 40	0 ^m 10	0 ^m 196
0 ^m 50	0 ^m 11	0 ^m 266
0 ^m 60	0 ^m 12	0 ^m 347
0 ^m 70	0 ^m 13	0 ^m 438
0 ^m 80	0 ^m 14	0 ^m 539

TÊTES

Type I



Au-dessus du plan XX (f_{17}), la buse est coupée par une droite normale à son axe s'appuyant sur cet axe et sur l'ellipse intersection du plan du talus avec le cylindre d'extrados.^a

Au-dessous, la tête est dans le plan du talus.

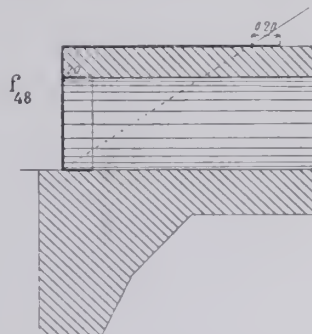
On peut couper par le plan vertical ZZ le bec de flûte mp .

La tête sera entourée de gazon sur 0^m30.

^a L'intersection de cette surface avec le cylindre d'intrados est une ellipse qui se projette sur le plan vertical passant par l'axe de la buse, suivant la droite mn (f_{18}).

Type II

Applicable quand la buse est faite par tuyaux pilonnés à côté de l'ouvrage (p. 13).



Quand on ne craindra pas d'affouillements, spécialement pour les buses hors la voie, on réduira le parafeu à un bourrelet de 10^{cm} x 10^{cm}. On pourra même le supprimer.

On garnira d'un enduit au mortier de ciment de 2^{cm} la partie vue de la tête, et, sur 0^m20, l'intérieur de la buse et la partie de l'extrados qui sera recouverte de remblai.

OUVRAGES BLAIS SOUS CHARGE DE REMBLAI

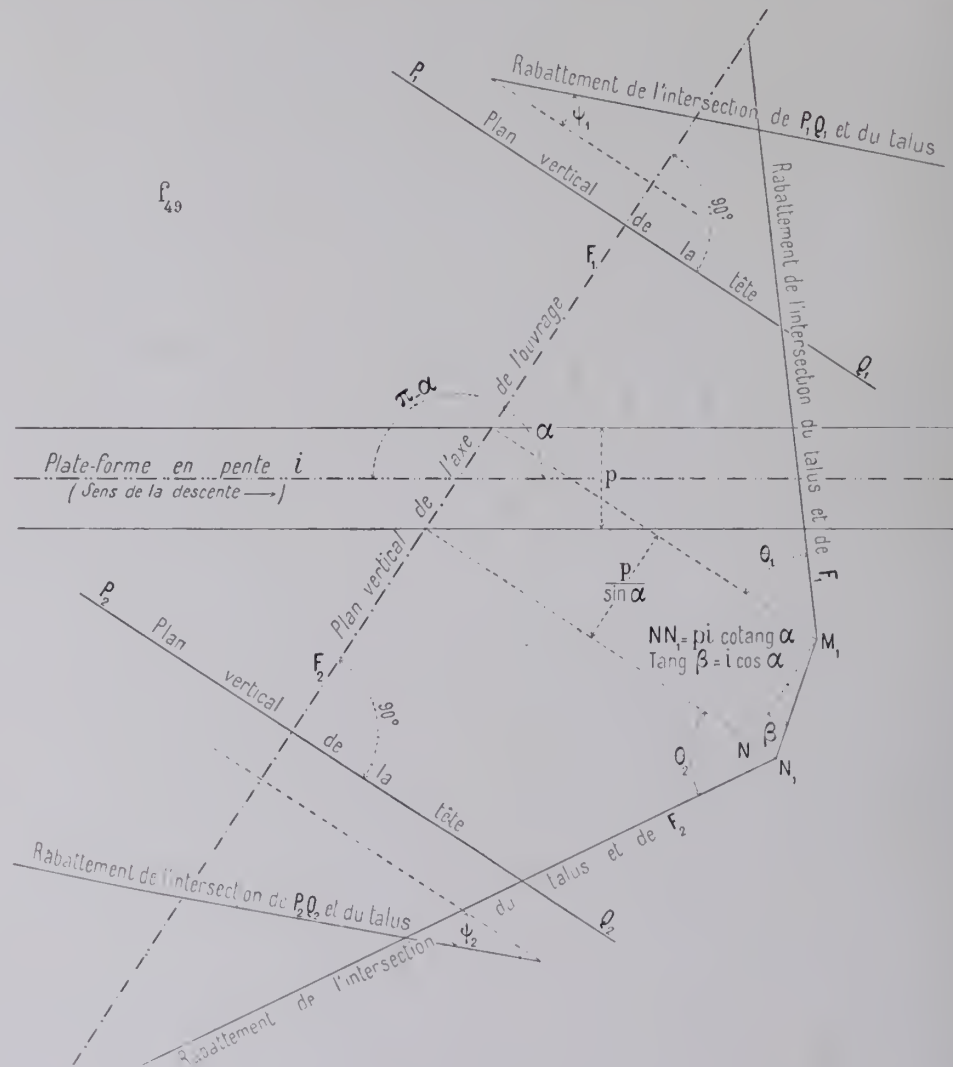
AU TALUS DE 3/2

VOÛTES ET TÊTES DROITES — PLINTHES RAMPANTES

(Voir Titre I, p. 17)

Les têtes sont dans un plan vertical PQ perpendiculaire au plan vertical F de l'axe de l'ouvrage.

L'arête du couronnement d'une tête PQ est l'intersection du plan PQ et du talus de remblai.



Côté	Angle avec le sens de la descente	Angle avec la verticale de l'intersection du talus de remblai et du plan F	Inclinaison sur l'horizon de l'arête rampante, intersection du talus de remblai et du plan de tête PQ
F ₁	α (angle aigu)	$\text{Tang } \theta_1 = \frac{3}{2 \sin \alpha + 3 i \cos \alpha}$	$\text{Tang } \psi_1 = \frac{2}{3} \cos \alpha - i \sin \alpha$
F ₂	$\pi - \alpha$ (angle obtus)	$\text{Tang } \theta_2 = \frac{3}{2 \sin \alpha - 3 i \cos \alpha}$	$\text{Tang } \psi_2 = \frac{2}{3} \cos \alpha + i \sin \alpha$

LIVRE II

VIADUCS

SOUS CHEMIN DE FER A VOIE NORMALE

A ARCHES ÉGALES EN PLEIN CINTRE

A UN SEUL ÉTAGE

TITRE I

VIADUCS EN ALIGNEMENT DROIT ET EN PALIER

CHAPITRE I

CONDITIONS IMPOSÉES PAR LA CIRCULATION DES TRAINS ET PAR CELLE DES AGENTS

Un pont, un viaduc, sont faits pour la circulation; c'est le dessus qui l'assure: c'est donc lui qui mène l'étude et règle le dessous.

La largeur libre minima entre les faces intérieures des garde-corps est :

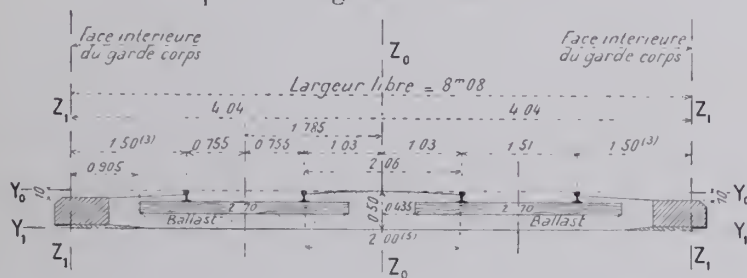
Pour les ouvrages à 2 voies (f_1, f_3)..... 8^m08¹;

Pour les ouvrages à 1 voie (f_2, f_3)..... 4^m51².

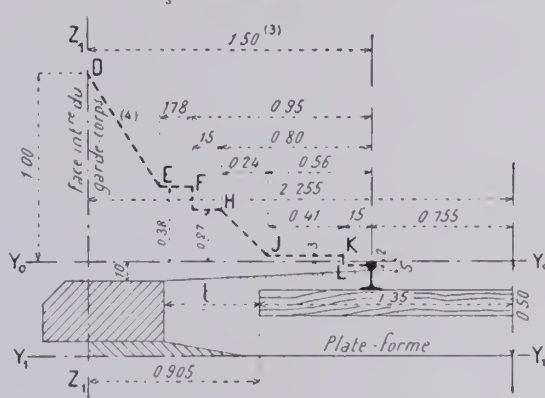
Art. 1. — Pourquoi il faut arrêter d'abord le dessus.

Art. 2. — Largeur libre entre garde-corps.

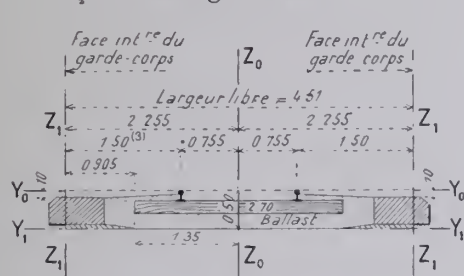
f_1 — Ouvrage à 2 voies — 1^{er}



f_3 — Détail — 2^{em}5

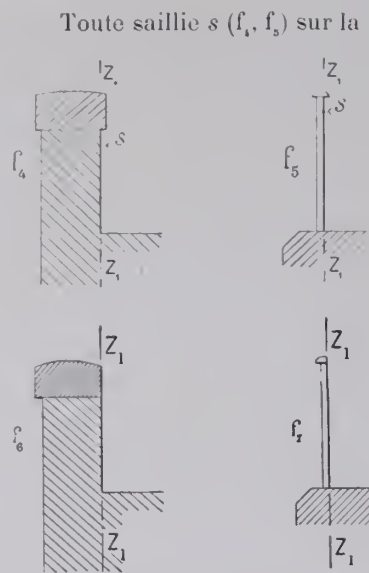


f_2 — Ouvrage à 1 voie — 1^{er}



1. — Au lieu de 8^m (Cahier des charges des grandes C^{'''}, art. 11).
2. — Au lieu de 4^m50 (Cahier des charges du P-L-M et de l'Orléans, art. 11).
3. — Règlement ministériel du 8 Janvier 1915 pour les ponts métalliques, art. 27).
4. — — id — Rien ne doit dépasser la ligne brisée LKJHFD (f_3).
5. — Cahier des charges des grandes C^{'''}, art 7.

Art. 3. — Pas de saillie du bahut ou de la lisse supérieure, sur la face intérieure du garde-corps.



Toute saillie s (f_4, f_5) sur la face intérieure des garde-corps élargit l'ouvrage de $2s$.

Un encorbellement, disposé pour la regagner, sera bien mieux employé à réduire la largeur entre tympans.

Rien ne doit faire saillie sur le plan vertical $Z_1 Z_1$ (f_4 à f_5) : ni le bahut d'un parapet en maçonnerie, ni, dans un garde-corps métallique, la main courante, les pontets en fonte...

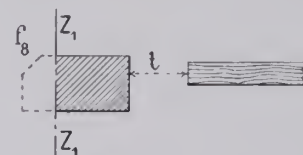
Peuvent toutefois faire saillie sur $Z_1 Z_1$ dans les garde-corps métalliques :

1° les renforts des montants (f_{16}) parce qu'ils n'empiètent pas sur le gabarit de construction (f_3) ;

2° les pilastres en fonte, parce que ce sont des obstacles isolés à plus de 1^m35 du bord du rail voisin.⁶

Art. 4. — Distance minima t entre l'about des traverses et la face postérieure de la plinthe (f_8).

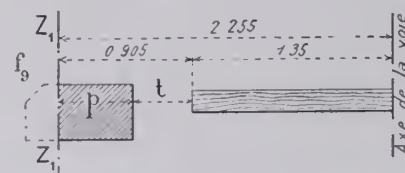
Elle est seulement de 0^m155 le long des trottoirs des gares.



Admettons que la distance minima, pour éviter aux plinthes des chocs au passage des trains, soit 0^m305^{7, 8}.

Art. 5. — Largeur p de la plinthe en dedans de la face intérieure du garde-corps $Z_1 Z_1$ (f_9).

1° — *Maxima*. — Ce sera, d'après l'art. 4:



0^m905 — 0^m305 (minimum de t) = 0^m60⁹

0^m60 n'est justifié que pour équilibrer un grand porte-à-faux: on ne l'a guère dépassé.

2° — *Minima*. — La plinthe, en dedans du plan $Z_1 Z_1$, doit être assez large pour :

a — servir de trottoir aux Agents de la Voie. 0^m35 suffit à la rigueur¹⁰ : on a souvent pris 0^m45.

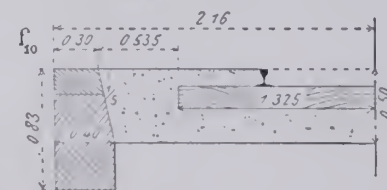
b — faire équilibre au porte-à-faux de la plinthe en avant du tympan.

Entre 0^m35 et 0^m60, on réduit p à ce qu'il faut pour la stabilité de la plinthe.

Art. 6. — Niches de refuge. Largeur. Profondeur. Place (f_{11}).

Tous les 50^m environ de chaque côté de l'axe, soit de 25^m en 25^m en quinconce, on ménage des niches de refuge de largeur $l \geq 1^m50$, de profondeur $e \geq 0^m30$. Avec 0^m30, un gros homme est à l'abri.

6 — Décision ministérielle du 31 décembre 1890 fixant la distance entre le rail et les obstacles isolés le long des voies principales.



7 — Elle est de : 0^m365 aux viaducs de la nouvelle ligne de Paris à Chartres (Etat 1910).

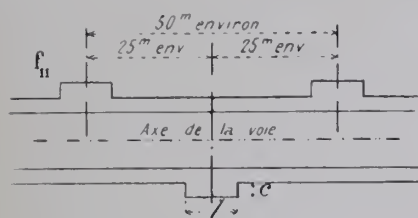
0^m355 (traverses de 2^m60) au viaduc de Thil ligne de Brie et de Reims à Hussigny et Villerupt (Est 1905).

8 — Le ballast pousse peu la plinthe.

Sur des lignes du Midi en tranchée de rocher, on le maintient par une murette de 0^m30 en couronne (f_{10}).

9 — Viaducs de la ligne de Vendes à Mauriac (1888).

10 — A côté d'un parapet en maçonnerie de 1^m de hauteur, on s'est contenté de 0^m22 au viaduc du Blanc (Ligne de Poitiers au Blanc — 1881-85).



On prendra :

$c = 0^m35$ avec un garde-corps métallique ;

$c = 0^m30$ avec un parapet en maçonnerie, qui est lourd et dont il importe de réduire le porte-à-faux.

Suivant la portée des arches, on peut ne mettre de niches qu'à une pile sur deux, sur trois...

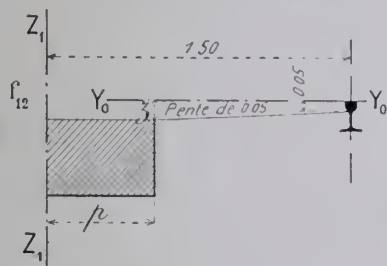
C'est l'aspect qui règlera la largeur l au-dessus

du minimum de 1^m50 , d'après l'ouverture des arches, l'épaisseur des piles, suivant que les tympans sont ou ne sont pas élégis.

Les niches seront toujours au-dessus des piles, jamais au-dessus des clefs des grandes voûtes.

Quand des voûtes d'élégissement traversent les tympans, on continuera à placer les niches au-dessus des grandes piles : elles y sont moins désagréables qu'à la clef des grandes voûtes.

Le ballast descend en pente de 0,05 à partir d'un plan passant à 0^m05 au-dessous du plan supérieur des rails $Y_0 Y_0$.



Le dessus de la plinthe est au-dessous de $Y_0 Y_0$ de :

$$z = 0^m05 + 0,05 (1^m50 - p) = 0^m125 - 0,05 p.$$

p est généralement 0^m50 . Alors $z = 0,10$; il est exceptionnellement (maximum) 0^m60 ; alors $z = 0^m095$.

On arasera toujours la plinthe à 0^m10 au-dessous du rail.

Art. 7. — Dessus des plinthes à 0^m10 plus bas que le rail voisin (f_{12}).

CHAPITRE II

RECONNAISSANCE DU SOL DE FONDATION

A L'EMPLACEMENT DU VIADUC

A temps pour changer le tracé, si on rencontre de trop mauvais terrains.

C'est par des puits qu'on reconnaît le mieux le sol : on le voit, on le touche, on l'éprouve.¹¹

11. — Dans les terrains argileux, mouillés, la surface est une bouillie sans consistance: il ne faut pas s'en effrayer.

Au pont de Peseux, sur le Doubs, fondé à l'air comprimé sur de la marne argileuse, on enfonçait dans cette marne des cubes de 0^m30 de côté à l'aide de vérins pressant contre le plafond de la chambre de travail. (Il ne faut pas opérer sur de petits cubes, qui s'enfoncent tout de suite parce que la terre se soulève tout autour).

Voici ce qu'on a constaté:

Enfoncement en centimètres	Charge par 0^m01^2			
	Culée Lons-le-Saulnier	Pile 1	Pile 2	Culée St Jean-de-Losne
0	1.94	3.10	3.55	3.
1	3.61	4.60	4.10	4.44
2	4.50	5.70	4.75	5.77
3	4.83	6.80	5.20	7.00
4	5.17	8.50	5.55	8.00
5	5.72	9.60	6.30	9.10

L'ouvrage (métallique) terminé et surchargé, ne pèse pas plus de 5.5 par 0^m01^2 .

Sous l'ouvrage achevé, le sol ne peut pas refluer latéralement parce qu'il est maintenu par le poids des couches supérieures; la pression est réduite par le frottement latéral des massifs de fondation.

Sans doute, l'essai ne dure que quelques minutes et l'ouvrage, lui, pèsera indéfiniment; l'expérience montre que l'on peut conclure de l'un à l'autre.

Art. 1. — Quand doit-on faire les sondages ?

Art. 2. — Puits de sondage.

Si on ne peut pas les foncer par épuisements, on descendra à l'air comprimé¹² un petit caisson en tôle.

Les puits seront, en général, creusés à côté des fondations et non à leur emplacement même, car, comme d'ordinaire ils descendent plus bas, il faut les boucher, ce qui est une dépense inutile ; de plus, dans les terrains un peu compressibles, les maçonneries qui les remplissent forment, sous les massifs de fondation, des points durs qui peuvent les faire casser¹³.

Art. 3. — Sondages à la tige.

Quand le sol de fondation est trop bas ou quand il y a trop d'eau, on fait peu de puits parce qu'ils coûtent cher : on achève de le reconnaître par des sondages à la tige dans des tubes en tôle¹⁴.

Ils n'indiquent guère que l'épaisseur et la nature des couches ; ils renseignent mal sur la quantité d'eau, assez peu sur la résistance¹⁵, surtout des sols argileux¹⁶.

Art. 4. — Nombre et profondeur des sondages.

Il en faut assez, et assez poussés :

1° pour bien définir la nature du terrain sur toute la surface de chaque fondation : le rocher rencontré au milieu peut disparaître sur une partie de la fouille¹⁷ ;

2° pour représenter sur la coupe en long de l'ouvrage, par des lignes continues, les différentes couches ; quand on fonde par épuisements, il ne faut pas se tromper sur la position

Pont	Ligne de	Date	Caissons			Profondeur	Terrains traversés	Prix		
			Nombre	Forme	Dimensions ou diamètre			Total	par m. c. de descente	par m. c. du volume occupé par les caissons
de Caronte du Marais de S ^{te} -Marie du Prégo-Dieu sur la Durançe à Barcelonnette	Miramas à l'Estaque	1904	3	rectangul ^{re}	2 ^m × 2 ^m 50	18 ^m 40 20.40 23.76	vase, argile molle, sablons	74621 fr.	1192 fr.	238 fr. 56
	Frasne à Vallorbe	1911	1	rond	3 ^m	27.60	vase molle	51493 fr.	1855 fr.	262 fr. 40*
	Chorges	1912	2	ronds	3 ^m	29.30	sable,	62670 fr.	1050 fr.	118 fr. 48
	sur la Durançe à Barcelonnette					30.40	graviers, galets			

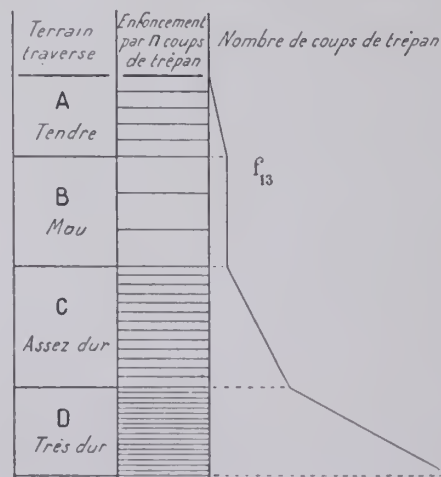
* Pour 195^m occupés par le caisson, on a déblayé 542^m.

13. — Dit pour les ouvrages de 8^m et au-dessous (p. 27).

14. — Sondages de 0^m21 — Vallée de la Garonne (Ligne de Marmande à Casteljaloux) — 28 sondages — longueur cumulée 451^m (1879) — Prix moyen du mètre courant : dans la terre et sable 26 fr. 58 ; dans les graviers et galets 97 fr. 85 ; dans le « tuf » 64 fr. 62 — en moyenne 65 fr. 65 (Annales des Ponts et Chaussées — février 1883, p. 174).

Au pont de St-Loup sur l'Allier (Ligne de Gannat à La Ferté-Hauterive), profondeur de 4^m52 à 33^m22 — longueur cumulée 275^m38 (1907) — 70 fr. le mètre courant.

15 — On a essayé de s'en rendre compte d'après le nombre de coups de trépan produisant un enfouissement donné.



Au pont d'Orléans, (III, p. 255) on traçait une courbe dont les ordonnées étaient les profondeurs, et les abscisses les nombres totaux de coups de trépan depuis le commencement du sondage : la courbe se couche dans un terrain dur, se redresse dans un terrain mou. (f_{13}).

On peut aussi (f_{13}) indiquer par un trait l'enfoncement correspondant à une volée de 50 coups, de 20 coups. Plus les traits sont rapprochés, plus le terrain est dur. Annales des Ponts et Chaussées, octobre 1893. Notice sur la Construction d'un viaduc à la traversée du Val de la Loire à Gien (Ligne de Bourges à Gien) M. Rossignol.

16 — Dans ces sols, le trépan fait une bouillie de terrains souvent suffisamment solides, et on n'amène au jour qu'une boue liquide.

17 — Au viaduc des Crottes (Ligne de Morbier à Morez), deux piles se sont trouvées en porte-à-faux sur la tranche d'un feuillet calcaire relevé verticalement.

(Voir plus loin, renvoi 73, f_{60}).

du sol de fondation : on n'est outillé que pour les profondeurs présumées et on est exposé à ne plus pouvoir épuiser, si on descend plus bas ;

3°. — pour être sûr que la couche de fondation peut porter l'ouvrage et savoir ce qu'il y a dessous.

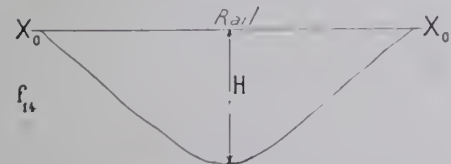
Les sondages faits à la barre à mine au fond d'une fouille n'y suffisent nullement. On s'assurera donc à l'avance qu'on n'est pas sur une croûte mince cachant une couche compressible¹⁸ ; sur un pavage de gros blocs avec de la vase dessous¹⁹ ; sur un gros bloc isolé ; que dans le rocher calcaire, il n'y a pas de cavernes²⁰ ; que, dans le granit, il n'y a pas de plan de glissement²¹....

Si on est dans la marne ou dans l'argile, où les sondages ne sont pas chers, on les descendra bien au-delà du niveau probable de la fondation²².

CHAPITRE III

PREMIÈRES INDICATIONS GÉNÉRALES POUR FIXER L'OUVERTURE ET LE NOMBRE DES ARCHES ET DESSINER UNE SILHOUETTE APPROCHÉE DE L'ÉLEVATION

Soit H la hauteur du rail au-dessus du point le plus creux de la vallée (f_{11}) sur la face aval du viaduc.



On adoptera pour l'ouverture commune des arches :

$$2a = 0,4 H$$

C'est la proportion des beaux viaducs.²³

Art. 1. — Ouverture commune des arches, 2a.

18. — Au viaduc de la Gagne (Ligne du Puy à Langogne), les premiers sondages s'étaient arrêtés à une dalle de basalte. Or elle n'avait que 2^m d'épaisseur et reposait sur une couche indéfinie d'argile ; elle ne couvrait même pas toute la fouille. On a dû renoncer au viaduc en maçonnerie projeté et accepter une travée métallique de 57^m, au grand dommage de l'aspect.

19. — Pont sur le Verdon, à Fontgaillarde (Basses-Alpes, — Ligne de St-André à Puget-Théniers).

20. — Pont de Beynac sur la Dordogne (Ligne de Saint-Denis au Buisson, 5 arches de 21^m). On trouva, à l'emplacement d'une pile, sous une croûte rocheuse de 0^m20 à 0^m70, un vide ayant jusqu'à 1^m. (Annales des Ponts et Chaussées, mars 1881) : *Fondations à l'air libre et à l'air comprimé*, M. Liébeaux).

Pont de Mareuil sur la Dordogne (Ligne de Cahors à Brive, — 7 arches de 23^m fondées à l'air comprimé). — En sondant à la barre à mine le rocher de fondation de la pile 2, on découvrit une cavité de 2^m à 2^m50 de profondeur, dépassant la pile à l'amont et à l'aval. (Compte-rendu des Travaux p. 26).

Au vieux pont d'Orléans, en novembre 1758, à la 7^e pile, il y eut un affaissement 0^m50.

Au pont du Chemin de fer à Orléans (Ligne d'Orléans à Vierzon, — arches de 21^m20 en anse de panier au 1/3), les tassements atteignirent 0^m736. (Revue Générale des Chemins de fer, mars 1890, p. 131 : *Note sur la reconstruction d'une pile du pont sur la Loire, à Orléans*, M. Grippon-Lamothé) ;

Au viaduc du Blanc, sur la Creuse (Ligne de Poitiers au Blanc), on a trouvé sous la pile 13 un trou de plus de 20^m. Au fond, on a battu des pieux ; puis, dessus, coulé du béton.

21. — Au grand viaduc des Fades sur la Sioule (Ligne de St-Eloy à Pauniat), le coteau rive gauche, sous la charge de la culée et de ses 1/4 de cône, a glissé sur un mince lit d'argile qui coupait le granit à quelque 35^m de profondeur.

22. — On a poussé : au pont de Marmande 7 sondages à plus de 27^m (Annales des Ponts et Chaussées, février 1883, p. 178) ; au viaduc de Prégo-Dieu sur la Durance (Ligne de Chorges à Barcelonnette), 3 à 40^m.

23

Viaduc	Ligne de	Dates	H	2a	$\frac{2a}{H}$
sur l'Aulne, près de Port-Launay	Nantes à Landerneau	1861-66	49 ^m 30	22 ^m	0,44
de Pompadour	Brive - Limoges	1873-75	55 ^m	25 ^m	0,45
de St-Laurent d'Olt du Piou	Séverac - Marvejols	1877-79	52 ^m 68 46 ^m 50	26 ^m 20 ^m	0,38 0,43
de la Crueize	Marvejols - Neussargnes	1879-83	63 ^m 30	25 ^m	0,39
de Mussy	La Clayette - Lamure	1892-95	60 ^m	25 ^m	0,41
de la Gascarie	Carmaux - Rodez	1894-97	49 ^m 10	20 ^m	0,41
de Weissenbach	St Gall - Wattwil	1907-09	61 ^m 40	25 ^m	0,41

COURONNEMENT

§ 1. — PARAPETS

Les premiers, et la plupart des très grands viaducs de chemins de fer, ont des parapets en maçonnerie.

Art. 1. — Parapets en maçonnerie.

Ils sont chers, surtout parce qu'ils augmentent la largeur entre tympans.²⁸

A. — Ils sont chers.

Un mince garde-corps en métal est d'autant plus économique que l'ouvrage est plus haut.

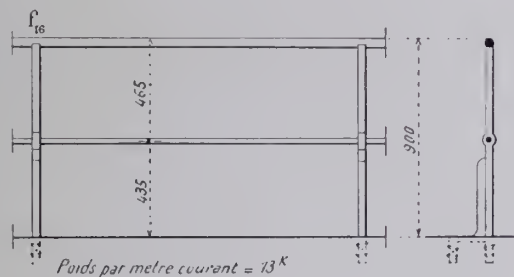
Les parapets pleins sont lourds : ils écrasent un viaduc qui doit être élancé, ils le font ressembler à un pont-canal.

B. — Plus de parapets pleins.

La plinthe, entre deux surfaces pleines, le tympan et le fût, c'est-à-dire entre deux parements d'aspect peu différent, n'a plus d'autre rôle apparent que d'indiquer à l'œil où est la voie : ce n'est pas assez pour la justifier.

Sur une plinthe, il faut un attique léger, un parapet ajouré : dans nos cathédrales, on ne voit pas de parapet plein au-dessus d'une corniche.

On ne construira donc pas de parapets pleins, mais des parapets ajourés, et seulement pour un très grand ouvrage dans une ville.



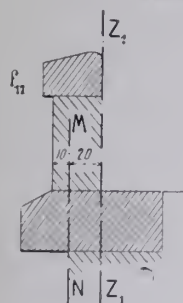
Pour un petit viaduc entre deux murs de soutènement, on conservera le garde-corps des murs (f_{16}) avec des dès en libages au droit de chaque montant.

Art. 2. — Garde-corps métalliques.

Sur le viaduc et les murs, on assurera discrètement le jeu de la dilatation.

A. — En fer ou en acier.

28. — Soit MN le nu du tympan (f_{17}).



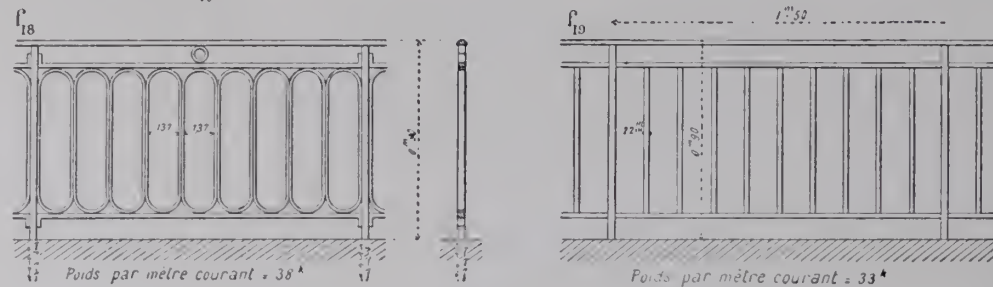
Pour un parapet en maçonnerie de 0m30 d'épaisseur, porté par une plinthe sans corbeaux, la distance entre $Z_1 Z_2$ et MN est d'environ 0m20.

Avec un garde-corps métallique, qui n'a que 0m05 d'épaisseur (au lieu de 0m30), qui ne pèse que 30 ou 40 au mètre courant (au lieu de 600 ou 700*), on peut faire coïncider les plans MN et $Z_1 Z_2$, et même faire déborder un peu le plan $Z_1 Z_2$ par rapport au plan MN.

On gagne donc au moins 0m20 à chaque tête, soit en tout 0m40 de largeur pour toute l'élévation de l'ouvrage.

Sur un viaduc comme celui de Port-Launay, qui a en élévation une surface de plein de 4570mq, c'est une économie de cube de 1828mc, soit, à 40 fr. le mc., 73.120 fr.

S'il n'y a pas de murs aux abords, on appliquera sur les viaducs courants le type f_{18} ; à défaut et pour varier, f_{19} ²⁹.



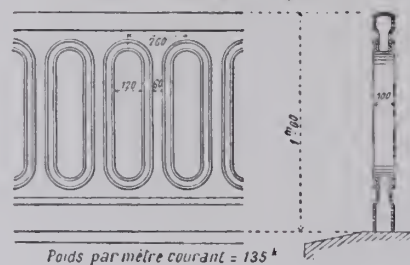
Dans les gares et aux abords, à moins de 200^m en avant et 150^m en arrière du milieu des trottoirs, la hauteur du garde-corps sera portée à 1^m.

Pour les viaducs exceptionnels, on étudiera des types spéciaux³⁰.

A ces garde-corps tenus, on a fait ce reproche qu'à distance, un ouvrage ne paraît pas couronné du tout: tout compte fait, est-il si nécessaire qu'on voie quelque chose au-dessus de la corniche? A de belles églises romanes, il n'y a rien, et c'est fort bien.

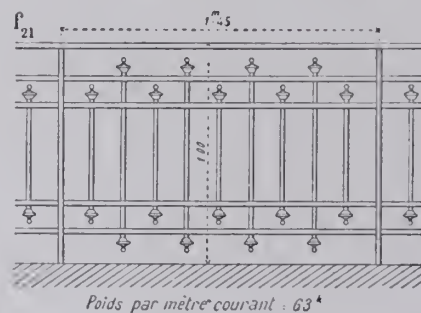
f_{20} — Viaduc du Sarget
Limoges à Brive par Pompadour

B. — En fonte.



Sur des ouvrages très ornés, il pourra quelquefois convenir de placer des garde-corps en fonte, bien étoffés, — mais ils sont chers³¹.

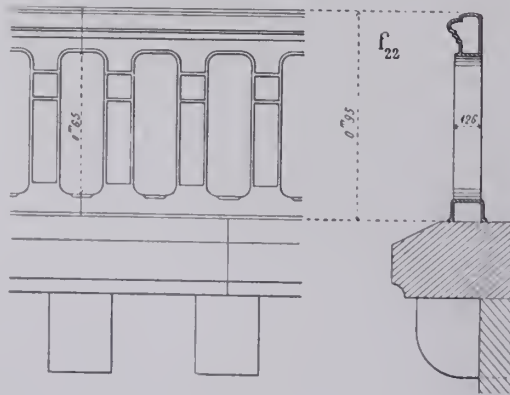
Les évidements f_{20} , un temps fort employés, sont ennuyeux.



29. — En mars 1913, on pouvait admettre :

Type	Prix	
	du kilog.	du m. c'
f_{18}	0 fr. 50	6 fr. 50
f_{19}	0 fr. 56	21 fr. 28
f_{20}	0 fr. 52	32 fr. 76

30. — On a appliqué f_{21} au Pont de Saint-Loup, sur l'Allier (La Ferté-Hauterive à Gannat).



31. — Voici (f_{22}) celui du pont en construction à Abrest, près de Vichy (ligne de Riom à Vichy): il pèse par m. c' 180^{kg}.

§ 2. — *LARGEUR ENTRE TYMPANS. (garde-corps en métal)*

4^m50 pour une voie; 8^m08 pour deux voies, — largeur comptée au niveau de la plate-forme, c'est-à-dire à 0^m50 en contrebas du plan supérieur des rails.

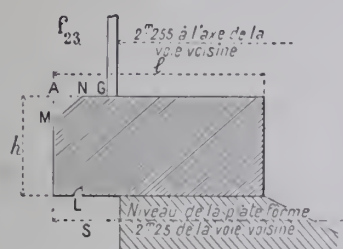
A titre exceptionnel, on pourra mettre en encorbellement le garde-corps sur des corbeaux, ancrés au besoin³² sur une sous-plinthe³³, sur des consoles en béton armé³⁴. Si le viaduc est haut, on fait ainsi une grosse économie.

§ 3. — *PLINTHE*

L'épaisseur de la plinthe varie avec l'importance, la hauteur, les ouvertures, le caractère de l'ouvrage.

Il faut une plinthe épaisse sur les viaducs très hauts, pour qu'on la voie, — et aussi sur les viaducs bas à grandes arches, parce que ce sont des ouvrages lourds.

Elle protège contre la pluie les têtes de l'ouvrage; elle doit donc croître avec leur fruit.



Quand elle est trop faible, la pluie les verdit, les noircit à partir de l'aplomb de la plinthe.

On augmentera la saillie, si l'on veut sous le couronnement une large ligne d'ombre.

Il faut au moins 0^m20; mieux 0^m25.

On creuse en dessous un larmier L pour empêcher les gouttes d'eau de ruisseler sur le tympan.

On le trace suivant le caractère de l'ouvrage, la dureté, l'épaisseur de la pierre.

On ne doit refouiller que des pierres tendres.

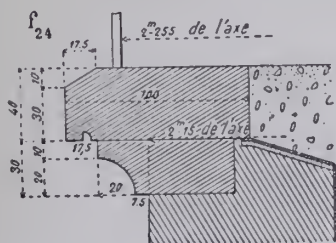
On adoptera le profil f_{23} et les dimensions que voici :

Hauteur maxima du viaduc H	Ouvertures des arches 2a	Dimensions de la plinthe (f_{23})				
		Epaisseur h	Largeur l	Saillie S	Chanfrein	
					Largeur AN	Hauteur AM
Jusqu'à 20 ^m	Jusqu'à 8 ^m (inclus)	0 ^m 30	0 ^m 70	0 ^m 25	0 ^m 15	0 ^m 075
De 20 à 25 ^m	De 8 à 10 ^m (inclus)	0.35	0.75	0.275	0.17	0.085
De 25 ^m à 37 ^m 50	De 10 à 15 ^m (inclus)	0.40	0.80	0.30	0.20	0.10
De 37 ^m 50 à 50 ^m	De 15 à 20 ^m (inclus)	0.45	0.90	0.35	0.22	0.11

NG sera toujours d'au moins 0^m05, pour qu'on scelle les montants en deçà de l'arête.

Si le garde-corps avait plus de 0^m045 d'épaisseur, on conserverait NG à 0,05 et on diminuerait AN.

32. — Au viaduc à voie normale de l'Oued Beja (Tunisie), la largeur entre tympans est réduite à 4^m.



33. — Viaduc de Chanteloube (Chorges à Barcelonnette) — Projet, f_{21} , f_{21} , — Hauteur, 61^m. Largeur entre têtes, 4^m30.

34. — On a réduit la largeur entre tympans à 2^m50 au Viaduc de Fontpédrouse, V, p. 87 (Ligne électrique à voie de 1^m), — à 2^m, aux ouvrages de la ligne à voie de 1^m de la Vouga (Portugal).

On a donné 4^m20 seulement aux ouvrages sous voie normale de Montrejeau à Bagnères-de-Luchon.

Grâce à des consoles en béton armé, la C^e d'Orléans a placé : 3 voies, dont une de 1^m, (en tout 4^m de voie), sur le viaduc de Saint-Florent de 8^m30 entre têtes (Ligne d'Issoudun à St-Florent); — 3 voies, dont les deux de sa grande ligne, (soit 4^m50 de voie), sur le pont sur l'Isle de la gare de Coutras, qui a 8^m45 entre tympans.

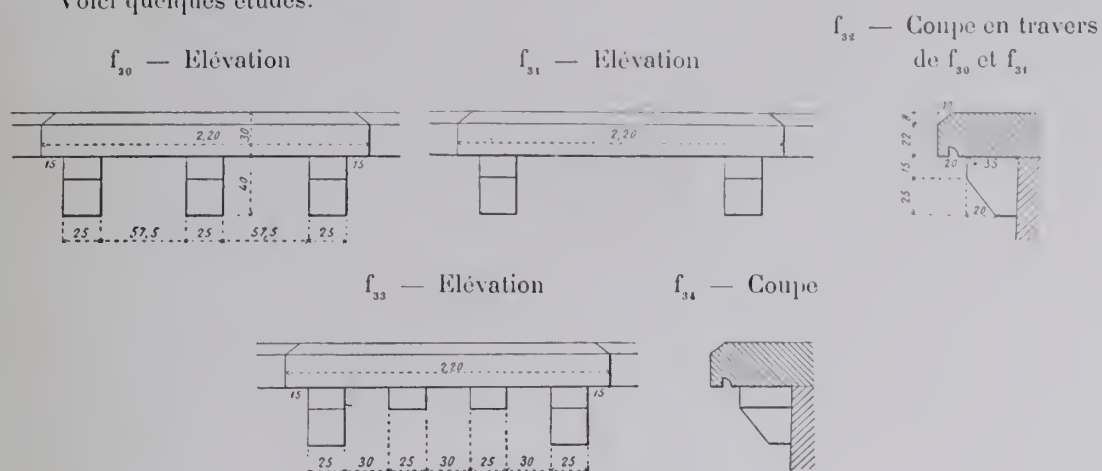
Art. 1. — **Epaisseur**
 h (f_{23}).

Art. 2. — **Saillie** S
(f_{23}).

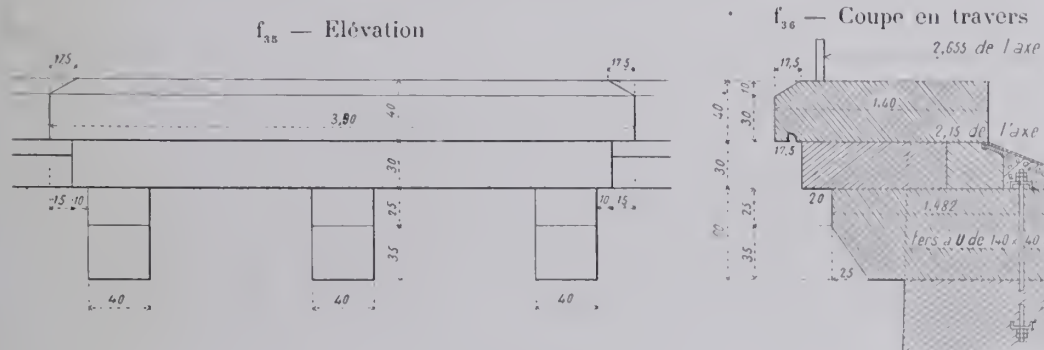
Art. 3. — **Profil**

Art. 4. — **Plinthes courantes sous garde-corps en métal.**

Voici quelques études:



Refuge au-dessus d'une pile de 4^m d'épaisseur
Projet du Viaduc de Chanteloube (Chorges à Barcelonnette)



CHAPITRE V

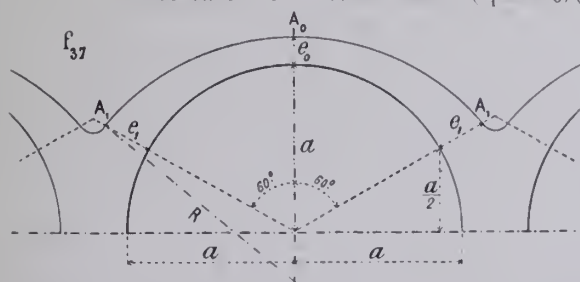
VOÛTES³⁸

§ 1. — CORPS

A nombre de viaducs, on a, au lieu de 0,19 adopté 0,18 et même moins.³⁹ Pour tenir compte du poids et de la vitesse croissants des machines, il a paru prudent, — dans une Instruction sur les viaducs courants, — d'adopter 0,19.

Art. 1. — Epaisseur à la clef:
 $e_c = 0,19 (1 + \sqrt{2a})$ (I)

A. — Ouvertures de 8^m et au-dessus ($e_1 = 2e_0$) (II). — L'extrados est un arc de cercle passant par les trois points A, A₀, A₁ (f_{37}).



B. — Ouvertures de moins de 8^m. — La formule (II) donnerait aux reins des épaisseurs trop fortes : l'extrados sera un arc de cercle de rayon

$$R = 0,73 (1 + 2a)^{10}$$

Art. 2. — Epaisseur e_1 au milieu de la montée et tracé de l'extrados.

38. — Pour le mortier — chaux ou ciment — voir V p. 13.

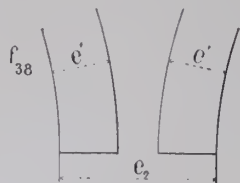
39. — III, p. 386, 387, 388.

40. — Pour $2a \leq 8^m$, e_0 , R, e_1 , sont donnés p. 33.

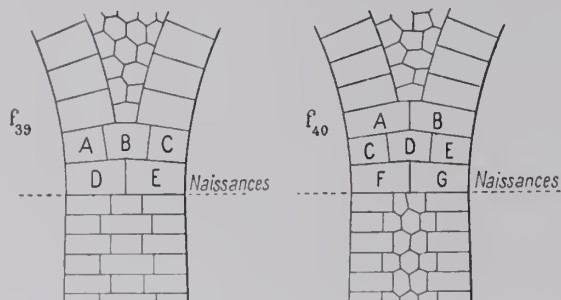
§ 2. — BANDEAUX

Art. 1. — Epaisseur.

Les bandeaux des viaducs à tympans pleins seront extradossés parallèlement, c'est-à-dire qu'ils auront une épaisseur constante e' très voisine de e_0 .



En la réduisant, on fait une très petite économie, aux dépens de l'aspect : un bandeau mince est désagréable.



Il faut qu'aux naissances, entre les bandeaux de deux arches voisines, il y ait au moins 15^{cm}, place d'un moellon :

$$e_s \geq 2e' + 0^m15 (f_{38})$$

S'il n'en est pas ainsi, par exemple pour les petites portées ou pour des piles basses, on adoptera les dispositions des croquis f_{39} , f_{40} .

Les pierres A, B, C, D, E, F, G, sont dans le plan du bandeau ; si le bandeau est en saillie, elles sont en saillie sur le tympan et sur la pile.

On indiquera plus loin⁴¹ comment varie l'épaisseur aux naissances e_s suivant la hauteur des piles : il en peut résulter quelque difficulté à appliquer la règle : $e_s \geq 2e' + 0^m15$.

Si dans certains petits viaducs, il n'y a qu'aux plus hautes piles seulement un intervalle de 0^m15 aux naissances entre les extradoss des bandeaux, on fera au mieux pour l'aspect : par exemple, on adoptera f_{40} aux piles centrales ; on supprimera la saillie des bandeaux sur les tympans....

Art. 2. — Saillie.

Le bandeau ne fera jamais saillie sur la douelle de la voûte.

Il sera en saillie de 3^{cm}⁴² sur la pile et sur le tympan : il y aura une petite ligne d'ombre sous ses naissances.

Sans doute, il est peu rationnel que, sur cette saillie, le bandeau ne soit pas soutenu ; mais elle est fort utile pour le détacher des tympans, — pour qu'il ne s'y perde pas, surtout s'ils sont à bossages.

On pourra, toutefois, la supprimer pour les viaducs à arches de moins de 8^m.

Il ne faut pas que le bandeau et la pile soient dans un même plan en saillie sur le tympan : le tympan a l'air de rentrer dans la pile, cela engonce l'ouvrage.

Art. 3. — Appareil.

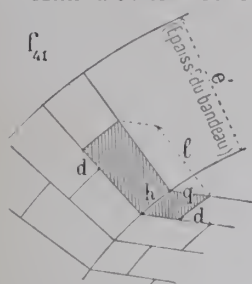
Il sera en moellons d'appareil (MAV.), et non en pierre de taille.

Leur épaisseur h sera voisine de 0^m20 (au moins 0^m18, — rarement plus de 0^m22, — très exceptionnellement 0^m25).

41. — Chap. VI, § 1.

42. — On a donné assez souvent 5^{cm} c'est beaucoup ; — le plus généralement 3^{cm} aux plus petits viaducs et aux plus grands (Pompadour, Cruzeze....)

Afin d'éviter les carreaux, qui sont désagréables, on prendra au moins $1,5h$ pour la longueur l dans le sens du rayon et pour la queue q dans le sens des génératrices de la douelle. (f_{41})



l ne devra, d'ailleurs, pas dépasser $3h$, soit en pratique 0^m60.

Dans le sens du rayon, il n'y aura qu'un seul moellon pour les bandeaux d'une épaisseur de 0^m60 et moins ; au-delà, il y aura deux, trois moellons.

La découpe d de deux moellons voisins, sur la face du bandeau comme en douelle, sera au moins $\frac{h}{2}$, soit au moins 0^m10, le plus souvent 0^m15, quelquefois 0^m20.

Pour ne pas multiplier les échantillons, les dimensions seront en nombre rond de 5^{cm}.

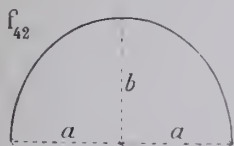
Voici l'appareil à adopter pour des moellons d'épaisseur voisine de 0^m20 :

Ouverture des arches $2a$	Épaisseur de la voûte à la clef e_s	Épaisseur du bandeau e'	Moellons du bandeau		
			Nombre dans le sens du rayon	Longueur suivant le rayon l (f_{41})	Queue en douelle q (f_{41})
5 ^m	0 ^m 61	0 ^m 50	1	0 ^m 50	0 ^m 30 — 0 ^m 40
6	0.66	0.55	1	0.55	0.30 — 0.40
7	0.69	0.60	1	0.60	0.35 — 0.50
8	0.73	0.70	2	0.40 — 0.30	0.35 — 0.50
9	0.76	0.75	2	0.45 — 0.30	0.30 — 0.45
10	0.79	0.75	2	0.45 — 0.30	0.30 — 0.45
11	0.82	0.80	2	0.45 — 0.35	0.35 — 0.45
12	0.85	0.85	2	0.50 — 0.35	0.35 — 0.50
13	0.88	0.85	2	0.50 — 0.35	0.35 — 0.50
14	0.90	0.90	2	0.50 — 0.40	0.40 — 0.50
15	0.93	0.90	2	0.50 — 0.40	0.40 — 0.50
16	0.95	0.95	2	0.55 — 0.40	0.40 — 0.55
17	0.97	0.95	2	0.55 — 0.40	0.40 — 0.55
18	1.00	1.00	2 ou 3	0.60-0.40 ou 0.30-0.30-0.40	0.40 — 0.60
19	1.02	1.00			0.40 — 0.55
20	1.04	1.05	2 ou 3	0.60-0.45 ou 0.30-0.30-0.45	0.45 — 0.60
21	1.06	1.05			0.45 — 0.60
22	1.08	1.10	3	0.30 — 0.30 — 0.50	0.45 — 0.60
23	1.10	1.10	3	0.30 — 0.30 — 0.50	0.45 — 0.60
24	1.12	1.15	3	0.35 — 0.35 — 0.45	0.45 — 0.60
25	1.14	1.15	3	0.35 — 0.35 — 0.45	0.45 — 0.60

§ 3. — VOÛTES EN OVALE SURHAUSSÉ

Un plein cintre vu de face, de bas, paraît surbaissé : pour l'élancer, on peut le surhausser légèrement,⁴³ tout en conservant sous les naissances, au sommet des piles, un petit élément vertical.⁴⁴

On fera ainsi pour les très grands viaducs.



43. — Par exemple (f_{42}) : $2a = 20^m$ $b = 11^m$ (au lieu de 10^m).
 $2a = 26^m$ $b = 14^m$ (au lieu de 13^m).
 $2a = 27^m$ $b = 14^m50$ (au lieu de 13^m50). Projet du viaduc de Chanteloube (Chorges à Barcelonnette) silhouette (f_{34}).

44. — Voir plus loin Chap. VI, § 2, art 1.

PILES

§ 1. — ÉPAISSEURS DES PILES AUX NAISSANCES DES VOÛTES e_2

Art. 1. — Piles à mortier de chaux.

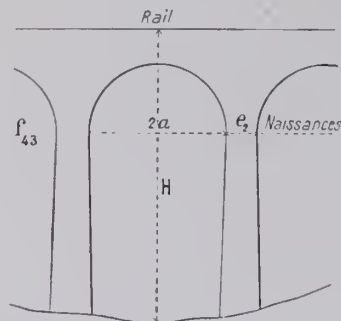
A. — Portées de moins de 8^m.

B. — Portées de 8^m et plus.

On a assez souvent pris $e_2=0,20$ ($2a$).

Pour les petites portées, c'est mince. Sur la largeur de la pile aux naissances, il n'y a que 3 ou 4 moellons. Sous les lourdes machines d'aujourd'hui, un défaut est plus dangereux qu'autrefois. Si donc on n'est pas assuré d'une exécution parfaite, on adoptera pour $2a \leq 8^m$ au lieu de 0,20 ($2a$), $0,40 + 0,15$ ($2a$) et même $0,80 + 0,10$ ($2a$).

Pour le rapport $\frac{e_2}{2a}$, on a à peu près toujours pris 0,2⁴⁵ et pour toutes les piles d'un même viaduc, quelle qu'en fût la hauteur (f_u).



Au poids mort, ou sous les surcharges recouvrant tout l'ouvrage, la pression au sommet d'une pile ne dépend évidemment pas de sa hauteur, mais seulement de la portée $2a$: la hauteur n'intervient que dans le cas de surcharges dissymétriques, une arche chargée, l'autre non.

Pour les piles les plus hautes des viaducs dont l'ouverture des arches est, en général, voisine des $\frac{4}{10}$ de la hauteur totale, les épures de stabilité justifient ce rapport $\frac{e_2}{2a} = 0,2$.

Mais ce qui n'est pas rationnel, c'est de le conserver pour toutes les piles.

Pour les pleins-cintres bas, comme le sont généralement les arches extrêmes des viaducs, il est excessif de prendre $\frac{e_2}{2a}=0,2$ comme dans les ponts d'avant Perronet⁴⁶.

Des rapports $\frac{e_2}{2a}$ et $\frac{H}{2a}$ à quelques bons ouvrages en plein cintre, on peut déduire la formule empirique⁴⁷ (f_u).

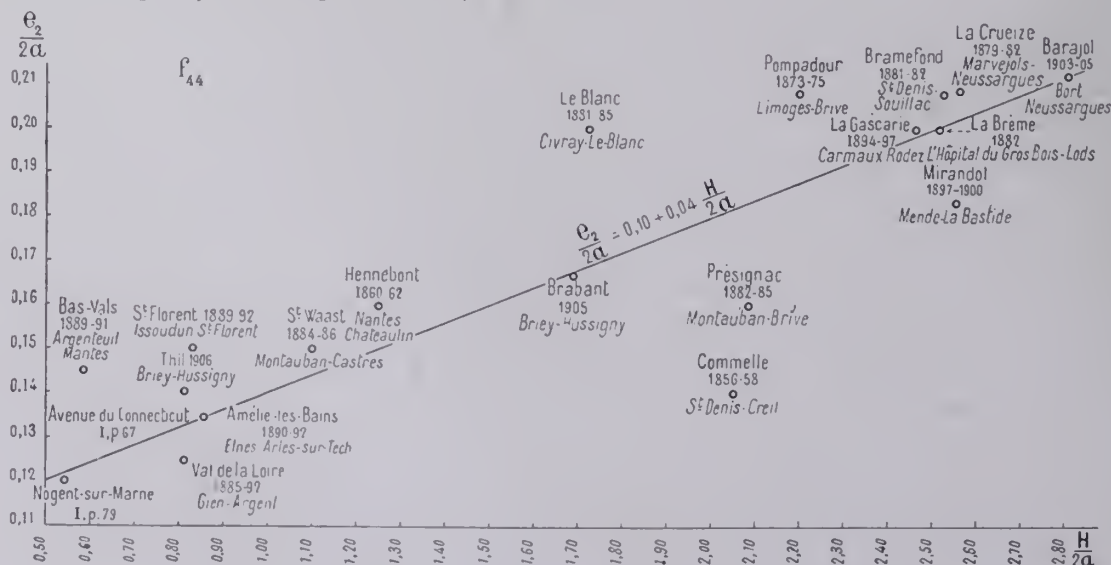
$$e_2 = \frac{2a}{10} + 0,04 H$$

(H, hauteur entre le rail et le terrain à l'aval de la pile).

45. — On fait une grosse économie en réduisant $\frac{e_2}{2a}$: on est descendu à 0,16 au viaduc de Cize sur l'Ain, arches de 20^m, mais il est à 2 étages (Ligne de Bourg à Bellegarde par la Cluse). J'ai adopté 0,183 au viaduc de Mirandol (Ligne de Mende à La Bastide). Dans nombre de viaducs italiens, on trouve $\frac{1}{6} = 0,167$.

46. — On adopte couramment $\frac{1}{8}$ pour les ponts en ellipse, $\frac{1}{8}$ à $\frac{1}{10}$ pour les ponts en arc (V, p. 31).

47. — Ligne moyenne avec de grands écarts de part et d'autre.



On majore au besoin ce qu'elle donne, de façon qu'il n'y ait pas entre 2 piles voisines de différences d'épaisseur choquantes.

Si dans des piles ainsi définies, on calcule les efforts par les méthodes Culmann-Ritter⁴⁸, on trouve que, sous les surcharges dissymétriques, les piles basses travaillent plus que les hautes, plus flexibles : ces méthodes justifieraient plutôt

$$0,25a + 0,03H \quad \text{et même} \quad 0,30a + 0,02H.$$

Mais elles supposent que les piles aux naissances sont libres de se déplacer horizontalement, alors qu'elles en sont empêchées par les tympans.

Je ne sais pourquoi on n'a pas plus tôt fait varier e_2 avec H : l'aspect est meilleur, la dépense moindre⁴⁹.

La variation du rapport $\frac{e_2}{H}$ n'est appréciable que sur le dessin ; elle ne l'est pas, et c'est ce qui importe, dans l'ouvrage : les piles les plus hautes paraîtront encore les plus minces.

De tout temps, on a fait varier l'épaisseur des supports avec leur hauteur : c'est ainsi que les Grecs réglaient, d'après le rayon des colonnes à leur pied (module), leur hauteur et leur espacement.

Quand la largeur des piles en élévation est inférieure à 1^m50, il reste, entre la queue des moellons d'angle, trop peu de place pour y loger pratiquement des moellons à joints incertains ; on y mettra alors des moellons équarris par assises réglées prolongeant celles des moellons d'angle.

Dans un petit viaduc, il peut arriver qu'aux naissances les piles centrales aient plus de 1^m50 de largeur, et les piles extrêmes moins de 1^m50 : s'il convient de faire en moellons incertains les parements des grandes piles, on élargira les petites à 1^m50.

On y admet un travail plus élevé, par conséquent une épaisseur moindre aux naissances et à toute hauteur^{50, 51} : il n'y a pas encore assez d'exemples pour préciser^{52, 53}.

On la fixera d'après ce que peuvent porter les matériaux employés.

Art. 2. — Piles à mortier de ciment.

48. — Voir plus loin (2^e Partie, Livre II).

49. — J'avais conseillé cette disposition en 1908, pour le viaduc de l'Oued Beja (Tunisie). Je l'ai adoptée aux viaducs de la ligne de Nice à Coni, en particulier à celui de l'Escarène (11 arches de 15^m, hauteur maxima 39^m) 1913-14 ; e_2 est de 3^m au milieu et descend à 2^m25, 2^m30 pour les piles de rive ; l'écart maximum d'une pile à sa voisine est de 0^m36.

50. — Au viaduc du Landwasser (hauteur 64^m, arches de 20^m, $R = 100^m$), elle est de 3^m50, soit 0,17 de la portée ; (pression sur le sol : 12^t5).

Albula-Bahn-Denkschrift im Auftrage der Rhätischen Bahn zusammengestellt von Prof. Dr Hennings. — Coire et Zurich, 1908, p. 26, Pl. 15 et 18.

51. — Au viaduc de Weissenbach (hauteur 62^m, arches de 25^m), elle est de 3^m50, soit 0,14 de la portée ; (pression sur le sol 11^t7).

Au viaduc sur la Sitter (arches d'accès de 25^m, au milieu, une travée métallique de 120^m), une des piles-culées de 7^m70 d'épaisseur aux naissances de la voûte d'accès, a une hauteur de 93^m ; elle résiste, sans contre-poussée, à une arche de 25^m. Sur le parement opposé, elle travaille à 25^t.)

Bodensee-Toggenburg-Zürichsee, *Denkschrift über die Eisenbahn-Verbindung Romanshorn-S-Gallen-Wattwil-Uznach*, — St-Gall 1911 : Sitter, p. 82, Pl. 7 ; Weissenbach, p. 91, Pl. 8 et 9.

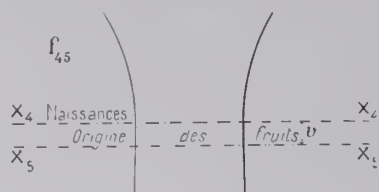
52. — Au viaduc de Malvan (hauteur 62^m, arches de 22^m), l'épaisseur aux naissances est seulement de 2^m50, soit 0,114 de la portée ; mais c'est sous tramway (Ligne de Gagnes à Vence, — Alpes-Maritimes).

53. — A des viaducs projetés (Lignes de Chorges à Barcelonnette, du Puy à Nieigles-Prades), $\frac{e_2}{2(a)} = 0,15$.

§ 2. — FRUIT DES PILES

Art. 1. — Ménager sous les naissances, en élévation, un élément vertical.

Pour adoucir le raccordement des piles aux voûtes, on disposera sous les naissances, en élévation, un élément vertical :



$$v = 0^m20 + \frac{2a}{100} \text{ avec la condition } v \geq 0^m40.$$

On arrondira v , de façon à comprendre un nombre entier d'assises

C'est au plan horizontal $X_5 X_5$ (f_{45}) que commence le fruit en élévation.

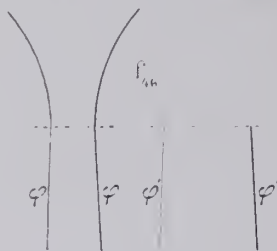
Art. 2. — Comment on profile les piles.

On adopte⁵⁴ :

ou bien des fruits constants, avec un ressaut quand on atteint le travail limite ;
ou bien, pour les hauts viaducs, des fruits croissant avec la hauteur au-dessous des naissances ;
soit suivant des lignes brisées,
soit suivant des courbes continues.

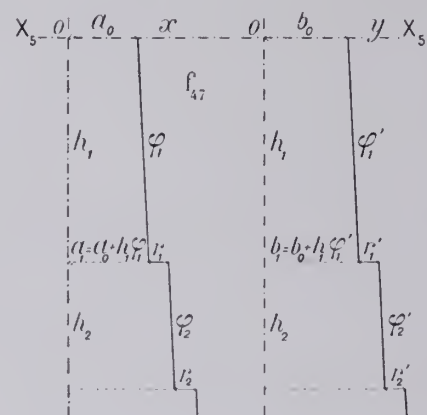
Art. 3. — Fruits droits constants (f_{10}).

A. — En élévation. — On a admis au moins et le plus souvent 2^{cm}, au plus et moins souvent 3^{cm}, que l'œil accepte à peine. D'ailleurs, en forçant φ , on réduit trop le vide à la base.



B. — En travers. — Pour φ' , on va de 2^{cm} à 5^{cm}.

C. — Ressauts. — Dans les hautes piles, on atteint la pression limite fort au-dessus du sol, par exemple à h_1 au-dessous des naissances (f_{47}).



On élargit alors la pile par un ressaut r_1 ; puis on repart avec le même fruit ou un plus grand, et on est obligé, si la pile est assez haute, à un deuxième ressaut r_2 .

S'il n'y en a qu'un, et qu'il soit tout près du sol, il est comme le socle de la pile. C'est très acceptable. S'il est haut, il coupe fort désagréablement des lignes verticales qu'il faut respecter.

Deux ressauts sont choquants, comme on a le regret de le constater au beau viaduc de Pompadour (55^m de hauteur) : l'effet de hauteur en est fort amoindri.

54. — Les Romains dressaient verticalement les fûts des piles (Aquaduc de Ségovie). Reynaud a projeté ainsi le viaduc de Dinan, — exemple qui a été très peu suivi (*Traité d'Architecture. — Edifices*, p. 495, Pl. 71) : on en trouve de tels sur la ligne de Marseille à Avignon (avant 1847), par exemple :

le viaduc des Riaux près de l'Estaque (5 arches en plein cintre de 8^m, cordons aux naissances, bandeaux à crossettes) ;

le viaduc de la gare de Tarascon (61 arches dont 58 en plein cintre de 4^m d'ouverture, avec archivolt, cordons aux naissances). C'est un ouvrage romain : les Arènes de Nîmes, le pont du Gard sont tout près.

55. — Le volume de la tranche h_1 est :

$$V_1 = \frac{1}{2} h_1 \left[a_0 b_0 + (b_0 \varphi_1 + a_0 \varphi'_1) \frac{h_1}{2} + \varphi_1 \varphi'_1 \frac{h_1^2}{3} \right]$$

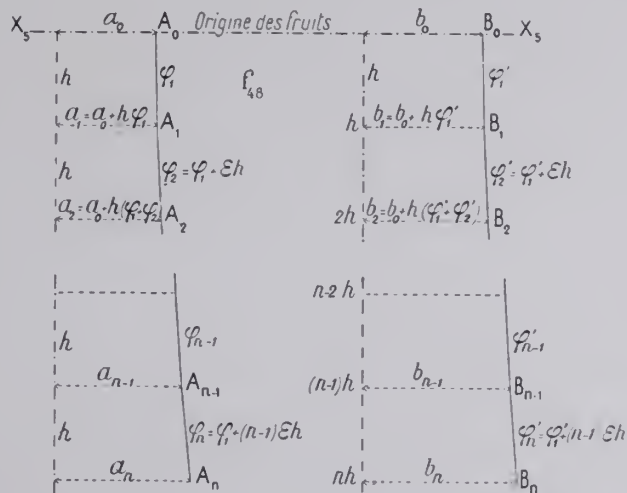
Il en eut fallu trois au viaduc de la Gruize (63^m de hauteur).

Pour les très hauts viaducs, il faut donc faire varier les fruits.

Au-dessous du plan $X_s X_s$, origine des fruits en élévation, on divise la pile en tranches de même hauteur h et de fruits croissants :

$$\begin{array}{l} \varphi_1 \varphi_2 \dots \varphi_n \text{ en élévation ;} \\ \varphi'_1 \varphi'_2 \dots \varphi'_n \text{ en travers.} \end{array}$$

Art. 4. — Fruits croissants. — Profils en ligne brisée (f_{48}).



Soient a_n, b_n , les demi-côtés de la section de base de la $n^{\text{ième}}$ tranche :

$$a_n = a_0 + h [\varphi_1 + \varphi_2 + \dots + \varphi_n] \quad b_n = b_0 + h [\varphi'_1 + \varphi'_2 + \dots + \varphi'_n]$$

Si chaque fruit croît, par rapport au précédent, de la même quantité $\varepsilon h, \varepsilon' h$:

$$a_n = a_0 + nh \left[\varphi_1 + \frac{n-1}{2} \varepsilon h \right] \quad b_n = b_0 + nh \left[\varphi'_1 + \frac{n-1}{2} \varepsilon' h \right]$$

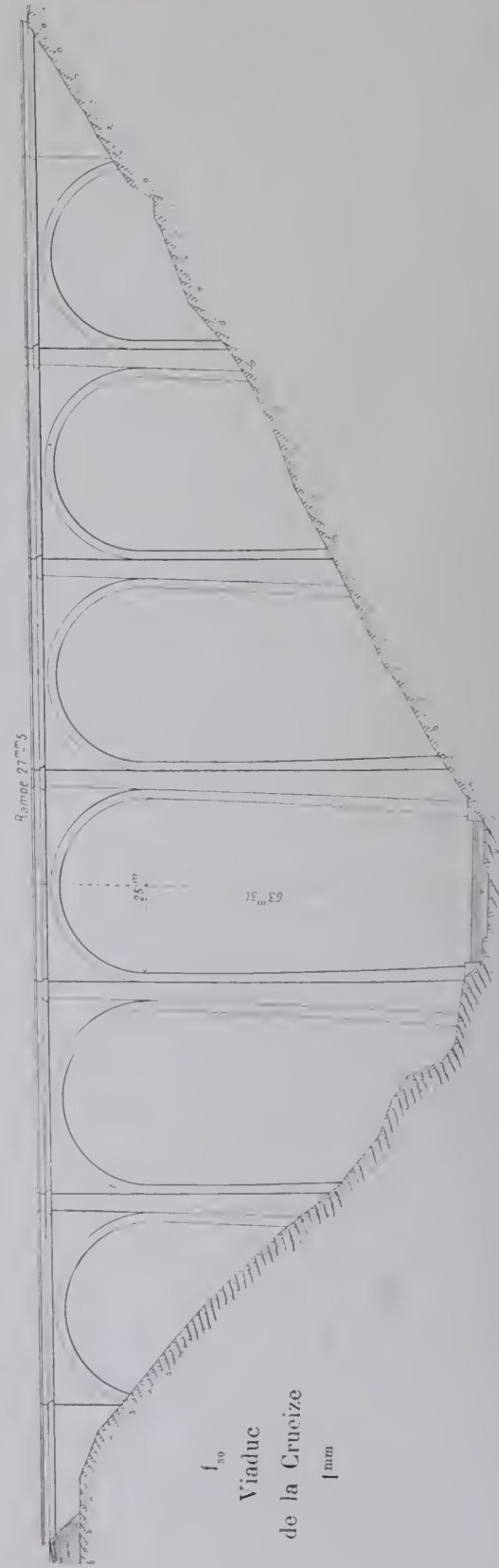
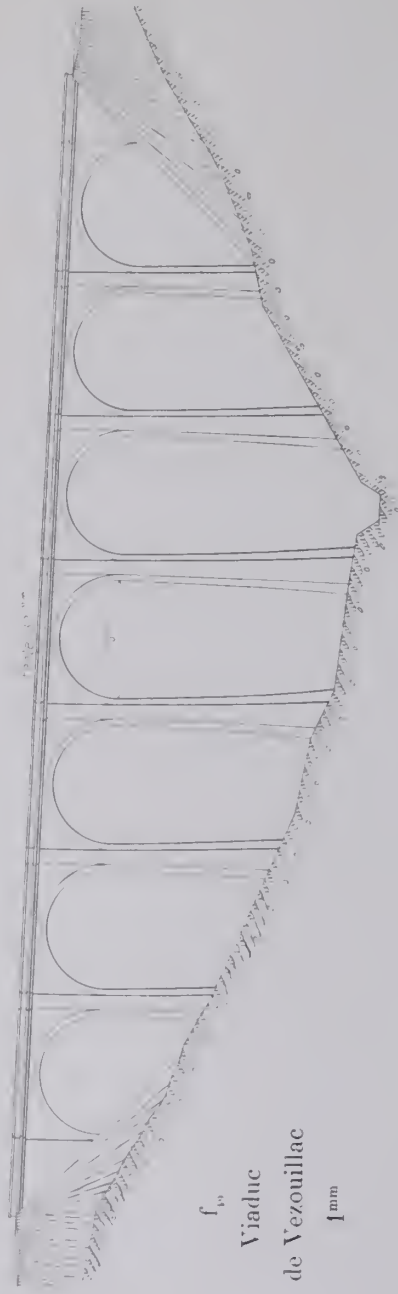
Posons $\varphi_1 = \varphi_0 + \frac{\varepsilon}{2} h \quad \varphi'_1 = \varphi'_0 + \frac{\varepsilon'}{2} h$

Les courbes $A_0 A_1 A_2 \dots, B_0 B_1 B_2 \dots$ sont les paraboles :

$$x = a_0 + z \left(\varphi_0 + \frac{\varepsilon z}{2} \right) \quad y = b_0 + z \left(\varphi'_0 + \frac{\varepsilon' z}{2} \right)^{56}$$

56. — Volume au-dessous de $X_s X_s$ des n tranches de hauteur h ($nh = H$)

$$W = 4 H \left\{ \begin{array}{l} a_0 b_0 + (a_0 \varphi'_0 + b_0 \varphi_0) \frac{H}{2} + \left[\frac{a_0 \varepsilon' + b_0 \varepsilon}{2} \left(1 + \frac{1}{2n^2} \right) + \varphi_0 \varphi'_0 \right] \frac{H^2}{3} \\ + \frac{\varphi_0 \varepsilon' + \varphi'_0 \varepsilon}{2} \left(1 + \frac{1}{3n^2} \right) \frac{H^3}{4} + \frac{\varepsilon \varepsilon'}{4} \left(1 + \frac{5}{9n^2} + \frac{1}{9n^4} \right) \frac{H^4}{5} \end{array} \right\}$$



On a pris, pour le fruit en élévation, avec $h = 4^m, 5^m$:

$$\varphi_1 = 15^{mm}, 20^{mm}.$$

Pour élancer la pile, il convient de commencer par un petit fruit :

φ croît souvent de 5^{mm} par tranche de 5^m , soit $\epsilon = 1^{mm}$;

$$\Phi_1. \text{ — Viaduc de la Crucize.}^{63}$$



Pour le fruit en travers :

$$\varphi'_1 = 40^{mm}, 45^{mm}$$

$$\epsilon' = 1^{mm}.$$

Au pied de grands viaducs,

φ atteint $65^{mm}, 75^{mm}, 85^{mm}$

$\varphi' \text{ — } 100^{mm}, 120^{mm}, 140^{mm}.$

Si la stabilité l'exige, on augmente φ_1 et ϵ , φ'_1 et ϵ' .

A quelques viaducs, les fruits sont droits en élévation, courbes en travers⁵⁷.

Le premier viaduc à piles ainsi profilées est celui de Vezouillac^{58, 59} (f_{12}), mais la pression n'y atteint que 6^s28 : ce viaduc, joli par en haut, a les pieds trop gros.

On a fait mieux à St-Laurent d'Olt⁶⁰, et encore mieux à la Crucize^{61, 62}, parce qu'on y a élevé le travail limite (9^k sans surcharge ni vent). C'est le plus beau viaduc de France (f_{50}, Φ_1).

57. — Limoges à Brive par Uzerche.

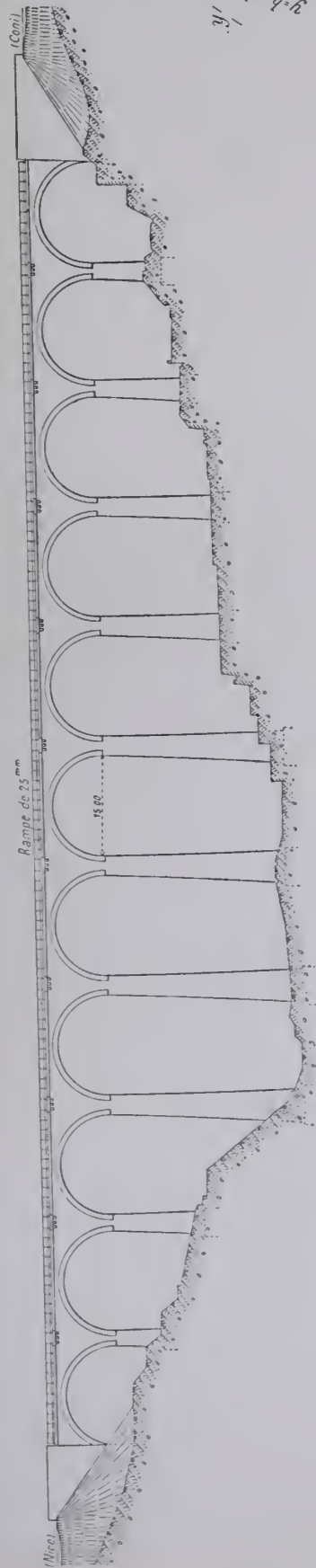
58. — Le mérite en revient à M. Robaglia, alors Ingénieur en Chef à Rodez.

62. — A la Crucize, si la grande pile de 46^m50 eut eu les arêtes droites en conservant ses épaisseurs et ses largeurs aux naissances et en bas, les fruits eussent été : en élévation 0^m035 , en travers 0^m102 : le cube de la pile eut été porté de 4392^m^3 à 4787^m^3 , c'est-à-dire augmenté de 395^m^3 (9 %).

63. — Cliché de M. Terpereau, photographie à Bordeaux.

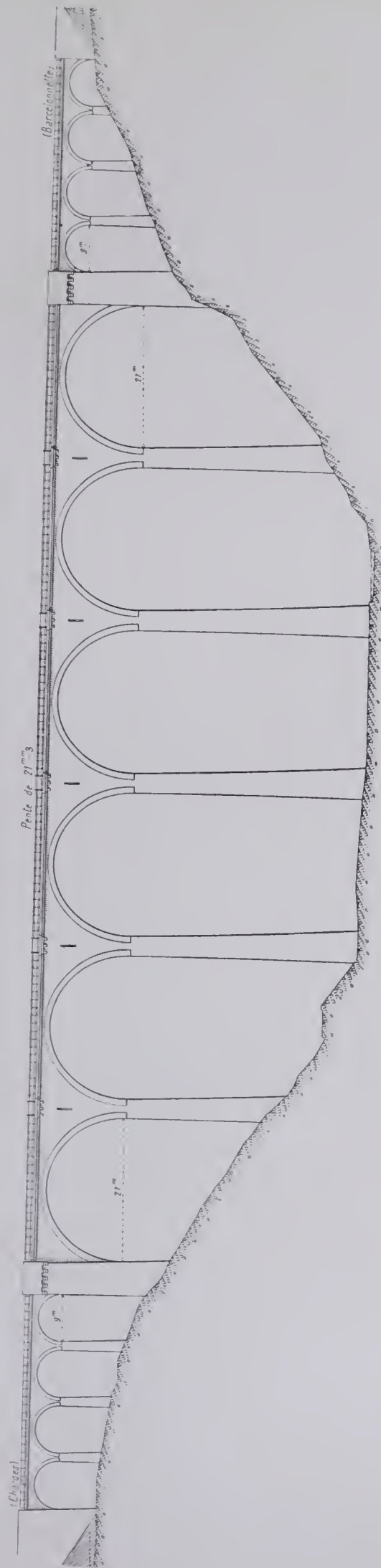
	Ligne de :	Date	Portée	Hauteur
59	Rodez à Millau	1873-77	16^m	43^m
60	Séverac à Marvejols	1877-79	20^m	53^m
61	Marvejols à Neussargues	1879-83	25^m	63^m

f_{33} — Viaduc de l'Escarène — 1mm (1913-15)
Ligne de Nice à Coni. Mortier de chaux



Profils des Piles	Chante-loube
$v = 0^m 10$	$0^m 45$
$x = 1^m 175$	$1^m 30$
$y = 0,02$	$0,0125$
$z = 0,0012$	$0,0006$
$a = 188$	$2^m 57,4$
$b = 0,025$	$0,025$
$c = 0,002$	$0,0012$

f_{34} — Viaduc de Chanteloube -- 1mm (Projet)
Ligne de Chorges à Barcelonnette. Mortier de ciment



Art. 6. — Hauteur à partir de laquelle on adoptera les fruits courbes.

Des fruits variables donnent quelques sujétions : si faibles qu'elles soient, elles absorbent une petite partie de l'économie sur le cube.

On peut, arbitrairement, fixer à 35^m la hauteur (à 14^m la portée) jusqu'à laquelle on conservera les fruits constants.

§ 3. — PILES-CULÉES ENTRE ARCHES ÉGALES N'EN PLUS FAIRE

Si une arche tombe, toutes tombent les unes après les autres. Pour limiter les chutes, à d'anciens viaducs^{65, 66}, quelquefois à de récents⁶⁷, on a épaissi, au grand dommage de l'aspect, une pile sur 3, sur 4.

Mais il est à craindre que, calculées pour être stables, ces « piles-culées » ne soient pas assez rigides et que, sans tomber elles-mêmes, elles laissent tomber les arches^{68, 69}.

On a construit sans piles-culées nombre de grands viaducs : les très rares que l'on fait encore semblent des organes-témoins reproduits par tradition.

§ 4. — CONTREFORTS

Dans les hauts viaducs, on a souvent plaqué sur les piles des contreforts (f_{33} , f_{36}), plus pour les décorer que pour les renforcer.

65. — Viaducs à deux voies et deux étages :

Du Gouet, 59^m45 de hauteur, deux piles-culées (Rennes à Brest) ; — de Morlaix, 62^m16 de hauteur trois piles-culées (Rennes à Brest) 1861-63 ; — de Velars, de la Combe-Bouchard, de la Combe-de-Fin, une pile-culée par 5 arches (tous les trois sur la ligne de Paris à Dijon, descente de Blaizy à Dijon) 1847-49.

66. — Cette précaution est fort ancienne : il y a 2 piles-culées au pont de Blois (1716-1724).

67. — Viaducs : du Blanc (Poitiers au Blanc) 1881-85, 21 arches de 20^m, 4 piles-culées ; — de l'Auzon (Argenton à La Châtre) 1897-1900, 42^m70 de hauteur, 20 arches de 20^m, 2 piles-culées ; — sur l'Oued Beja (Mateur à Nebeur, Tunisie) 1908-10, 54^m de hauteur, 12 arches de 21^m, piles courantes de 4^m20 aux naissances, piles-culées de 6^m20, une pile-culée par 4 arches.

Aux viaducs de la ligne du Lœtschberg 1910-12, on a « renforcé » chaque 6^e pile pour des voûtes de 10^m, chaque 5^e pour 12^m, 14^m, chaque 4^e pour 16^m, 18^m 20^m.

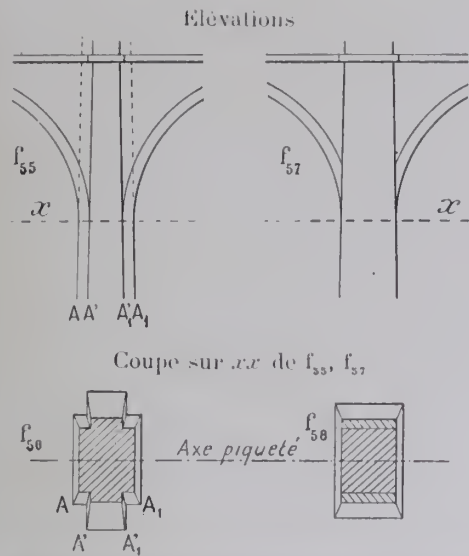
68. — Chute du pont de Vernon (III, p. 378).

Φ_2 . — Viaduc de Poix



69. — Le 31 août 1914, le Génie Français a fait sauter des arches côté Amiens du viaduc de Poix (ligne d'Amiens à Rouen), ouvrage en briques, hauteur maxima 30^m, 12 arches de 16^m50 en 4 groupes de 3, limités par des piles-culées. Les arches côté Amiens sont tombées jusqu'à une pile-culée (Φ_2) qui s'est inclinée vers Amiens de 48^m au niveau du rail ; l'arche au delà (côté Rouen) s'est fendue : on n'en a conservé que les retombées.

Il est permis de penser que cette pile-culée a sauvé les 6 arches côté Amiens. A certains hauts viaducs à couper en temps de guerre, peut-être convient-il de ménager des piles-culées, mais assez épaisses pour ne pas fléchir si une des arches qui les encadrent est ruinée.



Les 4 arêtes A, A_1, A', A_1' , doivent, pour l'aspect, concourir en un même point au-dessus de l'ouvrage (f_{55}).

Les fruits des contreforts sont moindres en élévation que ceux des arêtes de la pile, par exemple de 1^m , plus grands en coupe transversale, par exemple de 2^m .

Le contrefort laisse apparaître les bandeaux des deux arches qui l'encadrent; pour qu'il ne soit pas trop maigre, il faut des arches d'au moins 16^m .

On lui a, quelquefois, donné la largeur même de la pile (f_{57}). On supprime ainsi deux arêtes; mais il y a un peu plus de cube. Quoique les bandeaux soient assez fâcheusement coupés, ce n'est pas laid.

Φ_3 . — Viaduc de Piou^{70, 71}.



Souvent, aux viaducs divisés par des piles-culées, on n'a fait de contreforts qu'à ces piles-là.

Il y a de fort beaux viaducs avec contreforts (Φ_3): on en peut faire de tout aussi beaux sans contreforts.

Au-dessus des naissances, ils ne servent qu'à supporter les niches de refuge; ils compliquent l'appareil des tympans.

70. — Ligne de Séverac à Marvejols (1877-79). Il est de la famille des viaducs de Morandière (Aulne, Pompadour,...)

71. — Contre les tailleurs des contreforts, voir V p. 99.

Au-dessous, ils renforcent la pile ; mais on peut trouver à meilleur marché la surface nécessaire en faisant croître les fruits.

Il vaut mieux n'en plus faire.

Ceci ne s'applique qu'aux viaducs à arches égales. Un contrefort, un pilastre peuvent utilement encadrer une grande arche, séparer un corps central à grandes arches d'un viaduc d'accès à petites.

§ 5. — MASSIF DE FONDATION

**Art. 1. — En règle générale, dresser le sol horizontal-
mentsansgradins⁷²**

*A. — On est sur ro-
cher.*

Supposons qu'on ait taillé le rocher en gradins, avec marches horizontales AB, CD, EF (f_{59}).

La tranche de maçonnerie BB'CC' tasse : les pointes de rocher qui, elles, ne tassent pas, tendent à y entrer comme des coins et à la fendre ; le danger augmente :

1° — avec la charge. — Donc pas de gradins sous les piles des hauts viaducs. On dressera horizontalement le fond de la fouille, même au prix d'un grand déblai de rocher.⁷³

2° — avec la hauteur des gradins. — Donc, si on accepte les gradins, qu'ils soient petits.

3° — avec la nature de la maçonnerie sur les gradins. — Employer des moellons à assises horizontales au lieu de moellons bruts, du mortier de ciment au lieu de mortier de chaux, et laisser durcir le mortier avant de continuer.

*B. — On n'est pas
sur rocher.*

Supposons maintenant que l'on ait affaire à un terrain moins résistant que la maçonnerie (calcaire tendre, marne, tuf, etc...)

Si on y taille des gradins, ce seront eux qui tasseront plus que la maçonnerie : leurs pointes céderont et ne la soutiendront plus.

Donc, pour tous terrains, une haute pile sera bâtie sur plate-forme horizontale sans gradins.

**Art. 2. — Ne pas s'ar-
rêter à la surface du
rocher. S'encastrent
dans le vif.**

**Art. 3. — Bien net-
toyer le sol de
fondation.**

Souvent, le dessus du rocher n'est pas bon. Il faut atteindre le vif⁷⁴.

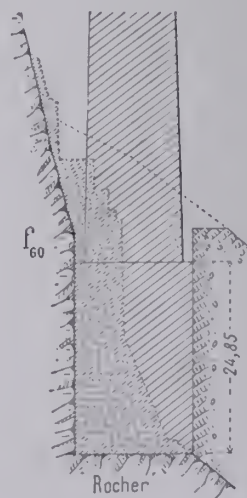
72. — Pour les gradins sous les ouvrages de 8^m et au-dessous, voir p. 30.

73. — Au viaduc des Crottes (Morbier à Morez), on a rencontré le rocher disposé comme l'indique f_{60} .

On a tout déblayé jusqu'à une plate-forme horizontale tout entière dans le rocher.

74. — Au viaduc de Mussy (Paray-le-Monial à Givors), 63^m de hauteur, on est descendu à 8^m dans le rocher tendre.

Au pont sur la Seine, près de Montereau (Corbeil à Montereau), on a rencontré sous le gravier une craie tendre à 4^m17 sous l'étiage. Il fallut descendre à 15^m45 pour trouver une bonne craie résistante.



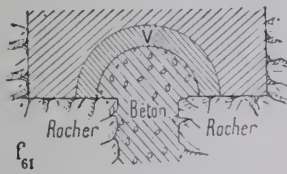
S'il restait à sa surface une couche molle, la maçonnerie la chasserait par son poids et tasserait de l'épaisseur de cette couche.

Si le fond est du rocher, il faut le piquer à la grosse pointe, bien enlever les recoupes et la poussière, puis bien laver à grande eau et poser la première assise sur une couche de mortier.

Certains terrains, le sable argileux par exemple, se ramollissent par l'eau et sous les pieds des ouvriers. Il faut bien nettoyer et décaper la fouille à vif et couler rapidement une couche générale de béton de ciment qu'on laisse prendre et sur laquelle on maçonne.

Sur quelque terrain que l'on fonde, il est bien entendu que l'Ingénieur ne laissera pas commencer les maçonneries avant d'avoir, *lui-même*, vérifié et accepté la plate-forme; il surveillera, *lui-même*, la pose des premières assises.

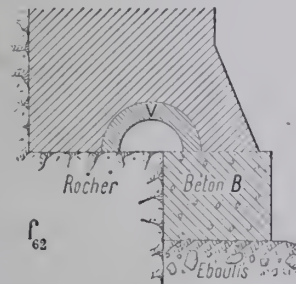
Si la plate-forme est ramollie par l'eau, on l'asséchera, si on le peut, par des galeries⁷⁵.



On les nettoie à vif et on les bourre de béton de ciment⁷⁶.

Si une fissure profonde traverse la fondation, on la vide sur 2 ou 3^m, on la bourre de béton de ciment, dessus on construit une voûte V (f_{61})⁷⁷.

Art. 4. — Il y a des fissures dans le rocher de fondation.



On fait alors au mieux, suivant les circonstances, pour diminuer la pression sur la partie la plus faible et la répartir le plus également possible sur toute la fondation.

Si, par exemple (f_{62}), on trouve d'un côté du rocher, de l'autre des éboulis, on élargira la fouille du côté des éboulis; on coulera dessus un massif de béton de ciment B: par dessus la surface séparant le rocher des éboulis, pour égaliser les pressions, on jettera une voûte V, une dalle en béton armé....

Art. 5. — On trouve, en fondation, deux natures de sol.

Au-dessous du sol naturel, il faut ménager un ressaut :

1°. — pour élargir la base d'appui, en vue de réduire la pression sur le sol ou sur les maçonneries. On le détermine d'après la pression limite admise.

2°. — pour parer aux erreurs d'implantation. On lui donne, en général, 0^m20, 0^m25, 0^m30, — jusqu'à 0^m40.

Quand la maçonnerie repose sur du béton, il faut augmenter le ressaut pour qu'il n'y ait pas de pression près de l'arête du béton. On a été jusqu'à 0^m90, 1^m.

3°. — pour parer aux déplacements des massifs descendus, soit par havage, soit à l'air comprimé. On le fera d'autant plus grand que les massifs auront plus à descendre⁷⁸; s'ils doivent traverser une épaisseur H de terrain, on donnera au ressaut : $0^m20 + 0,02 H$.

Art. 6. — Ressaut.

75. — Travaux d'assainissement et de consolidation de la ligne de Lons-le-Saulnier à Champagnole, — viaducs de l'Ermitage et de Vertancul.

Annales des Ponts et Chaussées, 1893, 2^e semestre, p. 573, — MM. Moron et Canat.

76. — Viaduc de Puyredon (Nontron à Sarlat), 1893-94.

77. — Viaducs du Boulet (Cahors à Brive), de Brametond (Saint-Denis au Buisson).

78. — On a constaté des déplacements :

de 0^m65 à une pile du viaduc du Val Saint-Léger (Ligne de la Grande-Ceinture) descendue à 30^m;

Annales des Ponts et Chaussées, novembre 1882. « Notice sur la Traversée du Val St-Léger », M. Geoffroy.

de 0^m20 à une pile du pont de Marmande, (Ligne de Marmande à Casteljaloux, 1880) descendue à 6^m dans du gravier, puis du tuf.

TYMPANS

§ 1. — FRUIT DU PAREMENT VU

Art. 1. — Il faut donner du fruit aux tympans.

Les tympans sont au-dessus de piles en fruit. A nombre de viaducs, ils n'ont pas de fruit (f_{63}), mais l'œil y redresse la pile CB et voit le tympan BA en surplomb : c'est choquant.

Quand on s'est inquiété de l'aspect, — et il s'en faut toujours inquiéter, — on a donné du fruit aux tympans : à beaucoup 20^{mm}, assez souvent 30^{mm} ⁷⁹.

C'est aussi un peu plus stable.

Art. 2. — Fruits à adopter.

1^{er} Cas. Pile à fruit constant.

A. — *Tympan ayant même fruit que la pile.* — Cette disposition augmente un peu le cube des maçonneries : on ne l'adoptera donc que pour les petits viaducs. J'admetts, un peu arbitrairement, 20^m comme limite de hauteur ⁸⁰.

Pour la pile, comme pour les tympans, le fruit transversal φ' sera 30^{mm}, 40^{mm}, au plus 50^{mm}.

B. — *Tympan parabolique* (f_{64}). — Le tympan est dressé suivant une parabole ABC à axe horizontal, tangente en B à la pile de fruit φ' et ayant sous la plinthe un fruit très faible φ'_0 , par exemple, 2^{mm} ; elle a pour équation :

$$y = z \left(\varphi'_0 + \frac{\varphi' - \varphi'_0}{2T} z \right).$$

2^e Cas. Pile à fruit courbe (f_{65}).

La coupe du tympan AB est une droite tangente en B à la parabole de la pile.

79. — et même 50^{mm}. C'est trop pour des viaducs en alignement. On a été jusqu'à 70^{mm}, mais pour les tympans convexes de viaducs en courbe.

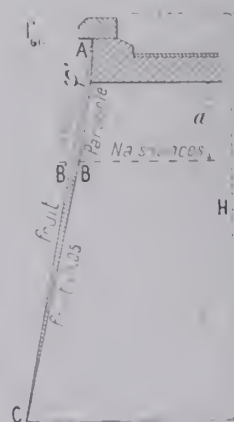
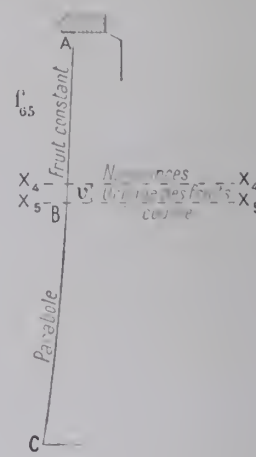
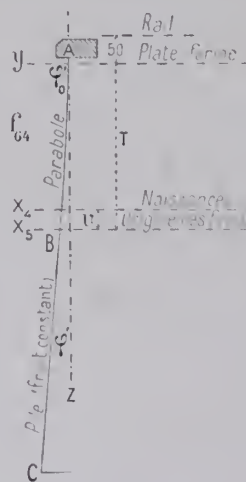
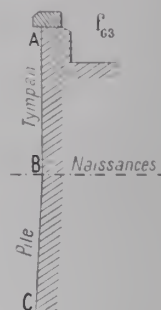
80. — Soient, pour un viaduc de hauteur H et d'ouverture 2a (f_{66}) :

V_2 le volume des maçonneries entre les plans verticaux des clefs de deux voûtes voisines ; les piles ont un fruit constant de 25^{mm} en élévation, de 50^{mm} en coupe transversale ; les tympans sont dressés suivant une parabole ABC tangente aux piles à leurs naissances B et dont l'axe passe par le dessous de la plinthe.

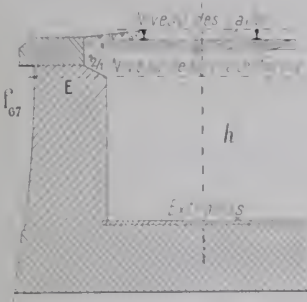
V_1 le volume défini de même, mais avec tympan et pile dressés en coupe transversale suivant un fruit unique ABC.

On trouve :

Hauteur H	Ouverture $2a = 0,4 H$	$V_1 - V_2$	Hauteur H	Ouverture $2a = 0,4 H$	$V_1 - V_2$
12 ^m 50	5 ^m	1 ^m 57	30 ^m	12 ^m	18 ^m
17 ^m 50	7 ^m	3 ^m 95	37 ^m 50	15 ^m	34 ^m
25 ^m	10 ^m	10 ^m 73	50 ^m	20 ^m	78 ^m



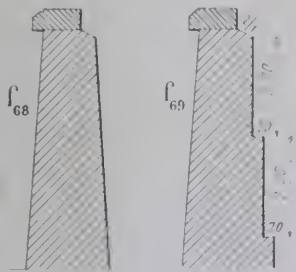
§ 2. — TYMPANS PLEINS



Pour les tympanans pleins, ou évidés par des voûtes longitudinales de 1^m30 au plus de portée, E ne descend pas au-dessous de 0^m80, ne dépasse guère 1^m20, est d'ordinaire 1^m.⁸¹

Le plus souvent, le parement intérieur est vertical.

On a quelquefois donné un fruit intérieur (f_{68}); ce n'est pas bon: au passage des trains, le remplissage peut faire coin et tendre à les ouvrir. Il est préférable de ménager des redans de 0^m20 tous les 2^m (f_{69}).



Il doit :

1°. — être et rester incompressible, sec ou mouillé, pour ne pas s'enfoncer sous les trains ;

2°. — être insensible à l'action de l'eau, c'est-à-dire n'être ni gonflé, ni imprégné, ni décomposé, ni entraîné par elle : donc pas de remblais terreux, argileux, crayeux, gypseux ;

3°. — tenir, sec ou mouillé, à un talus aussi raide que possible, pour ne pas pousser sur les tympanans : donc pas de remblais argileux, sablonneux, qui poussent quand ils sont mouillés ;

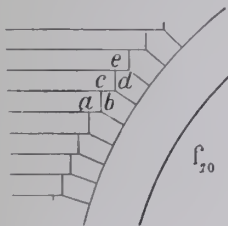
4°. — au-dessus de la chape, être très perméable, pour que l'eau y arrive tout de suite et ne séjourne pas dans l'ouvrage.

5°. — être léger, pour réduire la poussée dans les voûtes et la charge sur le sol.

Toutes ces conditions sont satisfaites par un remplissage en graviers bien lavés : mieux, par des déblais rocheux rangés à la main.

Entre les voûtes et la chape (si elle n'est pas appliquée sur les voûtes elles-mêmes), on peut employer du béton maigre contenant seulement 100^k de chaux par m.c. de sable. Mais il faut le faire par temps sec et l'abriter aussitôt fait : s'il pleut dessus, il s'y emmagasine de l'eau qui ne peut plus sortir ensuite qu'à travers les voûtes ou les tympanans.

Si le tympan est à joints incertains (MOI), aucune difficulté.



Mais, si les moellons de parement sont par assises horizontales (MOII, ME), ils rencontrent l'extrados du bandeau suivant des becs de flûte de plus en plus aigus à mesure que l'on se rapproche de la clef.

Le plus rationnel serait d'appareiller en crossettes les moellons de raccordement (f_{70}). On l'a fait quelquefois, mais au détriment de l'aspect : les pointes a , c , e , b , d , f , g , h , i , j , k , l , m , n , o , p , q , r , s , t , u , v , w , x , y , z dessinent des courbes d'extrados qui nuisent à celle du bandeau.

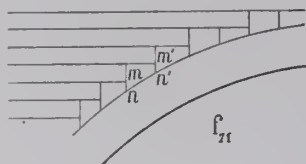
Il vaut mieux conserver les assises horizontales et couper simplement les angles

Art. 1. — Epaisseur.

Art. 2. — Remplissage entre les tympanans.

Art. 3. — Raccordement de l'appareil des tympanans avec celui des bandeaux.

⁸¹ — Voir plus loin renvoi 90.



trop aigus (f_{71}) : on commence, pour les pleins cintres à bandeaux extradossés parallèlement, à 45° de la verticale. Les pointes mn , $m'n'$... des moellons auront au moins 0^m10 .

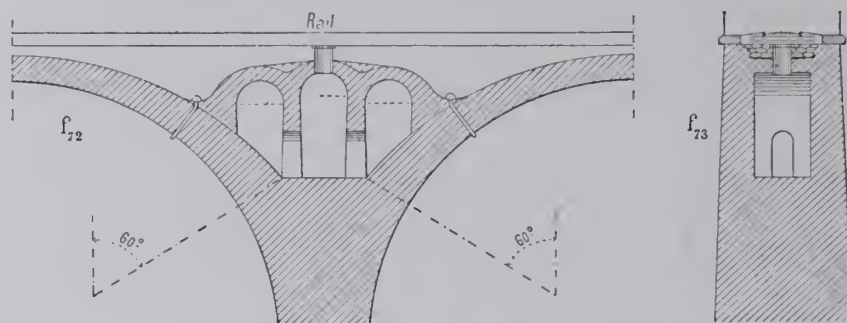
§ 3. — TYMPANS ÉLÉGIS⁸²

Art. 1. — Portée à partir de laquelle on élégit.

On n'évidera pas au-dessus de pleins cintres de moins de 15^m ; on évidera toujours à plus de 19^m .

Art. 2. — Elégissements transversaux.⁸³

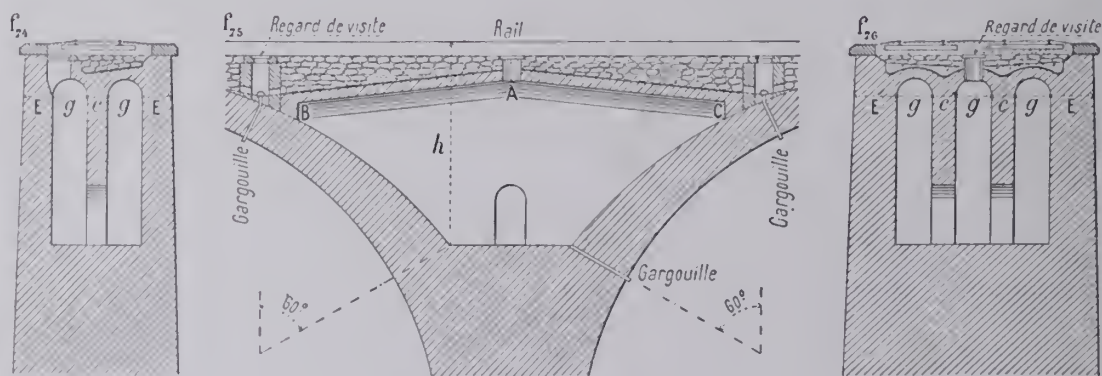
On se gardera de les montrer. On ne jettera pas d'arc unique entre deux grandes voûtes⁸⁴. On élégira par de petits pleins cintres cachés (f_{72} , f_{73})⁸⁵.



Ils relient les tympans que tendent à écarter les voûtes longitudinales : ceux-ci ne sont plus qu'un masque, on en réduit l'épaisseur à 0^m70 , 0^m80 .

Art. 3. — Elégissements longitudinaux.⁸⁶

Les voûtes d'évidement ont 1^m20 , 1^m30 sur cloisons de 0^m60 : il y en a deux aux viaducs



82. — Voir V, p. 50 et suivantes.

83. — V, p. 51, 57, 58.

84. — Viaducs de la ligne de Millau à Séverac (1873-77).

85. — V, p. 59, § 6.

86. — V, p. 59.

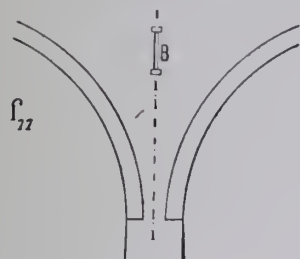
à 1 voie (f_{74} , f_{75})^{87, 88}, trois à ceux à 2 voies (f_{76} , f_{77})^{89, 90}.

A partir du milieu A (f_{73}), elles auront des pentes d'au moins 5cm.⁹¹

Elles sont presque toujours en plein cintre : elles seraient mieux en ogive, en ellipse surhaussée, pour moins pousser les tympans⁸⁶.

Elles répartissent mal les charges sur les grandes voûtes⁹².

Dans les courbes, à leur poussée s'ajoute la force centrifuge.



On y descendra par des regards débouchant, pour les viaducs à 1 voie, soit dans les trottoirs contre les plinthes, soit dans l'axe de la voie ; pour les viaducs à 2 voies, dans l'entrevoie.

Les maçonneries se conservent mal dans l'air humide.

Dans nos derniers grands viaducs, nous avons traversé le tympan par une barbacane B (f_{77}).

Art. 4. — Il faut visiter les élégissements cachés.

Art. 5. — Il faut les aérer.

CHAPITRE VIII

CULÉES⁹³

Les culées sont les parties les plus variables des ouvrages ; elles dépendent encore plus que les autres de la forme et de la nature du terrain.

On ne peut donc donner ici que des indications tout à fait générales.

87. — Il n'y en a qu'une aux viaducs des lignes de Tournemire au Vigan (1886-95), d'Espalion à Bertholène (1903-07) ; elle a alors 1m60, 1m80. Il faut pour la tenir des tympans épais.

88. — Il y en a 3 de 0m80 au viaduc de Lègaud (Eymoutiers-Meymac), 3 de 0m70 à celui de la Donne (Saint-André à Puget-Théniers 1905-07).

89. — Il n'y en a que deux aux viaducs de l'Aulne (Nantes-Landerneau), de Mussy (La Clayette-Lamure 1892-95). Elles ont 2m, 2m30. C'est trop.

90. — Voici quelques exemples :

	Viaduc de	Ligne de	Dates de construction	Ouverture des grandes arches 2a	Voûtes d'élégissement en plein cintre			Epaissseur des tympans E	
					Ouverture g	Epaisseur des cloisons c	Hauteur du rail au-dessus du creux h	hors du contre-fort	y compris le contrefort
1 Voie 2 voûtes d'élégissement $f_{74} - f_{75}$	Vignols	Limoges à Brive	1872-75	20m	1m30	0m60	6m10	0m70	1m15
	Pompadour			25	1.30	0.60	8.21	0.96	1.35
	La Sagne			20	1.30	0.60	6.10	0.70	1.15
	Le Sarget			20	1.30	0.60	6.10	0.70	1.15
	Le Blanc	Poitiers au Blanc	1881-85	20	1.05	0.75	6.90	1.03	
	Barajol	Bort à Neussargues	1903	20	1.00	0.60	3.59	1.10	1.48
	Saint-Waast	Montauban à Castres	1882-84	20	1.20	0.59	6.00	0.96	Pas de
2 Voies 3 voûtes d'élégissement $f_{73} - f_{74}$	L'Auzon	Argenton à La Châtre	1897-1901	20	1.20	0.60	7.19	0.89	contrefort
	Piou	Séverac à Marvejols	1878	20	1.20	0.80	6.45	1.60	2.21
	Senouard	Marvejols à Neussargues	1879-83	18	1.20	0.80	6.15	1.60	2.15
	Chantepedrix			20	1.20	0.80	6.50	1.66	2.40
	La Crueize			25	1.20	0.80	7.70	1.66	2.60
	Saint-Satur	Bourges à Cosne	1891-93	13	1.60	0.70	4.40	1.15	1.75

91. — Au viaduc du Blanc, cette pente atteint 24cm5.

92. — V, p. 50.

93. — V, p. 42 et suivantes.

§ 1. — PARTIES VUES

Art. 1. — Rôle apparent des culées. Elles arrêtent, elles encadrent l'ouvrage.

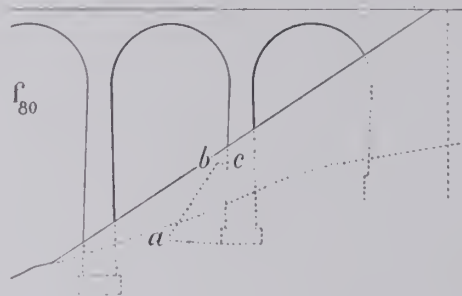
On les fera ressauter de 0^m35 à 0^m50 par rapport au nu des tympans (f_{78} , f_{79}) ; on les surmontera d'un parapet plein, sans plinthe. On ne comprend guère en effet une plinthe se prolongeant sur la culée et se perdant dans un quart de cône ou dans le terrain. Ces culées brutales arrêtent bien l'ouvrage⁹⁴.

Art. 2. — Quarts de cône.

On a souvent perreyé les quarts de cône pour raidir leurs talus : c'est laid et d'entretien coûteux ; on ne fera de perrés que pour les protéger contre les crues.

En principe, les quarts de cône seront à 3/2 : ce n'est qu'exceptionnellement, s'il faut réduire les murs en retour, qu'on acceptera une inclinaison de 5/4 sur leur parement ; mais alors il faudra bien pilonner les terres et gazonner leur surface.

Il est bon que sur 0^m30 le quart de cône découvre le pied P de l'arête de la culée, et recouvre l'extrémité S du parapet (f_{78}).



Pour raccourcir les murs en retour, on a quelquefois noyé dans de grands quarts de cône les pieds des piles voisines (f_{80}). La dernière arche, ainsi aveuglée, est d'un aspect fort désagréable. De plus, il est arrivé que la pile voisine de la culée a été renversée par la poussée de la terre⁹⁵.

Il est prudent de buter une pile noyée dans le quart de cône par un massif $a b c$.

Il vaut mieux, s'il y a économie appréciable, porter les extrémités des murs en retour sur des consoles en pierre, ou mieux, en béton armé, qui permettent un plus grand porte-à-faux.

Ces consoles doivent être cachées dans le quart de cône⁹⁶.

Art. 3. — Fruit des parements.

Le parement antérieur des culées, quand il est vu, et les arêtes en élévation du ressaut des culées, seront au fruit de 0,025 (1/40).

Leurs faces auront le fruit moyen des tympans : si les fruits différaient, la surface de moindre fruit paraîtrait se déverser.

94. — V. p. 47.

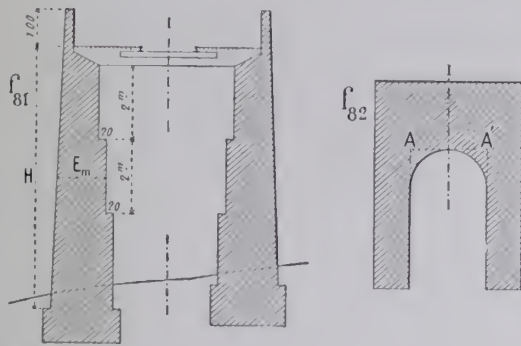
95. — Pont de Pont de Bordes (Ligne de Condom à Port-Sainte-Marie).

96. — V. p. 45, 46.

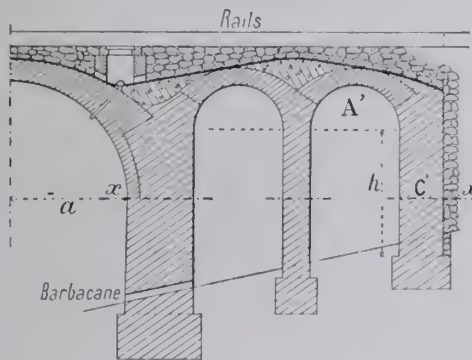
§ 2. — PARTIES CACHÉES

Tant que la hauteur est faible (4 ou 5^m au plus) les deux murs en retour peuvent rester indépendants (f_{81}).

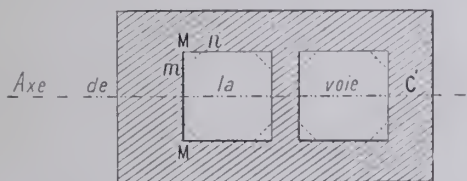
On leur donne une épaisseur moyenne : $E_m = 0,25 (1 + H)$.



f_{81} — Coupe en long



f_{82} — Coupe sur xx' de f_{81}



ainsi conduit au meilleur système d'évidement, qui est par puits verticaux.

Art. 1. — Culées à murs en retour indépendants.

Leur parement caché est vertical ou avec des gradins de 0^m20 tous les 2^m environ.

Il faut, pour ne pas amorcer de fissures, adoucir les angles rentrants A et A' par des congés à grand rayon (f_{82}).

On remplit, entre les murs en retour comme entre les tympanes, avec des déblais rocheux rangés à la main.

Pour des hauteurs de plus de 4^m, 5^m, les murs seraient en bas très épais, l'intervalle entre leurs parements cachés, très réduit : on aurait beaucoup de maçonnerie pour peu soutenir.

Art. 2. — Culées évidées.

A. — Types d'évidement.

Il faut, alors, éviter les culées :

soit par des voûtes à génératrices parallèles à l'axe de la voie ; elles poussent les murs en retour ; on n'en fait plus guère ;

soit par des voûtes à génératrices perpendiculaires à l'axe de la voie (évidements transversaux) ;

soit, mieux, par des puits verticaux.

Les murs en retour ne sont plus alors que de simples masques ; leur épaisseur peut être réduite à 1^m.

B. — Evidements transversaux (f_{83}).

L'épaisseur C' de la culée de la voûte extrême doit assurer la stabilité, sans tenir compte de la poussée des terres⁹⁷.

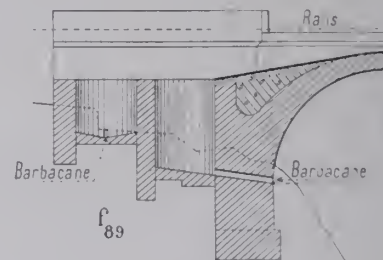
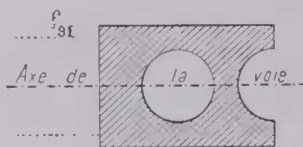
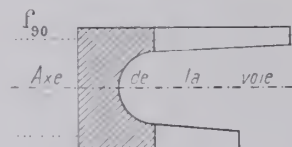
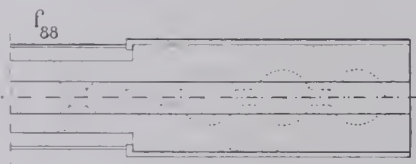
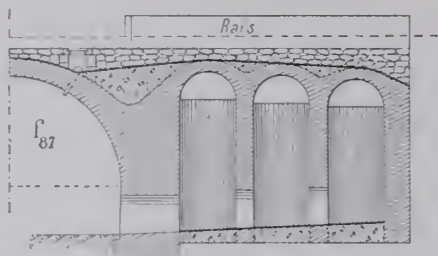
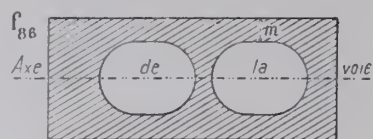
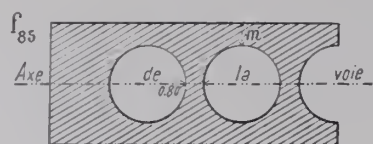
Pour prévenir les fentes aux angles rentrants M (f_{84}), on les amortit par des pans coupés mn ; mieux, on les arrondit. On est

97. — On pourra accepter la formule précédemment donnée pour les ouvrages sous rails, en plein cintre, de 8^m d'ouverture et au-dessous :

$$C' = 0,30 + 0,20 A' + 0,20 h.$$

C. — Puits verticaux.

Ils sont à section horizontale circulaire (f_{85}) ou, exceptionnellement, un peu allongée (f_{86}) : le grand axe dans le sens de la voie et non normalement à la voie comme on l'a fait quelquefois fort à tort.



On peut réduire à 0^m80 la cloison entre puits, à 1^m le masque m (f_{85} , f_{86}).

Les puits sont :

soit couverts par des voûtes sphériques ou, plus pratiquement, par des voûtes transversales en berceau : on les laisse vides ; on les aère par des soupiraux grillés, — on évacue l'eau au pied et, si c'est possible, on permet d'y accéder, par exemple par une porte percée dans la culée ou dans un des murs en retour (f_{87} , f_{88}) ;

soit ouverts : on les remplit alors de déblais rocheux et on assure avec soin l'écoulement des eaux par des barbacanes, soit sous la dernière arche (f_{89}), soit dans une pierrée enveloppant la culée.

Art. 3. — Epaisseur des culées.

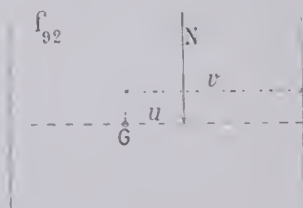
Il n'y a pas de bonne formule pour déterminer l'épaisseur d'une culée de viaduc.

On l'arrête par une épure.

Dans la résistance de la culée, on compte tout ou partie des murs en retour, les puits.

Dans f_{90} , f_{91} , on admettra que tout ce qui est « hachuré » résiste à la poussée⁹⁸.

Voici quelques dispositions de culées :



98. — Soient :

Ω la surface de la section, évidements déduits ;

G le centre de gravité de Ω à r de l'arête ;

I le moment d'inertie par rapport à l'axe transversal mené par G (déterminé en tenant compte des évidements) ;

N l'effort normal agissant à u de G (f_{92}).

On calculera l'effort maximum sur l'arête par la formule ordinaire :

$$\max \beta = \frac{N}{\Omega} \left[1 + \frac{u r \Omega}{I} \right]$$

Culées non évidées

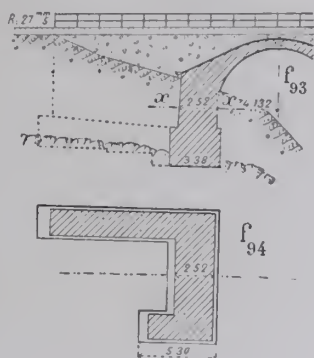
Coupes en long sur l'axe et coupes horizontales sur l'axe des coupes en long — 2mm

Viaduc
de Chapchiniès

Marvejols-
Neussargues

1882-84

4 arches de 8^m
Culée Marvejols



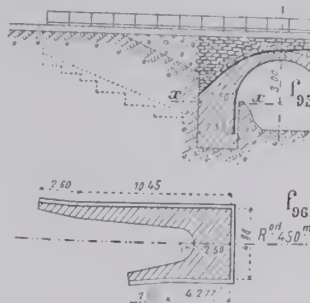
Viaduc
du Puits

Morez-St-Claude

1909-11

9 arches de 6^m

Culée Morez



Viaduc
de la Gascarie

Carmaux-Rodez

1894-97

12 arches de 20^m

Culée Carmaux



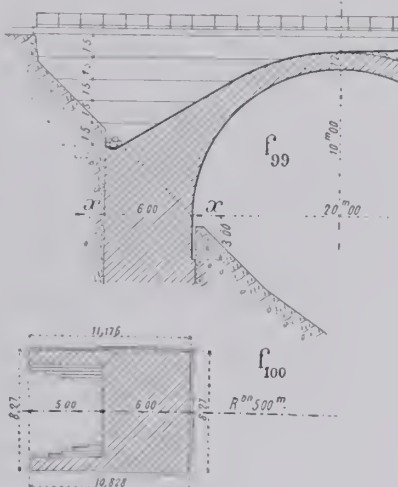
Viaduc
des
Aragnols

Miramas-
L'Estaque

1910-12

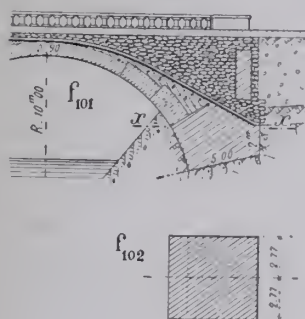
3 arches de
20^m

Culée
Miramas

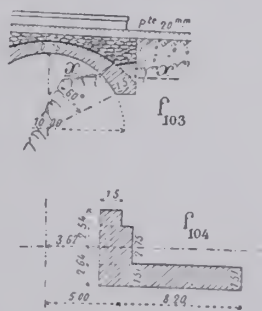


Culées perdues

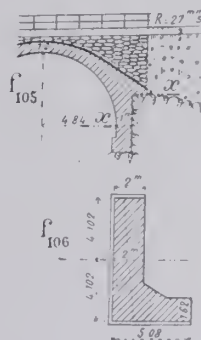
Pont de St Waast
Montauban-Castres 1882-84
5 arches de 20^m
Culée Castres



Viaduc de la Mouline
Carmaux-Rodez 1894-95
7 arches de 10^m et 1 de 17^m
Culée Rodez

Culée butée
contre le terrain

Viaduc du Lignon
Marvejols-Neussargues 1880-82
10 arches de 10^m
Culée Neussargues



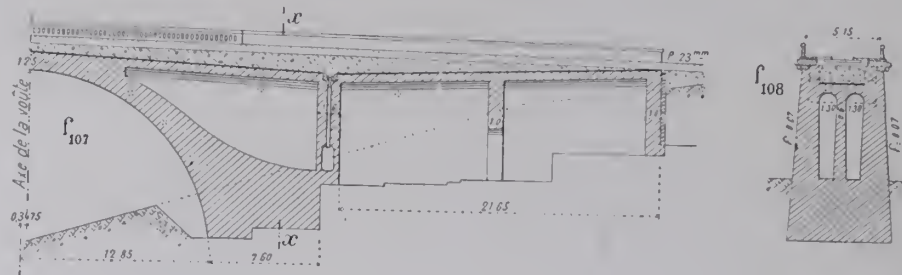
Culées élégies par des voûtes longitudinales

Coupes en long sur l'axe et coupes en travers sur les coupes en long — 2mm

Viaduc de Pompadour

Limoges-Brive, 1873-75 — 8 arches de 25m

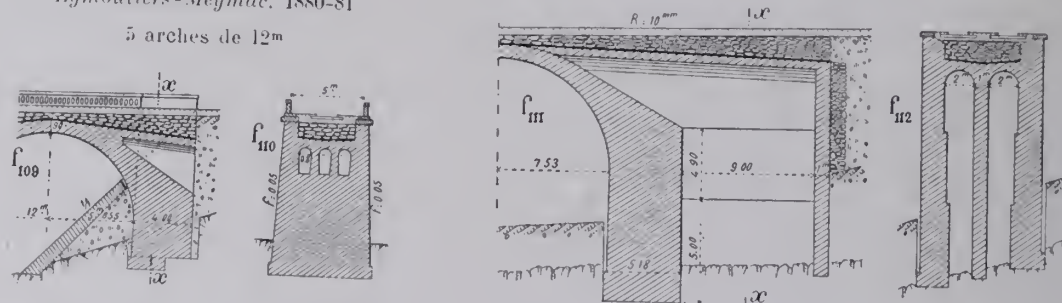
Culée Brive



Viaduc de Civrieux

Paray-le-Monial-Givors, 1903 — 3 arches de 15m

Culée Givors

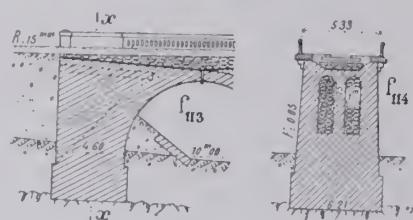


Viaduc du Bandiat

Le Quérois-Nontron, 1882-83

3 arches de 20m50, 6 arches de 10m

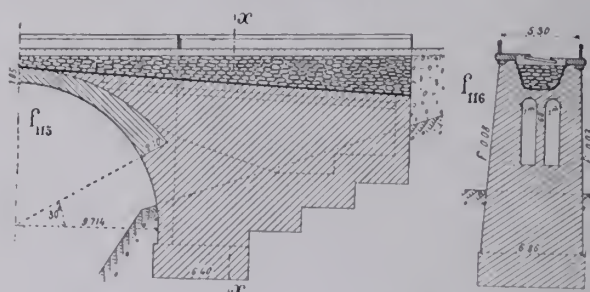
Culée Le Quérois



Viaduc de Barajol

Bort-Neussargues, 1903-05 — 12 arches de 20m

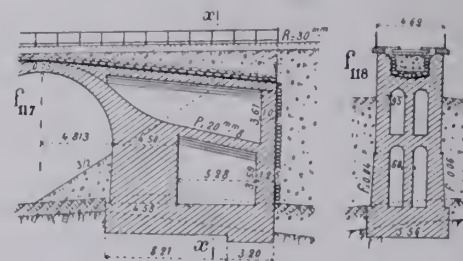
Culée Neussargues



Viaduc de Salsignac

Bort-Neussargues, 1903 — 14 arches de 10m

Culée Neussargues

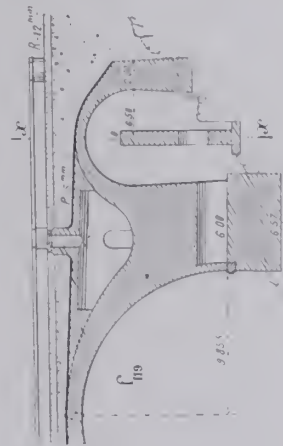


Culées élégies par des voûtes transversales cachées

Coupes en long sur l'axe et coupes en travers sur r.v. des coupes en long — 2^mm

Viaduc du Pion — Mende-Sérénac — 1878

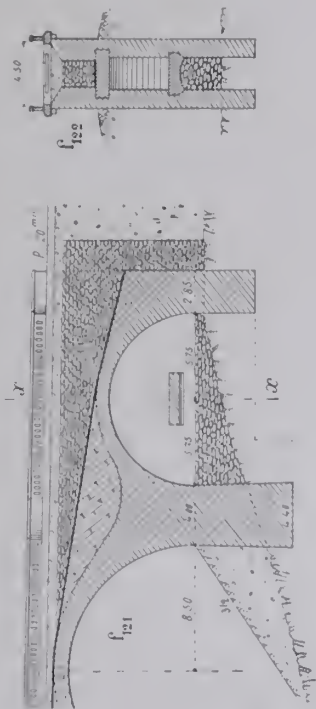
6 arches de 20^m



Viaduc de Brametond — St-Denis-Le Buisson — 1881-82

14 arches de 17^m

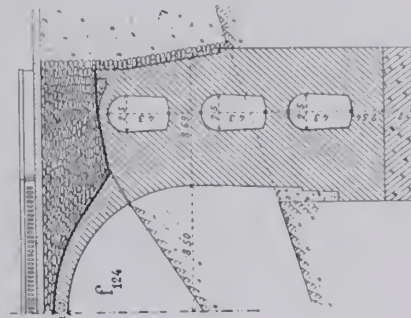
Culée Le Buisson



Viaduc de St-Germain-les-Belles

Limoges à Brive par Uzerche, 1887-91

14 arches de 17^m — Culée Brive

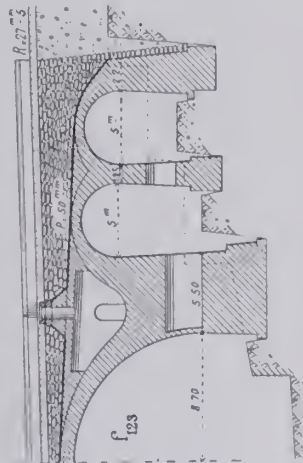


Viaduc de Senouard

Marrefols-Neussargues — 1879-82

9 arches de 18^m

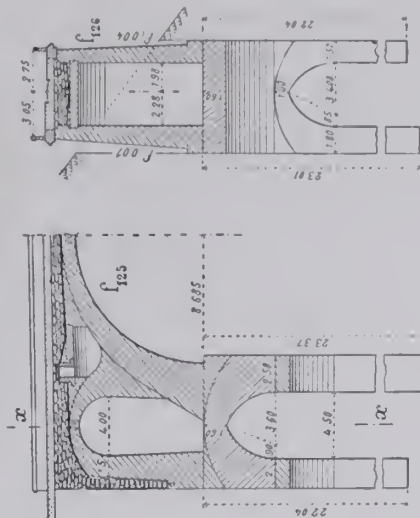
Culée Neussargues



Viaduc du Bassin — Tournemire-Le Vigan

1886-92

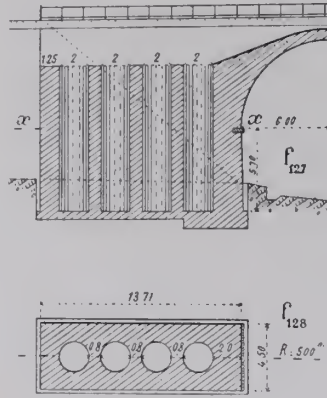
7 arches de 17^m — Culée Tournemire



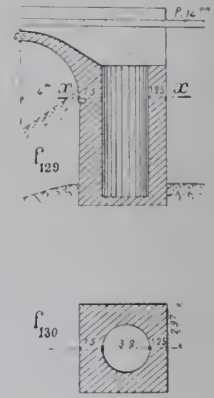
Culées évidées par des puits verticaux

Coupes en long sur l'axe et coupes horizontales sur une des coupes en long — 2mm

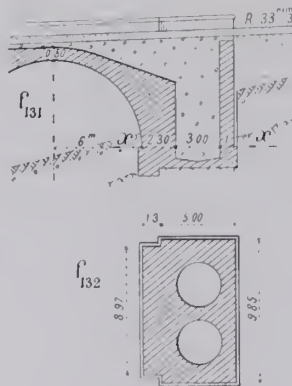
Viaduc
sur l'Auzon
Alais-Le Pouzin
1876
17 arches de 12^m
Culée Alais



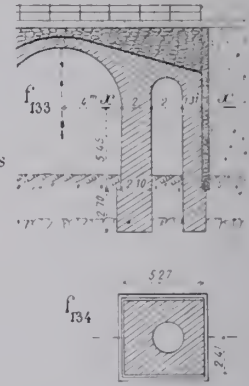
Viaduc
sur le Truel
Alais-Le Pouzin
1876
6 arches de 8^m
Culée
Le Pouzin



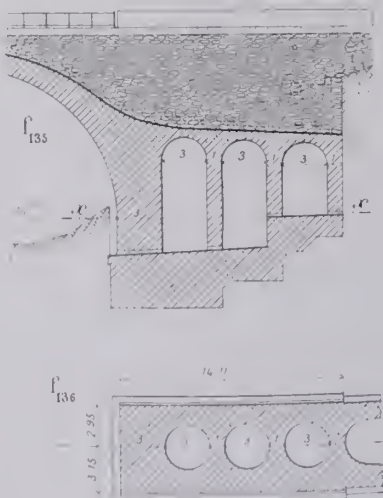
Viaduc
des Terrals
Rodez-Millau
1873-77
14 arches de 11^m96
Culée Rodez



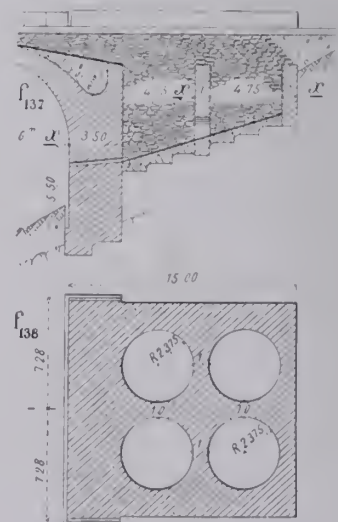
Viaduc
de Triboulin
Martejols-Neussargues
1881-83
5 arches de 8^m
Culée Neussargues



Viaduc
de Morez
Morez-St-Claude
1910-12
9 arches
de 20^m
Culée
St-Claude



Viaduc de
la Lavina
Nice-Coni
Projet
3 arches
de 12^m



COMMENT ON ÉVACUE L'EAU QUI TOMBE SUR LES VIADUCS

§ 1. — CHAPES

Une bonne chape doit être imperméable.

Mais, pour qu'elle demeure telle, elle doit aussi être un peu élastique, se prêter, sans se fissurer⁹⁹, aux mouvements des voûtes sous les surcharges ou aux changements de température.

Elle sera ainsi constituée : d'abord une première chape de 3^{cm} en mortier de chaux gâché sec et fortement « massivé »¹⁰⁰ ; dessus, une deuxième chape de 1^{cm}5 en asphalté^{101, 102}.

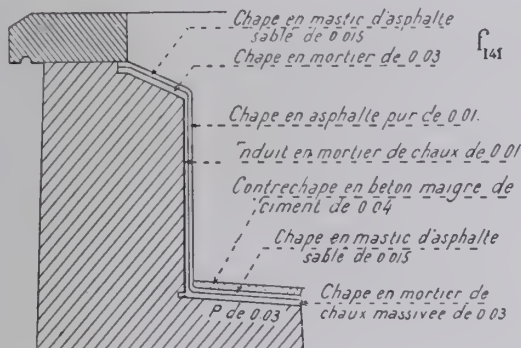
Quand l'extrados des voûtes est trop irrégulier, on l'unit avant de le « chaper », par une première couche de béton fin de 5 à 6^{cm}.

Il ne suffit pas qu'une chape soit imperméable : il faut encore que l'eau ne puisse pas entrer dessous par ses bords, par exemple par A de f_{139} : une goutte d'eau, si elle entre, traversera les maçonneries.

Il faut tout au moins l'engager dans une rainure creusée dans le tympan (f_{140}).

Mieux, on remontra la chape en asphalté le long des parements et on l'engagera sous la plinthe (f_{141}).

Pour qu'elle s'applique bien et tienne sur les parements verticaux, on la fait en asphalté pur, sans sable, et on l'étend sur un enduit de 0^m01 en mortier de chaux lissé à la « taloche »¹⁰³.



très inclinées, elle empêche l'asphalté de couler.

99. — Pas de chape en ciment ; le ciment a du retrait et se fendille.

100. — 350^k de la meilleure chaux par m. c. de sable, et 100 litres d'eau seulement. Sur l'extrados, lavé, puis épongé, mais encore humide, on applique le mortier, à l'état de sable humide ; ensuite, on le bat à la savate jusqu'à ce que l'humidité paraisse à la surface. Pour l'empêcher de sécher trop vite, on le recouvre de sable qu'on enlève après la prise.

101. — En deux couches de 7^{mm}5. La 1^{re} est en mastic d'asphalte ; la 2^e est faite de deux parties de mastic et une partie de sable lavé et sec. Pour les deux couches, on ajoute au mastic 7^{mm} de son poids de bitume.

102. — On a essayé quantité de matières : feuille de plomb entre 2 cartons bitumés (isolateur Siebel) ; asphalté armé par de la toile de jute (chape Leiss-Zuffer, appliquée sur les grandes voûtes des Alpes autrichiennes, II, p. 164) ; toile de jute enduite de bitume (« Callendrite », du nom de Callender, son fabricant, — nous l'avons employée au viaduc du Crêt-Morez-St-Claude) ;...

103. — Bouclier en bois avec un manche.

104. — La C^{re} de l'Est a employé avec succès ce procédé pour refaire la chape du viaduc de Chaumont. Elle l'applique systématiquement à ses nouveaux ouvrages.

Art. 1. — Deux chapes sur les voûtes : la première de 3^{cm}, en mortier de chaux ; la deuxième, de 1^{cm}5, en asphalté.

Art. 2. — Comment on empêche l'eau d'entrer sous la chape par ses bords.

Art. 3. — Contrechape pour protéger la chape.

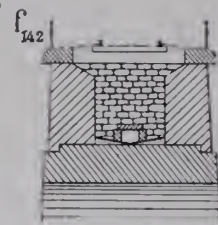
Pour protéger une chape en asphalté, ne conviennent : ni l'argile, qui arrête l'eau ; ni le sable qui, à la longue, disparaît, entraîné par l'eau ; ni les pierres plates, qui égratignent la chape.

Le mieux paraît être une couche de 0^m04 de béton très maigre : 100^k de ciment par m. c. de « gravillon » bien lavé, sans sable¹⁰⁴.

Cette contre-chape est très poreuse, — l'eau la traverse immédiatement, — et très résistante. Elle porte sans s'écraser le remplissage et les surcharges : sur des surfaces

Art. 4. — Pentes de la chape, et drains pour conduire rapidement l'eau à des points bas.

Il faut, le plus vite possible, conduire l'eau à des points bas, puis dehors. En travers, on crée, avec de la maçonnerie ou plus simplement du béton maigre, deux pentes de 0,03 à 0,05 vers un petit drain en pierres sèches de $0^m20 \times 0^m20$ (f_{142}) : il a, en long, le plus de pente possible, au moins 0,05.

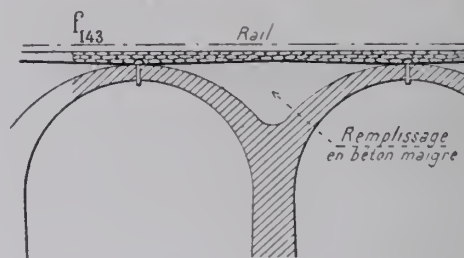


Art. 5. — Comment on fait passer l'eau à travers les voûtes¹⁰⁵.

A. — Par la clef. — Ce semble plus simple (f_{143}) : le tuyau est vertical, aussi court que possible ; les eaux ne sont pas rejetées par le vent sur la douelle.

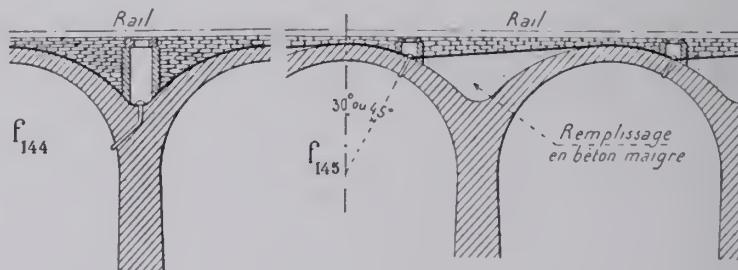
Mais, pour donner aux chapes des pentes longitudinales suffisantes, on augmente, aux dépens de l'aspect, l'épaisseur entre le rail et l'intrados des voûtes à la clef.

Sur des viaducs à très grande pente, on a quelquefois conduit toute l'eau jusqu'à la culée la plus basse ; c'est une erreur : un petit barrage de ballast terreux arrête l'eau. Il faut, au moins, un écoulement par voûte.



B. — Par les reins. — C'est le meilleur mode d'écoulement.

On a quelquefois posé directement la chape sur les extrados des voûtes (f_{144}) : ses points bas sont alors sur les axes des piles ; ils sont mieux entre 30° et 45° de la clef (f_{145}) ; l'eau est moins facilement jetée par le vent sur la douelle ou sur les piles ; la gargouille est plus courte, plus inclinée, le puits de visite moins haut.



Art. 6. — Cas de tympan évidés.

On ne fait de chape que sur les voûtes d'élégissement.

Art. 7. — Il est extrêmement important de bien faire les chapes.

L'eau, petit à petit, enlève la chaux des mortiers.

Dans des ponts à beaucoup de joints, en particulier dans des voûtes en briques, elle a produit de véritables crevasses, parce que le mortier des joints avait disparu, que des briques étaient tombées et que d'autres, constamment imbibées d'eau, avaient gelé.

C'est la chape qui conserve les ouvrages¹⁰⁶.

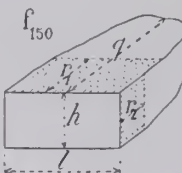
105. — On a, autrefois, conduit l'eau par un tuyau vertical placé dans l'axe des piles à un petit aqueduc traversant le pied des piles.

Pour de hauts viaducs, on avait des tuyaux très longs, impossibles à visiter, fort difficiles à déboucher. Ce dispositif n'est plus appliqué.

106. — V, p. 193.

CHAPITRE X MATÉRIAUX

§ 1. — LEUR RÉPARTITION USUELLE DANS LES DIFFÉRENTES PARTIES DU VIADUC¹⁰⁹

Désignation		Dimensions usuelles (f_{150})					Abréviations	Répartition					
		En parement		Queue	Retour d'équerre								
		Hau- teur ou épais- seur h	Lar- geur l		Lits	Joints							
Maçonnerie de :	en blocage, sans préparation spéciale.		Plus petite dimension $\geq 0^{\circ}10$ Poids $< 40^*$					MO	Toutes les maçonneries de moellons à mortier, sauf celles qui sont spécifiées ci-dessous : gros œuvre ; remplissages ; massifs de fondation ; noyaux des piles ; corps des culées, des tympans ; parements cachés.				
	moellons ordinaires	choisis, (c'est-à-dire avec sujétion.)	en parement.	à joints incertains.	Plus petite dimension $\geq 0^{\circ}10$	$\geq 0^{\circ}20$	$\geq 0^{\circ}10$	$\geq 0^{\circ}10$	MOI ou MOH suivant la carrière	Parements vus des tympans, des piles, des culées sauf les angles ; parements intérieurs des regards de visite.			
				par assises horizontales grossières.	$\geq 0^{\circ}10$	$\geq 0^{\circ}20$	$\geq 0^{\circ}15$	$\geq 0^{\circ}10$					
			en voûte.	méplats, « lités » ; les lits prolongeant soit chaque lit de douelle, soit un lit sur 2, sur 3.	Plus petite dimension $\geq 0^{\circ}10$		aussi pleins que possible	$0^{\circ}10$	MOV	Queutage des grandes voûtes ¹¹⁰ derrière la douelle au-dessus du quart de la montée à partir des naissances ; douelle et queutage des voûtes d'égèrissement.			
				moellons à face rectangulaire, les 4 arêtes dans un même plan (f_{150})		moellons équarris	par assises horizontales	$\geq 0^{\circ}15$ $\leq 0^{\circ}25$	$1.5 h$ à $2.5 h$	$\geq 0^{\circ}30$	$0^{\circ}20$	$0^{\circ}15$	ME
	taillés en voussoirs	Fixée par le dessin $\geq 0^{\circ}15$ $\leq 0^{\circ}25$	$1.5 h$ à $2.5 h$				$\geq 0^{\circ}30$	Pleins	$0^{\circ}20$	MEV	Douelle des voûtes. ¹¹¹		
		moellons d'appareil	par assises horizontales				Dimensions indiquées aux dessins					Pleins	MA
	taillés en voussoirs		MAV										Bandeaux des voûtes (p. 54).
		libages.							L	Dés pour sceller les garde-corps entre grands murs de soutènement (p. 49).			
		Pierre de taille.											
Béton	de chaux.		»										
	de ciment.	BC ^t							Autour des gargouilles.				
Chapes et enduits.	maigre.							BM	Entre tympans sous les chapes ; radiers des puits des culées.				
	Chape de 0 ^m 03 d'épaisseur en mortier de chaux massivé.							»	»	Extrados des voûtes, revers d'eau des tympans et des murs en retour, radier des puits des culées.			
	Enduit de 0 ^m 01 d'épaisseur en mortier de chaux taloché. de 0 ^m 02 d'épaisseur en mortier de ciment.	»	»	»	Parements cachés des tympans. Sur l'extrados des grandes voûtes sous les voûtes d'évidement.								
	Chape de 0 ^m 015 d'épaisseur en asphalte.	»	»	»	Sur les chapes en mortier de chaux de 0 ^m 03 et sur l'enduit en mortier de chaux derrière les tympans.								
	Contre-chape de 0 ^m 04 d'épaisseur en béton maigre de gravillon et de ciment (p. 79) (100 ^e de ciment pour 1 ^{re} de gravillon sans sable).	»	»	»	Sur la chape en asphalte des voûtes.								
	3 couches de coaltar.	»	»	»	Tous les parements cachés non recouverts d'une chape en asphalte.								
	Pierres sèches rangées à la main.	»					PS	Entre tympans au-dessus des chapes ; chemises derrière les culées et les murs en retour ; remplissage des puits des culées quand ils ne sont pas couverts par des voûtes.					

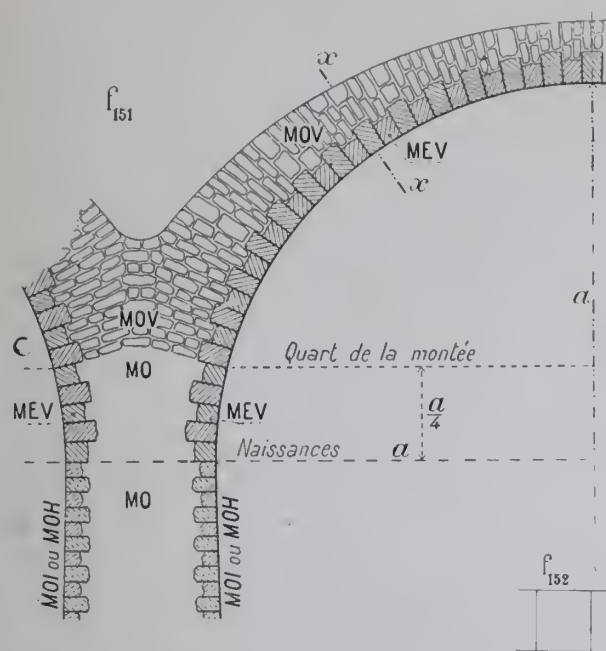
¹⁰⁹ — Donnée pour les maçonneries des Grands ouvrages Tome V, p. 7.

¹¹⁰ — V, p. 15, 19

¹¹¹ — V, p. 18.

§ 2. QUELQUES DÉTAILS D'APPAREIL

Les moellons équarris (MEV) ont leurs lits dressés normalement à la douelle sans



démaigrissement sur toute leur longueur, leurs joints retournés d'équerre sur 0^m25 au moins.

Tous les MEV d'une même assise ont la même queue. Il y aura toute une assise courte, — puis toute une assise longue.

La découpe, de 0^m10 au moins, est d'une assise à l'autre, et non entre deux moellons d'une même assise.

Une coupe suivant xx de f_{151} sera f_{152} et non f_{153} .

Avec f_{152} , on lie beaucoup mieux la douelle à son queutage.

Art. 1. — Douelle des voûtes¹¹².

On a souvent coupé les hautes piles, tous les 8 à 10^m, par des assises de libages¹¹³.

Elles ont pour objet de mieux répartir la pression et d'arrêter, s'il s'en produisait, une fissure verticale¹¹⁴.

On a fait, sans assises de libages, de très grandes piles avec parements, soit assisés¹¹⁵, soit à joints incertains¹¹⁶.

Peut-être ne sont-elles utiles que dans les très hauts viaducs à parements non assisés, tout entiers en moellons ordinaires, surtout en béton¹¹⁷; peut-être pourrait-on les y remplacer par des assises en béton armé¹¹⁸.

Art. 2. — Assises de libages coupant les piles.

112. — V, p. 18.

113. — Viaduc de la Fure, projeté en 1855 par Tony Fontenay (Ligne de Lyon à Grenoble).

Viaduc de Mussy (Ligne de Paray-le-Monial à Givors, 1892-1895); les libages des assises y sont cramponnés les uns aux autres.

On en a mis tous les 10^m environ aux viaducs des lignes de Coire à Saint-Maurice (Albula Bahn. *Denkschrift im Auftrage der Rhätischen-Bahn*, zusammen gestellt von Prof.-Dr Hennings, — Coire 1908); et du lac de Constance à celui de Zurich (Bodensee-Toggenburg-Zürichsee-*Denkschrift über die Eisenbahn Verbindung Romanshorn St-Gallen-Wattwil-Uznach*, Saint-Gall, 1911, p. 94, Pl. 8, 9);

à ceux des nouvelles lignes des chemins de fer Rhétiques: Hanz-Disenlis et Bevers-Schuls, *Schweiz. Bauzeitung*, 20 avril et 4 mai 1912;

au viaduc de Castieler de la ligne de Coire à Arosa, *Schweiz. Bauzeitung*, 19 juin 1915.

114. — On a dit que les « assises de liaison », qui, elles, ne « soufflent » pas, retiennent par frottement les autres maçonneries et freinent la pile.

115. — Pompadour (Brive à Limoges) H'=55^m, Saint-Laurent (Séverac à Marvejols) H'=53^m, La Crueize (Marvejols à Neussargues) H'=63^m, Les Fades (Saint-Eloi à Pauniat) piles de 92^m sous travées métalliques.

116. — La Gascarie (Carmaux à Rodez) H'=49^m, Arquejols (Le Puy-Langogne) H'=45^m.

117. — Comme on coupe par des assises de briques des maçonneries de galets.

118. — Tranches armées de piles de viaducs construits par M. l'Ingénieur en Chef Harel de la Noë.

§ 3. — PAREMENTS

Art. 1. — Façon.*A. — Taille plate.*

On n'emploiera la taille plate que dans des villes ou quand la pierre ne permettra pas d'obtenir de bons bossages.

Les faces plates seront striées et non picotées dans tous les sens. Les stries de taille seront régulièrement espacées et toutes inclinées à 45°. Dans un ouvrage, les stries seront dans le même sens.

La pierre de taille des viaducs courants (plinthes, refuges), ne sera pas bouchardée, mais dressée à la pointe.

On ne bouchardera que le dessus des plinthes, parce qu'il sert de trottoir : des stries peuvent retenir l'eau, qui gèlerait en hiver.

Φ_1 . — Viaduc du Caty¹¹⁹
taille plate



Φ_2 . — Viaduc des Planches¹²⁰
bossages

*B. — Bossages.*

Les grandes surfaces plates sont ennuyeuses : il faut les accider, les égayer par des bossages (Φ_2).

Les moellons des piles et des bandeaux auront des bossages de 0^m03 ou 0^m04 ; ceux des culées, des bossages de 0^m05 à 0^m06 en moyenne ; — plus même, entre de grands rochers.

On a presque toujours taillé plats les moellons de douelle pour qu'ils s'appuient bien sur le cintre. Une douelle plate est désagréable au-dessus de piles à bossages : on y peut très bien accepter un léger bossage de 0^m02 qui impose peu de sujétion.

C. — Ciselures.

On n'entourera jamais d'une ciselure la face d'un moellon, même les moellons d'angles ; on n'en fera que pour bien dresser les arêtes des piles, des culées, de l'intrados du bandeau ; elles auront, sur chaque face, 0^m02 à 0^m03 de largeur.

Art. 2. — Couleur.

On emploiera les mêmes matériaux dans toutes les parties du viaduc. S'il en faut employer de couleurs différentes, on les distribuera au mieux pour l'aspect : des bandeaux en pierre sombre font parfois bien.

On ne fera pas d'arêtes de piles en « MA » noirs ou blancs encadrant des ME, des MO blancs ou noirs.

119. — Montauban à Castres 1883-85.

120. — Lozanne à Givors 1902-05. Le cordon et les corbeaux des naissances sont de trop.

Pour les viaducs courants, les parements des piles et tympans seront, suivant les carrières, en moellons ordinaires de choix à joints incertains (MOI), ou par assises (MOII).

Art. 3. — Piles et tympans.

Φ_6 . — Viaduc d'Arquejols¹²¹
Tympans et piles en « MOI ».



Φ_7 . — Viaduc de Morez¹²²
Tympans, piles, douelles en ME à bossages.



Pour la stabilité d'un très grand viaduc, on pourra les faire en moellons équarris (ME).

Mais, dans tous les cas, les tympans et les piles (tout au moins leurs faces en élévation) seront parementés avec les mêmes matériaux, c'est-à-dire tous deux en MOH ou tous deux en MOI, ou tous deux en ME. Si l'on n'avait pas assez de l'un des matériaux pour faire tous les parements, on ferait en MOII les piles, en MOI les tympans, — autant que possible, de même couleur. Peut-être conviendrait-il alors d'accepter, malgré qu'on en eût, un cordon aux naissances pour les séparer, parce qu'il est choquant de mettre l'une au-dessus de l'autre deux maçonneries différentes, sans les séparer par quelque chose. Ceci ne s'applique qu'aux piles très épaisses, aux naissances desquelles il y a un grand intervalle entre les extrados des bandeaux.

Les angles des piles et des culées ne se distingueront en rien des parements voisins : mêmes bossages, même aspect, même carrière, même couleur... Si les faces étaient en MOI, les angles resteraient en MA, mais taillés de façon à ne pas trop se distinguer des MOI (Φ_6).

Les angles n'auront *jamais* de saillie sur les parements qu'ils encadrent : elle rend confus l'aspect de l'ouvrage. Si on les fait en gros matériaux (libages, pierres de taille), on prépare des lézardes : c'est mauvais, laid, cher.

Il convient que les murs en retour soient plus rustiques, plus vigoureux que les tympans.

On y pourra mettre des moellons assisés à bossages à côté de tympans en « opus incertum » plat qui est moins ferme ; on a même, à côté de tympans en moellons assisés, revêtu des culées en « opus incertum » ; mais il y faut de gros moellons et de gros bossages.

Art. 4. — Culées.

121. — Langogne au Puy 1905-12, arches de 16^m, H' maxima 49^m.

122. — Morez-S'-Claude 1908-12, arches de 20^m, H' maxima 40^m50. On n'en imitera pas les évidements.

TITRE II

DISPOSITIONS SPÉCIALES AUX VIADUCS EN COURBE

CHAPITRE I

VOÛTES EN BERCEAU — TRACÉ DES TYMPANS

§ 1. — TYMPANS A FACETTES

CHACQUE FACETTE PLANE ET PARALLÈLE A LA CORDE DU TRACÉ
SUR LA PORTÉE DES ARCHES, OU SUR LA LARGEUR DES PILES

Menons deux arcs concentriques au tracé, à $\frac{l}{2}$ de part et d'autre (f_1). Les polygones $A_1 C_1 E_1 G_1$ inscrit dans l'arc concave, $A_2 C_2 E_2 G_2$ enveloppant l'arc convexe, sont des

horizontales des deux tym-
pans.

La section des piles aux
naissances est un trapèze ; sa
largeur est :

sur l'axe, e_2 ,

et très approximativement :

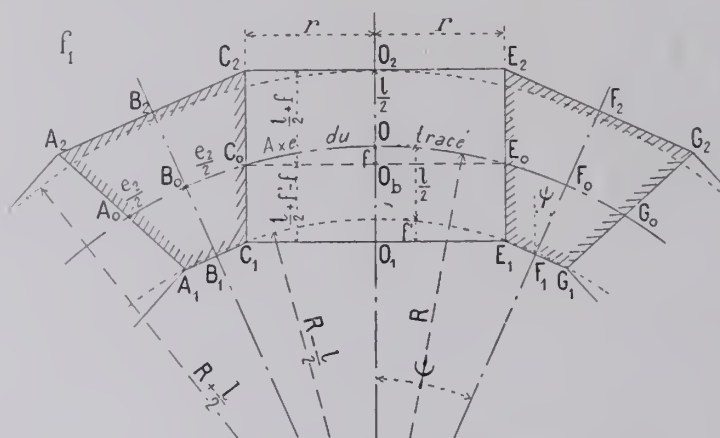
sur la face concave

$$e_2 - l \sin \psi$$

sur la face convexe

$$e_2 + l \sin \psi$$

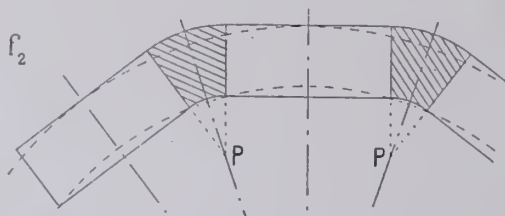
La différence d'épaisseur
des deux faces est $2l \sin \psi$.



La voûte est en berceau sur le rectangle $C_1 E_1 C_2 E_2$.

Les bandeaux sont plans.

La largeur des voûtes entre têtes est augmentée de la flèche $f = \frac{r^2}{2R}$



Les tympons présentent une suite de
facettes d'aspect peu agréable quand, — ce
qui est le cas général, — elles ne sont pas
dissimulées par des contreforts.

En exécution, on arrondit les angles. On
peut aussi tracer les faces des piles suivant
deux arcs de cercle de centre P (f_2)¹

Malgré ses défauts, c'est ce système qui a été le plus employé.

1. — Viaduc de Morez (Ligne de Morez à Saint-Claude), 1909. $2r = 20^m$, $e_2 = 4^m624$, $R = 250^m$.

§ 2. -- TYMPAN CONVEXE EN COURBE

AVEC UN FRUIT SUFFISANT POUR QUE LA CLEF NE SOIT PAS EN PORTE-À-FAUX
PAR RAPPORT A UN AUTRE POINT DE L'INTRADOS

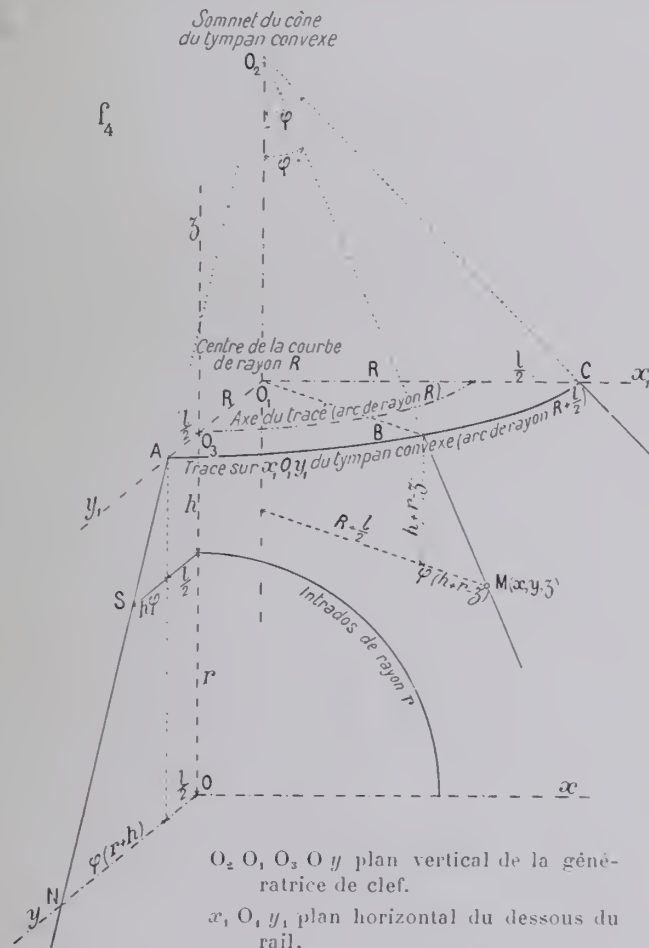
Si le tympan convexe était dressé suivant un cylindre ayant comme rayon $R + \frac{l}{2}$ (f_3), le

bandeau serait tout entier en porte-à-faux par rapport à la corde AA'. Le porte-à-faux est maximum à la clef ; il y est :

$$f' = \frac{r^2}{2R + l} \text{ ou, à très peu près : } \frac{r^2}{2R}$$

Pour le réduire, on donne du fruit au tympan, fruit qui, d'ailleurs, résiste au renversement des murs de tête sous l'action de la force centrifuge.

Cherchons le fruit minimum à adopter pour que, à l'intrados du bandeau convexe, la clef ne soit pas en porte-à-faux par rapport à un autre point.



$O_2 O_1 O_3 O y$ plan vertical de la génératrice de clef.

x, O, y, y_1 plan horizontal du dessous du rail.

$x O y$ plan horizontal des naissances.

S dessous de la clef à la tête.

Art. 1. — Nécessité de ce fruit.

Soit $O_1 (f_1)$, le centre de la courbe du tracé.

Dans le plan horizontal de O_1 , traçons l'arc ABC de rayon $R + \frac{l}{2}$, dressons le parement du tympan convexe suivant un cône de révolution dont l'axe est la verticale du centre O_1 , et dont les génératrices ont le fruit φ .

Art. 2. — Surface conique du tympan convexe.

A. — Définition.

Ses équations sont (axes Ox, Oy, Oz , plan des naissances xOy, f_4):

$$x^2 + (y + R)^2 = \left[R + \frac{l}{2} + \varphi (h + r - z) \right]^2$$

cylindre de douelle

$$x^2 + z^2 = r^2$$

B. — Intersection de la surface conique du tympan convexe avec la douelle de la voûte.

C. — Projection de cette intersection sur le plan vertical de la génératrice de clef (f_5 , f_6).

Eliminons x^2

$$z^2 - (R + y)^2 + \left[R + \frac{l}{2} + \varphi(h + r - z) \right]^2 - r^2 = 0$$

hyperbole à axes vertical et horizontal. Son inclinaison sur la verticale est :

$$\text{Tang } \psi = \frac{z - \varphi \left[R + \frac{l}{2} + \varphi(h + r - z) \right]}{R + y}$$

au sommet S $z = r$ $y = \frac{l}{2} + \varphi h$

$$\text{Tang } \psi_s = \frac{r}{R + \frac{l}{2} + \varphi h} - \varphi \quad \text{soit, en négligeant } \frac{l}{2} + \varphi h \text{ devant } R, \quad \frac{r}{R} - \varphi$$

aux naissances N $z = 0$ $y = \frac{l}{2} + (r + h)\varphi - f'$ (flèche du tracé $\frac{r^2}{2R}$ sur la corde $2r = \frac{r^2}{2R}$)

$$\text{Tang } \psi_n = -\varphi \frac{R + \frac{l}{2} + (r + h)\varphi}{R + \frac{l}{2} + (r + h)\varphi - f''} \quad \text{soit pratiquement } \varphi, \text{ fruit de la génératrice du tympan.}$$

Si l'intrados est une ellipse de portée $2a$, de montée b , on trouve :

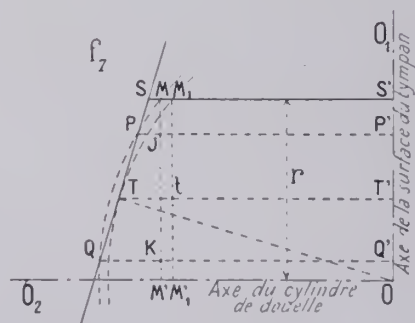
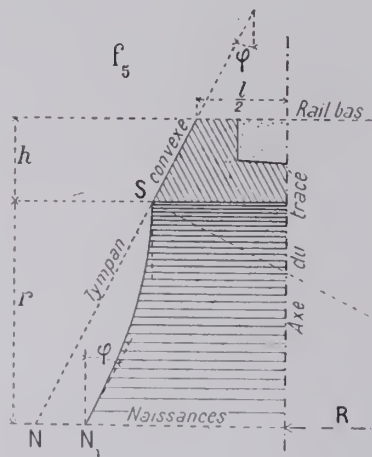
$$\text{Tang } \psi_s = \frac{a^2}{b} \left(\text{rayon de courbure à la clef} \right) - \varphi$$

Si c'est un arc de rayon r , $\text{Tang } \psi_s = \frac{r}{R} - \varphi$

Art. 3. — Condition pour qu'il n'y ait pas de porte-à-faux

A. — La coupe en travers du tympan est une droite de fruit φ . Il faut :

$$\varphi \geq \frac{r}{R}$$



Pour qu'il n'y ait pas de porte-à-faux, il suffit que la tangente à la clef soit verticale, c'est-à-dire que la clef soit le sommet de l'hyperbole, laquelle sera ainsi tout entière d'un même côté par rapport à cette tangente verticale (f_5).

$$\text{Soit } \varphi \geq \frac{r}{R}$$

(r rayon de l'intrados s'il est en plein cintre ou en arc, rayon de courbure au sommet s'il est en ellipse).

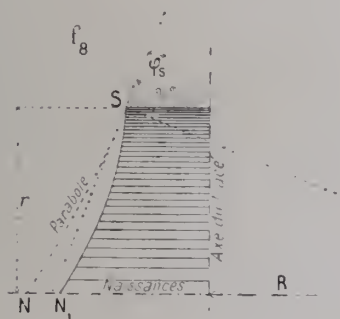
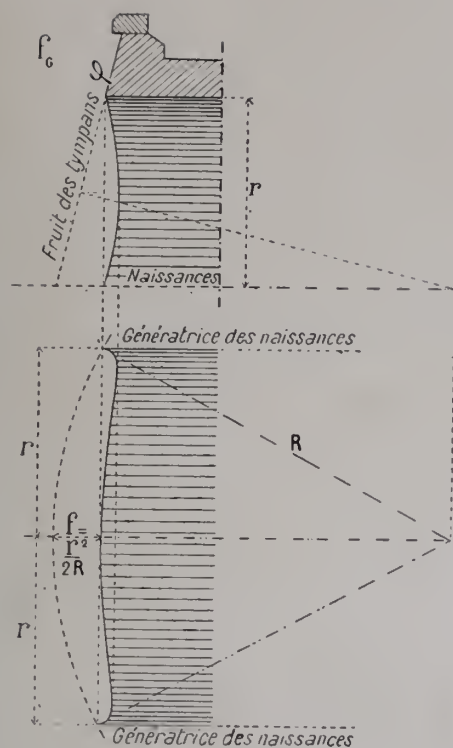
2. — En construisant l'intersection, on retrouve cette règle.

Soient : O, O_2 l'axe du cylindre de douelle, O, O_1 celui du cône du tympan (f_1). Une sphère de centre O coupe le cône suivant deux circonférences PP' , QQ' , la douelle suivant MM' . J et K sont deux points de l'intersection.

Abaissons de O la perpendiculaire OT . La sphère de rayon OT coupe le cône suivant la circonférence TT' (les deux circonférences PP' , QQ' sont réduites à une), la douelle suivant M, M' . Ces deux lignes se coupent en t .

M, M' est la tangente verticale à la projection de l'intersection, laquelle projection est tout entière à sa gauche. Ce qui est au-dessus du point t est en porte-à-faux. Le point t doit donc être au sommet S ou plus haut :

$$\varphi \geq \frac{r}{R + \frac{l}{2} + \varphi h}, \text{ pratiquement } \geq \frac{r}{R}$$



On s'est quelquefois borné à supprimer le porte-à-faux de la clef, non sur tout autre point, mais seulement sur les naissances (f_6).

Il suffit alors d'un fruit qui place la clef sur la verticale des naissances :

$$\varphi \times r \text{ (montée)} \geq \frac{r^2}{2R} \text{ (flèche)}$$

$$\text{ou } \varphi \geq \frac{r}{2R}$$

C'est la moitié du fruit précédent ; mais la clef est en porte-à-faux par rapport aux reins.

Le tympan est une surface de révolution ayant pour axe la verticale du centre du tracé et pour méridienne, dans le plan vertical passant par l'axe de la voûte, la parabole SN (f_8).

Soit φ_s l'inclinaison sur la verticale de la tangente à cette parabole au niveau du sommet de la voûte S,

Pratiquement,

SN_1 , projection de la courbe de tête, est

en S, verticale pour $\varphi_s = \frac{r}{R}$

en N_1 , parallèle à la parabole en N.

La table T_1 (Appendice 3^e partie) donne φ pour $2r$ (portée) de 4^m à 60^m, et R (rayon du tracé) de 150^m à 800^m.

Le fruit de 60^{mm} est un peu fort : on l'acceptera plutôt que de briser les tympans. Mais, en dépit de quelques exemples contraires, on ne le dépassera pas ; un fruit plus grand est disgracieux ; de plus il oblige à donner

au moins le même fruit initial aux piles, et ainsi augmente inutilement leur cube.

On dressera le tympan convexe suivant une surface de révolution ayant pour axe la verticale du centre du tracé et pour méridienne :

soit une droite de fruit φ tel que : $\frac{r}{R} \leq \varphi \leq 60^{\text{mm}}$

soit une parabole dont la tangente sous la plinthe ait ce même fruit.

On choisira d'après les règles données p. 68 pour les viaducs en alignement droit.

B. — La coupe en travers du tympan convexe est une parabole. — Soit φ_s son fruit au niveau du sommet de la voûte. Il faut :

$$\varphi_s \geq \frac{r}{R}$$

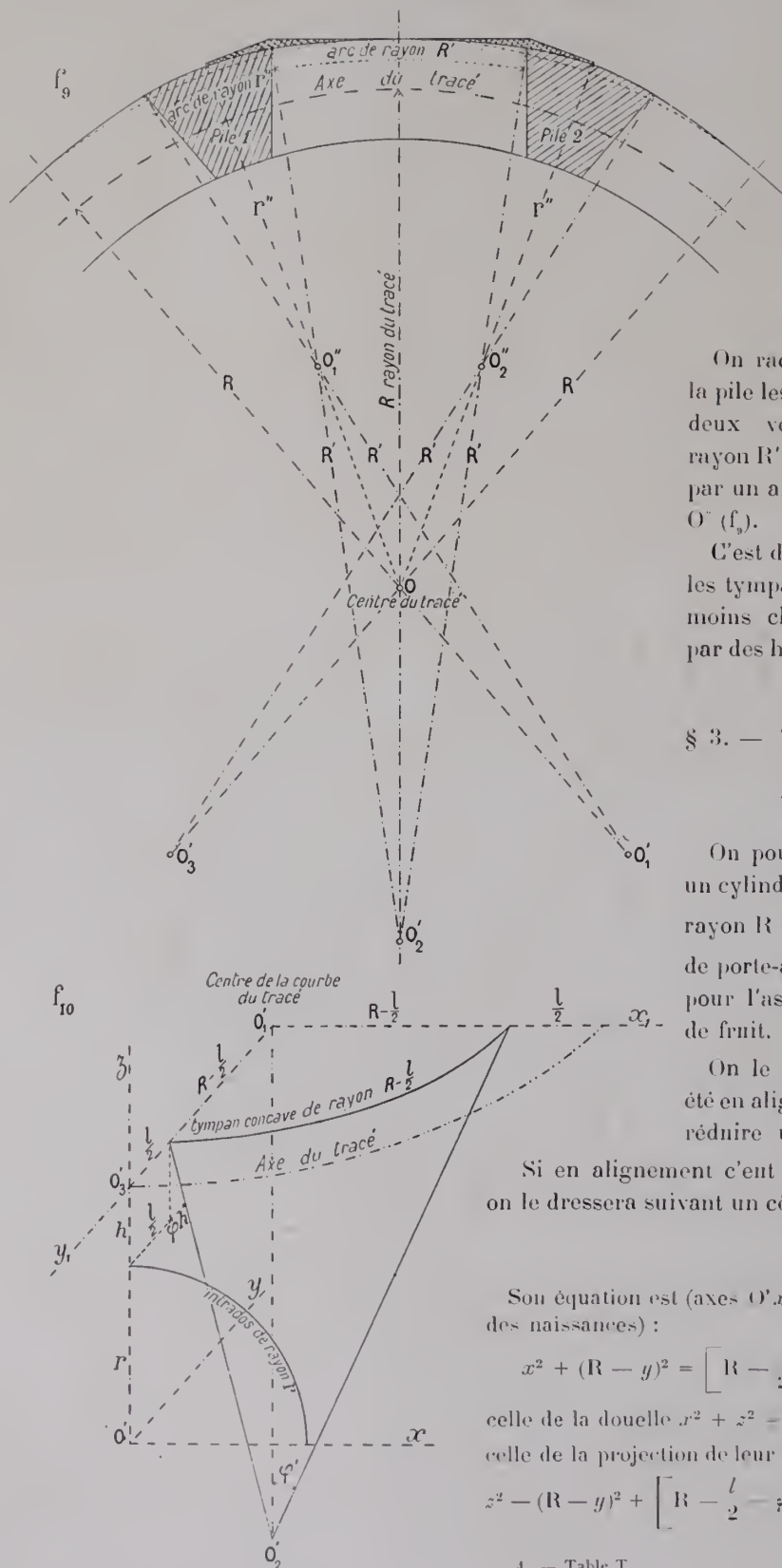
Art. 4. — Tracé du tympan convexe suivant le rapport $\frac{r}{R}$.

A. — Table de $\frac{r}{R}$.

B. $\frac{r}{R} \leq 60^{\text{mm}}$.

3. — C'est ce qu'a fait M. Barrand, alors Ingénieur en chef, au viaduc de Revigny (arches de 12^m, en courbe de 100^m, Tramway de Lons-le-Saulnier à St-Claude et à Orgelet).

$$C. \quad \frac{r}{R} > 60^{\text{mm}}$$



Pour rayon en plan du tympan convexe, sur la portée de chaque voûte, on prend, non plus le rayon R du tracé, mais le rayon plus grand R' , tel que :

$$\frac{r}{R'} = \varphi' = 60^{\text{mm}}$$

On raccorde sur la largeur de la pile les courbes de rayon R' de deux voûtes voisines (même rayon R' , mais centres différents) par un arc de rayon r'' , de centre O'' (f_9).

C'est d'un meilleur aspect que les tympanes à facettes (p. 86), et moins cher du volume indiqué par des hachures croisées.

§ 3. — TYMPAN CONCAVE EN COURBE

On pourrait le dresser suivant un cylindre vertical ayant comme rayon $R - \frac{l}{2}$: il n'y aurait pas de porte-à-faux ; mais il convient pour l'aspect qu'il y ait un peu de fruit.

On le profilera comme il l'eût été en alignement ; on en pourra réduire un peu le fruit.

Si en alignement c'eût été un plan de fruit φ' , on le dressera suivant un cône (f_{10}) de ce fruit.

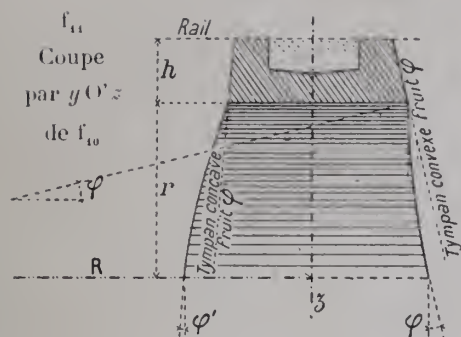
Son équation est (axes $O'x$, $O'y$, $O'z = xO'y$, plan des naissances) :

$$x^2 + (R - y)^2 = \left[R - \frac{l}{2} - \varphi' (h \pm r - z) \right]^2$$

celle de la douelle $x^2 + z^2 = r^2$

celle de la projection de leur intersection sur $yO'z$:

$$z^2 - (R - y)^2 + \left[R - \frac{l}{2} - \varphi' (h + r - z) \right]^2 - r^2 = 0$$



On trouve pour l'équation (axes $O'x$, $O'y$, $O'z$) :

du conoïde $(R+y)^2 (a^2 - z^2) = R^2 x^2$

de la surface du tympan convexe (comme à l'art. 2 ci-dessus)

$$x^2 + (R+y)^2 = \left[R + \frac{l}{2} + (a+h-z)\varphi \right]^2$$

de la projection de leur intersection sur le plan $yO'z$

$$(R+y)^2 \left[1 + \frac{a^2 - z^2}{R^2} \right] = \left[R + \frac{l}{2} + (a+h-z)\varphi \right]^2$$

L'inclinaison de cette courbe sur la verticale est :

$$\text{Tang } \psi = \pm \frac{R \left[R + \frac{l}{2} + (a+h)\varphi \right]}{(R^2 + a^2 - z^2)^{\frac{3}{2}}} \left[z - \varphi \frac{R^2 + a^2}{R + \frac{l}{2} + (a+h)\varphi} \right]$$

$$\text{ou, négligeant } (a+h)\varphi \text{ devant } R + \frac{l}{2}, = \pm \frac{R \left(R + \frac{l}{2} \right)}{(R^2 + a^2 - z^2)^{\frac{3}{2}}} \left(z - \varphi \frac{R^2 + a^2}{R + \frac{l}{2}} \right)$$

z varie de 0 à a . Pour que Tang ψ ne change pas de signe entre ces 2 limites, il faut :

$$a \leq \varphi \frac{R^2 + a^2}{R + \frac{l}{2}} \quad \varphi \geq a \frac{R + \frac{l}{2}}{R^2 + a^2}$$

$$\text{au sommet } z=a \quad \text{Tang } \psi_s = \frac{R^2 + a^2}{R^2} \left[a \frac{R + \frac{l}{2}}{R^2 + a^2} - \varphi \right]$$

$$\text{aux naissances } z=0 \quad \text{Tang } \psi_n = \frac{R}{\sqrt{R^2 + a^2}} \varphi \quad (\text{comme pour la douelle conique})$$

$$\text{Pas de changement de signe pour } \varphi \geq a \frac{R + \frac{l}{2}}{R^2 + a^2}, \text{ soit pratiquement } \geq \frac{a}{R}$$

Les courbes de tête d'amont et d'aval ont des longueurs peu différentes, sauf pour les très grandes ouvertures.

Il n'y aura pas à prévoir d'appareil spécial : les moellons de douelle auront tous la même épaisseur : on fera converger les assises en variant, d'ailleurs de très peu, l'épaisseur des joints⁶.

Art. 4. — Sujétions d'exécution.

6. — Pour une voûte de 25^m, en courbe de 250^m, avec 195 assises de 0^m20 environ d'épaisseur, l'épaisseur des joints ne devrait varier, d'une tête à l'autre, que de 4^{mm}.

Toutes les fermes du cintre seront taillées comme la ferme de la tête concave qui est la plus petite : on augmentera, à la demande, leur développement en clouant des fourrures sur les vaux.

Il n'est pas plus difficile d'exécuter une voûte en cône ou en conoïde qu'en berceau :

Le cône et le conoïde diffèrent très peu, surtout pour les viaducs à une voie.

Art. 5. — Fruit des piles.

On adoptera des fruits droits constants ou des fruits paraboliques, d'après la hauteur totale de l'ouvrage, comme il est spécifié p. 64.

Du côté convexe, comme le fruit des piles doit être au moins égal à celui des tympans, il sera généralement plus grand qu'en alignement droit : c'est d'ailleurs justifié pour résister à la force centrifuge.

Du côté concave, on pourra le réduire un peu. Il n'est pas indispensable d'avoir les mêmes fruits sur les deux élévations. Sans doute, on peut voir en même temps deux arêtes amont et aval d'une pile ; c'est un très léger inconvénient d'aspect pour les viaducs à une voie ; mais de très beaux ouvrages sont ainsi.

Art. 6. — Le viaduc est en courbes de rayons différents, ou en raccordement parabolique.

On adoptera pour les tympans, tout le long du viaduc, le même fruit, celui qui correspond au plus petit rayon.

CHAPITRE III

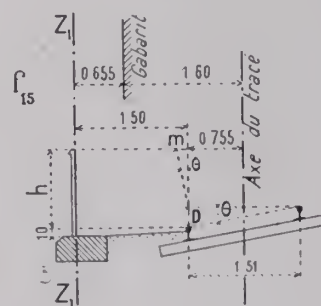
POSITION DES GARDE-CORPS

Art. 1. — Tracé des garde-corps.

Quel que soit le tracé des tympans (polygonaux ou courbes), les garde-corps seront toujours posés verticaux ; sauf dans le raccordement parabolique côté concave, ils seront parallèles à l'axe du tracé.

Art. 2. — Surécartement du côté concave.

En alignement droit, il y a 0^m655 entre le gabarit et la face intérieure du garde-corps (f_{15}).



Sur une voie en dévers D , le gabarit s'incline du côté concave de $\tan \theta = \frac{D}{1^{m}51}$ ou, à très peu près $= 2/3 D$.

L'espace libre au niveau du sommet du garde-corps, à h au-dessus du rail bas est réduit de : $m = \frac{2hD}{3}$

Les garde-corps ont, au plus, 1^m de hauteur : le dessus de la plinthe est à 0^m10 en contrebas du rail voisin : $h = 0^{m}90$

$$\text{D'où : } m = \frac{2 \times 0^{m}90 \times D}{3} = \frac{3}{5} D$$

Le garde-corps sera donc écarté du côté concave de $3/5 D$ ou, comme $D \leq 0^{m}16$, au plus de 0^m096.

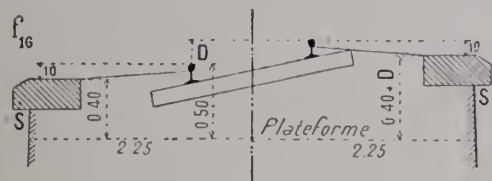
Art. 3. — Parties en courbes de rayons différents ou en raccordement parabolique.

En tous points, la distance du garde-corps à l'axe de la voie sera : $2^{m}255 + \frac{3}{5} D$.

En alignement comme en courbe, la distance du garde-corps à la face verticale vue de la plinthe est constante.

PLINTHES

La plinthe du côté concave sera, comme en alignement, à 0^m10 en contre-bas du rail voisin, soit à 0^m40 au-dessus de la plate-forme ; la plinthe du côté convexe sera à 0^m40 + D au-dessus de la plate-forme.



Art. 1. — Niveau.

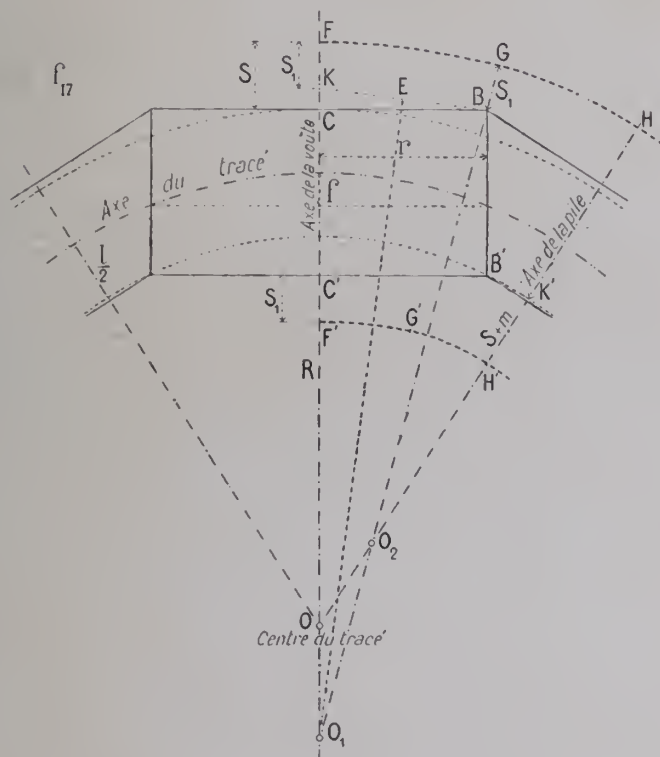
(f_{16}).

A. — Règle commune aux deux têtes. — Les deux plinthes seront posées en courbe, sans brisures.

Art. 2. — Tracé en plan.

B. — Côté concave. — Pour suivre le garde-corps, la plinthe sera déplacée vers le centre de la courbe et son porte-à-faux augmenté de $\frac{3}{5}D$ (p. 94). On augmentera sa queue pour qu'elle reste stable, mais non la distance du tympan à l'axe.

Supposons les tympans plans sur chaque arche et sur chaque pile (tympans à facettes p. 86)



Soient (f_{17}) :

S la saillie en alignement droit, CF⁷ ;

S₁ la saillie minima à admettre, BG (0^m20) ;

m la surlargeur due au dévers, $\frac{3D}{5}$;

$f = \frac{r^2}{2R}$ la flèche du tracé sur la portée 2r.

Le rayon de la plinthe sera :

$R - \frac{l}{2} - S - m$, si $S + m \geq f + S_1$
(ou $f \leq S - S_1 + m$).

Si $f > S - S_1 + m$,

on prend CF' = S₁

K'H' = S + m.

On construit 2 arcs de cercle F'G', G'H' tangents entre eux, l'un passant par F' et ayant son centre sur OK, l'autre passant par H' et ayant son centre sur OH.

C. — Côté convexe. — Le rayon de la plinthe sera $R + \frac{l}{2} + S$, si $S \geq f + S_1$ ou $f \leq S - S_1$.

Si $f > S - S_1$, on prend CK = S - S₁ ; au milieu de BK, on élève la perpendiculaire EO₁.

De O₁ comme centre, avec le rayon O₁K + S₁, on décrit l'arc FG.

De O₂ (rencontre de O₁G avec l'axe de la pile) comme centre, on décrit l'arc GH, tangent en G à GF.

TITRE III

DISPOSITIONS SPÉCIALES AUX VIADUCS EN RAMPE

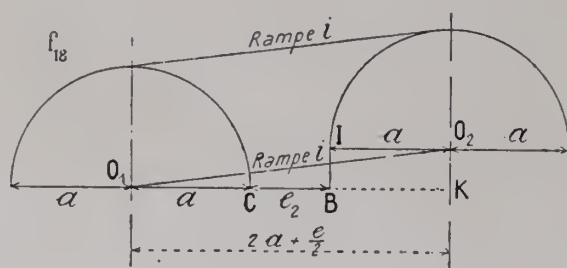
§ 1. — INTRADOS

Art. 1. — 1^{er} système.

Chaque voûte est décrite avec un rayon unique, comme en palier : les naissances, de part et d'autre d'une pile, sont à des niveaux différents (f_{18}).

Les centres sont sur une parallèle aux rails en rampe i .

Au-dessus de l'horizontale BC de la naissance C de la voûte la plus basse, on prend un élément droit : $IB = O_2K = (2a + e_2) i$.



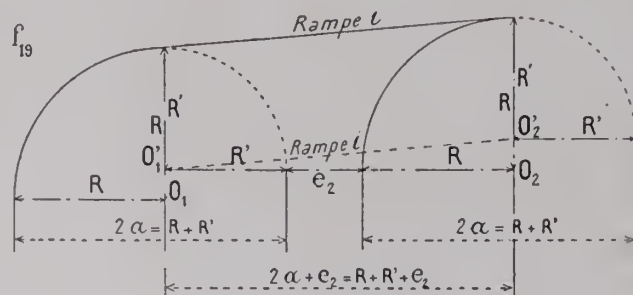
Ce petit élément ne se voit pas, si on ne met pas de cordon aux naissances, — et, pour l'aspect, il convient précisément de n'en point mettre.

A l'origine des chemins de fer, c'était le seul système appliqué, — c'est toujours le meilleur, — sauf sous très forte rampe.

J'admets, — un peu arbitrairement, — qu'on en limite l'application à 30^{mm}.

Art. 2. — 2^e système.

Les deux moitiés d'une voûte sont décrites avec un rayon différent : les naissances, de part et d'autre d'une pile, sont au même niveau (f_{19}).⁸



$$\begin{cases} R + R' = 2a \\ R - R' = (2a + e_2) i \end{cases}$$

$$\begin{cases} R = a + i \left(a + \frac{e_2}{2} \right) \\ R' = a - i \left(a + \frac{e_2}{2} \right) \end{cases} \quad 9$$

Le sommet de la voûte n'est pas au milieu, — les deux 1, 2 voûtes et leurs cintres ne sont pas symétriques, — on ne peut pas retourner les fermes des cintres.

8. — V, p. 81.

9. — Exemple : Viaduc de la Crueize (Ligne de Marvejols à Neussargues) :

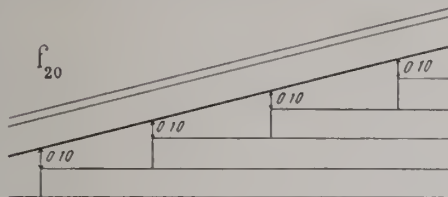
$$\begin{aligned} 2a &= 25^m & e_2 &= 5^m20 & i &= 0^m0275 & \left(a + \frac{e_2}{2} \right) i &= 0^m415 \\ R &= 12^m915 & R' &= 12^m085 & R - R' &= 0^m830. \end{aligned}$$

Il y a donc un peu plus de sujétion dans la taille, l'assemblage et le « remploi » des cintres.

Il a été et est encore fort employé.^{10, 11}

§ 2. — TYMPANS ET CULÈES EN MOELLONS ASSISÉS

Dans les viaducs en rampe, les assises des tympans, si elles sont horizontales, rencontrent le dessous de la plinthe sous un angle très aigu.

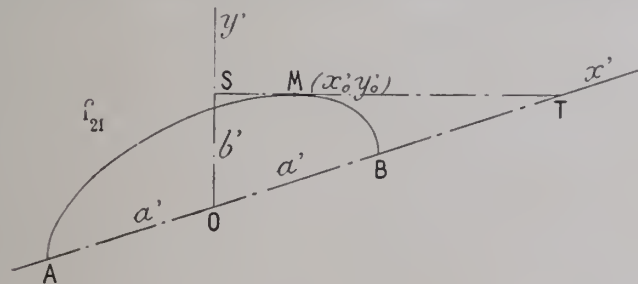


Souvent, on s'est borné à recouper les becs de flûte par les moellons de l'assise inférieure (f_{20}).

Mais il vaut mieux, incliner progressivement les assises à partir des naissances, de telle sorte que l'assise sous la plinthe ait la même pente¹².

10. — Grands viaducs des lignes de Limoges à Brive par Pompadour, — de Séverac à Neussargues....

11. — Si la rampe est très forte (chemin de fer à crémaillère, funiculaire), on peut prendre pour l'intrados une ellipse ayant comme diamètres conjugués la ligne des naissances et une verticale (f_{21}) (Tome V, p. 82); son équation est :



$$\frac{x'^2}{a'^2} + \frac{y'^2}{b'^2} = 1$$

$$MT, \text{ tang en } M(x_0', y_0') \left\{ \begin{array}{l} OT = \frac{a'^2}{x_0'} \\ OS = \frac{b'^2}{y_0'} \end{array} \right.$$

12. — Viaduc de Pompadour (Brive-Limoges) 1873-75.

TITRE IV

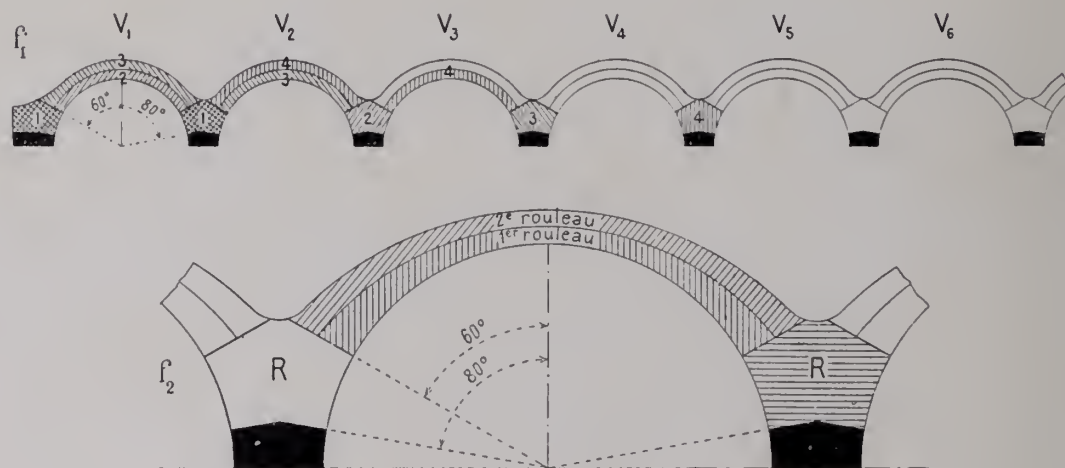
VIADUC A UN GRAND NOMBRE D'ARCHES NOMBRE DE CINTRES¹ EXÉCUTION DES VOÛTES « EN CASCADE »

Pour tracer ces quelques schémas d'exécution, on a dû faire force hypothèses: ce ne sont que de simples indications.

Art. 1. — Avec 5 cintres.

Avant de commencer la voûte V_1 , on « lève » les cintres de V_1 , V_2 , V_3 , (f_1), — puis, à temps, ceux de V_4 et V_5 .

J'admets qu'il faille le même temps pour exécuter: la retombée R (f_2) entre 60° et 80° , le 1^{er} rouleau, le 2^e.



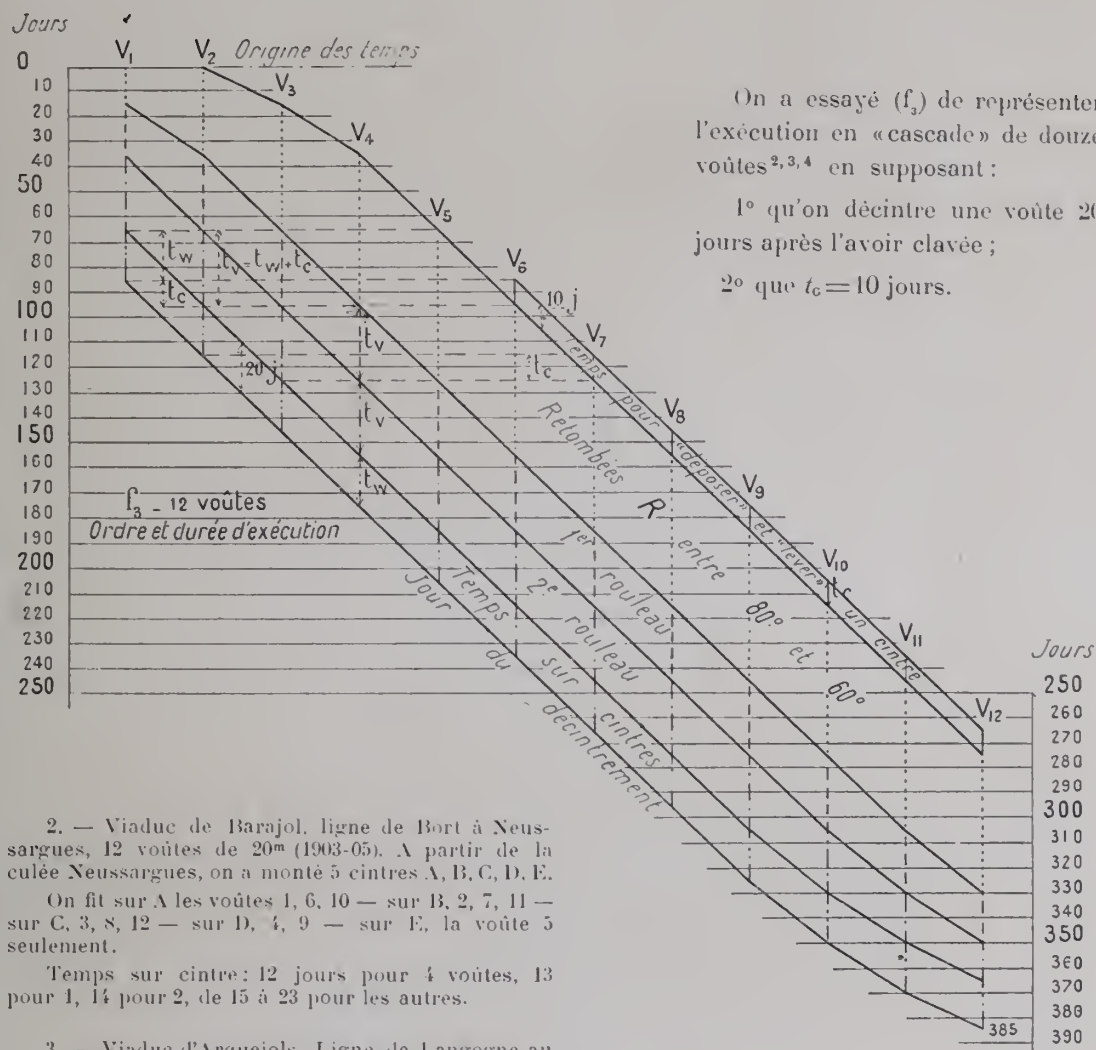
Il y a trois équipes de maçons, M_1 , M_2 , M_3 . Dans le même temps, M_3 fait le 2^e rouleau de la voûte n (par ex. V_2), M_2 le 1^{er} de la voûte $n+1$ (V_3), M_1 la retombée commune aux deux voûtes $n+2$, $n+3$ (V_4 , V_5).

Le jour du décintrement de la voûte n (par ex. V_2), le 2^e rouleau de la voûte $n+1$ (V_3) et le 1^{er} de $n+2$ (V_4) sont en cours: la retombée de V_{n+2} et V_{n+3} (V_4 , V_5) est achevée, celle de V_{n+3} , V_{n+4} (V_5 , V_6) en cours.

Soit t_c le temps nécessaire pour « déposer » et « lever » un cintre.

t_c après le décintrement de la voûte n (V_2), son cintre est prêt pour V_{n+5} (V_7): le 2^e rouleau de V_{n+1} (V_3) et le 1^{er} de V_{n+2} (V_4) sont clavés: les retombées de V_{n+2} , V_{n+3} (V_4 , V_5) et V_{n+3} , V_{n+4} (V_5 , V_6) achevées.

1. — V. p. 156, 157.



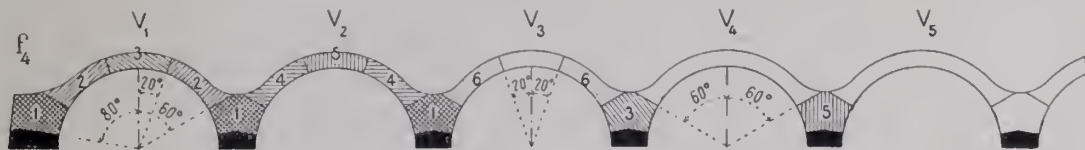
2. — Viaduc de Barajol, ligne de Bort à Neussargues, 12 voûtes de 20^m (1903-05). A partir de la culée Neussargues, on a monté 5 cintres A, B, C, D, E.

On fit sur A les voûtes 1, 6, 10 — sur B, 2, 7, 11 — sur C, 3, 8, 12 — sur D, 4, 9 — sur E, la voûte 5 seulement.

Temps sur cintre: 12 jours pour 4 voûtes, 13 pour 1, 14 pour 2, de 15 à 23 pour les autres.

3. — Viaduc d'Arquejols, Ligne de Langogne au Puy, 11 voûtes de 15^m (1906-07).

4. — Au viaduc de Mussy (Paray-le-Monial à Givors — 1892-95), les 18 voûtes de 25^m ont été faites sur 5 cintres, mais à pleine épaisseur (f_1).



Quand on décintrait une voûte V_n (V_1), V_{n+1} (V_2) était clavée — les maçonneries étaient élevées :

pour V_{n+2} (V_3), à 20° de la clef, de chaque côté ;

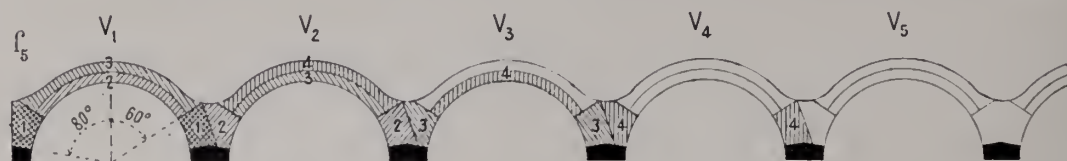
pour V_{n+3} (V_4), à 60° de la clef, de chaque côté ;

pour V_{n+4} (V_5), à 60° de la clef, mais à gauche seulement.

Art. 2. — Avec 4 cintres.

On est moins à l'aise. Il faut accepter quelque inconvénient.
On peut choisir deux ordres d'exécution :

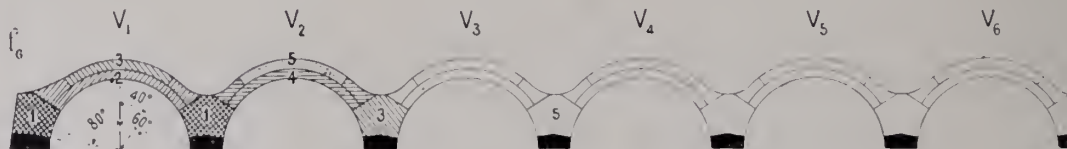
A. — On accepte de faire en deux fois le massif de retombée commun à deux voûtes (f_5).⁵



L'ordre d'exécution est le suivant :

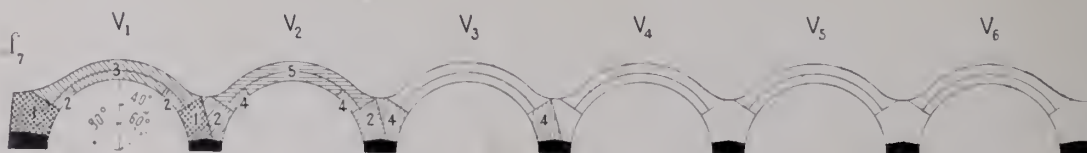
Voûte n°	Etat d'avancement simultané de 4 voûtes se suivant :		
n	1 ^{er} rouleau clavé	2 ^e rouleau clavé	décintrée
$n+1$	Retombées montées à 60° de la clef	1 ^{er} rouleau clavé	2 ^e rouleau clavé
$n+2$	»	Retombées montées à 60° de la clef	1 ^{er} rouleau clavé
$n+3$	»	»	Retombées montées à 60° de la clef.

B. — Ou bien on accepte de claver une voûte n avant d'avoir construit le 1^{er} rouleau de la voûte $n+1$ (f_6).⁶



Art. 3. — Avec 3 cintres.

Il faut accepter à la fois ces deux inconvénients : de faire en deux parties la retombée commune à deux voûtes, de claver une voûte n avant d'avoir construit le 1^{er} rouleau de $n+1$ (f_7).⁷



Art. 4. — Avec 6 cintres.

On emploie six cintres,⁸ et plus,⁹ quand on veut aller vite.

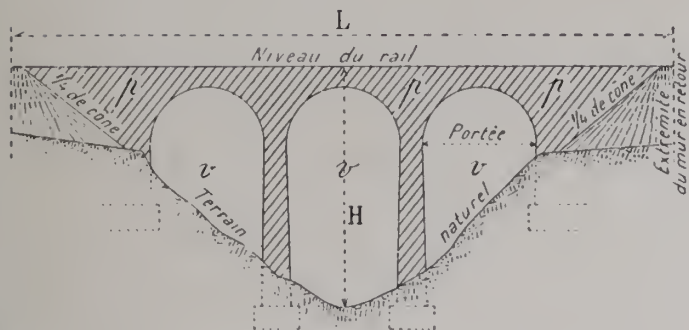
5. — Viaduc de la Gascarie — Ligne de Carmaux à Rodez, 12 voûtes de 20^m (1894-97) ;
Viaduc du Plô — Ligne d'Espalion à Bertholène, 7 voûtes de 17^m (1903-04) ;
Viaduc de l'Oued Beja (Tunisie), 4 cintres pour 12 voûtes de 21^m (1908-10).
6. — Viaduc de Morez — Ligne de Morez à Saint-Claude, 9 voûtes de 20^m (1909-12).
7. — Viaduc de la Bargeasse — Ligne de Langogne au Puy, 6 voûtes de 10^m (1906).
8. — Viaduc de Saint-Florent — Ligne d'Issoudun à Saint-Florent, 14 voûtes de 30^m (1889-92) ;
Viaduc de l'Auzon — Ligne d'Argenton à La Châtre, 20 voûtes de 20^m (1896-1900).
9. — Viaduc de la Bassera — Ligne de Nice à Coni, 7 voûtes de 12^m, 7 cintres (1913-14).

TITRE V

CUBES ET DÉPENSES

CHAPITRE I

UNITÉS ADOPTÉES



Soient :

S_e — la surface vue d'élévation entre le rail, les $1/4$ de cône et le terrain ^{1, 2} ;

p — la surface du plein en élévation ;

v — celle du vide,
 $p + v = S_e$;

Q — le cube de maçonnerie à mortier du viaduc ;

D — sa dépense.

$Q : S_e$ — est le cube par mq d'élévation (vides et pleins ensemble) ;

$D : S_e^3$ — est la dépense par mq d'élévation.

1. — Pour une première approximation grossière d'avant-projet, on peut admettre que S_e est $0,6 L H$ (c'est-à-dire plus grande que le triangle $1/2 L H$, plus petite que la parabole $\frac{2}{3} L H$).

2. — Pour les ouvrages étudiés aux Tomes I à IV, — en général ouvrages bas, sous route ou sous rail, c'est-à-dire de largeurs entre parapets très variables, — on a rapporté les quantités et dépenses :

1^o à la surface offerte à la circulation $S_p = L \times$ (Largeur entre parapets), — surface utile ;

2^o au volume $W = S_e \times$ (Largeur entre parapets), — volume « utile ». (Avertissement en tête des Tomes I à IV).

Pour les viaducs sous chemin de fer, ouvrages hauts, de largeur entre parapets à peu près fixe (4^m50 pour une voie, 8^m pour deux voies), il est plus pratique de rapporter à S_e les quantités et dépenses.

3. — $D : S_e$ varie beaucoup suivant les lieux, les dates, la difficulté des fondations.

On a proposé pour $D : S_e$:

Viaducs à une voie : $60' + 0,8 H$;

Viaducs à deux voies : $80' + H$.

Mais il y a de très grands écarts par rapport à ces moyennes.

CUBES ET DÉPENSES PAR UNITÉ

§ 1. — VIADUCS A DEUX VOIES

TABLEAU SYNOPTIQUE

Ligne Date	Viaduc de :	Hau- teur maxima H	Lon- gueur L	Arches		En élévation				Prix moyen du m. c. de maçon ⁿ $\frac{D}{Q}$	
				Nom- bre	Portée	Rapport du vide <i>e</i>		Par mètre carré			
						à la sur- face totale $\frac{v}{S_e}$	au plein $\frac{r}{p}$	Cube de maçon ⁿ $\frac{Q}{S_e}$	Dépense $\frac{D}{S_e}$		
Nantes à Brest 1859 à 1866	L'Aulne.....	54.00 ^m	357.00 ^m	12	22.00 ^m	0.68	2.13	3.46 ^{mc}	154.00 ^f	44.00 ^f	
	Pont-de-Buis.....	41.60	222.00	9	18.00	0.64	1.90	3.67	154.00	42.00	
	Daoulas.....	38.10	357.00	15	18.00	0.57	2.04	3.51	135.00	38.00	
	Quimperlé.....	31.35	156.60	7	15.00	0.62	1.64	3.46	134.00	39.00	
	Auray.....	29.00	206.00	10	15.00	0.64	1.74	3.88	152.00	39.00	
	Hennebont.....	27.37	222.00	5	22.00	0.64	1.80	3.63	197.00	54.00	
		6	10.00								
	Châteaulin.....	24.20	117.00	7	12.00	0.61	1.58	3.63	112.00	31.00	
	Moyennes.....						0.63	1.70	3 ^{mc} 42	143 ^f .20	41 ^f .90
	Marvejols à Neussargues 1879 à 1888	Crucize.....	63.30 ^m	218.78 ^m	6	25.00 ^m	0.68	2.15	3.78 ^{mc}	176.70 ^f	46.70 ^f
Sénouard.....		43.00	231.10	9	18.00	0.67	2.05	4.33	166.70	38.50	
Chanteperdrix.....		42.00	238.34	9	20.00	0.67	2.00	3.91	173.00	44.20	
Merdarie.....		22.90	86.76	2	20.00	0.53	1.14	5.84	224.90	38.50	
Lignon.....		19.90	129.58	10	10.00	0.61	1.54	3.22	136.20	42.30	
Maison-Rouge.....		15.30	77.74	4	8.00	0.54	1.17	5.45	213.00	39.20	
		1	15.00								
Chapeliniès.....		13.17	51.25	4	8.00	0.58	1.38	5.02	170.80	34.10	
Moyennes.....						0.66	1.93	4 ^{mc} 09	173 ^f .60	42 ^f .40	
Cahors à Brive 1881 à 1889		Boulet.....	37.00 ^m	476.00 ^m	26	15.00 ^m	0.71	2.50	3.52 ^{mc}	142.00 ^f	40.00 ^f
	Souillac.....	32.47	571.13	30	15.00	0.71	2.50	3.48	129.00	37.10	
	Sorbier.....	28.30	113.72	9	10.00	0.70	2.38	2.80	94.00	33.60	
	Lamothe.....	25.90	313.95	15	15.00	0.63	1.70	4.67	141.00	30.20	
	Planche-Torte.....	23.00	184.00	15	10.00	0.70	2.33	3.71	127.00	34.20	
	Lignyrroux.....	21.75	101.60	8	10.00	0.67	2.00	4.22	137.00	32.50	
	Marjaudes.....	21.70	227.60	14	10.00	0.74	2.80	2.94	109.00	37.10	
	Présignac.....	21.70	150.00	12	10.00	0.66	1.93	3.50	126.00	35.90	
	Calamane.....	21.30	308.00	25	10.00	0.72	2.53	3.95	112.00	28.20	
	Saint-Denis.....	20.00	81.22	7	8.00	0.68	2.08	7.46	196.00	26.30	
	Lamoureux.....	19.50	118.00	9	10.00	0.67	2.00	6.01	175.00	29.00	
	Moyennes.....						0.70	2.29	3 ^{mc} 83	132 ^f .50	34 ^f .60
	Limoges à Brive par Uzerche 1886 à 1892	Saint-Germain-les-Belles....	48.38 ^m	300.00 ^m	14	17.00 ^m	0.60	1.53	4.30 ^{mc}	109.70 ^f	26.50 ^f
Vigen.....		44.60	210.00	10	16.00	0.66	1.97	3.92	114.70	29.30	
Pierre-Buflière.....		42.00	211.00	11	15.00	0.67	2.07	3.65	121.80	33.30	
la Pélisserie.....		32.60	114.00	7	12.00	0.65	1.87	3.34	105.80	31.60	
Limoges.....		31.50	423.40	23	15.00	0.69	2.22	2.98	100.10	33.70	
Clan.....		25.14	168.80	13	10.00	0.65	1.87	2.91	102.60	35.20	
la Rozelle.....		16.70	73.20	5	10.00	0.58	1.39	4.29	126.30	29.40	
Moyennes.....						0.66	1.88	3 ^{mc} 61	110 ^f .30	30 ^f .50	

TABLEAU SYNOPTIQUE

Ligne Date	Viaduc de :	Hau- teur maxima H	Lon- gueur L	Arches		En élévation				Prix moyen du m. c. de maçon ^e D Q
				Nom- bre	Portée	Rapport du vide <i>r</i>		Par mètre carré		
						à la sur- face totale $\frac{r}{S_e}$	au plein $\frac{r}{p}$	Cube de maçon ^e $\frac{Q}{S_e}$	Dépense $\frac{D}{S_e}$	
Argenteuil à Mantes 1888 à 1892	Sur le grand ravin de La Frette.	^m 22.40	^m 96.00	7	^m 10.00	0.66	1.91	^{mc} 3.68	^f 132.10	^f 35.90
	Maurecourt.....	15.31	52.57	3	11.00	0.52	1.06	4.43	134.50	30.40
	la Montcient.....	13.39	48.60	3	11.50	0.56	1.25	6.48	299.10	46.10
	Sur le petit ravin de La Frette.	11.77	33.30	3	7.00	0.51	1.05	3.87	112.60	31.20
	Bas-Vals.....	11.43	85.80	3	20.00	0.47	0.88	4.65	226.30	48.70
	Triel.....	8.63	72.15	6	5.10	0.50	1.01	6.57	216.70	33.00
			1	8.00						
				1	9.00					
<i>Moyennes</i>						0.56	1.28	^{mc} 4.63	^f 178.30	^f 38.50
Bourges à Cosne 1889 à 1893	Saint-Satur.....	^m 27.80	^m 428.65	26	^m 13.00	0.66	1.98	^{mc} 4.38	^f 117.50	^f 26.90
	Ménétréol.....	19.30	190.20	15	10.00	0.65	1.82	4.05	119.50	29.50
	Thauvenay.....	15.26	45.83	3	10.00	0.61	1.56	10.30	241.70	23.50
	Moultonneaux.....	15.54	38.48	3	8.50	0.62	1.60	7.00	152.20	21.70
	<i>Moyennes</i>						0.66	1.91	^{mc} 4.57	^f 123.10
Issoudun à Saint-Florent 1889 à 1893	Saint-Florent.....	^m 21.60	^m 524.46	14	^m 30.00	0.73	2.75	^{mc} 3.05	^f 121.00	^f 39.70
Paray-le-Monial à Lamure 1892 à 1899	Mussy.....	^m 59.76	^m 561.00	18	^m 25.00	0.68	2.15	^{mc} 4.03	^f 128.60	^f 31.90
	Villon.....	31.50	155.00	8	15.00	0.64	1.81	3.20	77.90	24.30
	la Boucle.....	29.00	130.00	4	12.00	0.53	1.14	4.43	105.40	25.50
			2	20.00						
	Chez Aulas.....	26.65	128.00	8	12.00	0.63	1.73	3.37	94.00	27.90
	la Foraize.....	25.00	119.00	6	15.00	0.57	1.33	3.51	95.40	27.20
	Collier.....	24.60	121.00	7	12.00	0.62	1.61	3.58	100.00	28.00
	Montveneur.....	24.50	127.00	6	15.00	0.59	1.43	3.55	88.10	24.80
	la Grange-Neuve.....	20.00	109.00	5	15.00	0.58	1.39	3.99	108.60	27.30
	<i>Moyennes</i>						0.65	1.85	^{mc} 3.85	^f 114.60

TABLEAU SYNOPTIQUE

Ligne Date	Viaduc de :	Hau- teur maxima H	Lon- gueur L	Arches		En élévation				Prix moyen du m. c. de maçon ⁿ $\frac{D}{Q}$
				Nom- bre	Portée	Rapport du vide <i>c</i>		Par mètre carré		
						à la sur- face totale $\frac{v}{S_e}$	au plein $\frac{c}{p}$	Cube de maçon ⁿ $\frac{Q}{S_e}$	Dépense $\frac{D}{S_e}$	
Miras à L'Estaque 1910 à 1914		^m	^m	1	^m			^{mc}	^f	^f
	l'Etable	38.89	90.74	2	25.00	0.44	0.79	3.71	150.27	40.53
	Aragnois	37.54	112.00	3	20.00	0.57	1.32	3.72	155.85	41.88
	Jonquier	37.00	137.60	1	30.00	0.61	1.53	3.28	161.77	49.25
				4	15.00					
	la Vesse	35.38	168.00	6	20.00	0.64	1.79	2.48	192.50	79.73
	Méjean	34.50	122.40	5	15.00	0.61	1.55	3.30	142.43	43.12
	Riaux	33.00	178.90	8	15.00	0.48	0.92	3.83	151.74	39.61
	Mauvallon	31.40	154.50	6	15.00	0.54	1.20	3.07	136.45	44.42
	Loubatons	30.83	182.30	7	15.00	0.51	1.05	3.09	131.58	42.58
	la Baume de Lume	27.90	61.10	3	13.00	0.54	1.19	2.33	118.04	50.73
	l'Aigle	27.60	107.50	4	15.00	0.50	1.01	4.28	224.66	52.52
				6	6.50					
	la Corbière	27.18	226.62	7	20.00	0.57	1.30	3.21	128.62	40.13
				6	15.00	0.64	1.76	2.84	114.44	42.62
	Verdon	26.40	115.00	8	15.00	0.62	1.60	3.52	205.53	58.41
	Grand Vallat	20.30	151.00	5	15.00	0.59	1.43	3.25	162.99	50.13
	la Réraillé	19.60	99.00	5	8.00	0.38	0.60	2.75	137.84	50.17
	Vauclair	11.50	64.50	5	8.00	0.23	0.29	4.46	243.00	54.40
	Piche	11.00	53.00							
Moyennes						0.56	1.27	3 ^{mc} 24	155 ^f .40	48 ^f .02
Moyennes générales sur 67 viaducs ayant ensemble 267.100 ^{ms} de surface d'élévation totale, 983.396 ^{mc} de maçonnerie à mortier, ayant coûté 36.274.984 fr.						0.65	1.82	3 ^{mc} .68	135 ^f .81	36 ^f .89

TABLEAU SYNOPTIQUE

Ligne Date	Viaduc de :	Hau- teur maxima H	Lon- gueur L	Arches		En élévation				Prix moyen du m. c. de maçon ¹ $\frac{D}{Q}$
				Nom- bre	Portée	Rapport du vide r		Par mètre carré		
						à la sur- face totale $\frac{r}{S_e}$	au plein $\frac{r}{p}$	Cube de maçon ¹ $\frac{Q}{S_e}$	Dépense $\frac{D}{S_e}$	
Limoges à Brive 1873 à 1875	Pompadour.....	^m 55.00	^m 285.00	8	^m 25.00	0.65	2.08	^{mc} 2.25	^f 146.00	^f 65.00
	la Sagne.....	36.40	157.50	5	20.00	0.65	1.88	1.70	99.00	59.00
	la Boucheuse.....	28.60	178.00	7	20.00	0.67	2.04	2.02	92.00	45.00
	la Donne.....	26.00	130.00	5	20.00	0.63	1.67	2.20	101.00	46.00
	la Loue.....	24.70	135.80	5	18.00	0.63	1.69	2.30	99.00	43.00
	Sarget.....	24.45	143.00	5	20.00	0.61	1.57	2.81	136.00	48.00
	Vignols.....	21.00	252.00	10	20.00	0.58	1.39	2.36	131.00	55.00
	l'Isle.....	16.60	51.00	3	12.00	0.55	1.22	2.57	111.00	43.00
	Combes.....	13.50	54.60	1	16.00	0.56	1.25	1.65	124.00	76.00
			2	10.00						
	la Pouge.....	13.30	84.00	3	20.00	0.51	1.02	2.16	105.00	49.00
	la Meyze.....	12.00	75.20	3	18.00	0.51	1.04	3.31	131.00	40.00
	Haute-Vézère.....	12.00	42.00	3	10.00	0.52	1.08	3.25	145.00	44.00
	Monteil.....	12.00	83.00	7	8.00	0.52	1.09	2.09	132.00	63.00
	la Croix.....	10.70	63.90	5	8.00	0.48	0.92	2.06	129.00	63.00
	Boulou.....	10.00	37.60	1	9.00	0.50	1.00	3.27	136.00	42.00
				2	8.00					
	Moyennes.....					0.62	1.66	^{mc} 2.26	120.80	53.40
La Flèche à La Suze et à Sablé 1875 à 1877	Sablé.....	^m 21.50	^m 285.00	11	^m 20.00	0.61	1.59	^{mc} 2.18	^f 104.00	^f 47.80
	Blaud.....	^m 21.60	^m 114.00	8	^m 10.00	0.65	1.89	^{mc} 2.60	^f 87.50	^f 33.70
	Rimeize.....	18.70	129.35	10	10.00	0.64	1.80	2.92	93.80	32.10
	Varillette.....	17.00	134.30	10	10.00	0.64	1.76	2.33	97.80	41.90
	Massalès.....	16.50	90.20	5	12.00	0.63	1.68	2.95	89.00	30.20
	Saillant.....	16.50	51.30	3	10.00	0.57	1.35	2.83	114.30	40.40
	la Combe.....	13.80	47.20	3	10.00	0.60	1.53	3.35	126.20	37.70
	Triboulin.....	10.80	56.31	5	10.00	0.56	1.31	3.26	168.60	51.70
	Malagazanne.....	6.90	34.20	2	4.00	0.45	0.89	3.64	167.70	46.10
				1	12.00					
	Moyennes.....					0.63	1.67	^{mc} 2.79	101.90	36.50
Saint-Denis au Buisson 1880 à 1884	Bramefond.....	^m 44.14	^m 321.65	14	^m 17.00	0.68	2.14	^{mc} 2.29	^f 75.30	^f 32.80
	Courtils.....	35.00	141.80	7	15.00	0.66	1.94	2.60	104.80	40.20
	Moyennes.....					0.68	2.10	^{mc} 2.36	81.60	34.60

TABLEAU SYNOPTIQUE

Ligne Date	Viaduc de :	Hau- teur maxima H	Lon- gueur L	Arches		En élévation				Prix moyen du m. c. de maçon ⁿ $\frac{D}{Q}$
				Nom- bre	Portée	Rapport du vide <i>r</i>		Par mètre carré		
						à la sur- face totale $\frac{r}{S_e}$	au plein $\frac{r}{p}$	Cube de maçon ⁿ $\frac{Q}{S_e}$	Dépense $\frac{D}{S_e}$	
Tournon au Blanc 1880 à 1885	l'Isle-Jourdain.....	^m 38.60	^m 304.00	12	^m 20.00	0.71	2.41	^{mc} 2.01	^f 97.00	^f 48.00
	Blanc.....	38.11	528.00	21	20.00	0.70	2.32	2.80	142.00	51.00
	la Villerie.....	24.26	113.60	5	15.00	0.64	1.75	2.63	106.00	40.50
	la Charente.....	24.00	140.00	6	16.00	0.64	1.77	2.66	103.00	38.80
	la Caronnière.....	18.28	92.00	7	10.00	0.68	2.13	2.28	101.00	44.20
	la Faye.....	15.90	55.00	5	8.00	0.64	1.82	3.64	141.00	38.80
	Tersac.....	14.60	41.60	3	10.00	0.61	1.56	3.10	167.00	53.70
	Chez-Dinette.....	14.50	74.20	7	8.00	0.66	1.95	4.63	163.00	35.30
	Bourbes.....	14.30	55.00	5	8.00	0.61	1.55	2.70	128.00	47.40
	Salleron.....	12.69	47.50	1	14.00	0.56	1.15	5.13	239.00	46.50
			2	10.00						
			1	9.89						
	Grand-Vieq.....	11.55	51.00	1	10.11	0.56	1.27	3.98	205.00	51.60
				1	16.00					
	Moyennes.....						0.69	2.17	2 ^{mc} 64	126 ^f 00
Aurillac à Saint-Denis 1883 à 1884	l'Authre.....	^m 34.14	^m 118.35	5	^m 16.00	0.68	2.15	^{mc} 2.07	^f 85.00	^f 41.00
	la Cère.....	24.89	123.35	7	12.00	0.67	2.02	1.83	92.00	50.00
	l'Auze.....	23.92	108.75	6	12.00	0.67	2.07	1.89	73.00	38.00
	Moyennes.....						0.68	2.08	1 ^{mc} 94	83 ^f 80
Carmaux à Rodez 1894 à 1897	la Gascarie.....	^m 49.00	^m 296.30	12	^m 20.00	0.68	2.15	^{mc} 2.04	^f 61.90	^f 30.40
Argenton à La Châtre 1897 à 1901	l'Auzon.....	^m 42.70	^m 499.00	20	^m 20.00	0.70	2.30	^{mc} 3.79	^f 122.50	^f 32.30
Guéret à La Châtre 1901 à 1905	la Creuse.....	^m 19.50	^m 202.10	16	^m 10.00	0.68	2.08	^{mc} 2.35	^f 94.50	^f 40.30
	la Glane.....	19.40	152.20	12	10.00	0.69	2.20	2.36	103.40	43.90
	la Petite Creuse.....	19.20	208.60	16	10.00	0.67	2.01	2.61	124.00	47.50
	Moyennes.....						0.68	2.08	2 ^{mc} 45	107 ^f 70

TABLEAU SYNOPTIQUE

Ligne Date	Viaduc de :	Hau- teur maxima H	Lon- gueur L	Arches		En élévation				Prix moyen du m. c. de maçon ^m $\frac{D}{Q}$
				Nom- bre	Portée	Rapport du vide <i>r</i>		Par mètre carré		
						à la sur- face totale $\frac{r}{S_e}$	au plein $\frac{r}{p}$	Cube de maçon ^m $\frac{Q}{S_e}$	Dépense $\frac{D}{S_e}$	
Espalion à Bertholène 1903 à 1904	Plô	^m 42.20	^m 158.60	7	^m 17.00	0.69	2.18	^{mc} 2.13	^f 85.60	^f 40.20
	Labauze	36.00	114.00	6	14.00	0.68	2.10	1.95	78.10	40.00
	Goudal	30.60	123.70	7	12.50	0.68	2.08	2.11	79.10	37.40
	Conquettes	29.68	172.26	12	11.00	0.70	2.30	2.08	73.70	35.50
	la Loubière	23.20	103.50	7	11.00	0.68	2.14	2.07	83.80	40.40
	<i>Moyennes</i>					0.69	2.18	^{mc} 2.08	^f 79.70	^f 38.30
Bort à Neussargues 1901 à 1907	Barajol	^m 56.41	^m 317.00	12	^m 20.00	0.69	2.22	^{mc} 3.17	^f 167.26	^f 52.75
	Saint-Saturnin	36.30	205.70	10	15.00	0.70	2.36	3.23	111.99	34.70
	Lugarde	25.90	153.21	12	10.00	0.68	2.11	3.70	130.58	35.33
	Salsignac	24.30	189.41	14	10.00	0.62	1.65	1.87	74.51	39.91
	Chassagny	22.24	97.54	6	12.00	0.60	1.47	3.73	195.47	52.45
	<i>Moyennes</i>					0.68	2.08	^{mc} 3.12	^f 140.90	^f 45.22
Langogne au Puy 1905 à 1908	Arquejols	^m 44.90	^m 209.00	6	^m 10.00	0.67	2.03	^{mc} 2.14	^f 74.84	^f 35.02
	la Bargeasse	21.48	93.50	11	15.00	0.57	1.34	2.96	87.26	29.43
	<i>Moyennes</i>					0.65	1.85	^{mc} 2.31	^f 77.37	^f 33.55
Morez à Saint-Claude 1908 à 1910	Saillard	^m 46.40	^m 97.68	1	^m 25.00	0.63	1.67	^{mc} 2.19	^f 80.97	^f 36.95
	Morez	40.68	238.05	4	12.00					
	Valfin	27.80	77.50	9	20.00	0.68	2.12	2.78	121.13	43.60
	Crêt	15.75	34.90	6	10.00	0.63	1.69	2.97	125.40	42.22
	Pain de Sucre	15.30	121.78	5	5.00	0.51	1.03	3.06	151.20	49.37
				1	15.00	0.50	1.00	3.01	132.66	44.13
	Puits	14.40	71.00	15	5.00	0.67	2.05	3.06	128.20	41.96
	la Culée	12.12	22.20	9	6.00	0.67	2.05	3.06	128.20	41.96
			3	5.00	0.58	1.36	3.58	175.93	49.13	
<i>Moyennes</i>					0.64	1.77	^{mc} 2.75	^f 117.56	^f 42.73	
<i>Moyennes générales sur 64 viaducs ayant ensemble 184.416^m de surface d'élévation totale, 481.402^{mc} de maçonnerie à mortier, ayant coûté 20.577.900 fr.</i>						0.66	1.98	^{mc} 2.61	^f 111.57	^f 42.75

2^e PARTIE

CALCULS ET ÉPURES

LIVRE I

COMMENT ON CALCULE UN CINTRE

LIVRE II

COMMENT ON CALCULE UNE VOÛTE

LIVRE I

COMMENT ON CALCULE UN CINTRE¹

PONT ADOLPHE, A LUXEMBOURG²

CHAPITRE I

FERMES

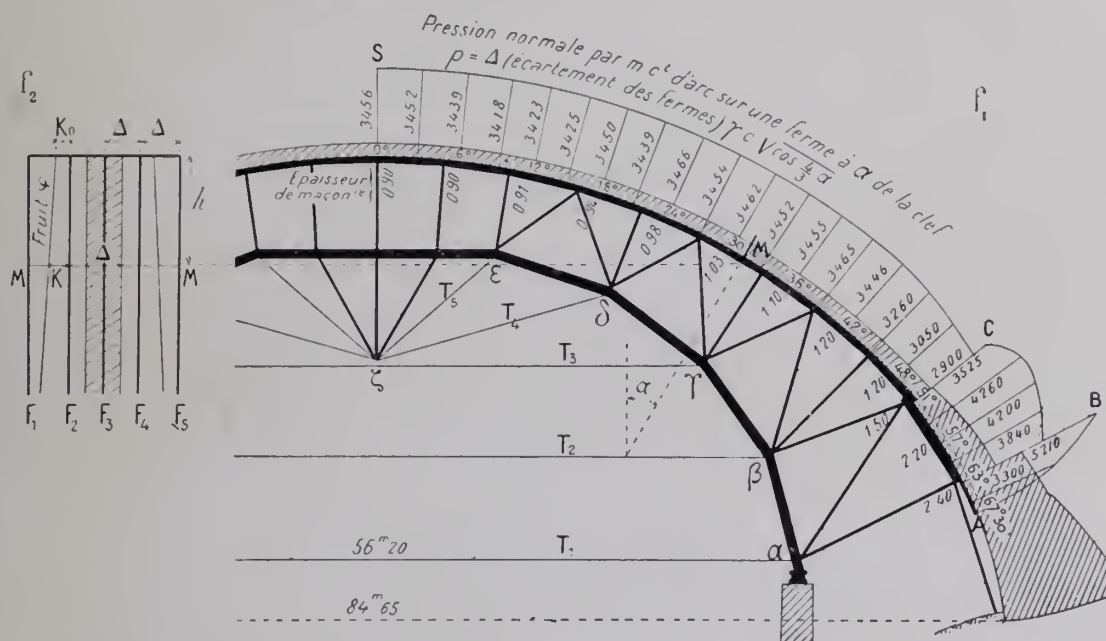
§ 1. — PRESSION NORMALE SUR LE CINTRE, A α° DE LA CLEF

Par mètre carré, c'est :

$$p_\alpha = \gamma c \sqrt{\cos \frac{4}{3} \alpha} \quad 3, 4$$

γ densité de la maçonnerie = 2.400^k

c épaisseur admise en M.

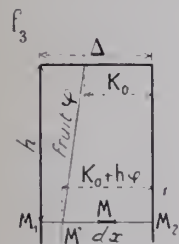


Soit Δ l'écartement des fermes (1^m60).

La charge sur 1^m de longueur de ferme en M, à α de la clef, est :

pour une ferme intermédiaire, telle que F_3 (f_2), $p_M = \Delta p_\alpha$

pour une ferme de rive F_1 : $p_M = \frac{p_\alpha}{2\Delta} \left[k_0 \cdot h_\varphi \right]^2$ ⁵



1. — V, p. 132 à 156.

2. — II, p. 70 à 74, pl. 4 et 5.

3. — V, p. 155.

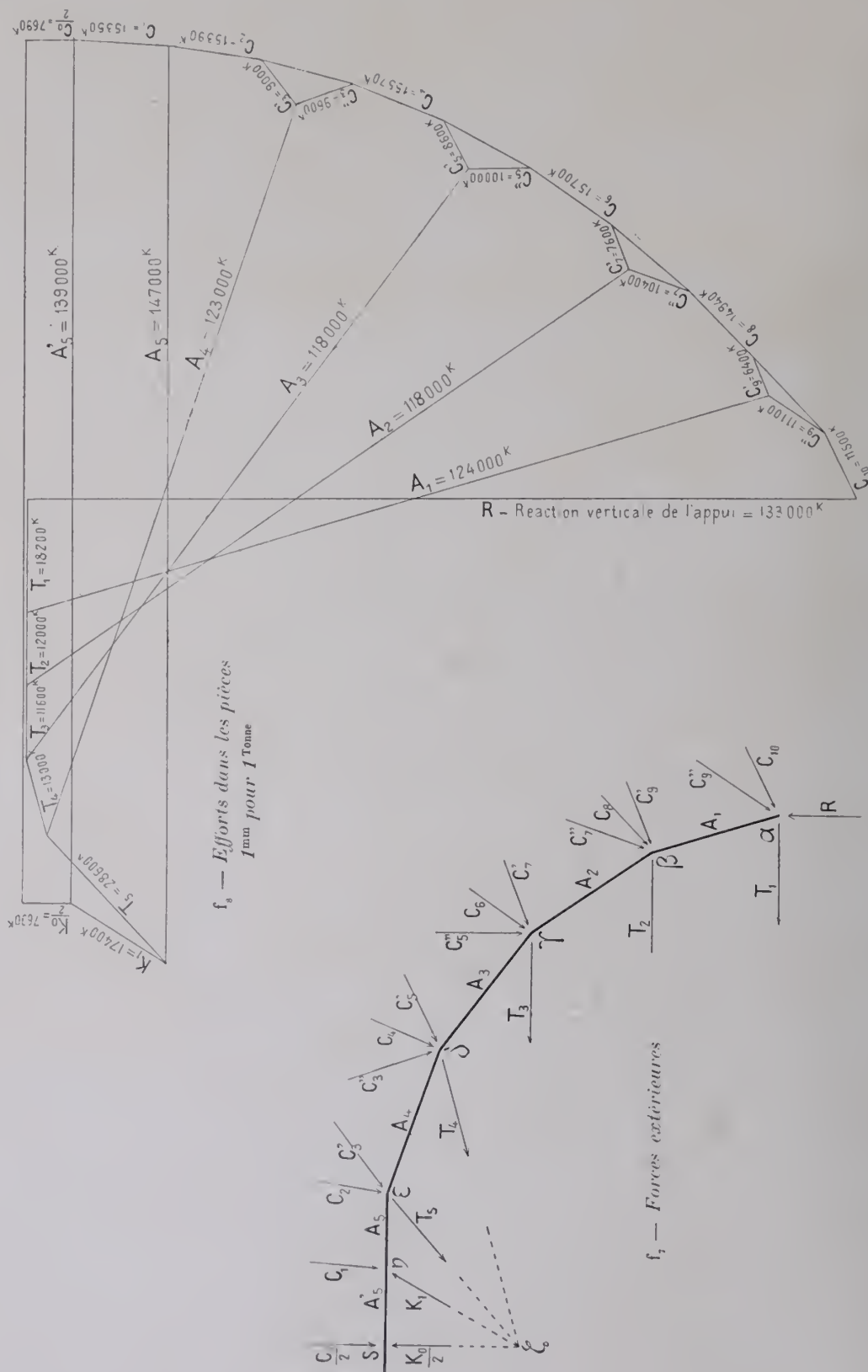
4. — Voir, à la fin du Tome VI, les tables numériques de $\log \sqrt{\cos \frac{4}{3} \alpha}$, $\sqrt{\cos \frac{4}{3} \alpha}$, pour α de 0° à 67°30'.

5. — La pression sur M (f_2) est $p_\alpha dx$, dont la composante en M_1 est $p_\alpha dx \frac{x}{\Delta}$.

Pour la largeur $M_1 M_2$, elle est : $\frac{p_\alpha}{\Delta} \sum_0^M x dx = \frac{p_\alpha}{2\Delta} (k_0 + h_\varphi)^2$

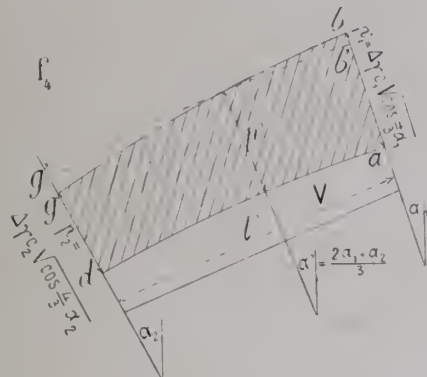
CHEVALEMENT

112



Voici, détaillé, le calcul d'une ferme intermédiaire :

§ 2. — EFFORTS DANS LES PIÈCES



La pression totale sur le vau V (f_1) est représentée par l'aire $abgd$.

Art. 1. — Vaux.

On l'a remplacée par l'aire $ab'g'd$ de hauteur constante p' :

$$p' = \Delta \gamma c \sqrt{\cos \frac{4}{3} \alpha'}$$

$$\text{avec } \alpha' = \frac{2\alpha_1 + \alpha_2}{3}$$

Une contrefiche C (f_3) reçoit :

$$P = \frac{1}{2} \Delta \gamma c_1 l_1 \sqrt{\cos \frac{4}{3} \frac{2\alpha_1 + \alpha_2}{3}} (V_{au} V_1) + \frac{1}{2} \Delta \gamma c_2 l_2 \sqrt{\cos \frac{4}{3} \frac{2\alpha_2 + \alpha_1}{3}} (V_{au} V_2)$$

Art. 2. — Contrefiches.

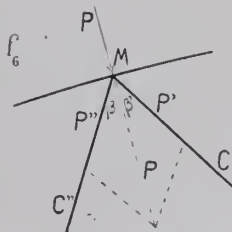
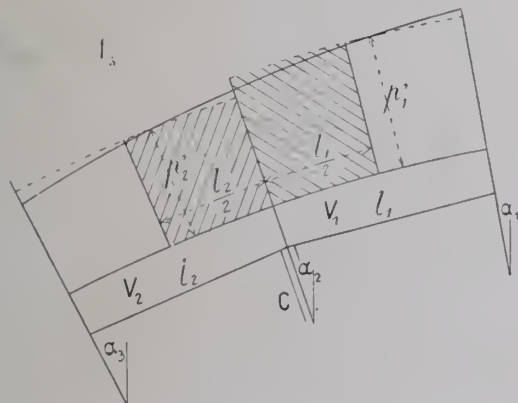
A. — *Suivant le rayon.*

B. — *Inclinées sur le rayon.*

L'effort P en M (f_6) se divise en

$$P' (\text{sur } C') = P \frac{\sin \beta}{\sin (\beta + \beta')}$$

$$P'' (\text{sur } C'') = P \frac{\sin \beta'}{\sin (\beta + \beta')}$$



Les efforts intérieurs (compressions dans les arbalétriers, tensions dans les câbles) sont équilibrés aux forces extérieures (f_1) (réactions

Art. 3. — Chevalement.

des deux appuis, compressions transmises par les contrefiches). C'est ce qu'exprime la fig. 8.

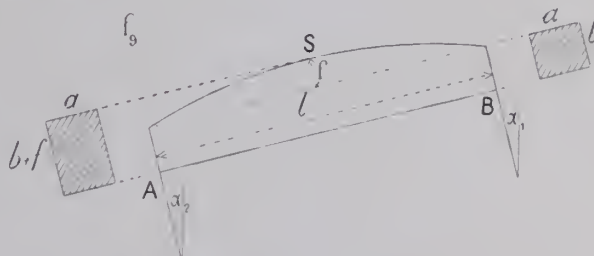
§ 3. — SECTIONS DES PIÈCES

Bien qu'encastrés à leurs abouts, entre eux et avec les contrefiches par les couvre-joints en tôle, on les a calculés comme simplement posés.

Art. 1. — Vaux.

	Longueur	Pression par m. et p'	Flèche f'	Hauteur aux abouts b	
				calculée	adoptée
V_1	4.45	3450	0.05	0.48	0.48
V_2	4.45	3440	0.05	0.48	
V_3	4.50	3425	0.06	0.47	
V_4	4.50	3450	0.06	0.47	
V_5	4.55	3460	0.06	0.48	
V_6	4.55	3470	0.06	0.48	
V_7	4.60	3490	0.06	0.49	0.56
V_8	4.60	3400	0.06	0.48	
V_9	4.10	3100	0.06	0.40	
V_{10}	5.40	3970	0.14	0.54	

6. — V, p. 156.



$$M (\text{moment de flexion maximum}) = \frac{1}{8} p' (\S 2, \text{art. 1}) \times l^2 =$$

$$\beta (\text{effort permis en } K^* 0^m 01^2) \times 10^4 \times \frac{a(b+f)^2}{6}$$

$$\beta = 80^k \quad a = 0^m 23$$

Aux ponts de Luxembourg et des Amidonniers⁷, les vaux ont été peut-être un peu faibles. On les avait calculés seulement pour ne pas rompre. Il conviendra de s'imposer une flèche maxima⁸ fonction de la portée du vau. On avait fait ainsi au pont du Castelet⁹, au pont Antoinette⁹.

Art 2. — Contrefiches.

Soit φ l'élanement = $\frac{l \text{ (longueur libre de la pièce)}}{b \text{ (plus petit côté de la section)}}$

On a admis comme pression moyenne permise par 0.01^2 :

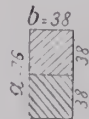
$$\beta_m = \frac{80}{1 + \left(\frac{\varphi}{24}\right)^2} \quad 10, 11$$

On a pris pour l la longueur totale de la contrefiche, bien qu'elle soit coupée par un ou deux cours de moises.

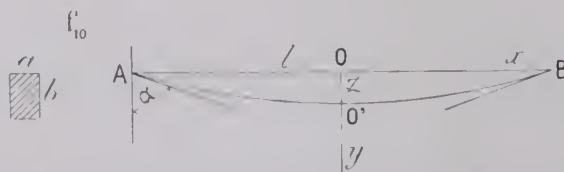
	Longueur l	Plus petite dimension b (en élévation)	Élancement $\varphi = \frac{l}{b}$	Compression moyenne permise par 0.01^2 $\beta_m = \frac{80}{1 + \left(\frac{\varphi}{24}\right)^2}$	Effort total P	Section en 0.01^2 $\Omega = ab = \frac{P}{\beta_m}$	Épaisseur $a = \frac{\Omega}{b}$	
							calculée	adoptée
C_0	5.50	21	26	36.80	15380 ⁸	418cmq	20	23 ^m
C_1	5.40	19	28	33.88	15350	453	24	
C_2	4.90	19	26	36.80	15390	418	22	
C_3	6.30	19	33	27.68	9000	325	17	
C_3''	6.80	19	36	24.61	9600	390	21	
C_4	5.30	21	25	38.36	15570	406	19	
C_5	6.80	19	36	24.61	8600	349	18	
C_5''	7.80	21	37	23.69	10000	422	20	
C_6	6.60	23	29	32.52	15700	483	21	
C_7	7.80	19	41	20.42	7600	372	20	
C_7''	9.60	23	42	19.69	10400	528	23	25
C_8	8.80	23	38	22.81	14940	655	28	
C_9	9.20	19	48	16.00	6400	400	21	
C_9''	11.50	25	46	17.12	11100	648	25	
C_{10}	11.00	25	44	18.34	11500	627	25	26
K_0	6.70	21	32	28.80	15380	534	25	
K_1	7.80	24	33	27.68	17400	630	26	

Art 3. — Arbalétriers.

Équarrissage adopté :



7 — 1, p. 191



8. — Un vau de longueur l , de section supposée constante $a \times b$, prend, sous une charge p par mètre courant, une flèche :

$$z = \frac{5 p l^4}{32 E a b^3} \quad E, \text{ coefficient d'élasticité } = 1,2 \times 10^9.$$

$$\frac{z}{l} = \frac{5 p}{32 E a} \left(\frac{l}{b} \right)^3$$

9. — Annales des Ponts et Chaussées, octobre 1886 — Construction des ponts du Castelet, de Lavour et Antoinette, M. Séjourné, p. 538, 539.

10. — V, p. 156.

11. — Voir plus loin les tables numériques de β_m pour φ de 0 à 50.

	Longueur l	Eclai- rement $\beta = \frac{l}{38}$	Compression moyenne permise par 0.01^2 $\beta_m = \frac{80}{\left(1 + \frac{\beta}{24}\right)^2}$	Effort total P	Section en 0.01^2 $\Omega = ab = \frac{P}{\beta_m}$	Hauteur $a = \frac{\Omega}{38}$	
						calculée	adoptée
A_1	7.30	19	49.18	124000 ¹²	2521cmq	66 ^{cm}	76 ^m
A_2	7.65	20	47.21	118000	2499	66	
A_3	7.85	21	45.31	118000	2604	68	
A_4	7.90	21	45.31	123000	2715	71	
A_5	4.00	10	68.17	147000	2156	57	

	Tension T	Travail par 0.001^2 $\frac{T}{\Omega}^{12}$
T_1	18.200 ¹²	25 ¹²
T_2	12.000	16.5
T_3	11.600	16
T_4	13.000	17.8
T_5	28.600	19.6

Chaque câble a été fait de 61 fils de 3mm⁹.

Section utile :

$$\Omega = 728 \text{ mm}^2.$$

Art. 4. — Câbles.

CHAPITRE II

COUCHIS

Bien que d'une seule pièce et cloués sur les vaux, on les a calculés comme coupés au droit de chaque ferme et simplement posés dessus.

f_{11} . — Coupe en travers

On a admis : $\frac{a}{b} = \frac{5}{7}^{13}$; $a = 0^m10$, $b = 0^m14$.

La pression par mètre courant de couchis, à α de la clef, est :

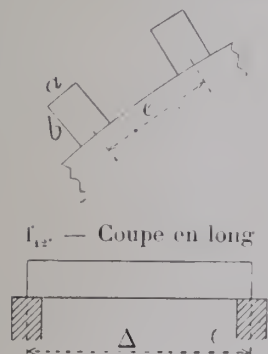
$$p_{\alpha} \left(\begin{smallmatrix} \text{pression par mq.} \\ \text{de douelle} \end{smallmatrix} \right) \times e$$

$$\mathfrak{M} \left(\begin{smallmatrix} \text{moment de flexion} \\ \text{maximum} \end{smallmatrix} \right) = \frac{1}{8} p_{\alpha} e \Delta^2 = 10^4 \beta \left(\begin{smallmatrix} \text{travail maximum} \\ \text{permis en K} \times 0.01^2 \\ = 80^8 \end{smallmatrix} \right) \times \frac{1}{6} ab^2^{14}$$

$$\text{Ici : } e = \frac{1306,66}{p_{\alpha} \Delta = p \left(\begin{smallmatrix} \text{pression par mc}^2 \text{ d'arc} \\ \text{indiquée sur } f_1 \end{smallmatrix} \right)}$$

On trouve :

Entre 0° et 51° (sommiers), de 0^m38 à 0^m43 : on a adopté 0^m38 ;
au-dessous, de 0^m23 à 0^m39 : on a adopté 0^m25.



12. — V, p. 156.

13. — V, p. 134.

14. — e croît de la clef aux reins ; il est infini pour $\beta = 0$ ($\alpha = 67^{\circ}30'$) ; la dépense en couchis par mètre courant de ferme est proportionnelle à $\frac{ab}{e} = \frac{3p_{\alpha}\Delta^2}{4\beta \times 10^4 b}$; il y aurait donc théoriquement économie, pour une épaisseur donnée de platelage, à augmenter la hauteur et l'espacement des couchis.

LIVRE II

COMMENT ON CALCULE UNE VOÛTE

ARC ÉLASTIQUE INARTICULÉ

SUR APPUIS IMMOBILES

MÉTHODE CULMANN-RITTER

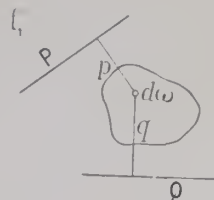
TITRE I

PRÉAMBULE

MOMENTS DU SECOND DEGRÉ D'UNE SURFACE Ω PAR RAPPORT :

A UNE DROITE P ($\Sigma p^2 d\omega$, moment d'inertie)

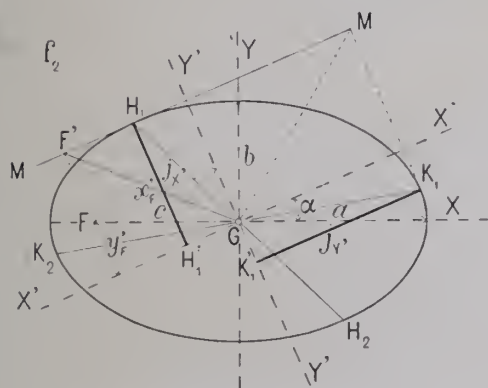
A DEUX DROITES P, Q ($\Sigma pq d\omega$, moment centrifuge¹, f_1)



CHAPITRE I

MOMENTS PAR RAPPORT A DEUX AXES PASSANT PAR LE CENTRE DE GRAVITÉ

§ 1. — LES DEUX AXES SONT RECTANGULAIRES (f_1)



Traçons les diamètres H_1H_2 , K_1K_2 conjugués à GX' , GY' : abaissons les perpendiculaires $H_1H_1' = j_{X'}$, $K_1K_1' = j_{Y'}$.

Ce sont les rayons de gyration relatifs aux axes X' et Y' .

$\Sigma y'^2 d\omega = I_{X''} = \Omega j_{X'}^2$. C'est le moment d'inertie par rapport à GX' de la surface Ω concentrée en H_1 .

$\Sigma x'^2 d\omega = I_{Y''} = \Omega j_{Y'}^2$. C'est le moment d'inertie par rapport à GY' de la surface Ω concentrée en K_1 .

$$\Sigma x' y' d\omega \text{ (moment centrifuge)} = I_{X'Y'} = \Omega (a^2 - b^2) \sin \alpha \cos \alpha$$

$$= \Omega \times c \sin \alpha \times c \cos \alpha = \Omega x_F' y_F'$$

C'est le moment centrifuge par rapport à GX' , GY' de la surface Ω concentrée à un foyer.

Les tangentes en H_1 , K_1 , les points H_1 , K_1 sont très simplement obtenus en considérant l'ellipse comme la projection du cercle de rayon a .

$$GX \text{ est incliné sur } GX' \text{ d'un angle } \alpha \text{ tel que : } \operatorname{tg} 2\alpha = \frac{2 I_{X'Y'}}{I_{Y''} - I_{X''}}$$

$$a^2 + b^2 = j_{X'}^2 + j_{Y'}^2 = \overline{GM}^2 \quad a^2 - b^2 = c^2 = \frac{2 I_{X'Y'}}{\Omega \sin 2\alpha}$$

Avec c , on place sur GX le foyer F : à $j_{X'}$ de GX' , on mène la droite MM , (c'est une tangente). On abaisse sur elle la perpendiculaire FF' ; $F'G = a$.

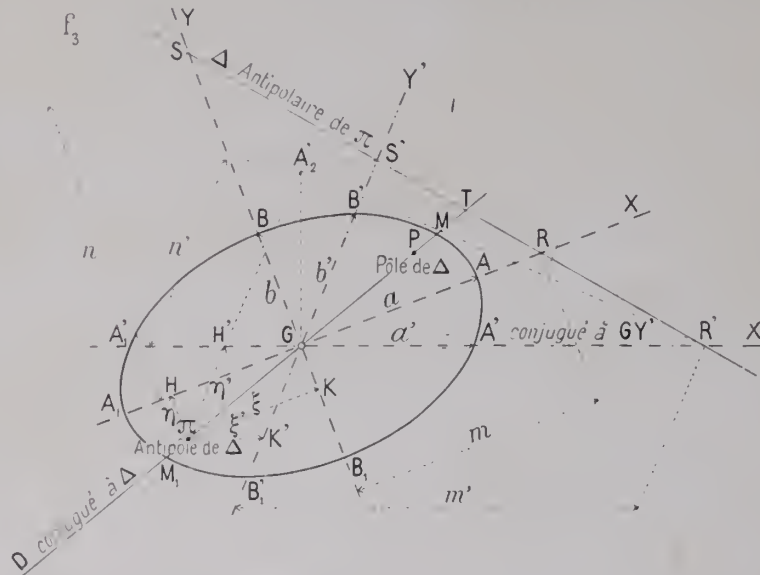
Art. 1. — On a les moments $I_{X''} = \Omega b^2$, $I_{Y''} = \Omega a^2$ par rapport aux axes GX , GY de l'ellipse centrale d'inertie. Calculer les moments $I_{X''}$, $I_{Y''}$, $I_{X'Y'}$ par rapport à deux autres axes rectangulaires GX' , GY' .

Art. 2. — On a les moments $I_{X''} = \Omega j_{X'}^2$, $I_{Y''} = \Omega j_{Y'}^2$, $I_{X'Y'}$ par rapport à deux axes rectangulaires quelconques GX' , GY' . Trouver les directions GX , GY et les longueurs a , b , des axes de l'ellipse centrale.

1. — Désignation acceptée, sans doute à défaut d'une meilleure, par Culmann, Ritter, par MM. Guidi, Koehlin....

§ 2. — LES DEUX AXES SONT DEUX DIAMÈTRES CONJUGUÉS
DE L'ELLIPSE CENTRALE D'INERTIE

Art. 1. — Antipôle π d'une droite Δ , antipolaire Δ d'un point π , par rapport à une ellipse donnée par ses axes a , b ou par deux diamètres conjugués a' , b' (f_3).



Soient une droite Δ et P son pôle. Son antipôle π est le symétrique de P par rapport au centre G .

Δ est polaire de P , antipolaire de π : elle est conjuguée au diamètre D de P et π .

G est entre π et Δ . Si Δ coupe l'ellipse, π est hors de l'ellipse et réciproquement : si Δ passe par G , π est à l'infini sur D .

L'équation de Δ est, rapportée :

$$\text{aux axes principaux } GX, GY : \frac{x\xi}{a^2} + \frac{y\eta}{b^2} = -1$$

$$\text{à 2 diamètres conjugués } GX', GY' : \frac{x'\xi'}{a'^2} + \frac{y'\eta'}{b'^2} = -1$$

Sont « anticonjugués »² les points des groupes (f_3)

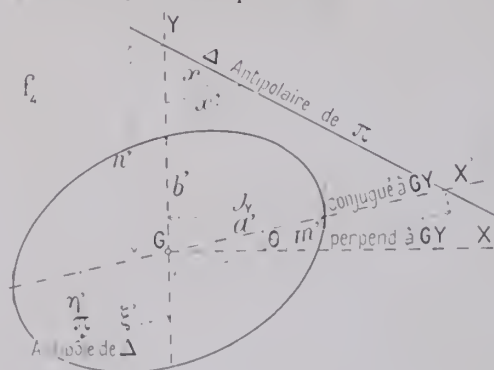
$$H, R, A, A_1 \quad K, S, B, B_1 \quad H', R', A', A'_1 \quad K', S', B', B'_1 \quad \pi, T, M, M_1$$

$$\text{c'est-à-dire que : } m\xi = a^2 \quad n\eta = b^2 \quad m'\xi' = a'^2 \quad n'\eta' = b'^2 \quad GT \times G\pi = \overline{GM}^2$$

Ayant R' (du groupe $H'R', A'A'_1$), on aura ainsi H' : élever une perpendiculaire $GA'_2 = a'$, joindre $R'A'_2$, mener A'_2H' perpendiculaire à $R'A'_2$; ayant H' , on fera de même pour avoir R' .

Art. 2. — Deux expressions du moment d'inertie.

Soient (f_1) GX', GY' 2 diamètres conjugués — Δ une droite quelconque les coupant à m' , n' de $G = \pi$ (ξ', η') l'antipôle de Δ .

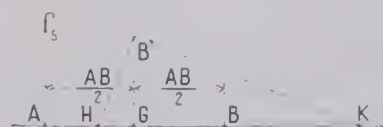


$$I_{Y^2} \left(\begin{array}{l} \text{les } x \text{ comptés} \\ \text{parall. à } GX \end{array} \right) = \sum x^2 d\omega = \Omega j_Y^2 = \Omega a'^2 \cos^2 \theta$$

$$I_{Y^2} \left(\begin{array}{l} \text{les } x \text{ comptés} \\ \text{parall. à } GX' \end{array} \right) = \sum x'^2 d\omega = \frac{1}{\cos^2 \theta} \sum x^2 d\omega = \Omega a'^2 = m'\xi'\Omega$$

$$I_{X^2} \left(\begin{array}{l} \text{les } y \text{ arrêtés} \\ \text{à } GX' \end{array} \right) = \sum y'^2 d\omega = \Omega b'^2 = n'\eta'\Omega$$

Le moment centrifuge est nul.



2. — Soient (f_1) A, B , 2 points : G le milieu de AB ; si H et K sont « anticonjugués » par rapport à A, B

$$GK \times GH = \overline{GB}^2$$

G est entre H et K

Elevons la perpendiculaire $GB' = GB$. Fixons en B' le sommet d'un angle droit : ses côtés coupent AB en 2 points anticonjugués de A et B .

MOMENTS PAR RAPPORT A DES AXES P, Q NE PASSANT PAS PAR LE CENTRE DE GRAVITÉ

§ 1. — 1^{re} EXPRESSION. — EN FONCTION DES MOMENTS PAR RAPPORT
AUX AXES PARALLÈLES P', Q' PASSANT PAR LE CENTRE DE GRAVITÉ
ET DES DISTANCES DE CE CENTRE A P ET Q (l_g)

$$\Sigma p^2 d\omega = I_{P^2} = I_{P'^2} + \Omega p_G^2 = \Omega (j_{P'}^2 + p_G^2)$$

$$\Sigma q^2 d\omega = I_{Q^2} = I_{Q'^2} + \Omega q_G^2 = \Omega (j_{Q'}^2 + q_G^2)$$

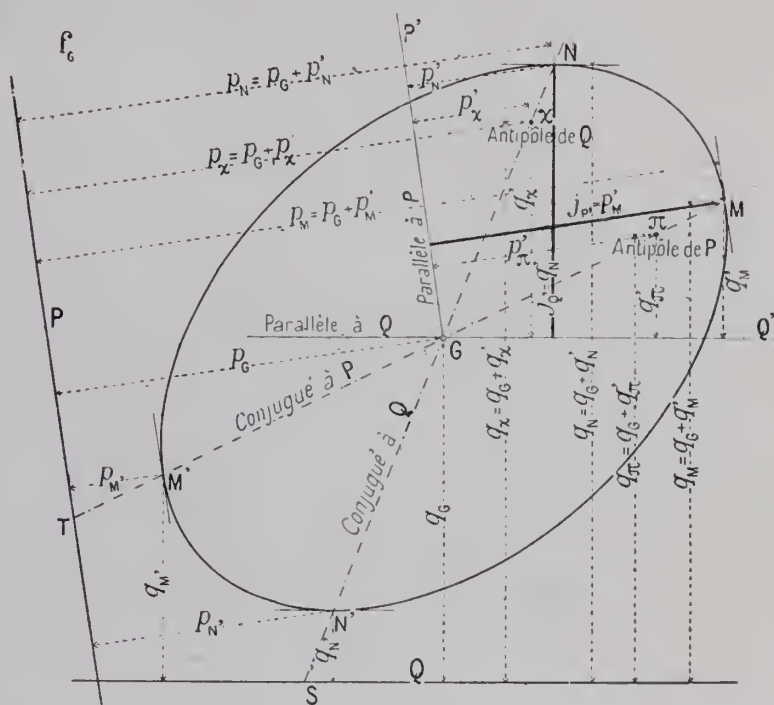
$$\Sigma pq d\omega = I_{PQ} = I_{P'Q'} + \Omega p_G q_G$$

Les moments par rapport à deux axes P, Q sont égaux aux moments par rapport à deux axes parallèles P', Q' menés par le centre de gravité, augmentés des moments par rapport aux axes P, Q de la surface Ω concentrée au centre de gravité.

§ 2. — 2^{me} EXPRESSION
EN FONCTION DES COORDONNÉES
DES EXTRÉMITÉS
DES DIAMÈTRES CONJUGUÉS
AUX AXES DES MOMENTS

$$j_{P'}^2 + p_G^2 = \frac{1}{2} (p_M^2 + p_{M'}^2)$$

$$j_{Q'}^2 + q_G^2 = \frac{1}{2} (q_N^2 + q_{N'}^2)$$



On obtient le moment d'inertie par rapport à un axe en concentrant $\frac{\Omega}{2}$ aux extrémités du diamètre conjugué à cet axe.

$$I_{PQ} = \frac{\Omega}{2} [p_M q_M + p_{M'} q_{M'}] = \frac{\Omega}{2} [p_N q_N + p_{N'} q_{N'}]$$

On obtient le moment centrifuge par rapport à deux axes en concentrant $\frac{\Omega}{2}$ aux extrémités du diamètre conjugué à l'un des axes.

Pour P' et Q', $p_M = p_{M'} = p'_M$, $q_M = q_{M'} = q'_M$

$$I_{P'Q'} = \Omega p'_M q'_M = \Omega p'_N q'_N$$

TITRE II

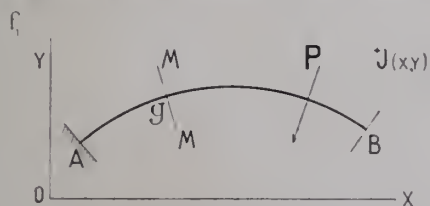
COMMENT, EN PRINCIPE, ON DÉTERMINE LES RÉACTIONS DES APPUIS DUES A UNE FORCE P MÉTHODE, FORMULES

CHAPITRE I

MOUVEMENTS, SOUS L'ACTION D'UNE FORCE $P(f_1)$, D'UN POINT $J(x, y)$ INVARIABLEMENT LIÉ A UNE RETOMBÉE **B**, SUPPOSÉE LIBRE, D'UN ARC ÉLASTIQUE DONT L'AUTRE RETOMBÉE **A** DEMEURE IMMOBILE

§ 1. — PRÉLIMINAIRES

Considérons un arc inarticulé, symétrique par rapport au plan vertical YON (f_1). On suppose que toutes les forces extérieures agissent dans ce plan.¹



AB, sa fibre moyenne, est le lieu des centres de gravité des sections transversales, telles que MgM , faites par des plans normaux au plan YON , et dont les traces MM sur ce plan sont également inclinées sur l'intrados et l'extrados ; c'est, en pratique, la ligne des milieux des joints normaux à l'intrados.¹

Appliquons à l'arc une force P .

Dans la réalité, ses deux retombées A, B resteront immobiles ; mais imaginons que la retombée de gauche A demeure seule fixe sur son appui, et que celle de droite B soit libre.

Sous l'action de P , la partie de l'arc entre l'appui de gauche A et P se déformera ; celle entre P et l'appui de droite ne subira aucune déformation, mais sera entraînée par les mouvements de celle de gauche.

On va étudier les mouvements d'un point $J(x, y)$ invariablement lié à l'extrémité B, c'est-à-dire calculer les variations ωX , ωY de ses coordonnées et déterminer de quel angle $\omega\theta$ il tourne, et autour de quel point.

On calculera successivement : d'abord, les variations dX , dY , $d\theta$, dues à la déformation d'une tranche infiniment mince telle que MM (f_1) ; puis les variations ΔX , ΔY , $\Delta\theta$, pour une tranche d'épaisseur finie dans laquelle sont constants le coefficient d'élasticité E et le moment d'inertie I de la section transversale de l'arc ; enfin, les variations ωX , ωY , $\omega\theta$, pour la déformation de l'ensemble de toutes les tranches de l'arc entre l'appui immobile de gauche A et la force P .

§ 2. — VARIATIONS dX , dY , DUES A LA DÉFORMATION D'UNE TRANCHE INFINIMENT MINCE

ANGLE DE ROTATION $d\theta$ ET CENTRE DE ROTATION

Au point $S(f_2)$, je décompose P en :

N, perpendiculaire à MM , effort normal qui contracte ou dilate la tranche ;

T suivant MM , effort tangentiel, dit effort tranchant, qui produit un glissement transversal à la fibre moyenne : dans les voûtes en maçonnerie, on convient de le négliger.¹

Art. 1. — Effort normal N . Couple de flexion $\mathcal{M}(f_2)$.

1. — Dit, Tome III, p. 351.

Par g , je mène deux forces égales et parallèles à N et de sens contraires, N' , N'' .

MM est soumis :

à l'effort normal $N' = N$, appliqué en g ;

au couple de flexion (ou moment fléchissant) $\mathcal{M} = N \times h = P \times p$

Art. 2. — Effet du couple de flexion \mathcal{M} .

\mathcal{M} fait tourner la face m' de la tranche par rapport à la face m (f_2) d'un angle $d\theta$.

Dans les cours de Résistance des Matériaux, on enseigne que :

$$d\theta = \frac{\mathcal{M} dx}{EI} = \frac{Pp dx}{EI}$$

E , coefficient d'élasticité de l'arc en MM ;

I , moment d'inertie de la section MM par rapport à l'axe transversal $g'g''$ (f_3). Cette section est (en négligeant le fruit transversal, s'il y en a un) un rectangle de largeur c , de hauteur $e = MM$ (épaisseur de l'arc en M)

$$I = \frac{1}{12} c e^3$$

Sous l'action de \mathcal{M} , J , invariablement lié à l'extrémité de droite de l'arc supposée libre, tourne de $d\theta$ autour de g et vient en J' .

Arc $J J' = g J d\theta$ D'où : ²

$$d_{\mathcal{M}} X = -Y d\theta \quad d_{\mathcal{M}} Y = (X - x) d\theta$$

N' produit suivant OX une compression ou un allongement :

$$\frac{N dx}{E \Omega} = \frac{Pp dx}{h E \Omega}$$

J , déjà venu en J' sous l'action du couple Pp , vient sous l'action de N' en J'' (f_3). $J' J''$ est parallèle à OX et égal à l'allongement ou au raccourcissement de la tranche :

$$d_N X = J' J'' = \frac{Pp dx}{h E \Omega}$$

Art. 4. — Effet résultant.

$$dX = d_{\mathcal{M}} X + d_N X = \frac{Pp dx}{EI} \left(-Y + \frac{I}{h \Omega} \right) = -\frac{Pp dx}{EI} \left(Y - \frac{e^2}{12 h} \right)$$

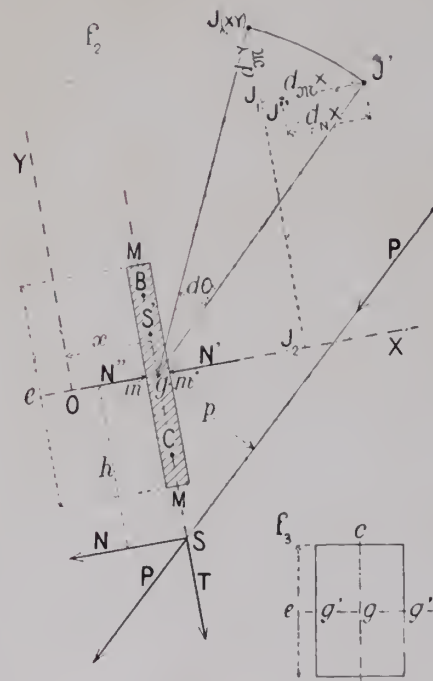
$$dY = d_{\mathcal{M}} Y = \frac{Pp dx}{EI} (X - x)$$

J peut donc venir directement en J'' en tournant de $d\theta = \frac{Pp dx}{EI}$ autour de S' $\left(x, \frac{e^2}{12 h} \right)$ point de la section M « anticonjugué » de S par rapport à deux points B , C , tels que $gB = gC = \frac{e}{\sqrt{12}}$

2. — Les deux triangles rectangles $J J' J''$, $g J J_2$ (f_2) sont semblables ; on a (au signe près) :

$$\frac{d_{\mathcal{M}} X}{Y} = \frac{d_{\mathcal{M}} Y}{X - x} = \frac{J J' = g J d\theta}{g J} = d\theta$$

Les $d\theta$, comme les Pp , sont ~ 0 dans le sens OX vers OY .



§ 3. — VARIATIONS ΔX , ΔY DUES A LA DÉFORMATION

D'UNE TRANCHE RECTANGULAIRE EN ÉLÉVATION

 DE LONGUEUR FINIE L ,

 DANS LAQUELLE e ET 1 PEUVENT ÊTRE SUPPOSÉS CONSTANTS

Pour la tranche entière on a (f_1) :

$$\Delta X = \int_{-\frac{L}{2}}^{+\frac{L}{2}} dX = -\frac{P}{EI} \left(Y \int_{-\frac{L}{2}}^{+\frac{L}{2}} p dx - \frac{e^2}{12} \int_{-\frac{L}{2}}^{+\frac{L}{2}} \frac{p}{h} dx \right)$$

$$\Delta Y = \int_{-\frac{L}{2}}^{+\frac{L}{2}} dY = \frac{P}{EI} \left(X \int_{-\frac{L}{2}}^{+\frac{L}{2}} p dx - \int_{-\frac{L}{2}}^{+\frac{L}{2}} p x dx \right)$$

$$\text{Or : } \frac{p}{h} = \frac{p_G}{h_G} \quad \frac{p}{p_G} = \frac{k_G - x}{k_G}$$

$$\text{d'où : } \int_{-\frac{L}{2}}^{+\frac{L}{2}} \frac{p}{h} dx = \frac{p_G}{h_G} L \quad \int_{-\frac{L}{2}}^{+\frac{L}{2}} p dx = p_G L \quad \int_{-\frac{L}{2}}^{+\frac{L}{2}} p x dx = \frac{p_G}{k_G} \frac{L^3}{12}$$

$$\Delta X = -\frac{P p_G L}{EI} \left(Y - \frac{e^2}{12 h_G} \right)$$

$$\Delta Y = \frac{P p_G L}{EI} \left(X + \frac{L^2}{12 k_G} \right)$$

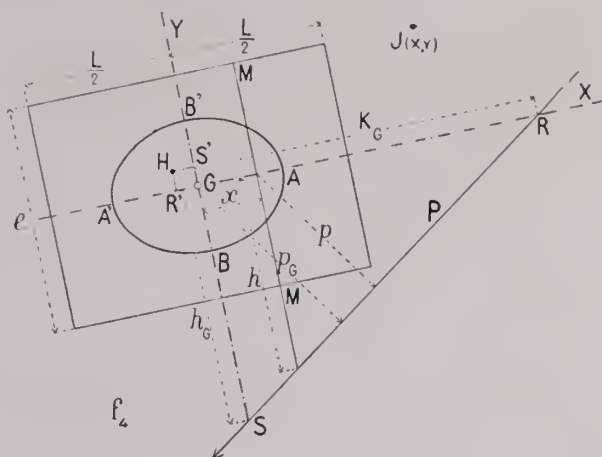
Les axes de l'ellipse centrale de la tranche sont : $a = \frac{L}{\sqrt{12}}$ $b = \frac{e}{\sqrt{12}}$

Soit H le point de coordonnées : $GR' = \frac{a^2}{k_G}$ $GS' = \frac{b^2}{h_G}$

R' et S' sont les anticonjugués des traces R et S de P par rapport aux sommets de l'ellipse AA' , BB' .

H est donc l'antipôle de la force P .

Ainsi P fait tourner de $\frac{P p_G L}{EI}$ autour de son antipôle la section extrême de droite de la tranche.



§ 4. — VARIATIONS ϖX , ϖY DUES A LA DÉFORMATION
D'UNE SUITE DE TRANCHES RECTANGULAIRES EN ÉLÉVATION
DANS CHACUNE DESQUELLES **E** ET **I**
PEUVENT ÊTRE SUPPOSÉS CONSTANTS

Art. 1. — Pour un point quelconque invariablement lié à l'appui libre. Ellipse élastique. Centre élastique.

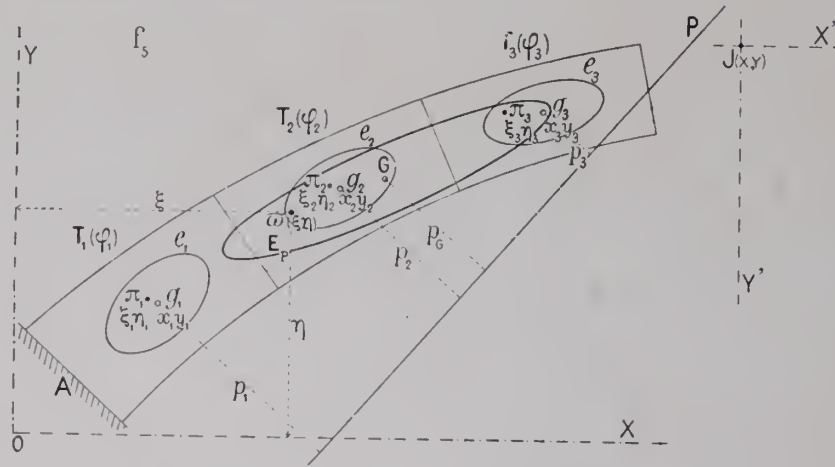
Par la déformation de toutes les tranches à gauche de P, un point J invariablement lié à l'extrémité de droite B aura tourné de :

$$\varpi\theta = \Sigma\vartheta = P \left(\frac{p_1 L_1}{E_1 I_1} + \frac{p_2 L_2}{E_2 I_2} + \dots \dots \right)$$

Posons :

$$\varphi_1 = \frac{L_1}{E_1 I_1}, \quad \varphi_2 = \frac{L_2}{E_2 I_2}, \quad \dots$$

quantités dites par Ritter : poids élastiques.³



Traçons (f_5) les ellipses centrales d'inertie e_1, e_2, \dots des rectangles T_1, T_2, \dots

Soient $\xi_1, \eta_1, \xi_2, \eta_2, \dots$ les coordonnées des antipôles π_1, π_2, \dots de P par rapport à ces ellipses.

$$\left\{ \begin{aligned} \varpi\theta &= P (p_1 \varphi_1 + p_2 \varphi_2 + \dots) = P p_{11} \sum \varphi \\ \varpi X &= \Sigma \Delta X = -P [p_1 \varphi_1 (Y - \eta_1) + p_2 \varphi_2 (Y - \eta_2) + \dots] \\ &= -PY (p_1 \varphi_1 + p_2 \varphi_2 + \dots) + P (p_1 \eta_1 \varphi_1 + p_2 \eta_2 \varphi_2 + \dots) \\ \varpi Y &= \Sigma \Delta Y = P [p_1 \varphi_1 (X - \xi_1) + p_2 \varphi_2 (X - \xi_2) + \dots] \\ &= PX (p_1 \varphi_1 + p_2 \varphi_2 + \dots) - P (p_1 \xi_1 \varphi_1 + p_2 \xi_2 \varphi_2 + \dots) \end{aligned} \right.$$

Le produit $p_1 \eta_1 \varphi_1$ est le moment centrifuge⁴ par rapport à P et à OX de la masse φ_1 uniformément étalée sur le rectangle T_1 : $p_1 \xi_1 \varphi_1$ est son moment centrifuge par rapport à P et à OY.

Traçons l'ellipse centrale d'inertie E_p du système de masses $\varphi_1, \varphi_2, \dots$ étalées sur les tranches rectangulaires T_1, T_2, \dots entre l'appui A et P.

Soit $\pi(\xi, \eta)$ l'antipôle par rapport à E_p de la force P.

$$\sum_A^P p_1 \eta_1 \varphi_1 = p_{11} \sum_A^P \varphi \quad \quad \sum_A^P p_1 \xi_1 \varphi_1 = p_{11} \sum_A^P \varphi$$

Donc :

$$\frac{\varpi\theta}{P} \left(\begin{array}{c} \text{rotation} \\ \text{pour une} \\ \text{force 1} \end{array} \right) = p_{11} \sum_A^P \varphi \text{ moment statique des } \varphi \text{ par rapport à P.}$$

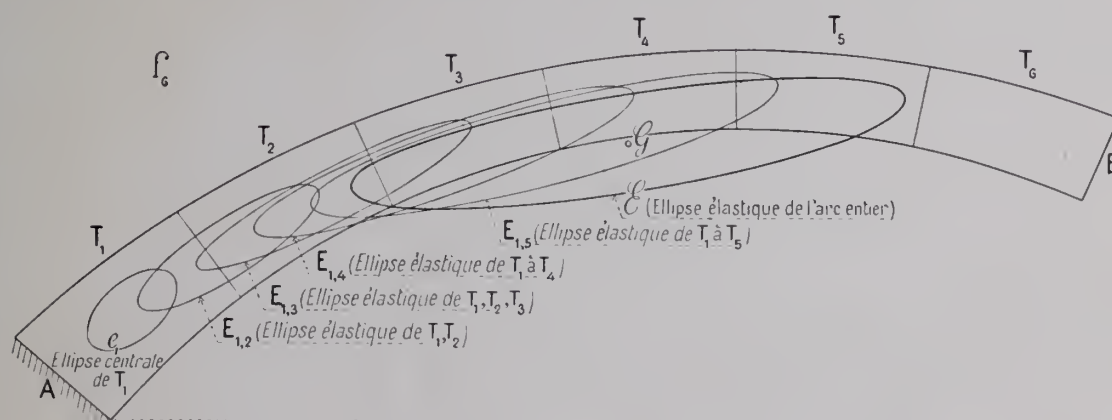
3. — Ritter. « Anwendungen der graphischen Statik » Zurich 1888 (Applications de la statique graphique I^{re} Partie, p. 155).

4. — Théorème de Culmann p. 122.

Déplacement de J (X,Y) sous une force P	suivant JY'	$\frac{\omega Y}{P} = (X - \xi) p_G \sum_A^P \gamma = (X - \xi) \text{distance de } \pi \text{ (antipôle, centre de rotation) à la direction JY' du déplacement} \times p_G \sum_A^P \gamma$, moment statique des γ par rapport à P, lequel est la rotation autour de π .
		$= \sum_A^P \gamma \text{ (somme des poids élastiques)} \times p_G \text{ (distance à P du centre de gravité des } \gamma) \times (X - \xi) \text{ distance à la direction JY' de l'antipôle } \pi$.
		$= \text{Moment centrifuge des } \gamma \text{ par rapport à P et JY'}$
	suivant JX'	$\frac{\omega X}{P} = -(Y - \eta) p_G \sum_A^P \gamma = -(Y - \eta) \text{distance de } \pi \text{ (antipôle, centre de rotation) à la direction JX' du déplacement} \times p_G \sum_A^P \gamma$ moment statique des γ par rapport à P, lequel est la rotation autour de π .
		$= \sum_A^P \gamma \text{ (somme des poids élastiques)} \times p_G \text{ (distance à P du centre de gravité des } \gamma) \times (Y - \eta) \text{ distance à la direction JX' de l'antipôle } \pi$.
		$= \text{Moment centrifuge des } \gamma \text{ par rapport à P et JX'}$.

Ainsi une force P produit sur l'extrémité libre B et sur tout point J qui lui est invariablement lié, une rotation $P p_G \sum_A^P \gamma$ autour de son antipôle par rapport à l'ellipse centrale des poids élastiques $\gamma_1, \gamma_2, \dots$ entre l'appui fixe et P (E_p de f_0). Appelons-la l'ellipse « élastique »⁵ de cette partie d'arc.

L'ellipse centrale $\mathcal{E}(f_0)$ de toutes les masses γ jusqu'à l'appui de droite est l'ellipse « élastique »⁵ de l'arc: son centre \mathcal{G} est le centre élastique; c'est le centre de gravité des masses γ concentrées aux centres des ellipses des tranches.



5. — Culmann a, le premier, indiqué cette ellipse*: il l'appelait « ellipse centrale des $\frac{ds}{EI}$ ». Son successeur à l'Ecole de Zurich, W. Ritter en a fort développé l'application**, sous le nom d'ellipse d'élasticité. Comme on désigne ainsi une autre ellipse, on peut appeler celle-ci « ellipse élastique ».

On arrive vite à la notion de cette ellipse, mais à l'aide de théorèmes qui ne sont pas couramment enseignés dans nos cours. Sur ce sujet, on lira très utilement: de Ritter, un appendice à la 3^e Partie de ses « Applications de la Statique graphique »***; de M. le Professeur Guidi: « L'Ellisse di Elasticità nella scienza delle costruzioni » Turin 1904.

J'ai suivi une méthode moins élégante, qui ne suppose que des connaissances élémentaires usuelles.

* Culmann « Die graphische Statik » — p. 122 renvoi 3 — Traduction française p. 530.

** Ritter « Anwendungen der graphischen Statik nach Professor Culmann. (2^{me} Partie p. 117, 169 Zurich, 1890 — 3^e Partie p. 259 Zurich, 1900 — 4^e Partie p. 197 Zurich, 1906).

Les rotations $Pp_{1\varphi_1}, Pp_{2\varphi_2}, \dots$ s'effectuent autour de l'antipôle de P par rapport aux ellipses des tranches $T_1, T_2, \dots (f_s)$. Elles se composent comme des forces parallèles⁶ en une rotation résultante autour de π antipôle de P par rapport à l'ellipse élastique de l'ensemble des tranches à gauche de P, antipôle qui est ainsi le centre de gravité des rotations $Pp_{1\varphi_1}, Pp_{2\varphi_2}, \dots$ appliquées aux antipôles de P par rapport aux ellipses de chaque tranche.

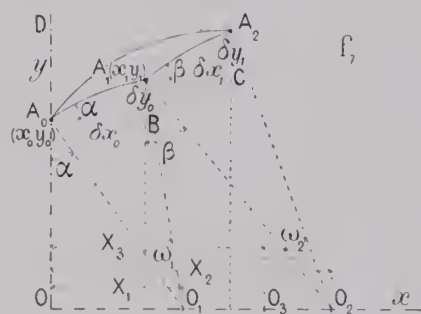
Art. 2. — Pour le centre élastique de l'arc.

Considérons le centre élastique \mathcal{G} , de l'arc entier comme invariablement lié à l'appui libre B (f_s) ; prenons-le comme origine des coordonnées et calculons ses déplacements.

Les formules de l'art. 1, avec $X = 0 \quad Y = 0$, deviennent :

$$\frac{\omega\theta}{P} \left(\begin{array}{l} \text{rotation} \\ \text{sous une} \\ \text{force 1} \end{array} \right) = p_G \sum_A^P \varphi \text{ moment statique des } \varphi \text{ par rapport à P.}$$

Déplacements du centre élastique sous une force 1	Suivant	$\frac{\omega Y}{\mathcal{G}Y}$	$\frac{\omega Y}{P} = -\xi p_G \sum_A^P \varphi$	{	= Moment statique des φ par rapport à P \times distance à $\mathcal{G}Y$, direction du déplacement, de l'antipôle π de P par rapport à l'ellipse E_p .
					= Moment centrifuge des φ par rapport à P et à $\mathcal{G}Y$.
	Suivant	$\frac{\omega X}{\mathcal{G}X}$	$\frac{\omega X}{P} = \eta p_G \sum_A^P \varphi$	{	= Moment statique des φ par rapport à P \times distance à $\mathcal{G}X$ de l'antipôle π de P
					= Moment centrifuge des φ par rapport à P et à $\mathcal{G}X$.



6. — Soit (f_s) un point A_0 soumis successivement aux 2 rotations :

ω_1 autour de O_1 — qui l'amène en $A_1 \quad A_0 A_1 = O_1 A_0 \times \omega_1$
 ω_2 autour de O_2 — qui l'amène en $A_2 \quad A_1 A_2 = O_2 A_1 \times \omega_2$

Prenons, pour axe des x , $O_1 O_2$, pour axe des y , la perpendiculaire à $O_1 O_2$ passant par A_0

$$\begin{aligned} \delta x_0 &= A_0 A_1 \cos \alpha = O_1 A_0 \cos \alpha \times \omega_1 = y_0 \omega_1 \\ \delta y_0 &= A_0 A_1 \sin \alpha = O_1 A_0 \sin \alpha \times \omega_1 = X_1 \omega_1 \end{aligned}$$

$$\begin{aligned} \delta x_1 &= A_1 A_2 \cos \beta = O_2 A_1 \cos \beta \times \omega_2 = y_1 \omega_2 = (y_0 + \delta y_0) \omega_2 = y_0 \omega_2 \quad \text{en négligeant } \omega_2 \delta y_0, \omega_2 \delta x_0 \\ \delta y_1 &= A_1 A_2 \sin \beta = O_2 A_1 \sin \beta \times \omega_2 = (X_2 - \delta x_0) \omega_2 = X_2 \omega_2 \end{aligned}$$

$$\Delta x_0 = \delta x_0 + \delta x_1 = y_0 (\omega_1 + \omega_2)$$

$$\Delta y_0 = \delta y_0 + \delta y_1 = X_1 \omega_1 + X_2 \omega_2$$

Appliquons aux points O_1, O_2 des poids ω_1, ω_2 . Soit O_3 leur centre de gravité. On a, (moment par rapport à O) :

$$X_3 (\omega_1 + \omega_2) = X_1 \omega_1 + X_2 \omega_2$$

Faisons tourner A_0 de $\omega_1 + \omega_2$ autour de O_3 — Les coordonnées du déplacement sont :

$$\Delta' x_0 = y_0 (\omega_1 + \omega_2) = \Delta x_0$$

$$\Delta' y_0 = X_1 (\omega_1 + \omega_2) = X_1 \omega_1 + X_2 \omega_2 = \Delta y_0$$

Par cette rotation, A_0 vient directement en A_2 .

CHAPITRE II

COMMENT, DES DÉPLACEMENTS VIRTUELS ∂X , ∂Y , $\partial \theta$
 DU CENTRE ÉLASTIQUE DUS A UNE FORCE P ,
 ON DÉDUIT LA RÉACTION DE L'APPUI R^B QUI LES ANNULE

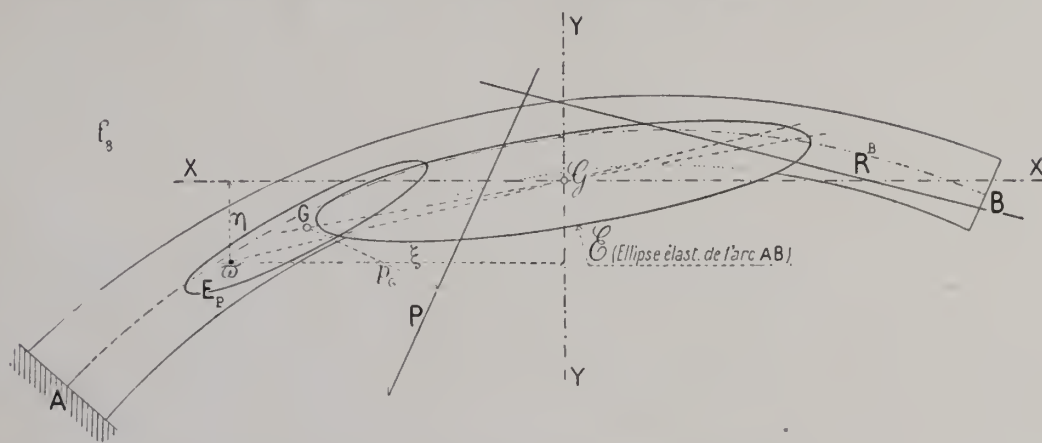
§ 1. — CAS D'UNE FORCE QUELCONQUE P . LA RÉACTION R^B
 EST, PAR RAPPORT A L'ELIPSE « ÉLASTIQUE » DE TOUT L'ARC \mathcal{G} ,
 L'ANTIPOLAIRE DE π , ANTIPÔLE DE LA FORCE P PAR RAPPORT
 A L'ELIPSE « ÉLASTIQUE » E_p DE LA PARTIE D'ARC A GAUCHE DE P (f_s)

Supposons tracées :
 1° l'ellipse élastique
 E_p de la partie d'arc à
 gauche de P .

2° l'ellipse élastique
 \mathcal{G} de tout l'arc.

Soit π l'antipôle de
 P par rapport à E_p .

P fait tourner de
 $Pp_0\phi$ autour de π , tout
 point invariablement lié
 à l'appui libre B .



La réaction cherchée R^B qui, elle, agit sur tout l'arc, doit produire une rotation égale et de sens contraire autour du même point π ; π est donc son antipôle à elle par rapport à l'ellipse élastique \mathcal{G} de l'arc entier AB .

Par rapport à l'ellipse totale \mathcal{G} , R^B est donc l'antipolaire de π , antipôle de P par rapport à l'ellipse partielle E_p .

§ 2. — EN PRATIQUE, ON N'A A CONSIDÉRER QU'UNE FORCE VERTICALE V
 OU UNE HORIZONTALE H

Les forces qui agissent sur un arc sont toujours supposées dans son plan de symétrie;⁷ elles sont presque toutes verticales : poids mort, surcharges roulantes ; quelques-unes sont, soit horizontales : ^{8, 9} dilatation, freinage,¹⁰ soit obliques : poussée d'une voûte transversale d'élégissement; celles-ci, on les décomposera en verticales et horizontales.

Je ne traiterai avec détail que le cas d'une force verticale.

7. — p. 123.

8. — Le vent est une force horizontale : mais elle n'est pas dans le plan de symétrie.

9. — La force centrifuge $\frac{PV^2}{9,81 R}$ dans les ouvrages en courbe de rayon R , est normale aux rails : son effet est maximum quand la machine (maximum de P) est au milieu de la portée. On ne tient compte ni du vent, ni de la force centrifuge dans le calcul proprement dit de l'arc : mais on se rend compte de la quantité dont ils dévient les résultantes sur les sections d'appui, et dont ils augmentent les efforts.

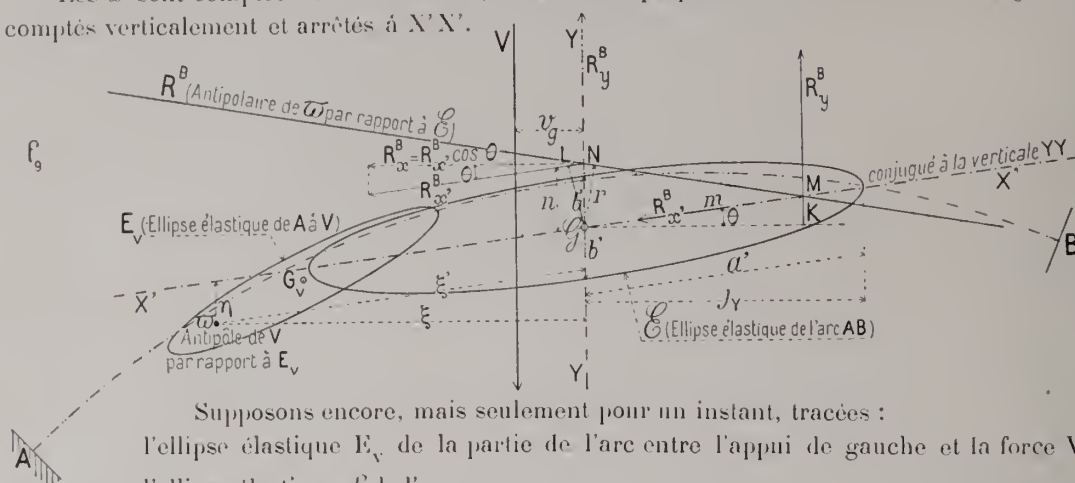
10. — On peut admettre que le frottement des roues sur les rails est le $\frac{1}{6}$ du poids freiné.

§ 3. — CAS D'UNE FORCE VERTICALE V

Art. 1. — Déplacements $\omega_v \theta$, $\omega_v X$, $\omega_v Y$ du centre élastique \mathcal{E} sous l'action de V .

Prenons (f_v) pour origine des coordonnées le centre élastique \mathcal{E} , pour axes la verticale YY de \mathcal{E} et la direction $X'X'$ conjuguée à la verticale par rapport à l'ellipse élastique de l'arc.

Les x sont comptés horizontalement, c'est-à-dire perpendiculairement à YY ; les y sont comptés verticalement et arrêtés à $X'X'$.



Supposons encore, mais seulement pour un instant, tracées :

l'ellipse élastique E_v de la partie de l'arc entre l'appui de gauche et la force V ,
l'ellipse élastique \mathcal{E} de l'arc.

Soit $\pi(\xi, \eta)$ l'antipôle de V par rapport à E_v .

Les déplacements du centre élastique \mathcal{E} sous l'action d'une force 1 sont (p. 128) :

$$\left. \begin{aligned} \frac{\omega_v \theta}{V} &= V_g \sum_A^v \varphi = \mathcal{J}_A^v \mathcal{R}_v & \text{Moment statique par rapport à } V \\ \frac{\omega_v Y}{V} &= -V_g \xi \sum_A^v \varphi = \mathcal{I}_{vY}^v & \text{Moment centrifuge par rapport à } V \text{ et } Y \\ \frac{\omega_v X'}{V} &= V_g \eta \sum_A^v \varphi = \mathcal{I}_{vX'}^v & \text{Moment centrifuge par rapport à } V \text{ et } X' \end{aligned} \right\} \begin{array}{l} \text{des poids} \\ \text{élastiques de la} \\ \text{partie de l'arc} \\ \text{à gauche de } V \end{array}$$

Art. 2. — Déplacements $\omega_R \theta$, $\omega_R X$, $\omega_R Y$ du centre élastique \mathcal{E} sous l'action de R^B .

Aux points de rencontre de R^B avec les axes YY , $X'X'$, je décompose R^B en une composante verticale R_y^B et une composante $R_{x'}^B$, parallèle à $X'X'$: la projection horizontale de $R_{x'}^B$ est $R_{x'}^B = R_{x'}^B \cos \theta$.

Le moment de R^B par rapport à \mathcal{E} peut s'écrire :

$$R_y^B \times \mathcal{E}K = R_y^B m \cos \theta$$

$$R_{x'}^B \times \mathcal{E}L = R_{x'}^B n \cos \theta = n (R_{x'}^B \cos \theta) = R_{x'}^B n$$

L'ellipse \mathcal{E} est rapportée à 2 axes conjugués a' , b' . R^B est, par rapport à elle, antipolaire de $\pi(\xi, \eta)$

$$m \xi' = a'^2 \text{ ou } (m \cos \theta) (\xi' \cos \theta) = a'^2 \cos^2 \theta \text{ ou } m \cos \theta \xi = j_Y^2 \text{ (rayon de giration)}$$

$$n \eta = b'^2.$$

Les déplacements de \mathcal{E} sous l'action de R^B sont, (p. 128) :

$$\left. \begin{aligned} \omega_R \theta &= R^B r \sum_A^B \varphi \\ \omega_R X &= R^B r \eta \sum_A^B \varphi = R_{x'}^B n \sum_A^B \varphi = R_{x'}^B b'^2 \sum_A^B \varphi = R_{x'}^B \sum_A^B \varphi y'^2 = R_{x'}^B \mathcal{I}_{AX'}^B \\ \omega_R Y &= R^B r \xi \sum_A^B \varphi = R_y^B m \cos \theta \sum_A^B \varphi = R_y^B j_Y^2 \sum_A^B \varphi = R_y^B \sum_A^B \varphi X^2 = R_y^B \mathcal{I}_{AY}^B \end{aligned} \right\} \begin{array}{l} \text{Moment d'inertie} \\ \text{par rapport à } X' \\ \text{Moment d'inertie} \\ \text{par rapport à } Y \end{array} \begin{array}{l} \text{des poids} \\ \text{élastiques} \\ \text{de l'arc entier} \end{array}$$

Déplacements verticaux $R_{y,AY}^B = -V \frac{I_{AY}^V}{I_{AY}^2} \quad (1)$

$$R_y^B = V \frac{\frac{I_{AY}^V}{I_{AY}^2}}{\frac{I_{AY}^V}{I_{AY}^2}}$$

Déplacements horizontaux $R_{x,AX}^B = V \frac{I_{AX}^V}{I_{AX}^2} \quad (2)$

$$R_x^B = V \frac{\frac{I_{AX}^V}{I_{AX}^2}}{\frac{I_{AX}^V}{I_{AX}^2}}$$

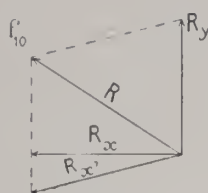
Rotations $R^B r \sum_A^B \varphi = V \mathcal{M}_V^B \quad (3)$

Avec R_y^B et R_x^B , on a R^B et sa direction (f_{10}), puis avec (3), r sa distance à \mathcal{G} (f_9)

Comme $R^B r = R_y^B m \cos \theta = R_x^B n$, on a aussi m et n :

$$m \cos \theta = \frac{R_y^B r}{R_y^B} = \frac{\mathcal{M}_V^B}{\sum_A^B \varphi} \cdot \frac{\frac{I_{AY}^B}{I_{AY}^2}}{\frac{I_{AY}^V}{I_{AY}^2}}$$

$$n = \frac{\mathcal{M}_V^B}{\sum_A^B \varphi} \cdot \frac{\frac{I_{AX}^B}{I_{AX}^2}}{\frac{I_{AX}^V}{I_{AX}^2}}$$



Art. 3. — En égalant ces déplacements, on a R^B

On indiquera plus loin comment on construit graphiquement tous ces moments.

Dans les rapports qui donnent la direction de R^B , dans m et n ses coordonnées à l'origine, l'intensité de la force V ne figure pas : la direction et la position de la réaction ne dépendent que de la position de V : on fera toutes les constructions avec la force 1.

L'intensité de R , R_y , R_x , $R_{x'}$, est proportionnelle à celle de V .

§ 4. — LA RÉACTION R^B PASSE PAR LE CENTRE ÉLASTIQUE \mathcal{G} (f_{11})

Alors son antipôle est à l'infini, sur la droite D conjuguée à R^B .

L'appui B tourne autour de ce point, c'est-à-dire se déplace normalement à D de BB' .

Ce déplacement BB' projeté sur une direction BZ est le moment centrifuge des φ par rapport à R^B et à BZ , lequel peut s'écrire :

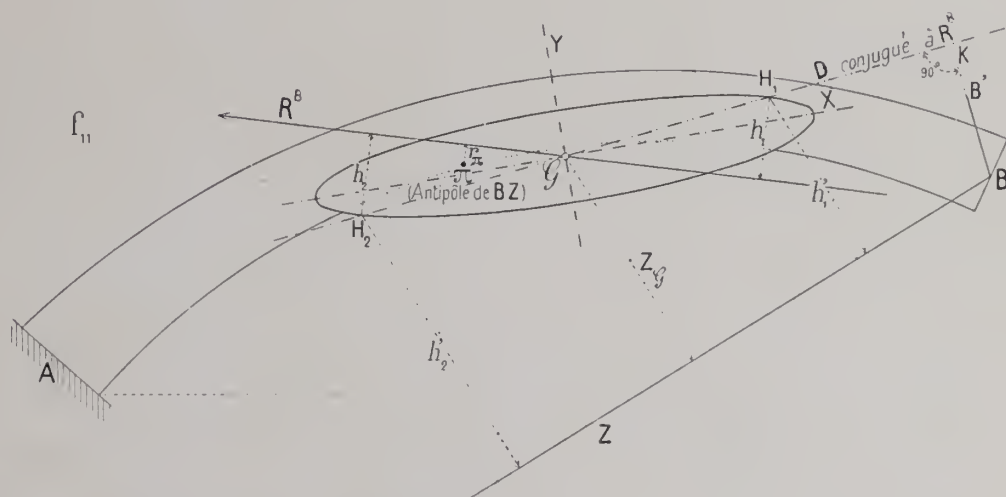
$$\text{soit}^{11} R^B z_{\mathcal{G}} r_{\pi}^B \Phi_A$$

$$\text{soit}^{12} \frac{R^B}{2} \Phi_A (h_1 h_1' + h_2 h_2')$$

Réciproquement, si B subit une translation BB' , l'antipôle de R^B est à l'infini sur un diamètre D perpendiculaire à BB' ; R^B passe par le centre élastique et est conjuguée à ce diamètre.

Si R^B coïncide avec un axe de l'ellipse élastique, par exemple $\mathcal{G}X$, B se déplace normalement au conjugué de $\mathcal{G}X$ qui est l'autre axe $\mathcal{G}Y$, c'est-à-dire parallèlement à $\mathcal{G}X$.

Réciproquement, si l'appui B se déplace parallèlement à un axe de l'ellipse élastique, R^B agit suivant cet axe. Un changement de température déplace horizontalement l'appui d'un arc symétrique ; la réaction correspondante passe par le centre élastique et est horizontale.



11. — Théorème de Culmann p. 122.

12. — p. 121.

TITRE III

ARC DISSYMMÉTRIQUE

COMMENT, EN PRATIQUE, ON CONSTRUIT LES RÉACTIONS DES APPUIS

CHAPITRE I

MOMENTS STATIQUES, MOMENTS D'INERTIE, MOMENTS CENTRIFUGES DES POIDS ÉLASTIQUES FUNICULAIRES 1 A 5 (Pl. I)

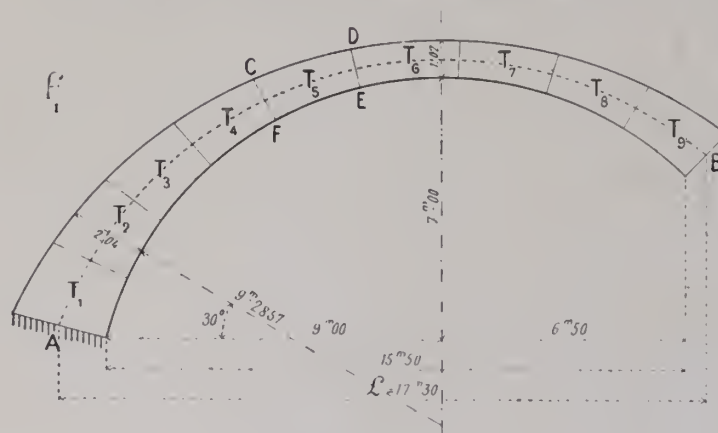
§. 1. — CENTRE ÉLASTIQUE

DIAMÈTRE DE L'ELLIPSE ÉLASTIQUE DE L'ARC CONJUGUÉ A LA VERTICALE

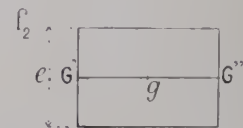
Art. 1. — Division
de l'arc en tranches
 $T_1, T_2, \dots (f_1)$.

On divise l'arc AB en tranches assez minces pour que l'on puisse supposer rectangulaire

leur face (par exemple CDEF),
et, constant, le moment d'inertie I de leur section transversale, supposée elle aussi rectangulaire (f_2).



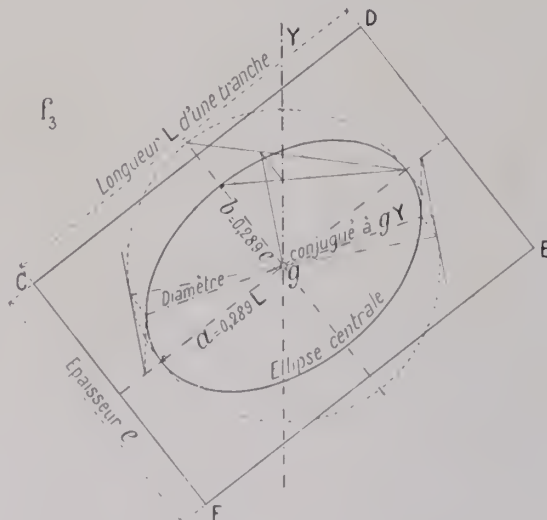
$$I = \frac{1}{12} e^3 \times G'G''$$



L'épure (Pl. I) est faite pour
un arc dont les dimensions
sont indiquées par f_1 .

Art. 2. — Ellipse
centrale d'inertie
d'une tranche (f_3).

A. — Ares.

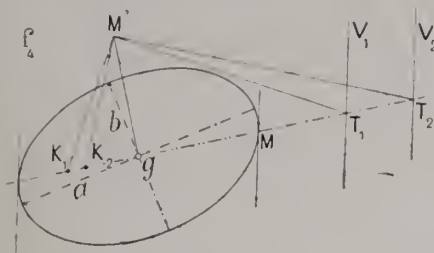


$$a = \frac{L}{\sqrt{12}} = 0.289 L$$

$$b = \frac{e}{\sqrt{12}} = 0.289 e$$

Dans la pratique on ne trace pas l'ellipse.

On considère l'ellipse a, b , comme la projection du cercle de rayon a : on trace les tangentes au cercle a dont les projections sont verticales ; on détermine les points de tangence, on les joint.



Ce diamètre est le lieu des antipôles des verticales par rapport à l'ellipse (f_3)

$$\overline{gM}^2 = \overline{gM'}^2 = gT_1 \times gK_1 = gT_2 \times gK_2 = \dots$$

$$\varphi = \frac{L \text{ (Longueur de la fibre moyenne)}}{E \text{ (Coefficient d'élasticité)} \times I \text{ (Moment d'inertie de la section transversale)}}$$

On ne connaît pas E pour tous les points de l'arc ; on le supposera constant et égal à 1.¹ Au demeurant, dans les formules des réactions, il est au numérateur et au dénominateur.

$$\text{On prendra donc } \varphi = \frac{L}{I}$$

TABLEAU I. — Arc de la Pl. I. — Largeur $G'G''$ (f_2) = 1^m. — Ares des ellipses centrales des tranches. Leurs poids élastiques.

Nos des tran- ches	Longueur de la tranche 1.	Épaisseur de la voûte au droit des cen- tres de gravité g e	Demi-axes de l'ellipse centrale de la tranche		Moment d'inertie de la section transversale de l'arc $I = \frac{1}{12} e^3$	Poids élas- tique de la tranche $\varphi = \frac{L}{I}$
			$a = 0.289 L$	$b = 0.289 e$		
1	2	3	4	5	6	7
1	1 ^m 82	2 ^m 42	0 ^m 526	0 ^m 699	1.181041	1.541
2	2.01	2.06	0.580	0.595	0.728485	2.759
3	2.19	1.70	0.633	0.491	0.409417	5.349
4	2.37	1.39	0.685	0.402	0.223802	10.589
5	2.55	1.16	0.737	0.335	0.130075	19.604
6	2.75	1.03	0.795	0.298	0.091061	30.199
7	2.54	1.05	0.734	0.303	0.096469	26.329
8	2.39	1.19	0.691	0.343	0.140430	17.019
9	2.34	1.44	0.676	0.416	0.248832	9.403
$\sum_{i=1}^9 \varphi =$						122.792

L'épure (Pl. I) a été faite à l'échelle de 0^m05 pour 1^m puis réduite à celle de 0^m01 pour 1^m.

Suspendons verticalement les φ aux centres g_1, g_2, \dots : traçons pour ces φ le polygone des forces de pôle O' avec une distance polaire p' : (on a pris $p' = \mathcal{L} = 17^m30$ (f_1) = $\sum \varphi$: c'est-à-dire que $\varphi = 1$ est représenté par $\frac{17^m30}{122.792} = 0^m14089$), puis le funiculaire **1** (Pl. I).

Les côtés extrêmes de **1** se coupent sur la verticale de g_1 .

Prolongeons les côtés de **1**. Ils interceptent sur toute verticale des longueurs qui sont, divisés par p' , les moments statiques des φ par rapport à cette verticale.

1. — Pour E dans les voûtes, voir III, p. 372 à 374, 380 à 382.

B. — Diamètre conjugué à la verticale. (f_3).

Art. 3. — Poids élastique φ d'une tranche.

Art. 4. — Centre élastique ξ de l'arc (Centre de gravité des poids élastiques φ appliqués aux centres de gravité des tranches g_1, g_2, \dots)

A. — Verticale de ξ . Funiculaire **1**.

Par exemple, si elle est YY :

$$\gamma_1 = \frac{\gamma_1 x_1}{p'} \quad \gamma_2 = \frac{\gamma_2 x_2}{p'} \quad \dots \dots$$

Si c'est V₇,

$$\gamma_1^{V_7} = \frac{\gamma_1 \omega^{ce}(g_1 V_7)}{p'} \quad \gamma_2^{V_7} = \frac{\gamma_2 \omega^{ce}(g_2 V_7)}{p'}$$

La somme $\gamma_1^{V_7} + \gamma_2^{V_7} + \dots = \bar{\gamma}^{V_7}$ est, divisée par p' , la somme des moments statiques par rapport à V₇ des γ de A à V₇.

B. — Horizontale de \mathcal{Q} .

Attachons horizontalement les γ aux centres g_1, g_2, \dots . Traçons pour ces γ le funiculaire auxiliaire 2α à côtés perpendiculaires aux rayons de O'.

Ses côtés extrêmes se coupent en G' sur l'horizontale de \mathcal{Q} .

C. — Vérification par le calcul de la position de \mathcal{Q} .

Afin d'éviter les erreurs — surtout les erreurs d'échelle — il convient de vérifier par le calcul la position de \mathcal{Q} .

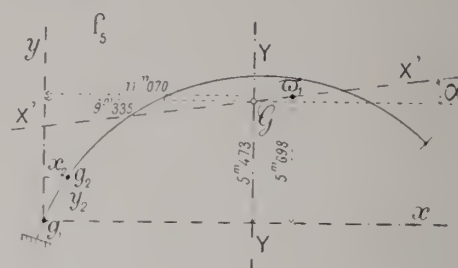


TABLEAU II. — Moments des γ par rapport à la verticale et à l'horizontale de g_1 (f_5).

N° des tran- ches	Poids élastiques (Tableau I col. 7) γ	Distances des g mesurées sur une épure à l'échelle de 0m05 p. m.		Moments des γ			
		à la verticale de g_1 x	à l'horizon- tale de g_1 y	1 ^{er} degré		2 ^e degré	
				γx	γy	γx^2	γxy
1	2	3	4	5	6	7	8
1	1.541	0	0	0	0	0	0
2	2.759	0m97	1m65	2.676	4.552	2.596	4.415
3	5.349	2.325	3.24	12.436	17.330	28.914	40.293
4	10.589	4.12	4.65	43.627	49.239	179.743	202.866
5	19.604	6.325	5.71	123.995	111.939	784.268	708.011
6	30.199	8.925	6.27	269.526	189.348	2405.520	1689.928
7	26.329	11.585	6.20	305.021	163.240	3533.668	1891.130
8	17.019	13.98	5.56	237.925	94.626	3326.192	1322.863
9	9.403	16.07	4.45	151.107	41.843	2428.289	672.426
	122.792			1146.313	672.117	12689.190	6531.932
	$\sum \gamma$			$\sum \gamma x$	$\sum \gamma y$	$\sum \gamma x^2$	$\sum \gamma xy$

$$x_{\mathcal{Q}} \text{ (distance entre les verticales de } g_1 \text{ et de } \mathcal{Q}) = \frac{\sum \gamma x \text{ (col. 5)}}{\sum \gamma \text{ (col. 2)}} = \frac{1146.313}{122.792} = 9m335$$

$$y_{\mathcal{Q}} \text{ (distance entre les horizontales de } g_1 \text{ et de } \mathcal{Q}) = \frac{\sum \gamma y \text{ (col. 6)}}{\sum \gamma x \text{ (col. 2)}} = \frac{672.117}{122.792} = 5m473$$

\mathcal{Q} est à 9m335 à droite de g_1 , à 5m473 au-dessus. La construction graphique est exacte.

Dans tout ce qui va suivre, on continuera à compter les x horizontalement, c'est-à-dire perpendiculairement à l'axe vertical YY (f_s), mais les y comptés verticalement seront arrêtés à un axe $X'X'$ conjugué à YY .

Déterminons $X'X'$.

C'est le lieu, par rapport à l'ellipse élastique de l'arc, des antipôles des verticales.

Il passe par le centre \mathcal{G} qu'on vient de déterminer et par l'antipôle d'une verticale quelconque.

On peut le trouver par une construction graphique ; elle est longue.

Avec les nombres du Tableau II, on a tout de suite π_1 antipôle de la verticale de g_1 (f_s).

$$x_{\pi_1} \begin{matrix} \text{(distance entre} \\ \text{les verticales} \\ \text{de } \pi_1 \text{ et de } g_1) \end{matrix} = \frac{\sum \varphi x^2 \text{ (Tableau II col 7)}}{x_{\mathcal{G}} (= 9^m335) \times \sum \varphi \text{ (Tableau I col 7)}} = \frac{12689.190}{9.335 \times 122.792} = 11^m070$$

$$y_{\pi_1} \begin{matrix} \text{(distance entre} \\ \text{les horizontales} \\ \text{de } \pi_1 \text{ et de } g_1) \end{matrix} = \frac{\sum \varphi xy \text{ (Tableau II col 8)}}{x_{\mathcal{G}} (= 9^m335) \times \sum \varphi \text{ (Tableau I col 7)}} = \frac{6531.932}{9.335 \times 122.792} = 5^m698$$

$$\tan \alpha = \frac{y_{\pi_1} - y_{\mathcal{G}}}{x_{\pi_1} - x_{\mathcal{G}}} = \frac{5^m698 - 5^m473}{11^m070 - 9^m335} = 0.130$$

§ 2. — MOMENTS D'INERTIE DES φ

PAR RAPPORT A L'AXE VERTICAL $\mathcal{G}Y$ ET A SON CONJUGUÉ $\mathcal{G}X'$.

LONGUEURS SUIVANT $\mathcal{G}Y$ ET $\mathcal{G}X'$

DES DIAMÈTRES DE L'ELLIPSE ÉLASTIQUE

Déterminons les antipôles π^Y (ξ^Y, η^Y) de YY par rapport aux ellipses centrales des tranches. Suspendons-y verticalement les longueurs

$$\gamma_1 = \frac{\varphi_1 x_1}{p'} \quad , \quad \gamma_2 = \frac{\varphi_2 x_2}{p'} \quad , \quad \dots$$

interceptées sur YY par les côtés prolongés du funiculaire **1** (p. 133 Art 4-A).

Construisons le polygone des forces de pôle O'' placé sur le dernier côté de **1**, de distance polaire p''' (on a pris $p''' = \frac{\mathcal{L}}{8} = 2^m4625 = \frac{\sum \varphi}{8}$ (p. 133 Art 4-A) puis le funiculaire **3**.

3 est en S : ses côtés extrêmes sont parallèles.

Soient $\lambda_1, \lambda_2, \dots$ les longueurs interceptées sur l'axe YY par les côtés prolongés de **3** :

$$\lambda_1 = \frac{\gamma_1 \xi_1}{p'''} = \frac{\varphi_1 x_1 \xi_1}{p' p'''} \quad , \quad \lambda_2 = \frac{\gamma_2 \xi_2}{p' p'''} = \frac{\varphi_2 x_2 \xi_2}{p' p'''} \quad , \quad \dots$$

$\varphi_1 x_1 \xi_1$ produit du poids élastique φ_1 par x_1 , distance du centre de gravité à l'axe YY et par ξ_1 , distance au même axe de son antipôle, est le moment d'inertie de φ_1 par rapport à YY .

Art. 5. — Diamètre de l'ellipse élastique de l'arc conjugué à la verticale. Axe $X'X'$.

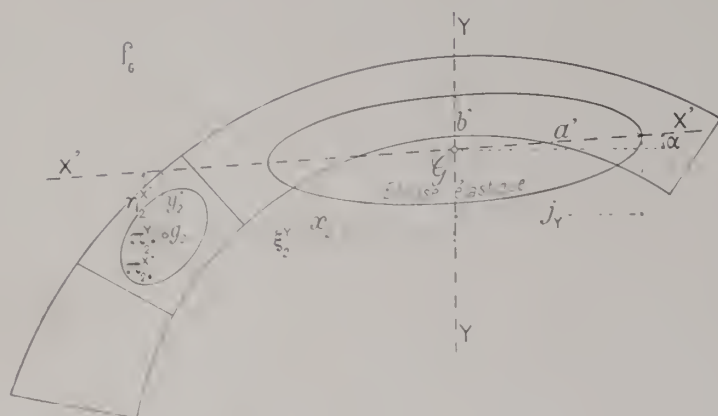
Art. 1. — Moment d'inertie des φ par rapport à la verticale YY du centre élastique.

A. — Construction graphique. Funiculaire **3.**

La somme $\lambda_1 + \lambda_2 + \dots = \frac{B}{A}$, est donc, divisé par $p' p''$, le moment d'inertie I_{YY} des poids élastiques de tout l'arc par rapport à YY

$$I_{YY} = \frac{B}{A} p' p''.$$

B. — Vérification. TABLEAU III. — Calcul de I_{YY} et de $\frac{B}{A}$, distance verticale entre les côtés extrêmes du funiculaire **3** (f_6).



sur l'épure: $p' = \mathcal{L} = 17^m30$

$$p'' = 2^m1625$$

$$\frac{B}{A} \left(\begin{array}{c} \text{mesuré} \\ \text{sur} \\ \text{l'épure} \end{array} \right) = \frac{2042.818 \text{ (col. 5)}}{17.3 \times 2.1625} \times 0.141 \text{ (} \varphi = 1 \text{ p. 133)} \\ = 7^m70$$

La construction graphique est exacte.

N° des tran- ches	Poids élas- tiques (Tableau I col 7) φ	Distance horizontale à YY mesurée sur l'épure à l'échelle de 0 ^m 05 par m.		Produits $\varphi x \xi^Y$
		des centres de gravité g x	des anti- pôles π^Y ξ^Y	
1	2	3	4	5
1	1.541	9 ^m 32	9 ^m 37	134.573
2	2.759	8.36	8.40	193.748
3	5.349	7.00	7.05	263.973
4	10.589	5.20	5.30	291.833
5	19.604	3.01	3.18	187.646
6	30.199	0.41	1.96	24.268
7	26.329	2.24	2.48	146.263
8	17.019	4.64	4.72	372.730
9	9.403	6.72	6.77	427.784
$\sum \varphi$	122.792	$I_{YY} = \frac{B}{A} \sum \varphi x \xi^Y = 2042.818$		

Art. 2. — Moment
d'inertie des φ par
rapport à $X'X'$.

Les y sont arrêtés à $X'X'$ (f_6). $I_{XX} = \sum \varphi y^2$.

Disposons les poids élastiques φ sur une parallèle à $X'X'$.

Construisons un polygone des forces de pôle O'' , de distance polaire $p'' = \frac{\mathcal{L}}{6}$, comptée

A. — Construction
graphique. Funi-
culaire **4**.

verticalement, puis le funiculaire **2**.

Ses côtés prolongés découpent sur $X'X'$ des longueurs

$$\nu_1 = \frac{\varphi_1 y'_1}{p''}, \quad \nu_2 = \frac{\varphi_2 y'_2}{p''} \dots \dots$$

Déterminons les antipôles $\pi^{X'}$ ($\xi^{X'}$, $\eta^{X'}$) de $X'X'$ par rapport aux ellipses centrales des tranches.

Attachons-y parallèlement à $X'X'$ les longueurs ν_1, ν_2, \dots

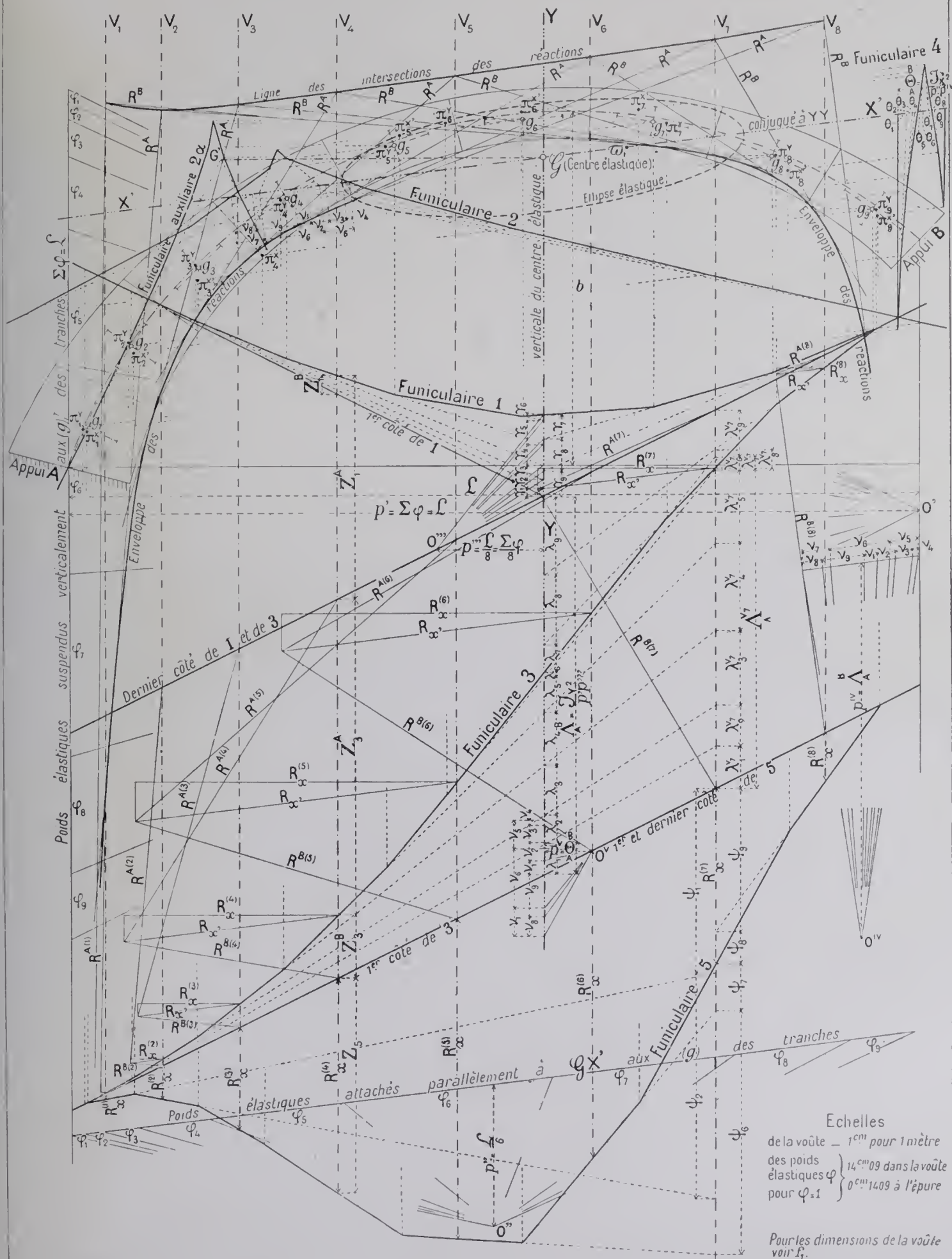
Construisons le polygone des forces O^{IV} , de distance polaire p^{IV} (comptée verticalement), puis le funiculaire **4**.

Les côtés extrêmes de **4** sont parallèles.

Soient $\theta_1, \theta_2, \dots$ les segments découpés sur $X'X'$, par les côtés prolongés de **4**.

$$\theta_1 = \frac{\nu_1 \eta'_1}{p^{IV}} = \frac{\varphi_1 y'_1 \eta'_1}{p'' p^{IV}}, \quad \theta_2 = \frac{\varphi_2 y'_2 \eta'_2}{p'' p^{IV}} \dots \dots$$

Arc dissymétrique soumis à des forces verticales Réactions des appuis. — Ligne de leurs intersections. — Leur enveloppe



Echelles
de la voûte — 1^{cm} pour 1 mètre
des poids élastiques φ $\left\{ \begin{array}{l} 14 \text{ cm}^2 \text{ dans la voûte} \\ 0 \text{ cm}^2 \text{ à l'épure} \end{array} \right.$
pour $\varphi=1$

Pour les dimensions de la voûte voir L₁.

$\varphi_i y_i' \eta_i'$ est le moment d'inertie de φ_i par rapport à $X'X'$.

La somme $\varphi_1 + \varphi_2 + \dots = \overset{B}{\underset{A}{\Theta}}$ est donc, divisé par $p''p^{IV}$, le moment d'inertie $I_{X'^2}$ des poids élastiques de tout l'arc par rapport à $X'X'$.

$$I_{X'^2} = \overset{B}{\underset{A}{\Theta}} p'' p^{IV}$$

TABLEAU IV. — Calcul de $I_{X'^2}$ et de $\overset{B}{\underset{A}{\Theta}}$ distance, suivant $X'X'$, entre les côtés extrêmes du funiculaire 4 (f_e).

B. — Vérification par le calcul.

N° des tran- ches	Poids élas- tiques (Tableau I col. 7)	Distance verticale à $X'X'$ mesurée sur l'épure à l'échelle de 0 ^m 05 par m.		Produits $\varphi y' \eta' x'$ 5
		des centres de gravité y'	des anti- pôles $\eta' x'$	
	2	3	4	
1	1.541	4 ^m 30	4 ^m 40	29.155
2	2.759	2.78	2.90	22.333
3	5.349	1.38	1.58	11.663
4	10.589	0.19	1.28	2.575
5	19.604	0.60	0.82	9.645
6	30.199	0.84	0.95	24.099
7	26.329	0.45	0.74	8.768
8	17.019	0.48	0.90	7.352
9	9.403	1.83	2.00	34.414
$\overset{B}{\underset{A}{\Sigma}} \varphi = 122.792$		$I_{X'^2} = \overset{B}{\underset{A}{\Sigma}} \varphi y' \eta' x' = 150.004$		

sur l'épure $p'' = 2^m 883$
 $p^{IV} = 7^m 700$

$$\overset{B}{\underset{A}{\Theta}} \left(\begin{array}{c} \text{mesuré} \\ \text{sur} \\ \text{l'épure} \end{array} \right) = \frac{150.004 (\text{col. 5})}{2.883 \times 7.700} \times 0.141 (\varphi = 1 \text{ p. 133})$$

$$= 0^m 953$$

La construction graphique est exacte.

En pratique on ne trace pas l'ellipse élastique; si, pour plus de clarté on la veut tracer, on a ainsi ses axes conjugués :

$$\left. \begin{aligned} I_{Y'^2} &= \overset{B}{\underset{A}{\Lambda}} (\text{funiculaire 3}) p' p''' = j_Y^2 \overset{B}{\underset{A}{\Sigma}} \varphi = a'^2 \cos^2 \alpha \overset{B}{\underset{A}{\Sigma}} \varphi \\ I_{X'^2} &= \overset{B}{\underset{A}{\Theta}} (\text{funiculaire 4}) p'' p^{IV} = b'^2 \overset{B}{\underset{A}{\Sigma}} \varphi \end{aligned} \right\} \begin{aligned} a' &= 4^m 112 \\ b' &= 1^m 105 \end{aligned}$$

Art. 3. — Longueur des 2 axes conjugués de l'ellipse élastique : a' suivant $X'X'$, b' suivant $Y'Y'$.

§ 3. — MOMENTS CENTRIFUGES DES φ PAR RAPPORT :

D'UNE PART A UN AXE (ζY , OU $\zeta X'$)

D'AUTRE PART A UNE FORCE VERTICALE.

Prolongeons jusqu'à V_7 les côtés de 3.

Soient $\lambda_1^{V_7}, \lambda_2^{V_7}, \dots$ les segments interceptés

$$\lambda_1^{V_7} = \frac{\varphi_1 \tilde{z}_1 \mathcal{Q}^{ce}(g_1 V_7)}{p' p'''}, \quad \lambda_2^{V_7} = \frac{\varphi_2 \tilde{z}_2 \mathcal{Q}^{ce}(g_2 V_7)}{p' p'''}, \dots$$

Ce sont, divisés par $p' p'''$, les moments centrifuges des φ par rapport à ζY et à V_7 .

La somme $\lambda_1^{V_7} + \lambda_2^{V_7} + \dots = \overset{V_7}{\underset{A}{\Lambda}}$ est, divisée par $p' p'''$, la somme des moments centrifuges, par rapport à $Y'Y'$ et V_7 , des φ de A à V_7 .

Art. 1. — Par rapport à $Y'Y'$ et à une autre verticale (par exemple V_7).

Art. 2. — Par rapport à $X'X'$ et à la verticale V_7 .
Funiculaire 5.

Appliquons verticalement aux antipôles $\pi_1^{X'} \dots$ de $X'X'$ les moments $\nu_1 = \frac{\gamma_1 y_1'}{p''}$,
 $\nu_2 = \frac{\gamma_2 y_2'}{p''}, \dots$ (funiculaire 2).

Plaçons les ν sur YY à partir du premier côté de 3; plaçons sur ce côté un pôle O^V , et construisons un polygone des forces de distance polaire p^V , puis le funiculaire 5.

Les côtés prolongés de 5 interceptent sur V_7 les segments

$$\psi_1 = \nu_1 \frac{\omega^{ce}(\pi_1^{X'} V_7)}{p^V} = \frac{\gamma_1 y_1' \omega^{ce}(\pi_1^{X'} V_7)}{p'' p^V}, \quad \psi_2 = \frac{\gamma_2 y_2' \omega^{ce}(\pi_2^{X'} V_7)}{p'' p^V}, \dots$$

Ce sont, divisés par $p'' p^V$, les moments centrifuges des γ par rapport à $X'X'$ et à la verticale V_7 .

CHAPITRE II

COMMENT A L'AIDE DES FUNICULAIRES 1 A 5

ON CONSTRUIT LES RÉACTIONS DES APPUIS

DUES A DES FORCES VERTICALES

§. 1. — DANS LES FORMULES p. 131 REMPLACER LES MOMENTS
PAR DES LONGUEURS PRISES SUR LES FUNICULAIRES 1, 3, 5.

Art. 1. — Formules
générales.

1° Réaction de l'appui de droite R^B .

$$\left. \begin{aligned} \frac{R_y^B}{V} &= \frac{\overset{V}{I}_{AY}}{\overset{B}{I}_{Y^2}} = \frac{\overset{V}{\Lambda p' p''}}{\overset{B}{\Lambda p' p''}} = \frac{\overset{V}{\Lambda}}{\overset{B}{\Lambda}} \\ \frac{R_x^B}{V} &= \frac{\overset{V}{I}_{AX'}}{\overset{B}{I}_{X^2}} = \frac{\overset{V}{\Psi' p'' p^V}}{\overset{B}{\Theta p'' p^{IV}}} = \frac{\overset{V}{\Psi' p^V}}{\overset{B}{\Theta p^{IV}}} \end{aligned} \right\} \frac{R_y}{R_x} = \frac{\overset{V}{\Lambda}}{\overset{B}{\Lambda}} \frac{\overset{B}{\Theta}}{\overset{V}{\Psi'}} \frac{p^{IV}}{p^V}$$

$$\frac{R^B r_B}{V} = \frac{\overset{V}{M(V)}}{\overset{B}{\sum \gamma}} = \frac{\overset{V}{I p'}}{\overset{B}{\sum \gamma}}$$

$$m \cos \theta = \frac{R^B r_B}{R_y^B} \quad n = \frac{R^B r_B}{R_x^B}$$

2° Réaction de l'appui de gauche R^A .

Pour R^B , on a mesuré les ordonnées entre les funiculaires 1, 3, 5 et leur 1^{er} côté (côté extrême de gauche) prolongé; pour R^A , on les mesurera entre les polygones et leur dernier côté (côté extrême de droite).

2. — γ_3 , ψ_4 et ψ_5 sont en dehors de l'épure Pl. I.

On adoptera $p' = \frac{\sum p}{\Lambda}$.³

Avec M. Guidi,⁴ j'ai pris $p^V = \frac{\sum p}{\Lambda}$, $p^H = \frac{\sum p}{\Lambda}$; p'' et p''' qui disparaissent des formules peuvent être prises arbitrairement.⁵

Art. 2. — Choix de distances polaires pour simplifier formules et constructions.

Réactions de l'appui.

		de droite R^B	de gauche R^A
Moment	$\frac{Rr}{V} =$	$\frac{V}{\Lambda} = Z_1^B$ (Ordonnée entre le funiculaire 1 et son 1 ^{er} côté (gauche).)	$\frac{V}{\Lambda} = Z_1^A$ (Ordonnée entre le funiculaire 1 et son dernier côté (droite).)
Composante verticale	$\frac{R_y}{V} =$	$\frac{1}{\Lambda} = \frac{1}{\Lambda} Z_3^B$ (Ordonnée entre le funiculaire 3 et son 1 ^{er} côté.)	$\frac{1}{\Lambda} = \frac{1}{\Lambda} Z_3^A$ (Ordonnée entre le funiculaire 3 et son dernier côté.)
Composante horizontale	$\frac{R_x}{V} =$	$\frac{1}{\Lambda} \Psi = \left(= \frac{1}{\Lambda} \right) = \frac{1}{\Lambda} Z_5$ (Ordonnée entre le funiculaire 5 et ses côtés extrêmes, qui se confondent.)	
Distances à \mathcal{G} (Coordonnées à l'origine)	suivant \mathcal{GX}	$\frac{Z_1^B}{Z_3^B}$	$\frac{Z_1^A}{Z_3^A}$
	suivant \mathcal{GY}	$\frac{Z_1^B}{Z_5}$	$\frac{Z_1^A}{Z_5}$

Ainsi les funiculaires **1, 3, 5**, sont des lignes d'influence⁶ : **1** du moment Rr par rapport au centre élastique, **3** de la composante verticale, **5** de la composante horizontale de la réaction de chaque appui due à une force verticale V .

3. — A l'épure (Pl. D), l'échelle des p est telle que $\frac{\sum p}{\Lambda} = \frac{L}{6}$ (portée de la fibre moyenne).

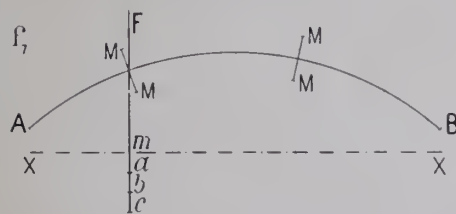
4. — *L'Arco elastico senza cerniere* — Académie des Sciences de Turin, 1902.

5. — A la Pl. I ; $p'' = \frac{\sum p}{\Lambda} = \frac{L}{6}$ $p''' = \frac{\sum p}{\Lambda} = \frac{L}{8}$

6. — J'en rappelle la définition.

Sur un arc AB agissent des charges fixes (poids mort), des charges roulantes....

Considérons l'une d'elles F (f_1).



Sur une section MM, elle produit : un moment de flexion, — une poussée horizontale, — un certain effort par $\overline{0m0l}^2$ à l'intrados, à l'extrados, — un déplacement du centre de gravité....

Représentons sur la ligne d'action de F chacune de ces quantités par des longueurs comptées à partir d'un axe XX' : ma, mb, mc .

Puis faisons avancer la charge F d'un appui à l'autre, par exemple de A à B.

Les lieux des points a, b, c, \dots sont les « lignes d'influence » du moment, de la poussée horizontale, du travail par

$\overline{0m0l}^2$, du déplacement vertical du centre de gravité.... relatifs à la section MM.

Chaque section a ses lignes d'influence.

Supposons qu'on les ait tracées pour la force 1 : pour une force de N^{Tonnes} , toutes les ordonnées seront multipliées par N ; pour une section, une même ligne d'influence servira pour chaque charge et chaque surcharge.

Si plusieurs charges ou plusieurs surcharges agissent ensemble, on ajoute leurs ordonnées.

Art. 3. — Comment on construit les réactions R^B , R^A .

On a successivement (Pl. I), par 5, R_x , puis R_y ; par 3, R_y^B , puis R^B ; R_y^A , puis R^A .

Pour avoir la ligne d'action de R^B , on détermine sa distance à ζ_j .

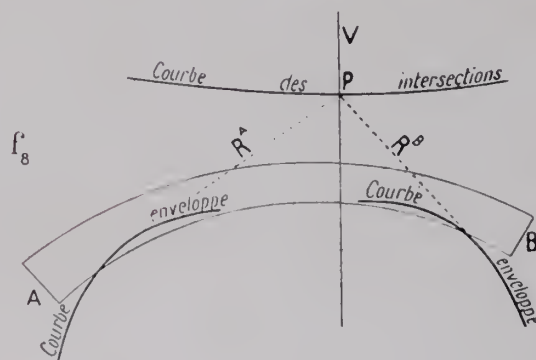
$$\mathcal{M} = R^B r_B \quad \text{d'où } r_B$$

Autour de ζ_j , décrivons un arc de rayon r_B et menons une tangente parallèle à R^B .

R^A en place passe par le point de rencontre de V et de R^B et est parallèle à R^A qu'on a construite. Comme vérification, on place R^A .

Pour une charge V près d'un appui, les réactions sont assez mal déterminées : une erreur sur elles change peu les efforts ; si cependant on les voulait exactes, on déterminerait l'antipôle π de V pour l'ellipse élastique entre l'autre appui et V , puis l'antipolaire de π par rapport à l'ellipse élastique totale.

§ 2. — COURBE DES INTERSECTIONS ET COURBE ENVELOPPE DES RÉACTIONS



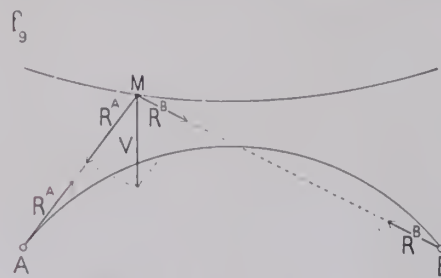
Les deux réactions R^A , R^B d'une force $V=1$ se coupent en un point P de la ligne d'action de V (f_8).

Déplaçons V de A à B et traçons pour chaque position de V ses deux réactions. On obtient deux courbes ; celle des intersections des réactions et leur enveloppe.⁷

Par elles, on a immédiatement les réactions dues à une force verticale quelconque V (f_8).

Du point de rencontre P de V , avec la courbe des intersections, on mène les deux tangentes à la courbe enveloppe.⁸

7. — Ces deux courbes ont été indiquées par E. Winkler, Professeur à l'École Polytechnique de Prague « Die Lehre von der Elasticität und Festigkeit ». Prague 1867, p. 328 et suivantes.

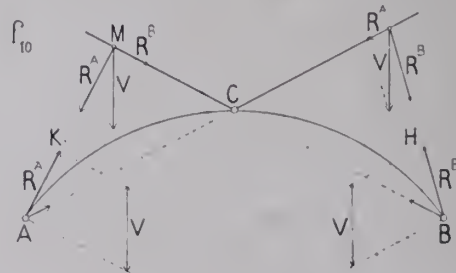


des intersections est : à droite de C , AC prolongée — à gauche de C , BC prolongée.

Pour un même V , le lien du point K extrémité des réactions R^A , est une parallèle à BC , à V au-dessus de celle menée par A — de même, le lien de H est une parallèle à AC , à V au-dessus de celle menée par B .

8. — S'il y a aux reins deux articulations A , B (f_9), les deux réactions d'une charge V passent par A et B ; l'enveloppe de R^A , R^B est réduite aux points A et B .

S'il y a trois articulations A , B , C , (f_{10}), l'enveloppe de R^A , R^B demeure réduite aux points A et B ; la ligne



Ces courbes tracées avec $V=1$ ne dépendent pas de l'intensité de V , mais seulement des propriétés élastiques de l'arc.

On n'en a pas besoin pour tracer les lignes d'influence, mais elles sont fort utiles, et comme contrôle, et parce qu'elles permettent de trouver de suite les réactions dues à une charge, de délimiter les zones à efforts $\geq 0, < 0, \dots$.

CHAPITRE III

CALCUL, A L'AIDE DES LIGNES D'INFLUENCE,

DES EFFORTS EN KG $\sqrt{0^{\text{m}01}}$ A L'INTRADOS β_i ET A L'EXTRADOS β_e ,
D'UNE SECTION QUELCONQUE MM, SOUS L'ACTION D'UNE FORCE 1.

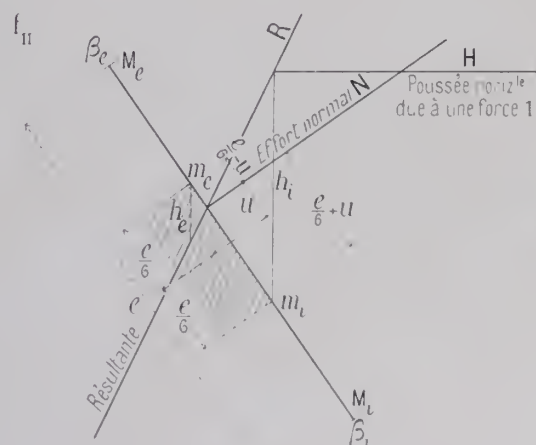
$$\left\{ \begin{array}{l} \beta_i = \frac{N}{el} \left(1 - \frac{6u}{e} \right) = \frac{N}{\frac{1}{6} e^2 l} \left(\frac{e}{6} - u \right) \\ \beta_e = \frac{N}{el} \left(1 + \frac{6u}{e} \right) = \frac{N}{\frac{1}{6} e^2 l} \left(\frac{e}{6} + u \right) \end{array} \right.$$

Art. 1. — Expression de β_i et β_e en fonction de la poussée horizontale H et des distances verticales h_e, h_i de m_e, m_i , limites du noyau central, à la résultante R des actions sur MM. (r_{11})

$$\left\{ \begin{array}{l} M_e \left(\begin{array}{c} \text{moment de R} \\ \text{par rapport à } m_e \end{array} \right) = N \left(\frac{e}{6} - u \right) = H \left(\begin{array}{c} \text{poussée} \\ \text{horizontale} \end{array} \right) h_e \\ M_i \left(\begin{array}{c} \text{moment de R} \\ \text{par rapport à } m_i \end{array} \right) = N \left(\frac{e}{6} + u \right) = H h_i \end{array} \right.$$

$$\text{Donc } \beta_e = \frac{H h_i}{\frac{1}{6} e^2 l} \quad \beta_i = \frac{H h_e}{\frac{1}{6} e^2 l}$$

H est la poussée horizontale due à une charge verticale 1 ;
 β_e, β_i sont les efforts pour une charge 1



CHAPITRE IV

CALCUL DES EFFORTS PAR $\overline{0^m 01}^2$

DUS — NON PLUS A UNE FORCE 1 — MAIS AUX FORCES

(POIDS, SURCHARGES)

AGISSANT RÉELLEMENT SUR L'ARC.

§ 1. — PAR LES LIGNES D'INFLUENCE DES $\beta_i, \beta_e (f_{11})$

Chaque poids mort P, chaque surcharge V produit un effort réel β égal à l'ordonnée de la ligne d'influence, multipliée par P, par V.

Pour chaque section, on fera une fois pour toutes, la somme des efforts dus aux poids P; puis on calculera ceux dus aux surcharges pour différentes positions du train d'épreuve; on en déterminera par tâtonnements la somme maxima.

(Voir plus loin au titre IV le calcul pour un arc symétrique).

§ 2. — PAR LES COURBES DE PRESSION

Par un polygone des forces, on compose ensemble toutes les réactions R^A , toutes les réactions R^B . Soient α^A, α^B les résultantes: on les met en place par un funiculaire.

Puis on construit un funiculaire des poids et surcharges dont le premier côté est α^A et dont le dernier sera α^B . C'est la courbe des pressions.

On a les efforts β_i, β_e dans une section par les formules usuelles:

$$\beta_i = \frac{N}{el} \left(1 - \frac{6u}{e} \right) \quad \beta_e = \frac{N}{el} \left(1 + \frac{6u}{e} \right) \quad (f_{11})$$

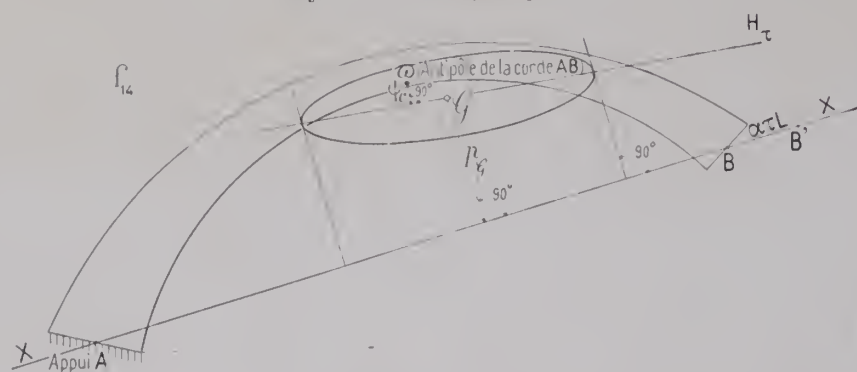
On a N par le polygone des forces agissant sur la voûte, u par la courbe des pressions.

En pratique, c'est par les lignes d'influence qu'on détermine les efforts: on ne construit guère de courbes de pression que pour les poids morts.

CHAPITRE V

RÉACTION H_τ DUE A UNE VARIATION DE TEMPÉRATURE τ

Supposons encore l'appui A fixe, l'appui B libre. Sous l'action d'une variation de température τ , une dimension l se dilate ou se contracte de $l\alpha\tau$. Les angles des joints avec la fibre moyenne ne changent pas.



B s'avance suivant la corde $AB = L$ de $BB' = \alpha\tau L$: c'est une rotation autour d'un point π à l'infini sur une normale à la corde.

La réaction H_τ , pour ramener l'appui B à sa place, doit produire une translation égale et opposée. Ce sera l'antipolaire de π par rapport à l'ellipse totale ; elle passe par G_e , puisque son antipôle est à l'infini et elle est conjuguée aux normales à la corde AB.

Déplacement $= \alpha\tau L = H_\tau \times$ moment centrifuge des φ par rapport à H_τ et à la corde AB.
 $= H_\tau \times \sum_A^n \varphi \times p_{G_e}$ (distance à la corde AB du centre élastique G_e) $\times \psi_c$ (distance à la réaction H_τ de l'antipôle π de la corde AB).

φ est $\frac{L}{EI}$ (et non $\frac{1}{I}$).

$$H_\tau = \frac{E\alpha\tau L}{\sum_A^n \varphi p_{G_e} \psi_c}$$

Si la température s'abaisse, H est négatif.

TITRE IV

ARC SYMÉTRIQUE

EFFORTS DANS LA VOÛTE DU PONT ANTOINETTE^{1, 2}

CHAPITRE I

CARACTÉRISTIQUES ÉLASTIQUES DE L'ARC COURBE DES INTERSECTIONS ET COURBE ENVELOPPE DES RÉACTIONS

§ 1. — DIMENSIONS DE LA VOÛTE

Intrados arc de 31 ^m de rayon	Portée	47 ^m 396	Épaisseur	à la clef	1 ^m 50
	Montée	11 ^m 015		aux retombées	2 ^m 283
Fibre moyenne	Portée 2a'	49 ^m 142	Fruit des têtes		0.04
	Montée b'	11 ^m 029	Largeur du pont au niveau des rails		4 ^m 74

§ 2. — CENTRE ELASTIQUE

On divise chaque demi-voûte en 9 tranches de 3^m08 de longueur comptée suivant la fibre moyenne.

$$a \left(\frac{1}{2} \text{ grand axe des ellipses centrales des tranches} \right) = 0.289 \times 3^{\text{m}}08 = 0^{\text{m}}890 \text{ (p. 132).}$$

Dans le calcul des moments d'inertie des sections transversales, on a admis comme largeur de la voûte, le rapport de la largeur réelle à 4^m74, largeur au niveau du rail.

TABLEAU I. — *Petit axe de l'ellipse centrale des tranches — Leurs poids élastiques.*

Nos des tranches à partir de la clef	Dimensions de la voûte au droit des centres de gravité <i>g</i> des tranches		Demi petit axe de l'ellipse centrale de la tranche $b = 0.289 \ e$	Moment d'inertie de la section transversale $I = \frac{1}{12} \left(\frac{l}{4.74} \right) e^3$	Poids élastique de la tranche $p = \frac{L = 3^{\text{m}}08}{l}$
	Épaisseur <i>e</i>	Largeur <i>l</i>			
1	2	3	4	5	6
1 (clef)	1 ^m 51	4 ^m 88	0 ^m 436	0.295386	10.4270
2	1.53	4.90	0.442	0.308540	9.9825
3	1.57	4.95	0.454	0.336779	9.1455
4	1.63	5.02	0.471	0.382215	8.0583
5	1.70	5.11	0.491	0.441376	6.9782
6	1.80	5.28	0.520	0.536240	5.7437
7	1.92	5.35	0.555	0.665729	4.6265
8	2.05	5.50	0.592	0.833038	3.6973
9 (retomb.)	2.20	5.68	0.635	1.063302	2.8967

$$\Sigma p \text{ (1 2 voûte)} = 61.5557$$

1. — Tome II, p. 115.

2. — Je n'ai fait que résumer l'excellent mémoire de M. le Professeur Guidi : « *L'arco elastico senza cerniere* » Académie des Sciences de Turin, Novembre 1902.

Art. 1. — Division
de l'arc en 18 tran-
ches.

Art. 2. — Axes des
ellipses centrales
des tranches.
Leurs poids élasti-
ques.

Art. 3. — Centre élastique ξ de l'arc.

A. — Construction graphique. Funiculaires 1 et 2 Pl. II.

ξ est sur la verticale YY, axe de symétrie, axe de l'ellipse élastique.

Le funiculaire 1 des γ suspendus verticalement aux g (p. 133) est symétrique par rapport à YY; ses côtés extrêmes se coupent sur YY; il est horizontal à la clef.

Attachons les γ horizontalement aux g ; traçons un funiculaire 2: ξ est sur l'horizontale XX passant par le point de rencontre sur YY de ses côtés extrêmes; XX est l'autre axe de l'ellipse élastique.

Dans l'épure Pl. II, on a pris :

p' (distance polaire de 1) = $2a'$ (portée de la fibre moyenne) = 49^m142 .

$$= \Sigma \gamma \left(\begin{array}{l} \text{voûte entière, 18 tranches, } 2 \times 61.5557 : \text{ c'est-à-dire que} \\ \gamma = 1 \text{ est représenté par } \frac{49^m142}{2 \times 61.5557} = 0^m3992. \end{array} \right)$$

Le pôle O' est en dehors de l'épure : pour tracer les rayons du polygone P', on a joint les divisions de l'échelle des γ à celles d'une échelle des $\frac{\gamma}{2}$ sur YY.

p'' (distance polaire de 2) = $\frac{2a'}{6} = 8^m19$.

B. — Vérification par le calcul de la position de ξ .

TABLEAU II. — Position sur YY du centre élastique.

Nos des tranches	Poids élastiques (Tableau I col. 6)	Par rapport à l'horizontale de g		Vérification : par rapport à ξ X (horizontale de ξ)	
		Ordonnées des g mesurées sur l'épure à 3 ^m p. 1 ^m	Moments des γ	Ordonnées des g	Moments des γ
	γ	y	γy	$y' -$ $y - 7^m376$	$\gamma y'$
1	2	3	4	5	6
1 (clef)	10.4270	9 ^m 89	103.423	2 ^m 514	26.21
2	9.9825	9.58	95.632	2.204	22.00
3	9.1455	9.00	82.310	1.624	14.85
4	8.0583	8.15	65.675	0.774	6.24
5	6.9782	7.01	48.916	— 0.366	— 2.55
6	5.7437	5.62	32.280	— 1.756	— 10.09
7	4.6265	3.97	18.365	— 3.406	— 15.76
8	3.6973	2.09	7.727	— 5.286	— 19.54
9 (ret.)	2.8967	0	0	— 7.376	— 21.36
$\Sigma \gamma$ (voûte)	61.5557		$\Sigma \gamma y = 454.028$	$\Sigma \gamma y' = 0$	

$$\frac{\Sigma \gamma y}{\Sigma \gamma} = \frac{454.028}{61.5557} = 7^m376$$

ξ est à 7^m376 au-dessus de g :

La construction graphique est exacte.

A l'aide des axes a et b des ellipses centrales des tranches (art. 2 précédent), on marque les antipôles π^y et π^x de ξ Y et de ξ X par rapport à ces ellipses.

§. 3. — MOMENTS D'INERTIE DES γ PAR RAPPORT A ξ Y, ξ X AXES DE L'ELLIPSE ÉLASTIQUE

Art. 1. — Moments d'inertie des γ par rapport à ξ Y.

A. — Construction graphique. Funiculaire 3 Pl. II.

On suspend verticalement les moments des γ (γx , funiculaire 1) aux antipôles de ξ Y : on construit un polygone des forces, de pôle O'', pris sur le dernier côté de 1, de distance polaire p''' , puis le funiculaire 3.

Avec $p''' = \frac{2a'}{4} = 12^m2855$ (soit $\frac{\Sigma \gamma}{4}$, $\Sigma \gamma$ étant représenté par $2a'$, voir plus haut Art. 3 — A), on mesure sur l'épure :

$$\Lambda \text{ (distance verticale des côtés extrêmes de 3)} = 12^m48$$

TABLEAU III. — Calcul de I_{Y^2} et de Λ_A^B .

N° des tranches	Poids élastiques (Tableau I col. 6)	Distance à YY mesurée sur l'épure à l'échelle de 3 ^m pour 1 ^m		Produits $\bar{p} \cdot x \xi_Y$
		des centres de gravité g	des anti- pôles π^Y	
	\bar{p}	x	ξ_Y	$\bar{p} \cdot x \xi_Y$
1	2	3	4	5
1 (clef)	10.4270	1 ^m 54	2 ^m 04	32.757
2	9.9825	4.61	4.78	219.972
3	9.1455	7.64	7.75	541.505
4	8.0583	10.62	10.68	913.985
5	6.9782	13.50	13.58	1279.313
6	5.7437	16.24	16.28	1518.561
7	4.6265	18.85	18.88	1646.516
8	3.6973	21.28	21.32	1677.427
9 (ret.)	2.8967	23.53	23.57	1606.516

$$\frac{1}{2} I_{Y^2} = \sum \bar{p} x \xi_Y^2 = 9436.552$$

On attache horizontalement les moments des \bar{p} ($\bar{p}g$, funiculaire 2) aux antipôles de ξ_X . On construit un polygone des forces O^{IV} de distance polaire $p^{IV} = \Lambda_A^B = 12^m48$, puis le funiculaire 4.

On mesure sur l'épure :

$$\Theta_A^B \text{ (distance horizontale des côtés extrêmes de 4 qui sont verticaux)} = 3^m86$$

TABLEAU IV. — Calcul de I_{X^2} et de Θ_A^B .

N° des tranches	Poids élastiques (Tableau I col. 6)	Distance à XX mesurée sur l'épure à l'échelle de 3 ^m pour 1 ^m		Produits $\bar{p} \cdot y \eta_X$
		des centres de gravité g	des anti- pôles π^X	
	\bar{p}	y	η_X	$\bar{p} \cdot y \eta_X$
1	2	3	4	5
1 (clef)	10.4270	2 ^m 51	2 ^m 57	67.261
2	9.9825	2.20	2.30	50.511
3	9.1455	1.62	1.77	26.224
4	8.0583	0.77	1.13	7.012
5	6.9782	0.37	1.23	3.176
6	5.7437	1.76	1.97	19.915
7	4.6265	3.41	3.52	55.532
8	3.6973	5.29	5.37	105.030
9 (ret.)	2.8967	7.38	7.46	159.477

$$\frac{1}{2} I_{X^2} = \sum \bar{p} y \eta_X^2 = 494.138$$

$$I_{Y^2} = a''^2 \sum \bar{p} \quad a'' = 12^m38.$$

$$I_{X^2} = b''^2 \sum \bar{p} \quad b'' = 2^m83.$$

Sur l'épure Pl. II, on a tracé l'ellipse en traits discontinus.

3. — Théorème de Culmann p. 122.

B. — Vérification par le calcul

$$\Lambda_A^B = \frac{I_{Y^2}}{p' p'''} = \frac{2 \times 9436.552 \text{ (Tableau III, col. 5)}}{49^m142 \times 12^m2855} \times 0^m3992 \text{ (} \bar{p} = 1 \text{ p. 146 Art. 3-} \Lambda) = 12^m479$$

La construction graphique est exacte.

Art. 2. — Moments d'inertie des \bar{p} par rapport à ξ_X .

A. — Construction graphique. Funiculaire 4 Pl. II.

B. — Vérification par le calcul.

$$\Theta_A^B = \frac{I_{X^2}}{p'' p^{IV}} = \frac{2 \times 494.138 \text{ (Tableau IV, col. 5)}}{8^m19 \times 12^m48} \times 0^m3992 \text{ (} \bar{p} = 1 \text{ p. 146 Art. 3-} \Lambda) = 3^m860$$

La construction graphique est exacte.

Art. 3. — Demi-axes a'' , b'' de l'ellipse élastique de l'arc.

On suspend verticalement aux antipôles de XX les moments des γ (γy , funiculaire **2**).
On trace un polygone des forces de pôle O^V placé sur le premier côté de **3** et de distance polaire $p^V = \ominus = 3^m 86$.

§ 5. — RÉACTIONS DUES A UNE CHARGE VERTICALE (Pl. II)

On a de suite, sur la verticale de V_s , par le funiculaire **3** : $A_y^{V_s}$ et $B_y^{V_s}$ composantes verticales des **2** réactions ; par le **5**, H^{V_s} composante horizontale des **2** réactions, puis les réactions A^{V_s} et B^{V_s} (intensité et direction), puis, par les moments M mesurés sur **1**, leurs lignes de force, vérifiées par leurs coordonnées à l'origine. B

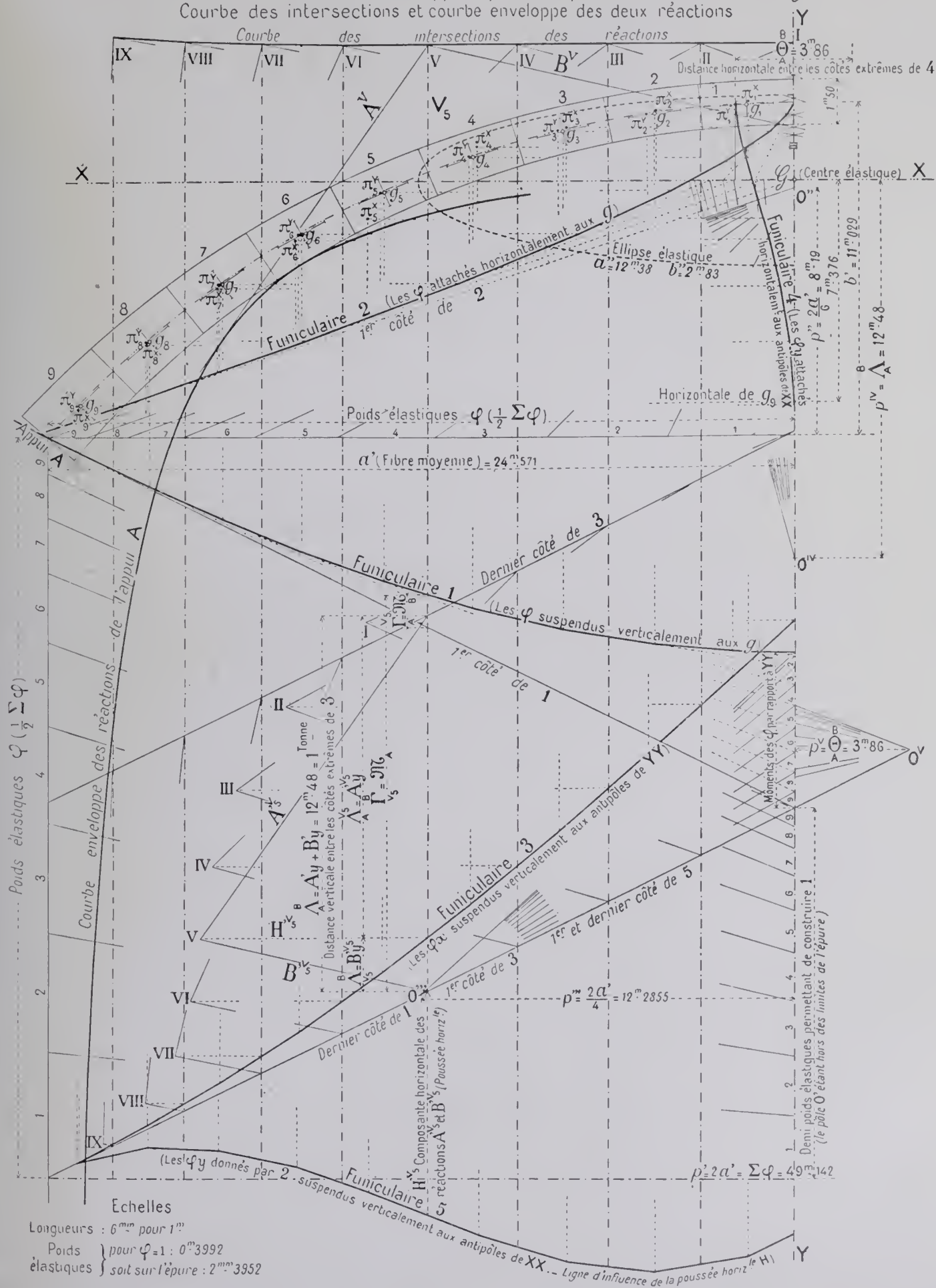
Art. 2. — Réactions
dues à une charge
de 1^r appliquée au
milieu de toutes
les sections qui
séparent les
tranches.

TABLEAU V.

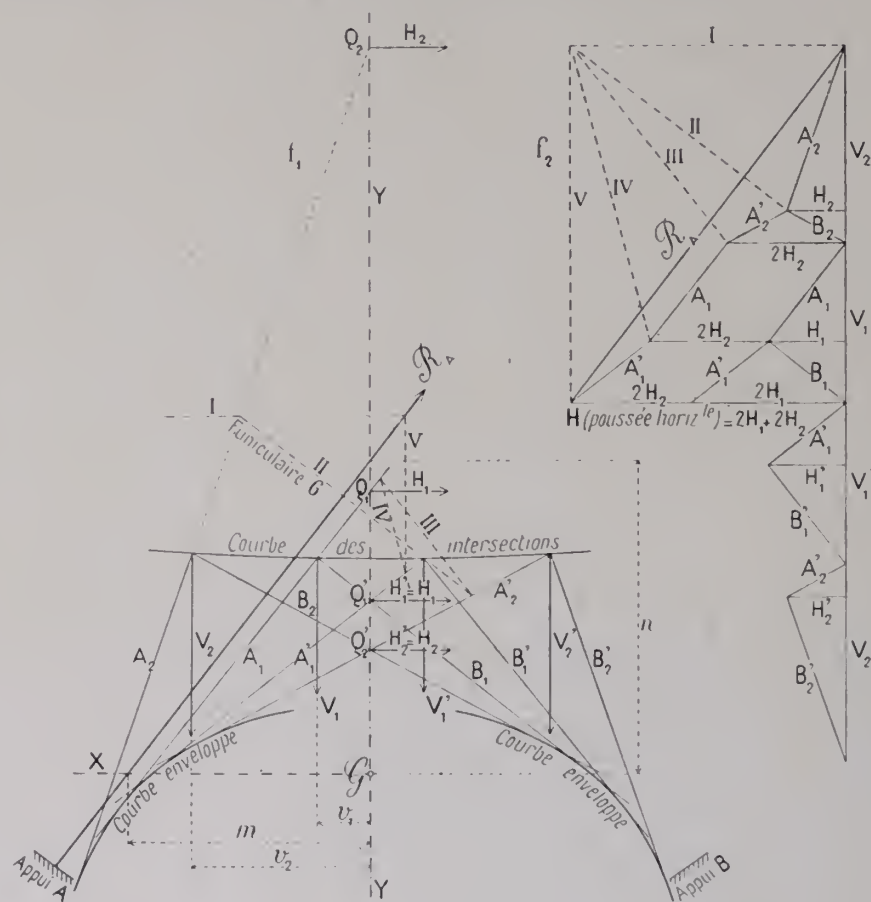
Emplacement de la charge		Unités	I	II	III	IV	V	VI	VII	VIII	IX				
Longueurs d'appui à l'échelle de 3 ^m p. 1 ^m	$\Gamma^B = \partial \mathfrak{N}_A$ $\Gamma^V = \partial \mathfrak{N}_B$ $\Gamma^A = \partial \mathfrak{N}_B$	m	5.190	6.850	8.757	10.860	13.100	15.467	17.833	20.213	22.483				
		m	5.190	3.783	2.633	1.733	1.067	0.600	0.287	0.117	0.027				
		Réactions des appuis composantes	H'	m	14.133	13.617	12.150	10.000	7.517	5.000	2.867	1.267	0.310		
			A' _y	m	6.240	7.523	8.730	9.803	10.710	11.410	11.903	12.260	12.427		
			B' _y	m	6.240	4.957	3.750	2.677	1.770	1.070	0.577	0.220	0.053		
			A'	m	15.450	15.533	14.950	13.983	13.067	12.450	12.200	12.267	12.383		
	B'	m	15.450	14.467	12.700	10.333	7.700	5.100	2.917	1.267	0.320				
H (composante horiz ^{le} des réactions)		$\frac{H'}{\Lambda_A^B}$	T	1.132	1.091	0.974	0.801	0.602	0.401	0.230	0.102	0.025			
Réactions de l'appui de gauche A	A (intensité)	$\frac{\Lambda^A}{\Lambda_A^B}$	T	1.238	1.245	1.198	1.120	1.047	0.998	0.978	0.983	0.992			
		r (distance à G ₁ ^A)	$\frac{\partial \mathfrak{N}_A}{\Lambda}$	m	4.192	5.502	7.310	9.696	12.512	15.498	18.234	20.562	22.664		
			coordonnées à l'origine	abscisse	$\frac{\partial \mathfrak{N}_A \Lambda_A^B}{\Lambda_y^A}$	m	10.380	11.364	12.519	13.826	15.265	16.917	18.697	20.576	22.579
				ordonnée	$\frac{\partial \mathfrak{N}_A \Lambda_A^B}{\Pi^A}$	m	4.583	6.278	8.995	13.553	21.749	38.605	77.627	199.100	937.380
	B (intensité)	$\frac{\Lambda^B}{\Lambda_A^B}$	T	1.238	1.159	1.018	0.828	0.617	0.409	0.234	0.101	0.026			
		r (distance à G ₁ ^B)	$\frac{\partial \mathfrak{N}_B}{\Lambda}$	m	4.192	3.264	2.586	2.092	1.729	1.467	1.227	1.158	1.038		
			coordonnées à l'origine	abscisse	$\frac{\partial \mathfrak{N}_B \Lambda_A^B}{\Lambda_y^B}$	m	10.380	9.524	8.763	8.079	7.523	6.998	6.208	6.637	6.358
				ordonnée	$\frac{\partial \mathfrak{N}_B \Lambda_A^B}{\Pi^B}$	m	4.583	3.467	2.705	2.162	1.771	1.498	1.249	1.152	1.087

Pont Antoinette

Une charge verticale de 1^r se déplace sur l'arc
 Poussée horizontale et réactions des appuis pour chaque position de cette charge
 Courbe des intersections et courbe enveloppe des deux réactions



Au polygone des forces (f_2), A'_2 est le symétrique de B_2 , A'_1 celui de B_1 .



La réaction résultante R_A de l'appui A ferme le polygone $A_2 A'_2 A_1 A'_1$; on la met en place à l'aide d'un funiculaire 6 (f_1).

En raison de la symétrie, on ne fait la construction que pour la demi-arche.

Art 2. — Vérification. — Calcul des ordonnées à l'origine de R_A .

Prenons les moments autour du centre élastique \mathcal{G} de la résultante R_A et de ses composantes A_1, A_2, A'_1, A'_2 .

$$\mathcal{M}^t \text{ (de } R_A) = \mathcal{M}^t \text{ de } A_2 + \mathcal{M}^t \text{ de } A_1 + \mathcal{M}^t \text{ de } A'_1 + \mathcal{M}^t \text{ de } A'_2$$

$$\begin{aligned} \mathcal{M}^t \text{ de } A_2 &= \mathcal{G} Q_2 \times H_2 = (\mathcal{G} Q'_2 + Q'_2 Q_2) H_2 = \mathcal{G} Q'_2 \times H_2 + Q'_2 Q_2 \times H_2 \\ &= \mathcal{G} Q'_2 \times H'_2 \text{ (puisque } H'_2 = H_2) + c_2 V_2 \text{ (Moment de } A_2 \text{ autour de } Q'_2) \\ &= Q'_2 Q_2 \times H_2 \end{aligned}$$

de même :

$$\mathcal{M}^t \text{ de } A_1 = \mathcal{G} Q'_1 \times H'_1 + c_1 V_1 \quad \mathcal{M}^t \text{ de } A'_1 = \mathcal{G} Q'_1 \times H'_1 \quad \mathcal{M}^t \text{ de } A'_2 = \mathcal{G} Q'_2 \times H'_2$$

$$\mathcal{M}^t \text{ de } R_A = 2 \mathcal{G} Q'_1 \times H'_1 + 2 \mathcal{G} Q'_2 \times H'_2 + c_2 V_2 + c_1 V_1$$

$$= 2 \Sigma H h \left(\begin{smallmatrix} \text{moments des } H \\ \text{sur une 1/2 arche de droite} \end{smallmatrix} \right) + \Sigma V c \left(\begin{smallmatrix} \text{moment des } V \\ \text{sur une 1/2 arche} \end{smallmatrix} \right).$$

Soient m et n les coordonnées à l'origine de \mathcal{R}_A :

$$\mathcal{M}^t \text{ (de } \mathcal{R}_A) = m \Sigma V \text{ (poids mort)} = n 2 \Sigma H \text{ (poussée)}.$$

Voici les calculs pour le pont Antoinette.

TABLEAU VII.

Nos des tranches	Ordonnées de la ligne d'influence de II (funiculaire 5) de la Pl. II	Poussées horizontales (col. 2) \times (col. 6 du Tableau VI) \mathcal{H}	Réactions de l'appui de gauche produites par les charges sur la demi-voûte de droite	
			Distances verticales de ces réactions au centre élastique \mathcal{G} h (à prendre sur la Pl. II).	Moments des réactions autour de \mathcal{G} $\mathcal{H}h$
1	2	3	4	5
1 (clef)	1 ^m 132	20.29	3 ^m 950	80.15
2	1.030	19.94	3.050	60.82
3	0.880	20.95	2.390	50.07
4	0.680	19.98	1.910	38.16
5	0.520	12.65	1.640	20.75
6	0.306	4.67	1.350	6.30
6 ^{bis}	0.244	6.45	1.280	8.25
7	0.155	2.59	1.190	3.08
8	0.052	0.95	1.120	1.06
8 ^{bis}	0.029	1.09	1.100	1.20
9 (retombée)	0.003	0.06	1.025	0.06

$$\begin{aligned} \mathcal{M}^t \text{ de } \mathcal{R}_A &= 2 \times 269.90 (\Sigma Hh, \\ &\text{Tableau VII col. 5}) + 3664.59 (\Sigma Vc) \\ &= 4204.39^{\text{mT}} \end{aligned}$$

$$m = \frac{4204.39^{\text{mT}}}{249^{\text{T}}51 \text{ (poids mort)}} = 16^{\text{m}}851$$

$$n = \frac{4204.39^{\text{mT}}}{2 \times 109^{\text{T}}62 \text{ (poussée)}} = 19^{\text{m}}177$$

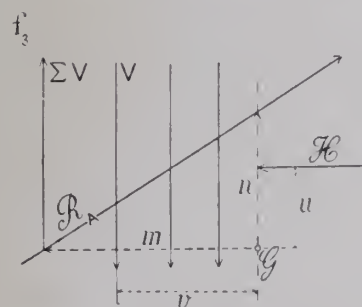
$$\frac{\mathcal{H}}{2} \text{ (demi-poussée)} = \Sigma H = 109^{\text{T}}62$$

$$\Sigma Hh = 269.90^{\text{mT}}$$

$$\mathcal{H} \text{ (poussée)} = 219^{\text{T}}24$$

§ 3. — TRACÉ DU FUNICULAIRE DES PRESSIONS.

EN SE SERVANT DE LA RÉACTION RÉSULTANTE \mathcal{R}_A DE L'APPUI



On trace le funiculaire des charges ayant comme premier côté \mathcal{R}_A mise en place : c'est le polygone des pressions.

Il est bon de vérifier par le calcul son point de passage à la clef :

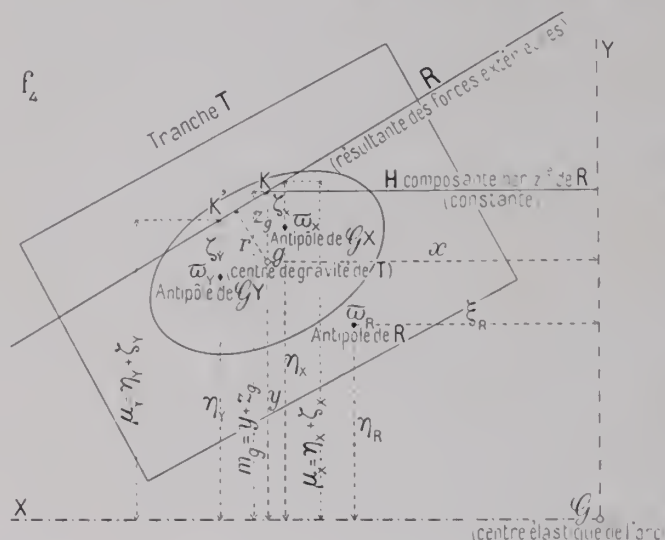
$$u \mathcal{H} = m \Sigma V - \Sigma Vv = 2 \Sigma Hh = 539^{\text{mT}}.80$$

$$u = 2^{\text{m}}.462$$

La courbe des pressions du poids mort est tout entière dans le 1, 3 central : elle s'écarte peu de la fibre moyenne.

§ 4. — COMMENT, DANS UN ARC SYMÉTRIQUE
ET SYMÉTRIQUEMENT CHARGÉ DE POIDS VERTICAUX,
ON TRACE LE FUNICULAIRE DES PRESSIONS,
SANS AVOIR AU PRÉALABLE CONSTRUIT LES RÉACTIONS DES APPUIS.
MÉTHODE DE M. GUIDI

Art. 1. — Si, par des verticales on transporte sur la courbe des pressions les centres de gravité des tranches et les antipôles de l'axe ζY par rapport aux ellipses centrales des tranches, et qu'on construise une ellipse des poids élastiques ainsi déplacés, elle a même centre ζ , mêmes axes de symétrie ζY , ζX que l'ellipse élastique de l'arc.



La résultante R des efforts sur une tranche T (f_z) fait tourner sa section extrême de droite par rapport à sa section extrême de gauche de : $\Delta\theta = Rr \left(\frac{L}{EI} \right) = Rr\varphi$ autour de l'antipôle π_R de R .⁸

Les déplacements du centre élastique ζ , origine des coordonnées, considéré comme invariablement lié à l'appui de droite supposé libre, sont :

$$\Delta\theta = Rr\varphi \quad \Delta Y = Rr\varphi\zeta_R \quad \Delta X = Rr\varphi\eta_R$$

Pour l'arc entier, ensemble des tranches, la somme des déplacements élastiques entre deux appuis invariables est nulle.

$$\Sigma\Delta\theta = 0 \quad \Sigma\Delta Y = 0 \quad \Sigma\Delta X = 0$$

$$\text{ou} \quad \sum_A^B Rr\varphi = 0 \quad \sum_A^B Rr\varphi\zeta_R = 0 \quad \sum_A^B Rr\varphi\eta_R = 0$$

Soit H la composante horizontale de R , laquelle est la même pour toutes les tranches, puisque l'arc n'est soumis qu'à des forces verticales :

$$Rr = H\zeta_g$$

$$\sum_A^B H\zeta_g\varphi = 0 \quad \sum_A^B H\zeta_g\zeta_R\varphi = 0 \quad \sum_A^B H\zeta_g\eta_R\varphi = 0$$

Divisons par la constante H :

$$\sum_A^B \zeta_g\varphi = 0 \quad \sum_A^B \zeta_g\zeta_R\varphi = 0 \quad \sum_A^B \zeta_g\eta_R\varphi = 0$$

Soient π_X , π_Y les antipôles des deux axes ζX , ζY .

Le moment centrifuge de la masse φ par rapport aux deux axes R et ζY peut s'écrire indifféremment¹⁰ $\varphi\zeta_g\zeta_R$ ou $\varphi\zeta_Y^2$. Donc $\zeta_g\zeta_R = \zeta_Y^2$.

7. — *L'arco elastico senza cerniere* — Académie des sciences de Turin — Novembre 1902. *Contributo alla teoria degli archi elastici*. Mai 1908.

8. — VI, p. 125.

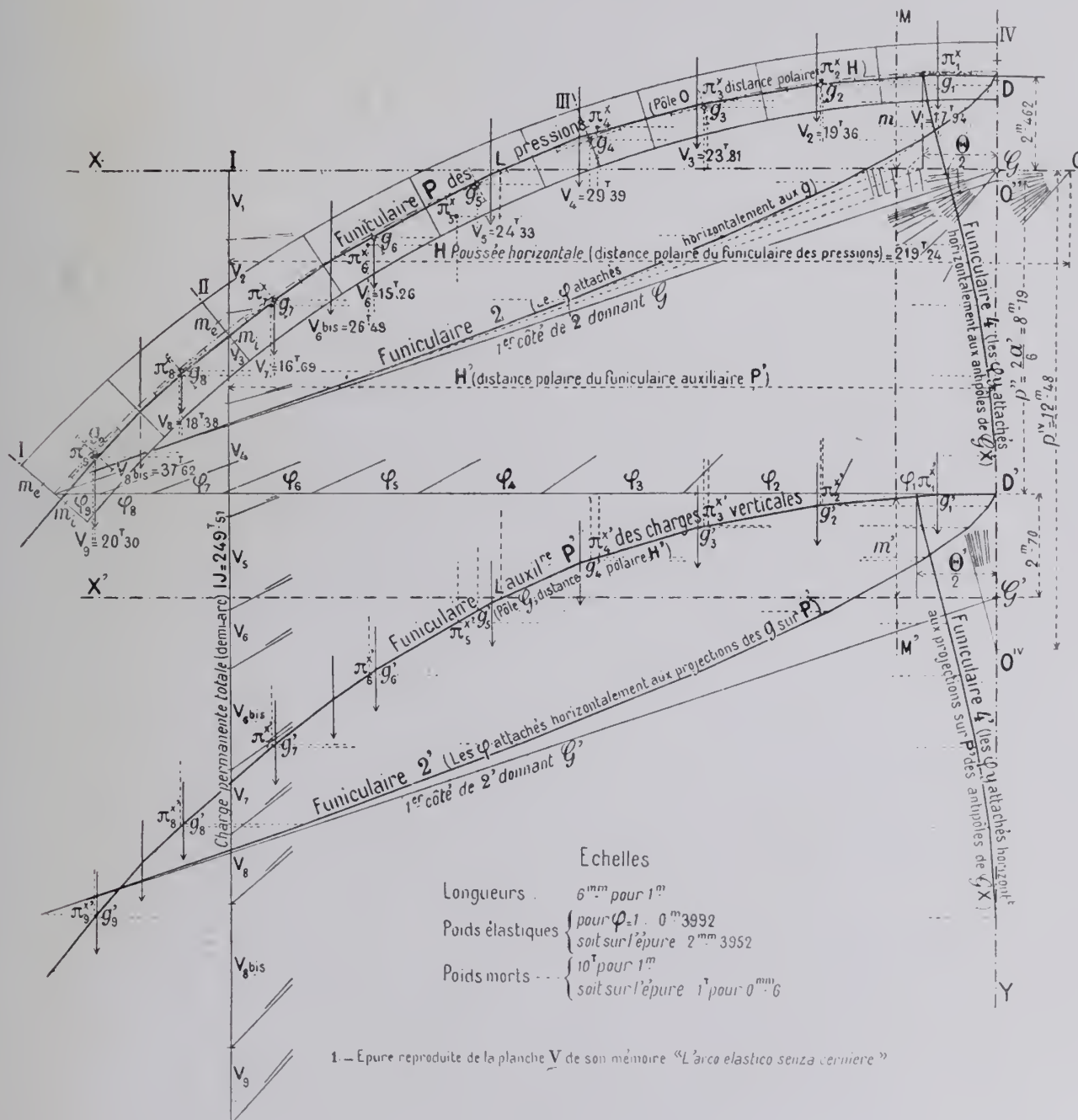
9. — VI, p. 130.

10. — Théorème de Culmann, VI, p. 122.

Pont Antoinette

Courbe de pression sous les poids morts
tracée à l'aide d'un funiculaire auxiliaire P'

sans avoir construit la courbe des intersections ni la courbe enveloppe des réactions
(Méthode de M. Guidi)¹



De même le moment centrifuge de φ par rapport à R et $\mathfrak{E}X$ s'écrira :

$$\varphi z_g \eta_R \quad \text{ou} \quad \varphi \zeta_X y \quad . \quad \text{Donc} \quad z_g \eta_R = \zeta_X y$$

Les trois équations précédentes deviennent :

$$\sum_A^B z_g \varphi_i = 0 \qquad \sum_A^B \zeta_X x \varphi_i = 0 \qquad \sum_A^B \zeta_X y \varphi_i = 0$$

$$\text{soit, en posant} \quad z_g = m_g - y \qquad \zeta_X = \mu_X - \eta_X \qquad \zeta_X = \mu_X - \eta_X$$

$$\sum_A^B m_g \varphi_i - \sum_A^B y \varphi_i = 0 \qquad \sum_A^B \mu_X x \varphi_i - \sum_A^B \eta_X x \varphi_i = 0 \qquad \sum_A^B \mu_X y \varphi_i - \sum_A^B \eta_X y \varphi_i = 0$$

$$\mathfrak{E}X \text{ est un axe de l'ellipse élastique de l'arc : donc } \sum_A^B y \varphi_i = 0$$

$$\mathfrak{E}X, \mathfrak{E}Y \text{ sont les 2 axes : donc } \sum_A^B \eta_X x \varphi_i \left(\begin{array}{l} \text{moment centrifuge des } \varphi_i \\ \text{par rapport à } \mathfrak{E}X \text{ et } \mathfrak{E}Y \end{array} \right) = 0$$

Les trois équations se réduisent à

$$\sum_A^B m_g \varphi_i = 0 \qquad \sum_A^B \mu_X x \varphi_i = 0 \qquad \sum_A^B \mu_X y \varphi_i - \sum_A^B \eta_X y \varphi_i = 0$$

Attachons en K le poids élastique φ .

Si $\sum_A^B m_g \varphi_i = 0$, c'est que $\mathfrak{E}X$ passe par le centre de gravité des φ attachés en K ; $\mathfrak{E}Y$, axe de symétrie, y passe évidemment.

$\sum_A^B \varphi_i \mu_X x$ est le moment centrifuge des φ dont K serait le centre de gravité, K' l'antipôle.

S'il est nul, c'est que $\mathfrak{E}X, \mathfrak{E}Y$, axes de l'ellipse centrale des masses φ attachées aux centres de gravité g des tranches, sont encore les axes de l'ellipse des φ attachées à l'intersection des verticales des g et de la courbe des pressions à construire.

Soient : V_1, V_2, \dots les poids agissant sur l'arc.

Sur une horizontale D', plaçons les poids élastiques φ ; traçons un polygone des φ avec le pôle O'', la distance polaire O'' D' = p'' $\left(= \frac{2a'}{6} = 8^{m19} \right)$, puis le funiculaire **2** (le même que Pl. II), qui place le centre élastique \mathfrak{E} des φ attachées aux g des tranches.

A un point I de $\mathfrak{E}X$ à une distance arbitraire H' de \mathfrak{E} (ici H' = 20^m), suspendons verticalement les poids morts V_1, V_2, \dots et traçons un polygone des forces V avec le pôle \mathfrak{E} , la distance polaire II', puis le funiculaire auxiliaire **P'**.

Aux points d'intersection g'_1, g'_2, \dots des côtés de **P'** avec les verticales de g_1, g_2, \dots appliquons horizontalement les poids élastiques $\varphi_1, \varphi_2, \dots$; à l'aide du polygone O'' de distance polaire p'' , traçons le funiculaire **2'** ; son premier côté coupe $\mathfrak{E}Y$ au centre de gravité \mathfrak{E}' .

Supposons pour un instant tracé le funiculaire **P** des pressions à construire ; soient O le pôle, OI = II la distance polaire (poussée horizontale), OIJ son polygone des forces.

Les 2 funiculaires **P, P'** sont relatifs aux mêmes forces verticales V_1, V_2, \dots ; soient m, m' les segments interceptés sur une verticale MM' par des droites homologues.

Art. 2. — Construction du funiculaire des pressions à l'aide d'un funiculaire auxiliaire (Pl. III).

$$Hm = H'm' \quad (11)$$

Les axes $\mathcal{C}X$, $\mathcal{C}'X'$ sont « homologues ». Leurs intersections L et L' avec \mathbf{P} et \mathbf{P}' sont sur une même verticale.

On a ainsi un premier point L de \mathbf{P} .

Reprenons la troisième équation (p. 153), $\sum_A^B \mu_X y \varphi = \sum_A^B r_X y \varphi$.

Multiplions ses 2 termes par la constante H .

$$\sum_A^B H \mu_X y \varphi = H \sum_A^B r_X y \varphi.$$

Comme on vient de le voir, $H \mu_X = H' \mu'_X$

$$\sum_A^B H' \mu'_X y \varphi = H' \sum_A^B \mu'_X y \varphi = H \sum_A^B r_X y \varphi$$

$$H = H' \frac{\sum_A^B \mu'_X y \varphi}{\sum_A^B r_X y \varphi}$$

$\sum_A^B r_X y \varphi$ est le moment d'inertie de l'arc par rapport à $\mathcal{C}X$ (I_X).

Soit $\Theta = 3^m86$ la distance horizontale des côtés extrêmes du funiculaire **4** (Pl. II)

$$\sum_A^B r_X y \varphi = I_{X^2} = p'' p^{IV} \Theta$$

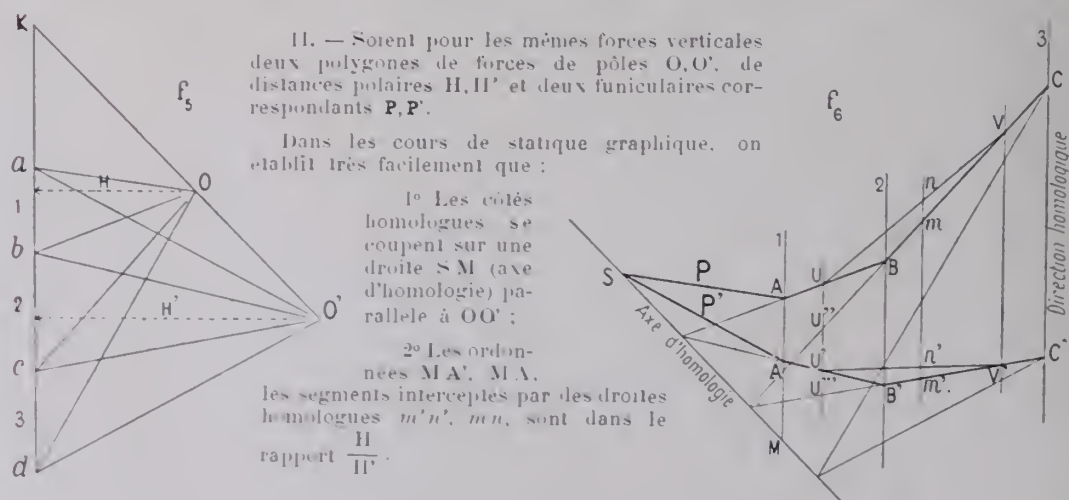
Pour avoir $\sum_A^B \mu'_X y \varphi$, projetons verticalement sur \mathbf{P}' les antipôles de $\mathcal{C}X$; à ces projections, attachons horizontalement les moments statiques $\frac{\varphi y}{p''}$ (ils sont donnés par le funiculaire **2** sur $\mathcal{C}X$). Traçons avec le pôle O^{IV} et la distance polaire p^{IV} un funiculaire **4'** : ses côtés sont parallèles à ceux de **4**.

Soit $\Theta' = 4^m23$ la distance horizontale de ses côtés extrêmes :

$$\sum_A^B \mu'_X y \varphi = p'' p^{IV} \Theta'$$

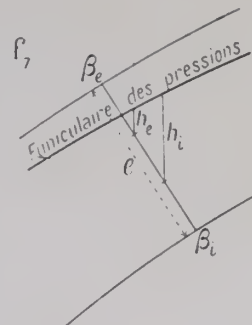
$$H = H' \frac{\Theta'}{\Theta} \quad \left(\text{soit, sur l'épure : } 200 \times \frac{4,23}{3,86} = 219^r,24 \right) \quad \text{Valeur trouvée autrement p. 151, tableau VII}$$

$$\mathcal{C}D = \mathcal{C}'D' \times \frac{H'}{H} = \left(2^m70 \times \frac{200}{219,24} = 2^m462 \right) \quad \text{Valeur trouvée autrement p. 151, § 3.}$$



§ 5. — TRAVAIL PAR $\overline{0^m01^2}$, AU POIDS MORT, A LA CLEF, SUR L'APPUI,
ET DANS 2 SECTIONS INTERMÉDIAIRES

Section (Pl. III)	I (appui)	II	III	IV (clef)
Épaisseur de la voûte e	2 ^m 283	1 ^m 99	1 ^m 63	1 ^m 50
Largeur de l'ouvrage l	5 ^m 76	5 ^m 42	5 ^m 02	4 ^m 88
$\frac{1}{6} \frac{l}{4,74} e^2 = J$ ($\begin{smallmatrix} \text{voir} \\ \text{plus bas} \end{smallmatrix}$)	1.056	0.755	0.469	0.386
Bras de levier $\left\{ \begin{array}{l} \text{Distance verticale des} \\ \text{bords du noyau central} \end{array} \right\} h_i$..	0 ^m 28	0 ^m 27	0 ^m 38	0 ^m 15
à mesurer sur $\left\{ \begin{array}{l} \text{au funiculaire des pres-} \\ \text{ensions.} \end{array} \right\} h_e$..	0 ^m 85	0 ^m 58	0 ^m 18	0 ^m 35
$\mathfrak{M}_i = H (219^T24) h_i$	61 ^{mT} 39	59 ^{mT} 19	83 ^{mT} 31	32 ^{mT} 89
$\mathfrak{M}_e = H h_e$	186 ^{mT} 35	127 ^{mT} 16	39 ^{mT} 46	76 ^{mT} 73
Efforts par $\overline{0^m,01^2}$ $\left\{ \begin{array}{l} \text{à l'intrados } \beta_i = \frac{\mathfrak{M}_e}{10J} \left(\begin{smallmatrix} \text{voir} \\ \text{plus bas} \end{smallmatrix} \right) \\ \text{à l'extrados } \beta_e = \frac{\mathfrak{M}_i}{10J} \left(\begin{smallmatrix} \text{voir} \\ \text{plus bas} \end{smallmatrix} \right) \end{array} \right.$	17 ^k 7	16 ^k 8	8 ^k 4	19 ^k 9
	5 ^k 8	7 ^k 8	17 ^k 8	8 ^k 5



CHAPITRE III

EFFORTS PAR $\overline{0,01^2}$ DUS AUX SURCHARGES ROULANTES§ 1. — SURCHARGE ROULANTE ISOLÉE DE 1^T

Soit V une surcharge isolée de 1^T; à l'aide de la courbe des intersections des réactions et de leur enveloppe, on construit ses deux réactions A et B de composante horizontale H.

Soient S une section, h_i , h_e les distances verticales à A des bords m_i , m_e du noyau central de S

$$\left(\begin{array}{ll} h_i > 0 \text{ au-dessus de } m_i, & < 0 \text{ au-dessous} \\ h_e < 0 \text{ au-dessus de } m_e, & > 0 \text{ au-dessous} \end{array} \right)$$

La poussée H est mesurée sur la verticale de V par l'ordonnée du funiculaire 5 (Pl. II) divisée par $\frac{B}{A}$, funiculaire 3.

$$\text{Soit } J = \frac{1}{6} e^2 \left(\begin{array}{l} \text{épaisseur de} \\ \text{la voûte en S} \end{array} \right) \times l \left(\begin{array}{l} \text{largeur de la voûte} \\ 4^m,74 \end{array} \right)$$

Le travail par $\overline{0^m,01^2}$ dans la section S dû à la surcharge de 1^T placée en V, est (p. 141) :

$$\begin{array}{ll} \text{à l'intrados } \beta_i = \frac{H h_e}{10J} & \text{à l'extrados } \beta_e = \frac{H h_i}{10J} \end{array}$$

(H en tonnes, h_e , h_i , e en mètres)

On a fait les calculs de l'art. 1 pour ces 4 sections et pour 11 positions de la surcharge V : ils sont résumés au tableau VIII. On a tracé ensuite les lignes d'influence de β_i et β_e (Pl. IV).

Art. 1. — Moment de l'effort sur une section S par rapport aux bords du noyau central.

Art. 2. — Lignes d'influence de β_i et β_e pour 4 sections : la retombée (section I), 2 autres sections (II, III), et la clef (IV).

TABLEAU VIII. — Une surcharge roulante isolée de 1 T. se déplaçant de droite à gauche, occupe successivement 11 positions (1 à 11. col. 1)
Calcul pour 4 sections (appui, clef et 2 intermédiaires), des efforts par 0,01² à l'intrados et à l'extrados.

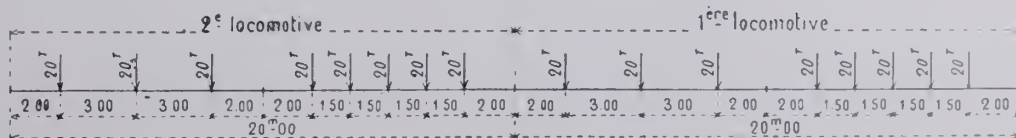
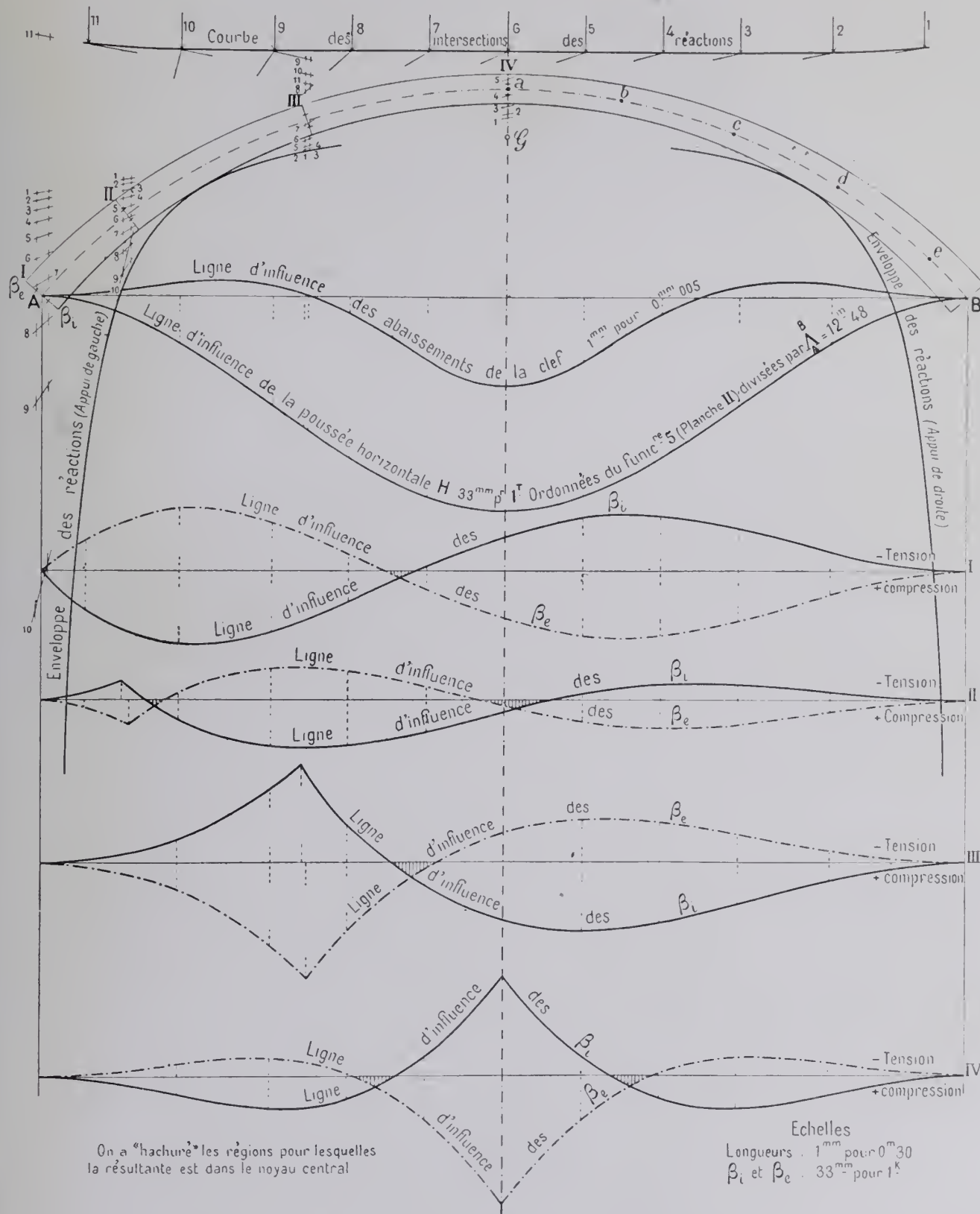
Positions de la surcharge	Section I. — Appui de gauche, J = 1,056				Section II. — J = 0,755				Section III. — J = 0,469				Section IV. — clef, — J = 0,386			
	h_e	h_i	$II h_e$	$II h_i$	$\frac{\beta_e}{10J} = \frac{\beta_i}{10J}$	h_e	h_i	$II h_e$	$II h_i$	$\frac{\beta_e}{10J} = \frac{\beta_i}{10J}$	h_e	h_i	$II h_e$	$II h_i$	$\frac{\beta_e}{10J} = \frac{\beta_i}{10J}$	$\frac{\beta_e}{10J} = \frac{\beta_i}{10J}$
N ^{os}																
1	22,24	0,030	5,40	5,67	0,153	0,170	0,0145	0,0161	k	k	m	m	0,053	0,038	k	k
2	17,28	0,245	4,78	5,35	1,471	1,311	0,1109	0,1243	0,0065	0,0065	1,80	1,26	0,441	0,309	0,0540	0,0659
3	12,40	0,580	4,20	4,81	2,436	2,790	0,2307	0,2642	0,0822	0,1298	1,79	1,23	1,038	0,713	0,2213	0,1529
4	8,25	0,840	3,58	4,22	3,079	3,629	0,2916	0,3437	0,0540	0,1481	1,74	1,18	1,496	1,015	0,3190	0,2164
5	4,13	1,060	2,78	3,45	2,947	3,657	0,2791	0,3463	0,0238	0,1193	1,59	1,00	1,685	1,060	0,3503	0,2260
6	1,132	1,62	2,40	2,40	1,831	2,717	0,1734	0,2572	0,0503	0,0344	1,24	0,65	1,403	0,735	0,2989	0,1567
7	4,13	1,060	0,17	1,00	0,180	1,060	0,0170	0,1004	0,1755	0,0687	0,46	0,17	0,488	0,180	0,1041	0,0384
8	8,25	0,840	2,05	1,05	1,763	0,903	0,1670	0,0855	0,2471	0,1458	1,07	1,99	0,920	1,711	0,1962	0,3648
	0,710										4,04		2,868			0,6115
	0,695										3,52		2,446			0,5215
9	12,40	0,580	5,90	4,58	3,422	2,656	0,3241	0,2515	0,2527	0,1652	3,14	3,00	1,821	2,088	0,3882	0,4452
10	17,28	0,245	4,68	4,18	4,133	3,474	0,3914	0,3290	0,245	0,1034	2,28	2,75	0,559	0,674	0,1192	0,1437
	0,110								1,012							
	0,095								0,1094							
11	22,24	0,030	13,48	13,87	2,196	1,604	0,2079	0,1519	0,268	0,0338	1,83	2,31	0,655	0,069	0,0117	0,0147

12. — On ne peut pas tracer A_{11} . On considère l'autre composante B_{11} dont le moment est
diminué de celui de la résultante $V_{11} = 1^T$.

Pont Antoinette

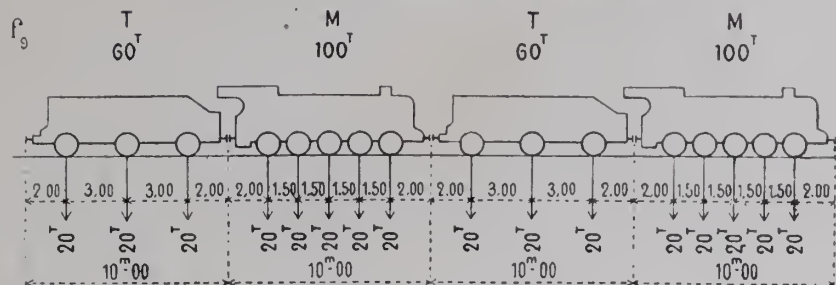
Une charge roulante de 1^T se déplace sur l'arc de droite à gauche

Lignes d'influence
des efforts par 0.01^T à l'intrados et à l'extrados, pour 4 sections
(Appui, clef, 2 intermédiaires)
des abaissements de la clef.



§ 2. — SOUS DEUX LOCOMOTIVES DE 160^T

(Train-type du règlement du 8 Janvier 1915)



On dessine les machines à l'échelle de l'épure ; on les déplace sur les horizontales de base des lignes d'influence ; pour chaque position, on ajoute les ordonnées correspondant aux essieux, multipliées par le poids des essieux ; on cherche pour chaque section la position des machines qui produit les plus grands efforts.

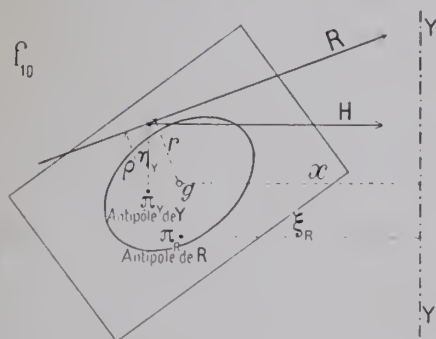
On admet que la surcharge s'étale au niveau de la plate-forme sur une bande de 4^m, c'est-à-dire que le $\frac{1}{4}$ de la surcharge porte sur un anneau de 1^m.

TABLEAU IX. — Maximum et minimum des efforts β_i , β_e ($Kg. \overline{0^m01^2}$)

Sections	β_i		β_e		Position du train allant de l'appui A (gauche) vers l'appui B (droite)			
	MAXIMUM	MINIMUM	MAXIMUM	MINIMUM				
I	+ 10 ^{k7}	— 10 ^{k0}		— 8 ^{k5}	Le 1 ^{er} essieu de la 1 ^{re} locomotive à 14 ^{m00} de A			
					—	2 ^e	—	36.00 —
II	+ 6 ^{k8}	— 1 ^{k7}	+ 12 ^{k5}	— 3 ^{k6}	—	2 ^e	—	34.50 —
			+ 4 ^{k5}	—	1 ^{re}	—	19.50 —	
III	+ 12 ^{k2}	— 8 ^{k9}		— 7 ^{k3}	—	2 ^e	—	39.00 —
			+ 11 ^{k9}	—	2 ^e	—	37.00 —	
IV	+ 4 ^{k4}	— 6 ^{k0}		— 2 ^{k3}	—	1 ^{re}	—	17.00 —
			+ 11 ^{k1}	Une seule locomotive	Le 1 ^{er} essieu à 16 ^{m50} de A			
					—	14.50 —		
						Le 3 ^e essieu sur la clef		

§ 3. — DÉPLACEMENTS VERTICAUX DE LA CLEF
AU PASSAGE DU TRAIN D'ÉPREUVE

Soit R la résultante des actions sur une tranche. Elle déplace verticalement le centre élastique ξ de :



$$\Delta Y = \frac{R r \varphi \xi_R}{E}$$

Mais le moment centrifuge $r \xi_R$ peut s'écrire ρx ;
on a d'ailleurs

$$R \rho = H \eta_Y \quad \text{D'où : } \Delta Y = \frac{H}{E} \eta_Y x \varphi$$

et pour l'ensemble des tranches, de l'appui A à la clef :

$$\omega b = \frac{H}{E} \sum_A^{\text{Clef}} \eta_Y x \varphi \quad E = 2.5 \times 10^9$$

TABLEAU N. — Abaissement de la clef, lorsque la surcharge 1^T occupe les positions a. b. c. d. e. (Pl. IV)

N° d'ordre	φ (Tab. I, col 6)	Abscisses des centres de gravité (Tabl. III, col. 3)	x	φ^x	A la clef		A 6m12 de la clef		A 12m05 de la clef		A 17m51 de la clef		A 22m41 de la clef	
					a <small>Ordonnée de l'antipôle</small> η		η	$\varphi^x \eta$	η	$\varphi^x \eta$	η	$\varphi^x \eta$	η	$\varphi^x \eta$
1	10.4270	1m54	16.1	+ 1m20	+ 19.3	— 0m40	— 6.4	— 1m20	— 19.3	— 1m60	— 25.8	— 1m75	— 28.2	
2	9.9825	4.61	46.0	+ 0.27	+ 12.4	— 0.95	— 43.7	— 1.55	— 71.3	— 1.83	— 84.2	— 1.90	— 87.4	
3	9.1455	7.64	69.9	— 0.45	— 31.5	— 1.30	— 90.9	— 1.65	— 145.3	— 1.80	— 125.8	— 1.83	— 127.9	
4	8.0583	10.62	85.6	— 0.90	— 77.0	— 1.35	— 115.6	— 1.48	— 126.6	— 1.50	— 128.4	— 1.47	— 125.8	
5	6.9782	13.50	94.2	— 1.06	— 99.9	— 1.12	— 105.5	— 1.00	— 94.2	— 0.90	— 84.7	— 0.80	— 75.4	
6	5.7437	16.24	93.3	— 0.90	— 84.0	— 0.57	— 53.2	— 0.26	— 24.3	— 0.05	— 4.7	+ 0.12	+ 11.2	
7	4.6265	18.85	87.2	— 0.42	— 36.6	+ 0.25	+ 21.8	— 0.77	— 67.1	+ 1.15	+ 100.3	+ 1.35	+ 117.7	
8	3.6973	21.28	78.7	+ 0.34	+ 26.8	+ 1.40	+ 110.2	+ 2.10	+ 165.3	+ 2.53	+ 199.1	+ 2.80	+ 220.4	
9	2.8967	23.53	68.2	+ 1.44	+ 98.2	+ 2.80	+ 191.0	+ 3.70	+ 252.3	+ 4.21	+ 287.1	+ 4.50	+ 306.9	
					$\Sigma \varphi^x \eta =$ — 172.3		— 92.3		+ 33.7		+ 132.9		+ 211.5	
Valeurs de H correspondant aux 5 positions de la charge. (Tableau V)														
					11-1.132		0.974		0.602		0.230		0.025	
Abaissement de la clef $\frac{H}{2.5} \cdot \frac{\Sigma \varphi^x \eta}{1000}$														
					mm — 0.078		mm — 0.035		mm — 0.008		mm + 0.012		mm + 0.002	
					mm — 1.56		mm — 0.72		mm + 0.16		mm + 0.24		mm + 0.04	
Pour un poids concentré de 100 ^T sur une largeur de 4m74, soit 20 ^T														

CHAPITRE IV

EFFET D'UN CHANGEMENT DE TEMPÉRATURE DE τ°

A un changement de température correspond ¹³ une translation qui est ici horizontale, donc parallèle à l'axe ξX de l'ellipse élastique ; la droite conjuguée est l'autre axe ξX . La réaction de l'appui est suivant l'axe ξX

Art. 1. — Augmentation de travail.

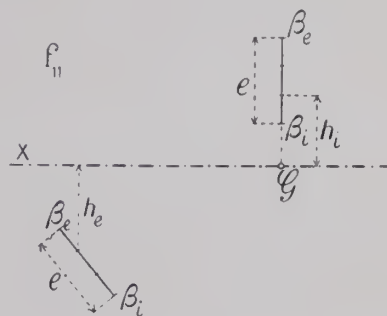
$$H_\tau \text{ (en T)} = \frac{2a' \left(\begin{smallmatrix} \text{portée} \\ \text{en 0.01} \end{smallmatrix} \right) E \left(\text{en T } 0.01^2 = 250 \right) \times \alpha \left(\frac{8}{10^6} \right)}{I_{\xi X^2} \left(\begin{smallmatrix} \text{Moment d'inertie des} \\ \varphi \text{ par rapport à } \xi X \end{smallmatrix} \right)} \tau \quad ^{11}$$

$$2a' = 4914^e \quad I_{\xi X^2} = 9.88 \text{ (tabl. IV, col. 5)} \quad H_\tau = 0.995 \tau$$

On trouve, pour un abaissement de température de τ° , une augmentation d'effort de (p. 155) :

$$\text{A l'intrados de la retombée } \beta_i = \frac{h_e \times 0.995 = 820^e \times 995}{1.056.000} \tau = + 0.77 \tau$$

$$\text{A l'extrados de la clef } \beta_e = \frac{h_i (220^e) \times 995}{386.000} \tau = + 0.57 \tau$$



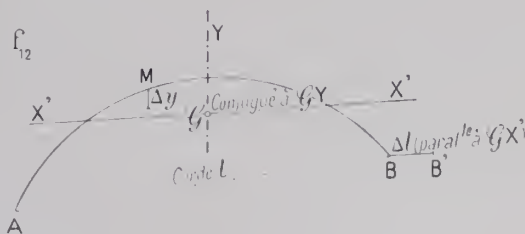
Les ordonnées de la ligne d'influence de la poussée (Pl. IV) représentent à une certaine échelle, les déplacements verticaux dus à une variation de température (M. Guidi) ¹⁵.

Art. 2. — Déplacements verticaux.

En effet, une variation de température τ produit une poussée H_τ suivant $\xi X'$, laquelle déplace verticalement le point M (fig. 12) de :

$$\Delta y = H_\tau \psi p'' p^v \quad (\text{p. 138})$$

La poussée H_τ correspond à une variation de longueur $\Delta l = \alpha \tau l$ de la corde l :



$$\Delta l = H_\tau l_{X'^2} \quad ^{16} = H_\tau \Theta p'' p^{iv} \quad ^{17} = H_\tau p'' p^v \Lambda_A \quad ^{18}$$

On a donc :

$$\frac{\Delta y}{\Delta l} = \frac{\psi}{\Lambda_A} = H \text{ (ordonnée du funiculaire 5)}$$

$$\Delta y = H \Delta l$$

13. — p. 131.

14. — p. 144.

15. — « Una proprietà degli archi elastici », Turin 1905.

16. — Art. 1 ci-dessus.

17. — p. 137.

18. — p. 139.

CHAPITRE V

EFFORTS RÉSULTANTS

[illegible]

TITRE V

VÉRIFICATION GROSSIÈRE DES ÉPURES D'UNE VOÛTE

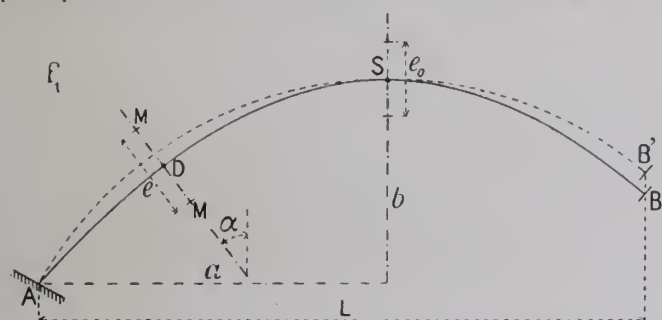
Comparaison avec celles faites pour une voûte dont la fibre moyenne est une parabole $ADSB'$ de même portée L et même montée b , et pour laquelle le moment d'inertie I d'une section MM inclinée de α sur la verticale

$$= \frac{I_0 \left(\begin{smallmatrix} \text{moment} \\ \text{à la clef} \end{smallmatrix} \right)}{\cos \alpha} = I_0 \frac{ds}{dx} (f_1)^2$$

CHAPITRE I

HYPOTHÈSES

Dans tout ce qui va suivre, on supposera donc que la fibre moyenne est une parabole³, puis que le moment d'inertie I d'une section MM a une projection verticale constante. Si la voûte a une largeur uniforme,



$$e = \frac{e_0}{\sqrt[3]{\cos \alpha}}$$

On a fait quelques voûtes à projection verticale constante :

$$e = \frac{e_0}{\cos \alpha}.$$

Pour les ellipses et les arcs, l'épaisseur e ainsi définie est au-dessous des épaisseurs usuelles des voûtes en pierre. Elle l'est encore bien plus avec la formule $\frac{e_0}{\sqrt[3]{\cos \alpha}}$.

Plus loin, dans le calcul des moments d'inertie et centrifuges, on fera encore cette nouvelle hypothèse, que, pour chaque tranche, les rotations $\Delta\theta$ se font autour du centre de gravité et non d'un antipôle : c'est négliger les raccourcissements dus à l'effort normal devant les rotations dues au couple de flexion.

Grâce à toutes ces hypothèses, on calcule et on construit très vite les réactions des appuis dues aux charges, la ligne des intersections de ces réactions et leur enveloppe.

Sans doute, ce ne sont pas celles de la voûte réelle, mais elles les contrôlent fort utilement et garantissent des grosses erreurs, en particulier des erreurs d'échelle.

1. — Pont en béton armé de Langwies, ligne de Coire à Arosa (Suisse). Fibre moyenne de 100^m de portée, 42^m de montée, voisine d'une parabole. (*Schweizerische Bauzeitung* — 22 novembre 1913).

2. — Ces arcs ont été étudiés par Culmann « *Die graphische Statik* », 2^e édition, Zurich, 1875, p. 598 et suivantes. Traduction française de MM. Glasser, Jacquier et Valat — Paris 1880, p. 553 et suivantes.

3. — III, p. 365 — Sur une fibre moyenne en parabole, funiculaire des charges, la ligne de charge est une parabole.

4. — III, p. 344, 346.

ARC PARABOLIQUE DISSYMMÉTRIQUE (Pl. V).

§ 1. — ELLIPSE ÉLASTIQUE

Art. 1. — Poids élastiques.

$$\varphi \text{ (poids élastique d'une tranche } ds) = \frac{ds}{EI} = \frac{dx}{EI_0}$$

$$\Phi_A^B \text{ (somme des poids élastiques de l'arc)} = \int_0^L \varphi = \frac{L}{EI_0}$$

Art. 2. — Centre élastique \mathcal{E} .

$$X_{\mathcal{E}} \Phi_A^B = \int_0^L \varphi X = \frac{1}{EI_0} \int_0^L X dX = \frac{L^2}{2EI_0} \quad X_{\mathcal{E}} = \frac{L}{2}$$

$$Y_{\mathcal{E}} \Phi_A^B = \int_0^L \varphi Y = \frac{1}{EI_0} \int_0^L \frac{b}{a^2} X (2a - X) dX = \frac{b}{3EI_0 a^2} (3a - L) L^2$$

$$Y_{\mathcal{E}} = O\mathcal{E} = \frac{b(3a - L)L}{3a^2} \quad O'\mathcal{E} = O\mathcal{E} - OO' = \frac{bL^2}{6a^2} = \frac{2}{3} b'$$

Le centre élastique est sur la verticale OC du milieu de AB' , à $\frac{b'}{3}$ au-dessous de C .

Art. 3. — Diamètre conjugué à la verticale $\mathcal{E}y$.

$$I_{y^2} = I_{y^2} - \Phi_A^B X_{\mathcal{E}}^2 = \int_0^L X^2 \varphi - \frac{L^3}{4EI_0} = \frac{L^3}{12EI_0} = j_y^2 \Phi_A^B, \quad j_y^2 = \frac{L^2}{12}$$

A. — Moment d'inertie des φ par rapport à $\mathcal{E}y$.

Par rapport à $\mathcal{E}y$, le rayon de gyration est celui d'un rectangle de longueur L .

B. — Direction $\mathcal{E}x'$ conjuguée à la verticale $\mathcal{E}y$.

C'est la droite qui passe par \mathcal{E} et par l'antipôle d'une verticale quelconque, par exemple l'antipôle $\pi(\xi, \eta)$ de AY .

$$\Phi_A^B X_{\mathcal{E}} \xi_V = I_{V^2} \quad \xi_V = \frac{2}{3} L \quad \xi_y = \xi_V - \frac{L}{2} = \frac{L}{6}$$

$$\Phi_A^B X_{\mathcal{E}} \eta_X = I_{XY} = \frac{1}{EI_0} \frac{b}{a^2} \int_0^L X^2 (2a - X) dX = \frac{bL^3(8a - 3L)}{12EI_0 a^2}$$

$$\eta_X = \frac{bL(8a - 3L)}{6a^2} \quad \eta_x = \eta_X - Y_{\mathcal{E}} = \frac{bL(2a - L)}{6a^2} = \frac{Y_1}{6} \left(\begin{array}{l} Y_1 \text{ ordonnée} \\ BB' \text{ de l'appui B} \end{array} \right)$$

$$\text{Tang } \gamma = \frac{\eta_x}{\frac{L}{6}} = \frac{b(2a - L)}{a^2} = \frac{Y_1}{L}$$

$\mathcal{E}x'$ conjugué à $\mathcal{E}y$ est parallèle à la corde AB , à $\frac{b'}{3}$ au-dessous de C .

C. — Longueur de l'axe a'' conjugué à la verticale.

$$a''^2 \cos^2 \gamma = j_y^2 = \frac{L^2}{12} \quad a'' \cos \gamma = j_y = \frac{L \sqrt{3}}{6}$$

Art. 4. — Axe vertical b''

$$I_{x'^2} = \int_0^L \varphi y'^2 = \frac{1}{EI_0} \int_0^L y'^2 dx \quad y' = Y - Y_{\mathcal{E}} - (X - X_{\mathcal{E}}) \text{ tang } \gamma$$

A. — Moment d'inertie des φ par rapport à $\mathcal{E}x'$.

On a donné plus haut Y en X , $Y_{\mathcal{E}}$, $X_{\mathcal{E}}$, $\text{tang } \gamma$: on trouve

$$I_{x'^2} = \frac{b^2 L^5}{180 EI_0 a^4}$$

5. — p. 121. 6. — p. 122.

$$\Phi b''^2 = I_{x^2}$$

$$b''^2 = \frac{b^2 L^4}{180 a^4} \quad b'' = \frac{b L^2}{6 a^2 \sqrt{5}} = \frac{2 b' \sqrt{5}}{15}$$

Le diamètre $\mathcal{G}x'$, $Y = \frac{b L^2}{6 a^2} + X \tan \gamma$ coupe la fibre moyenne aux points :

$$X = \frac{L}{2} \pm \frac{L \sqrt{3}}{6} = \frac{L}{2} \pm j_y$$

c'est-à-dire aux sommets de l'ellipse élastique sur l'axe $\mathcal{G}x'$.

B. — *Axe vertical b'' conjugué à a'' .*

Art. 5. — Intersections de l'ellipse élastique et de la fibre moyenne.

§ 2. — RÉACTIONS R^B , R^A DES APPUIS B ET A DUES A UNE CHARGE VERTICALE V A v DE L'APPUI A

$$\mathcal{M}_A^V(\varphi) = \int_0^v \varphi(r-X) = \frac{1}{EI_0} \int_0^v (r-X) dX = \frac{r^2}{2 EI_0}$$

$$= Z_4^B \left(\text{ordonnée du funiculaire } \mathbf{1}, \overset{V}{\underset{A}{I}} \text{ de la Pl. I} \right) \times p' \left(\text{distance polaire de } \mathbf{1} = \overset{B}{\underset{A}{\Phi}} = \frac{L}{EI_0} \right)$$

$$Z_4^B = \frac{r^2}{2L}$$

Art. 1. — Moment statique des φ par rapport à V .
Funiculaire $\mathbf{1}$.

De même :

$$\mathcal{M}_V^B(\varphi) = \frac{1}{EI_0} \int_v^L (X-r) dX = \frac{1}{EI_0} \frac{(L-r)^2}{2} = Z_1^A p' \quad Z_1^A = \frac{(L-r)^2}{2L}$$

$$\overset{V}{\underset{A}{I}}_{Vg} = \int_0^v \varphi(r-X)(X_{\mathcal{G}} - X) = \frac{r^2(3L-2v)}{12 EI_0}$$

$$= Z_3^B \left(\text{ordonnée du funiculaire } \mathbf{3}, \overset{V}{\underset{A}{I}} \text{ de la Pl. II} \right) \times p' \left(\text{distance polaire de } \mathbf{1} = \frac{L}{EI_0} \right)$$

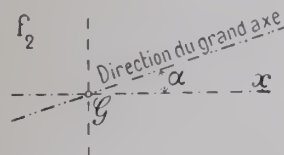
$$\times p'' \left(\text{distance polaire de } \mathbf{3} = \frac{L}{4} \right)$$

$$Z_3^B = \frac{r^2(3L-2v)}{3L^2} \quad Z_3^A = \frac{(L-r)^2(L+2v)}{3L^2}$$

Art. 2. — Moment centrifuge des φ par rapport à V et à $\mathcal{G}g$.
Funiculaire $\mathbf{3}$.

7. — Voici à titre de simple vérification, la direction des axes principaux :

$$I_{y^2} (\text{Art. 3}) = \frac{L^3}{12 EI_0}$$



$$I_{x^2} = I_{x^2} - \overset{B}{\underset{A}{\Phi}} Y_{\mathcal{G}}^2 = \int_0^L Y^2 \varphi - \frac{L}{EI_0} Y_{\mathcal{G}}^2$$

$$= \frac{b^2}{EI_0 a^4} \int_0^L X^2 (2a-X)^2 dx - \frac{L}{EI_0} Y_{\mathcal{G}}^2$$

$$= \frac{b^2 L^3}{45 EI_0 a^4} \left[4(2a-L)^2 + a(L-a) \right] = j_x^2 \frac{L}{EI_0} \quad \text{d'où } j_x$$

$$I_{xy} = I_{xy} - \Phi X_{\mathcal{G}} Y_{\mathcal{G}} = \frac{b L^3}{12 EI_0 a^3} (2a-L)$$

$$\text{Tang. } 2\alpha (\text{p. 119}) = \frac{2 I_{xy}}{I_{y^2} - I_{x^2}} = \frac{2b(2a-L)}{a^2 - \frac{4b^2}{15a^2} \left[4(2a-L)^2 + a(L-a) \right]}$$

courbe en S, symétrique par rapport à F

$$I_A^B y^2 = \frac{L^3}{12 EI_0} = \frac{B}{A} p' p'' = \frac{B}{A} \frac{L}{EI_0} \cdot \frac{L}{4} \quad \frac{B}{A} = \frac{L}{3}$$

Art. 3. — Moment centrifuge des φ par rapport à V et à $\xi_j x'$.

Funiculaire 5.

$$I_{Vx'}^V = \int_0^V \varphi (v - X) y' \quad y' = Y - Y_{\xi_j} - (X - X_{\xi_j}) \text{ tang. } \gamma$$

On a donné plus haut Y en X, Y_{ξ_j} , X_{ξ_j} , tang. γ : on trouve

$$I_{Vx'}^V = \frac{br^2 (L - r)^2}{12 EI_0 a^2} = Z_5 \left(\text{ordonnée du funiculaire 5, } \Psi_A^V \text{ de la Pl. II} \right)$$

$$\times p'' \text{ (distance polaire de 2)} \times p^V \left(\text{distance polaire de 5, } \Theta_A^B \text{ de la Pl. II} \right)$$

$$\text{Or } I_{x'^2}^B = \frac{b^2 L^5}{180 EI_0 a^4} = \frac{B}{A} p'' p^V \left(\text{distance polaire de 4} = \frac{B}{A} = \frac{L}{3} \right) = \frac{B}{A} p'' \frac{L}{3}$$

$$Z_5 = \frac{5 a^2 r^2 (L - r)^2}{b L^4}$$

courbe en chapeau de gendarme — même Z_5 à même distance de part et d'autre de $\xi_j y$.

Art. 4. — Réactions des appuis.

Moment de R par rapport au centre élastique $\frac{Rr}{V}$

$$\frac{M_A^V(\varphi)}{\sum_A \varphi} = \frac{\frac{1}{EI_0} \frac{r^2}{2}}{\frac{L}{EI_0}} = \frac{r^2}{2L} = Z_1^B$$

$$\frac{M_V^B(\varphi)}{\sum_A \varphi} = \frac{\frac{1}{EI_0} \frac{(L - r)^2}{2}}{\frac{L}{EI_0}} = \frac{(L - r)^2}{2L} = Z_1^A$$

Projection verticale de R $\frac{R_y}{V}$

$$\frac{I_{vy}^V}{I_{y^2}^B} = \frac{\frac{r^2 (3L - 2r)}{12 EI_0}}{\frac{1}{EI_0} \frac{L^3}{12}} = \frac{r^2 (3L - 2r)}{L^3} = \frac{Z_2^B}{\frac{L}{3}}$$

$$\frac{I_{vy}^B}{I_{y^2}^A} = \frac{\frac{(L - r)^2 (L + 2r)}{12 EI_0}}{\frac{1}{EI_0} \frac{L^3}{12}} = \frac{(L - r)^2 (L + 2r)}{L^3} = \frac{Z_2^A}{\frac{L}{3}}$$

Projection horizontale de R (poussée horizontale, la même pour les 2 appuis) $\frac{R_x}{V}$

$$\frac{I_{vx'}^V}{I_{x'^2}^B} = \frac{\frac{br^2 (L - r)^2}{12 EI_0 a^2}}{\frac{b^2 L^5}{180 EI_0 a^4}} = \frac{15 r^2 (L - r)^2 a^2}{b L^5} = \frac{Z_5}{\frac{L}{3}}$$

Projection horizontale de l'abscisse à l'origine sur $\xi_j x'$ $m \cos \gamma = \frac{Rr}{R_y}$

$$\frac{L^2}{2 (3L - 2r)}$$

$$-\frac{L^2}{2 (L + 2r)}$$

Ordonnée à l'origine sur $\xi_j y$ $n = \frac{Rr}{R_x}$

$$\frac{b L^4}{30 a^2 (L - r)^2}$$

$$\frac{b L^4}{30 a^2 r^2}$$

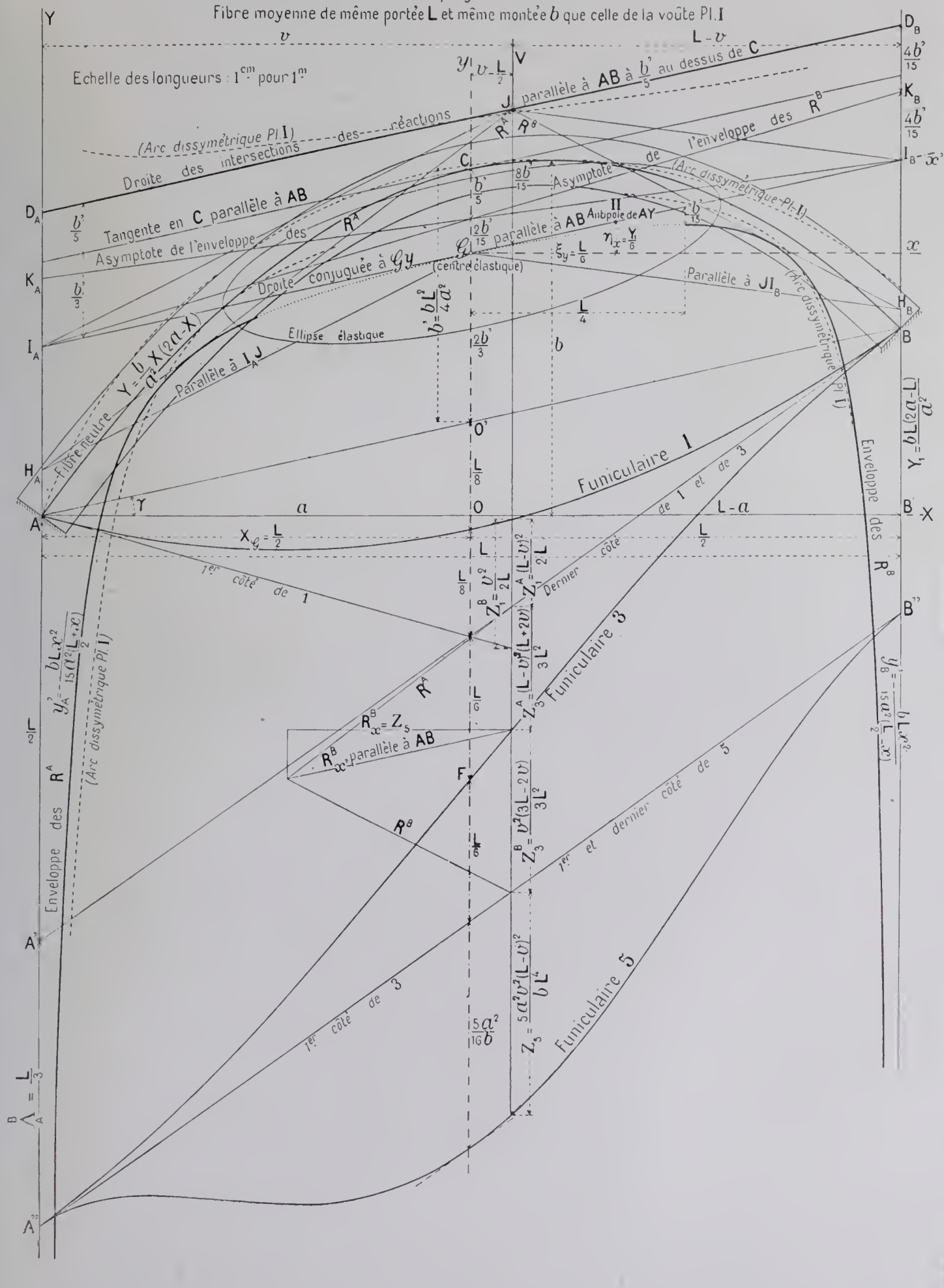
Equation de la ligne d'action de la réaction rapportée à $\xi_j x'$, $\xi_j y$.

$$\frac{30 a^2}{b L^2} (L - r)^2 y' + 2 (3L - 2r) x = L^2$$

$$\frac{30 a^2}{b L^2} r^2 y' - 2 (L + 2r) x = L^2$$

Arc parabolique dissymétrique

à moment d'inertie de projection verticale constante

Fibre moyenne de même portée L et même montée b que celle de la voûte Pl. I



R^B , R^A coupent V au point d'ordonnée $y' = \frac{2bL^2}{15a^2} = \frac{8b'}{15}$, indépendant de v .

Art. 5. — Ligne des intersections des réactions.

La ligne des intersections des réactions est une droite parallèle à $\mathcal{G}x'$ c'est-à-dire à AB, à $\frac{8b'}{15}$ au-dessus de \mathcal{G} , $\frac{b'}{5}$ au-dessus de C.

R^B rencontre $D_B B$ au point H_B d'ordonnée $I_B H_B = -\frac{bL^3}{15a^2(L-v)}$.

Joignons $J I_B$, puis menons $\mathcal{G} H_B$ parallèle à $J I_B$

$$I_B H_B = D_B I_B \frac{\frac{L}{2}}{L-v} = \frac{bL^3}{15a^2(L-v)}$$

On a de même R^A en joignant $J I_A$ et menant $G H_A$ parallèle à $J I_A$.

On vérifie que R^A , R^B sont parallèles à celles qui résultent des funiculaires 3 et 5.

On construit ainsi très facilement les réactions sans tracer leur enveloppe.

Rapportée à $\mathcal{G}x'$, $\mathcal{G}y$, l'enveloppe des R^B est $y' = -\frac{bLx^2}{15a^2\left(\frac{L}{2} - x\right)}$, hyperbole passant

Art. 6. — Enveloppe des réactions.

par \mathcal{G} , tangente en \mathcal{G} à $\mathcal{G}x'$; une asymptote est la verticale de l'appui B $\left(x = \frac{L}{2}\right)$; l'autre $y' = \frac{bL}{15a^2}\left(x + \frac{L}{2}\right)$ coupe $\mathcal{G}y$ à $\frac{bL^2}{30a^2} = \frac{2b'}{15}$ au-dessus de \mathcal{G} et passe par I_A et par K_B milieu de $D_B I_B$.

On construit l'enveloppe en traçant quelques réactions comme l'indique l'article 5; elles la touchent au milieu du segment intercepté sur elles par les deux asymptotes.

L'enveloppe de R^A est l'hyperbole symétrique $y'_A = -\frac{bLx^2}{15a^2\left(\frac{L}{2} + x\right)}$ dont les asymptotes sont :

$$x = -\frac{L}{2} \quad \text{et} \quad y' = -\frac{bL}{15a^2}\left(x - \frac{L}{2}\right).$$

Quand V est sur l'appui A, la réaction R_0^B (la première de l'appui B) laquelle est nulle, coupe $\mathcal{G}y$ à $\frac{bL^2}{30a^2} = \frac{2b'}{15}$ au-dessus de \mathcal{G} , $\mathcal{G}x'$ à $\frac{L}{6}$ à droite de \mathcal{G} . Elle touche l'enveloppe au point $x = \frac{L}{4}$, $y = -\frac{bL^2}{60a^2} = -\frac{b'}{15}$. La partie de l'enveloppe à gauche est parasite.

§ 3. — COMPARAISON AVEC LA VOÛTE RÉELLE DE MÊME PORTÉE

ET MÊME MONTÉE

Sur la planche V on a tracé en traits discontinus les lignes construites pour la voûte réelle (Pl. I): courbe des intersections des réactions, leur enveloppe.

ARC PARABOLIQUE SYMÉTRIQUE DE PORTÉE $2a$ (Pl. VI)(Dans les formules de l'arc dissymétrique, on fera $L = 2a$)

§ 1. — ELLIPSE ÉLASTIQUE

Art. 1. — Centre.

Il est sur l'axe vertical, au tiers de la montée b au-dessous de la clef.

Art. 2. — Longueur des axes.

$$a'' \text{ (axe horizontal)} = \frac{a}{\sqrt{3}}$$

c'est celui d'un rectangle de longueur $2a''$

$$b'' \text{ (axe vertical)} = \frac{2b\sqrt{5}}{15}$$

Art. 3. — Intersections de l'ellipse élastique et de la fibre moyenne.

L'ellipse élastique $\frac{x^2}{\frac{a^2}{3}} + \frac{y^2}{\frac{4b^2}{15}} = 1$ coupe la fibre moyenne $y = b\left(\frac{1}{3} - \frac{x^2}{a^2}\right)$ aux points :

$$x = \pm \frac{a}{\sqrt{3}}, \quad y = 0 \quad \text{c'est-à-dire à ses deux sommets sur } \mathcal{G}x$$

$$x = \pm \frac{a}{\sqrt{15}}, \quad y = \frac{4b}{15}$$

§ 2. — RÉACTIONS R^B , R^A DES APPUIS B ET ADUES A UNE CHARGE VERTICALE V , A r DE L'APPUI AArt. 1. — Moment statique des \mathcal{C} par rapport à V.
Funiculaire 1.Avec $p' = \overset{B}{\underset{A}{\Phi}} = \frac{2a}{EI_0}$, on a (p. 163, art. 1) :

$$Z_1^B = \frac{r^2}{4a^2}, \quad Z_1^A = \frac{(2a-r)^2}{4a}$$

Art. 2. — Moment centrifuge des \mathcal{C} par rapport à V et à $\mathcal{G}y$.
Funiculaire 3.Avec $p'' = \frac{a}{2}$, soit $\overset{B}{\underset{A}{\Lambda}} = \frac{2a}{3}$, on a (p. 163, art. 2) :

$$Z_3^B = \frac{r^2(3a-r)}{6a^2}, \quad Z_3^A = \frac{(2a-r)^2(a+r)}{6a^2}$$

Art. 3. — Moment centrifuge des \mathcal{C} par rapport à V et à $\mathcal{G}x$.
Funiculaire 5.Avec $p^{1V} = \overset{B}{\underset{A}{\Lambda}} = \frac{2a}{3}$, $p^V = \overset{B}{\underset{A}{\Theta}}$, on trouve (p. 164, art. 3) :

$$Z_5 = \frac{5}{16} \frac{r^2(2a-r)^2}{a^2b}$$

		Appui B	Appui A	Art. 4. — Réactions $R^A R^B$ (p. 164 art. 4).
Moment de R par rapport au centre élastique $\frac{Rr}{V}$		$\frac{r^2}{4a} = Z_1^B$	$\frac{(2a-r)^2}{4a} = Z_1^A$	
Projections de R	verticale $\frac{R_y}{V}$	$\frac{r^2(3a-r)}{4a^3} = \frac{Z_3^B}{\frac{2a}{3}}$	$\frac{(2a-r)^2(a+r)}{4a^3} = \frac{Z_3^A}{\frac{2a}{3}}$	
	horizontale $\frac{R_x}{V}$	$\frac{15r^2(2a-r)^2}{32ba^3} = \frac{Z_5}{\frac{2a}{3}}$		
Coordonnées à l'origine \mathcal{G}	sur $\mathcal{G}x$ $m =$	$\frac{a^2}{3a-r}$	$-\frac{a^2}{a+r}$	
	sur $\mathcal{G}y$ $n =$	$\frac{8ba^2}{15(2a-r)^2}$	$\frac{8ba^2}{15r^2}$	
Equation de la ligne d'action de R rapportée à $\mathcal{G}x, \mathcal{G}y$		$\frac{15}{8b}(2a-r)^2y + (3a-r)x = a^2$	$\frac{15r^2}{8b}y - (a+r)x = a^2$	

R^A, R^B coupent V sur une horizontale à $\frac{8b}{15}$ au-dessus de \mathcal{G} , $\frac{b}{5}$ au-dessus de la clef.

Art. 5. — Ligne des
intersections des
réactions.

R^B rencontre DB au point H_B d'ordonnée $y = \frac{8b}{15} \frac{a}{2a-r}$

Joignons JL, puis menons $\mathcal{G}H_B$ parallèle à JL $LH = \frac{DL \times L\mathcal{G}}{DJ} = y$

On a de même R^A .

On construit ainsi très facilement R^B, R^A sans tracer leur enveloppe.

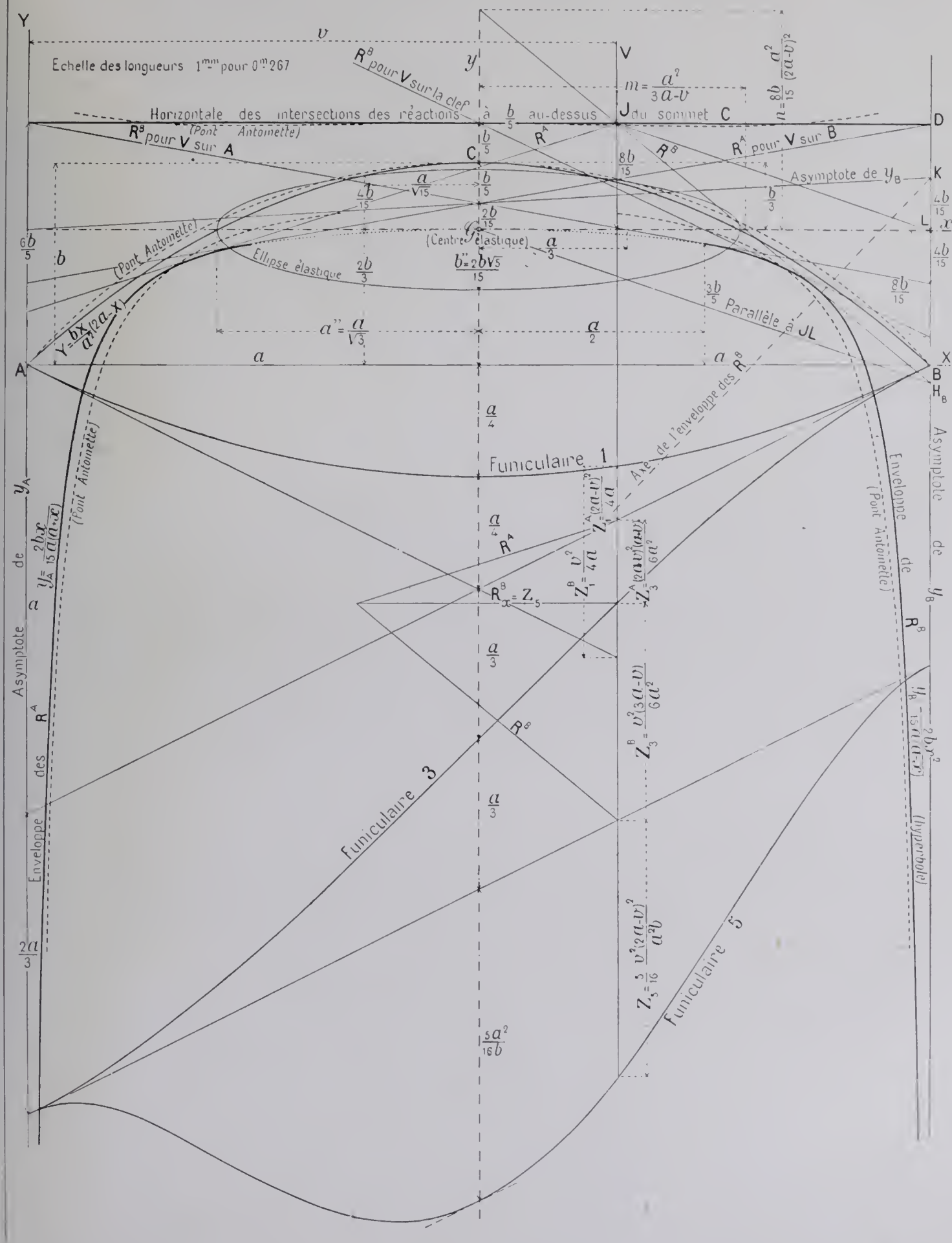
L'enveloppe des R^B est l'hyperbole $y_B = -\frac{2bx^2}{15a(a-x)}$
celle des R^A $y_A = -\frac{2bx^2}{15a(a+x)}$

Art. 6. — Enve-
loppe des réac-
tions.

Mêmes observations que pour l'arc dissymétrique (p. 165 art. 6).

Arc parabolique symétrique

à moment d'inertie de projection verticale constante

Fibre moyenne de la portée $2a$ et de la montée b du pont Antoinette Pl. II

TITRE VI

LES APPUIS DE L'ARC NE SONT PAS INVARIABLES

§ 1. — PRÉAMBULE

Jusqu'ici on a supposé invariables les appuis de l'arc élastique; s'ils ne le sont pas, les efforts calculés sont fort modifiés: par exemple,

si les appuis sont eux-mêmes élastiques (sol élastique, hautes culées élastiques, piles flexibles de hauts viaducs);

si les culées reculent, si les piles ou les culées s'enfoncent inégalement.

Je ne puis allonger encore cette longue étude; je me bornerai à renvoyer aux auteurs qui ont traité ces cas.

§ 2. — VOÛTES SUR PILES ÉLASTIQUES

Les voûtes d'un ouvrage à plusieurs arches sont des arcs élastiques reposant sur des piles élastiques. Dans les calculs usuels, on suppose que chaque arche a ses retombées fixes; c'est exact sous le poids mort pour des ouvrages en palier à arches égales. Mais une surcharge sur une arche l'abaisse, courbe ses 2 piles, d'autant plus flexibles qu'elles sont plus hautes, relève les arches voisines¹.

Le professeur W. Ritter a donné une méthode générale du calcul de l'arc élastique continu sur appuis élastiques, méthode élégante mais d'application fort laborieuse: elle a été exposée par M. Panetti², par M. Lossier³.

M. le professeur Guidi l'applique en limitant la déformation due à une surcharge à l'arche chargée et ses deux voisines⁴.

La méthode Ritter suppose que sous la surcharge, les sommets des piles s'écartent librement: ce n'est pas exact pour les ouvrages à tympan pleins, lesquels travaillent avec les voûtes⁵.

1. — «..... les piles en maçonnerie ne sont pas inébranlables comme le suppose le calcul usuel, mais « fléchissent et pivotent en s'écartant de la travée chargée. Ces mouvements..... ont sur l'équilibre des « ponts à plusieurs arches une influence qu'il n'est pas permis de négliger, et telle qu'au pont du Manoir, « par exemple, un train entrant sur la première arche produit un relèvement sensible de la huitième. »

M. Rabut, *Comptes-rendus de l'Académie des Sciences*, t. 159, p. 652. Séance du 9 novembre 1914.

2. — « *Contributo alla trattazione grafica dell'arco continuo su appoggi elastici* ». (Turin 1901, chez Clausen).

3. — Génie civil, 3 janvier 1903, p. 153. — *Calcul des ponts en maçonnerie. Méthode de M. Ritter.*
15 août 1908, p. 268. — *Calcul des ponts en maçonnerie à plusieurs arches.*

La méthode Ritter y est simplifiée par deux hypothèses:

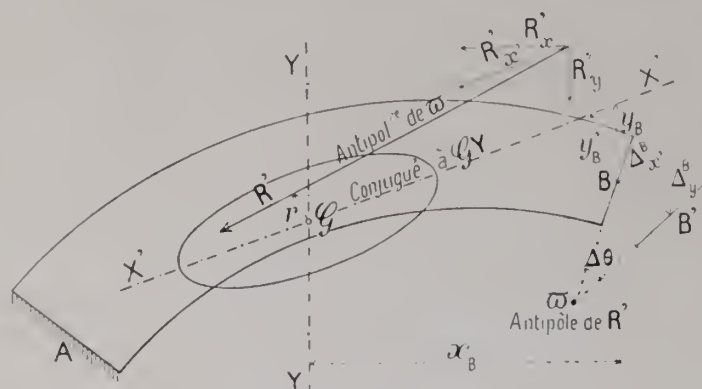
1^o Les retombées des voûtes chargées se déplacent horizontalement, comme sous l'effet d'un changement de température;

2^o Les extrémités des voûtes adjacentes aux voûtes chargées sont fixes.

4. — *L'ellisse di elasticità nella scienza delle costruzioni* (Turin 1904).

5. — III, p. 358, D.

§ 3. — RÉACTION DUE A UN MOUVEMENT NON ÉLASTIQUE DES APPUIS



Imaginons que les appuis d'un arc AB aient reculé, se soient enfoncés inégalement dans le sol ; supposons fixe l'appui A ; B vient en B', tournant de $\Delta\theta$ autour de π .

Cette rotation crée une réaction R' antipolaire de π par rapport à l'ellipse élastique.

$$\Delta\theta = R' r \sum_A^B \varphi^6$$

M. Guidi⁷ observe que \mathcal{G} invariablement lié à l'appui B se déplace 1° de Δ_y^B suivant YY, de Δ_x^B , suivant X'X' ; 2° du fait de la rotation $\Delta\theta$, de $x_B \Delta\theta$ et $y_B' \Delta\theta$

Soient R'_y , R'_x les composantes de la réaction R' . On a (p. 130) :

$$R' r \sum_A^B \varphi = -\Delta\theta$$

$$R'_y \times I_{Y'} \left(\begin{array}{c} \text{moment d'inertie} \\ \text{par rapport à } \mathcal{G}Y' \end{array} \right) = x_B \Delta\theta - \Delta_y^B$$

$$R'_x \times I_{X'} \left(\begin{array}{c} \text{moment d'inertie} \\ \text{par rapport à } \mathcal{G}X' \end{array} \right) = - (y_B' \Delta\theta - \Delta_x^B)$$

Le funiculaire **3** donne $I_{Y'}$, le funiculaire **4**, $I_{X'}$:

On a R'_y , R'_x puis r .

6. — Ritter « *Anwendungen der graphischen statik* » 4^e partie, p. 229. Zurich 1906.

7. — « *Contributo alla teoria degli archi elastici* », Turin 1908.

3^e PARTIE

TABLES

NUMÉRIQUES



FORMULES DE M. BAZIN

Soient, pour un cours d'eau ou un ouvrage d'art,

S la section mouillée en mètres carrés; P le périmètre mouillé en mètres;

R le rayon moyen en mètres de la section S, c'est-à-dire $\frac{S}{P}$;

i la pente en mètres par mètre aux abords de la section S;

u la vitesse moyenne en mètres par seconde de l'eau dans la section S, $u = \alpha \sqrt{i}$.

$$\alpha = \frac{\sqrt{R}}{0.0115 \left(1 + \frac{\gamma}{\sqrt{R}}\right)} = \frac{R}{0.0115 (\sqrt{R} + \gamma)} = \frac{86.9565}{\sqrt{R} + \gamma} R$$

Pour les ouvrages $\left\{ \begin{array}{l} \gamma_1 = 0.06 \text{ — ciment, bois raboté,} \\ \gamma_2 = 0.16 \text{ — plancher, briques, pierre} \\ \gamma_3 = 0.46 \text{ — moellons.} \end{array} \right.$

Pour les cours d'eau $\left\{ \begin{array}{l} \gamma_4 = 0.85 \text{ — talus bien dressés} \\ \gamma_5 = 1.30 \text{ — talus ordinaires.} \\ \gamma_6 = 1.75 \text{ — talus très rugueux.} \end{array} \right.$

Q le débit en mètres cubes qui traverse par seconde la section S, $Q = S u$.

Coefficients $\alpha_1, \alpha_2, \alpha_3, \alpha_4, \alpha_5, \alpha_6$

R Rayon moyen	Ouvrages d'art			Cours d'eau			R Rayon moyen	Ouvrages d'art			Cours d'eau		
	$\gamma_1=0.06$ α_1	$\gamma_2=0.16$ α_2	$\gamma_3=0.46$ α_3	$\gamma_4=0.85$ α_4	$\gamma_5=1.30$ α_5	$\gamma_6=1.75$ α_6		$\gamma_1=0.06$ α_1	$\gamma_2=0.16$ α_2	$\gamma_3=0.46$ α_3	$\gamma_4=0.85$ α_4	$\gamma_5=1.30$ α_5	$\gamma_6=1.75$ α_6
0m05	15.330	11.333	6.360	4.050	2.853	2.203	0m80	72.886	65.974	51.361	39.878	31.700	26.306
0.06	17.101	12.884	7.401	4.764	3.377	2.615	0.90	77.587	70.589	55.556	43.510	34.803	28.999
0.07	18.753	14.336	8.400	5.461	3.891	3.021	1.00	82.034	74.962	59.559	47.003	37.807	31.620
0.08	20.290	15.708	9.364	6.140	4.394	3.422	1.10	86.265	79.129	63.395	50.374	40.723	34.177
0.09	21.739	17.013	10.297	6.805	4.891	3.817	1.20	90.309	83.115	67.085	53.636	43.560	36.671
0.10	23.112	18.259	11.202	7.456	5.380	4.208	1.30	94.188	86.944	70.644	56.800	46.325	39.112
0.11	24.422	19.455	12.082	8.094	5.862	4.595	1.40	97.922	90.632	74.085	59.874	49.024	41.503
0.12	25.675	20.605	12.939	8.723	6.338	4.977	1.50	101.526	94.194	77.421	62.867	51.662	43.847
0.13	26.879	21.715	13.776	9.338	6.808	5.356	1.60	105.011	97.641	80.659	65.785	54.243	46.147
0.14	28.039	22.790	14.594	9.945	7.271	5.731	1.80	111.670	104.233	86.877	71.417	59.251	50.627
0.15	29.160	23.832	15.393	10.541	7.730	6.102	2.00	117.970	110.476	92.792	76.810	64.075	54.962
0.16	30.245	24.844	16.177	11.130	8.184	6.471	2.25	125.418	117.862	99.822	83.256	69.875	60.201
0.18	32.321	26.789	17.700	12.283	9.077	7.198	2.50	132.463	124.855	106.504	89.419	75.453	65.260
0.20	34.288	28.641	19.170	13.406	9.953	7.915	2.75	139.166	131.512	112.887	95.335	80.833	70.161
0.22	36.160	30.412	20.591	14.503	10.814	8.621	3.00	145.507	137.881	119.007	101.032	86.037	74.918
0.24	37.952	32.112	21.970	15.575	11.659	9.317	3.50	157.625	149.863	130.570	111.858	95.983	84.054
0.26	39.671	33.749	23.310	16.625	12.492	10.004	4.00	168.847	161.030	141.392	122.044	105.401	92.753
0.28	41.327	35.330	24.615	17.654	13.311	10.683	4.50	179.384	171.525	151.590	131.693	114.372	101.077
0.30	42.926	36.860	25.887	18.664	14.118	11.353	5.00	189.359	181.456	161.265	140.885	122.956	109.075
0.32	44.473	38.344	27.129	19.655	14.915	12.016	5.50	198.843	190.906	170.490	149.679	131.202	116.782
0.34	45.972	39.786	28.343	20.630	15.700	12.672	6.00	207.906	199.939	179.323	158.127	139.149	124.238
0.36	47.431	41.190	29.532	21.589	16.476	13.321	6.50	216.598	208.604	187.810	166.264	146.828	131.460
0.38	48.849	42.557	30.697	22.533	17.242	13.963	7.00	224.963	216.945	195.989	174.124	154.266	138.473
0.40	50.230	43.892	31.838	23.462	17.999	14.599	7.50	233.034	224.995	203.892	181.734	161.484	145.295
0.45	53.543	47.098	34.603	25.729	19.854	16.164	8.00	240.840	232.781	211.545	189.116	168.502	151.941
0.50	56.678	50.141	37.252	27.922	21.662	17.694	8.50	248.407	240.330	218.969	196.291	175.337	158.425
0.55	59.661	53.044	39.801	30.048	23.425	19.192	9.00	255.754	247.660	226.187	203.274	182.001	164.759
0.60	62.513	55.825	42.260	32.115	25.149	20.666	9.50	262.896	254.791	233.212	210.082	188.509	170.954
0.70	67.884	61.063	46.943	36.089	28.488	23.532	10.00	269.860	261.737	240.060	216.725	194.870	177.018

EXEMPLES :		Ouverture	Pente i	Hauteur d'eau	\sqrt{i}	R	$\frac{u}{\alpha} =$		u	Q
							$\alpha_1 = 29.2$	$\alpha_2 = \frac{21.97 + 23.31}{2} = 22.64$		
{	Buse	0m60	0m005	0m36	0.071	0m15			2m073	0mc293
	Aqueduc.	1m	0m05	0m50	0.224	0m25			5m071	2mc54

TABLE T₁

ÉPAISSEUR A LA CLEF

174

VOÛTES INARTICULÉES EN PLEIN CINTRE DE PORTÉE 2a

$$e_0 = \alpha (1 + \sqrt{2a}) \quad (\text{Tome III, p. 363})$$

Valeurs de e_0 pour 2a variant de 0.60 à 100^m et α de 0.10 à 0.25

(l). — Bonnes moyennes. — Ponts : sous route, 0.15 ; sous voie étroite, 0.17 ; sous voie normale, 0.19.

Portée	Ponts										Portée									
	de					(l)					de					(l)				
	Pons					Pons					Pons					Pons				
	Voies : étroite					Voies : normale					Voies : étroite					Voies : normale				
	Valeurs					Valeurs					Valeurs					Valeurs				
	de					de					de					de				
	e_0					e_0					e_0					e_0				
	pour					pour					pour					pour				
	$\alpha =$					$\alpha =$					$\alpha =$					$\alpha =$				
	0.10					0.15					0.20					0.25				
2a	0.10					0.15					0.20					0.25				
0.60	0.18	0.20	0.22	0.24	0.26	0.27	0.28	0.29	0.31	0.33	0.35	0.37	0.39	0.40	0.42	0.44	0.46	0.48	0.50	0.52
0.70	0.18	0.20	0.22	0.24	0.26	0.28	0.29	0.31	0.33	0.35	0.37	0.39	0.40	0.42	0.44	0.46	0.48	0.50	0.52	0.54
1	0.20	0.22	0.24	0.26	0.28	0.30	0.32	0.34	0.36	0.38	0.40	0.42	0.44	0.46	0.48	0.50	0.52	0.54	0.56	0.58
1.50	0.22	0.24	0.26	0.28	0.30	0.32	0.34	0.36	0.38	0.40	0.42	0.44	0.46	0.48	0.50	0.52	0.54	0.56	0.58	0.60
2	0.24	0.26	0.28	0.30	0.32	0.34	0.36	0.38	0.40	0.42	0.44	0.46	0.48	0.50	0.52	0.54	0.56	0.58	0.60	0.62
2.50	0.26	0.28	0.30	0.32	0.34	0.36	0.38	0.40	0.42	0.44	0.46	0.48	0.50	0.52	0.54	0.56	0.58	0.60	0.62	0.64
3	0.27	0.30	0.33	0.36	0.38	0.41	0.44	0.46	0.49	0.52	0.55	0.57	0.60	0.63	0.66	0.68	0.71	0.74	0.77	0.81
4	0.30	0.33	0.36	0.39	0.42	0.45	0.48	0.51	0.54	0.57	0.60	0.63	0.66	0.69	0.72	0.75	0.78	0.81	0.84	0.88
5	0.32	0.36	0.39	0.42	0.45	0.49	0.52	0.55	0.58	0.61	0.65	0.69	0.72	0.76	0.79	0.83	0.86	0.89	0.92	0.96
6	0.34	0.38	0.41	0.45	0.48	0.52	0.55	0.59	0.62	0.66	0.69	0.73	0.77	0.80	0.84	0.88	0.92	0.96	1.00	1.04
7	0.36	0.40	0.44	0.47	0.51	0.55	0.58	0.62	0.66	0.69	0.73	0.77	0.80	0.84	0.88	0.92	0.96	1.00	1.04	1.08
8	0.38	0.42	0.46	0.50	0.54	0.57	0.61	0.65	0.69	0.73	0.77	0.80	0.84	0.88	0.92	0.96	1.00	1.04	1.08	1.12
9	0.40	0.44	0.48	0.52	0.56	0.60	0.64	0.68	0.72	0.76	0.80	0.84	0.88	0.92	0.96	1.00	1.04	1.08	1.12	1.16
10 ^m	0.42	0.46	0.50	0.54	0.58	0.62	0.67	0.71	0.75	0.79	0.83	0.87	0.92	0.96	1.00	1.04	1.08	1.12	1.16	1.20
11	0.43	0.47	0.52	0.56	0.60	0.65	0.69	0.73	0.78	0.82	0.86	0.91	0.95	0.99	1.04	1.08	1.12	1.16	1.20	1.24
12	0.45	0.49	0.54	0.58	0.62	0.67	0.71	0.76	0.80	0.85	0.89	0.94	0.98	1.03	1.07	1.12	1.16	1.20	1.24	1.28
13	0.46	0.51	0.55	0.60	0.64	0.69	0.74	0.78	0.83	0.88	0.92	0.97	1.01	1.06	1.11	1.15	1.20	1.24	1.28	1.32
14	0.47	0.52	0.57	0.62	0.66	0.71	0.76	0.81	0.85	0.90	0.95	1.00	1.04	1.09	1.14	1.19	1.24	1.28	1.32	1.36
15	0.49	0.54	0.58	0.63	0.68	0.73	0.78	0.83	0.88	0.93	0.97	1.02	1.07	1.12	1.17	1.22	1.27	1.32	1.36	1.41
16	0.50	0.55	0.60	0.65	0.70	0.75	0.80	0.85	0.90	0.95	1.00	1.05	1.10	1.15	1.20	1.25	1.30	1.35	1.40	1.45
17	0.51	0.56	0.61	0.67	0.72	0.77	0.82	0.87	0.92	0.97	1.02	1.08	1.13	1.18	1.23	1.28	1.33	1.38	1.43	1.48
18	0.52	0.58	0.63	0.68	0.73	0.79	0.84	0.89	0.94	1.00	1.05	1.10	1.15	1.20	1.25	1.30	1.35	1.40	1.45	1.50
19	0.54	0.59	0.64	0.70	0.75	0.80	0.86	0.91	0.96	1.02	1.07	1.13	1.18	1.23	1.29	1.34	1.39	1.44	1.49	1.54
20	0.55	0.60	0.66	0.71	0.77	0.82	0.88	0.93	0.98	1.04	1.09	1.15	1.20	1.26	1.31	1.37	1.42	1.47	1.53	1.58

TABLE T,

ÉPAISSEUR A LA CLEF

176

VOÛTES SURBAISSÉES EN ELLIPSE, EN ARC

Portée $2a$ Surbaissement σ

$$e'_0 = \alpha (1 + \sqrt{2a}) \mu = e_0 \left(\begin{array}{c} \text{Épaisseur à la clef} \\ \text{d'une voûte en plein cintre} \\ \text{de portée } 2a \text{ Table } T_2 \end{array} \right) \times \mu$$

Valeurs de μ

σ	μ		σ	μ		σ	μ	
	Ellipse	Arc		Ellipse	Arc		Ellipse	Arc
$0.50 = \frac{1}{2}$	1	1	0.31	1.1049	1.0481	$0.1428 = \frac{1}{7}$	1.2170	1.1701
0.49	1.0050	1.0001	0.30	1.1111	1.0533	0.14	1.2195	1.1728
0.48	1.0101	1.0005	0.29	1.1173	1.0588	$0.1333 = \frac{1}{7.5}$	1.2244	1.1791
0.47	1.0152	1.0012	$0.2887 = \frac{1}{2.3}$	1.1181	1.0593	0.13	1.2269	1.1825
0.46	1.0204	1.0021	μ	1.1235	1.0645	$0.125 = \frac{1}{8}$	1.2307	1.1874
0.45	1.0256	1.0033				0.12	"	1.1925
0.44	1.0309	1.0046				$0.1111 = \frac{1}{9}$	"	1.2014
0.43	1.0362	1.0065				0.11	"	1.2028
0.42	1.0416	1.0085				0.10	"	1.2133
0.41	1.0471	1.0108	$0.25 = \frac{1}{4}$	1.1428	1.0833	"	"	1.2229
0.40	1.0526	1.0133	0.24	1.1494	1.0901	$0.091 = \frac{1}{11}$	"	1.2241
0.39	1.0582	1.0161	0.23	1.1560	1.0972	0.09	"	1.2314
0.38	1.0638	1.0192	0.22	1.1627	1.1045	$0.0833 = \frac{1}{12}$	"	"
0.37	1.0695	1.0225	0.21	1.1695	1.1121	$1. - \mu \left(\begin{array}{c} \text{Tome III} \\ \text{p. 313} \end{array} \right) = \left(\begin{array}{c} \text{Ellipses } \frac{4}{3+2\sigma} \\ \text{Arcs } \frac{4}{3} (1 - \sigma + \sigma^2) \end{array} \right)$		
0.36	1.0748	1.0261	$0.20 = \frac{1}{5}$	1.1764	1.1200			
0.35	1.0810	1.0300	0.19	1.1834	1.1281			
0.34	1.0869	1.0348	0.18	1.1904	1.1365			
0.3333 = $\frac{1}{3}$	1.0909	1.0372	0.17	1.1976	1.1452			
0.33	1.0928	1.0385	$0.1666 = \frac{1}{6}$	1.2000	1.1460	$1. - \mu \left(\begin{array}{c} \text{Tome III} \\ \text{p. 313} \end{array} \right) = \left(\begin{array}{c} \text{Ellipses } \frac{4}{3+2\sigma} \\ \text{Arcs } \frac{4}{3} (1 - \sigma + \sigma^2) \end{array} \right)$		
0.32	1.0989	1.0432	0.16	1.2048	1.1543			
			0.15	1.2121	1.1633			

TABLE T,

FRUIT MINIMUM φ A DONNER AU TYMPAN CONVEXE

DES PONTS OU VIADUCS EN COURBE DE RAYON R

POUR QU'AUCUN POINT DE L'INTRADOS DU BANDEAU NE SOIT EN PORTE-A-FAUX

PAR RAPPORT A UN POINT PLUS BAS: MIN $\varphi = \frac{r}{R}$ (p. 89).

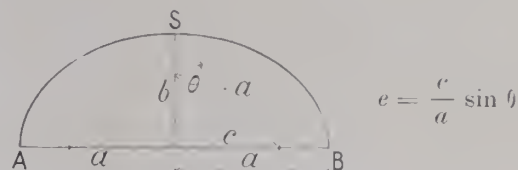
r est: pour un plein cintre et un arc de cercle, le rayon de l'intrados — ($2r$ est la portée d'un plein cintre);
pour une ellipse, le rayon de courbure au sommet.

$2r$	Valeurs de φ pour R =										$2r$	Valeurs de φ pour R =									
	150 ^m	200 ^m	250 ^m	300 ^m	350 ^m	400 ^m	500 ^m	600 ^m	700 ^m	800 ^m		150 ^m	200 ^m	250 ^m	300 ^m	350 ^m	400 ^m	500 ^m	600 ^m	700 ^m	800 ^m
4 ^m	13.3	10.0	8.0	6.7	5.7	5.0	4.0	3.3	2.9	2.5	32 ^m	106.7	80.0	64.0	53.3	45.7	40.0	32.0	26.7	22.9	20.0
5	16.7	12.5	10.0	8.3	7.1	6.3	5.0	4.2	3.6	3.1	33	110.0	82.5	66.0	55.0	47.1	41.3	33.0	27.5	23.6	20.6
6	20.0	15.0	12.0	10.0	8.6	7.5	6.0	5.0	4.3	3.8	34	113.3	85.0	68.0	56.7	48.6	42.5	34.0	28.3	24.3	21.3
7	23.3	17.5	14.0	11.7	10.0	8.8	7.0	5.8	5.0	4.4	35	116.7	87.5	70.0	58.3	50.0	43.8	35.0	29.2	25.0	21.9
8	26.7	20.0	16.0	13.3	11.4	10.0	8.0	6.7	5.7	5.0	36	120.0	90.0	72.0	60.0	51.4	45.0	36.0	30.0	25.7	22.5
9	30.0	22.5	18.0	15.0	12.8	11.3	9.0	7.5	6.4	5.6	37	123.3	92.5	74.0	61.7	52.8	46.3	37.0	30.8	26.4	23.1
10	33.3	25.0	20.0	16.7	14.2	12.5	10.0	8.3	7.1	6.3	38	126.7	95.0	76.0	63.3	54.2	47.5	38.0	31.7	27.1	23.8
11	36.7	27.5	22.0	18.3	15.7	13.8	11.0	9.2	7.9	6.9	39	130.0	97.5	78.0	65.0	55.7	48.8	39.0	32.5	27.9	24.4
12	40.0	30.0	24.0	20.0	17.1	15.0	12.0	10.0	8.6	7.5	40	133.3	100.0	80.0	66.7	57.1	50.0	40.0	33.3	28.6	25.0
13	43.3	32.5	26.0	21.7	18.6	16.3	13.0	10.8	9.3	8.1	41	136.7	102.5	82.0	68.3	58.6	51.3	41.0	34.2	29.3	25.6
14	46.7	35.0	28.0	23.3	20.0	17.5	14.0	11.7	10.0	8.8	42	140.0	105.0	84.0	70.0	60.0	52.5	42.0	35.0	30.0	26.3
15	50.0	37.5	30.0	25.0	21.4	18.8	15.0	12.5	10.7	9.4	43	143.3	107.5	86.0	71.7	61.4	53.8	43.0	35.8	30.7	26.9
16	53.3	40.0	32.0	26.7	22.8	20.0	16.0	13.3	11.4	10.0	44	146.7	110.0	88.0	73.3	62.8	55.0	44.0	36.7	31.4	27.5
17	56.7	42.5	34.0	28.3	24.2	21.3	17.0	14.2	12.1	10.6	45	150.0	112.5	90.0	75.0	64.2	56.3	45.0	37.5	32.1	28.1
18	60.0	45.0	36.0	30.0	25.7	22.5	18.0	15.0	12.9	11.3	46	153.3	115.0	92.0	76.7	65.7	57.5	46.0	38.3	32.9	28.8
19	63.3	47.5	38.0	31.7	27.1	23.8	19.0	15.8	13.6	11.9	47	156.7	117.5	94.0	78.3	67.1	58.8	47.0	39.2	33.6	29.4
20	66.7	50.0	40.0	33.3	28.6	25.0	20.0	16.7	14.3	12.5	48	160.0	120.0	96.0	80.0	68.6	60.0	48.0	40.0	34.3	30.0
21	70.0	52.5	42.0	35.0	30.0	26.3	21.0	17.5	15.0	13.1	49	163.3	122.5	98.0	81.7	70.0	61.3	49.0	40.8	35.0	30.6
22	73.3	55.0	44.0	36.7	31.4	27.5	22.0	18.3	15.7	13.8	50	166.7	125.0	100.0	83.3	71.4	62.5	50.0	41.7	35.7	31.3
23	76.7	57.5	46.0	38.3	32.8	28.8	23.0	19.2	16.4	14.4	51	170.0	127.5	102.0	85.0	72.8	63.8	51.0	42.5	36.4	31.9
24	80.0	60.0	48.0	40.0	34.2	30.0	24.0	20.0	17.1	15.0	52	173.3	130.0	104.0	86.7	74.2	65.0	52.0	43.3	37.1	32.5
25	83.3	62.5	50.0	41.7	35.7	31.3	25.0	20.8	17.9	15.6	53	176.7	132.5	106.0	88.3	75.7	66.3	53.0	44.2	37.9	33.1
26	86.7	65.0	52.0	43.3	37.1	32.5	26.0	21.7	18.6	16.3	54	180.0	135.0	108.0	90.0	77.1	67.5	54.0	45.0	38.6	33.8
27	90.0	67.5	54.0	45.0	38.6	33.8	27.0	22.5	19.3	16.9	55	183.3	137.5	110.0	91.7	78.6	68.8	55.0	45.8	39.3	34.4
28	93.3	70.0	56.0	46.7	40.0	35.0	28.0	23.3	20.0	17.5	56	186.7	140.0	112.0	93.3	80.0	70.0	56.0	46.7	40.0	35.0
29	96.7	72.5	58.0	48.3	41.4	36.3	29.0	24.2	20.7	18.1	57	190.0	142.5	114.0	95.0	81.4	71.3	57.0	47.5	40.7	35.6
30	100.0	75.0	60.0	50.0	42.8	37.5	30.0	25.0	21.4	18.8	58	193.3	145.0	116.0	96.7	82.8	72.5	58.0	48.3	41.4	36.3
31	103.3	77.5	62.0	51.7	44.2	38.8	31.0	25.8	22.1	19.4	60	200.0	150.0	120.0	100.0	85.7	75.0	60.0	50.0	42.9	37.5

TABLE T.

DÉVELOPPEMENT $ASB = L^1$ D'UNE ELLIPSE DE SURBAISSEMENT $\epsilon = \frac{b}{2a}$

$\theta =$ Arc sin $\frac{c}{a}$	σ $= \frac{1}{2} \cos \theta$	Diffé- rences	$\frac{L}{2a}$	Diffé- rences
35°	0.409 576	5067	1.432 291	7531
36°	0.404 509	5191	1.424 760	7685
37°	0.399 318	5312	1.417 075	7835
38°	0.394 006	5433	1.409 240	7980
39°	0.388 573	5551	1.401 260	8120
40°	0.383 022	5667	1.393 140	8253
41°	0.377 355	5782	1.384 887	8383
42°	0.371 573	5896	1.376 504	8505
43°	0.365 677	6077	1.367 999	8622
44°	0.359 670	6117	1.359 377	8733
45°	0.353 553	6224	1.350 644	8838
46°	0.347 329	6330	1.341 806	8936
47°	0.340 999	6433	1.332 870	9028
48°	0.334 566	6536	1.323 842	9112
49°	0.328 030	6636	1.314 730	9191
50°	0.321 394	6734	1.305 539	9261
51°	0.314 660	6829	1.296 278	9324
52°	0.307 831	6923	1.286 954	9380
53°	0.300 908	7015	1.277 574	9427
54°	0.293 893	7105	1.268 147	9467
55°	0.286 788	7191	1.258 680	9498
56°	0.279 597	7277	1.249 182	9521
57°	0.272 320	7360	1.239 661	9534
58°	0.264 960	7441	1.230 127	9538
59°	0.257 519	7519	1.220 589	9533
60°	0.250 000	7595	1.211 056	9518
61°	0.242 405	7669	1.201 538	9492
62°	0.234 736	7741	1.192 046	9457
63°	0.226 995	7809	1.182 589	9410
64°	0.219 186	7877	1.173 179	9351
65°	0.211 309	7940	1.163 828	9281
66°	0.203 369	8003	1.154 547	9199
67°	0.195 366	8062	1.145 348	9104
68°	0.187 304	8120	1.136 244	8986
69°	0.179 184	8174	1.127 250	8872
70°	0.171 010	8226	1.118 378	8735
71°	0.162 784	8275	1.109 643	8581
72°	0.154 509	8323	1.101 062	8412
73°	0.146 186	8367	1.092 650	8225
74°	0.137 819	8409	1.084 425	8020
75°	0.129 410	8449	1.076 405	7795
76°	0.120 961		1.068 610	



L est aussi donné par la série :

$$L = \pi a \left\{ 1 - \left(\frac{e}{2}\right)^2 - \frac{1}{3} \left(\frac{1 \cdot 3}{2 \cdot 4} e^2\right)^2 - \frac{1}{5} \left(\frac{1 \cdot 3 \cdot 5}{2 \cdot 4 \cdot 6} e^3\right)^2 - \dots \right\}$$

$$\left\{ - \frac{1}{2p-1} \left(\frac{1 \cdot 3 \cdot 5 \dots (2p-1)}{2 \cdot 4 \cdot 6 \dots 2p} e^p\right)^2 - \dots \dots \right\}$$

Elle est très lentement convergente :

on lui préférera la formule de Houël :

$$L = \pi \frac{a+b}{2} \left[1 + \frac{1}{8} \left(\frac{a-b}{a+b}\right)^2 + \frac{1}{256} \left(\frac{a-b}{a+b}\right)^6 \right]$$

Application :

	Pont de Chalonnnes	Pont de Marmande
$2a$	30m	30m
σ	$\frac{1}{4} = 0,25$	$\frac{1}{3,6} = 0,277 \ 777$
L (Table T ₃)	36m332	44m885
L (Formule Houël) ..	36m331	44m884

1. — Extrait des tables de Legendre, « *Traité des fonctions elliptiques et des intégrales eulériennes...* » par A. M. Legendre... Paris — Imprimerie de Huzard-Courcier (1825-1826) 2^e volume, page 291.

TABLE T₆. Pression normale p en kilog. sur un mq de douelle de cintre, à une distance α de la clef

$$p = \gamma c \left(1 + \frac{c}{2R} \right) \sqrt{\cos \frac{4}{3} \alpha}, \text{ ou, pour les grandes voûtes, } \gamma c \sqrt{\cos \frac{4}{3} \alpha}$$

γ , densité de la maçonnerie; R , rayon de courbure de l'intrados; c , épaisseur du rouleau à α de la clef

Distances angulaires à la clef α	$\log \sqrt{\cos \frac{4}{3} \alpha}$	$\text{colog } \sqrt{\cos \frac{4}{3} \alpha}$	$\sqrt{\cos \frac{4}{3} \alpha}$	$\frac{1}{\sqrt{\cos \frac{4}{3} \alpha}}$	Distances angulaires à la clef α	$\log \sqrt{\cos \frac{4}{3} \alpha}$	$\text{colog } \sqrt{\cos \frac{4}{3} \alpha}$	$\sqrt{\cos \frac{4}{3} \alpha}$	$\frac{1}{\sqrt{\cos \frac{4}{3} \alpha}}$
0°	0	0	1	1	35°	1.918238	0.081762	0.828396	1.207152
1	1.999941	0.000059	0.999864	1.000136	36	1.912755	0.087245	0.818003	1.222489
2	1.999764	0.000236	0.999457	1.000544	37	1.907009	0.092991	0.807252	1.238771
3	1.999470	0.000530	0.998780	1.001221	38	1.900986	0.099014	0.796134	1.256071
4	1.999058	0.000942	0.997834	1.002172	39	1.894671	0.105329	0.784641	1.274468
5	1.998526	0.001474	0.996612	1.003400	40	1.888045	0.111955	0.772761	1.294062
6	1.997876	0.002124	0.995121	1.004903	41	1.881088	0.118912	0.760481	1.314958
7	1.997106	0.002894	0.993359	1.006686	42	1.873781	0.126219	0.747792	1.337270
8	1.996215	0.003785	0.991323	1.008753	43	1.866096	0.133904	0.734676	1.361144
9	1.995202	0.004798	0.989013	1.011109	44	1.858008	0.141992	0.721121	1.386730
10	1.994066	0.005934	0.986429	1.013758	45	1.849485	0.150515	0.707107	1.414214
11	1.992806	0.007194	0.983571	1.016702	46	1.840491	0.159509	0.692614	1.443807
12	1.991421	0.008579	0.980440	1.019950	47	1.830985	0.169015	0.677619	1.475757
13	1.989908	0.010092	0.977030	1.023510	48	1.820921	0.179079	0.662096	1.510355
14	1.988266	0.011734	0.973343	1.027387	49	1.810244	0.189756	0.646017	1.547947
15	1.986493	0.013507	0.969378	1.031590	50	1.798891	0.201109	0.629348	1.588952
16	1.984586	0.015414	0.965131	1.036129	51	1.786787	0.213213	0.612051	1.633854
17	1.982545	0.017455	0.960605	1.041010	52	1.773844	0.226156	0.594079	1.683278
18	1.980365	0.019635	0.955795	1.046249	53	1.759955	0.240045	0.575380	1.737980
19	1.978044	0.021956	0.950701	1.051856	54	1.744991	0.255009	0.555892	1.798908
20	1.975579	0.024421	0.945319	1.057842	55	1.728792	0.271208	0.535540	1.867274
21	1.972967	0.027033	0.939652	1.064226	56	1.711159	0.288841	0.514232	1.944648
22	1.970204	0.029796	0.933693	1.071017	57	1.691837	0.308163	0.491855	2.033121
23	1.967287	0.032713	0.927442	1.078236	58	1.670498	0.329502	0.468272	2.135512
24	1.964210	0.035790	0.920895	1.085900	59	1.646699	0.353301	0.443301	2.255802
25	1.960970	0.039030	0.914030	1.094033	60	1.619835	0.380165	0.416711	2.399753
26	1.957561	0.042439	0.906904	1.102654	61	1.589036	0.410964	0.388182	2.576107
27	1.953979	0.046021	0.899454	1.111785	62	1.552996	0.447004	0.357270	2.799007
28	1.950216	0.049784	0.891694	1.121461	63	1.509617	0.490383	0.323308	3.093028
29	1.946268	0.053732	0.883625	1.131702	64	1.455202	0.544798	0.285234	3.505887
30	1.942127	0.057873	0.875240	1.142545	65	1.382255	0.617745	0.241132	4.147105
31	1.937785	0.062215	0.866533	1.154025	66	1.271409	0.728591	0.186814	5.352923
32	1.933235	0.066765	0.857502	1.166178	67	1.032888	0.967112	0.107867	9.270681
33	1.928467	0.071533	0.848139	1.179052	67°30	— ∞	+ ∞	0	+ ∞
34	1.923472	0.076528	0.838440	1.192691					

TABLE T₇. — Compression moyenne β_m en kilog. à admettre par 0^m01² de section transversale

d'une pièce de bois comprimée, pour un élanement $\varphi = \frac{L \text{ (Longueur libre)}}{b \text{ (plus petit côté ou diamètre)}}$:

$$\text{Pièces carrées ou rectangulaires } \beta_m = \frac{80}{1 + \left(\frac{\varphi}{24} \right)^2} \quad \text{Pieux ronds } \beta_m = \frac{60}{1 + \frac{1}{3} \left(\frac{\varphi}{12} \right)^2}$$

φ	β_m		φ	β_m		φ	β_m		φ	β_m	
	Pièces carrées ou rectangulaires	Pieux ronds		Pièces carrées ou rectangulaires	Pieux ronds		Pièces carrées ou rectangulaires	Pieux ronds		Pièces carrées ou rectangulaires	Pieux ronds
0	80°00	60°00	13	61°85	43°13	26	36°80	23°39	39	21°97	13°27
1	79 86	59 86	14	59 69	41 27	27	35 31	22 33	40	21 18	12 76
2	79 45	59 45	15	57 53	39 45	28	33 88	21 32	41	20 42	12 27
3	78 77	58 78	16	55 38	37 67	29	32 52	20 36	42	19 69	11 80
4	77 84	57 86	17	53 27	35 95	30	31 22	19 46	43	19 00	11 36
5	76 67	56 72	18	51 20	34 29	31	29 98	18 61	44	18 34	10 95
6	75 29	55 38	19	49 18	32 69	32	28 80	17 80	45	17 72	10 55
7	73 73	53 89	20	47 21	31 15	33	27 68	17 04	46	17 12	10 17
8	72 00	52 26	21	45 31	29 69	34	26 61	16 32	47	16 55	9 81
9	70 14	50 53	22	43 47	28 30	35	25 59	15 64	48	16 00	9 47
10	68 17	48 72	23	41 70	26 97	36	24 61	15 00	49	15 48	9 15
11	66 11	46 87	24	40 00	25 71	37	23 69	14 39	50	14 98	8 84
12	64 00	45 00	25	38 36	24 52	38	22 81	13 82			

ANNEXES

PONTS A VOÛTES

INARTICULÉES OU ARTICULÉES

DE 40^m ET PLUS DE PORTÉE

ACHEVÉS APRÈS 1912

TABLEAUX SYNOPTIQUES

MONOGRAPHIES

PONT	PROJET							
	ENSEMBLE		GRANDE VOÛTE					1°
	Longueur <i>entre abouts des parapets</i>	Largeurs <i>entre parapets entre tympans sous la plinthe</i>	INTRADOS Portée	ÉPAISSEURS		MATÉRIAUX <i>Mortier</i> <i>Poids, pour 1^m de sable, de chaux ou de ciment</i>	PRESSIONS <i>en kg 0^m01²</i> <i>Hypothèse adoptée</i> Surcharges supposées	ÉVIDEMENT DES TYMPANS
				CORPS	TÊTES			
				Clef <i>à 60° de la clef</i>	Clef <i>à 60° de la clef</i>			
Date	Déclivités	Fruit des tympans Revanche du rail sur l'extrados	Montée Rayon				2°	
Symbole	Hauteur maxima du rail au-dessus du sol ou de l'étiage						DÉCORATION DES TÊTES	
1	2	3	4	5	6	7	8	9

SOUS CHEMIN DE FER A VOIE NORMALE

des Eaux-Salées <i>France</i> 1911-1914 C¹ 1^r ($\geq 40^m$) ¹		11 ^m 83	8 ^m 075 8 ^m 17	50 ^m 00 25 ^m 00	1 ^m 60 3 ^m 20	1 ^m 65 3 ^m 25	Bandeaux, douelle et queutage en MAV ¹ de 0 ^m 25 à 0 ^m 27 Calcaire de Châteauneuf-lez- Martigues (Bouches-du-Rhône) Poids 2700 ^k Résistance 1300 ^k Au-dessus du joint à 80° 46' de la clef: ciment artificiel Lafarge de Valdonne 611 ^k au-dessous: chaux « maritime » Lafarge 350 ^k Comme sable, cal caire broyé.	Max. $\beta = 27^k$ <i>Arc élastique</i> <i>Méthode</i> <i>de M. Résal</i> Surcharge de 10 ^r par m. c ^t de voie Effort du an freinage 10 ^r 8	1° 10 voûtes transversale vues, en plein cint de 4 ^m 00, sur piles de 1 ^m 20 aux naissan 2° <i>Archivolte</i> <i>de 0^m40</i> <i>d'épaisseur</i> <i>à la clef</i> <i>0^m65 aux ven</i> <i>0^m20 de sac</i> <i>uniforme sur</i> <i>le bandon</i>

SOUS CHEMIN DE FER A VOIE ÉTROITE

sur la Roizonne <i>France</i> 1912-1915 C¹ 1^r ($\geq 40^m$) ²		23 ^m 52	5 ^m 40 (chaussée de 4 ^m 30) 1 ^m 50 1 ^m 70	79 ^m 433 <i>Montée</i> <i>(de la clef aux</i> <i>retombées)</i> RD 36 ^m 83 RG 34 ^m 21 40 ^m 00	1 ^m 65 2 ^m 90	1 ^m 65 2 ^m 90	Bandeaux et douelle PT ¹ Queutage au-dessus des joints à 60° de la clef gros MEV ¹ au-dessous MOV ¹ Ciment artificiel Vicat 600 ^k	Pressions avec surcharge MAX. moy. Clef 22 ^k 3 22 ^k 2 Joint à 60° 40 ^k 3 21 ^k 5 <i>Arc élastique</i> <i>Méthode</i> <i>de M. Résal</i> 3750 ^k par m. c ^t soit 797 ^k par m. q.	1° 8 voûtes transversale vues, en plein cint de 6 ^m 50, sur piles de 1 ^m 30 aux naissanc 2° "

1. Pour le sens de ces abréviations, voir Avertissement, Tome I, p. IV, n° 6.

TABLEAU SYNOPTIQUE

EXÉCUTION										CUBE DE MAÇONNERIE A MORTIER	
GRANDE VOÛTE										Q	
CINTRE										DÉPENSE	
FONDATIONS	FERMES				Cube de bois Poids de fer Dépenses		MODE	DÉCINTREMENT	TASSEMENTS	DE LA CLEF	
Nature du sol	Type	Nombre	Épaisseur	Écartement	Totaux	par mq	DE	État	sur	t _c	t _v
Profondeur sous l'étiage	Matière	d'axe en axe	Surhaussement	de douelle	2	CONSTRUCTION	Temps entre le dernier clavage et le décintrement	Date	au décin- trement	t _v	t _v
Pressions sur le sol en kg (mm) ²	Appareils de décintrement	11	12	13	14	15	16	17	après	t _v	18
Procédé	10	11	12	13	14	15	16	17	18	19	20

SÉRIE C¹ I^r ($\geq 40^m$) Suite du tableau synoptique Tome I p. 38

Dolomie à sec à 22 ^m par couverture en paille blindée	Fixe à rayons (Type Lavaur II p. 137)	7 de rive : 20 ^m interm. 25 ^{cm} 1 ^m 50	Bois en élevat. 454 ^{mc} en fondat. 29.5 ^{mc} 483.5 ^{mc}	0 ^{mc} 78 0 ^{mc} 83	3 rouleaux au-dessus de 60° 9' 30"		amont mm aval mm	$Q = 11620^{me}$ $Q : S_p = 12^{mc}4$ $Q : W = 0^{mc}67$ $D = 998\ 209^f$ $D : S_p = 1086^f6$ $D : W = 58^f$ $D : Q = 85^f9$
	Sapin (Dauphiné et Savoie)	»	14263 ^k	24 ^k 5	1 ^{er} rouleau 8 tronçons 15 clavages 2 ^e 6 tronçons 7 clavages	Voûte nue 38 jours	t_c 29.232.8 t_v 0.220.31	
	Boîtes à sable	»	77033 ⁱ	132 ⁱ 2	3 ^e 6 tronçons 5 clavages	12 août	t_v'' 0.250.17 apr. 6 j ^{rs}	

SÉRIE C¹ I^r ($\geq 40^m$) Suite du tableau synoptique Tome I p. 52

Calcaire schisteux 12 ^k en supposant la charge uniformément répartie sur la voûte et le massif qui la soutient	Retroussé sur 63 ^m 60 (Type Luxem- bourg II p. 72bis)	4 cerveau 23 ^m chevalet 39 ^m 1 ^m 60 0	250 ^{mc} 94000 ^k 70000 ^f	0 ^{mc} 41 155 ^k 2 115 ^f 6	3 rouleaux Dans chaque rouleau, 6 tron- çons clavés en même temps à la clef, aux reins, aux joints à 60°	Les piles des voûtes d'élégissement construites	$t_c = 61^{mm}$ $t_v = \begin{cases} 6^{mm} \text{ (am')} \\ 5^{mm} \text{ (aval)} \end{cases}$	$Q = 11950^{me}$ $Q : S_p = 10^{mc}64$ $Q : W = 0^{mc}27$ $Q : W' = 0^{mc}34$ $D = 560000^f$ $D : S_p = 498^f7$ $D : W = 12^f7$ $D : W' = 16^f4$ $D : Q = 46^f9$ Cube de la grande voûte 1651 ^{me} (Q, D, approximatifs : le décompte n'est pas arrêté)
	Sapin du pays	»			1 ^{er} rouleau 1 moellon Épaisseur moyenne 0 ^m 60 environ	41 jours		
	Boîtes à sable	»			2 ^e rouleau 1 moellon au cerveau 2 moellons aux reins	7 septembre		


Pour le calcul de la surface de douelle, voir Avertissement, Tome I page V, n° 7 — A. 3. S_p = Longueur (col. 2) \times Largeur entre parapets (col. 3) — C'est la surface offerte à la circulation

4. W = Surface vue de l'élévation \times Largeur entre parapets. 5. W' = Surface de l'élévation au-dessus des fondations \times Largeur entre parapets.

Pour S_p , W , W' , voir Avertissement, Tome I, page V, n° 7 — B.

PROJET									
PONT		ENSEMBLE		GRANDES VOÛTES					
Date		Longueur <i>entre abouts des parapets</i>	Largeurs <i>entre parapets entre tympans sous la plinthe</i>	INTRADOS	ÉPAISSEURS		MATÉRIAUX	PRESSIONS	ÉVIDEMENT
Symbole		Déclivité	Fruit	Portée	CORPS	TÊTES	Mortier	en kg. 0 ^m 01 ²	DES
		Hauteur maxima	des tympans	Montée	Clef	Clef	Poids,	Hypothèse	TYMPANS
		de la chaussée	Revanche	Surbaissement	Milieu	Reins	Pour 1 ^m de sable,	adoptée	
		ou du rail	de la chaussée	Rayons	de la		de chaux	Surcharges	2°
		au-dessus	ou du rail	de courbure :	montée		ou de ciment	supposées	DÉCORATION
		du sol	sur l'extrados	à la clef,					DES TÊTES
		ou de l'étiage		aux naissances					
1		2	3	4	5	6	7	8	9

EN DEUX ANNEAUX SOUS ROUTE

de		Ellipse				Pressions						
l'Hôtel-Dieu à Lyon France 1912-1916 $E^n E^n$ 1 ^{re} ($\geq 40^m$) ² 4 arches en ellipse de 42 ^m , 43 ^m , 43 ^m , 45 ^m 2 voûtes de décharge en ellipse RD — 7 ^m 50 RG — 11 ^m 00	227 ^m 50	20 ^m 10 (chaussée de 11 ^m)	 Largeur : des anneaux en douelle, à la clef 5 ^m 05 du vide entre eux 10 ^m 80 Pas de fruit 1 ^m 00	1 RD $\left\{ \begin{array}{l} 42,00 \\ 7^m 77 \\ \frac{1}{5,405} = 0,185 \\ 45^m 00 \\ 3^m 50 \end{array} \right.$	1 ^m ,25	1 ^m ,00	Bandeaux et douelle en PT ¹ calcaire de Villette (Ain) Sable de Saône Ciment artificiel Lafarge 600 ^k	clef	35 ^k 9	1° Voûtes transversale vues, en arc de cercle de 2 ^m 00 à 1 5 sur piles de 0 ^m 70		
				2 RG $\left\{ \begin{array}{l} 45,00 \\ 9^m 04 \\ \frac{1}{4,978} = 0,200 \\ 45^m 00 \\ 4^m 06 \end{array} \right.$	1 ^m ,25	1 ^m ,00		reins	39 6			
				3 RD $\left\{ \begin{array}{l} 49,00 \\ 9^m 54 \\ \frac{1}{5,436} = 0,195 \\ 48^m 00 \\ 4^m 00 \end{array} \right.$	1 ^m ,25	1 ^m ,00		clef	32 ^k 3	2° »		
				4 RG $\left\{ \begin{array}{l} 45,00 \\ 9^m 04 \\ \frac{1}{4,978} = 0,200 \\ 45^m 00 \\ 4^m 00 \end{array} \right.$	1 ^m ,25	1 ^m ,00		reins	40 9			
									clef	33 ^k		
									reins	40		
									clef	32 ^k 3		
									reins	40 9		
												Méthode de M. Résal 600 ^k par m. q.

SOUS CHEMIN DE FER A VOIE NORMALE

de Courris <i>France</i> 1912-1916 Eⁿ F^r ($\geq 40^m$)² <i>3 voûtes égales</i>	159 ^m 02	4 ^m 50 1 ^m 30 Pas de fruit 1 ^m	Ellipse	40 ^m ,00 46 ^m 25 $\frac{1}{2,461} = 0,406$ [24 ^m 615 13 ^m 203	1 ^m ,30 2 ^m 40 Pare d'extrados est une ellipse con- centrique	1 ^m ,30 2 ^m 40	Bandeaux et douelle MAV ¹ Queutage : au dessus du milieu de la montée MEV ¹ au-dessous MOV ¹ Ciment 600 ^k	Pressions		1 au-dessus des reins des 3 grandes voû- tes, 2 voûtes transversale vues, en pier- cintre de 3 ^m 40 sur piles de 0 ^m 95 aux naissances 2°
			MAX.					moy.		
	clef		15 ^k 7 (extr.)					13 ^k 3		
	au 1 4 de la montée		19 ^k 5 (intr.)					11 ^k 2		
	au milieu de la montée		10 ^k 8 (intr.)					10 ^k 3		
Méthode de <i>M. Résal</i> 1180 ^k par m. q. de plate-forme sur toute la voûte										

1 — Pour le sens de ces abréviations, voir Avertissement, Tome I page IV, n° 6.

TABLEAU SYNOPTIQUE

EXÉCUTION										CUBE DE MAÇONNERIE A MORTIER	
GRANDES VOÛTES										Q	
FONDATIONS	CINTRES					MODE DE CONSTRUCTION	DÉCINTREMENT État d'avancement du pont Temps entre le dernier clavage et le décintrement Date	TASSEMENTS DE LA CLEF sur cintre t_c au décin- trement t_v après t_v'	DÉPENSE		
	FERMES		Cube de bois Poids de fer Dépenses						D		
	Type	Nombre	Totaux	par mq de douelle ²	Totaux						
	Matière	Épaisseur Écartement d'axe en axe Surhaussement			et de surface utile S_p^3 de volume « utile » W^4						
Nature du sol	Appareils de décintrement								par unité		
Profondeur sous l'étiage											
Pressions sur le sol en kg 0m01 ²											
Procédé											
10	11	12	13	14	15	16	17	18			

SÉRIE Eⁿ Eⁿ r^{te} ($\geq 40^m$) Suite du tableau synoptique, Tome I, p. 190

Gros gravier et sable	Metal	4	372426 ^k	3 rouleaux aux reins 2 au cerveau	1 R D	Anneau		Anneau	
						amont	aval	amont	aval
10 à 12 ^m sous l'étiage (6 à 10 ^m dans le sol)		1 ^m 55							
Pression maxima 12 ^k 39	Boîtes à sable dans des caissons en bois remplis de paraffine	15 ^{mm} à 25 ^{mm}		1 ^{er} rouleau : 6 taquets, 4 assises à sec	2 3 étant clavée	43 j. 17 mars	27 j. 27 avril	13.2 ^{mm}	8. ^{mm}
Air comprimé					3 (1 clav.)	40 j. 14 mai	34 j. 23 mai	2.4 ^{mm}	2. ^{mm}
					4 R G Voûte de dé- charge clavée	33 j. 19 juin	38 j. 12 juil.	1.4 ^{mm}	0.2 ^{mm}

SÉRIE Eⁿ I^r ($\geq 40^m$) Suite du tableau synoptique, Tome I, p. 222

Rocher (schiste)	Fixe type Antoinette	4	81 ^m 13	0 ^m 37	2 rouleaux	On a décintre le 1 ^{er} rouleau :	$t_c = 30^{\text{mm}}$
2 ^m 30	Sapin	25 ^m	3547 ^k	16 ^k 3	1 ^{er} rouleau	Voûte 3 à 37 jours 23 novembre	t_v (1 ^{er} anneau)
Épaissements dans un batardeau sur une pile	Boîtes à sable	1 ^m 37	8344 ^t	38 ^t 25	11 clavages (coffrages, ta- quets, cales... comme aux ponts de La- vaur (II p. 139), Antoinette (II p. 147)	Voûte 1 à 30 jours 20 mai	3-14 ^{mm}
		30 ^{mm}	Un seul cintre pour les 3 voûtes		Voûte 2 à 43 jours 10 septembre	Voûte 2-9	

pour le calcul de la surface de douelle, voir Avertissement, Tome I, page V, n° 7 — A. 3. S_p — Longueur (col. 2) × Largeur entre parapets (col. 3) — C'est la surface offerte à la circulation.
 4. W — Surface vue de l'élévation × Largeur entre parapets. 5. W' — Surface de l'élévation au-dessus des fondations × Largeur entre parapets.
 Pour S_p , W , W' , voir Avertissement, Tome I, page V, n° 7 B.

PONT	PROJET								1° ÉVIDEMENT DES TYMPANS 2° DÉCORATION DES TÊTES
	ENSEMBLE		GRANDE VOÛTE						
	Longueur <i>entre abouts des parapets</i> Déclivités Hauteur maxima du rail au-dessus du sol ou de l'étiage	Largeurs <i>entre parapets entre tympans sous la plinthe</i> Fruit des tympans Revanche du rail sur l'extrados	INTRADOS Portée <i>Montée</i> Surbaissement <i>Rayons:</i> corbeau reins	ÉPAISSEURS CORPS Clef <i>Retombées</i>	TÊTES Clef <i>Retom- bées</i>	MATÉRIAUX <i>Mortier</i> <i>Poids, pour 1^m de sable, de chaux ou de ciment</i>	PRESSIONS en kg/0 ^m 01 ² <i>Hypothèse adoptée</i> Surcharges supposées		
Date	1	2	3	4	5	6	7	8	9
Symbole									

SOUS CHEMIN DE FER A VOIE NORMALE									
de Niagara <i>Norvège</i> 1914-19.. A ¹ Fr (≥ 40 ^m) ¹²	75 ^m 50 7 ^m 5 »	5 ^m 90 5 ^m 30 Fruit $\frac{1}{30}$ 1 ^m 60	Arc d'anse de panier à 3 centres 42 ^m 00 13 ^m 00 $\frac{1}{3,23} = 0,31$ 22 ^m 50 24 ^m 818	1 ^m 60 2 ^m 00	1 ^m 60 2 ^m 00	Bandeaux, Douelle PT ¹ Granit 1420k à 1575k Ciment 560 ^k	Pressions maxima : avec surch. sans surch. Clef 17 ^k 11 ^k 6 Reins 28 17,5 Retomb 31,5 17 » 15 ^k par mètre courant	1° Voûtes en plein cint de 3 ^m 50 sur piles de 1 ^m 0 2° »	

SOUS CHEMIN DE FER A VOIE ÉTROITE									
Sur la Vouga <i>Portugal</i> 1913 A ¹ Fr (≥ 40 ^m) ⁵	168 ^m 0 29 ^m	3 ^m 60 3 ^m 10 à la clef Fruit $\frac{1}{30}$ 0 ^m 90	Arc d'anse de panier à 3 centres au niveau des fondations 55 ^m 70 27 ^m 00 $\frac{1}{2,266} = 0,449$ 24 ^m 70 33 ^m 20	1 ^m 20 à 6 ^m au-dessus des fondations 2 ^m 60	1 ^m 20 2 ^m 60	Bandeaux et douelle MEV ¹ (granit) Queutage MOV ¹ Ciment 350 ^k	Pressions maxima : Reins à 52 ^k et 20 ^m 00 de la clef Clef Retombées Charge permanente..... Sur toute la voûte Sur la Côté chargé Côté non chargé Celles du règlement français du 29 août 1891.	1° Voûtes en plein cint de 10 ^m 20 sur piles de 1 ^m 2 aux naissanc 2° »	

de Pélussin <i>France</i> 1914-1916 A ¹ Fr (≥ 40 ^m) ⁶	169 ^m 50 30 ^{mm} environ 58 ^m 50	entre parapets 4 ^m entre tympans 2 ^m 90 à 3 ^m 00 Entre bandeaux 3 ^m Fruit : $\frac{1}{50}$ 0 ^m 805	Arc d'anse de panier à 3 centres 55 ^m 00 24 ^m 70 $\frac{1}{2,266} = 0,449$ 24 ^m 70 33 ^m 20	1 ^m 40 aux reins 2 ^m 10 3 ^m 80	1 ^m 40 aux reins 2 ^m 10 3 ^m 80	Bandeaux et douelle MEV ¹ (calcare de Sènozan) Queutage MOV ¹ (granit) Ciment 300 ^k	Pressions MAX. moy. Sans surcharge Clef 21 ^k 17 ^k 9 Reins 20,2 13,0 Retomb. 13,0 10,3 Avec surcharge Clef 22 ^k 20 ^k 9 Reins 25,0 14,8 Retomb. 17,8 11,8 Arc élastique: lignes d'influence Celles du réglem ^t du 29 août 1891	1° Voûtes transversales vues, en plein cint de 10 ^m 00 sur piles de 1 ^m 4 aux naissances 2° »
---	--	---	---	--	--	--	--	--

1. — Pour le sens de ces abréviations, voir Avertissement, Tome II, p. II, n° 6.
 2. — Calculées par M. Freyssinet, Ingénieur des Ponts et Chaussées.

PONTS A UNE SEULE GRANDE ARCHE

TABLEAU SYNOPTIQUE

EXÉCUTION										CUBE DE MAÇONNERIE A MORTIER	
GRANDE VOÛTE										$\frac{Q}{D}$	
FONDATIONS	CINTRE				MODE DE CONSTRUCTION	DÉCINTREMENT État d'avancement du pont <i>Temps entre le dernier clavage et le décintrement</i> Date	TASSEMENTS DE LA CLEF sur cintre t_c au décin- trement t_v' après t_v''	DÉPENSE			
	FERMES		Cube de bois Poids de fer Dépenses					Totaux			
	Type	Nombre	Totaux	par mq de douelle ²				et			
	<i>Matière</i>	<i>Épaisseur</i> Écartement d'axe en axe <i>Surhaussement</i>						par unité			
	Appareils de décintrement							de surface utile S_p^3 de volume « utile » W^4			
<i>Procédé</i>	11	12	13	14	15	16	17	18			
<i>Nature du sol</i>											
Profondeur sous l'étiage											
Pressions sur le sol en kg $\frac{0^{m0}1^2}{1}$											

Pour le calcul de la surface de douelle, voir Avertissement, Tome II, p. III, n° 7 - A. 3. S_p = Longueur (col. 2) \times Largeur entre parapets (col. 3) - C'est la surface offerte à la circulation.

4. W = Surface vue de l'élévation \times Largeur entre parapets. 5. W' = Surface de l'élévation au-dessus des fondations \times Largeur entre parapets.

Pour S_p , W , W' , voir Avertissement, Tome II, p. III, n° 7 - B.

PONT	PROJET							
	ENSEMBLE		GRANDE VOÛTE					1° ÉVIDEMENTS DES TYMPANS
	Longueur entre abouts des parapets Déclivités Hauteur maxima de la chaussée ou du rail au-dessus du sol ou de l'étiage	Largeurs entre parapets entre tympans sous la plinthe Fruit des tympans Revanche de la chaussée ou du rail sur l'extrados	INTRADOS Portée Montée Surbaissement Rayons: cerveau reins	ÉPAISSEURS CORPS Clef Retombées	TÊTES Clef Retombées	MATÉRIAUX Mortier Poids, pour 1 ^{re} de sable, de chaux ou de ciment	PRESSIONS en kg/m ² Hypothèse adoptée Surcharges supposées	
	1	2	3	4	5	6	7	8
EN DEUX ANNEAUX SOUS ROUTE								
de Villeneuve France 1914-1916 $\widehat{A}^1 \widehat{A}^1$ 1 ^{re} (≥ 40 m) ¹	123 ^m 45	10 ^m 90 Chaussée de 7 ^m 30 2 trottoirs de 1 ^m 80, voie du tramway au milieu) 10 ^m 90 » 0 ^m 57	Pour l'intrados voir la monographie 96 ^m 23 aux naissances 97 ^m 43 aux fondations 45 ^m 455 $\frac{1}{6,228} = 0,1606$	1 ^m 45 2 ^m à 4 ^m de la clef	1 ^m 45 2 ^m à 4 ^m de la clef	Béton Gravier tout venant 1 ^m du Lot Ciment 350 ^k [Ciments français de Boulogne, Usine de la Souys près de Bordeaux]	Compressions maxima Sans sur-charge Avec sur-charge Clef 42 ^k 51 ^k Reins 39 57 Appuis 23 34 Arc élastique (Méthode des courbes d'influence) On a tenu compte des variations de longueur dus aux changements de température, $\frac{75}{10}$ autour de la moyenne pour des oscillations de $\pm 25^\circ$ Celles du reglem ^t du 29 août 1891.	1° Voûtes en plein cintre de 3 ^m 35 environ, sur piles d'épaisseurs croissant en s'éloignant de la clef, de 0 ^m 50 à 0 ^m 58 2° Petites moulures et creux dans les bandeaux
SOUS CHEMIN DE FER A VOIE NORMALE								
d'Orkla Norvège 1911-1915 \widehat{A}^1 1 ^{re} (≥ 40 m) ²⁶	86 ^m 0 47 ^m	4 ^m 84 1 ^m 20 Fruit : $\frac{1}{30}$ 1 ^m 40	Arc d'anse de pan. 60 ^m 00 13 ^m 70 $\frac{1}{4,38} = 0,228$ 47 ^m 50 31 ^m 17	1 ^m 80 3 ^m 30	1 ^m 80 3 ^m 30	Bandeaux et douelle : PT ¹ granit blanc Résistance (1150 ^k à 1500 ^k) Queutage : L ¹ Ciment 560 ^k	MAX. en tenant compte des changements de température Sans sur-charge Avec sur-charge Clef 41 ^k 45 ^k Reins 37 51 Retomb. 35 47 Arc élastique 15 ^r au m. c ^t	1° 6 voûtes en plein cintre de 3 ^m 50 sur piles de 1 ^m 40 d'épaisseur 2° »
de Dombaas Norvège 1913-19... \widehat{A}^1 1 ^{re} (≥ 40 m) ²⁷	85 ^m 5 0 34 ^m 60	4 ^m 80 1 ^m 20 Fruit : $\frac{1}{30}$ 1 ^m 80	Arc d'anse de pan. 54 ^m 00 11 ^m 40 $\frac{1}{4,74} = 0,21$ 39 ^m 00 36 ^m 445	1 ^m 90 2 ^m 20	1 ^m 90 2 ^m 20	Bandeaux et douelle : PT ¹ Granit blanc (1000 ^k) Queutage : L ¹ Ciment 560 ^k	Pression maxima Sans sur-charge Avec sur-charge Clef 16 ^k 5 20 ^k 2 Retomb. 20 8 40 1 15 ^r au m. c ^t	1° 6 voûtes en plein cintre de 3 ^m 40 sur piles de 1 ^m 40 d'épaisseur 2° »
de Gulfos Norvège 1913-19... \widehat{A}^1 1 ^{re} (≥ 40 m) ²⁸	77 ^m 0 49 ^m 50	4 ^m 90 1 ^m 30 Fruit : $\frac{1}{30}$ 1 ^m 40	Arc d'anse de pan. 46 ^m 00 9 ^m 70 $\frac{1}{4,74} = 0,21$ 36 ^m 50 28 ^m 134	1 ^m 60 1 ^m 90	1 ^m 60 1 ^m 90	Bandeaux et douelle : PT ¹ Granit (1200 ^k à 1800 ^k) Queutage : L ¹ Ciment 560 ^k	Pression maxima Sans sur-charge Avec sur-charge Clef 18 ^k 6 32 ^k 4 Retomb. 13 5 44 7 15 ^r au m. c ^t	1° 6 voûtes en plein cintre de 3 ^m 40 sur piles de 1 ^m 40 d'épaisseur 2° »

1 Pour le sens de ces abréviations voir Avertissement, Tome III, page II, n° 6.

PONTS A UNE SEULE GRANDE ARCHE

TABLEAU SYNOPTIQUE

EXECUTION												CUBE DE MAÇONNERIE A MORTIER	
GRANDE VOÛTE												$\frac{Q}{D}$	
FONDATIONS	CINTRE											DÉPENSE	
	FERMES		Cube de bois		MODE DE CONSTRUCTION	DÉCINTREMENT État d'avancement du pont Temps entre le dernier clavage et le décintrement Date	TASSEMENTS DE LA CLEF		D			Totaux	
	Type	Nombre	Poids de fer	Dépenses			sur cintre t_c	au décin- trement t_v'				et	
	Matière Appareils de décintrement	Épaisseur d'axe en axe Surhaussement	Totaux	par mq de douelle ²				après t_v''				par unité	de surface utile S_p de volume « utile » W
10	11	12	13	14	15	16	17		18				
SÉRIE $\widehat{A}^1 \widehat{A}^1 r^{1a} (\geq 40m)$													
Pour les deux anneaux						Pour la série $\widehat{A}^1 r^{1a} (\geq 40m)$ suite du tableau synoptique, Tome III, p. 16.							
Grès marneux (Mollasse)	Poteaux et	2 fermes par anneau de 3 ^m											
	contrefiches (V. p. 135, 137)	On a construit en même temps les 2 cintres : on a été ainsi plus vite et par conséquent moins exposé aux crues du Lot.	405 ^{me} environ	0 ^{me} 64									
2 ^m 10 à 3 ^m 20	Pas d'appareil de décintrem ^t dans le cintre	20 ^m 1 ^m 80	7.900 ^k environ	12 ^k 5			Voûtes nues						
Épauements							31 jours						
D (à forfait) = 430.000 ^f													
D : S_p = 319 ^f 6													
D : W = 23 ^f 2													
SÉRIE $\widehat{A}^1 r^{1r} (\geq 40m)$ Suite du tableau synoptique Tome III, p. 90.													
Rocher	Retroussé sur 37 ^m 50 Contrefiches, partant en éventail de chaque rive, soutenant une poutre en bow-string à treillis en N.	7	780 ^{me}	2 ^{me} 10	3 rouleaux en plusieurs tronçons	Les tympans exécutés à moitié	$t_c = 10^{mm}$						
»	Bois en grume Boîtes à sable sur coins.	»				»	$t_v' = 4^{mm}$						
25 ^k		0 ^m 80	83.340 ^f	224 ^f 9		4 novembre							
»		60 ^{mm}											
Q = 2700 ^{me} Q : S_p = 6 ^{me} 60													
D = 333.360 ^f D : S_p = 814 ^f 8 D : Q = 123 ^f 5													
Rocher	Retroussé	5			3								
»	Fermes à 3 articulations	»	34.725 ^f	109 ^f 93	rouleaux en plusieurs tronçons								
27 ^k	Coins	1 ^m											
»		62 ^{mm}											
Rocher	Retroussé	5			2								
»	Fermes à 3 articulations	»	27.780 ^f	106 ^f 18	rouleaux : un en 12 tronçons								
25 ^k	Coins	1 ^m 10											
»		50 ^{mm}											

2. Sur le calcul de la surface de douelle, voir Avertissement, Tome III, p. III, n° 7 — A. 3. S_p Longueur (col. 2) \times Largeur entre parapets (col. 3) — C'est la surface offerte à la circulation
4. W Surface vue de l'élévation \times Largeur entre parapets. 5. W_p Surface de l'élévation au-dessus des fondations \times Largeur entre parapets.
Pour S_p , W , W_p , voir Avertissement, Tome III, p. III, n° 7 — B

PONT A PLUSIEURS GRANDES ARCHES

PONT	PROJET							
	ENSEMBLE	GRANDES VOÛTES						1°
Date	Longueur <i>entre abouts des parapets</i>	Largeurs <i>(entre parapets entre tympans sous la plinthe)</i>	INTRADOS	ÉPAISSEURS	COMMENT	MATÉRIAUX	PRESSIONS	ÉVIDEMENTS
Symbole	Déclivité	Fruit	Portée	CORPS	SONT	Mortier	en $\text{kg}/100\text{m}^2$	DES
En quoi consiste l'ouvrage	Hauteur maxima de la voie au-dessus du sol ou de l'étiage	des tympans Revanche de la voie portée sur l'extrados	Montée Surbaissement Rayons : <i>(cerceau naissances)</i>	ET TÊTES	ARMÉES LES VOÛTES	Poids, pour 1m^3 de sable, de chaux ou de ciment	Hypothèse adoptée Surcharges supposées	TYMPANS
1	2	3	4	5	6	7	8	9
EN DEUX ANNEAUX SOUS CHEMIN DE FER A VOIE NORMALE								
Sur le Tunkhannock Creek près de Nicholson <i>Etats-Unis</i> 1912-1915 10 arches en plein cintre de 54^m864 et 2 arches de rive de 30^m48 (faisant office de culées évidées)	679^m70 5^m2 73^m45 au-dessus de l'eau	10^m36 2 voies <i>Anneaux, en douelle à la clef</i> 4^m267 Vide entre eux 1^m829 Chaque anneau porte une voie. Pas de fruit.	Pleins cintres 54^m864	2^m438 5^m182 aux naissances des piles		Béton Ciment 1° Sable 3° Cailloux 5°	Surcharge sur chaque voie : train de 9° par 2 machines : soit Mikado pesant chacune 211° soit Mallet pesant chacune 272°5	1° Viaduc en béton armé à 11 arches en plein cintre sur le dos des grandes voûtes. Piles distantes de 5^m18 d'axe en axe. Parapet en béton armé de 1^m91 d'épaisseur, 1^m22 de hauteur. 2° Les fûts des piles sont rayés de strie horizontales tous les 1^m22
Sur le Martin's Creek ligne de Clark Summit à Halstead. (Delaware Lackawanna and Western RR, CY). <i>Etats-Unis</i> 1913 11 arches 9 en anse de panier : 7 de 45^m72 , 2 de 30^m50 ; 2 en plein cintre de 17^m25	491^m55 » 45^m75 au-dessus du thalweg.	14^m54 3 voies <i>Anneaux en douelle à la clef</i> 7^m338 Vide entre eux 3^m66	Anses de pan. à 3 centres 45^m72 47^m98 $\frac{1}{2,543} = 0,393$ 25^m 12^m40	1^m83		Béton Ciment 1° Sable 3° Cailloux 5°		1° Viaduc en béton armé à 10 arches en arc sur le dos des grandes voûtes. Piles distantes de 4^m76 d'axe en axe 2° »
EN QUATRE ANNEAUX SOUS ROUTE								
Sur le Latah Creek à Spokane <i>Etats-Unis</i> 1911-1913 Chaussée et 2 voies de tramway en Tanneur 7 arches en anse de panier : 2 de 45^m72 , 2 de 41^m48 , 1 de 39^m et 2 de 46^m17 .	286^m70 » 42^m40 au-dessus du sol.	(Chaussée de 13^m725 , 2 trottoirs de 2^m135). <i>Anneaux en douelle à la clef</i> 2 de 1^m525 2 de 1^m83 Vide entre eux 3^m353 , 3^m81 3^m353	Anses de panier 45^m72 49^m51 $\frac{1}{2,343} = 0,427$	1^m14		Béton		1° Arches en plein cintre sur le dos des grandes voûtes 2° »

TABLEAU SYNOPTIQUE

Suite du tableau synoptique, Tome III, p. 286.

EXÉCUTION										CUBE DE MAÇONNERIE A MORTIER		
FONDATIONS	GRANDES VOÛTES										DÉPENSE	
	CINTRES					MODE DE CONSTRUCTION	DÉCINTREMENT État d'avancement du pont Temps entre le dernier clavage et le décintrement Date	TASSEMENTS DE LA CLEF sur cintre t_c au décin- trement t_v après t''	Totaux et			
	FERMES		Cube de bois		Totaux				par mq de douelle 2	par unité		
	Type	Nombre	Poids de fer	Dépenses						de surface utile S_p^3 de volume « utile » W^4	18	
	Matière Appareils de décintrement	Épaisseur Écartement d'axe en axe Surhaussement										
10	11	12	13	14	15	16	17					
Nature du sol Profondeur sous l'étiage Pressions sur le sol en kg/cm ² Procédé												
Sable pur mouillé, puis rocher. 91 ^m 44 du parapet au point le plus bas des fondations. Aux piles 3 à 8, profondeur jusqu'à 30 ^m 48 sous le sol, 9 ^m 80 sous l'eau. Épuisements. Fouilles dans des caissons sans fond à parois faites de palplanches métalliques. Béton dans ces caissons.	Cintre métallique pour 1 anneau, transporté sous l'autre.	4 » 1 ^m 17 Un jeu de 5 cintres 76 ^{mm}			Tranches séparées par des vides remplis 7 jours après		t_c de 35 ^{mm} à 60 ^{mm} t_v Sur 1 voûte 6 ^{mm} 4 Sur 3 voûtes 3 ^{mm} 2 Sur les 16 autres 0	Environ 123849 ^{mc} de béton 1000 ^r de fer pour armatures.				
Sable et grosses pierres puis rocher 5 ^m 50 à 21 ^m 35 sous le sol Fouilles dans des caissons métalliques comme au viaduc de Lunkhannock	Cintre métallique pour 1 anneau, transporté sous l'autre	4 » » Un jeu de 4 cintres	700.000 ^k		Tranches séparées par des vides remplis après	30 jours sur cintre		Cube du béton : Chaque anneau des grandes voûtes 765 ^{mc} $Q = 64260^{me}$ (envir.) SOURCES : S ₁ — Engineering Record, 27 dé- cembre 1913, p. 710. S ₂ — Voir photographies du via- duc dans le supplément au "The Engineer", 17 mars 1916.				
Roc ou sable très compact » Sur le sable on étale le poids par de larges empâtements 6 ^k 4	Fixe Bois				Anneaux construits par paire, chaque anneau par tranches avec vides à la clef et aux reins remplis après		$t_c = 18^{mm}3$	SOURCES : S ₁ — Engineering Record, 22 mars 1913, p. 312.				


Pour le calcul de la surface de douelle, voir Avertissement, Tome III, p. III, n° 7 — A. 3. S_p = Longueur (col. 2) × Largeur entre parapets (col. 3) — C'est la surface offerte à la circulation.

1. W = Surface vue de l'élévation × Largeur entre parapets.

5. W' = Surface de l'élévation au-dessus des fondations × Largeur entre parapets.

Pour S_p, W, W', voir Avertissement, Tome III, p. III, n° 7 — B.

PONT A PLUSIEURS GRANDES ARCHES SOUS CHEMIN DE FER

PONT	PROJET							
	ENSEMBLE		GRANDE VOÛTE					
	Longueur entre abouts des parapets Déclivités Hauteur maxima du rail au-dessus du sol ou de l'étiage	Largeurs entre parapets entre tympans sous la plinthe Fruit des tympans Revanche du rail sur l'extrados	INTRADOS Portée Montée Surbaissement Rayons	ÉPAISSEURS CORPS ET TÊTES Clef Joints de rupture Retombées	ROTULES Pour les dimensions, rayons, pressions,... voir Tome IV, Livre III.	MATÉRIAUX Mortier Poids, pour 1 ^m c de sable, de chaux ou de ciment	PRESSIONS en kg / (m ²) ² Surcharges supposées	1° ÉVIDEMENT- DES TYMPANS 2° DÉCORATION DES TÊTES
1	2	3	4	5	6	7	8	9
<p>de</p> <p>Cannstatt</p> <p>Wurtemberg</p> <p>1911-1914</p> <p> Fr (40^m)¹</p> <p>Rive gauche : route en béton armé de 16^m</p> <p>Corps central : 3 routes en béton à 3 articulations de 56^m60, 61^m60, 55^m90.</p> <p>Rive droite : 2 routes en béton de 17^m, une route en béton armé de 20^m.</p>	<p>322^m30</p> <p>$\frac{5\text{mm}6}{\text{R.G. R.D.}}$</p>	<p>(4 voies)</p> <p>Largeur entre parapets : 17^m90 à une extrémité 24^m à l'autre 13^m au milieu de l'arche en rivière</p> <p>Fruit variable</p>	<p>Arcs de 75^m de rayon à la clef, surbaissés au $\frac{1}{10}$.</p> <p>Entre appuis 56^m60</p> <p>Entre axes des rotules 49^m</p> <p>Entre appuis 61^m60</p> <p>Entre axes des rotules 54^m</p> <p>Entre appuis 55^m90</p> <p>Entre axes des rotules 49^m</p>	<p>1^m48</p> <p>1^m86 (au 1/4 de l'arc)</p> <p>1^m56</p> <p>1^m73</p> <p>2^m (au 1/4 de l'arc)</p> <p>1^m86</p> <p>1^m48</p> <p>1^m86 (au 1/4 de l'arc)</p> <p>1^m56</p>	<p>Rotules en acier moulé Siemens- Martin non trempé maintenues transversale- ment par des goujons de 50^{mm}</p> <p>Rayons des surfaces 600^{mm}, 750^{mm}. Elles sont polies sur 150^{mm}</p> <p>Acier à 45[°] 12 % d'allongement sur 200^{mm}</p> <p>Pression maxima sur la bande de contact 30*5 0,001² (formules de Hertz IV., p. 11).</p> <p>Travail maximum des goujons au cisaillement 7^{ks}</p> <p>167 couples de rotules. Ils pèsent : les plus lourds 1.708^{kg}, les plus légers 1.110^{kg}, Ensemble 233^T</p> <p>Sommiers d'appui en béton non armé à 1 : 2 : 2</p> <p>Travail : 75^{ks} sous les rotules.</p>	<p>Béton pilonné à l'air comprimé.</p> <p>Pour 1^{er} de ciment</p> <p>Sable..... 2^v</p> <p>Gravier... 3^v5</p> <p>Muschelkalk cassé (25^{mm} à 45^{mm}).... 2^v5</p> <p>Ciment Dyckerhoff.</p>	<p>Pressions maxima dans la voûte en rivière, surchargée:</p> <p>Clef..... 50^{kg}</p> <p>1/4 de la portée.... 49 1</p> <p>Retombée... 45 1</p> <p>Pour tenir compte des efforts latéraux (chocs, force centrifuge, vent) on n'a compté la voûte que pour les 95 % de sa largeur réelle</p> <p>2 locomotives à 5 essieux de 85^T nombre illimité de wagons : les 4 ou 2 voies chargées dans les conditions les plus défavorables.</p> <p>Force centrifuge pour une vitesse de 80 kilomètres</p> <p>Effet des chocs latéraux 8 %.</p> <p>Freinage au 1/6 du poids freiné.</p> <p>Vent de : 150^{kg} pont chargé 250^{kg} pont vide.</p> <p>Pression des hautes eaux et des glaces 600^{kg} par m² de surface de pile.</p>	<p>1° Vides au-dessus des piles entre les rotules entre des cloisons et sous un tablier en béton armé.</p>

1. — Pour le sens de ces abréviations, voir Avertissement, Tome IV, page II, n° 6.

VOIE NORMALE

SÉRIE $\bar{A}^n I^r$ ($\geq 40^m$)

TABLEAU SYNOPTIQUE

EXÉCUTION											CUBE DE MAÇONNERIE A MORTIER																																																		
GRANDES VOÛTES											Q																																																		
FONDATIONS	CINTRES				MODE DE CONSTRUCTION	DÉCINTREMENT État d'avancement du pont Temps entre le dernier clavage et le décintrement Date	TASSEMENTS DE LA CLEF sur cintre t_c au décin- trement t_v après t_v''	DÉPENSE		D																																																			
	FERMES		Cube de bois Poids de fer Dépenses					Totaux																																																					
	Type	Nombre																																																											
	Matière	Épaisseur Écartement d'axe en axe Surhaussement	Totaux	par mq de douelle ²																																																									
Nature du sol Profondeur sous l'étiage Pressions sur le sol en kg (mm) ² Procédé	11	12	13	14	15	16	17	Totaux et par unité { de surface utile S_p ³ de volume « utile » W ⁴		18																																																			
2 ^m environ d'argile et de vase, jus 3 à 4 ^m 50 de gravier compact ; dessous, marne dure calcaire. Dans quelques fouilles, dégoûment de carbonique.	Fixe Poteaux et contrefiches isolées (type P. C. V. p. 135, 137) » »	Voûte rive droite (un anneau) 10 fermes les autres 8 » »			A pleine épaisseur en 20 tranches.	Tympan, parapets et trottoirs posés. On décintra : le 1 ^{er} anneau (moitié sud) le béton ayant 74 jours. 30 Août le 2 ^e à 17 jours.	t_v et t_v'' pendant 5 jours <table><tr><td></td><td>1^{er} ann.</td><td>2^e ann.</td><td>Calculé</td></tr><tr><td></td><td>—</td><td>—</td><td>—</td></tr><tr><td>V^{to} R G</td><td>15</td><td>16</td><td>20</td></tr><tr><td>en</td><td>26</td><td>29</td><td>25</td></tr><tr><td>rivière</td><td>V^{to} R D</td><td>12</td><td>15</td><td>20</td></tr></table>		1 ^{er} ann.	2 ^e ann.	Calculé		—	—	—	V ^{to} R G	15	16	20	en	26	29	25	rivière	V ^{to} R D	12	15	20	Cube de béton : Fondations..... 17700 ^{me} Piles et tympan... 8100 Voûtes { non armées 8150 { armées 760 Cloisons d'évidem ^t 640 Le reste..... 5150 Total Q = 40500 ^{me}																																
	1 ^{er} ann.	2 ^e ann.	Calculé																																																										
	—	—	—																																																										
V ^{to} R G	15	16	20																																																										
en	26	29	25																																																										
rivière	V ^{to} R D	12	15	20																																																									
Plus grande profondeur sous l'eau 6 ^m Pression maxima sur le sol 6 ^{kg} Culées sur d'arg. général. Piles fondées sur la marne par saisissements dans des batardeaux rideau de planches métalliques.	Vérins à vis.	Surhaussement 1 ^{er} Anneau <table><tr><td>Voûtes</td><td></td><td></td></tr><tr><td>de</td><td>de</td><td>cen-</td></tr><tr><td>rive</td><td>rive</td><td>trée</td></tr><tr><td>mm</td><td>mm</td><td>mm</td></tr><tr><td>Clef</td><td>60</td><td>70</td></tr><tr><td>rotules</td><td>20</td><td>20</td></tr><tr><td>de</td><td></td><td></td></tr><tr><td>rectom-</td><td></td><td></td></tr><tr><td>bres</td><td></td><td></td></tr><tr><td>Naissances</td><td>0</td><td>0</td></tr></table> 2 ^e Anneau (d'après les abaisséments constatés au 1 ^{er}) 55 ^{mm} à la clef.	Voûtes			de	de	cen-	rive	rive	trée	mm	mm	mm	Clef	60	70	rotules	20	20	de			rectom-			bres			Naissances	0	0					Recul des piles culées <table><tr><td>Piles</td><td>1^{er} ann.</td><td>2^e ann.</td></tr><tr><td>culées</td><td>—</td><td>—</td></tr><tr><td></td><td>mm</td><td>mm</td></tr><tr><td></td><td>am¹</td><td>aval</td></tr><tr><td></td><td>—</td><td>—</td></tr><tr><td>R G</td><td>1,7</td><td>0,1</td><td>1</td></tr><tr><td>R D</td><td>1,9</td><td>0,1</td><td>1,2</td></tr></table>	Piles	1 ^{er} ann.	2 ^e ann.	culées	—	—		mm	mm		am ¹	aval		—	—	R G	1,7	0,1	1	R D	1,9	0,1	1,2	D = 1.974.400 ^f D : S _p = 327 ^f 5
Voûtes																																																													
de	de	cen-																																																											
rive	rive	trée																																																											
mm	mm	mm																																																											
Clef	60	70																																																											
rotules	20	20																																																											
de																																																													
rectom-																																																													
bres																																																													
Naissances	0	0																																																											
Piles	1 ^{er} ann.	2 ^e ann.																																																											
culées	—	—																																																											
	mm	mm																																																											
	am ¹	aval																																																											
	—	—																																																											
R G	1,7	0,1	1																																																										
R D	1,9	0,1	1,2																																																										

Sur le calcul de la surface de douelle, voir Avertissement, Tome IV page III, n° 7 — A. 3. S_p = Longueur (col. 2) × Largeur entre parapets (col. 3) — C'est la surface offerte à la circulation

4. W = Surface vue de l'élévation × Largeur entre parapets. 5. W' = Surface de l'élévation au-dessus des fondations × Largeur entre parapets.

Pour S_p, W, W', voir Avertissement, Tome IV, page III, n° 7 — B.



PONTS A VOÛTES DE 40^m ET PLUS ACHÉVÉS APRÈS 1912

MONOGRAPHIES

VOÛTES INARTICULÉES EN PLEIN CINTRE PONTS A UNE SEULE GRANDE ARCHE SOUS CHEMIN DE FER A VOIE NORMALE

SÉRIE C¹ P^r ($\geq 40^m$)

(Voir tableau synoptique I. p. 38 et monographies I. p. 41 à 50)

PONT SUR LA « CALANQUE » DES EAUX-SALÉES (BOUCHES-DU-RHÔNE)

Ligne de Miramas à L'Estaque

1911-1914

C¹ P^r ($\geq 40^m$)¹

Φ_1 — aval — Juin 1915.¹



1. Pourquoi on a fait une grande arche. — Le creux est comblé



de blocs de rocher noyés dans de l'argile : on n'y pouvait pas fonder (f_1).

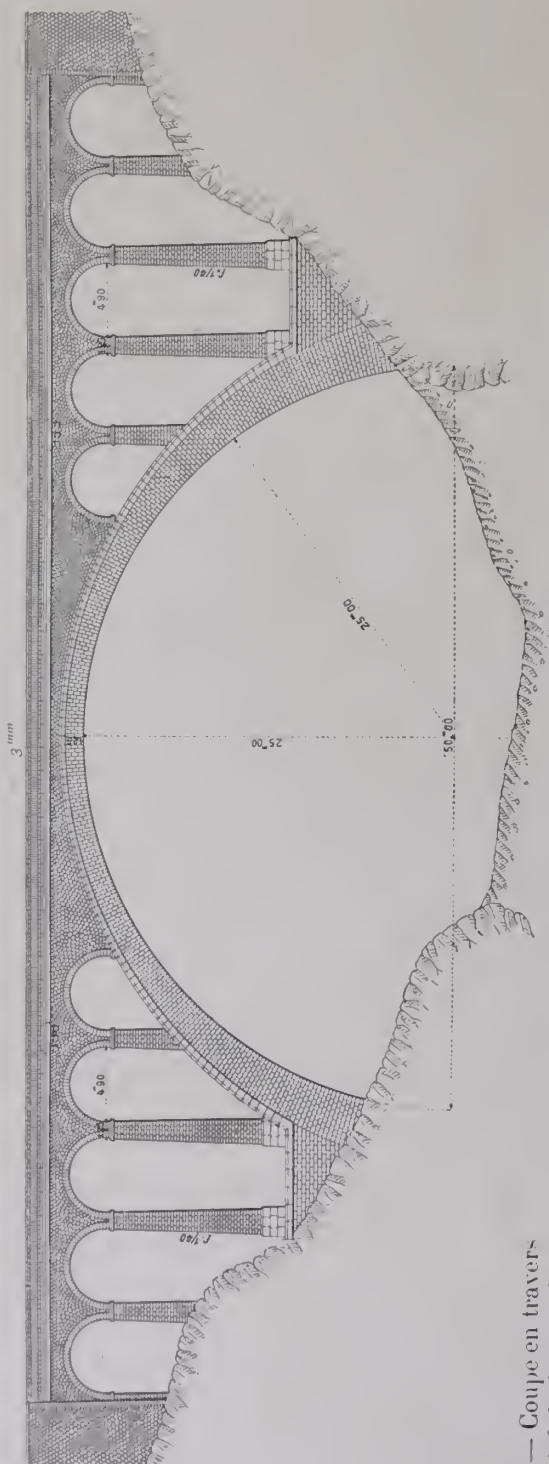
Le rocher RD — dolomie — est troué de cavernes : en bas sourd une abondante source salée.²

Le rocher RG est un bloc charrié : il a fallu descendre à 22^m sous la mer.

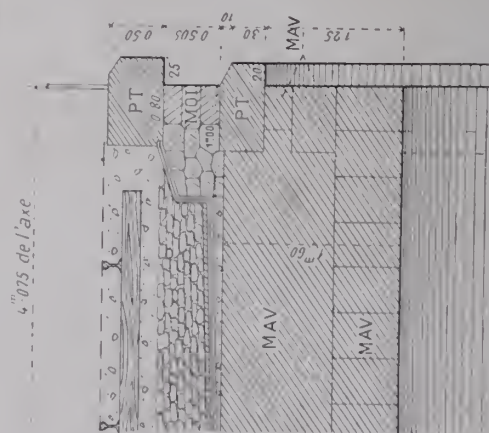
1. — Cliché de M. Bertrand, Sous-Chef de section de la C^{ie} P. L.-M.

2. — Débit 500^l à 1500^l par l^{re} — Température constante 22°.

PONT DES EAUX-SALÉES
f₂ — Elevation aval — 2mm

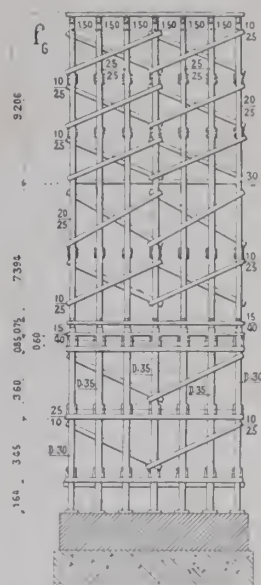
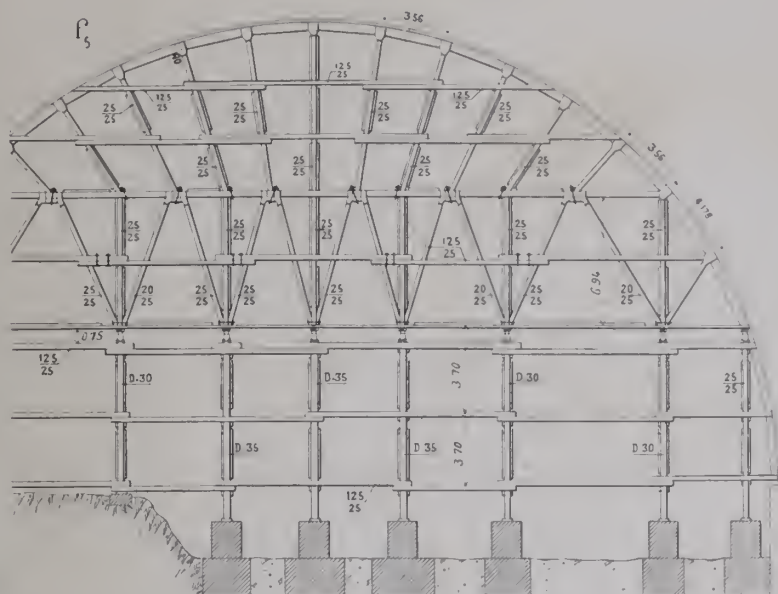


f₁ — Coupe en travers
à la clef de la grande voûte
1cm,5



f₃
Coupe
en long
2mm,5



Cintre — 2^m5

2. Cintre. — C'est le cintre du Pont de Lavour.³ — On l'a calculé pour la demi-épaisseur de la voûte par les formules employées à Lavour.⁴

Les vaux sont en 2 pièces boulonnées.

6 palées reposaient sur des massifs de béton fondés sur pieux battus dans l'argile.

Un transporteur à câble a monté le cintre, et plus tard amené les matériaux.

Coût du cintre :

	Main-d'œuvre	Fournitures	Ensemble
Fondations.....	8,445'41	11,480'75	19,896'16
Élévation.....	10,941'90	46,195'23	57,137'13
Totaux	19,357'31	57,675'98	77,033'29

3. Fondations. — A. *Culée Miramas*. Une caverne sous la fouille a été bourrée de béton de ciment.

B. *Culée L'Estaque*. (21 mars 1911 — 15 novembre 1912). A l'arrière, la fouille a 45^m de haut, dont 20^m dans l'argile.

Pour la boiser, on a employé 599^m de sapin en grume, 4451^m de planches de 4^e.

Une source qui jaillissait d'une paroi a été aveuglée par des feuilles de tôle coaltarée.

On a taillé en gradins le rocher, très incliné, de la base.

Un angle, où l'on ne pouvait épuiser, a été rempli de sacs de mortier de ciment. Jusqu'à — 2^m83, on a employé du béton très gras. (1^m de pierre cassée, 0^m66 de mortier à 550^k de ciment artificiel Lafarge de Valdonne pour 900^l de sable).

3. — II, p. 137.

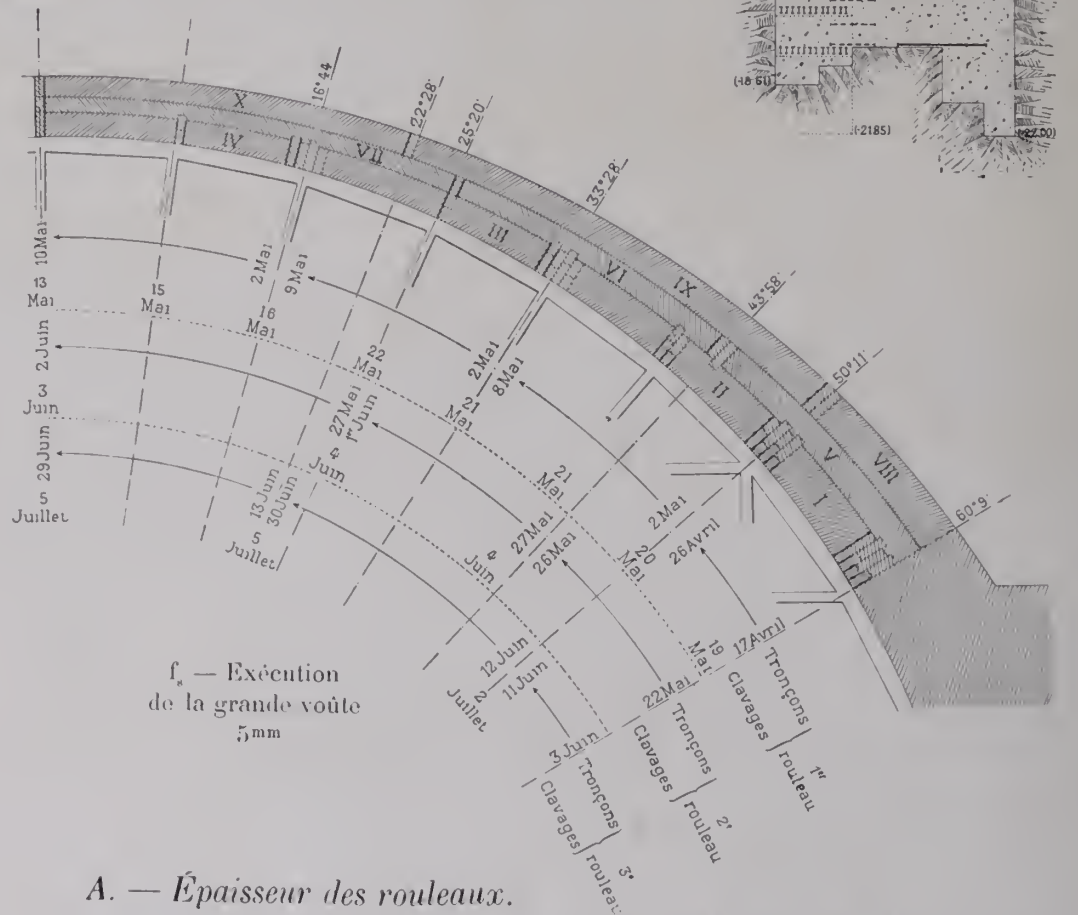
4. — V, p. 155.

On a noyé des assises de vieux rails (f_7) :

1° Au-dessus des gradins de fondation pour y étaler la pression.

2° Tous les 1^m50 de hauteur, pour relier au corps la face antérieure de la culée.

4. Exécution de la grande voûte (f_8). —
Même méthode qu'au pont de Lavour⁵.



		1 ^{er} rouleau		2 ^e rouleau		3 ^e rouleau	
		Maxima	Minima	Maxima	Minima	Maxima	Minima
Corps de la voûte.	à 60°	1 ^m 40	1 ^m 20	0 ^m 80	0 ^m 80	1 ^m 20	1 ^m 00
	à la clef.	0 80	0 60	0 40	0 40	0 60	0 40
Bandeaux.....	à 60°	1 40	1 20	0 80	0 80	1 25	1 05
	à la clef.	0 80	0 60	0 65	0 45	0 40	0 40

B. 1^{er} rouleau. — Les tronçons I achevés, on chargea le cintre sur 20° de chaque côté de la clef, de 80^{me} de moellons, — à peu près l'épaisseur du 1^{er} rouleau.

I et II étaient sur coffrages, III et IV sur taquets.

On clava en descendant de la clef jusqu'à 16°44', puis en montant des retombées.

5. — II, p. 139.

Avant le clavage, les bandes de plomb de l'intrados étaient matées au refus, le joint nettoyé et lavé à grande eau.

On matait les joints d'un moellon 2 jours après sa pose.

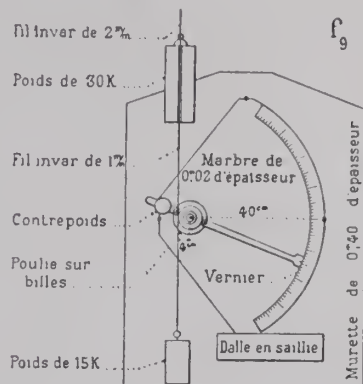
C. 2^e et 3^e rouleaux. — On les clava à partir de la clef.

D. Mortier de matage.

Sable de calcaire broyé.....	900 ^l
Ciment artificiel Lafarge de Valdonne....	550 ^k
Eau.....	165 ^l 6

5. Tassements. — Sur chaque tête, à la clef, à 33° 27' 40" côté Miramas, à 25° 5' 31" côté l'Estaque, un fil « invar » de 2^{mm} transmettait les tassements à un cadran (f₉) scellé dans un massif.

Voici les tassements observés :



Dates	Phases de la construction	Tassements en mm					
		A 33° 27' 40" Côté Miramas		Clef		A 25° 5' 31" Côté L'Estaque	
		Amont	Aval	Amont	Aval	Amont	Aval
26 Avril	1 ^{er} rouleau	Tronçons I achevés.		0	0	0	0
2 Mai		Cerveau du cintre chargé		2.5	2.6	10.7	11.9
5		5.2	5.4	14.1	15.0	6.4	5.6
13		15.7	17.0	23.8	25.7	9.5	9.0
14		15.9	17.0	23.7	25.7	22.9	22.9
19		17.8	18.9	26.3	28.0	22.9	23.0
20		18.7	19.8	27.2	28.8	25.6	25.0
21		19.3	20.3	27.4	29.2	26.8	26.2
22		19.4	20.5	27.2	29.2	27.4	27.0
2 Juin		20.7	21.6	27.4	29.9	27.9	27.1
3	2 ^e rouleau	Clavages		20.8	21.6	27.6	28.0
4		20.9	21.6	27.8	30.2	27.9	28.0
7		21.1	22.0	28.2	30.3	28.0	28.0
12		21.9	22.9	28.3	30.5	28.3	28.8
13		22.1	23.1	28.4	31.0	28.9	29.5
14		22.3	23.2	28.4	31.2	28.9	29.8
16		22.4	23.5	28.3	30.9	29.0	29.7
28		23.5	24.7	28.8	31.2	29.0	29.8
1 ^{er} Juillet		23.6	24.8	28.9	32.2	29.8	30.6
4		23.8	24.8	29.0	32.4	29.9	30.6
15	3 ^e rouleau	24.64	25.18	29.21	32.4	29.9	30.8
12 Août		26.32	25.85	29.15	32.7	30.12	31.09
18		26.38	25.86	29.37	32.8	30.38	31.56
		27.25	26.42	29.62	33.11	30.49	31.67
	Avant Après	décintrement		29.62	33.28	30.63	31.83

6. — Au lieu de 231^l pour le mortier ordinaire. (voir V, p. 166).

Tassements au décintrement.

		Tête amont	Tête aval
Clef		0mm22	0mm34
Joint à {	23° 27' 40" de la clef. Côté Miramas.....	0, 06	... 0, 01
	25° 5' 31" — id. L'Estaque.....	0, 11	— 0, 11

Au clavage, il a plu, puis a soufflé le mistral qui a desséché le bois et commencé le décintrement.

6. Quantités et dépenses.

		Cubes	Prix			Prix de revient du mc.
			Main-d'ouv ^{re}	Fournitures	Ensemble	
Fouilles.....	{ Culée l'Estaque.....	4160 ^{mc}	119.952 ^f 79	101.161 ^f 61	221.114 ^f 40	53 ^f 15
	{ Autres fouilles.....	9433	42.916 35	23.292 10	66.208 45	7 02
Maçonneries.	{ Fondations de la culée l'Estaque..	4160	17.662 13	79.287 20	96.949 33	21 66
	{ Autres maçonneries...	7460	153.296 18	366.955 46	520.251 64	69 77
Cintres.....			60.342 69	33.342 31	93.685 00	» »
			394.170 ^f 14	604.038 ^f 68	998.208 ^f 82	

7. Quelques prix d'unité.

A. — Matériaux à pied d'œuvre

Bois de charpente..... le mc	75 ^f	Moellons {	bruts (des tranchées).....	2 ^f
Sapin en grume..... —	70		équarris.....	16
Planches de 4 ^{cm} le mq	2 50		d'appareil	52
Ciment artificiel Lafarge			— grande voûte.....	80
de Valdonne	la tonne 50 ^f			
Chaux { maritime.....	— 42	Libages		
de Lafarge { administrative...	— 33			
Sable de calcaire broyé.....	le mc 5	Pierre de taille {	de Châteauneuf	80
			de Ruoms.....	105

B. — Salaires (Prix de l'heure)

Chef charpentier, mécanicien, maçon....	1 ^f	Maçon.....	0 ^f 73
Chef de chantier.....	0.90	Mécanicien	0.70
Tailleur de pierre.....	0.80	Mineur, boiseur.....	0.52
Charpentier	0.75	Terrassier, manoeuvre.....	0.45

8. Personnel (C^{ie} P.-L.-M.)

Ingénieur en Chef : M. Canat.

Ingénieur : M. Delaly.

Chef de section : M. Gay.

Sous-Chef de section : M. Bertrand.

Entrepreneurs : MM. Ruvenhorst et Milliat.

PONTS A UNE SEULE GRANDE ARCHE SOUS CHEMIN DE FER A VOIE ÉTROITE

SÉRIE C¹ f^r ($\geq 40^m$)

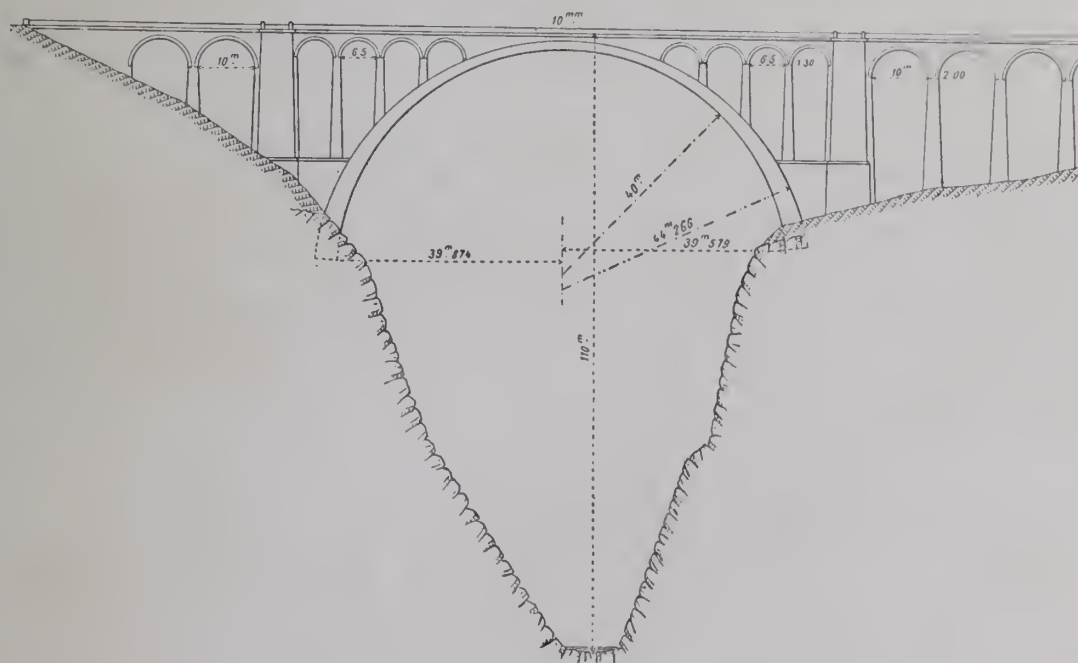
(Voir tableau synoptique I, p. 52 et monographies I, p. 55 à 58)

PONT SUR LA ROIZONNE A 6^k DE LA MURE (ISÈRE)¹

*Ligne électrique à voie de 1^m de La Mure à Gap
et Chemin de grande Communication.*

1912-1916 C¹ f^r ($\geq 40^m$)²

f₁ — Ensemble — 0mm75



1. Intrados. — C'est réellement un arc de cercle très peu surbaissé : il diffère très peu d'un plein cintre, je le compte comme tel.

2. Hauteur de la voie au-dessus du thalweg. — 110^m²

1. — Voir tableau synoptique VI, p. 180.

2. — Il y a 86^m à Solis (I, p. 56 f₁), 88^m à Wiesen (I, p. 236 f₁).

Φ_1 — Octobre 1915

3. Cintre. — C'est le type de Luxembourg,³ dans lequel l'entrait armé est remplacé par une poutre armée. Il a été calculé par les mêmes méthodes, les mêmes formules, avec les mêmes charges, les mêmes efforts par $\overline{0^m01}^2$.

3. — II, p. 70-74.

Sur chaque rive, on a monté et assemblé les 4 panneaux inférieurs des 4 fermes; le tout a été soulevé et mis en place à l'aide d'un chariot porté par un câble transporteur, puis soutenu en porte à faux par des câbles amarrés aux grandes piles. Les poutres métalliques faisant clef des 4 fermes ont été mises en place l'une après l'autre⁴.

Φ_2 . — Cintre en montage — Juillet 1914.

Φ_3 . — Clavage du 2^e rouleau — Déc. 1914.



4. Personnel.

Ingénieurs :

Projet : M. Rivoire-Vicat, Inspecteur Général des Ponts et Chaussées.

Direction des Travaux : M. Rivoire-Vicat.

M. Wilhelm, Ingénieur en Chef.

MM. Millot et Genet, Ingénieurs ordinaires.

M. Humbert, Sous-Ingénieur, Chef de Section.

Entrepreneurs : MM. Fayolle et Pascal.

4. — Toute cette opération a été très bien conduite par M. Bonnet, maître charpentier, à Grenoble.

SOURCES :

Dessins et renseignements gracieusement communiqués par M. l'Inspecteur Général Rivoire-Vicat.

VOÛTES INARTICULÉES EN ELLIPSE
PONTS EN DEUX ANNEAUX
A PLUSIEURS GRANDES ARCHES SOUS ROUTE

SÉRIE $E^n E^n r^{te}$ ($\geq 40^m$)

(Voir tableau synoptique I, p. 190 et monographies I, p. 193 à 207)

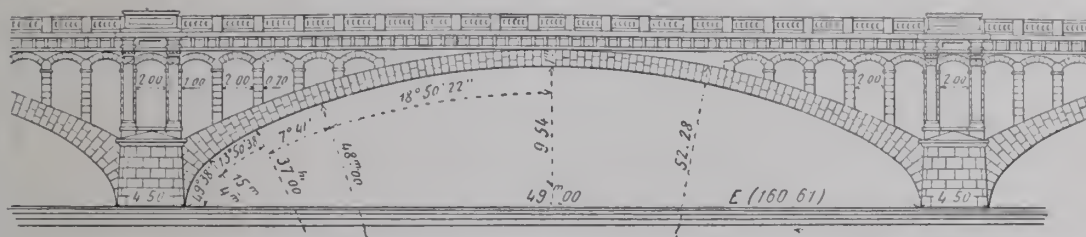
PONT DE L'HÔTEL-DIEU, SUR LE RHÔNE, A LYON¹

1912-1916 **$E^n E^n r^{te}$ ($\geq 40^m$)²**

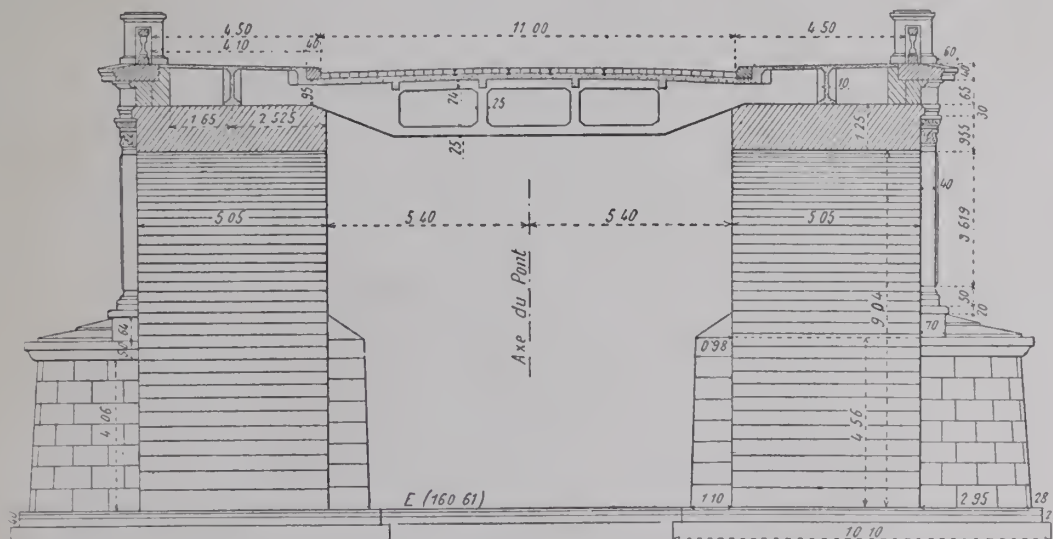
f_1 — Ensemble — 0^{mm}6



f_2 — Voûte de 49^m — 2^{mm}



f_3 — Coupe en travers à la clef — 5^{mm}



1. — Voir tableau synoptique VI, p. 182.

Personnel.

Projet: M. Auric, Ingénieur en Chef de la Ville, Ingénieur en Chef des Ponts et Chaussées. (Type de pont, dimensions des voûtes).

M. Chalumeau, Ingénieur en Chef de la Ville.

M. Fabrègues, Ingénieur.

Φ_1 — Vue prise de la rive gauche — 9 mars 1916.



Φ_2 — Anneau aval, voûte de 49^m — 5 nov. 1914. ²

Travaux: M. Chalumeau, Ingénieur en Chef, M. Cortot, Ingénieur.

M. Fauton, Conducteur Principal.

Entrepreneurs:

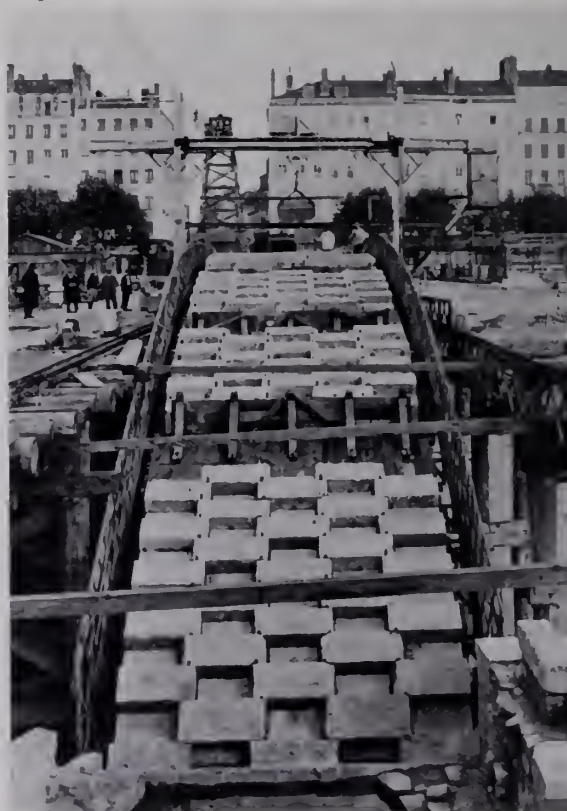
Fondations: M. Joya, de Grenoble.

Élévation et dalle en béton armé: MM. Rouchon, Desseauve et Cochet frères, de Lyon.

Fourniture de pierre de taille: M. Sauvain, à Corgoloin.

2. — Voir sur la découpe dans une même assise III, p. 67, art. 5 B — V, p. 18, art. 2.

SOURCES: Dessins, photographies, renseignements, gracieusement communiqués par M. Chalumeau, Ingénieur en Chef de la Ville de Lyon.



PONTS A PLUSIEURS GRANDES ARCHES SOUS CHEMIN DE FER A VOIE NORMALE

SÉRIE Eⁿ I^r ($\geq 40^m$)

(Voir tableau synoptique I, p. 222 et monographies I, p. 225 à 230)

PONT SUR LE TARN A COURRIS (TARN)¹

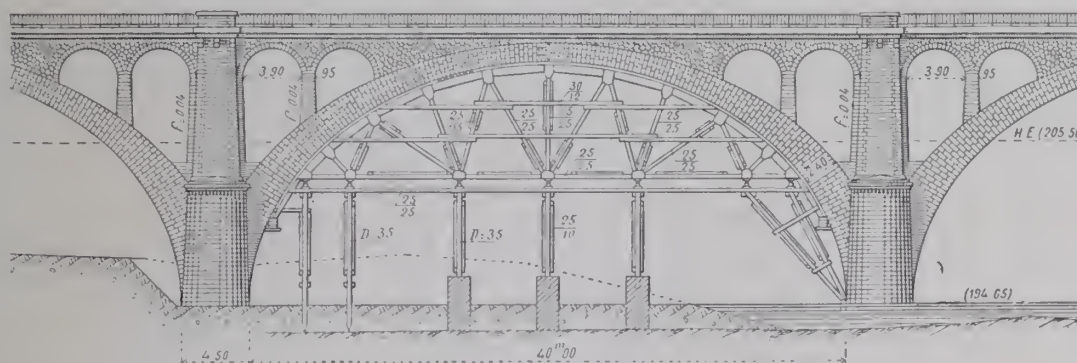
Ligne d'Albi à Saint-Affrique

1912-1916 Eⁿ I^r ($\geq 40^m$)²

f₁ — Ensemble — (0mm)



f₂ — Arche centrale — 2mm



1. Un seul cintre pour les 3 voûtes. — Le Tarn a eu là une crue de 10^m85 : pour ne pas l'encombrer, on n'a fait qu'un cintre.

Il est du type Antoinette.²

Sur ce cintre, on a d'abord construit le 1^{er} rouleau d'une voûte de rive, (2 assises de moellons). On a décintré³, puis on a transporté le cintre à l'autre rive : on a, dessus, construit le 1^{er} rouleau de la voûte, puis, celui de la voûte centrale.

1. — Voir tableau synoptique VI, p. 182.

2. — II, Pl. p. 144^{bis} f₁₆ — V, p. 139.

3. — En supposant au 1^{er} rouleau 0^m875 à la clef, 1^m125 au milieu de la montée, la pression maxima avant le clavage du 2^e rouleau y est (Méthode de M. Resal): 11^t à la clef (extrados) — 18^t au milieu de la montée (extrados).

Les deuxièmes rouleaux — faute d'approvisionnement — ont été faits longtemps après les premiers, d'abord celui de la voûte centrale, puis les autres.

Φ_1 . — 19 octobre 1915.



2. Dates d'exécution du 1^{er} rouleau des 3 voûtes.

	Voûte 3 (1913)	Voûte 1 (1914)	Voûte 2 (centrale) (1914)
Commencement.....	7 septembre	2 mars	26 juin
Fin.....	17 octobre	20 avril	30 juillet
Décintrement.....	23 novembre	20 mai	10 septembre
Soit après	37 jours	30 jours	43 jours

3. Personnel.

Ingénieurs :

Projet : MM. Jannin et Aroles, Ingénieurs en Chef.

Travaux : M. Aroles, Ingénieur en Chef.

M. Barrère, Ingénieur ordinaire.

Entrepreneurs : MM. Bernard et Jean Fraisse.

SOURCE :

Renseignements gracieusement donnés par M. Barrère, Ingénieur des Ponts et Chaussées à Albi.

VOÛTES INARTICULÉES EN ARC PEU SURBAISSÉ

PONTS A UNE SEULE GRANDE ARCHE

SOUS CHEMIN DE FER A VOIE NORMALE

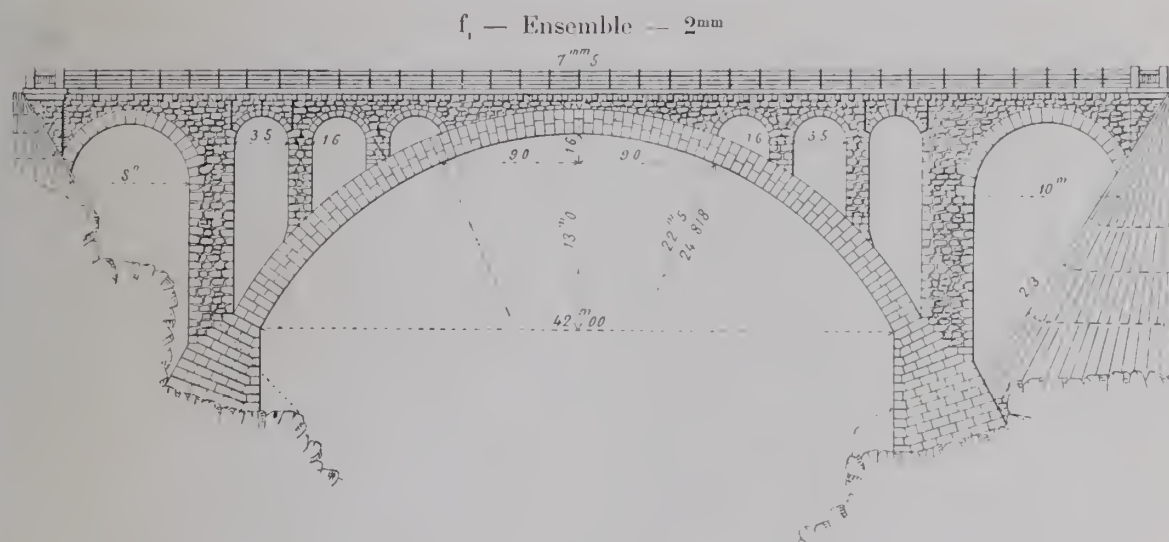
SÉRIE \hat{A}^1 1^{er} ($\geq 40^m$)

(Voir tableau synoptique II, p. 122 et monographies II, p. 125 à 176)

PONT DE NIAGARA SUR LA RAUMA (NORVÈGE)¹

Ligne de Dombaas à Aandalsnes

1914-19... **\hat{A}^1 1^{er} ($\geq 40^m$)¹²**



1. — Voir tableau synoptique VI, p. 184.

SOURCE :

Dessins d'exécution et renseignements qu'a bien voulu me communiquer, en avril 1916, M. Otto Aubert, Ingénieur en Chef de la Construction des Chemins de fer de l'Etat, à Christiania.

PONTS A UNE SEULE GRANDE ARCHE SOUS CHEMIN DE FER A VOIE ÉTROITE

SERIE \widehat{A}^1 f^r ($\geq 40^m$)

(Voir tableau synoptique II, p. 180 et monographies II, p. 183 à 196)

PONT SUR LA VOUGA

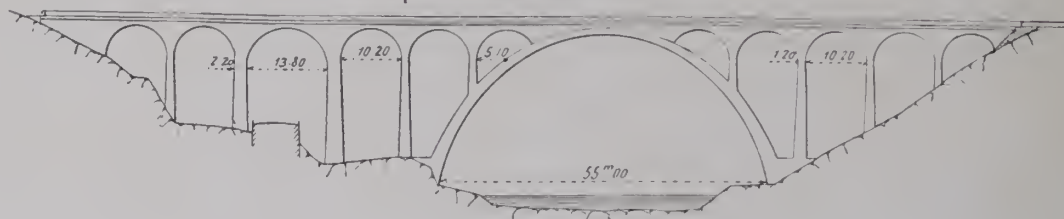
A POZO PRÈS DE PECEGUEIRO DO VOUGA (PORTUGAL) ¹

Ligne de Sarnada à Vizeu

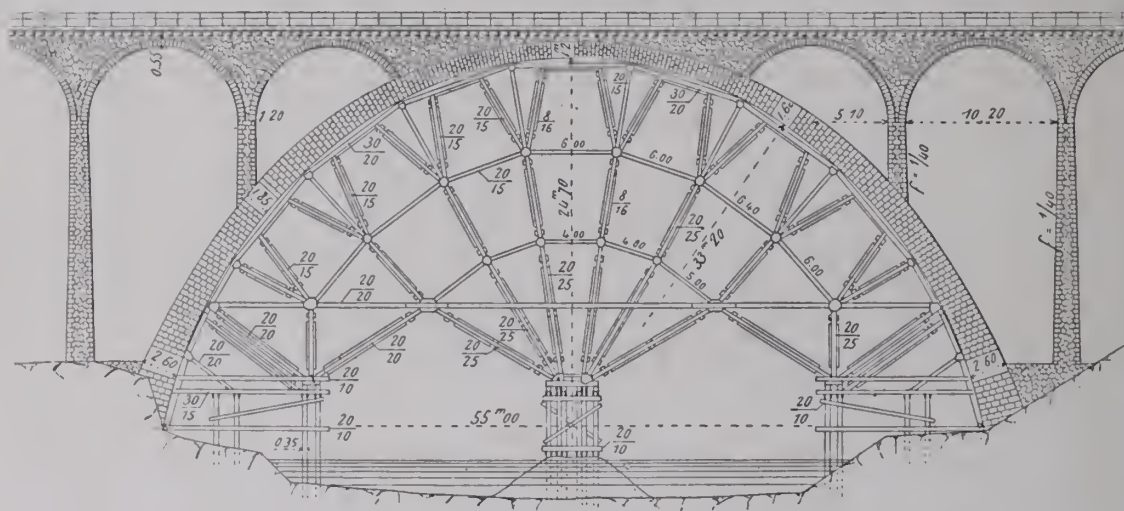
Mars-Juillet 1913

\widehat{A}^1 f^r ($\geq 40^m$) ⁵

f₁ — Ensemble — 0^{mm}8



f₂ — Grande voûte — 2^{mm}



1. — Voir tableau synoptique VI, p. 184.

SOURCE :

Dessins et renseignements gracieusement communiqués par M. F. Mercier, Entrepreneur à forfait de la ligne de La Vouga.

PONT DE PÉLUSSIN (LOIRE) ²

Ligne d'intérêt local de Pélussin à Maclas

Commencé en Juin 1914

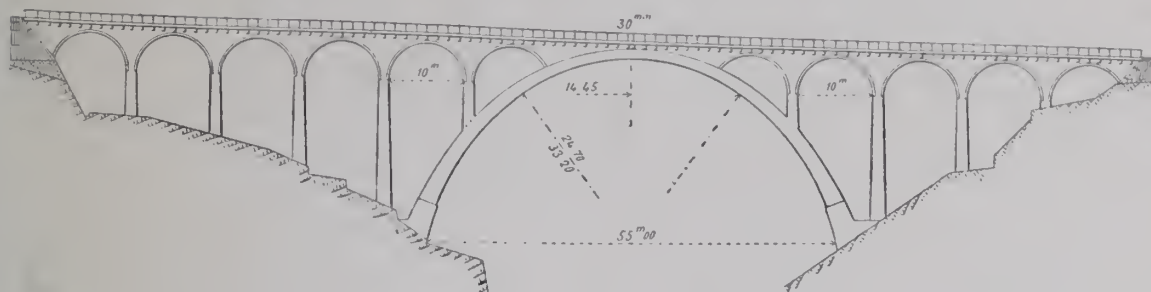
Repris en Mai 1915

Terminé en Mars 1916

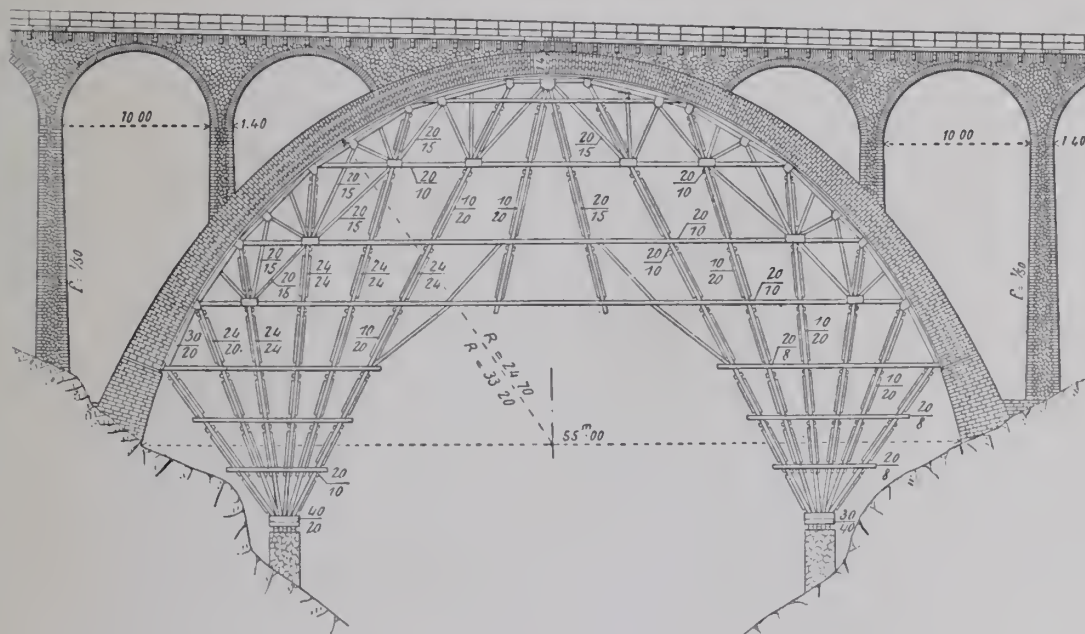
\widehat{A}^1 fr ($\geq 40^m$)⁶

(Voir monographies II, p. 183 à 196)

f₁ — Ensemble — 1^{mm}



f₂ — Grande voûte — 2^{mm}



2. — Voir tableau synoptique VI, p. 184.

SOURCE :

Dessins et renseignements qu'a bien voulu me donner M. F. Mercier, Président de la Société des Chemins de fer du Centre.

VOÛTES INARTICULÉES EN ARC ASSEZ SURBAISSÉ
PONTS EN DEUX ANNEAUX
A UNE SEULE GRANDE ARCHE SOUS ROUTE ¹

SÉRIE $\widehat{A}^1 \widehat{A}^1$ 1^{re} ($\geq 40^m$)

(Voir tableaux synoptiques III, p. 16, II, p. 61 et monographies III, p. 19 à 70, II, p. 67 à 114)

PONT SUR LE LOT A VILLENEUVE (LOT-ET-GARONNE) ²

Route et ligne d'intérêt local de Villeneuve à Villeréal

1914-1916 $\widehat{A}^1 \widehat{A}^1$ 1^{re} ($\geq 40^m$)¹

1. Pont en 2 anneaux. — L'ouvrage est en 2 anneaux de 3^m03 de largeur, distants de 4^m90, retombant sur 2 culées de 4^m perdues dans le terre-plein du quai.

Sur les arcs, s'appuyent des piles en béton armé revêtues de briques, portant le tablier en béton armé, entretoisées le long des tympans par des pleins cintres en béton armé, revêtus de briques.

2. Fibre moyenne et intrados des grandes voûtes. — La fibre moyenne est un funiculaire des charges mortes ; rapportée à une tangente au sommet, elle a pour équation :

$$y = 0,47619 \left(\frac{x}{10} \right)^2 \left[1 + 0,00681819 \left(\frac{x}{10} \right)^2 + 0,0000161006 \left(\frac{x}{10} \right)^4 \right] \quad ^3$$

Pour une montée de 13^m054, sa portée est de 96^m86 : son rayon de courbure à la clef est de 105^m.⁴

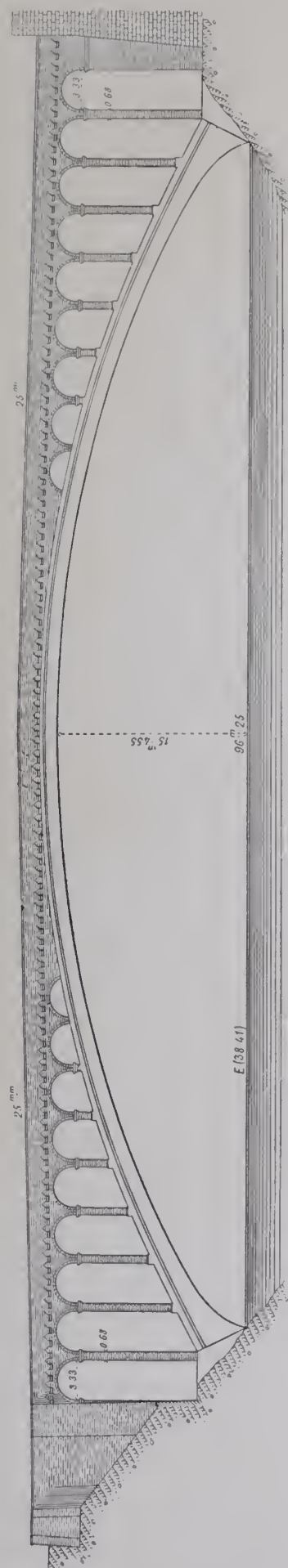
Normalement à cette fibre moyenne, on a porté les 1-2 épaisseurs calculées et on a tracé, au sentiment, l'intrados. A partir de 44^m de la clef, c'est un arc de 15^m, puis de 5^m44 de rayon.

1. — Ponts sous route en 2 anneaux, de 40^m de portée et plus :
 en ellipse à plusieurs grandes arches, I, p. 188 à 207 — Pont des Amidonniers ;
 en arc peu surbaissé, à une seule grande arche, II, p. 60 à 114 — Ponts de Luxembourg p. 67, de Walnut Lane, p. 83 — sur la Rocky River, p. 95 — de Constantine, p. 107.

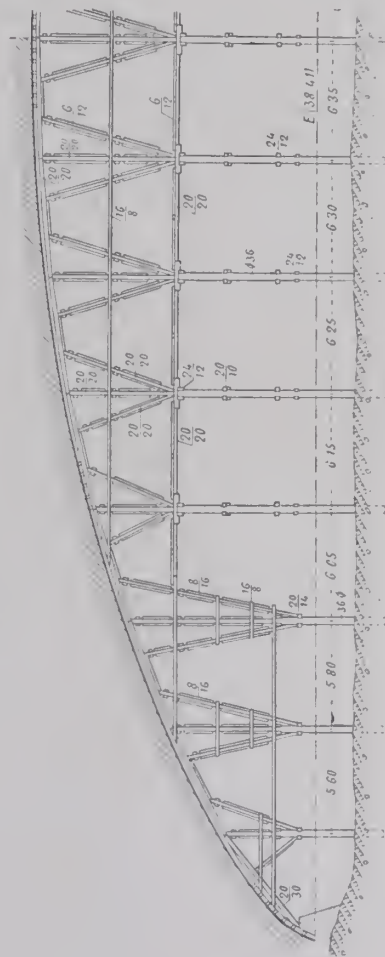
2. — Voir tableau synoptique VI, p. 186.

3. — Elle est à moins de 0^m009 de la courbe : $Y = \frac{13,054 \left[\overline{129^2} - \overline{48,43^2} \right]}{48,43^2} \times \frac{x^2}{129^2 - x^2}$
 (III, p. 337, 366).

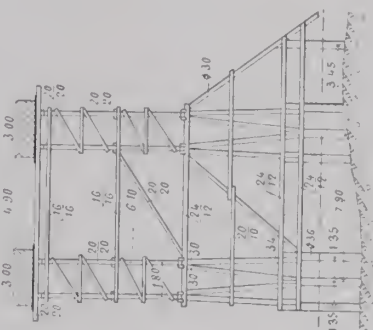
4. — C'est celui de l'intrados du Pont de Plauen (III, p. 14, 52).

f, — Élévation — 2^{mm}

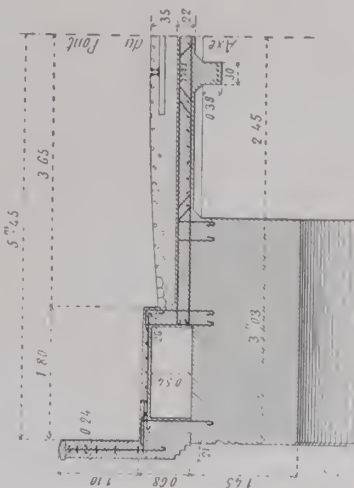
Cintre — 2mm;

 $f_0 = 1/2$ élévation

f₃ — Coupe à la clef



$f_1 - 1/2$ coupe en travers à la clef — 1 cm



3. « Matériau » des grandes voûtes. — Elles sont en béton, au dosage de 350^k de ciment pour 1^{me} de gravier « tout venant » du Lot. ^{5, 6, 7}

4. Parapet (Projet). — Le parapet, en briques, de 0^m24 d'épaisseur, sera armé. Il reposera sur une file de corbeaux portant des mitres en briques, comme on en voit à de vieux monuments de Toulouse.

5. — Pour les voûtes en béton, voir V, p. 23 à 28.

6. — Voici les résultats des essais faits à l'École des Ponts et Chaussées, à 90 jours, sur des cubes de 20^{cm} de béton de mêmes éléments (Procès-verbal du 16 juin 1915) :

Poids en kg du ciment pour 1 ^{me} en œuvre	200 ^k	250 ^k	300 ^k	350 ^k	400 ^k	450 ^k	500 ^k	550 ^k	600 ^k
Charge { 1 ^{re} fissure.....	171	173	270	411	438	484	550	495	472
par 0 ^m 01 ² } écrasement.....	185	243	332	457	515	544	626	567	602

7. — Les Compagnies de l'Est et du Nord ont fort judicieusement refait en béton des voûtes ruinées en août et septembre 1914 : elles n'auraient pas eu à temps des moellons.

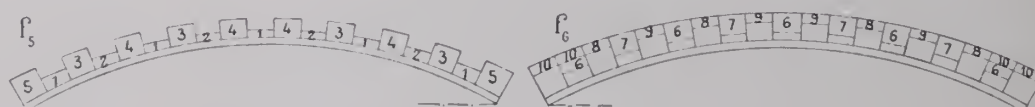
Voici les ingénieuses dispositions imaginées par M. Descubes, Ingénieur en Chef de la Voie de l'Est : là où les débris des ouvrages encombrant le lit des rivières, il est fort difficile de placer les cintres usuels. On courbe de vieux rails* — mieux des cornières assemblées, plus faciles à courber — on les noie dans 20^{cm} à 25^{cm} de béton.

Ce rouleau-cintre s'appuie sur des retombées bien dressées ; il restera dans la voûte.

Pour un pont sur la Meurthe à Raon-l'Étape, ligne de Lunéville à Saint-Dié, à 2 arcs de 18^m35 surbaissés à 1/7,46, on a ainsi bétonné (mars-avril 1915) :

à peu près tous les mètres, on pose sur le cintre, normalement à la fibre moyenne, des grillages en fil de fer raidis par des fers ronds ou des cornières : on coule le béton dans 4 alvéoles à la fois, répartis de façon à charger uniformément le rouleau-cintre (lequel est déformable) — alternativement sur le 1/3 et sur les 2/3 de l'épaisseur de la voûte (f_3) ; on fait de même pour le 2^e rouleau (f_6). Les voussoirs se soudent à travers les mailles des grillages.

Les deux arches ont été bétonnées en deux jours.



La Compagnie du Nord a refait en béton :

les 3 voûtes du pont de Laversine sur l'Oise (ligne de Paris à Creil), 3 voûtes biaises à 50° de 28^m66 de portée biaise, à peu près en plein cintre sur leur section droite, sur cintres retroussés rigides, en 2 rouleaux sans joints vides ; le premier du 1/3 de l'épaisseur, coulé en 48 heures. On a noyé dans le béton 2 quadrillages de fers ronds de 22^{mm} à l'intrados et à l'extrados, réunis par des étriers en barres de 14^{mm} (environ 40 kil. d'acier par m. c. de béton). — Dosage du béton, 350 kil. de ciment par m. c. (février-avril 1915).

Projet et direction des travaux : M. Candelier, Ingénieur en Chef de la Compagnie du Nord, avec le concours de MM. Babut, Inspecteur Général des Ponts et Chaussées et Freyssinet, Ingénieur des Ponts et Chaussées.

Entrepreneur : M. F. Mercier, à Moulins.

6 arches du viaduc de Poix** (ligne d'Amiens à Rouen) : pleins cintres de 16^m50 ; les premières ont été construites par tranches en béton à 200 kil., les dernières par rouleaux en béton à 300 kil. (novembre 1914-mai 1915).

Direction : M. Candelier, Ingénieur en Chef de la Compagnie du Nord.

Projet : M. Freyssinet, Ingénieur des Ponts et Chaussées, en congé.

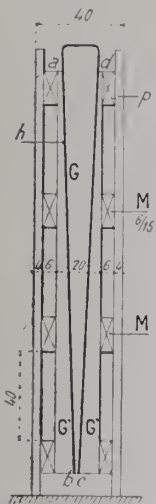
Entrepreneur : M. Graveron.

* L'idée première du cintre en rails noyés dans la voûte est de M. Valat, Ingénieur Principal de la Compagnie de l'Est.

** VI = p. 64, renvoi 69.

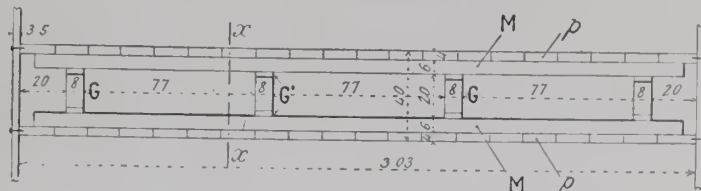
5. Exécution des grandes voûtes. — Sur le cintre, le long des bandeaux, on a monté des masques latéraux très solides, sur lesquels on a cloué des liteaux pour dessiner les moulures — puis au droit de chaque appui du cintre, un coffrage réservant un vide de 0^m40 (f_7 , f_8).

f_7 — Coupe sur xx
de f_8 .



Coffrage entre 2 tranches (0^m03 p. m.)

f_8 — Vue par dessus

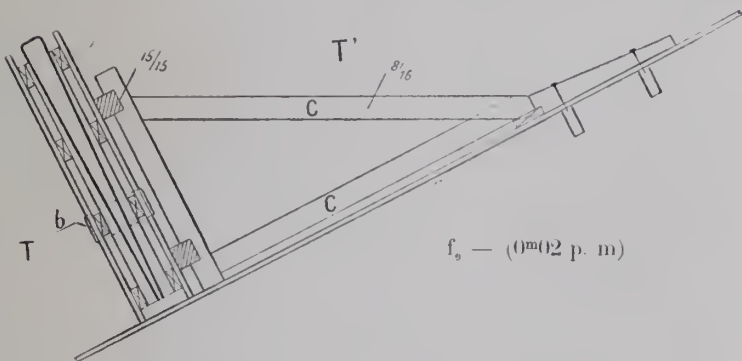


G — Coin en bois entouré d'un feillard h de 6^{mm}, suifé.

G' — Contre-coin en bois : sur les faces ab , cd , feillard de 2^{mm}.

p — Planches de 4^{cm} placées normalement à la douelle.

Pendant qu'on remplissait une tranche T (f_9), le coffrage était tenu par un chevalet amovible CC qu'on enlevait ensuite et qu'on plaçait plus haut pour tenir le coffrage supérieur de la tranche suivante T'.



Les voûtes étaient ainsi divisées en tranches entourées d'une caisse étanche et solide : ces tranches avaient

environ 5^m60 de long ; elles cubaient de 25 à 40^m. On remplissait une caisse par jour, par couches de 0^m20 parallèles à la douelle : le béton était damé par trois pilonneuses à air comprimé ; il était peu mouillé.

Contre les masques de tête, sur 0^m20, le béton n'avait pas de cailloux de plus de 3^{cm} ; il était dosé à 600 kg par mètre cube et un peu plus mouillé : on avait ainsi un parement plus compact, résistant mieux aux intempéries.

On a monté les deux arcs des retombées à la clef : on faisait une tranche sur l'un, puis la même tranche sur l'autre.

Pour empêcher une tranche T' de glisser sur le cintre (f_9), on la retenait, au tiers de la hauteur du joint à partir de l'intrados, par des butons b en béton fretté de 0^m20 de diamètre, qui traversaient le coffrage pour s'appuyer sur la

tranche inférieure T^8 : on les noyait ensuite dans le béton.

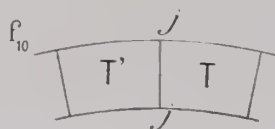
On laissait le béton durcir 48 heures, puis, on « décoffrait », en « décollant » les coins $G(f_i)$: on réemployait les bois aux joints suivants.

Pendant l'exécution d'une tranche, l'appui en arrière tassait d'environ 2^{cm} : moins, pendant celle de la tranche suivante. Dans un cintre à poteaux et contre-fiches, les déformations d'un appui sont indépendantes de la charge sur les autres⁹.

Toutes les tranches faites, on a rempli les vides entre elles avec le même béton bien pilonné.

6. Décintrement. — On a décintré, par un procédé fort ingénieux, inventé par l'auteur du projet M. Freyssinet, et éprouvé par lui à des arcs en béton armé¹⁰.

Au lieu d'abaisser le cintre sous les voûtes, on soulève les voûtes au-dessus du cintre, en écartant l'une de l'autre les demi-voûtes de part et d'autre de la clef par des vérins hydrauliques assez puissants pour y produire un effort égal à la poussée qui serait créée par le décintrement¹¹.



Supposons exécutée la dernière tranche T' de la demi-voûte de gauche (f_{10}) : on enlève le coffrage qui maintenait le joint de clef jj , on graisse ce joint pour que le béton de T n'y adhère pas, et, contre lui, on exécute la tranche T . L'arc est ainsi coupé à la clef par un joint jj sans épaisseur.

8. — Voir ce qui a été fait pour retenir les tranches au pont de Walnut Lane II, p. 90.

9. — V, p. 135, 137.

10. — Arc à deux articulations (portée 50^m, montée 2^m) que M. F. Mercier, Entrepreneur, a fait construire à Moulins en 1908, à titre d'expérience : on l'a décintré en y enfonçant des coins à la clef.

Ponts en béton armé sur l'Allier : du Veurdre 1910 (3 arcs de 72^m56 et 67^m surbaissés au 1/15, (1910) — de Boutiron, (1912). Entrepreneur à forfait M. F. Mercier.

11. — Dans un mémoire inséré aux Annales des Ponts et Chaussées d'octobre 1881, p. 472, j'indiquais que le système des clavages multiples matés « crée entre les voussoirs des clavages des réactions qui soulagent le cintre et préparent le décintrement. »

Dans son rapport du 20 juin 1913 sur les projets présentés pour le pont de Villeneuve, M. l'Ingénieur en Chef Bory fait cette observation :

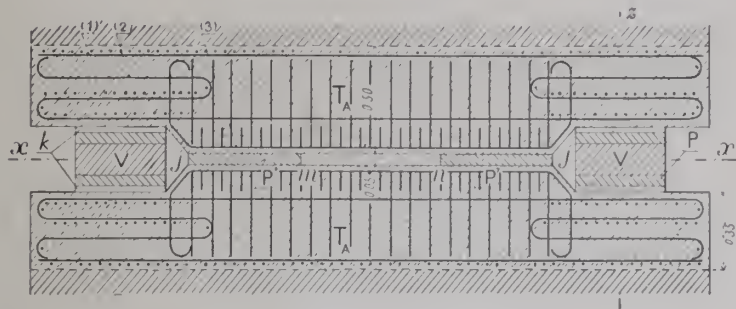
« Il convient de remarquer ici que le système de décintrement très particulier qui sera employé au pont de Villeneuve n'est que l'application systématique de ce dernier principe.

« On crée à la clef des réactions, non par le clavage et le matage du joint, mais par l'action de vérins hydrauliques. Le principe reste le même et les moyens sont différents. »

Dans des vides ménagés à la clef à chaque tête, on a placé quatre vérins V capables chacun de 500^T (f_{11} , f_{12} , f_{13}) : ils pressaient par des plaques d'acier P de 5^e d'épaisseur des tranches T_A en mortier à 1.000 kg de ciment par mètre cube, tenu par une armature à mailles serrées.

Dispositif de décintrement (0^m03 p. m.).

f_{11} — Coupe sur yy de f_{12}



T_A est armée en barres de 8^{mm}.

Pour ne pas surcharger les croquis, on n'a figuré que la moitié des barres (1), (2), (3).

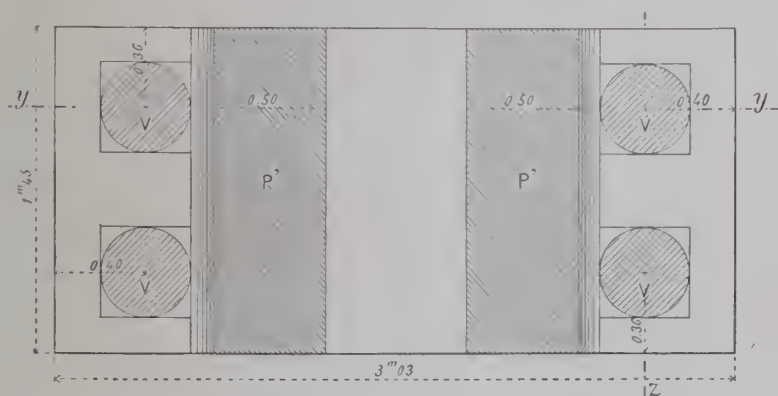
k — Joint de 25^{mm}.

\vee ciment 1.000^e

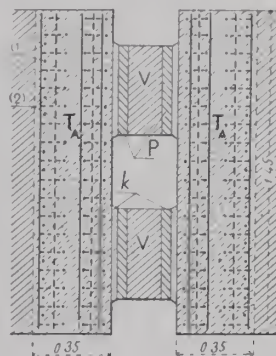
\wedge sable tamisé 1^{re}

mortier pulvérulent maté.

f_{12} — Coupe sur xx de f_{11}



f_{13} — Coupe sur zz



Sous une pression de 260^T par vérin¹², le joint vide jj (f_{10} , f_{11}) s'est ouvert de 2^e environ sans soulèvement au-dessus du cintre, puis, la pression atteignant 270^T, de 8^e à l'extrados, de 7^e à l'intrados, avec un soulèvement d'environ 9^e au-dessus du cintre.

Dans le joint ainsi ouvert, on a introduit deux plaques en mortier P' (f_{11} , f_{12}) armées d'un quadrillage à mailles serrées, de 5^e d'épaisseur à faces parallèles, garnies sur chaque face d'un enduit frais de pâte de ciment pur de 3^{mm}.

On a laissé échapper l'eau des vérins. Le joint ouvert s'est refermé sur les plaques P' : l'écartement de ses faces est devenu uniforme et égal à 53^{mm}, le soulèvement au-dessus du cintre était réduit à 5^e. Entre les 2 plaques P' (c'est-à-dire en mn de f_{11}), on a maté du mortier pulvérulent de ciment.

12. — Soit 1.040^T pour les 4. La poussée calculée de l'arc nu était 1.035^T, soit 24 k. $\sqrt{0^{\circ}01}$.

Cet allongement artificiel de 53^{mm} de la fibre moyenne primitive compense :

1° le raccourcissement par compression de l'arc, sous son poids ;

2° le recul des appuis ;

3° le retrait, réalisé avant le décintrement ou à prévoir après.

Les cales P' introduites à la clef, en supprimant les couples de flexion dus aux raccourcissements, réduisent et égalisent les efforts maxima.

Malgré la précision des mesures, on n'a pu constater de déplacement latéral dû au flambement.

Par contre, en refermant le joint de clef sur des cales d'épaisseur inégale, on a provoqué des déplacements latéraux : on les a fait ensuite disparaître, en refermant sur des cales d'égale épaisseur.

Φ_1 . — Février 1916. ¹³



7. Dates d'exécution.

1914, février-mars : on commence les travaux, — au moment de la guerre, on a fait la fouille de la culée gauche, on commence à monter le cintre ; — octobre : la culée gauche est fondée, le cintre presque monté.

1915, janvier : on suspend les travaux ; — juillet : on les reprend, on répare les dégâts causés au cintre par les crues ; on pose le platelage et les coffrages ; on fonde la culée droite — 1^{er} septembre : on pose la première tranche ; — 28 octobre : on pose la dernière ; — 29 octobre - 5 novembre : on clave ; — 6 décembre : décintrement.

13. — Photographie qu'a bien voulu nous adresser M. Mercier.

8. Personnel.

Projet et entreprise.

On avait ouvert un concours « entre les constructeurs spécialistes de béton armé, préalablement agréés ».

On a adopté les propositions de MM. F. Mercier et Cl. Limousin (forfait de 430.000 fr.).

Le projet a été dressé par leur bureau d'études sous la direction de M. Freyssinet, Ingénieur des Ponts et Chaussées, en congé, qui en a imaginé toutes les dispositions.

Examen des projets et contrôle :

M. Bory, Ingénieur en Chef des Ponts et Chaussées, à Agen.

M. Boulzaguet, Ingénieur à Villeneuve.

9. Ce qu'enseigne le pont de Villeneuve. — Comme portée, les 2 voûtes de Villeneuve (96^m25) qui sont en béton, dépassent la plus grande voûte actuelle en maçonnerie, celle de Plauen qui a 90^m¹⁴ : ce sont aujourd'hui les plus grandes du monde^{15, 16}.

La largeur à la clef y a été réduite à 3^m03, soit environ le 1/32 de la portée, sans flambement.

On les a construites sur cintre à poteaux et contrefiches.

On les a décintrées sans appareil de décintrement sur le cintre, en les comprimant à la clef par des vérins et maintenant ensuite par une cale en béton armé le joint ouvert par les vérins.

14. — III p. 14, 52.

15. — Au tome V, p. 207 renvoi 13, on a fait connaître qu'on venait de commencer les fondations de la voûte en béton du Bernard de 173^m de portée ; à cause de la guerre, on a dû y renoncer.

16. — Pour le classement des voûtes de 40^m et plus, voir V. p. 200 à 206.

SOURCE :

Dessins et renseignements gracieusement communiqués par M. Freyssinet.

PONTS A UNE SEULE GRANDE ARCHE SOUS CHEMIN DE FER A VOIE NORMALE

SÉRIE \widehat{A}^1 F^r ($\geq 40^m$)

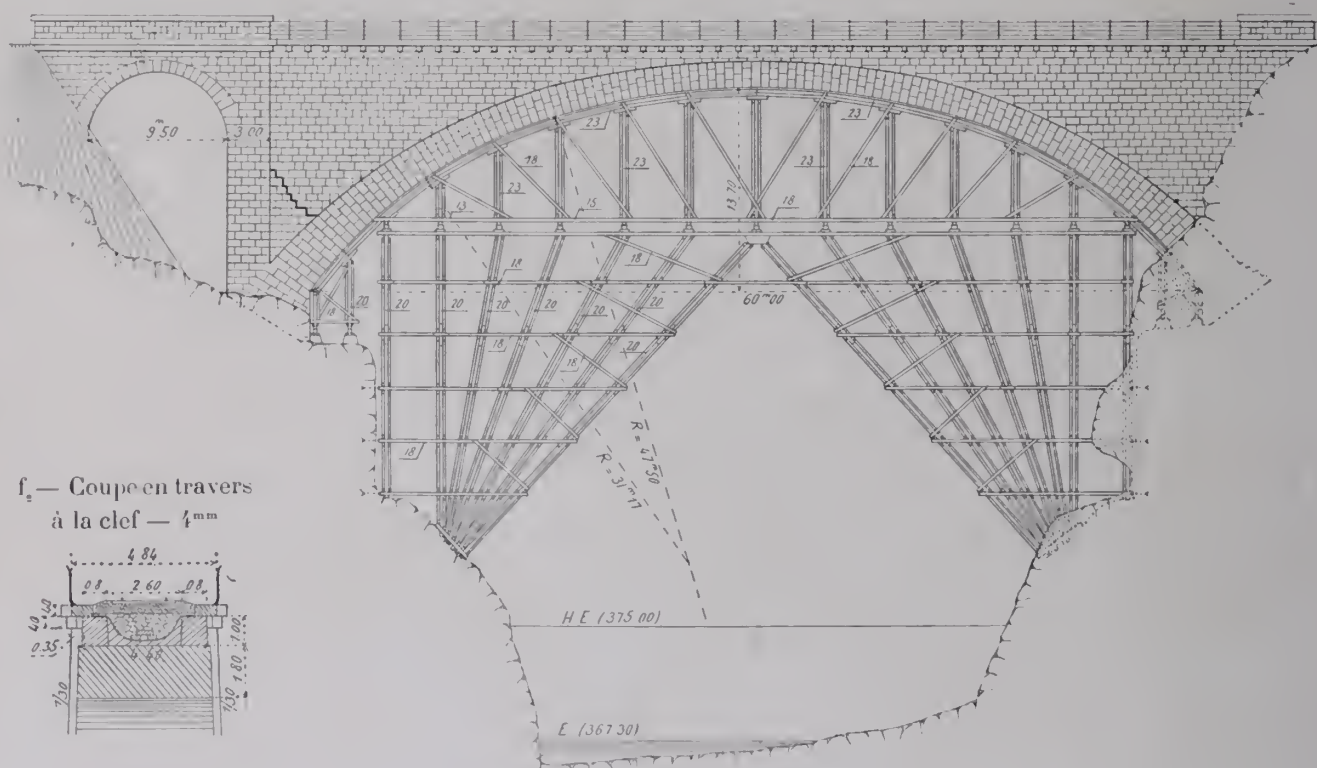
(Voir tableau synoptique III, p. 90 et monographies III, p. 93 à 168).

PONT SUR L'ORKLA, A ORKLA (NORVÈGE Drontheim) ¹

Ligne d'Orkla à Støren

1912-1915 \widehat{A}^1 F^r ($\geq 40^m$) ²⁶

f_1 — Elévation — 2^{mm}



1. — Voir tableau synoptique VI, p. 186.

SOURCE :

Dessins d'exécution et renseignements qu'a bien voulu me communiquer, en avril 1916,
M. Otto Aubert, Ingénieur en Chef de la Construction des Chemins de fer de l'Etat, à Chris-
tiania.

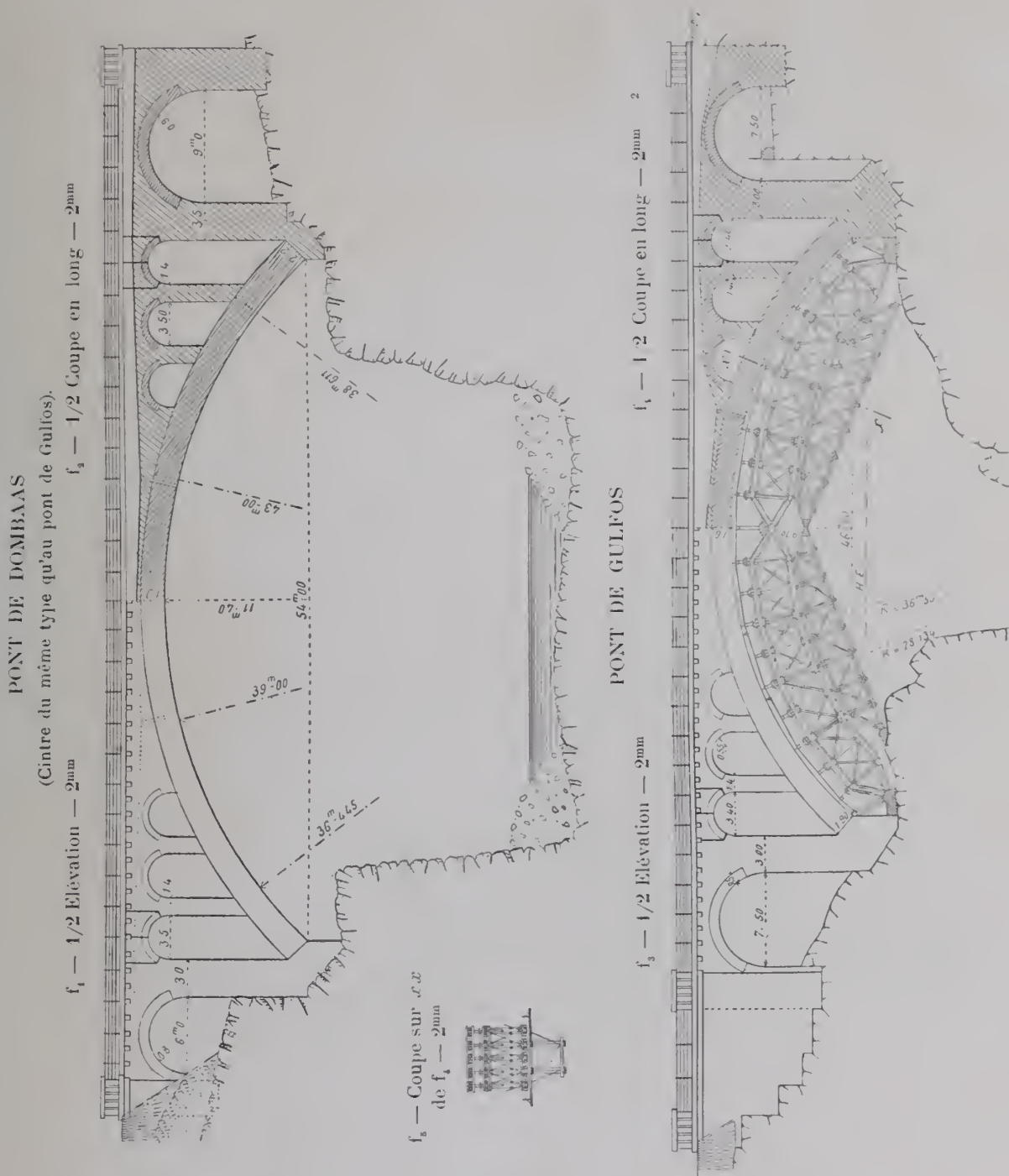
2 PONTS EN NORVÈGE :

SUR LA JORA, A DOMBAAS,¹ *ligne de Dombaas à Aandalsnes;*

DE GULFOS,¹ ligne de Trondhjem à Stören.

$$1943-19.. \quad \widehat{\mathbf{A}}^1 \text{ Fr } (\geq 40\text{m})^{27}, \quad \widehat{\mathbf{A}}^1 \text{ Fr } (\geq 40\text{m})^{28}$$

(Voir monographies III, p. 93 à 168).



1. — Voir tableau synoptique VI, p. 186.

2. — Voir le cintre de Svenkerud III, p. 151.

SOURCE:

Dessins d'exécution et renseignements qu'a bien voulu me communiquer, en avril 1916, M. Otto Aubert, Ingénieur en Chef de la Construction des Chemins de fer de l'Etat, à Christiania.

VOÛTES INARTICULÉES $\geq 40^m$ EN BÉTON PEU ARMÉ ¹

(Voir tableau synoptique III, p. 286 et monographies III, p. 289)

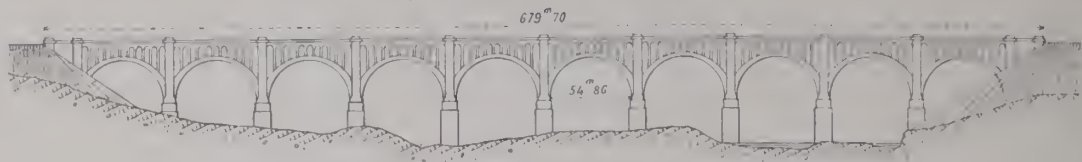
PONT SUR LE TUNKHANNOCK CREEK

PRÈS DE NICHOLSON (ÉTATS-UNIS Pennsylvanie) ²

Ligne de Scranton (Pennsylvanie) à Elmira (New-York)
(Delaware, Lackawanna and Western RR)

1912-1915

f₁ — Ensemble — 0^mm2



1. Importance de l'ouvrage. — 10 arches en plein cintre ³ de 54^m86⁴ à 73^m au-dessus de l'eau, — 679^m70 de longueur; quelques piles fondées à 30^m dans le sol — environ 125.000^m de béton, 1000^t d'acier pour l'armer, 33.000^m de déblai en fondation. C'est un des plus grands ouvrages en maçonnerie ⁵.

Φ₁ — 1915.



1. — Pour les grandes voûtes en béton peu armé, voir III, p. 284 à 303.

2. — Voir tableau synoptique VI, p. 188.

3. — Voir la Série C^e F^r ($\geq 40^m$) Tome I, p. 76 à 82.

4. — Pour les voûtes complètes — pleins cintres ou ellipses — il semble qu'on se veuille limiter à 55^m: le plus grand plein cintre (Ballochmyle, I, p. 38, 41) a 55^m17; les plus grandes ellipses surbaissées (Annibal, I, p. 88, 112 — Diable, I, p. 88, 116), la plus grande ellipse surhaussée (Wiesen, I, p. 232, 235) ont 55^m.

5. — « The largest of its kind in the World » (S, p. 484).

vite fait quand les usines sont débordées de commandes (S₁ p. 482).^{10, 11}

La courbe de pression s'écarte peu de la fibre moyenne.

Les voûtes sont légèrement armées en long et en travers près de l'intrados et de l'extrados pour résister aux efforts dus aux changements de température ; on a fait ainsi aux ponts sur la Delaware¹², de Spokane⁸.

4. Fondations des piles centrales. — On descendait un caisson sans fond de $13^m \times 15^m$, dont les parois étaient faites de palplanches d'acier de 0^m30 de largeur, 9^m15 de longueur. On les battait, on creusait — puis on achevait de les enfoncer.

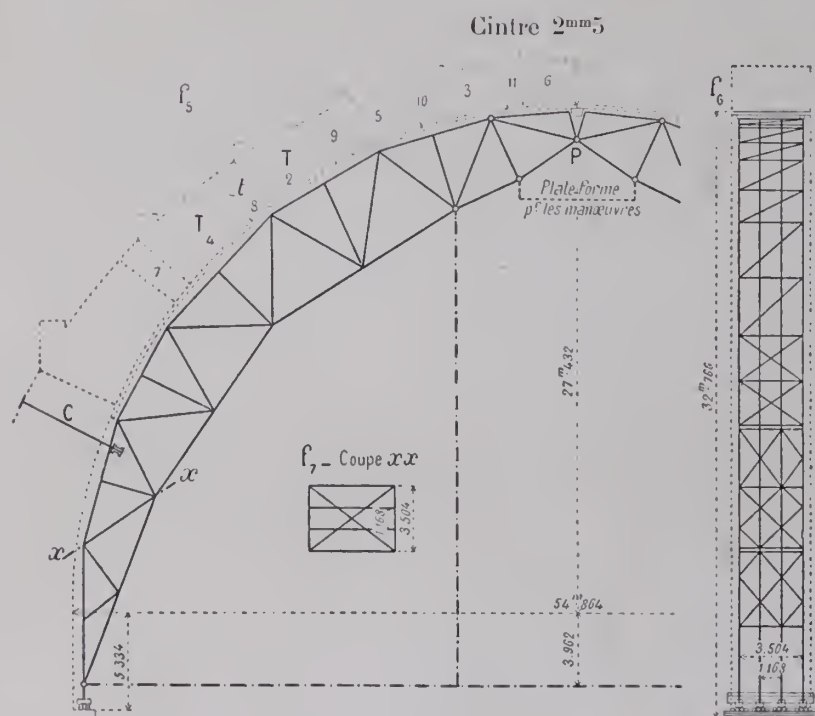
Ensuite, à 1^m45 extérieurement à ce premier caisson, on en battait un second. Quand ses palplanches étaient enfoncées de 3 ou 4^m , on déblayait à la main entre les deux, on enfonçait les palplanches du caisson intérieur — puis celles du caisson extérieur.

5. Pose du béton des piles en élévation. — Le béton (ciment 1 — sable 3 — cailloux de 5^m , 5) était posé jour et nuit sans arrêt, par couches de 1^m20 ,

dans des panneaux en bois de 5^m40 de hauteur reliés par des tirants au béton mis en place. Par le froid, on faisait le béton à l'eau chaude, on réchauffait à la vapeur le sable et les cailloux.

On a noyé dans le béton environ 11 % de grosses pierres, surtout à la surface des couches successives de 1^m20 .

6. Béton des grandes voûtes — Cintres. — Jusqu'à 10^m au-dessus des naissances, le béton était posé dans des formes en bois, en encor-



bellement de 2^m13 sur les naissances, au delà, sur des fermes d'acier articulées aux naissances et au cerveau (f_5)^{13, 14}.

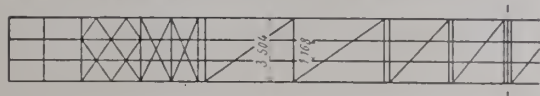
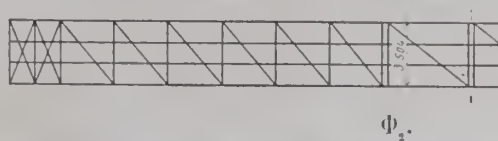
10. — V, Titre I, p. 189 à 198.

11. — Pour les voûtes en béton, voir Tome V, p. 23 à 28.

12. — III, p. 284, 289.

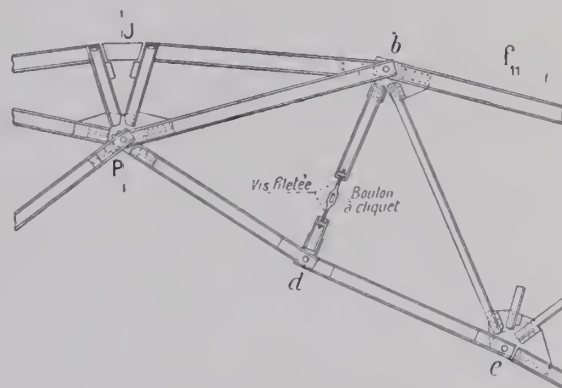
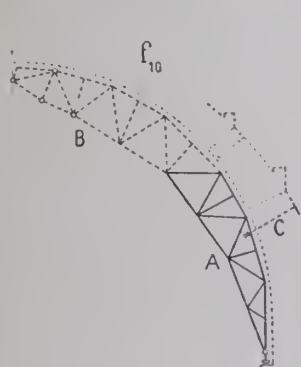
13. — Sur les cintres métalliques, voir V, p. 151.

14. — Comme aux ponts de Rocky River (II, p. 101), de la Delaware (III, p. 291).

f_8 — Vue de l'entretoisement de la membrure inférieure f_9 — Vue de l'entretoisement de la membrure supérieure

Chaque demi-ferme porte 286^T et pèse 24^T5 .

On montait d'abord la retombée A (f_{10}) en la soutenant par deux barres filetées C, de 40^{mm} , prises dans le béton. En agissant sur l'écrou de C, on mettait en place la retombée A, puis, dessus, on attachait B.



Le dernier panneau $Pebd$ (f_{11}) est articulé à ses 4 sommets : la longueur bd de sa diagonale est réglée par une tige filetée, laquelle permet de mettre à sa place le cerveau du cintre pour faire la voûte, et de l'abaisser pour décinturer¹⁵. En J, au-dessus de l'articulation P, un coin en chêne fixe le cintre. A la clef et au $1/4$ de la hauteur, étaient attachés des haubans fixés au sol.

15. — Voir III, p. 291.

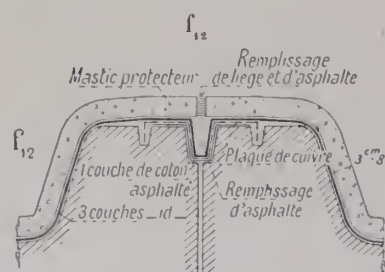
Les voûtes ont été exécutées par tranches T séparées par des intervalles t clavés plus tard : f_2 indique l'ordre de pose des T et des t . On posait les clefs t assez longtemps (7 jours au moins) après les T pour que le béton des T eût fait son retrait (S'_2).

Le montage des cintres fut commencé le 23 septembre 1913 : le cintre de la première voûte, pesant 200^T , fut levé en 8 jours.

Le cintre était ripé d'un anneau sous l'autre d'une même arche, sur 6 rouleaux de 15^m roulant sur un chemin de 10^m82 de longueur, porté par des poutres en I de 0^m20 .

On faisait avec 5 cintres 5 anneaux consécutifs — puis on les déplaçait transversalement de 6^m et on faisait les 5 anneaux jumeaux — alors on les démontait, on les transportait à l'aide des 2 transporteurs à câbles ¹⁶.

7. Chape. — 3 feuilles de coton asphalté, puis 2 couches de 19^{mm} de mastic d'asphalte (S'_2).



8. Joints de dilatation coupant les arches d'évidement. — 4 par grande voûte : 2 près des piles, 2 vers le $1/4$ de la portée. Le croquis f_{12} indique comment le joint était protégé pendant qu'on faisait la chape, et comment est assurée la continuité de la chape quand le joint s'ouvre.

9. Personnel.

Ingénieurs :

Section technique de la Delaware Lackawanna and Western Railroad Co.

MM. G. J. Ray, Ingénieur en Chef.

F. L. Wheaton, Ingénieur de la construction de la ligne de Martin's Creek.

A. B. Cohen, Ingénieur, chargé du bétonnage.

C. W. Simpson, Ingénieur attaché au viaduc.

Entrepreneurs :

Société Flickwir et Bush.

Directeur : M. Frank M. Talbot.

Administrateur : M. C. W. Ritner.

16. — Ces transporteurs avaient un appui au milieu ; leur portée était ainsi réduite à 460^m : chaque câble porteur avait 57^{mm} , portait couramment 7^T et jusqu'à 10^T . Grâce à l'outillage, on n'employa à ce grand ouvrage que 225 hommes.

SOURCES :

S_1 . — Engineering Record, 3 mai 1913, p. 482 et 484 — 29 novembre 1913, p. 594 — 10 juillet 1915, p. 42.

S_2 . — Dessins S'_2 , renseignements S''_2 et photographies S'''_2 gracieusement communiqués par M. G. J. Ray, Ingénieur en Chef de la Delaware, Lackawanna and Western R. R. Co, à Hoboken (N. J.).

VOÛTES ARTICULÉES — ARTICULATIONS ROULANTES
ARCS TRÈS SURBAISSÉS

PONTS A PLUSIEURS GRANDES ARCHES
SOUS CHEMIN DE FER A VOIE NORMALE

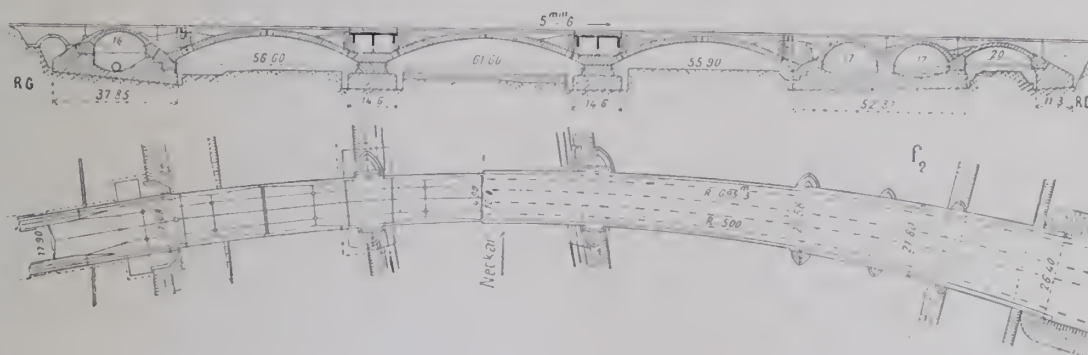
SÉRIE $\overline{A}^n F^r (\geq 40^m)$

(Voir pour les $\overline{A}^n F^r (\geq 40^m)$ tableau synoptique IV, p. 172 et monographies IV, p. 175 à 208)

PONT A 4 VOIES SUR LE NECKAR, A CANNSTATT (WURTEMBERG)¹
Lignes de Ludwigsburg-Stuttgart et Stuttgart-Plochingen

1911-1914 $\overline{A}^n F^r (\geq 40^m)$ ¹

f_1 — Ensemble — 0^m 44



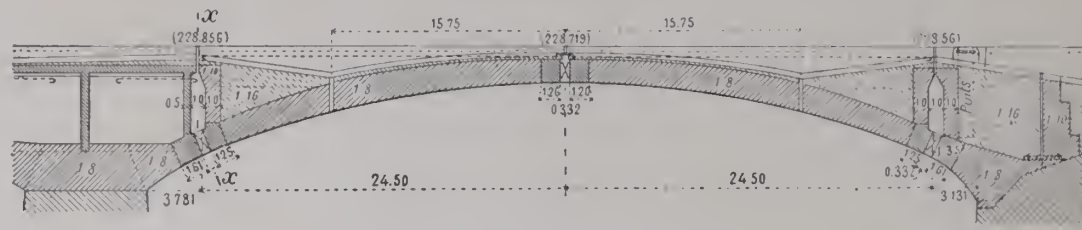
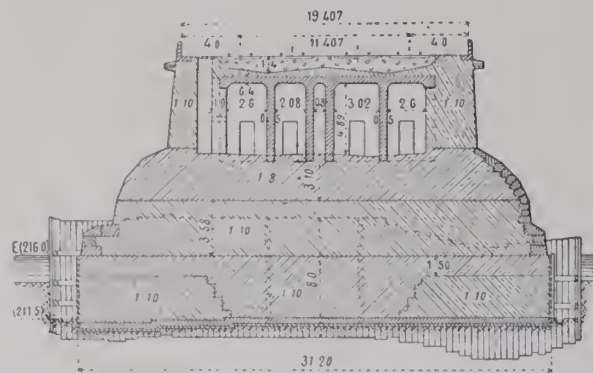
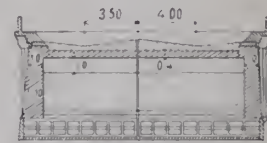
1. Tracé des têtes. — Le pont porte 4 voies en courbe : elles ne sont pas parallèles ; celle de droite a un rayon de 500^m.

Les têtes sont ainsi tracées :

Côté concave. — Bandeaux suivant un cylindre vertical de rayon un peu moindre que le parapet : tympan en fruit variant de 0 à la clef à 1/24 aux retombées.

Côté convexe. — Courbes d'intrados de chaque voûte dans des plans verticaux se coupant sur l'axe des piles : bandeaux en fruit augmentant de 0 à la clef à 1/10,6 aux retombées.

1. — Voir tableau synoptique VI, p. 190.

f_3 — Coupe en long de l'arche rive droite — 2^{mm} f_4 — Coupe sur une pile — 2^{mm} f_5 — Coupe sur xx de f_3 — 2^{mm}

2. Efforts par $\overline{0^m01}^2$ dans la voûte centrale (Côté concave)

Sous le poids propre

Sous la surcharge

Effort maximum ..

— minimum ..

Ensemble

Effort maximum ..

— minimum ..

	Retombée R. G.		1/4 de la portée R. G.		Clef	
	Intrados	Extrados	Intrados	Extrados	Intrados	Extrados
Sous le poids propre	+ 36*3	+ 19*9	+ 30*9	+ 20*1	+ 40*3	+ 21*1
Sous la surcharge	+ 8.8	+ 4.9	+ 18.2	+ 24	+ 10.3	+ 5.4
			— 14.2	— 14.4		
Ensemble	+ 45.1	+ 24.8	+ 49.1	+ 44.1	+ 50.6	+ 26.5
			+ 16.7	+ 5.7	»	»

3. Matériaux. — L'avant-bec des piles est revêtu de pierres pour résister aux glaces et aux crues : le reste est en béton².

Voici, pour les différentes parties du pont, les dosages prescrits, le travail permis, la résistance exigée.

		Dosage pour 1 vol. de ciment				Travail permis	Résistance exigée à 28 jours
		Sable	Gravier	Pierre cassée	Ensemble	kg / 0 ^m 01 ²	kg / 0 ^m 01 ²
Béton de fondation	Piles en rivière.....				10	8 ¹	56 ¹
	Autres appuis (pour une partie, on a ajouté 1 5 de pierres).....				14	12	84
Béton en élévation	Piles hors de la rivière et culées.....				12	18	126
	Tympan et piles en rivière.				10	20	140
	Remplissage au-dessus des piles.....				16		
Béton armé	Petites voûtes.....	1, 5	2	3 Muschelkalk (15 ^{mm} à 25 ^{mm})	6, 5		
	Cloisons au-dessus des v ^{tes} ..				4		
	Parapets.....						
Béton	G ^{tes} voûtes non armées..	2	3, 5	2, 5 id. (25 ^{mm} à 45 ^{mm})	8	50	250
	Sommiers d'articulation... (Sable du Rhin)	2		2 Porphyre cassé (7 ^{mm} à 25 ^{mm})	4	75 (à leur surface de contact avec les rotules)	375

Sur 10^{cm}, le béton des parements est à 1 : 3 1 2 — jaunâtre, piqué de points noirs.

On a différencié les diverses parties des tympan par la façon de la surface. Le béton maigre des tympan et des pilastres est grossièrement travaillé à la

2. — Dans le Génie Civil du 5 octobre 1912, M. F. Mencl, Ingénieur en Chef de la Ville de Prague, a rendu compte de la construction (1910-12) du pont en béton de l'île Stvanice sur la Moldau à Prague : il traverse le grand bras par 3 arches en béton, — 36^m — 39^m — 36^m, articulées sur plaques de plomb de 10^{mm}, occupant les 4 15 du joint * entre 2 sommiers de granit, — épaisses à la clef de 0^m75, aux naissances de 0^m90, aux joints de rupture de 1^m05 — biaises à 69° — larges entre têtes de 15^m90 — exécutées en 3 anneaux accolés de 4^m95 — 6^m — 4^m95 de largeur : chaque anneau (6 tranches) a été fait en 4 ou 5 jours. Le béton des voûtes, à 1 de ciment pour 4 de sable et granit cassé, résistait à 28 jours de 505¹ à 615¹ — Au décintrement (Appareils Zuffer), ** les voûtes de rive ont tassé de 1^{mm} à 4^{mm}, la voûte centrale de 6^{mm} à 10^{mm}.

On a éprouvé les voûtes *** : la grande, sous une charge de 337¹, a fléchi de 1^{mm}5.

Prix du pont : 350 fr. par mq.

* IV p. 8 à 10, 35 à 48, 89 à 99. ** 11 p. 166, 192. *** V. p. 179.

grosse pointe : les bandeaux des grandes voûtes, en béton gras, en saillie de 10^{cm} sur les tympans, sont smillés; les pilastres, consoles, parapets, sont à taille fine.

4. Sommiers en béton des rotules. — L'ensemble des sommiers cube 750^{mc}. En les armant à 1 1/2 pour 100, on y eût employé 110^T de fer.

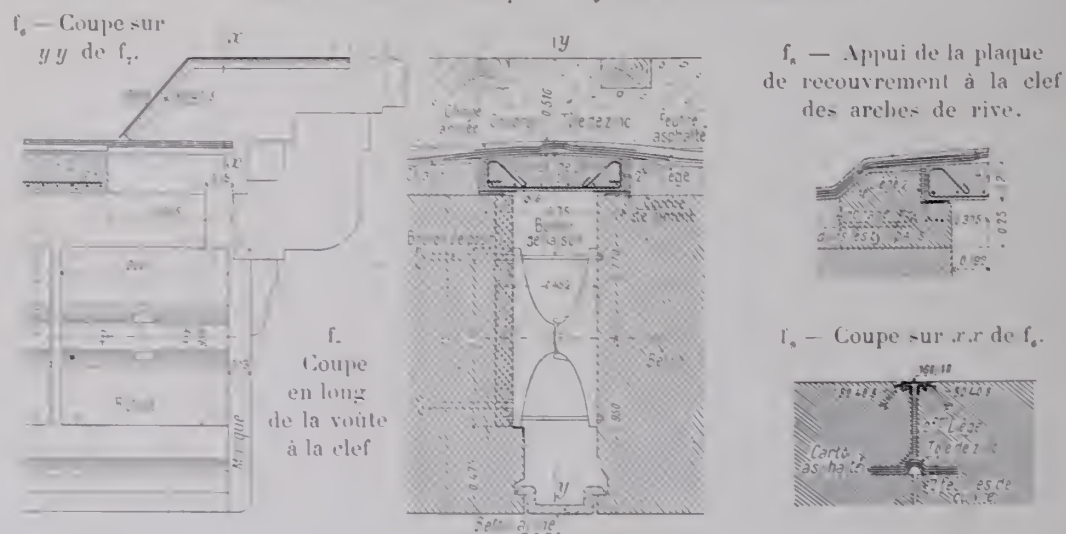
Au laboratoire d'essai des matériaux de Stuttgart, on a essayé, à 28 jours, des échantillons au 1/3, au 1/4, au 1/5 de la dimension des sommiers, armés à 0 ‰, — 0,33 ‰, — 0,58 ‰ — au dosage de 1 volume de ciment, 1 1/2 de sable du Rhin, 2 de porphyre cassé. Le béton a résisté :

	Béton non armé	Béton armé
au 1/3 de la grandeur des sommiers, à . . .	483 ^k	532 ^k
au 1/5 id. à . . .	575	633

On n'a pas armé.

5. Joint de dilatation. — Au-dessus des articulations, les tympans sont coupés jusqu'au parapet par un joint de 2^{cm}, garni de plaques de liège. Il se voit sur les bandeaux et la plinthe : sur les tympans, il est masqué par un petit pilastre.

Rotule de clef et masque du joint de dilatation 2^{cm}5



Pour empêcher des fissures irrégulières dans le béton par suite du retrait ou du froid, on a coupé par un joint sec les tympans au-dessus des piles : on les a armés en haut.

Les parapets ont, tous les 3^m, un joint à rainure et languette : un sur 2, un sur 3 de ces joints traverse les consoles.

Les rotules sont masquées aux têtes par des plaques de béton armé de 0^m13.

6. Chape. — L'extrados, les faces intérieures des tympans, sont recouverts d'un enduit lissé de mortier de ciment à 1/3 : dessus, sont collées, par du goudron à chaud, des plaques de feutre asphalté de 9^{mm}.

7. Cintres. — On les a calculés pour le poids de la voûte (sans le majorer pour tenir compte du pilonnage), 4580^k par m. q. pour la voûte en rivière.

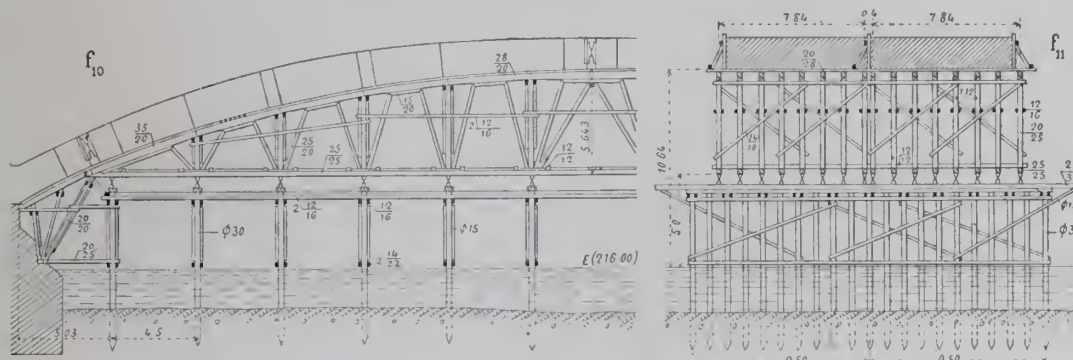
Les efforts permis étaient par 0^m01^2 :

	Chêne Hêtre	Pin Sapin
Flexion (tension et compression suivant les fibres).....	75 ^k	55 ^k
Compression normale aux fibres ³	20	15

Pour tenir compte du flambement, l'effort en kg $/0^m01^2$ des pièces chargées de bout (montants, pieux) était calculé par la formule :

$$\frac{\beta \text{ (Effort permis à la compression)}}{1 + 0,0002 \frac{l^2 \text{ (longueur libre)}}{r^2 \text{ (rayon de gyration)}}$$

Cintre — 2^{mm}5



Aux retombées, jusqu'aux rotules, les cintres ont la largeur des voûtes. Au cerveau, entre les rotules, ils n'en ont que la 1/2 largeur et ont été ripés transversalement. Deux plate-formes en métal étaient disposées sur la tête des pieux, l'une au-dessus de l'autre : pour riper le cintre, on le soulevait avec des vérins, on plaçait, entre les 2 plaques, des rouleaux.

En 2 jours, on souleva, on ripa de 9^m, on abaissa les cintres des 3 grandes voûtes : pour le ripage seul de chaque voûte, il fallait environ 2 heures.

8. Exécution des grandes voûtes. — Elles ont été construites en 2 anneaux : le second sur le cintre du premier ripé transversalement. Le joint longitudinal entre les 2 anneaux s'arrête aux piles.

On bétonna dans l'ordre indiqué au croquis f_{12} ; on posa les rotules après bétonnage des tranches 3 et 4.

Du 30 avril au 17 juin 1913, on bétonna les retombées des 3 grandes voûtes sur toute la largeur; le haut des 2 piles, le 1^{er} anneau (en tout 4300^{mc} de béton) et on posa les rotules du 1^{er} anneau (117^T); du 10 au 30 septembre, on bétonna le 2^e anneau (2200^{mc}), on posa ses rotules (117^T), opération fort délicate⁴.

9. Décintrement. — On décintra les 3 grandes voûtes à la fois. Sur chaque vérin était disposé un cadran gradué par 1/8 de tour. A chaque signal, on donnait aux vérins le nombre de tours indiqué au tableau ci-après :

f_{11} — Arche centrale, anneau sud — Tassements — 1^{mm}6

Diagram illustrating the arrangement of jacks and the sequence of lowering operations for the central arch of the southern ring. The arch is divided into 12 segments, with jacks numbered 1 to 12. The diagram shows the sequence of lowering operations for each segment, with numbers indicating the number of turns of the jack.

		Tassements											
		19	28	28	25	15	4	7	5	1	2		
Tassements	pend ⁴ le béton ⁴	4	19	28	28	25	15	4	7	5	1	2	
	du clav. au décint ⁴	2	7	7	8	7	5	5	7	5	1	2	
	au décintrement.	3	1	12	24	10	1	2					

N° des Palées		6	5	4	3	2	1	1	2	3	4	5	6	N° des Palées	
Nombre de 1/8 de tours donné au signal N	Signal 1						1	1						1	Signal
	» 2					1	1	1	1					2	»
	» 3				1	1	2	2	1	1				3	»
	» 4			1	1	2	2	2	2	1	1			4	»
	» 5		1	1	2	2	3	3	3	2	2	1	1	5	»
	» 6	1	1	2	2	3	3	3	3	2	2	1	1	6	»
	» 7	1	2	2	3	3	4	4	4	3	3	2	2	7	»
	» 8	2	2	3	3	4	4	5	5	4	4	3	3	8	»
	» 9	2	3	3	4	4	5	5	5	4	4	3	3	9	»
	» 10	3	3	4	4	5	5	6	6	5	5	4	4	10	»
	» 11	3	4	4	5	5	6	6	6	5	5	4	4	11	»
	» 12	4	4	5	5	6	6	6	6	6	5	5	4	4	12

Sous les 8 palées centrales de la voûte en rivière, la course des vérins était de 16^{mm}, ailleurs de 13^{mm}. On commençait à abaisser les retombées, quand la clef était descendue de son tassement calculé.

Il y avait, pour les 3 cintres, 291 vérins — à chaque vérin, 1 homme — à chaque palée, 2 surveillants pour observer les signaux : en tout, 363 hommes.

Le décintrement fut fait en 1 h. 1/2.

Pendant le décintrement des deuxièmes anneaux, le premier de la voûte en rivière tassa encore de 0^{mm}4. Elle a tassé sensiblement plus que les voûtes de rive : les piles en rivière se sont probablement inclinées vers les rives.

4. — Elle est détaillée S, p. 211 — On a opéré comme au pont de la Wallstrasse à Ulm IV, p. 149 — Voir aussi IV, p. 134 à 136, pont de Grasdorf.

10. Personnel.

Directeur des Chemins de fer de l'État de Wurtemberg.

Architecture : M. Mayer de Stuttgart, « Baurat ».

Entrepreneurs : MM. Dyckerhoff et Widmann — à la suite d'un concours ouvert entre 6 grandes entreprises⁵.

5. — On en trouvera un compte rendu dans le « Beton und Eisen » 1912 cahiers 6, 7, 8.

SOURCE :

S₁. — Schweizerische Bauzeitung, 1914 — 10, 17, 24, 31 Octobre — 7 Novembre.

« Vom Bau der viergleisigen Eisenbahnbrücke über den Neckar bei Cannstatt » von W. Siegerist, Oberingenieur der Firma Dyckerhoff und Widmann A. G., Zweigniederlassung Dresden.

TABLE DES MATIÈRES

DU TOME VI

1^{RE} PARTIE — INSTRUCTIONS POUR PROJETER ET CONSTRUIRE

LIVRE I — OUVRAGES DE 8^m D'OUVERTURE ET AU-DESSOUS

TITRE I. — PROJETS D'EXÉCUTION

CHAPITRE I. — DÉBOUCHÉS

	Pages.
Art. 1. — Difficulté de fixer les débouchés des petits ouvrages.....	7
Art. 2. — Nécessité de réduire les débouchés à juste ce qu'il faut.....	7
Art. 3. — Méthodes approchées pour fixer les débouchés.	
A. — <i>Débouché en fonction du débit du cours d'eau</i>	8
B. — <i>Débouché en fonction de la longueur du cours d'eau</i>	8
C. — <i>Débouché en fonction de la surface du bassin versant</i>	8

CHAPITRE II. — LEVERS DE DÉTAIL

AUX ABORDS DES OUVRAGES.....	9
------------------------------	---

CHAPITRE III. — HAUTEUR DES PIEDS-DROITS

§ 1. — OUVRAGES SERVANT EXCLUSIVEMENT A L'ÉCOULEMENT DES EAUX.	
Art. 1. — Revanche minima au-dessus des plus hautes eaux.....	9
Art. 2. — Hauteur des pieds-droits des ouvrages en plein cintre.	
A. — <i>Minima : 0^m55. — B. — Maxima : 1^m. — C. — Entre les deux limites de 0^m55 et 1^m</i>	10
§ 2. — OUVRAGES SERVANT DE PASSAGE.....	10

CHAPITRE IV. — DISPOSITIONS DES OUVRAGES EN PLAN

Art. 1. — Direction, entrée, sortie des eaux.....	11
Art. 2. — Murs en aile ou murs en retour ?	
A. — <i>Choix à faire</i>	11
B. — <i>Écrasement des murs en aile</i>	12
C. — <i>Remblais derrière les murs et murettes de retour</i>	12

TITRE I. — PROJETS D'EXÉCUTION (Suite)

Pages.

CHAPITRE V. — PENTE DES OUVRAGES SUR COURS D'EAU..... 12**CHAPITRE VI. — DES DIFFÉRENTS TYPES D'OUVRAGES**

§ 1. — DALOTS.	
Art. 1. — Sous rails. — Art. 2. — Hors la voie.....	13
§ 2. — BUSES.	
Art. 1. — Buses en ciment.	
A. — <i>Sous rails</i>	13
B. — <i>Hors la voie</i>	14
Art. 2. — Buses en fonte pour irrigations	14
§ 3. — CHOIX, POUR LES PETITS OUVRAGES HORS LA VOIE, ENTRE L'OUVRAGE VOÛTÉ, LE DALOT ET LA BUSE.....	14
§ 4. — SIPHONS SOUS RAILS.....	14
§ 5. — BÂCHES EN TÔLE OU EN BÉTON ARMÉ.....	14
§ 6. — OUVRAGES SOUS CHARGE DE REMBLAI.	
Art. 1. — Les adopter en principe.....	14
Art. 2. — Ouvrages en ellipse surhaussée	15
Art. 3. — Voûtes à axe vertical reportant sur les murs en aile la poussée du remblai.	15
Art. 4. — Supplément d'épaisseur des ouvrages sous charge de plus de 3 ^m de remblai.	
A. — <i>A la clef: Δc.</i> — B. — <i>Aux naissances</i>	16
C. — <i>Comment varie l'épaisseur de la voûte d'une tête à l'autre</i>	16
§ 7. — OUVRAGES COURONNÉS AU NIVEAU DU RAIL OU AU NIVEAU DE LA PLATE-FORME ?.....	16
§ 8. — PUISARDS.....	17
§ 9. — OUVRAGES BIAIS.	
Art. 1. — Ouvrages couronnés au niveau du rail ou au niveau de la plate-forme.....	17
Art. 2. — Ouvrages sous charge	18
§ 10. — TABLIERS MÉTALLIQUES, POUTRELLES ENROBÉES.	
Art. 1. — Tabliers métalliques.....	18
Art. 2. — Tabliers à poutrelles enrobées de béton.....	19
Art. 3. — Choix à faire entre les voûtes, les tabliers à poutrelles enrobées et les tabliers métalliques.....	20
§ 11. — QUELQUES DISPOSITIONS EXCEPTIONNELLES.....	20

CHAPITRE VII. — CHAPES

Art. 1. — Leur constitution suivant l'ouverture.....	20
Art. 2. — Matelas entre le dessus de la chape et la plate-forme, pour les ouvrages non surchargés	21

CHAPITRE VIII. — COURONNEMENT

§ 1. — PLINTHES.	
Art. 1. — Niveau du dessus	21
Art. 2. — Tracé dans les courbes.....	22
§ 2. — GARDE-CORPS.	
Art. 1. — Ouvrages sous rails.	
A. — <i>Types.</i> — B. — <i>Sur quels ouvrages ?</i> — C. — <i>Distance à l'axe de la voie voisine</i>	22
Art. 2. — Ouvrages hors la voie.....	23

TITRE I. — PROJETS D'EXÉCUTION (Suite)**CHAPITRE IX. — ABORDS**

	Pages.
Art. 1. — Comment on relève la banquettes aux abords des ouvrages couronnés au niveau du rail. — Art. 2. — Quarts de cône.....	23
Art. 3. — Ouvrages hors la voie.....	24
Art. 4. — Remblais contre les ouvrages.	
A. — Nature des remblais.....	24
B. — Précautions à prendre pour que l'ouvrage ne se déverse pas pendant l'exécution du remblai.....	24

CHAPITRE X. — MATÉRIAUX

DÉSIGNATION. — ABRÉVIATIONS. — DISTRIBUTION.....	26
--	----

CHAPITRE XI. — SONDAGES.....	27
------------------------------	----

CHAPITRE XII. — FONDATIONS.....	27
---------------------------------	----

DESSINS (p. 28, 29). — Coupes en long sur l'axe et coupes en travers. — Ligne de Mende à La Bastide : f_{37} , f_{38} , f_{39} , f_{40} , f_{41} . Aqueduc voûté de 1^m00 d'ouverture. — Ligne de Brioude à Saint-Flour : f_{42} , f_{43} . Ponceau voûté de 2^m00 d'ouverture, biais à 50° ; — f_{44} , f_{45} . Aqueduc voûté de 0^m70 d'ouverture. — Ligne de Morez à Saint-Claude : f_{46} , f_{47} . Aqueduc voûté de 0^m70 d'ouverture ; — f_{48} , f_{49} . Ponceau voûté de 1^m50 d'ouverture ; — f_{50} , f_{51} . Aqueduc voûté de 0^m70 d'ouverture.

CHAPITRE XIII. — PRINCIPALES DIMENSIONS ET DISPOSITIONS

DES OUVRAGES DE 8 ^m ET AU-DESSOUS.....	31
---	----

CHAPITRE XIV. — DESSINS A PRODUIRE

Art. 1. — Nomenclature. — Art. 2. — Echelles.....	31
---	----

TITRE II. — DESSINS — TABLEAUX**CHAPITRE I. — OUVRAGES SOUS RAILS EN PLEIN CINTRE****§ 1. — COUPE EN TRAVERS.**

Art. 1. — Dispositions d'ensemble.....	32
Art. 2. — Corps des voûtes et pieds-droits. Appareil.....	32
DESSINS (p. 32). — f_3 . Aqueduc de 0 ^m 70 ; — f_4 . Aqueduc de 1 ^m ; — f_5 . Ponceau de 2 ^m 50 ; — f_6 . Ponceau de 3 ^m 50 ; — f_7 . Pont de 5 ^m ; — f_8 . Pont de 8 ^m	
Art. 3. — Dimensions. — TABLEAU I. — <i>Ouvrages sans surcharge, ou sous une charge ne dépassant pas 3^m</i>	33
TABLEAU II. — <i>Ouvrages sous charge de plus de 3^m</i>	34

§ 2. — BANDEAUX. — TYPES. — DIMENSIONS.

TABLEAU III.....	34
------------------	----

DESSINS (p. 34). — f_9 . Ouvrages à murs en retour. — Aqueducs de 0^m60 et 0^m70 à murs en aile, sous charge de remblai ; — f_{10} . Élévation ; — f_{11} . Coupe en long sur l'axe.

§ 3. — MURS EN AILE.

Art. 1. — Plinthes et rampants.	
A. — Plinthe à 0 ^m 10 au-dessous du rail voisin.....	35
B. — Plinthe à 0 ^m 05 au-dessus de la plate-forme.....	35
C. — Plinthe sous charge de remblai. — D. — Dimensions. — TABLEAU IV.....	35

TITRE II. — DESSINS. — TABLEAUX (Suite)

Pages.

Art. 2. — Murs avec murettes de retour.....	36
<i>DESSINS</i> (p. 36). — f_{18} . Demi-coupe; — f_{19} . Demi-élévation; — f_{20} . Demi-plan; — f_{21} . Élévation; — f_{22} , f_{23} . Coupes. — TABLEAU V.....	36
Art. 3. — Murs avec dès au lieu de murettes de retour.....	36
TABLEAU VI. — f_{24} , f_{25} . Élévations; — f_{26} . Plan.....	36
Art. 4. — Raccordement de la chape avec les tympans et la plinthe; — f_{27} , f_{28} . Coupes.	36
§ 4. — MURS EN RETOUR.	
Art. 1. — Tracé. Arasement. Position des garde-corps. — Art. 2. Coupe en travers...	37
Art. 3. — Plinthe. — TABLEAU VII.....	37
Art. 4. — Couronnement des ouvrages courants en rase campagne.....	37
<i>DESSINS</i> (p. 37). — Passage inférieur voûté de 4 ^m ; — f_{31} . Élévation; — f_{32} , f_{33} . Coupes.	
§ 5. — RADIER.	
Art. 1. — Coupe en travers. — TABLEAU VIII.....	37
Art. 2. — Garde-radier. Parafoilles. — TABLEAU IX.....	37

CHAPITRE II. — OUVRAGES DROITS SOUS RAILS
EN ELLIPSE SURHAUSSÉE

PORTÉE DE 2^m ET PLUS. — SURCHARGE DE PLUS DE 5^m

§ 1. — CORPS. — <i>DESSINS</i> . — Type I, Type II.....	38
§ 2. — TÊTES. — <i>DESSINS</i> . — f_{39} , f_{40} . Demi-coupes; — f_{41} . Plan.....	38

CHAPITRE III. — DALOTS..... 39

DESSINS (p. 39). — f_{42} . Coupe en travers; — f_{43} , f_{44} . Coupes en long.**CHAPITRE IV. — BUSES**

CORPS. — Sous rail. Hors la voie. — TÊTES. — Type I, Type II..... 39

CHAPITRE V. — OUVRAGES BIAIS SOUS CHARGE DE REMBLAI

VOÛTES ET TÊTES DROITES. — PLINTHES RAMPANTES. — Dessins, Formules..... 40

LIVRE II. — VIADUCS

SOUS CHEMIN DE FER A VOIE NORMALE
A ARCHES ÉGALES EN PLEIN CINTRE
A UN SEUL ÉTAGE

TITRE I. — VIADUCS EN ALIGNEMENT DROIT
ET EN PALIER

CHAPITRE I. — CONDITIONS IMPOSÉES**PAR LA CIRCULATION DES TRAINS ET PAR CELLE DES AGENTS**

Art. 1. — Pourquoi il faut arrêter d'abord le dessus.....	43
Art. 2. — Largeur libre entre garde-corps.....	43
<i>DESSINS</i> (p. 43). — f_1 . Ouvrage à 2 voies. — f_2 . Ouvrage à 1 voie. — f_3 . Détail.	

**TITRE I. — VIADUCS EN ALIGNEMENT DROIT
ET EN PALIER (Suite)**

	Pages.
Art. 3. — Pas de saillie du bahut ou de la lisse supérieure sur la face intérieure du garde-corps	44
Art. 4. — Distance minima t entre l'about des traverses et la face postérieure de la plinthe	44
Art. 5. — Largeur p de la plinthe en dedans de la face intérieure du garde-corps $Z_1 Z_2$	44
Art. 6. — Niches de refuge. Largeur. Profondeur. Place	44
Art. 7. — Dessus des plinthes à 0 ^m 10 plus bas que le rail voisin.....	45

**CHAPITRE II. — RECONNAISSANCE DU SOL DE FONDATION
A L'EMPLACEMENT DU VIADUC**

Art. 1. — Quand doit-on faire les sondages ? — Art. 2. — Puits de sondage	45
Art. 3. — Sondages à la tige. — Art. 4. — Nombre et profondeur des sondages	46

**CHAPITRE III. — PREMIÈRES INDICATIONS GÉNÉRALES
POUR FIXER L'OUVERTURE ET LE NOMBRE DES ARCHES
ET DESSINER UNE SILHOUETTE APPROCHÉE DE L'ÉLÉVATION**

Art. 1. — Ouverture commune des arches, $2a$	47
Art. 2. — Épaisseur de l'ouvrage. Niveau des clefs des intrados,.....	48
Art. 3. — Première valeur approchée de l'épaisseur des piles aux naissances	48
Art. 4. — Fruit provisoire des piles en élévation. — Art. 5. — Silhouette de l'élévation sur « calque »	48

CHAPITRE IV. — COURONNEMENT

§ 1. — PARAPETS.	
Art. 1. — Parapets en maçonnerie. — A. — <i>Ils sont chers.</i> — B. — <i>Plus de parapets pleins.</i>	49
Art. 2. — Garde-corps métalliques. — A. — <i>En fer ou en acier</i>	49
B. — <i>En fonte</i>	50
§ 2. — LARGEUR ENTRE TYMPANS (<i>garde-corps en métal</i>)	51
§ 3. — PLINTHE.	
Art. 1. — Épaisseur h . — Art. 2. — Saillie S . — Art. 3. — Profil. — Art. 4. — Plinthes courantes sous garde-corps en métal	51
Art. 5. — Quelques profils un peu exceptionnels de corniches.....	52
§ 4. — NICHES DE REFUGE. — LEURS PARAPETS, LEURS SUPPORTS.....	52
<i>DESSINS (p. 53).</i>	

CHAPITRE V. — VOÛTES

§ 1. — CORPS.	
Art. 1. — Épaisseur à la clef: $e_0 = 0,19 (1 + \sqrt{2a})$	53
Art. 2. — Épaisseur e_1 au milieu de la montée et tracé de l'extrados.	
A. — <i>Ouvertures de 8^m et au-dessus ($e_1 = 2e_0$).</i> — B. — <i>Ouvertures de moins de 8^m.</i>	53
§ 2. — BANDEAUX.	
Art. 1. — Épaisseur. — Art. 2. — Saillie. — Art. 3. — Appareil	54
§ 3. — VOÛTES EN OVALE SURHAUSSÉ.....	55

**TITRE I. — VIADUCS EN ALIGNEMENT DROIT
ET EN PALIER (Suite)**

CHAPITRE VI. — PILES

	Pages
§ 1. — ÉPAISSEURS DES PILES AUX NAISSANCES DES VOÛTES e_p .	
Art. 1. — Piles à mortier de chaux. — A. — <i>Portées de moins de 8^m</i> . — B. — <i>Portées de 8^m et plus</i>	56
Art. 2. — Piles à mortier de ciment.....	57
§ 2. — FRUIT DES PILES.	
Art. 1. — Ménager sous les naissances, en élévation, un élément vertical.....	58
Art. 2. — Comment on profile les piles.....	58
Art. 3. — Fruits droits constants.	
A. — <i>En élévation</i> . — B. — <i>En travers</i> . — C. — <i>Ressauts</i>	58
Art. 4. — Fruits croissants. — Profils en ligne brisée.....	59
DESSINS (p. 60). — f_{49} . Viaduc de Vezouillac. — f_{50} . Viaduc de la Crueize.	
PHOTOGRAPHIE. — ϕ_1 . Viaduc de la Crueize (p. 61).	
Art. 5. — Fruits croissants. Profils en courbe.	
A. — <i>Paraboles du 2^e degré</i> . — B. — <i>Paraboles du 3^e degré</i>	62
DESSINS (p. 63). — f_{53} . Viaduc de l'Escarène (1913-15). Ligne de Nice à Coni. <i>Mortier de chaux</i> . — f_{54} . Viaduc de Chanteloube (projet). Ligne de Chorges à Barcelonnette. <i>Mortier de ciment</i> .	
Art. 6. — Hauteur à partir de laquelle on adoptera les fruits courbes.....	64
§ 3. — PILES-CULÉES ENTRE ARCHES ÉGALES. — N'EN PLUS FAIRE.....	64
§ 4. — CONTREFORTS.....	64
PHOTOGRAPHIE (p. 65). — ϕ_3 . Viaduc de Piou.	
§ 5. — MASSIF DE FONDATION.	
Art. 1. — En règle générale, dresser le sol horizontalement sans gradins.	
A. — <i>On est sur rocher</i> . — B. — <i>On n'est pas sur rocher</i>	66
Art. 2. — Ne pas s'arrêter à la surface du rocher. S'encastrent dans le vif.....	66
Art. 3. — Bien nettoyer le sol de fondation.....	66
Art. 4. — Il y a des fissures dans le rocher de fondation.....	67
Art. 5. — On trouve, en fondation, deux natures de sol. — Art. 6. — Ressaut.....	67

CHAPITRE VII. — TYMPANS

§ 1. — FRUIT DU PAREMENT VU.	
Art. 1. — Il faut donner du fruit aux tympans.....	68
Art. 2. — Fruits à adopter.	
1 ^{er} Cas. <i>Pile à fruit constant</i> .	
A. — <i>Tympan ayant même fruit que la pile</i> . — B. — <i>Tympan parabolique</i> .	68
2 ^e Cas. <i>Pile à fruit courbe</i>	68
§ 2. — TYMPANS PLEINS.	
Art. 1. — Épaisseur. — Art. 2. — Remplissage entre les tympans.....	69
Art. 3. — Raccordement de l'appareil des tympans avec celui des bandeaux.....	69
§ 3. — TYMPANS ÉLÉGIS.	
Art. 1. — Portée à partir de laquelle on élégit.....	70
Art. 2. — Éléguissements transversaux. — Art. 3. — Éléguissements longitudinaux....	70
Art. 4. — Il faut visiter les élégissements cachés. — Art. 5. — Il faut les aérer.....	71

TITRE I. — VIADUCS EN ALIGNEMENT DROIT ET EN PALIER (Suite)

§ 2. — QUELQUES DÉTAILS D'APPAREIL.	Pages.
Art. 1. — Douelle des voûtes. — Art. 2. — Assises de libages coupant les piles.....	83
§ 3. — PAREMENTS.	
Art. 1. — Façon.	
A. — <i>Taille plate.</i> — B. <i>Bossages.</i> — C. — <i>Ciselures.</i>	84
PHOTOGRAPHIES (p. 84). — ϕ_4 . Viaduc du Caty. — ϕ_5 . Viaduc des Planches.	
Art. 2. — Couleur.....	84
Art. 3. — Piles et tympans.....	85
PHOTOGRAPHIES (p. 85). — ϕ_6 . Viaduc d'Arquejols. — ϕ_7 . Viaduc de Morez.	
Art. 4. — Culées.....	85

TITRE II. — DISPOSITIONS SPÉCIALES AUX VIADUCS EN COURBE

CHAPITRE I. — VOÛTES EN BERCEAU. — TRACÉ DES TYMPANS

§ 1. — TYMPANS A FACETTES. — CHAQUE FACETTE PLANE ET PARALLÈLE A LA CORDE DU TRACÉ SUR LA PORTÉE DES ARCHES, OU SUR LA LARGEUR DES PILES.....	86
§ 2. — TYMPAN CONVEXE EN COURBE AVEC UN FRUIT SUFFISANT POUR QUE LA CLEF NE SOIT PAS EN PORTE-A-FAUX PAR RAPPORT A UN AUTRE POINT DE L'INTRADOS.	
Art. 1. — Nécessité de ce fruit.....	87
Art. 2. — Surface conique du tympan convexe.	
A. — <i>Définition</i>	87
B. — <i>Intersection de la surface conique du tympan convexe avec la douelle de la voûte</i>	87
C. — <i>Projection de cette intersection sur le plan vertical de la génératrice de clef.</i>	88
Art. 3. — Condition pour qu'il n'y ait pas de porte-à-faux.	
A. — <i>La coupe en travers du tympan est une droite de fruit φ. Il faut $\varphi \geq \frac{r}{R}$</i> ...	88
B. — <i>La coupe en travers du tympan convexe est une parabole. — Soit φ_s son fruit au niveau du sommet de la voûte. Il faut : $\varphi_s \geq \frac{r}{R}$</i>	89
Art. 4. — Tracé du tympan convexe suivant le rapport $\frac{r}{R}$.	
A. — <i>Table de $\frac{r}{R}$.</i> — B. $\frac{r}{R} \leq 60^{\text{mm}}$	89
C. — $\frac{r}{R} > 60^{\text{mm}}$	90
§ 3. — TYMPAN CONCAVE EN COURBE.....	90

CHAPITRE II. — VOÛTES NON EN BERCEAU AVEC GÉNÉRATRICES DES NAISSANCES CONVERGEANT AU CENTRE DE LA COURBE DU TRACÉ

Art. 1. — Avec les voûtes en berceau, il peut y avoir une différence exagérée entre les largeurs d'une pile à chaque tête. — Art. 2. — Douelle en cône.....	91
Art. 3. — Douelle en conoïde.....	92

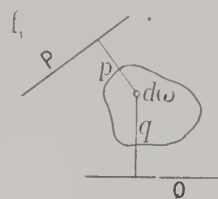
TITRE II. — DISPOSITIONS SPÉCIALES AUX VIADUCS EN COURBE (Suite)		Pages.
Art. 4. — Sujétions d'exécution.....		93
Art. 5. — Fruit des piles.....		94
Art. 6. — Le viaduc est en courbes de rayons différents, ou en raccordement parabolique.....		94
CHAPITRE III. — POSITION DES GARDE-CORPS		
Art. 1. — Tracé des garde-corps. — Art. 2. — Surécartement du côté concave.....		94
Art. 3. — Parties en courbes de rayons différents ou en raccordement parabolique....		94
CHAPITRE IV. — PLINTHES		
Art. 1. — Niveau. — Art. 2. — Tracé en plan.....		95
TITRE III. — DISPOSITIONS SPÉCIALES AUX VIADUCS EN RAMPE		
§ 1. — INTRADOS.		
Art. 1. — 1 ^{er} SYSTÈME. — Chaque voûte est décrite avec un rayon unique, comme en palier : les naissances, de part et d'autre d'une pile, sont à des niveaux différents.....		96
Art. 2. — 2 ^e SYSTÈME. — Les deux moitiés d'une voûte sont décrites avec un rayon différent : les naissances, de part et d'autre d'une pile, sont au même niveau.....		96
§ 2. — TYMPANS ET CULÈES EN MOELLONS ASSISÉS.....		97
TITRE IV. — VIADUC A UN GRAND NOMBRE D'ARCHES NOMBRE DE CINTRES EXÉCUTION DES VOÛTES « EN CASCADE »		
Art. 1. — Avec 5 cintres.....		98
Art. 2. — Avec 4 cintres. — Art. 3. — Avec 3 cintres. — Art. 4. — Avec 6 cintres...		100
TITRE V. — CUBES ET DÉPENSES		
CHAPITRE I. — UNITÉS ADOPTÉES.....		101
CHAPITRE II. — CUBES ET DÉPENSES PAR UNITÉ		
§ 1. — VIADUCS A DEUX VOIES. — TABLEAU SYNOPTIQUE.....		102
§ 2. — VIADUCS A UNE VOIE. — TABLEAU SYNOPTIQUE.....		105
2^E PARTIE — CALCULS ET ÉPURES		
LIVRE I. — COMMENT ON CALCULE UN CINTRE		
Pont Adolphe, à Luxembourg		
CHAPITRE I. — FERMES		
§ 1. — PRESSION NORMALE SUR LE CINTRE, A α° DE LA CLEF.....		111
§ 2. — EFFORTS DANS LES PIÈCES.		
Art. 1. — Vaux. — Art. 2. — Contrefiches : — A. — <i>Suivant le rayon.</i> — B. — <i>Inclinées sur le rayon.</i> — Art. 3. — Chevalement.....		113
§ 3. — SECTIONS DES PIÈCES.		
Art. 1. — Vaux.....		113
Art. 2. — Contrefiches. — Art. 3. — Arbalétriers.....		114
Art. 4. — Câbles.....		115
CHAPITRE II. — COUCHIS.....		115

LIVRE II. — COMMENT ON CALCULE UNE VOÛTE

ARC ÉLASTIQUE INARTICULÉ
SUR APPUIS IMMOBILES

MÉTHODE CULMANN-RITTER

TITRE I. — PRÉAMBULE

MOMENTS DU SECOND DEGRÉ D'UNE SURFACE Ω PAR RAPPORT :A UNE DROITE P ($\Sigma p^2 d\omega$, moment d'inertie)A DEUX DROITES P, Q ($\Sigma pq d\omega$, moment centrifuge, f_1)

CHAPITRE I. — MOMENTS PAR RAPPORT A DEUX AXES

PASSANT PAR LE CENTRE DE GRAVITÉ

§ 1. — LES 2 AXES SONT RECTANGULAIRES.

Pages.

Art. 1. — On a les moments $I_{X^2} = \Omega b^2$, $I_{Y^2} = \Omega a^2$ par rapport aux axes GX, GY de l'ellipse centrale d'inertie. Calculer les moments I_{X^2} , I_{Y^2} , $I_{X'Y'}$ par rapport à 2 autres axes rectangulaires GX', GY'..... 119

Art. 2. — On a les moments $I_{X^2} = \Omega j_{X'}^2$, $I_{Y^2} = \Omega j_{Y'}^2$, $I_{X'Y'}$ par rapport à deux axes rectangulaires quelconques GX', GY'. Trouver les directions GX, GY et les longueurs a , b , des axes de l'ellipse centrale..... 119

§ 2. — LES 2 AXES SONT DEUX DIAMÈTRES CONJUGUÉS DE L'ELLIPSE CENTRALE D'INERTIE.

Art. 1. — Antipôle π d'une droite Δ , antipolaire Δ d'un point π , par rapport à une ellipse donnée par ses axes a , b ou par 2 diamètres conjugués a' , b' 120

Art. 2. — 2 expressions du moment d'inertie..... 120

CHAPITRE II. — MOMENTS PAR RAPPORT A DES AXES P, Q

NE PASSANT PAS PAR LE CENTRE DE GRAVITÉ

§ 1. — 1^{re} EXPRESSION. — EN FONCTION DES MOMENTS PAR RAPPORT AUX AXES PARALLÈLES P', Q' PASSANT PAR LE CENTRE DE GRAVITÉ ET DES DISTANCES DE CE CENTRE A P et Q..... 121

§ 2. — 2^e EXPRESSION. — EN FONCTION DES COORDONNÉES DES EXTRÉMITÉS DES DIAMÈTRES CONJUGUÉS AUX AXES DES MOMENTS..... 121

§ 3. — 3^e EXPRESSION. — EN FONCTION DES DISTANCES AUX AXES D'UN ANTIPÔLE ET DU CENTRE DE GRAVITÉ (THÉORÈME DE CULMANN).

Art. 1. — Moment centrifuge. — Art. 2. — Moment d'inertie..... 122

**TITRE II. — COMMENT, EN PRINCIPE, ON DÉTERMINE
LES RÉACTIONS DES APPUIS DUES A UNE FORCE P
MÉTHODE, FORMULES**

**CHAP. I. — MOUVEMENTS, SOUS L'ACTION D'UNE FORCE P, D'UN POINT J (X, Y)
INVARIABLEMENT LIÉ A UNE RETOMBÉE B, SUPPOSÉE LIBRE,
D'UN ARC ÉLASTIQUE DONT L'AUTRE RETOMBÉE A DEMEURE IMMOBILE**

	Pages.
§ 1. — PRÉLIMINAIRES.....	123
§ 2. — VARIATIONS dX , dY , DUES A LA DÉFORMATION D'UNE TRANCHE INFINIMENT MINCE. ANGLE DE ROTATION $d\theta$ ET CENTRE DE ROTATION.	
Art. 1. — Effort normal N . Couple de flexion \mathcal{M}	123
Art. 2. — Effet du couple de flexion \mathcal{M} . — Art. 3. — Effet de l'effort normal N . — Art. 4. — Effet résultant.....	124
§ 3. — VARIATIONS ΔX , ΔY DUES A LA DÉFORMATION D'UNE TRANCHE RECTANGULAIRE EN ÉLEVATION, DE LONGUEUR FINIE L , DANS LAQUELLE E ET I PEUVENT ÊTRE SUPPOSÉS CONSTANTS.....	125
§ 4. — VARIATIONS ωX , ωY DUES A LA DÉFORMATION D'UNE SUITE DE DE TRANCHES RECTANGULAIRES EN ÉLEVATION, DANS CHACUNE DESQUELLES E ET I PEUVENT ÊTRE SUPPOSÉS CONSTANTS.	
Art. 1. — Pour un point quelconque invariablement lié à l'appui libre. Ellipse élastique. Centre élastique.....	126
Art. 2. — Pour le centre élastique de l'arc.....	128

**CHAPITRE II. — COMMENT, DES DÉPLACEMENTS VIRTUELS ωX , ωY , $\omega\theta$
DU CENTRE ÉLASTIQUE DUS A UNE FORCE P,
ON DÉDUIT LA RÉACTION DE L'APPUI R^B QUI LES ANNULE**

§ 1. — CAS D'UNE FORCE QUELCONQUE P. LA RÉACTION R^B EST, PAR RAP- PORT A L'ELLIPSE « ÉLASTIQUE » DE TOUT L'ARC \mathcal{E} , L'ANTIPOLAIRE DE π , ANTIPÔLE DE LA FORCE P PAR RAPPORT A L'ELLIPSE « ÉLASTIQUE » E_p DE LA PARTIE D'ARC A GAUCHE DE P.....	129
§ 2. — EN PRATIQUE, ON N'A A CONSIDÉRER QU'UNE FORCE VERTICALE V OU UNE HORIZONTALE H.....	129
§ 3. — CAS D'UNE FORCE VERTICALE V.	
Art. 1. — Déplacements $\omega_v \theta$, $\omega_v X$, $\omega_v Y$ du centre élastique \mathcal{C} sous l'action de V.....	130
Art. 2. — Déplacements $\omega_r \theta$, $\omega_r X$, $\omega_r Y$ du centre élastique \mathcal{C} sous l'action de R^B ...	130
Art. 3. — En égalant ces déplacements, on a R^B	131
§ 4. — LA RÉACTION R^B PASSE PAR LE CENTRE ÉLASTIQUE \mathcal{C}	131

TITRE III. — ARC DISSYMMÉTRIQUE
COMMENT, EN PRATIQUE, ON CONSTRUIT
LES RÉACTIONS DES APPUIS

CHAPITRE I. — MOMENTS STATIQUES, MOMENTS D'INERTIE,
MOMENTS CENTRIFUGES DES POIDS ÉLASTIQUES.
FUNICULAIRES 1 A 5

	Pages.
§ 1. — CENTRE ÉLASTIQUE. — DIAMÈTRE DE L'ELLIPSE ÉLASTIQUE DE L'ARC CONJUGUÉ A LA VERTICALE.	
Art. 1. — Division de l'arc en tranches T_1, T_2, \dots	132
Art. 2. — Ellipse centrale d'inertie d'une tranche.	
A. — Axes.....	132
B. — Diamètre conjugué à la verticale.....	133
Art. 3. — Poids élastique p d'une tranche.....	133
Art. 4. — Centre élastique \mathcal{G} de l'arc (centre de gravité des poids élastiques p appliqués aux centres de gravité des tranches g_1, g_2, \dots).	
A. — Verticale de \mathcal{G} . — Funiculaire 1.....	133
B. — Horizontale de \mathcal{G} . — C. — Vérification par le calcul de la position de \mathcal{G} ..	134
Art. 5. — Diamètre de l'ellipse élastique de l'arc conjugué à la verticale. Axe $X'X'$	135
§ 2. MOMENTS D'INERTIE DES p PAR RAPPORT A L'AXE VERTICAL $\mathcal{G}Y$ ET A SON CONJUGUÉ $\mathcal{G}X'$. LONGUEURS SUIVANT $\mathcal{G}Y$ ET $\mathcal{G}X'$ DES DIAMÈTRES DE L'ELLIPSE ÉLASTIQUE.	
Art. 1. — Moment d'inertie des p par rapport à la verticale YY du centre élastique.	
A. — Construction graphique. Funiculaire 3.....	135
B. — Vérification par le calcul.....	136
Art. 2. — Moment d'inertie des p par rapport à $X'X'$.	
A. — Construction graphique. Funiculaire 4.....	136
B. — Vérification par le calcul.....	137
Art. 3. — Longueur des deux axes conjugués de l'ellipse élastique : a' suivant $X'X'$, b' suivant YY	137
§ 3. — MOMENTS CENTRIFUGES DES p PAR RAPPORT : D'UNE PART A UN AXE ($\mathcal{G}Y$, OU $\mathcal{G}X'$); D'AUTRE PART A UNE FORCE VERTICALE.	
Art. 1. — Par rapport à YY et à une autre verticale (par exemple V_1).....	137
Art. 2. — Par rapport à $X'X'$ et à la verticale V_1 . Funiculaire 5.....	138

CHAPITRE II. — COMMENT A L'AIDE DES FUNICULAIRES 1 A 5
ON CONSTRUIT LES RÉACTIONS DES APPUIS
DUES A DES FORCES VERTICALES

§ 1. — DANS LES FORMULES p. 131, REMPLACER LES MOMENTS PAR DES LONGUEURS PRISES SUR LES FUNICULAIRES 1, 3, 5.	
Art. 1. — Formules générales.	
1 ^o Réaction de l'appui de droite R^B . — 2 ^o Réaction de l'appui de gauche R^A .	138
Art. 2. — Choix de distances polaires pour simplifier formules et constructions.....	139

TITRE III. — ARC DISSYMMÉTRIQUE (Suite)

Art. 3. — Comment on construit les réactions R^B, R^A	Pages. 140
§ 2. — COURBE DES INTERSECTIONS ET COURBE ENVELOPPE DES RÉACTIONS.....	140

**CHAPITRE III. — CALCUL, A L'AIDE DES LIGNES D'INFLUENCE,
DES EFFORTS EN KG $\overline{0^m01^2}$ A L'INTRADOS β_i ET A L'EXTRADOS β_e ,
D'UNE SECTION QUELCONQUE **MM**, SOUS L'ACTION D'UNE FORCE **1****

Art. 1. — Expression de β_i et β_e en fonction de la poussée horizontale H et des distances verticales h_e, h_i de m_e, m_i , limites du noyau central, à la résultante R des actions sur MM	141
Art. 2. — Comment, pour une section MM , on construit les lignes d'influence de β_i, β_e	142
Art. 3. — Vérification des points des lignes d'influence sur leur horizontale de base ..	142
Art. 4. — Zones dans lesquelles les forces produisent des efforts > 0 ou < 0	142

**CHAPITRE IV. — CALCUL DES EFFORTS PAR $\overline{0^m01^2}$
DUS — NON PLUS A UNE FORCE **1** — MAIS AUX FORCES (POIDS, SURCHARGES)
AGISSANT RÉELLEMENT SUR L'ARC**

§ 1. — PAR LES LIGNES D'INFLUENCE DES β_i, β_e	143
§ 2. — PAR LES COURBES DE PRESSION	143

CHAPITRE V. — RÉACTION H_τ DUE A UNE VARIATION DE TEMPÉRATURE τ ...	144
---	-----

**TITRE IV. — ARC SYMÉTRIQUE
EFFORTS DANS LA VOÛTE DU PONT ANTOINETTE**

**CHAPITRE I. — CARACTÉRISTIQUES ÉLASTIQUES DE L'ARC
COURBE DES INTERSECTIONS
ET COURBE ENVELOPPE DES RÉACTIONS**

§ 1. — DIMENSIONS DE LA VOÛTE.....	145
§ 2. — CENTRE ELASTIQUE.	
Art. 1. — Division de l'arc en 18 tranches	145
Art. 2. — Axes des ellipses centrales des tranches. Leurs poids élastiques.....	145
Art. 3. — Centre élastique ξ de l'arc.	
A. — Construction graphique, Funiculaires 1 et 2 Pl. II.....	146
B. — Vérification par le calcul de la position de ξ	146
§ 3. — MOMENTS D'INERTIE DES φ PAR RAPPORT A $\xi Y, \xi X$. AXES DE L'ELLIPSE ÉLASTIQUE.	
Art. 1. — Moments d'inertie des φ par rapport à ξY .	
A. — Construction graphique, Funiculaire 3 Pl. II.....	146
B. — Vérification par le calcul.....	147

TITRE IV. — ARC SYMÉTRIQUE (Suite)

	Pages.
Art. 2. — Moments d'inertie des φ par rapport à $\mathcal{G}X$.	
A. — Construction graphique. <i>Funiculaire 4. Pl. II.</i>	147
B. — Vérification par le calcul.....	147
Art. 3. — Demi-axes a'' , b'' de l'ellipse élastique de l'arc.....	147
§ 4. — MOMENTS CENTRIFUGES DES φ PAR RAPPORT : D'UNE PART A UNE FORCE VERTICALE, D'AUTRE PART A XX (funiculaire 5. Pl. II).....	148
§ 5. — RÉACTIONS DUES A UNE CHARGE VERTICALE (Pl. II.)	
Art. 1. — Réactions de $\mathbf{V}_s = \mathbf{1}^T$, appliquée au milieu du joint séparant les tranches 4, 5.	148
Art. 2. — Réactions dues à une charge de $\mathbf{1}^T$ appliquée au milieu de toutes les sections qui séparent les tranches. TABLEAU V.....	148
§ 6. — COURBE DES INTERSECTIONS ET COURBE ENVELOPPE DES RÉACTIONS.....	149

CHAPITRE II. — TRAVAIL PAR $\overline{0^m01^2}$ SOUS LE POIDS MORT

§ 1. — POIDS DES TRANCHES ET SUR LES TRANCHES TABLEAU VI.....	149
§ 2. — RÉSULTANTE \mathcal{R} DES RÉACTIONS D'UN APPUI DANS UNE VOÛTE SYMÉTRIQUE ET SYMÉTRIQUEMENT CHARGÉE DE POIDS VERTICAUX.	
Art. 1. — Construction graphique.....	149
Art. 2. — Vérification. — Calcul des ordonnées à l'origine de \mathcal{R}_A	150
§ 3. — TRACÉ DU FUNICULAIRE DES PRESSIONS, EN SE SERVANT DE LA RÉACTION RÉSULTANTE \mathcal{R}_A DE L'APPUI.....	151
§ 4. — COMMENT, DANS UN ARC SYMÉTRIQUE ET SYMÉTRIQUEMENT CHARGÉ DE POIDS VERTICAUX, ON TRACE LE FUNICULAIRE DES PRESSIONS, SANS AVOIR AU PRÉALABLE CONSTRUIT LES RÉACTIONS DES APPUIS (MÉTHODE DE M. GUIDI).	
Art. 1. — Si, par des verticales on transporte sur la courbe des pressions les centres de gravité des tranches et les antipôles de l'axe $\mathcal{G}Y$ par rapport aux ellipses centrales des tranches, et qu'on construise une ellipse des poids élastiques ainsi déplacés, elle a même centre \mathcal{G} , mêmes axes de symétrie $\mathcal{G}Y$, $\mathcal{G}X$ que l'ellipse élastique de l'arc.....	152
Art. 2. — Construction du funiculaire des pressions à l'aide d'un funiculaire auxiliaire (Pl. III).....	153
§ 5. — TRAVAIL PAR $\overline{0^m01^2}$, AU POIDS MORT, A LA CLEF, SUR L'APPUI, ET DANS 2 SECTIONS INTERMÉDIAIRES.....	155

CHAPITRE III. — EFFORTS PAR $\overline{0^m01^2}$ DUS AUX SURCHARGES ROULANTES

§ 1. — SURCHARGE ROULANTE ISOLÉE DE $\mathbf{1}^T$.	
Art. 1. — Moment de l'effort sur une section S par rapport aux bords du noyau central.....	155

TITRE IV. — ARC SYMÉTRIQUE (Suite)

	Pages.
Art. 2. — Lignes d'influence de $\bar{\beta}_i$ et $\bar{\beta}_e$ pour 4 sections : la retombée (Section I), 2 autres sections (II, III), et la clef (IV).....	155
§ 2. — SOUS 2 LOCOMOTIVES DE 160 ^r (Train-type du règlement du 8 janvier 1915).....	157
§ 3. — DÉPLACEMENTS VERTICAUX DE LA CLEF AU PASSAGE DU TRAIN D'ÉPREUVE.....	157

CHAPITRE IV. — EFFET D'UN CHANGEMENT DE TEMPÉRATURE DE τ^0

Art. 1. — Augmentation de travail.....	159
Art. 2. — Déplacements verticaux.....	159

CHAPITRE V. — EFFORTS RÉSULTANTS..... 160**TITRE V. — VÉRIFICATION GROSSIÈRE
DES ÉPURES D'UNE VOÛTE**

Comparaison avec celles faites pour une voûte dont la fibre moyenne est une parabole **ADSB** de même portée **L** et même montée **b**, et pour laquelle le moment d'inertie **I** d'une section **MM** inclinée de α sur la verticale

$$= \frac{I_0 \text{ (moment à la clef)}}{\cos \alpha} = I_0 \frac{ds}{dx}$$

CHAPITRE I. — HYPOTHÈSES..... 161**CHAPITRE II. — ARC PARABOLIQUE DISSYMMÉTRIQUE (Pl. V)**

§ 1. — ELLIPSE ÉLASTIQUE.....	
Art. 1. — Poids élastiques.....	162
Art. 2. — Centre élastique \mathcal{G}	162
Art. 3. — Diamètre conjugué à la verticale $\mathcal{G}y$	
A. — Moment d'inertie des ε par rapport à $\mathcal{G}y$	162
B. — Direction $\mathcal{G}x'$ conjuguée à la verticale $\mathcal{G}y$	162
C. — Longueur de l'axe a'' conjugué à la verticale.....	162
Art. 4. — Axe vertical b''	
A. — Moment d'inertie des ε par rapport à $\mathcal{G}x'$	162
B. — Axe vertical b'' conjugué à a''	163
Art. 5. — Intersections de l'ellipse élastique et de la fibre moyenne.....	163
§ 2. RÉACTIONS R^B , R^A DES APPUIS B ET A DUES À UNE CHARGE VERTICALE V À r DE L'APPUI A	
Art. 1. — Moment statique des ε par rapport à V . Funiculaire 1	163
Art. 2. — Moment centrifuge des ε par rapport à V et à $\mathcal{G}y$. Funiculaire 3	163
Art. 3. — Moment centrifuge des ε par rapport à V et à $\mathcal{G}x'$. Funiculaire 5	164
Art. 4. — Réactions des appuis.....	164
Art. 5. — Ligne des intersections des réactions.....	165
Art. 6. — Enveloppe des réactions.....	165

**TITRE V. — VÉRIFICATION GROSSIÈRE DES ÉPURES
D'UNE VOÛTE (Suite)**

§ 3. — COMPARAISON AVEC LA VOÛTE RÉELLE DE MÊME PORTÉE ET MÊME MONTÉE.....	Pages. 165
--	---------------

CHAPITRE III. — ARC PARABOLIQUE SYMÉTRIQUE DE PORTÉE $2a$ (Pl. VI)

§ 1. — ELLIPSE ÉLASTIQUE.	
Art. 1. — Centre.....	166
Art. 2. — Longueur des axes.....	166
Art. 3. — Intersections de l'ellipse élastique et de la fibre moyenne.....	166
§ 2. — RÉACTIONS R^B , R^A DES APPUIS B ET A DUES A UNE CHARGE VERTICALE V , A e DE L'APPUI A.	
Art. 1. — Moment statique des p par rapport à V . Funiculaire 1.....	166
Art. 2. — Moment centrifuge des p par rapport à V et à G_y . Funiculaire 3.....	166
Art. 3. — Moment centrifuge des p par rapport à V et à G_x . Funiculaire 5.....	166
Art. 4. — Réactions R^A , R^B	167
Art. 5. — Ligne des intersections des réactions.....	167
Art. 6. — Enveloppe des réactions.....	167
§ 3. — MOMENT DE FLEXION M_x DANS UNE SECTION A x DE L'APPUI DE GAUCHE DÙ A LA RÉACTION R^A ($x < e$).....	168
§ 4. — EFFET D'UN CHANGEMENT DE TEMPÉRATURE DE τ^0	168
§ 5. — COMPARAISON AVEC LA VOÛTE DU PONT ANTOINETTE (Pl. II).....	168

TITRE VI. — LES APPUIS DE L'ARC NE SONT PAS INVARIABLES

§ 1. — PRÉAMBULE.....	169
§ 2. — VOÛTES SUR PILES ÉLASTIQUES.....	169
§ 3. — RÉACTION DUE A UN MOUVEMENT NON ÉLASTIQUE DES APPUIS.....	170

3^E PARTIE. — TABLES NUMÉRIQUES

DÉBIT DES OUVRAGES ET DES COURS D'EAU

FORMULES DE M. BAZIN

TABLE T_1	173
-------------------	-----

ÉPAISSEUR A LA CLEF

TABLE T_2 — VOÛTES INARTICULÉES EN PLEIN CINTRE DE PORTÉE $2a$.	174
TABLE T_3 — VOÛTES SURBAISSÉES EN ELLIPSE, EN ARC.....	176

TABLES NUMÉRIQUES (Suite)

FRUIT MINIMUM φ A DONNER AU TYMPAN CONVEXE
DES PONTS OU VIADUCS EN COURBE DE RAYON **R**
POUR QU'AUCUN POINT DE L'INTRADOS DU BANDEAU
NE SOIT EN PORTE-A-FAUX
PAR RAPPORT A UN POINT PLUS BAS : $\text{MIN } \varphi = \frac{r}{R}$

TABLE T₁ Pages. 176

DÉVELOPPEMENT **L** D'UNE ELLIPSE DE SURBAISSEMENT σ

TABLE T₂ 177

CALCUL D'UN CINTRE

TABLE T₃ — PRESSION NORMALE p EN Kg SUR UN M. Q. DE DOUELLE
DE CINTRE, A UNE DISTANCE α DE LA CLEF 178

TABLE T₄ — COMPRESSION MOYENNE β_m EN Kg A ADMETTRE PAR $\overline{0m01^2}$
DE SECTION TRANSVERSALE D'UNE PIÈCE DE BOIS COM-
PRIMÉE 178

ANNEXES

PONTS A VOÛTES INARTICULÉES OU ARTICULÉES
DE 40^m ET PLUS DE PORTÉE ACHÉVÉS APRÈS 1912
TABLEAUX SYNOPTIQUES. — MONOGRAPHIES

VOÛTES INARTICULÉES EN PLEIN CINTRE **C**

PONTS A UNE SEULE GRANDE ARCHE
SOUS CHEMIN DE FER A VOIE NORMALE

SÉRIE **C¹ I^r** ($\geq 40^m$)

TABLEAU SYNOPTIQUE 180
MONOGRAPHIE :

C¹ I^r ($\geq 40^m$)¹. — Pont sur la «calanque» des Eaux-Salées (France, —
Bouches-du-Rhône) (1911-1914) 193

TEXTE. — 1. Pourquoi on a fait une grande arche (p. 193). — 2. Cintre. —
3. Fondations (p. 195). — 4. Exécution de la grande voûte. — A. Epaisseur des
rouleaux. — B. 1^{er} rouleau (p. 196). — C. 2^e et 3^e rouleaux. — D. Mor-
tier de matage. — 5. Tassements (p. 197). — 6. Quantités et dépenses
(p. 198). — 7. Quelques prix d'unité. — A. — Matériaux à pied d'œuvre. —
B. Salaires. — 8. Personnel (p. 198).

DESSINS. — f₂. Elévation aval. — f₃. Coupe en long. — f₄. Coupe en travers (p.
194). — f₅, f₆. Cintre (p. 195). — f₇. Exécution de la grande voûte (p. 196).

PHOTOGRAPHIE. — ϕ_1 . Aval (p. 193).

VOÛTES INARTICULÉES EN PLEIN CINTRE C (*Suite*)**PONTS A UNE SEULE GRANDE ARCHE
SOUS CHEMIN DE FER A VOIE ÉTROITE****SÉRIE C¹ fr** ($\geq 40^m$)

Pages.

TABLEAU SYNOPTIQUE.....	180
MONOGRAPHIE :	

C¹ fr ($\geq 40^m$) ² . — Pont sur la Roizonne, à 6 ^k de La Mure (France, — Isère) (1912-1916)	199
--	-----

TEXTE. — 1. Intrados. — 2. Hauteur de la voie au dessus du thalweg (p. 199). — 3. Cintre (p. 201). — 4. Personnel. — Sources (p. 202).

DESSINS. — f₁. Ensemble (p. 199). — f₂. Grande voûte (p. 200).

PHOTOGRAPHIES. — ϕ_1 (p. 201). — ϕ_2 . Cintre en montage. — ϕ_3 . Clavage du 2^e rouleau (p. 202).

VOÛTES INARTICULÉES EN ELLIPSE E**PONTS EN DEUX ANNEAUX
A PLUSIEURS GRANDES ARCHES SOUS ROUTE****SÉRIE Eⁿ Eⁿ 1^{re}** ($\geq 40^m$)

TABLEAU SYNOPTIQUE.....	182
MONOGRAPHIE :	

Eⁿ Eⁿ 1^{re} ($\geq 40^m$) ² . — Pont de l'Hôtel-Dieu, sur le Rhône, à Lyon (France) (1912-1916)	203
--	-----

TEXTE. — Personnel. — Sources (p. 204).

DESSINS. — f₁. Ensemble. — f₂. Voûte de 49^m. — f₃. Coupe en travers à la clef (p. 203).

PHOTOGRAPHIES. — ϕ_1 . Vue prise de la rive gauche. — ϕ_2 . Anneau aval, voûte de 49^m (p. 204).

**PONTS A PLUSIEURS GRANDES ARCHES
SOUS CHEMIN DE FER A VOIE NORMALE****SÉRIE Eⁿ Fr** ($\geq 40^m$)

TABLEAU SYNOPTIQUE	182
MONOGRAPHIE :	

Eⁿ Fr ($\geq 40^m$) ² . — Pont sur le Tarn, à Courris (France, — Tarn) (1912-1916)	205
---	-----

TEXTE. — 1. Un seul cintre pour les 3 voûtes (p. 205). — 2. Dates d'exécution du 1^{er} rouleau des 3 voûtes. — 3. Personnel. — Source (p. 206).

DESSINS. — f₁. Ensemble. — f₂. Arche centrale (p. 205).

PHOTOGRAPHIE. — ϕ_1 (p. 206).

VOÛTES INARTICULÉES EN ARC PEU SURBAISSÉ \widehat{A} PONTS A UNE SEULE GRANDE ARCHE
SOUS CHEMIN DE FER A VOIE NORMALESÉRIE \widehat{A}^1 1^{re} ($\geq 40^m$)

Pages

TABEAU SYNOPTIQUE.....	184
MONOGRAPHIE :	

\widehat{A}^1 1 ^{re} ($\geq 40^m$) ¹² . — Pont de Niagara, sur la Rauma (NORVÈGE) (1914-19..)	207
---	-----

TEXTE. — SOURCE (p. 207).

DESSIN. — f₁. Ensemble (p. 207).PONTS A UNE SEULE GRANDE ARCHE
SOUS CHEMIN DE FER A VOIE ÉTROITESÉRIE \widehat{A}^1 1^{re} ($\geq 40^m$)

TABEAU SYNOPTIQUE.....	184
MONOGRAPHIES :	

\widehat{A}^1 1 ^{re} ($\geq 40^m$) ⁵ . — Pont sur la Vouga à Pozo près de Pecgueiro do Vouga (PORTUGAL) (1913).....	208
---	-----

TEXTE. — SOURCE (p. 208).

DESSINS. — f₁. Ensemble. — f₂. Grande voûte (p. 208).

\widehat{A}^1 1 ^{re} ($\geq 40^m$) ⁶ . — Pont de Pélussin (FRANCE, — Loire) (1914-1916).....	209
--	-----

TEXTE. — SOURCE (p. 209).

DESSINS. — f₁. Ensemble. — f₂. Grande voûte (p. 209).VOÛTES INARTICULÉES EN ARC ASSEZ SURBAISSÉ \widehat{A} PONTS EN DEUX ANNEAUX
A UNE SEULE GRANDE ARCHE SOUS ROUTESÉRIE $\widehat{A}^1 \widehat{A}^1$ 1^{re} ($\geq 40^m$)

TABEAU SYNOPTIQUE.....	186
MONOGRAPHIE :	

$\widehat{A}^1 \widehat{A}^1$ 1 ^{re} ($\geq 40^m$) ¹ . — Pont sur le Lot, à Villeneuve (FRANCE, — Lot-et-Garonne) (1914-1916).....	210
--	-----

TEXTE. — 1. Pont en 2 anneaux. — 2. Fibre moyenne et intrados des grandes voûtes (p. 210). — 3. « Matériau » des grandes voûtes. — 4. Parapet. (Projet) (p. 212). — 5. Exécution des grandes voûtes (p. 213). — 6. Décintrement (p. 214). — 7. Dates d'exécution (p. 216). — 8. Personnel. — 9. Ce qu'enseigne le pont de Villeneuve. — SOURCE (p. 217).

DESSINS. — f₁. Elevation. — Cintre : f₂. 1/2 Elevation ; f₃. Coupe à la clef. — f₄. 1/2 Coupe en travers à la clef (p. 211). — Coffrage entre 2 tranches : f₅. Coupe sur xx ; f₆. Vue par dessus (p. 213). — Dispositif de décintrement : f₁₁, f₁₂, f₁₃. Coupes (p. 215).

PHOTOGRAPHIE. — ϕ_1 (p. 216).

VOÛTES INARTICULÉES EN ARC ASSEZ SURBAISSÉ \widehat{A}

(Suite)

PONTS A UNE SEULE GRANDE ARCHE
SOUS CHEMIN DE FER A VOIE NORMALESÉRIE \widehat{A}^1 Fr ($\geq 40^m$)

Pages

TABLEAU SYNOPTIQUE..... 186

MONOGRAPHIES :

 \widehat{A}^1 Fr ($\geq 40^m$)²⁶. — **Pont** sur l'Orkla, à **Orkla** (NORVÈGE, — Drontheim)
(1912-1915)..... 218

TEXTE. — SOURCE (p. 218).

DESSINS. — f_1 . Elévation. — f_2 . Coupe en travers (p. 218). \widehat{A}^1 Fr ($\geq 40^m$)²⁷. — **Pont** sur la Jora, à **Dombaas** (NORVÈGE) (1913-19..). 219

TEXTE. — SOURCE (p. 219).

DESSINS. — f_1 . 1/2 Elévation. — f_2 . 1 2 Coupe en long (p. 219). \widehat{A}^1 Fr ($\geq 40^m$)²⁸. — **Pont** de **Gulfos** (NORVÈGE) (1913-19..)..... 219

TEXTE. — SOURCE (p. 219).

DESSINS. — f_3 . 1/2 Elévation. — f_4 . 1 2 Coupe en long. — f_5 . Coupe en travers
(p. 219).VOÛTES INARTICULÉES $\geq 40^m$ EN BÉTON PEU ARMÉ

TABLEAU SYNOPTIQUE..... 188

MONOGRAPHIE :

Pont sur le **Tunkhannock Creek** près de **Nicholson** (ÉTATS-UNIS, —
Pennsylvanie) (1912-1915)..... 220TEXTE. — 1. Importance de l'ouvrage (p. 220). — 2. Voûtes en 2 anneaux. —
3. Voûtes en béton (p. 221). — 4. Fondations des piles centrales. — 5. Pose du
béton des piles en élévation. — 6. Béton des grandes voûtes. Cintres (p. 222). —
7. Chape. — 8. Joints de dilatation coupant les arches d'évidement. — 9. Per-
sonnel. — SOURCES (p. 224).DESSINS. — f_1 . Ensemble (p. 220). — f_2 . Coupe à la clef. — f_3 . 1 2 Elévation. —
 f_4 . 1 2 Coupe en long (p. 221). — f_5 , f_6 , f_7 . Coupes du cintre (p. 222). —
 f_8 , f_9 . Entretoisement (p. 223).PHOTOGRAPHIES. — ϕ_1 (p. 220). — ϕ_2 (p. 223).**Pont** sur le **Martin's Creek** (ÉTATS-UNIS (1913)..... 188**Pont** sur le **Latah Creek**, à **Spokane** (ÉTATS-UNIS) (1911-1913) .. 188

VOÛTES ARTICULÉES
ARTICULATIONS ROULANTES
ARCS TRÈS SURBAISSÉS \bar{A}

PONTS A PLUSIEURS GRANDES ARCHES
SOUS CHEMIN DE FER A VOIE NORMALE

SÉRIE \bar{A}^n Fr ($\geq 40^m$)

Pages.

TABLEAU SYNOPTIQUE.....	190
MONOGRAPHIE :	

\bar{A}^n Fr ($\geq 40^m$)¹. — Pont à 4 voies sur le Neckar, à Cannstatt (ALLEMAGNE, — Wurtemberg) (1911-1914).....	225
---	------------

TEXTE. — 1. Tracé des têtes (p. 225). — 2. Efforts par $\overline{0^m01^2}$ dans la voûte centrale (p. 226). — 3. Matériaux (p. 227). — 4. Sommiers en béton des rotules. — 5. Joint de dilatation (p. 228). — 6. Chape. — 7. Cintres. — 8. Exécution des grandes voûtes (p. 229). — 9. Décintrement (p. 230). — 10. Personnel. — SOURCE (p. 231).

DESSINS. — f_1, f_2 . Ensemble (p. 225). — f_3, f_4, f_5 . Coupes en long et en travers (p. 226). — Rotule de clef et masque du joint de dilatation : f_6, f_7, f_8, f_9 . Coupes (p. 228). — f_{10}, f_{11} . Cintre (p. 229). — f_{12} . Tassements (p. 230).

TABLE ABRÉGÉE DES MATIÈRES

TOMES I, II, III, IV, V

TOME I

(TABLE DÉTAILLÉE — TOME I, p. 248)

AVANT-PROPOS.....	I
AVERTISSEMENT.....	III

1^{re} PARTIE — VOÛTES INARTICULÉES

PRÉLIMINAIRES.....	3
--------------------	---

LIVRE I. — DESCRIPTION DES PONTS QUI ONT OU AVAIENT DES VOÛTES INARTICULÉES DE 40^m ET PLUS DE PORTÉE. — TABLEAUX SYNOPTIQUES. — MONOGRAPHIES.

VOÛTES INARTICULÉES EN PLEIN CINTRE C

PONTS A UNE SEULE GRANDE ARCHE SOUS ROUTE

SÉRIE C¹ 1^{re} ($\geq 40^m$)

TABLEAU SYNOPTIQUE.....	10
MONOGRAPHIES :	

N ^{os} d'ordre dans la série C ¹ ($\geq 40^m$)	1	Vieux Pont sur le Tech, à Céret (FRANCE, — Pyrénées-Orientales) (1321-39).....	15	249
	2	Pont (actuel) sur l'Allier, à Vieille-Brioude (FRANCE, — Haute-Loire) (1824-31).....	23	249
	3	Pont sur le Gave de Pau, à Saint-Sauveur (FRANCE, — Hautes-Pyrénées) (1860-61)...	27	249
	4	Pont sur le Rhône, à Collonges (FRANCE, — Haute-Savoie) (1869-73).....	31	249
	5	Pont sur la « Baie » de Clarens, à Brent (SUISSE, — Vaud) (1899-1900).....	34	249

PONTS A UNE SEULE GRANDE ARCHE SOUS CHEMIN DE FER

A VOIE NORMALE

SÉRIE C¹ 1^{re} ($\geq 40^m$)

TABLEAU SYNOPTIQUE.....	38
MONOGRAPHIES :	

1	Pont sur l'Ayr, à Ballochmyle (ÉCOSSE, — Comté d'Ayr) (1846-48).....	41	250
2	Pont sur le Gave d'Oloron, à Oloron (FRANCE, — Basses-Pyrénées) (1881-82).....	45	250
3	Pont de Rébuzo, sur l'Aude, (FRANCE, — Aude) (1898-1900).....	48	250

Pages Tome I	
Texte	Table détaillée
I	
III	
3	
10	
15	249
23	249
27	249
31	249
34	249
38	
41	250
45	250
48	250

**PONTS A UNE SEULE GRANDE ARCHE SOUS CHEMIN DE FER
A VOIE ÉTROITE**

SÉRIE C¹ 1^{re} ($\geq 40^m$)

	Pages Tome I	
	Texte	Table détaillée
TABLEAU SYNOPTIQUE.....	52	
MONOGRAPHIES :		
1 Pont sur l'Albula, à Solis (SUISSE, — Grisons) (1901-02).....	55	250

PONTS A PLUSIEURS GRANDES ARCHES SOUS ROUTE

SÉRIE Cⁿ 1^{re} ($\geq 40^m$)

	Pages	
	Texte	Table détaillée
TABLEAU SYNOPTIQUE.....	60	
MONOGRAPHIES :		
1 Pont sur l'Orbieu, près d'Ornaizons (FRANCE, — Aude) (1745-52).....	63	251
2 Pont de l'Avenue du Connecticut sur le Rock Creek, à Washington (ÉTATS-UNIS) (1899-1901, 1904-08).....	67	251

**PONTS A PLUSIEURS GRANDES ARCHES SOUS CHEMIN DE FER
A VOIE NORMALE**

SÉRIE Cⁿ 1^{re} ($\geq 40^m$)

	Pages	
	Texte	Table détaillée
TABLEAU SYNOPTIQUE.....	76	
MONOGRAPHIES :		
1 Pont sur la Marne, à Nogent-sur-Marne (FRANCE, — Seine) (1855-56).....	79	251

VOÛTES INARTICULÉES EN ELLIPSE E

PONTS A UNE SEULE GRANDE ARCHE SOUS ROUTE

SÉRIE E¹ 1^{re} ($\geq 40^m$)

	Pages	
	Texte	Table détaillée
TABLEAU SYNOPTIQUE.....	86	
MONOGRAPHIES :		
1 Pont sur la Romanche, à Vizille (FRANCE, — Isère) (1751-66).....	93	252
2 Vieux Pont sur l'Agout, à Lavaur (FRANCE, — Tarn) (1773-91).....	97	252
3 Pont sur l'Hérault, près de Gignac (FRANCE, — Hérault) (1776-1810).....	103	252
4 Pont sur la Severn, à Gloucester (ANGLETERRE) (1826-27).....	107	252
5 Pont sur le Fium'Alto (FRANCE, — Corse) (1862-63).....	110	253
6 Pont Annibal sur le Vulture, à S. Angelo, près de Capoue (ITALIE) (1868-70).....	112	253
7 Pont du Diable sur le Sele (ITALIE — Province de Salerne) (1871-72).....	116	253
8 Pont de Saint-Pierre sur le Dadou (FRANCE, — Tarn) (1886).....	120	253
9 Pont de l'Avenue Edmondson, à Baltimore (ÉTATS-UNIS, — Maryland) (1908-09).....	122	253

**PONTS A UNE SEULE GRANDE ARCHE
SOUS CHEMIN DE FER A VOIE NORMALE**

SÉRIE E¹ 1^{re} ($\geq 40^m$)

	Pages	
	Texte	Table détaillée
TABLEAU SYNOPTIQUE.....	128	
MONOGRAPHIES :		
1 Pont sur la Pique, à Signac (FRANCE, — Haute-Garonne) (1871-72).....	131	254
2 Pont sur le Verdon, près de La Mure (FRANCE, — Basses-Alpes) (1905-06).....	133	254

N^{os} d'ordre dans la série
E¹ 1^{re} ($\geq 40^m$)

		Pages Tome I	
		Texte	Table détaillée
PONTS A PLUSIEURS GRANDES ARCHES SOUS ROUTE			
SÉRIE E^n 1^{re} ($\geq 40m$)			
TABLEAU SYNOPTIQUE.....		138	
MONOGRAPHIES :			
N ^o d'ordre dans la série E^n 1 ^{re} ($\geq 40m$)	1 Pont de Londres (London Bridge), sur la Tamise (1824-31).....	147	254
	2 Pont de l'Alma, sur la Seine, à Paris (1854-55).....	153	255
	3 Pont sur le bras gauche de la Seine, à Mantes (FRANCE, — Seine-et-Oise), reconstruit en 1873-1875.....	160	255
	4 Pont sur le Doubs, à Verdun-sur-le-Doubs (FRANCE, — Saône-et-Loire) (1895-97)....	165	255
	5 Pont de l'Empereur François, sur la Moldau, à Prague (AUTRICHE, — Bohême) (1898-1901).	168	256
	6 Pont sur le Rhône, à Valence (FRANCE, — Drôme) (1901-05).....	173	256
	7 Pont Edouard VII, sur la Tamise, à Kew (ANGLETERRE, — Surrey) (1901-03).....	182	256
PONTS EN DEUX ANNEAUX A PLUSIEURS GRANDES ARCHES SOUS ROUTE			
SÉRIE E^n E^n 1^{re} ($\geq 40m$)			
TABLEAU SYNOPTIQUE.....		188	
MONOGRAPHIES :			
	1 Pont des Amidonniers, sur la Garonne, à Toulouse (FRANCE) (1904-07).....	193	257
PONTS A PLUSIEURS GRANDES ARCHES SOUS CONDUITE D'EAU (AQUEDUCS)			
SÉRIE E^n aq ($\geq 40m$)			
TABLEAU SYNOPTIQUE.....		210	
MONOGRAPHIES :			
	1 Pont-aqueduc sur la vallée de l'Yonne, près de Pont-sur-Yonne (FRANCE, — Yonne) (1870-73).....	213	258
PONTS A PLUSIEURS GRANDES ARCHES SOUS CHEMIN DE FER A VOIE NORMALE			
SÉRIE E^n 1^{re} ($\geq 40m$)			
TABLEAU SYNOPTIQUE.....		222	
MONOGRAPHIES :			
	1 Pont sur la Big Muddy River (ÉTATS-UNIS, — Illinois) (1901-03).....	225	258
VOÛTES INARTICULÉES EN ELLIPSE SURHAUSSÉE E_h			
PONTS A UNE SEULE GRANDE ARCHE SOUS CHEMIN DE FER A VOIE ÉTROITE			
SÉRIE E_h 1^{re} ($\geq 40m$)			
TABLEAU SYNOPTIQUE.....		232	
MONOGRAPHIES :			
	1 Pont sur le Landwasser, à Wiesen (SUISSE, — Grisons) (1906-09).....	235	259

TOME II

(TABLE DÉTAILLÉE — TOME II, p. 210)

VOÛTES INARTICULÉES EN ARC PEU SURBAISSÉ \hat{A}

PONTS A UNE SEULE GRANDE ARCHE SOUS ROUTE

SÉRIE \hat{A}^1 r^{te} ($\geq 40^m$)TABLEAU SYNOPTIQUE..... 10
MONOGRAPHIES :

- 1 Ancien Pont sur l'Allier, à Vieille-Brioude (FRANCE, — Haute-Loire) (Peut-être commencé avant 1310; refait ou réparé à partir de 1454; fini avant 1479) (*Réroulé en 1822*)..... 15 211
- 2 Pont sur l'Eygues, à Nyons (FRANCE, — Drôme) (commencé après 1351; peut-être fini en 1407)..... 25 211
- 3 Pont sur le Doux, près de Tournon (FRANCE, — Ardèche) (après 1351 — avant 1583)..... 35 211
- 4 Vieux Pont sur le Drac, à Claix (FRANCE, — Isère) (1608-11)..... 42 212
- 5 Pont sur l'Asstico, à Crespano (ITALIE, — Vénétie) (1832-36)..... 46 212
- 6 Pont de Nydeck, sur l'Aar, à Berne (SUISSE) (1840-44)..... 51 212
- 7 Pont Saint-Étienne (*Stefansbrücke*), sur la Buzbach (AUTRICHE, — Tyrol) (1842-46)..... 55 212

PONTS EN DEUX ANNEAUX

A UNE SEULE GRANDE ARCHE SOUS ROUTE

SÉRIE \hat{A}^1 \hat{A}^1 r^{te} ($\geq 40^m$)TABLEAU SYNOPTIQUE..... 60
MONOGRAPHIES :

- 1 Pont Adolphe, sur la vallée de la Pétrusse, à Luxembourg (1899-1903)..... 67 213
- 2 Pont de Walnut Lane dans Fairmount Park, sur le Wissahickon Creek, à Philadelphie (ÉTATS-UNIS) (1906-08)..... 83 214
- 3 Pont sur la Rocky River, près de Cleveland (ÉTATS-UNIS, — Ohio) (1908-10)..... 95 215
- 4 Pont de Sidi-Rached, sur le Rhumel, à Constantine (FRANCE, — Algérie) (1908-12)..... 107 215

PONTS A UNE SEULE GRANDE ARCHE

SOUS CHEMIN DE FER A VOIE NORMALE

SÉRIE \hat{A}^1 r^r ($\geq 40^m$)TABLEAU SYNOPTIQUE..... 116
MONOGRAPHIES :

- 1 Pont sur le ruisseau de la Roeder, près de Kleinwolmsdorf (ALLEMAGNE, — Saxe) (1844-45)..... 125 216
- 2 Pont de Berdoulet, sur l'Ariège (FRANCE, — Ariège) (1860-61)..... 128 216
- 3 Pont du Castelet, sur l'Ariège (FRANCE, — Ariège) (1882-83)..... 130 216
- 4 Pont sur l'Agoût, à Lavarur (FRANCE, — Tarn) (1882-84)..... 135 216
- 5 Pont Antoinette, sur l'Agoût (FRANCE, — Tarn) (1883-84)..... 145 217
- 3, 4, 5 Ponts du Castelet, de Lavarur, Antoinette. *Renseignements généraux et prix de revient, rapprochés en tableaux comparatifs*..... 151 217
- 6 Pont de Waldfitobel, sur le ravin de Klösterle (AUTRICHE, — Vorarlberg) (1883-84)..... 157 218
- 7 Pont sur le Tech, à Céret (FRANCE, — Pyrénées-Orientales) (1883-85)..... 160 218
- 8 Pont sur le Palmgraben (Haute-Autriche) (1904-05)..... 164 218
- 9 Pont sur le Schallgraben (Haute-Autriche) (1904-05)..... 168 218
- 10 Pont sur le Rothweinbach (AUTRICHE, — Carinthie) (1904-05)..... 171 218
- 11 Pont sur le Gave d'Aspe, à Eseo (FRANCE, — Basses-Pyrénées) (1907-09)..... 174 219

N° d'ordre dans la série \hat{A}^1 r^{te} ($\geq 40^m$)N° d'ordre dans la série \hat{A}^1 r^r ($\geq 40^m$)

Pages Tome II	
Texte	Table détaillée
10	
15	211
25	211
35	211
42	212
46	212
51	212
55	212
60	
67	213
83	214
95	215
107	215
116	
125	216
128	216
130	216
135	216
145	217
151	217
157	218
160	218
164	218
168	218
171	218
174	219

PONTS A UNE SEULE GRANDE ARCHE
SOUS CHEMIN DE FER A VOIE ÉTROITE

SÉRIE \widehat{A}^1 1^{re} ($\geq 40^m$)

	Pages Tome II	
	Texte	Table détaillée
TABLEAU SYNOPTIQUE.....	178	
MONOGRAPHIES :		
1 Pont sur la Gravona (FRANCE, — Corse) (1884).....	183	219
2 Pont sur le ravin de Ramounails (FRANCE, — Pyrénées-Orientales) (1906-08).....	186	219
3 Pont sur l'Inn, à Cinuskel (SUISSE, — Engadine) (1910-12).....	189	219
4 Pont de Tuoi , sur la Cluozza (SUISSE, — Engadine) (1911-12).....	194	219
 PONTS A PLUSIEURS GRANDES ARCHES SOUS CHEMIN DE FER A VOIE NORMALE		
TABLEAU SYNOPTIQUE.....	198	
MONOGRAPHIES :		
1 Pont Victoria , sur la Wear , près de Law-Lambton (ANGLETERRE, — Durham) (1836-38).....	201	220

TOME III

(TABLE DÉTAILLÉE — TOME III, p. 396)

VOÛTES INARTICULÉES EN ARC ASSEZ SURBAISSÉ \widehat{A}

PONTS A UNE SEULE GRANDE ARCHE SOUS ROUTE

SÉRIE \widehat{A}^1 1^{re} ($\geq 40^m$)

	Pages Tome III	
	Texte	Table détaillée
TABLEAU SYNOPTIQUE.....	10	
MONOGRAPHIES :		
1 Pont sur l' Adda , à Trezzo (ITALIE, — Lombardie) (1310-77). <i>Détruit en 1416</i>	19	397
2 Pont dit « Pont-y-tu-Pridd », sur la Tafe , près de Newbridge (ANGLETERRE, — Pays de Galles) (1749-50).....	26	397
3 Pont de Grosvenor , sur la Dee , à Chester (ANGLETERRE, — Pays de Galles) (1833-34).....	29	397
4 Pont sur le torrent Fegana , près des Bains-de-Lucques (ITALIE, — Province de Lucques) (1845-47) (1874-77).....	32	397
5 Pont sur le Drac , à Claix (FRANCE, — Isère) (1873-74).....	36	398
6 Pont du Saulnier sur le Gardon de Sainte-Cécile d'Andorge (FRANCE, — Lozère) (1882). <i>(Écroulé en 1912)</i>	40	398
7 Pont sur la Black River , à Elyria (ÉTATS-UNIS, — Ohio) (1886).....	46	398
8 Pont de la Main Street , sur le Wheeling Creek , à Wheeling (ÉTATS-UNIS, — West-Virginia) (1891-92).....	47	398
9 Pont de Bellefield , sur le Creux de Saint-Pierre , à Pittsburg (ÉTATS-UNIS, — Pennsylvanie) (1896-97).....	49	399
10 Pont Frédéric-Auguste , sur la vallée de la Syra , à Plauen (ALLEMAGNE, — Saxe-Voigtland) (1903-05).....	52	399
11 Pont sur la Singine , près de Guggersbach (SUISSE, — Berne) (1906).....	59	399
12 Pont sur la Valserine , au Moulin des Pierres , près de Montanges (FRANCE, — Ain) (1908-10).....	62	400

N° d'ordre dans la série \widehat{A}^1 1^{re} ($\geq 40^m$)

**PONTS A UNE SEULE GRANDE ARCHE
SOUS CONDUITE D'EAU (AQUEDUCS)**

SÉRIE \widehat{A}^1 aq ($\geq 40^m$)

TABLEAU SYNOPTIQUE.....

MONOGRAPHIES:

1 Pont de Cabin-John, sur Cabin-John Creek, près de Washington (ÉTATS-UNIS)
(1857-64).....

**PONTS A UNE SEULE GRANDE ARCHE
SOUS CHEMIN DE FER A VOIE NORMALE**

SÉRIE \widehat{A}^1 Fr ($\geq 40^m$)

TABLEAU SYNOPTIQUE.....

MONOGRAPHIES:

1 & 2 Ponts sur la Scrivia près de Marettia et de Prarolo (ITALIE, — Province de Gênes).
(1851-52).....

3 & 4 Ponts sur la Scrivia près d'Isola del Cantone (ITALIE, — Province de Gênes) (1852).....

5 Pont sur l'Oglio, près de Calcio (ITALIE, — Lombardie) (1877-78).....

6 Pont sur la Vézère, au Gour-Noir (FRANCE, — Corrèze) (1888-89).....

7 Pont sur la Vézère, à Pouch (FRANCE, — Corrèze) (1890).....

8 Pont sur la Vézère, à Freyssinet (FRANCE, — Corrèze) (1890-91).....

9 Pont sur le Pruth, à Jaremcze (AUTRICHE, — Galicie) (1893-94).....

10 Pont sur le Pruth, à Jamna (AUTRICHE, — Galicie) (1893-94).....

11 Pont sur le Pruth, près de Worochta (AUTRICHE, — Galicie) (1893-94).....

12 Pont sur la Gutach (ALLEMAGNE, — Bade) (1899-1900).....

13 Pont sur le Schwändeholzobel (ALLEMAGNE, — Bade) 1899-1900).....

14 Pont sur la Chemnitz (ALLEMAGNE, — Saxe) (1901-02).....

15 Pont sur la Diveria (ITALIE, — Province de l'Ossola) (1902).....

16 Pont sur le Strandeelven, près de Voss (NORVÈGE) (1902-04).....

17 Pont sur le Krenngraben, près de Dirnbach (Haute-AUTRICHE) (1904-05).....

18 Pont sur la Steyrling (Haute-AUTRICHE) (1904-05).....

19 Pont sur l'Isonzo, près de Salcano (AUTRICHE, — Küstenland) (1904-06).....

20 Pont sur le Hallingdalselven, à Svenkerud (NORVÈGE) (1905-07).....

21 Pont sur la Murg, près de Langenbrand (ALLEMAGNE, — Bade) (1907-09).....

22 Pont sur la Charente, près de Lusserat (FRANCE, — Charente-Inférieure) (1908-10).....

23 Pont sur le Nidelven, à Boilefos (NORVÈGE) (1908-19).....

24 Pont sur la Thur, à Lichtensteig (SUISSE, — Saint-Gall) (1907-09).....

25 Pont sur la Thur, à Krummenau (SUISSE, — Saint-Gall) (1910-11).....

PONTS A PLUSIEURS GRANDES ARCHES SOUS ROUTE

SÉRIE \widehat{A}^n r^{te} ($\geq 40^m$)

TABLEAU SYNOPTIQUE.....

MONOGRAPHIES:

1 Pont du Vieux-Château (*Castelvecchio*) sur l'Adige, à Vérone (ITALIE) (1354-56)....

2 Pont sur le ruisseau de Tamié, près de Seythenex (FRANCE, — Haute-Savoie) (1908-11).....

**PONTS A PLUSIEURS GRANDES ARCHES
SOUS CHEMIN DE FER A VOIE NORMALE**

SÉRIE \widehat{A}^n Fr ($\geq 40^m$)

TABLEAU SYNOPTIQUE.....

MONOGRAPHIES:

1 Pont sur l'Isonzo, près de Canale (AUTRICHE, — Küstenland) (1904-06).....

Nos d'ordre dans la série \widehat{A}^n Fr ($\geq 40^m$)

Pages Tome III	
Texte	Table détaillée
72	
75	400
80	
93	401
98	401
100	401
103	401
110	402
112	402
114	402
118	402
120	402
122	403
126	403
129	403
130	403
132	403
134	404
137	404
141	404
150	405
152	405
155	405
159	405
161	406
164	406
170	
173	406
177	406
182	
185	407

VOÛTES INARTICULÉES EN ARC TRÈS SURBAISSÉ \bar{A}

PONTS A UNE SEULE GRANDE ARCHE SOUS ROUTE

SÉRIE $\bar{A}^1 r^{te}$ ($\geq 40m$)N^{os} d'ordre dans la série
 $\bar{A}^1 r^{te}$ ($\geq 40m$)

	Pages Tome III	
	Texte	Table détaillée
TABLEAU SYNOPTIQUE.....	192	
MONOGRAPHIES:		
1 Pont Mosca, sur la Dora Riparia, à Turin (ITALIE) (1834).....	199	407
2 Pont sur la Nagold, à Teinach (ALLEMAGNE, — Wurtemberg) (1882).....	203	407
3 Pont sur la Murg, à Huzenbach (ALLEMAGNE, — Wurtemberg) (1889).....	206	408
4 Pont sur la Malapane, à Wengern (ALLEMAGNE, — Silésie) (1904).....	207	408
5 Pont sur la Freiwalddauer Biele, à Ziegenhals (ALLEMAGNE, — Silésie) (1905).....	208	408
6 Pont sur la Glatzer Neisse, à Michelau (ALLEMAGNE, — Silésie) (1905-06).....	209	408
7 Pont sur la Queis, à Neuhammer (ALLEMAGNE, — Silésie) (Projet : 1905).....	211	408
8 Pont sur la Bartsch, à Schwusen (ALLEMAGNE, — Silésie) (1907).....	213	408
9 Pont sur la Freiwalddauer Biele, à Kupferhammer (ALLEMAGNE, — Silésie) (1907).....	214	408

PONTS A UNE SEULE GRANDE ARCHE SOUS CONDUITE D'EAU
(AQUEDUCS)SÉRIE $\bar{A}^1 aq$ ($\geq 40m$)

TABLEAU SYNOPTIQUE.....	216	
MONOGRAPHIES:		
1 Pont sur la Murg, près de Weisenbach (ALLEMAGNE, — Grand Duché de Bade) (1885).....	219	409

PONTS A UNE SEULE GRANDE ARCHE
SOUS CHEMIN DE FER A VOIE NORMALESÉRIE $\bar{A}^1 r^r$ ($\geq 40m$)

TABLEAU SYNOPTIQUE.....	222	
MONOGRAPHIES:		
1 Pont de Bellows Falls sur le Connecticut (ÉTATS-UNIS, — Vermont) (1899).....	225	409

PONTS A PLUSIEURS GRANDES ARCHES SOUS ROUTE

SÉRIE $\bar{A}^n r^{te}$ ($\geq 40m$)N^{os} d'ordre dans la série
 $\bar{A}^n r^{te}$ ($\geq 40m$)

TABLEAU SYNOPTIQUE.....	230	
MONOGRAPHIES:		
1 Pont de Putney, sur la Tamise (ANGLETERRE) (1882-83).....	239	409
2 Pont Boucicaud, sur la Saône, à Verjux (FRANCE, — Saône-et-Loire) (1888-90).....	243	410
3 Pont sur la Moselle, à Mehrling (ALLEMAGNE, — Prusse Rhénane) (1903-04).....	252	410
4 Pont sur la Loire, à Orléans (FRANCE, — Loiret) (1904-06).....	255	410
5 Pont sur Pflotzenplotz, à Krappitz (ALLEMAGNE, — Silésie) (1905).....	265	411
6 Pont sur la Freiwalddauer Biele, à Gross-Kunzendorf (ALLEMAGNE, — Silésie).....	267	411
7 Pont sur la Moselle, à Schweich (ALLEMAGNE, — Prusse Rhénane) (1905-06).....	268	411
8 Pont sur le Rhône, à Avignon (FRANCE, — Vaucluse) (1905-09).....	270	412
9 Pont sur la Moselle, à Trittenheim (ALLEMAGNE, — Prusse Rhénane) (1907-08).....	276	412
10 Pont sur la Moselle, à Longuich (ALLEMAGNE, — Prusse Rhénane) (1909-11).....	279	412

QUELQUES VOÛTES INARTICULÉES

QU'ON AURAIT, A TORT, CHERCHÉES AU LIVRE I

TITRE I. — VOÛTES INARTICULÉES $\geq 40^m$ EN BÉTON PEU ARMÉ

TABLEAU SYNOPTIQUE.....

MONOGRAPHIES :

- 1 Pont sur la Delaware, près de Portland (ÉTATS-UNIS, — Pennsylvanie) (1909-10)...
- 2 Pont de la Monroe Street, à Spokane (ÉTATS-UNIS, — Washington) (1909-11).....
- 3 Pont sur la Bober, à Boberullersdorf (PRUSSE, — Silésie) (1908).....
- 4 Pont sur l'Alme, à Elsen (PRUSSE, — Cercle de Paderborn) (1909-11).....
- 5 Pont sur la Fulda, à Cassel (Prusse) (1909-10).....

TITRE II. — VOÛTES INARTICULÉES $\geq 40^m$

TOMBÉES PENDANT QU'ON LES CONSTRUISAIT

- 1 Pont de Marbre, à Pise (ITALIE) (*Indiqué sous toutes réserves*). Arc de 72^m38^9 (?), tombé en 1644.....
- 2 Pont de Mansart, sur l'Allier, à Moulins (ALLIER) Emporté en 1710. (Arche centrale : 41^m83).....
- 3 Pont sur le Panaro, près de Modène (ITALIE) Arche de 49^m37^6 , tombée en 1789....
- 4 Pont de Saint-Georges, sur le Liri (ITALIE) Voûte de 45^m , tombée en 1873.....

TITRE III. — VOÛTES INARTICULÉES

AUXQUELLES ON A ATTRIBUÉ A TORT 40^m DE PORTÉE OU PLUSIII. A. — PONTS QUI EXISTENT MAIS QUI N'ONT PAS 40^m

- 1 Pont Saint-Martin, sur le Tage, à Tolède (ESPAGNE, — Nouvelle-Castille).....
- 2 Pont d'Orense, sur le Miño (ESPAGNE, — Galice).....
- 3 Pont du Diable, sur le Llobregat, à Martorell (ESPAGNE, — Catalogne).....
- 4 Pont de Villeneuve d'Agen, sur le Lot (LOT-ET-GARONNE).....

III. B. — PONTS RUINÉS

- 1 Pont sur la Nera, près de Narni (ITALIE, — Ombrie).....
- 2 Pont de Trajan, sur le Danube (HONGRIE).....
- 3 Pont de Justinien, sur le fleuve Sangaris (ASIE-MINEURE).....

III. C. — PONTS QUI N'ONT JAMAIS EXISTÉ

- 1 Pont de Marbre, sur l'Arno, à Florence (ITALIE).....

LIVRE II. — CE QUE L'EXPÉRIENCE ENSEIGNE
DE SPÉCIAL AUX VOÛTES INARTICULÉES

TITRE I. — COMMENT ON TRACE UNE VOÛTE

CHAPITRE I. — PREMIÈRES INDICATIONS.....

CHAPITRE II. — COURBES D'INTRADOS.....

- § 1. Plein cintre **C**, p. 324. — § 2. Courbes elliptiques surbaissées **E**, p. 324. —
 § 3. Courbes elliptiques surhaussées **E_h**, p. 335. — § 4. Arcs surbaissés **A**, p. 335. —
 § 5. Ogives **O**, p. 339.

CHAPITRE III. — ÉPAISSEUR D'UNE VOÛTE.....

- § 1. Épaisseur à la clef e_0 , p. 341. — § 2. Épaisseur aux reins e_1 . — Extradados caché
 par des tympans pleins $e_1 = \lambda e_0$, p. 344.

Pages Tome III	
Texte	Table détaillée
284	
289	413
293	413
298	413
300	413
302	413
305	414
305	414
307	414
307	414
309	414
311	414
313	414
315	414
317	414
317	414
318	414
319	414
323	415
324	415
344	416

§ 3. Ce que valent les formules empiriques proposées pour e_0 et e_1 , p. 345. — § 4. — Extras du corps des voûtes, p. 345.

Pages Tome III	
Texte	Table détaillée
CHAPITRE IV. — BANDEAUX.....	347 416
§ 1. Bandeaux sous tympans pleins, p. 347. — § 2. Bandeaux sous tympans traversés par des évidements apparents, p. 349.	
TITRE II. — COMMENT ON CALCULE LES EFFORTS DANS LES GRANDES VOÛTES HYPOTHÈSE ÉLASTIQUE	
CHAPITRE I. — COMMENT ON DÉTERMINE, POUR UNE SECTION QUELCONQUE, L'EFFORT NORMAL ET LE COUPLE DE FLEXION.....	351 417
§ 1. Composantes de l'effort total sur une section. Couple de flexion, p. 351. — § 2. Si on connaît la réaction d'un appui, on peut pour chaque section calculer ou construire l'effort normal N et son bras de levier u , p. 353. — § 3. Comment on détermine la réaction d'un appui, p. 353.	
CHAPITRE II. — ON CONNAIT L'EFFORT TOTAL N SUR UNE SECTION, SA DISTANCE u AU CENTRE DE GRAVITÉ COMMENT N SE DISTRIBUE-T-IL SUR LA SECTION? EFFORTS PAR UNITÉ EN CHAQUE POINT.....	359 417
§ 1. Formules, p. 359. — § 2. Représentation graphique, p. 359.	
TITRE III. — RELATION ENTRE LES CHARGES ET LA FORME DE LA VOÛTE	
CHAPITRE I. — ON DOIT TRACER LA FIBRE MOYENNE DE FAÇON QUE LES COURBES DE PRESSION S'EN ÉCARTENT LE MOINS POSSIBLE.....	361 418
CHAPITRE II. — CAS D'UNE VOÛTE INFINIMENT MINCE.....	362 418
<i>Relation entre : d'une part, la forme d'une voûte infiniment mince, incompressible, dont chaque élément s'oriente suivant la résultante des forces qui lui sont appliquées, c'est-à-dire une courbe funiculaire des charges ; d'autre part, une ligne limitant les charges verticales comptées à partir de la voûte, dite ligne de charge.</i>	
§ 1. Préliminaires, p. 362. — § 2. De la fibre moyenne, déduire la ligne de charge, c'est-à-dire comment faut-il charger une voûte pour qu'elle soit une courbe funiculaire des charges ? p. 364. — § 3. Relations entre quelques formes de funiculaires et quelques dispositions des charges, p. 367.	
CHAPITRE III. — VOÛTE D'ÉPAISSEUR FINIE SOUMISE A DES CHARGES OU SURCHARGES CONTINUES.....	368 418
<i>Recherche par le calcul de la forme à lui donner pour que le travail maximum y dépasse peu le travail moyen, c'est-à-dire pour que les courbes de pression s'écartent peu de la fibre moyenne.</i>	
§ 1. Hypothèses admises, p. 368. — § 2. Méthode de M. Tourtay, p. 369. — § 3. Méthode de M. Legay, p. 370. — § 4. — Méthode de Tolkmitt, p. 371. — § 5. Observations sur toutes ces méthodes, p. 372.	
CHAPITRE IV. — UN ARC EST DIT ÉLASTIQUE QUAND LES DÉFORMATIONS Y SONT PROPORTIONNELLES AUX EFFORTS (HYPOTHÈSE DE HOOKE) ET QU'UNE SECTION PLANE RESTE PLANE APRÈS FLEXION (HYPOTHÈSE DE NAVIER). DANS QUELLES LIMITES EST-CE VRAI POUR LES VOÛTES ET A-T-ON LE DROIT DE LES CALCULER COMME ÉLASTIQUES ?.....	372 419
§ 1. Expériences de laboratoire. Pour les voûtes en pierre, il n'y a pas, à proprement parler, de coefficient d'élasticité, c'est-à-dire que pour elles l'hypothèse de Hooke est fautive, p. 372. — § 2. Expériences sur des voûtes, p. 375. — § 3. Quelques autres indications de l'élasticité des maçonneries, p. 378. — § 4. Conclusions. Jusqu'à ce qu'on en ait une meilleure pour calculer le travail des voûtes, accepter, malgré ses défauts, l'hypothèse élastique, p. 380.	

ANNEXE

ÉPAISSEUR A LA CLEF DES VOÛTES INARTICULÉES

Valeur du coefficient $\alpha = \frac{e_0 \text{ (Épaisseur à la clef)}}{[1 + \sqrt{2\alpha \text{ (Portée)}}] \mu \text{ (Fonction du surbaissement } \sigma)}$
 pour 562 ouvrages (environ 3.300 voûtes), types non comptés.....

Pages Tome III	
Texte	Table détaillée
383	420

TOME IV

(TABLE DÉTAILLÉE. — TOME IV, p. 287)

2^e PARTIE. — VOÛTES ARTICULÉES

INTRODUCTION A L'ÉTUDE DES VOÛTES ARTICULÉES.....

LIVRE I. — POURQUOI ET COMMENT ON A ARTICULÉ
DES VOÛTESTYPES D'ARTICULATIONS — *PRINCIPES* — *FORMULES*
EXPÉRIENCES — HISTORIQUE

CLASSEMENT DES VOÛTES ARTICULÉES

TITRE I. — POURQUOI ON A ARTICULÉ DES VOÛTES.....

TITRE II. — PROPRIÉTÉ DE LA MATIÈRE QUI PERMET LES ARTICULATIONS...

TITRE III. — COMMENT ON A ARTICULÉ LES VOÛTES : QUATRE TYPES
D'ARTICULATIONS

CHAPITRE I. — ARTICULATIONS SUR PLOMB.....

§ 1. — Principe, p. 8. — § 2. Propriétés du plomb, p. 8. — § 3. Comment une bande de plomb réalise une articulation, p. 10.

CHAPITRE II. — ARTICULATIONS ROULANTES.....

§ 1. Principe, p. 10. — § 2. Formules théoriques donnant : 1^o la largeur en 0^m01 de la bande de contact; 2^o le travail maximum par 0^m01² au contact, p. 10. — § 3. Expériences sur des articulations roulantes en pierre, en béton, p. 14.

CHAPITRE III. — ARTICULATIONS TOURNANTES.....

§ 1. Principe, p. 21. — § 2. Calculs, p. 21. — § 3. Essais de M. le Professeur Föppl, à Munich, au laboratoire d'essais de matériaux (1901), p. 22. — § 4. Rotations autour des appuis, mouvements de la clef pour un changement de température et un déplacement des appuis, p. 23.

CHAPITRE IV. — ARTICULATIONS A GENOU.....

TITRE IV. — HISTORIQUE. ARTICULER LES VOÛTES EST UNE IDÉE FRANÇAISE

§ 1. C'est Dupuit qui a émis le premier (en 1870), l'idée d'articuler les voûtes.....

§ 2. Application en Allemagne, après 1880, de l'idée de Dupuit.....

TITRE V. — CLASSEMENT DES VOÛTES ARTICULÉES

§ 1. Classement des voûtes articulées suivant le type d'articulation.....

§ 2. Distinction entre les voûtes « semi-articulées » (c'est-à-dire articulées temporairement, au poids mort seulement, les articulations étant condamnées avant l'ouverture à la circulation), et les voûtes « articulées » (c'est-à-dire de façon permanente, sous le poids mort, les surcharges, pour les variations de température).....

§ 3. Séries dans lesquelles ont été classées les voûtes articulées $\geq 40^m$

Pages Tome IV	
Texte	Table détaillée
3	287
7	287
7	287
8	287
10	288
21	288
26	288
26	289
28	289
28	289
28	289
29	289


LIVRE II. — DESCRIPTION DES PONTS QUI ONT OU
AVAIENT DES VOÛTES ARTICULÉES DE 40^m ET
PLUS DE PORTÉE. — TABLEAUX SYNOPTIQUES. —
MONOGRAPHIES.

1^o. — VOÛTES SEMI-ARTICULÉES

ARTICULATIONS SUR PLOMB

ARCS TRÈS SURBAISSÉS

PONTS A UNE SEULE GRANDE ARCHE SOUS ROUTE

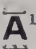
SÉRIE  1^{re} ($\geq 40^m$)

TABEAU SYNOPTIQUE.....	38	
MONOGRAPHIES :		
1 Pont sur l'Enz, près de Höfen (ALLEMAGNE, — Wurtemberg) (1885).....	41	289
2 Pont sur la Murr, près de Marbach (ALLEMAGNE, — Wurtemberg) (1886-87).....	45	290
3 Pont sur la Murg, près de Baiersbronn (ALLEMAGNE, — Wurtemberg) (1889).....	48	290

ARTICULATIONS A GENOU


ARCS TRÈS SURBAISSÉS

PONTS A UNE SEULE GRANDE ARCHE SOUS ROUTE

SÉRIE  1^{re} ($\geq 40^m$)


TABEAU SYNOPTIQUE.....	52	
MONOGRAPHIES :		
1 Pont sur le Danube, à Munderkingen (ALLEMAGNE, — Wurtemberg) (1893).....	55	290

PONTS A UNE SEULE GRANDE ARCHE SOUS CHEMIN DE FER A VOIE NORMALE

SÉRIE  1^{re} ($\geq 40^m$)

TABEAU SYNOPTIQUE.....	62	
MONOGRAPHIES :		
1 Pont sur l'Adda, près de Morbegno (ITALIE, — Valteline) (1902-03).....	65	291

PONTS A PLUSIEURS GRANDES ARCHES SOUS ROUTE

SÉRIE  1^{re} ($\geq 40^m$)

TABEAU SYNOPTIQUE.....	78	
MONOGRAPHIES :		
1 Pont de la Coulouvrenière, sur le Rhône, à Genève (SUISSE) (1895-96).....	81	291

2^o. — VOÛTES ARTICULÉES (DE FAÇON PERMANENTE)

ARTICULATIONS SUR PLOMB

ELLIPSES

PONTS A PLUSIEURS GRANDES ARCHES SOUS CHEMIN DE FER A VOIE NORMALE

SÉRIE  1^{re} ($\geq 40^m$)

TABEAU SYNOPTIQUE.....	92	
MONOGRAPHIES :		
1 Pont sur l'Alz, à Garching (ALLEMAGNE, — Bavière) (1907-08).....	95	292

		Pages	
		Tome IV	
		Texte	Table détaillée
ARTICULATIONS ROULANTES			
ELLIPSES			
PONTS A PLUSIEURS GRANDES ARCHES SOUS CHEMIN DE FER A VOIE NORMALE			
SÉRIE $\overset{\curvearrowright}{\overleftrightarrow{E}}^n I^{re} (\geq 40^m)$			
TABLEAU SYNOPTIQUE.....		104	
MONOGRAPHIES :			
1 Pont sur la Chemnitz, à Chemnitz (ALLEMAGNE, — Saxe) (1898-1900).....		107	292
ARCS PEU SURBAISSÉS			
PONTS A UNE SEULE GRANDE ARCHE SOUS CHEMIN DE FER A VOIE NORMALE			
SÉRIE $\overset{\curvearrowright}{\overleftrightarrow{A}}^1 I^{re} (\geq 40^m)$			
TABLEAU SYNOPTIQUE.....		112	
MONOGRAPHIES :			
1, 2, 3 3 Ponts sur l'Iller, près de la gare de Kempten (ALLEMAGNE, — Bavière) (1906).....		115	293
ARCS TRÈS SURBAISSÉS			
PONTS A UNE SEULE GRANDE ARCHE SOUS ROUTE			
SÉRIE $\overset{\curvearrowright}{\overleftrightarrow{A}}^1 I^{te} (\geq 40^m)$			
TABLEAU SYNOPTIQUE.....		124	
MONOGRAPHIES :			
1 Pont sur la Leine, près de Grasdorf (ALLEMAGNE, — Hanovre) (1899-1900).....		129	293
2 Pont sur la Zwickauer Mulde, près de Gohren (ALLEMAGNE, — Saxe) (1903-04)....		139	294
3 Pont de la Wallstrasse, à Ulm (ALLEMAGNE, — Wurtemberg) (1904-05).....		143	294
4 Pont Elise, sur le bras droit du Danube, à Neubourg (ALLEMAGNE, — Bavière) (1906-07).....		151	294
PONTS A UNE SEULE GRANDE ARCHE SOUS CHEMIN DE FER A VOIE NORMALE			
SÉRIE $\overset{\curvearrowright}{\overleftrightarrow{A}}^1 I^{re} (\geq 40^m)$			
TABLEAU SYNOPTIQUE.....		156	
MONOGRAPHIES :			
1 Pont sur l'Iller, à Illerbeuren (ALLEMAGNE, — Souabe bavaroise) (1903-04).....		159	295
PONTS A PLUSIEURS GRANDES ARCHES SOUS ROUTE			
SÉRIE $\overset{\curvearrowright}{\overleftrightarrow{A}}^n I^{te} (\geq 40^m)$			
TABLEAU SYNOPTIQUE.....		166	
MONOGRAPHIES :			
1 Pont sur la Moselle, près de Malling (ALLEMAGNE, — Lorraine) (1899-1901).....		175	295
2 Pont sur le Neckar, à Hochberg (ALLEMAGNE, — Wurtemberg) (1901-03).....		177	295
3 Pont Cornélius, sur l'Isar, à Munich (ALLEMAGNE, — Bavière) (1902-03).....		180	295
4 Pont de Reichenbach, sur l'Isar, à Munich (ALLEMAGNE, — Bavière) (1902-03).....		183	296
5 Pont sur le Neckar, à Neckargartach (ALLEMAGNE, — Wurtemberg) (1903-05).....		186	296
6 Pont Maximilien, sur le bras droit de l'Isar, à Munich (ALLEMAGNE, — Bavière) (1903-05).....		192	296
7 Pont de Wittelsbach, sur l'Isar, à Munich (ALLEMAGNE, — Bavière) (1904-05).....		199	297
8 Pont sur la Moselle, près de Moulins-lez-Metz (ALLEMAGNE, — Lorraine) (1904-05)...		202	297
9 Pont sur le Neckar, à Mannheim (ALLEMAGNE, — Grand-Duché de Bade) (1905-08)...		206	297
ARCS ASSEZ SURBAISSÉS			
PONTS A UNE SEULE GRANDE ARCHE SOUS ROUTE			
SÉRIE $\overset{\curvearrowright}{\overleftrightarrow{A}}^1 I^{te} (\geq 40^m)$			
TABLEAU SYNOPTIQUE.....		210	
MONOGRAPHIES :			
1 Pont sur la Lahn, à Gräveneck (ALLEMAGNE, — Prusse, — Hesse) (1911-12).....		213	298

N° d'ordre dans la série
 $\overset{\curvearrowright}{\overleftrightarrow{A}}^n I^{te} (\geq 40^m)$

		Pages	
		Tome IV	
		Texte	Table détaillée
ARTICULATIONS TOURNANTES			
ARCS TRÈS SURBAISSÉS			
PONTS A UNE SEULE GRANDE ARCHE SOUS ROUTE			
SÉRIE $\overset{\text{A}}{\underset{\text{ooo}}{\text{A}}}^1$ 1^{re} ($\geq 40^m$)			
TABLEAU SYNOPTIQUE.....		220	
MONOGRAPHIES :			
1 Pont sur le Danube, à Inzigkofen (ALLEMAGNE, — Hohenzollern) (1895).....		225	298
2 Pont sur le Neckar, près de Neckarhausen (ALLEMAGNE, — Hohenzollern) (1899-1900).....		232	299
3 Pont du Prince-Régent, sur l'Isar, à Munich (ALLEMAGNE, — Bavière) (1900-01).....		239	299
4 Pont Max-Joseph, sur l'Isar, à Munich (ALLEMAGNE, — Bavière) (1901-02).....		242	299
TABLEAU SYNOPTIQUE GÉNÉRAL DES PONTS AYANT DES VOÛTES $\geq 40^m$			
SEMI-ARTICULÉES OU ARTICULÉES.....		246	299
VOÛTE ARTICULÉE $> 40^m$ EN BÉTON PEU ARMÉ, QU'ON AURAIT, A TORT,			
CHERCHÉE AU LIVRE II			
TABLEAU SYNOPTIQUE.....		250	
MONOGRAPHIE :			
Pont sur le Danube, à Sigmaringen (ALLEMAGNE, — Hohenzollern) (1907-09).....		253	300
 LIVRE III. — CE QUE L'EXPÉRIENCE ENSEIGNE			
DE SPÉCIAL AUX VOÛTES ARTICULÉES			
TITRE I. — DISPOSITIONS — DIMENSIONS — AVANTAGES — INCONVÉNIENTS			
DE CHAQUE TYPE D'ARTICULATION			
CHAPITRE I. — ARTICULATIONS SUR PLOMB.....		260	300
CHAPITRE II. — ARTICULATIONS ROULANTES.....		263	301
§ 1. Articulations roulantes en acier, p. 263. — § 2. Articulations roulantes en pierre, en béton, en béton armé, p. 266.			
CHAPITRE III. — ARTICULATIONS TOURNANTES			
<i>Balanciers tournant autour d'un tourillon.....</i>		269	301
CHAPITRE IV. — ARTICULATIONS A GENOU, employées seulement comme articulations provisoires, puis condamnées. — <i>Rotules d'acier prises dans des caissons en tôle.....</i>		271	301
CHAPITRE V. — DISPOSITIONS DES ARTICULATIONS DANS LES PONTS BIAIS.....		272	301
TITRE II. — QUELQUES DIMENSIONS ET DISPOSITIONS SPÉCIALES			
AUX VOÛTES ARTICULÉES.....		273	301
§ 1. Renflement aux « joints de rupture », p. 273. — § 2. Epaisseurs, p. 273. — § 3. Joints de dilatation, p. 276.			
TITRE III. — QUELQUES ÉLÉMENTS DE COMPARAISON ENTRE LES VOÛTES			
INARTICULÉES ET ARTICULÉES.....		276	302
§ 1. Prix de revient, p. 276. — § 2. Mouvements de la clef : au décintrement, aux changements de température, p. 277.			
TITRE IV. — QUELLES VOÛTES FAUT-IL ARTICULER ?		277	302
§ 1. Les voûtes articulées plus souples se prêtent à des mouvements qui troublent les autres ; elles peuvent être acceptées sur des sols ou contre des appuis qui cèdent, p. 277. — § 2. Distribution géographique des voûtes articulées, p. 278. — § 3. Quelles voûtes convient-il d'articuler, p. 280.			

TOME V

(TABLE DÉTAILLÉE. — TOME V, p. 213)

3^e PARTIE**CE QUE L'EXPÉRIENCE ENSEIGNE DE
COMMUN A TOUTES LES VOÛTES**

Pages Tome V	
Texte	Table détaillée
PRÉLIMINAIRES.....	3 213
LIVRE I. — COMMENT ON PROJETTE UN PONT EN MAÇON- NERIE. — MATÉRIAUX. — APPAREIL. — DISPOSITION. — ASPECT. — DÉCORATION.	
TITRE I. — GRANDES VOÛTES EN PIERRE. — MATÉRIAUX. — APPAREIL. — TRAVAIL.	
CHAPITRE I. — DÉSIGNATION DES PRINCIPAUX MATÉRIAUX LEUR DISTRIBUTION USUELLE DANS LES OUVRAGES.....	7 213
CHAPITRE II. — COMMENT SONT FAITES LES VOÛTES APPAREILLÉES DE 40 ^m ET PLUS.	8 213
CHAPITRE III. — MATÉRIAUX.....	11 214
§ 1. Pierres, p. 11. — § 2. Mortiers, p. 12.	
CHAPITRE IV. — DISPOSITIONS DES MATÉRIAUX. — APPAREIL.....	15 214
§ 1. Partout, dans un ouvrage, on doit disposer les matériaux par assises normales à la pression, p. 15.	
§ 2. Matériaux des trois parties de la voûte, bandeaux, douelle, queutage, p. 16.	
CHAPITRE V. — TRAVAIL.....	20 215
§ 1. Distinguer entre les maçonneries appareillées et les autres, p. 20. — § 2. Travail dans quelques voûtes appareillées, p. 20.	
§ 3. Rapport à accepter dans les voûtes appareillées entre le travail permis et la charge d'écrasement, p. 20 — § 4. Résistance des voûtes à la traction, p. 22.	
TITRE II. — VOÛTES EN BÉTON.....	23 215
§ 1. Ce qu'on a fait en béton, p. 23. — § 2. Quelques voûtes en béton, composition, résistance, pression, p. 24.	
§ 3. Composition du béton, p. 26. — § 4. Efforts. Résistance imposée, p. 26. — § 5. Mode d'exécution des grandes voûtes en béton, p. 27. — § 6. Avantages et incon- vénients du béton, p. 28.	
TITRE III. — FRUIT DES TÊTES.....	29 216
§ 1. Ce qui a été fait, p. 29. — § 2. Inconvénients et avantages du fruit, p. 30.	
TITRE IV. — PILES	
CHAPITRE I. — DIMENSIONS ET DISPOSITIONS.....	31 216
§ 1. Epaisseur des piles aux naissances des voûtes, p. 31. — § 2. Fruit transversal des piles, p. 32. — § 3. Becs, p. 32. — § 4. Retombées des bandeaux sur les becs, p. 36. — § 5. Niveau du socle ou du ressaut, p. 38.	
CHAPITRE II. — MATÉRIAUX ET APPAREIL.....	39 217
§ 1. Massif de fondation, p. 39. — § 2. Au-dessus de l'eau ou du sol, p. 39.	
CHAPITRE III. — EFFETS DES BECS SUR LE COURANT.....	40 217
CHAPITRE IV. — ACTION DES PILES SUR LES FONDS AFFOUILLABLES.....	40 217

		Pages	
		Tome V	
		Texte	Table détaillée
TITRE V. — CULÉES			
CHAPITRE I. — COMMENT ON CALCULE LEURS DIMENSIONS			
§ 1. Efforts que supportent les culées. — § 2. Ce qu'il faut pour résister aux efforts..		42	218
CHAPITRE II. — DISPOSITIONS DES CULÉES.....			
§ 1. Renvoi aux monographies et à l'appendice, p. 43. — § 2. Epaisseurs, p. 44. — § 3. Culées à parement antérieur en porte-à-faux ou en encorbellement. Culées perdues, p. 44. — § 4. Culées évidées, p. 45. — § 5. Précautions contre le glissement, p. 45. — § 6. Culées longues et hautes. Comment on supporte économiquement l'about du parapet, p. 45. — § 7. Culées entre arches inégales, p. 47.		43	218
CHAPITRE III. — MATÉRIAUX. — APPAREIL			
		47	218
TITRE VI. — VOLUME ENTRE LES GRANDES VOÛTES ET LA VOIE PORTÉE			
CHAPITRE I. — VOLUME PLEIN.....			
		49	218
CHAPITRE II. — AU-DESSUS DE QUELLES VOÛTES A-T-ON ÉVIDÉ ET COMMENT ?			
§ 1. Quand faut-il, quand ne faut-il pas évider? — § 2. Comment on évide.....		50	219
CHAPITRE III. — ÉVIDEMENTS TRANSVERSAUX CACHÉS.....			
		51	219
CHAPITRE IV. — ÉVIDEMENTS TRANSVERSAUX APPARENTS			
		51	219
§ 1. Viaduc d'évidement à petites arches en plein cintre courant sur le dos de la grande voûte, p. 51. — § 2. Viaduc d'évidement en arc de cercle p. 55. — § 3. Viaduc d'évidement passant par dessus la clef des grandes voûtes, p. 56. — § 4. Ouvrages à plusieurs arches : ouverture unique au-dessus des piles, p. 56. — § 5. Ce qu'il ne faut pas faire, p. 58. — § 6. Forme des grandes voûtes sous des arches d'évidement transversales, p. 59.			
CHAPITRE V. — ÉVIDEMENTS LONGITUDINAUX.....			
		59	219
CHAPITRE VI. — ÉVIDEMENTS DANS LES DEUX SENS.....			
		61	219
CHAPITRE VII. — EMPLOI DU BÉTON ARMÉ.....			
		62	219
TITRE VII. — COMMENT ON RÉDUIT LA LARGEUR DES VOÛTES ENTRE TÊTES			
UN SEUL ANNEAU AVEC TROTTOIRS EN ENCORBELLEMENT PLANCHER SUR DEUX ANNEAUX MINCES			
CHAPITRE I. — POUR ÉPUISER LA RÉSISTANCE DES VOÛTES, IL FAUT EN RÉDUIRE LA LARGEUR.....			
		63	220
§ 1. Dans un grand pont en pierre, avec les dispositions habituelles, les matériaux ne travaillent guère qu'à se porter eux-mêmes, et ils ne travaillent pas assez, p. 63. — § 2. Avec les dispositions actuelles, on ne peut pas imposer aux grandes voûtes tout l'effort qu'elles peuvent supporter. Il faut réduire leur largeur, p. 64.			
CHAPITRE II. — UN SEUL ANNEAU AVEC TROTTOIRS EN ENCORBELLEMENT.....			
		65	220
§ 1. Ce qui a été fait sur les voûtes de 40 ^m et plus, p. 65. — § 2. Quelques types d'encorbellements, p. 66. — § 3. Réduction de largeur pour les voûtes sous rails, p. 67.			
CHAPITRE III. — VOIE LARGE SUR DEUX ANNEAUX MINCES PORTANT UN PLANCHER.			
		67	220
§ 1. Description sommaire, p. 67. — § 2. Ponts en deux anneaux, p. 69. — § 3. Faire en deux anneaux les ponts larges, p. 71.			

	Pages Tome V	
	Texte	Table détaillée
TITRE VIII. — PONTS BIAIS		
CHAPITRE I. — VOÛTES BIAISES.....	72	221
§ 1. Définitions, p. 72. — § 2. Appareils biais, p. 73. — § 3. Choix de l'appareil suivant le biais, p. 74. — § 4. Très longues voûtes biaises, p. 75. — § 5. Portée limite des voûtes à appareil biais, p. 75. — § 6. Précautions dans l'exécution des voûtes biaises, p. 76. — § 7. Observations diverses, p. 76. — § 8. Piles biaises sous voûtes biaises. Tracé des becs, p. 76.		
CHAPITRE II. — VOÛTES DROITES DONT L'AXE EST OBLIQUE SUR LA RIVIÈRE OU LA VOIE TRAVERSÉE.....	77	221
CHAPITRE III. — VOÛTES DROITES, NON EN BERCEAU, SUR PILES RONDES.....	80	221
CHAPITRE IV. — PONTS EN DEUX ANNEAUX.....	80	221
TITRE IX. — VOÛTES EN COURBE.....	81	222
TITRE X. — PONTS EN RAMPE, EN DOS D'ÂNE.....	81	222
§ 1. Ponts en rampe, p. 81. — § 2. Ponts en dos d'âne, p. 82.		
TITRE XI. — COMMENT ON AJUSTE L'OUVRAGE AU TERRAIN		
CHAPITRE I. — QUELQUES SILHOUETTES D'OUVRAGES SUR QUELQUES FORMES DE TERRAINS.....	85	222
§ 1. Faire les ouvrages à la demande du terrain, p. 85. — § 2. Ouvrages bas : Ponts, p. 85. — § 3. Ouvrages hauts : Viaducs. Viaduc sur la Têt, près de Fontpédrouse (Pyrénées-Orientales).....	86	222
CHAPITRE II. — OÙ ET POURQUOI ON A FAIT DES PONTS A UNE SEULE GRANDE ARCHE.....	92	223
CHAPITRE III. — CHOIX DE L'INTRADOS.....	93	223
TITRE XII. — QUELQUES RÉFLEXIONS SUR L'ARCHITECTURE DES PONTS		
CHAPITRE I. — ENSEMBLE DE L'OUVRAGE.....	98	223
CHAPITRE II. — ÉLÉMENTS DE L'OUVRAGE.....	100	224
TITRE XIII. — RESPECT AUX VIEUX PONTS.....	101	224
TITRE XIV. — DÉCORATION DES PONTS		
CHAPITRE I. — QUELQUES RÉFLEXIONS SUR LA DÉCORATION DES PONTS.....	102	224
CHAPITRE II. — TÊTES DES VOÛTES.....	102	224
§ 1. Bandeaux à crossettes, p. 102. — § 2. Archivoltes, p. 103. — § 3. Bandeaux avec table inférieure en retraite sur les tympans, p. 106. — § 4. Clefs pendantes. Cartouches, p. 106. — § 5. Voussures, p. 108.		
CHAPITRE III. — MURS DE TÊTE.....	111	225
CHAPITRE IV. — COURONNEMENT.....	114	225
§ 1. Plinthe ou corniche, p. 114. — § 2. Parapets, p. 116. — § 3. Refuges, p. 118. — § 4. Statues sur un pont, p. 120. — § 5. Inscriptions commémoratives, p. 121.		
CHAPITRE V. — CULÉES. — ABORDS.....	122	226
CHAPITRE VI. — TOURS, OBÉLISQUES, SUR UN PONT.....	124	226
CHAPITRE VII. — PONTS COUVERTS.....	125	226
CHAPITRE VIII. — ÉTUDIER LES PONTS FRANÇAIS DU XVIII^e SIÈCLE.....	126	226

**LIVRE II. — COMMENT ON EXÉCUTE UN PONT
EN MAÇONNERIE. — FONDATIONS. — CINTRES — VOÛTES**

		Pages Tome V	
		Texte	Table détaillée
TITRE I. — FONDATIONS		129	226
§ 1. Comment et sur quel sol on a fondé les grandes voûtes, p. 129. — § 2. Il faut aux grandes voûtes des appuis invariables, p. 131.			
TITRE II. — CINTRES			
CHAPITRE I. — GÉNÉRALITÉS		132	226
§ 1. Bois. Assemblages, p. 132. — § 2. Fermes, p. 133. — § 3. Pièces transversales, p. 133.			
CHAPITRE II. — CINTRES FIXES, C'EST-A-DIRE BIEN APPUYÉS SUR LE SOL ENTRE LES NAISSANCES		134	227
§ 1. Quelles voûtes fait-on sur cintres fixes, p. 134. — § 2. On peut classer les cintres fixes suivant la disposition des maîtresses pièces soutenant la couronne des vaux, p. 135. — § 3. Cintres fixes à poteaux (P), p. 136. — § 4. Cintres fixes à rayons (R), p. 138. — § 5. Cintres à treillis. Plusieurs étages. Arcs à grande flèche, p. 140. — § 6. Contrefiches rayonnant à partir de piles provisoires, p. 141. — § 7. Comment on a appuyé les cintres fixes quand on ne pouvait pas battre de pieux, p. 141. — § 8. Cube de bois K, poids de fer p , dépense d , par m. q. de douelle pour les divers types de cintres fixes, p. 141.			
CHAPITRE III. — CINTRES COMPLÈTEMENT RETROUSSÉS C'EST-A-DIRE NE S'APPUYANT QU'AUX NAISSANCES OU TOUT PRÈS DES NAISSANCES		142	228
§ 1. Quand et pour quelles voûtes « retrousse-t-on » le cintre ? p. 142. — § 2. Cintres retroussés à arbalétriers, p. 144. — § 3. Cintres à étages en porte-à-faux, p. 145. — § 4. Cintres retroussés à rayons. (Éventail) p. 146. — § 5. Cube de bois K, poids de fer p , dépense d , par m. q. de douelle pour les divers types de cintres retroussés, p. 146.		148	228
CHAPITRE IV. — SUPÉRIORITÉ DES CINTRES A RAYONS (ÉVENTAIL) ET COMME CINTRES FIXES ET COMME CINTRES RETROUSSÉS		150	228
CHAPITRE V. — CINTRES MARINIERS RETROUSSÉS SUR LA LARGEUR DE LA PASSE NAVIGABLE		150	229
CHAPITRE VI. — CINTRES EN MÉTAL		151	229
CHAPITRE VII. — SURHAUSSEMENT		152	229
CHAPITRE VIII. — ACCIDENTS		152	229
CHAPITRE IX. — PRÉCAUTIONS DIVERSES		153	229
CHAPITRE X. — APPAREILS DE DÉCINTREMENT		153	229
§ 1. Boîtes à sable, p. 153. — § 2. Coins, p. 153. — § 3. Vérins, p. 154. — § 4. Décintrement par écrasement de pièces du cintre, p. 154. — § 5. Décintrement en détendant des câbles, p. 154. — § 6. Divers, p. 155.			
CHAPITRE XI. — CALCUL		155	229
§ 1. Pression normale p , par unité sur le cintre à une distance angulaire α de la clef, p. 155. — § 2. Travail permis, p. 156.			
CHAPITRE XII. — POUR UN PONT A n ARCHES. COMBIEN DE CINTRES ?		156	230
TITRE III. — COMMENT ON EXÉCUTE LES GRANDES VOÛTES EN MAÇONNERIE APPAREILLÉE			
CHAPITRE I. — ROULEAUX		158	230
§ 1. Pourquoi on construit par rouleaux, p. 158. — § 2. Comment, depuis 1800, on a construit les voûtes de 40 ^m et plus, p. 158. — § 3. Epaisseur du 1 ^{er} rouleau, p. 159. — § 4. Rouleaux solidaires ou rouleaux indépendants, p. 160. — § 5. Adoption systématique de la construction par rouleaux, p. 160.			

		Pages	
		Tome V	
		Texte	Table détaillée
CHAPITRE II. — TRONÇONS ET CLAVAGES			
<i>On coupe les rouleaux en tranches par des joints vides, permettant à la voûte de suivre, sans cassures, les mouvements du cintre; puis on mate ces joints.</i>			
§ 1. Nécessité des joints vides, p. 161. — § 2. Emplacement des joints vides, p. 162. — § 3. Comment, pendant la construction de la voûte, on maintient les joints vides, p. 163. — § 4. Comment on remplit les joints vides. Ordre des clavages. p. 165. — § 5. On peut construire par tranches sans construire par rouleaux, p. 168. — § 6. On peut construire par tranches quels que soient les matériaux de la voûte, p. 168. — § 7. Réactions norma- les aux lits créées par le matage des joints vides au mortier pulvérulent, p. 169. — § 8. Conclusion : adoption systématique des clavages multiples, p. 169.			
CHAPITRE III. — QUELQUES PRÉCAUTIONS.....		170	231
TITRE IV. — DÉCINTREMENT			
CHAPITRE I. — MEILLEURE ÉPOQUE A CHOISIR, QUAND ON EST LIBRE, POUR CLAVER ET DÉCINTRER.....			
		171	231
CHAPITRE II. — ÉTAT D'AVANCEMENT DES TYMPANS AU MOMENT DE DÉCINTRER..		171	231
CHAPITRE III. — TEMPS PENDANT LEQUEL ON LAISSE LA VOÛTE SUR CINTRE....		172	231
CHAPITRE IV. — TASSEMENT DE LA CLEF AU DÉCINTREMENT.....		173	231
§ 1. Voûtes inarticulées, p. 173. — § 2. Voûtes articulées (<i>mortier de ciment</i>), p. 176. — § 3. Continuation du tassement après décintrement, p. 176. — § 4. Tassement des appuis de la voûte, p. 177.			
CHAPITRE V. — ACCIDENTS AU DÉCINTREMENT : FISSURES, ÉCRASEMENTS.....		177	232
CHAPITRE VI. — COMMENT ON MESURE LES TASSEMENTS.....		178	232
TITRE V. — ÉPREUVES DES VOÛTES EN MAÇONNERIE.....		179	232
TITRE VI. — MOUVEMENTS ET FISSURES DUS AUX CHANGEMENTS DE TEMPÉRATURE NÉCESSITÉ DE S'EN PRÉOCCUPER POUR LES GRANDES VOÛTES JOINTS DE DILATATION.....			
		180	232
§ 1. Variation de longueur d'un prisme : 1° <i>Sous une compression normale p ($Kg / 0.01^2$);</i> 2° <i>pour une variation de température t°; 3° par imbibition</i> , p. 180. — § 2. Comment varie la tempé- rature des voûtes, p. 181. — § 3. Mouvements observés aux clefs des voûtes, p. 181. — § 4. Fissures d'hiver, p. 183. — § 5. Dispositifs permettant la dilatation. Joints de dila- tation, p. 185.			
LIVRE III. — CONCLUSIONS GÉNÉRALES			
TITRE I. — PONTS MÉTALLIQUES OU PONTS VOÛTÉS ?			
CHAPITRE I. — QUELQUES GÉNÉRALITÉS.....		189	233
§ 1. Pierre et métal, p. 189. — § 2. Cas où s'impose le métal, p. 189.			
CHAPITRE II. — COÛT TRÈS VARIABLE DE PREMIER ÉTABLISSEMENT DES PONTS MÉTALLIQUES COMME DES PONTS VOÛTÉS.....		190	233
CHAPITRE III. — SUPÉRIORITÉ DES PONTS EN MAÇONNERIE AU POINT DE VUE DE L'ENTRETIEN PROPREMENT DIT.....		192	233
§ 1. Entretien des ponts métalliques, p. 192. — § 2. Entretien des ponts voûtés, p. 193.			
CHAPITRE IV. — SUPÉRIORITÉ DES PONTS VOÛTÉS POUR RÉSISTER A DES MACHINES PLUS LOURDES.....		194	233
§ 1. Il faut consolider ou refaire les ponts métalliques, p. 194. — § 2. Les ponts en maçonnerie résistent, p. 195.			
CHAPITRE V. — AVANTAGES SPÉCIAUX DES PONTS VOÛTÉS.....		196	233
§ 1. Ils sont plus beaux. — § 2. Ils sont plus solides. — § 3. Ils durent, p. 196. — § 4. Ils sont plus simples de projet et de construction. — § 5. Sous chemin de fer, on ballaste comme en pleine voie. — § 6. Quelques cas où le pont voûté est spécialement indiqué, p. 197.			
CHAPITRE VI. — PRÉFÉRENCE DONNÉE AUJOURD'HUI AUX PONTS VOÛTÉS.....		198	234

TITRE II. — VOÛTES DE 40^m ET PLUS CLASSÉES PAR PAYS**1° PAR INTRADOS — 2° — PAR PORTÉE — 3° PAR DATE****PLUS GRANDE VOÛTE A CHAQUE ÉPOQUE**

	Pages Tome V	
	Texte	Table détaillée
Tableau I. — <i>Voûtes inarticulées de 40^m et plus, classées par pays et par intrados.</i>	200	234
Tableau II. — <i>Voûtes inarticulées et articulées de 40^m et plus, classées par pays et par date.</i>	202	234
Tableau III. — <i>Voûtes inarticulées et articulées de 40^m et plus, classées par pays et par portée.</i>	204	234
Tableau IV. — <i>Plus grande voûte à chaque époque depuis 1339.</i>	206	234
TITRE III. — POURQUOI N'A-T-ON PAS ENCORE FAIT		
DES VOÛTES DE PLUS DE 100^m ?	207	234
TITRE IV. — PROGRÈS DES GRANDES VOÛTES DEPUIS 1880.	209	234

§ 1. Augmentation des portées ; augmentation du nombre, du surbaissement, du rayon de courbure au cerveau des voûtes de 40^m et plus, p. 209. — § 2. Ont fait progresser l'art des voûtes les Ingénieurs qui en ont construit beaucoup, p. 211. — § 3. Part de la France, p. 212.

PONTS DÉCRITS DANS L'OUVRAGE

INDEX ALPHABÉTIQUE

(Ceux à voûtes de portée de 40^m et plus, en maçonnerie ou en béton non armé, ont un symbole).

Pour le sens des symboles, voir Tomes I, II, III, p. 3 et 4. Le trait horizontal sous la lettre de l'intrados désigne les voûtes articulées : les petites lignes coupant ce trait désignent le type d'articulation (Tome IV, p. 28 et 29).

PONT	Rivière ou voie traversée	Pays	Symbole	Tome	Pages	
					Tableau synoptique	Mono- graphie
Adolphe, à Luxem- bourg	Pétrusse	<i>Luxembourg</i>	$\widehat{A}^1 \widehat{A}^1 r^{**} (\geq 40^m)^1$	II	60	67
de l'Alma, à Paris.....	Seine	<i>France</i>	$E^n r^{**} (\geq 40^m)^2$	I	138	153
des Amidonniers, à Tou- louse	Garonne	<i>France</i>	$E^n E^n r^{**} (\geq 40^m)^1$	I	188	193
Annibal	Vulturne	<i>Italie</i>	$E^1 r^{**} (\geq 40^m)^6$	I	88	112
Antoinette.....	Agout	<i>France</i>	$\widehat{A}^1 l^{**} (\geq 40^m)^5$	II	118	145
d'Avignon.....	Rhône	<i>France</i>	$\overline{A}^n r^{**} (\geq 40^m)^8$	III	234	270
de Baiersbronn.....	Murg	<i>Wurtemberg</i>	$\overline{A}^1 r^{**} (\geq 40^m)^3$	IV	38	48
des Bains-de-Lucques ..	torrent Fegana	<i>Italie</i>	$\widehat{A}^1 r^{**} (\geq 40^m)^4$	III	10	32
de Ballochmyle	Ayr	<i>G^{de}-Bretagne, Ecosse</i>	$C^1 l^{**} (\geq 40^m)^1$	I	38	41
de l'Avenue Edmondson, à Baltimore	Gwynn's Falls	<i>Etats-Unis</i>	$E^1 r^{**} (\geq 40^m)^9$	I	90	122
de Bellefield, à Pitts- burg	Creux de Saint-Pierre	<i>Etats-Unis</i>	$\widehat{A}^1 r^{**} (\geq 40^m)^9$	III	14	49
de Bellows Falls	Connecticut	<i>Etats-Unis</i>	$\overline{A}^1 l^{**} (\geq 40^m)^1$	III	222	225
de Berdoulet	Ariège	<i>France</i>	$\widehat{A}^1 l^{**} (\geq 40^m)^2$	II	116	128
de Nydeck, à Berne.....	Aar	<i>Suisse</i>	$\widehat{A}^1 r^{**} (\geq 40^m)^6$	II	12	51
sur la Big Muddy River...	Big Muddy River	<i>Etats-Unis</i>	$E^n l^{**} (\geq 40^m)^1$	I	222	225
de Boberullersdorf.....	Bober	<i>Allemagne, Silésie</i>	»	III	286	298
de Boilefos.....	Nidelven	<i>Norvège</i>	$\widehat{A}^1 l^{**} (\geq 40^m)^{23}$	III	88	159
Boucicaut.....	Saône	<i>France</i>	$\overline{A}^n r^{**} (\geq 40^m)^2$	III	230	243
de Brent.....	« Baie » de Clarens	<i>Suisse</i>	$C^1 r^{**} (\geq 40^m)^5$	I	12	34
de Cabin-John.....	Cabin-John Creek	<i>Etats-Unis</i>	$\widehat{A}^1 aq (\geq 40^m)^1$	III	72	75
de Calcio.....	Oglio	<i>Italie</i>	$\widehat{A}^1 l^{**} (\geq 40^m)^5$	III	80	100
de Canale.....	Isonzo	<i>Autriche</i>	$\widehat{A}^n l^{**} (\geq 40^m)^1$	III	182	185
de Cannstatt.....	Neckar	<i>Wurtemberg</i>	$\overline{A}^n l^{**} (\geq 40^m)^1$	VI	190	225
de Cassel.....	Fulda	<i>Prusse</i>	»	III	286	302
du Castelet.....	Ariège	<i>France</i>	$\widehat{A}^1 l^{**} (\geq 40^m)^3$	II	116	130
de Céret (Vieux pont).	Tech	<i>France</i>	$C^1 r^{**} (\geq 40^m)^1$	I	10	15
de Céret.....	Tech	<i>France</i>	$\widehat{A}^1 l^{**} (\geq 40^m)^7$	II	120	160

PONT	Rivière ou voie traversée	Pays	Symbole	Tome	Pages	
					Tableau synoptique	Mono- graphie
sur la Chemnitz.....	Chemnitz	Saxe	$\widehat{A}^1 r^r (\geq 40^m)^{1\frac{1}{2}}$	III	84	129
de Chemnitz.....	Chemnitz	Saxe	$E^n r^r (\geq 40^m)^1$	IV	104	107
de Grosvenor, à Chester.....	Dee	Angleterre	$\widehat{A}^1 r^{**} (\geq 40^m)^3$	III	10	29
de Cinuskel.....	Inn	Suisse	$\widehat{A}^1 r^r (\geq 40^m)^3$	II	178	189
de Claix (Vieux pont).	Drac	France	$\widehat{A}^1 r^{**} (\geq 40^m)^{\frac{1}{2}}$	II	10	42
de Claix.....	Drac	France	$\widehat{A}^1 r^{**} (\geq 40^m)^5$	III	12	36
sur la Rocky River, près de Cleveland.....	Rocky River	Etats-Unis	$\widehat{A}^1 \widehat{A}^1 r^{**} (\geq 40^m)^3$	II	62	95
de Collonges.....	Rhône	France	$C^1 r^{**} (\geq 40^m)^{\frac{1}{2}}$	I	10	31
de l'Avenue du Connecticut, à Washington.....	Rock Creek	Etats-Unis	$C^n r^{**} (\geq 40^m)^2$	I	60	67
de Sidi-Rached, à Constantine.....	Rhumel	Algérie	$\widehat{A}^1 \widehat{A}^1 r^{**} (\geq 40^m)^{\frac{1}{2}}$	II	64	107
Cornélius, à Mu- nich.....	Isar	Bavière	$\overline{A}^n r^{**} (\geq 40^m)^3$	IV	166	180
de la Coulouvrenière, à Genève.....	Rhône	Suisse	$\widehat{A}^n r^{**} (\geq 40^m)^1$	IV	78	81
de Courris.....	Tarn	France	$E^n r^r (\geq 40^m)^2$	VI	182	205
de Crespano.....	Astico	Italie	$\widehat{A}^1 r^{**} (\geq 40^m)^5$	II	10	46
sur la Delaware, près de Portland.....	Delaware	Etats-Unis	»	III	284	289
du Diable.....	Sele	Italie	$E^1 r^{**} (\geq 40^m)^7$	I	88	116
du Diable, à Marto- rell.....	Llobregat	Espagne	»	III	»	313
sur la Diveria.....	torrent Diveria	Italie	$\widehat{A}^1 r^r (\geq 40^m)^{15}$	III	84	130
de Dombaas.....	Jora	Norvège	$\widehat{A}^1 r^r (\geq 40^m)^{27}$	VI	186	219
des Eaux-Salées.....	«Calanque» des Eaux-Salées	France	$C^1 r^r (\geq 40^m)^{\frac{1}{2}}$	VI	180	193
de l'Avenue Edmondson, à Balti- more (classé plus haut sous la lettre B).....	Gwynn's Falls	Etats-Unis	$E^1 r^{**} (\geq 40^m)^9$	I	90	122
Édouard VII, à Kew.....	Tamise	Angleterre	$E^n r^{**} (\geq 40^m)^7$	I	144	182
Élise, à Neubourg.	Danube	Bavière	$\overline{A}^1 r^{**} (\geq 40^m)^{\frac{1}{2}}$	IV	126	151
d'Elsen.....	Alme	Prusse	»	III	286	300
d'Elyria.....	Black River	Etats-Unis	$\widehat{A}^1 r^{**} (\geq 40^m)^7$	III	12	46
de l'Empereur François, à Prague.....	Moldau	Autriche	$E^n r^{**} (\geq 40^m)^5$	I	140	168
d'Escot.....	Gave d'Aspe	France	$\widehat{A}^1 r^r (\geq 40^m)^{11}$	II	122	174
de Fium'Alto.....	Fium'Alto	France, - Corse	$E^1 r^{**} (\geq 40^m)^5$	I	88	110
de Marbre,	Arno	Italie	»	III	»	319
à Florence.....						
de Fontpédrouse.....	Têt	France	»	V	»	87

PONT	Rivière ou voie traversée	Pays	Symbole	Tome	Pages	
					Tableau synoptique	Mono- graphie
Frédéric-Auguste, à Plauen	Une place	Saxe	$\widehat{\mathbf{A}}^1 \text{ r}^{1*} (\geq 40^m)^{10}$	III	14	52
de Freyssinet	Vézère	France	$\widehat{\mathbf{A}}^1 \text{ r}^{1*} (\geq 40^m)^8$	III	82	112
de Garching	Alz	Bavière	$\mathbf{E}^n \text{ r}^{1*} (\geq 40^m)^1$	IV	92	95
de la Coulouvrenière, à Genève (cité plus haut sous la lettre C)....	Rhône	Suisse	$\overline{\mathbf{A}}^n \text{ r}^{1*} (\geq 40^m)^1$	IV	78	81
de Gignac	Hérault	France	$\mathbf{E}^1 \text{ r}^{1*} (\geq 40^m)^3$	I	86	103
de Gloucester	Severn	Angleterre	$\mathbf{E}^1 \text{ r}^{1*} (\geq 40^m)^4$	I	86	107
de Göhren	Zwickauer- Mulde	Saxe	$\overline{\mathbf{A}}^1 \text{ r}^{1*} (\geq 40^m)^2$	IV	124	139
du Gour-Noir	Vézère	France	$\widehat{\mathbf{A}}^1 \text{ r}^{1*} (\geq 40^m)^6$	III	80	103
de Grasdorf	Leine	Hanovre	$\overline{\mathbf{A}}^1 \text{ r}^{1*} (\geq 40^m)^1$	IV	124	129
de Gräveneck	Lahn	Prusse, - Hesse	$\widehat{\mathbf{A}}^1 \text{ r}^{1*} (\geq 40^m)^1$	IV	210	213
sur la Gravona	Gravona	France, - Corse	$\widehat{\mathbf{A}}^1 \text{ r}^{1*} (\geq 40^m)^1$	II	178	183
de Gross-Kinnzendorf.	Freiwaldaue- Biele	Allemagne, - Silésie	$\overline{\mathbf{A}}^n \text{ r}^{1*} (\geq 40^m)^6$	III	232	267
de Grosvenor, à Ches- ter (cité plus haut, sous la lettre C)	Dee	Angleterre	$\widehat{\mathbf{A}}^1 \text{ r}^{1*} (\geq 40^m)^3$	III	10	29
de Guggersbach	Singine	Suisse	$\widehat{\mathbf{A}}^1 \text{ r}^{1*} (\geq 40^m)^{11}$	III	14	59
sur la Gutach	Gutach	Grand Duché de Bade	$\widehat{\mathbf{A}}^1 \text{ r}^{1*} (\geq 40^m)^{12}$	III	84	122
de Gufos		Norvège	$\widehat{\mathbf{A}}^1 \text{ r}^{1*} (\geq 40^m)^{28}$	VI	186	219
de Hochberg	Neckar	Wurtemberg	$\overline{\mathbf{A}}^n \text{ r}^{1*} (\geq 40^m)^2$	IV	166	177
de Hofen	Enz	Wurtemberg	$\overline{\mathbf{A}}^1 \text{ r}^{1*} (\geq 40^m)^1$	IV	38	41
de l'Hôtel-Dieu, à Lyon	Rhône	France	$\mathbf{E}^n \mathbf{E}^n \text{ r}^{1*} (\geq 40^m)^2$	VI	182	203
de Huzenbach	Murg	Wurtemberg	$\overline{\mathbf{A}}^1 \text{ r}^{1*} (\geq 40^m)^3$	III	192	206
d'Illerbeuren	Iller	Bavière	$\widehat{\mathbf{A}}^1 \text{ r}^{1*} (\geq 40^m)^1$	IV	156	159
d'Inzigkofen	Danube	Hohenzollern	$\overline{\mathbf{A}}^1 \text{ r}^{1*} (\geq 40^m)^1$	IV	220	225
d'Isola del Cantone (pont en amont et pont en aval)	Serivia	Italie	$\widehat{\mathbf{A}}^1 \text{ r}^{1*} (\geq 40^m)^{3,4}$	III	80	98
de Jamna	Pruth	Autriche	$\widehat{\mathbf{A}}^1 \text{ r}^{1*} (\geq 40^m)^{10}$	III	82	118
de Jaremcze	Pruth	Autriche	$\widehat{\mathbf{A}}^1 \text{ r}^{1*} (\geq 40^m)^9$	III	82	114
de Justinien	Sangaris	Asie-Mineure	»	III	»	318
de Kempten	Iller	Bavière	$\widehat{\mathbf{A}}^1 \text{ r}^{1*} (\geq 40^m)^{1,2,3}$	IV	112	115
Édouard VII, à Kew (classé plus haut, sous la lettre E)....	Tamise	Angleterre	$\mathbf{E}^n \text{ r}^{1*} (\geq 40^m)^7$	I	144	182
de Kleinwolmsdorf	Rader	Saxe	$\widehat{\mathbf{A}}^1 \text{ r}^{1*} (\geq 40^m)^1$	II	116	125

PONT	Rivière ou voie traversée	Pays	Symbole	Tome	Pages	
					Tableau synoptique	Mono- graphie
de Krappitz	Hotzenplotz	Allemagne, - Silésie	$\bar{A}^n r^{10} (\geq 40^m)^5$	III	232	265
sur le Krenngraben	Krenngraben	Autriche	$\hat{A}^1 r^r (\geq 40^m)^{17}$	III	86	134
de Krummenau	Thur	Suisse	$\hat{A}^1 r^r (\geq 40^m)^{25}$	III	90	164
de Kupferhammer	Freiwaldaue Biele	Allemagne, - Silésie	$\bar{A}^1 r^{10} (\geq 40^m)^9$	III	196	214
de Langenbrand	Murg	Grand Duché de Bade	$\hat{A}^1 r^r (\geq 40^m)^{21}$	III	88	152
sur le Latah Creek, à Spo- kane	Latah Creek	Etats-Unis	»	VI	188	»
de Lavour (Vieux Pont)	Agoût	France	$E^1 r^{10} (\geq 40^m)^2$	I	86	97
de Lavour	Agoût	France	$\hat{A}^1 r^r (\geq 40^m)^4$	II	118	135
de Lichtensteig	Thur	Suisse	$\hat{A}^1 r^r (\geq 40^m)^{24}$	III	88	161
de Londres (London Bridge)	Tamise	Angleterre	$E^n r^{10} (\geq 40^m)^1$	I	138	147
de Longuich	Moselle	Prusse-Rhénane	$\bar{A}^n r^{10} (\geq 40^m)^{10}$	III	236	279
de Lusserat	Charente	France	$\hat{A}^1 r^r (\geq 40^m)^{22}$	III	88	155
Adolphe, à Luxembourg (cité plus haut sous la lettre A)	Pétrusse	Luxembourg	$\hat{A}^1 \hat{A}^1 r^{10} (\geq 40^m)^1$	II	60	67
de Malling	Moselle	Lorraine Allemande	$\bar{A}^n r^{10} (\geq 40^m)^1$	IV	166	175
de Mannheim	Neckar	Grand Duché de Bade	$\bar{A}^n r^{10} (\geq 40^m)^9$	IV	172	206
de Mantes	Seine	France	$E^n r^{10} (\geq 40^m)^3$	I	140	160
de Marbach	Murr	Wurtemberg	$\bar{A}^1 r^{10} (\geq 40^m)^2$	IV	38	45
de Marbre, à Florence (cité plus haut, sous la lettre F)	Arno	Italie	»	III	»	319
de Marbre, à Pise		Italie	»	III	»	305
de Maretta	Scrivia	Italie	$\hat{A}^1 r^r (\geq 40^m)^1$	III	80	93
sur le Martin's Creek	Martin's Creek	Etats-Unis	»	VI	188	»
du Diable, à Martorell (cité plus haut, sous la lettre D)	Llobregat	Espagne	»	III	»	313
Maximilien,) à Mu- Max-Joseph) nich	Isar	Bavière	$\bar{A}^n r^{10} (\geq 40^m)^6$	IV	168	192
			$\bar{A}^1 r^{10} (\geq 40^m)^4$	IV	222	242
de Mehring	Moselle	Prusse-Rhénane	$\bar{A}^n r^{10} (\geq 40^m)^3$	III	230	252
de Michelau	Glatzer Neisse	Allemagne, - Silésie	$\bar{A}^1 r^{10} (\geq 40^m)^6$	III	194	209
de Modène	Panaro	Italie	»	III	»	307
de la Monroe Street, à Spokane	Spokane	Etats-Unis	»	III	284	293
de Montanges	Valserine	France	$\hat{A}^1 r^{10} (\geq 40^m)^{12}$	III	16	62

PONT	Rivière ou voie traversée	Pays	Symbole	Tome	Pages	
					Tableau synoptique	Mono- graphie
de Morbegno.....	Adda	Italie, - Valtelline	$\bar{A}^1 Fr (\geq 40^m)^1$	IV	62	65
Mosca, à Turin ...	Dora Riparia	Italie	$\bar{A}^1 r^{1*} (\geq 40^m)^1$	III	192	199
de Moulins (pont de Mansart).....	Allier	France	»	III	»	305
de Moulins-lez-Metz...	Moselle	Lorraine allemande	$\bar{A}^n r^{1*} (\geq 40^m)^8$	IV	170	202
de Munderkingen	Danube	Wurtemberg	$\bar{A}^1 r^{1*} (\geq 40^m)^1$	IV	52	55
de Munich (citée aussi sous les lettres C. M. P. R. W.)	Isar	Bavière	$\bar{A}^n r^{1*} (\geq 40^m)^3$	IV	166	180
			$\bar{A}^n r^{1*} (\geq 40^m)^6$	IV	168	192
			$\bar{A}^1 r^{1*} (\geq 40^m)^4$	IV	222	242
			$\bar{A}^1 r^{1*} (\geq 40^m)^3$	IV	222	239
			$\bar{A}^n r^{1*} (\geq 40^m)^4$	IV	168	183
de Narni	Néra	Italie	»	III	»	317
de Neckargartach	Neckar	Wurtemberg	$\bar{A}^n r^{1*} (\geq 40^m)^5$	IV	168	186
de Neckarhausen.....	Neckar	Hohenzollern	$\bar{A}^1 r^{1*} (\geq 40^m)^2$	IV	220	232
de Neuhammer.....	Queis	Allemagne, - Silésie	$\bar{A}^1 r^{1*} (\geq 40^m)^7$	III	194	211
Élise, à Neubourg (citée plus haut sous la lettre E)	Danube	Bavière	$\bar{A}^1 r^{1*} (\geq 40^m)^4$	IV	126	151
de Niagara	Rauma	Norvège	$\bar{A}^1 Fr (\geq 40^m)^{12}$	VI	184	207
de Nogent-sur-Marne.	Marne	France	$C^n Fr (\geq 40^m)^1$	I	76	79
de Nydeck, à Berne (citée plus haut sous la lettre B).....	Aar	Suisse	$\bar{A}^1 r^{1*} (\geq 40^m)^6$	II	12	51
de Nyons.....	Eygues	France	$\bar{A}^1 r^{1*} (\geq 40^m)^2$	II	10	25
d'Oloron	Gave d'Oloron	France	$C^1 Fr (\geq 40^m)^2$	I	38	45
d'Orense	Miño	Espagne	»	III	»	311
d'Orkla	Orkla	Norvège	$\bar{A}^1 Fr (\geq 40^m)^{26}$	VI	186	218
d'Orléans.....	Loire	France	$\bar{A}^n r^{1*} (\geq 40^m)^4$	III	232	255
d'Ornaisons	Orbieu	France	$C^n r^{1*} (\geq 40^m)^1$	I	60	63
sur le Palmgraben.....	Palmgraben	Autriche	$\bar{A}^1 Fr (\geq 40^m)^8$	II	120	164
de Pélussin.....	Ravin de Pélussin	France	$\bar{A}^1 Fr (\geq 40^m)^6$	VI	184	209
de Walnut Lane, à Philadelphie	Wissahickon Creek	Etats-Unis	$\bar{A}^1 \bar{A}^1 r^{1*} (\geq 40^m)^2$	II	62	83
de Marbre, à Pise (citée plus haut, sous la lettre M)....		Italie	»	III	»	305
de Bellefield, à Pittsburg (citée plus haut, sous la lettre B)	Creux de Saint-Pierre	Etats-Unis	$\bar{A}^1 r^{1*} (\geq 40^m)^9$	III	14	49

PONT	Rivière ou voie traversée	Pays	Symbole	Tome	Pages	
					Tableau synoptique	Mono- graphie
Frédéric-Auguste, à Plauen (<i>cité plus haut, sous la lettre F</i>)....	Une place	Saxe	$\widehat{A}^1 r^{10} (\geq 40^m)^{10}$	III	14	52
de Pont-sur-Yonne ...	Yonne	France	$E^n aq (\geq 40^m)^1$	I	210	213
dit Pont-y-tu-Pridd ...	Tafe	Angleterre	$\widehat{A}^1 r^{10} (\geq 40^m)^2$	III	10	26
de Pouch	Vézère	France	$\widehat{A}^1 Fr (\geq 40^m)^7$	III	82	110
de l'Empereur François à Prague (<i>classé plus haut, sous la lettre E</i>)	Moldau	Autriche, - Bohême	$E^n r^{10} (\geq 40^m)^5$	I	140	168
de Prarolo	Scrivia	Italie	$\widehat{A}^1 Fr (\geq 40^m)^2$	III	80	93
du Prince-Régent , à Munich (<i>cité plus haut sous la lettre M</i>).....	Isar	Bavière	$\overline{A}^1 r^{10} (\geq 40^m)^3$	IV	222	239
de Putney	Tamise	Angleterre	$\overline{A}^n r^{10} (\geq 40^m)^1$	III	230	239
de Ramounails	Ravin de Ramounails	France	$\widehat{A}^1 Fr (\geq 40^m)^2$	II	178	186
de Rébuzo	Aude	France	$C^1 Fr (\geq 40^m)^3$	I	38	48
de Reichenbach , à Munich (<i>cité plus haut, sous la lettre M</i>).....	Isar	Bavière	$\overline{A}^n r^{10} (\geq 40^m)^4$	IV	168	183
sur la Rocky River , près de Cleveland (<i>cité plus haut, sous la lettre C</i>)....	Rocky River	Etats-Unis	$\widehat{A}^1 \widehat{A}^1 r^{10} (\geq 40^m)^3$	II	62	95
sur la Roizonne	Roizonne	France	$C^1 fr (\geq 40^m)^2$	VI	180	199
de Rothenburg	Neisse	Silésie	»	IV	266	»
sur le Rothweibach	Rothweibach	Autriche	$\widehat{A}^1 Fr (\geq 40^m)^{10}$	II	122	171
Saint-Etienne (Ste- fansbrücke).....	Ruzbach	Autriche	$\widehat{A}^1 r^{10} (\geq 40^m)^7$	II	12	55
de Saint-Georges	Liri	Italie	»	III	»	307
Saint-Martin , à Tolède	Tage	Espagne	»	III	»	309
de Saint-Pierre	Dadou	France	$E^1 r^{10} (\geq 40^m)^8$	I	90	120
de Saint-Sauveur	Gave de Pau	France	$C^1 r^{10} (\geq 40^m)^3$	I	10	27
de Salcano	Isonzo	Autriche	$\widehat{A}^1 Fr (\geq 40^m)^{19}$	III	86	141
du Saulnier	Gardon de Sainte-Cécile- d'Andorge	France	$\widehat{A}^1 r^{10} (\geq 40^m)^6$	III	12	40
sur le Schalchgraben	Schalchgraben	Autriche	$\widehat{A}^1 Fr (\geq 40^m)^9$	II	120	168
sur le Schwändeholzobel	Schwän- deholzobel	Grand Duché de Bade	$\widehat{A}^1 Fr (\geq 40^m)^{13}$	III	84	126
de Schweich	Moselle	Prusse Rhénane	$\overline{A}^n r^{10} (\geq 40^m)^7$	III	234	268
de Schwusen	Bartsch	Allemagne, - Silésie	$\overline{A}^1 r^{10} (\geq 40^m)^8$	III	194	213
de Seythenex	Tamié	France	$\widehat{A}^n r^{10} (\geq 40^m)^2$	III	170	177

PONT	Rivière ou voie traversée	Pays	Symbole	Tome	Pages	
					Tableau synoptique	Mono- graphie
du Sidi-Rached, à Constantine (cité plus haut sous la lettre C).....	Rhumel	Algérie	$\widehat{A}^1 \widehat{A}^1 r^{1*} (\geq 40^m)^{\frac{1}{2}}$	II	64	107
de Sigmaringen	Danube	Hohenzollern	»	IV	250	253
de Signac.....	Pique	France	$E^1 l^{1r} (\geq 40^m)^1$	I	128	131
de Solis	Albula	Suisse	$C^1 l^{1r} (\geq 40^m)^1$	I	52	55
de la Monroe Street, à Spokane (cité plus haut sous la lettre M)....	Spokane	États-Unis	»	III	284	293
sur la Steyrling	Steyrling	Autriche	$\widehat{A}^1 l^{1r} (\geq 40^m)^{18}$	III	86	137
sur le Strandeelven	Strandeelven	Norvège	$\widehat{A}^1 l^{1r} (\geq 40^m)^{16}$	III	84	132
de Svenkerud	Halling- dalselven	Norvège	$\widehat{A}^1 l^{1r} (\geq 40^m)^{20}$	III	86	150
de Teinach	Nagold	Wurtemberg	$\overline{A}^1 r^{1*} (\geq 40^m)^2$	III	192	203
de Saint-Martin à Tolède (cité plus haut sous la lettre S).....	Tage	Espagne	»	III	»	309
des Amidonniers à Toulouse (cité plus haut sous la lettre A)....	Garonne	France	$E^n E^n r^{1*} (\geq 40^m)^1$	I	188	193
de Tournon	Doux	France	$\widehat{A}^1 r^{1*} (\geq 40^m)^3$	II	10	35
de Trajan	Danube	Hongrie	»	III	»	317
de Trezzo.	Adda	Italie	$\widehat{A}^1 r^{1*} (\geq 40^m)^1$	III	10	19
de Trittenheim.....	Moselle	Prusse Rhénane	$\overline{A}^n r^{1*} (\geq 40^m)^9$	III	234	276
de Tunkhannock.....	Tunkhannock Creek	États-Unis	»	VI	188	220
de Tuoi	Cluozza	Suisse	$\widehat{A}^1 l^{1r} (\geq 40^m)^{\frac{1}{2}}$	II	180	194
Mosca, à Turin (cité plus haut sous la lettre M)....	Dora Riparia	Italie	$\overline{A}^1 r^{1*} (\geq 40^m)^1$	III	192	199
de la Wallstrasse, à Ulm.....	Voies de gare	Wurtemberg	$\overline{A}^1 r^{1*} (\geq 40^m)^3$	IV	124	143
de Valence.....	Rhône	France	$E^n r^{1*} (\geq 40^m)^6$	I	142	173
sur le Verdon	Verdon	France	$E^1 l^{1r} (\geq 40^m)^2$	I	128	133
de Verdun-s ^r -le-Doubs	Doubs	France	$E^n r^{1*} (\geq 40^m)^{\frac{1}{2}}$	I	140	165
du Vieux-Château, à Vérone	Adige	Italie	$\widehat{A}^n r^{1*} (\geq 40^m)^1$	III	170	173
Victoria	Wear	Angleterre	$\widehat{A}^n l^{1r} (\geq 40^m)^1$	II	198	201
de Vieille-Brioude (an- cien pont).....	Allier	France	$\widehat{A}^1 r^{1*} (\geq 40^m)^1$	II	10	15
de Vieille-Bricude	Allier	France	$C^1 r^{1*} (\geq 40^m)^2$	I	10	23

PONT	Rivière ou voie traversée	Pays	Symbole	Tome	Pages	
					Tableau synoptique	Mono- graphie
de Villeneuve-d'Agen (Vieux pont)	Lot	France	»	III	»	315
de Villeneuve-d'Agen.	Lot	France	$\widehat{A}^1 \widehat{A}^1 r^{10} (\geq 40^m)^1$	VI	186	210
de Vizille	Romanche	France	$E^1 r^{10} (\geq 40^m)^1$	I	86	93
sur la Vouga	Vouga	Portugal	$\widehat{A}^1 fr (\geq 40^m)^5$	VI	184	208
de Walditobel	Ravin de Klösterle	Autriche	$\widehat{A}^1 Fr (\geq 40^m)^6$	II	120	157
de Walnut Lane, à Philadelphie (cité plus haut, sous la lettre P)....	Wissahickon Creek	Etats-Unis	$\widehat{A}^1 \widehat{A}^1 r^{10} (\geq 40^m)^2$	II	62	83
de la Wallstrasse, à Ulm (cité plus haut sous la lettre U)	Voies de gare	Wurtemberg	$\overline{A}^1 r^{10} (\geq 40^m)^3$	IV	124	143
de l'Avenue du Connecticut à Washington (classé plus haut sous la lettre C).	Rock Creek	Etats-Unis	$C^n r^{10} (\geq 40^m)^2$	I	60	67
près de Weisenbach	Murg	Grand Duché de Bade	$\overline{A}^1 aq (\geq 40^m)^1$	III	216	219
de Wengern	Malapane	Allemagne, - Silésie	$\overline{A}^1 r^{10} (\geq 40^m)^4$	III	192	207
de Wheeling	Wheeling Creek	Etats-Unis	$\widehat{A}^1 r^{10} (\geq 40^m)^8$	III	12	47
de Wiesen	Landwasser	Suisse	$E_h^1 fr (\geq 40^m)^1$	I	232	235
de Wittelsbach, à Mu- nich (cité plus haut sous la lettre M)	Isar	Barrière	$\overline{A}^n r^{10} (\geq 40^m)^7$	IV	170	199
de Worochta	Pruth	Autriche	$\widehat{A}^1 Fr (\geq 40^m)^{11}$	III	82	120
de Ziegenhals	Freiwaldaue Biele	Allemagne, - Silésie	$\overline{A}^1 r^{10} (\geq 40^m)^5$	III	194	208

ERRATA GÉNÉRAL

On avait d'abord pensé ne faire que 5 Tomes : on a dû en faire 6. Au cours des Tomes I à IV, on a quelquefois renvoyé à un Appendice, Tome V : il est dans le Tome VI.

TOME I

Pages	Au lieu de :	lire :	Pages	Au lieu de :	lire :
26 1 ^{re} ligne.....	Ça	Ç'a	171 Dessin f_1 - Numéros des voûtes.....	1, 2, 3, 4	1, 3, 2, 1
82 Renvoi 1.....	1908 à 1901	1908 à 1910	175 Dessin f_{10} - Echelle.	10 ^{re}	5 ^{re}
86 P ^{re} de Vizille, col. 1.	3 centres	5 centres	188 P ^{re} des Amidonniers, col. 9 - Evidement ^{re} - Surbaissements.	9 ^{re} 90 14,91, 14,97	10 ^{re} 10 14,07, 14,01
90 P ^{re} d'Edmondson, col. 1. Montée...	13 ^{re} 309	13 ^{re} 35	194 3 ^{re} ligne.....	la Dalbabe,	la Dalbade,
91 P ^{re} d'Edmondson, col. 15.....	11 tranches	16 tranches	191 2. Forme des voûtes - Rayons de courbure aux naiss ^{re} ...	$\rho_1 = \frac{\rho^2}{R}$	$\rho_1 = \frac{\rho^2}{a}$
129 P ^{re} de Signac, col. 16, Décintrement.....	68 jours	30 jours	245 } P ^{re} de Ballochmyle...	Angleterre, Ecosse	G ^{de} . Bretagne, Ecosse
112 P ^{re} de Valence, col. 9.	sur murs de 0 ^{re} 95	sur murs de 0 ^{re} 55	250 }		
157 10 ^{re} ligne.....	avec l'intrados	avec l'extrados			
173 Renvoi 1.....	$y = \frac{x^3}{l^2} \left(1 - \frac{x}{l}\right)$	$y = \frac{x^3}{l^2} \left(1 - \frac{x}{2l}\right)$			

TOME II

49 7. Décintrement, dernière ligne....	à 16 ^{re} 35	à 16 ^{re} 53	122 P ^{re} d'Escot, col. 12, Ecart ^{re} des fermes.	1 ^{re} 50	1 ^{re} 23
68 Dessin f_1	$e_1 = 2^{\text{re}}10$	$e_1 = 2^{\text{re}}16$	178 P ^{re} de Ramounails, col. 9, dern ^{re} ligne.	pires de 0 ^{re} 90	pires de 0 ^{re} 80
120 P ^{re} de Palmgraben, col. 16. Décintr ^{re} .	29 août	20 juillet	181 P ^{re} de Tuoi, col. 15.	3 rouleaux	2 rouleaux

TOME III

16 P ^{re} de Montanges, colonne 1.....	1908-1909	1908-1910	332 Renvoi 19, 3 ^{re} ligne..	$(Chx) = \frac{ex + e^{-x}}{2}$	$(Chx) = \frac{e^x + e^{-x}}{2}$
114 3. Chape. 1 ^{re} ligne..	d'asphalte recouverte	d'asphalte recouvert	334 9 ^{re} ligne.....	courbure diminuée sur 3 fois la bande comprimée	courbure augmentée sur la bande comprimée
121 1 ^{re} ligne.....	Plinthe	Plinthe	360 Dernière ligne.....	(.. § 11, art. 2.)	(.. § 2, art. 1.)
124 Renvoi 5.....	« Im Einklang... »	« Im Einklange... »	373 Renvoi 24, 2 ^{re} ligne..	(§ 11, art. 2 1 ^{re})	(§ 2, art. 1.)
130 Titre, 3 ^{re} ligne.....	1902	1901-1902	371 Renvoi 27, 5 ^{re} ligne..	43 ^{re} 38,	43 ^{re} .
167 Renvoi 4.....	($\geq 10^{\text{re}}$) ¹¹	($\geq 10^{\text{re}}$) ¹²	386 P ^{re} de l'Alma, 3 ^{re} col.	1910-1912,	1907-1909,
287 P ^{re} d'Elsen, col. 12, Ecart ^{re} des fermes.	0 ^{re} 88	1 ^{re} 08	387 P ^{re} de Lichtensteig, 11 ^{re} colonne.....	18 ^{re} 73,	18 ^{re} 42,
330 1 ^{re} ligne.....	y croît	y décroît	390 P ^{re} de Gignac, 3 ^{re} col.		

TOME IV

12 Art. 3, 1 ^{re} ligne....	Köpcke (f_{11})	Köpcke ¹⁸⁹¹⁰ (f_{11})	223 P ^{re} Max-Joseph, col. 12 - Nombre de fermes.....	9	10
15 Tableau 11 ₁ - Valeurs de $\frac{2x}{l}$	0,016, 0,011, 0,019, 0,10, 0,12, 0,12, 0,29, 0,29, 0,30	0,070, 0,062, 0,073, 0,152, 0,183, 0,179, 0,39, 0,43, 0,15	260 Tableau - Avant-dernière col.....	Epaiss ^{re} en 0 ^{re} 01	Epaiss ^{re} en 0 ^{re} 001
21 Renvoi 18, 5 ^{re} ligne..	triangles 00 ^{re} C	triangles 00 ^{re} 0'	267 P ^{re} de Grasdorf, 1 ^{re} colonne.....	1 ^{re} , 2 ^{re} 5, 4 ^{re} 5	1 ^{re} , 2 ^{re} 5, 4 ^{re}
46 6. Exécution de la voûte, 6 ^{re} ligne...	tassa de 55 ^{re} , (Bavière)	tassa de 72 ^{re} , (Wurtemberg)	272 Renvoi 1.....	p. 45.	p. 55.
113 Titre, 1 ^{re} ligne.....	classé comme	est assez surbaissé	276 Renvoi 6 - P ^{re} de Moulins-lez-Metz, 3 ^{re} colonne.....	Bandeaux en PT	Bandeaux en MEV
156, 159, 217/ Pont	très surbaissé A	A	285 P ^{re} Cornélius, 1 ^{re} col..	($\geq 40^{\text{re}}$) ²	($\geq 40^{\text{re}}$) ³
261, 284, 295/ d'Herbeuren	Fruit : 1, 10	Fruit : 1 10	285 P ^{re} de Neckarhausen, 2 ^{re} colonne.....	Danube	Neckar
168 P ^{re} de Neckargartach, col. 3.....			291 P ^{re} Elise, 1 ^{re} ligne...	($\leq 40^{\text{re}}$) ⁴	($\geq 40^{\text{re}}$) ⁴
221 P ^{re} d'Inzigkofen, col. 10. Rive dr ^{re} . Pression.....	28 ^{re} 6	7 ^{re} 7			

TOME V

Pages	Au lieu de :	Lire :	Pages	Au lieu de :	Lire :
27 Renvoi 39.....	Art. 7. — A.	Art. 8.	103 Photographie.....	Pont Ælius	Pont Ælius
34 Photographie.....	Φ_5 - amont	Φ_5 - aval	141 Renvoi 42.....	Nydeck (II, 33);	Nydeck (II, 53);
34 id.	Φ_6 - aval	Φ_6 - amont	153 Renvoi 101.....	Teinach (IV, 204);	Teinach (III, 204);
38 Renvoi 11. 5 ^e ligne..	10 jours	100 jours	154 Renvoi 122. P ^e de		
52 P ^e de Lichtensteig.			Krenngraben.....	(III, 87, 136);	(II, 87, 136);
4 ^e colonne.....	Allemagne	Suisse	160 Renvoi 10. P ^e de Céret	(I - 118),	(I - 18),
52 P ^e de Krummenau.			163 Renvoi 41. P ^e du		
4 ^e colonne.....	Allemagne	Suisse	Prince-Régent...	(IV, 233).	(IV, 223).
61 P ^e d'Edmondson.			163 Renvoi 41. P ^e de Ja-		
4 ^e colonne.....	I - 206	I - 122	remcze.....	(III, 110).	(III, 116).
70 Croquis des 2 ^e , 3 ^e , 1 ^e			175 Art. 3. Pont de Trit-		
colonne.....	l_a, l_v, l_a	l_a, l_v, l_a	tenheim. Tassem ^t .	20 ^m	12 à 15 ^m
	à l'extrados	à l'intrados	203 Tableau II. Plus		
75 Renvoi 10. 1 ^{re} ligne.	(renvoi 4),	(renvoi 5),	grandes voûtes in-		
	$E = r_2 + r_1$	$CF = r_2 + r_1$	articulées. 4 ^e col.	48 ^m 70 (Vérone)	55 ^m
77 Renvoi 17. Valeurs	$\frac{E}{2} (1 \pm \cotg \theta)$	$\frac{E}{2} (\sin \theta \pm \cos \theta)$	210 Art. 3. P ^e d'Edmond-		(Annibal, Diable)
de r_2 et r_1			son. Surbaiss ^{em} .	1/5, 428	1/3, 17
83 Renvoi 12.....	soit 0,097	soit 0,0097			
102 Dessin f ₁	le redresser				

TOME VI

13 § 1. — Art. 2.....	même 0 ^m 50.	même 0 ^m 20.	166 § 2. Art. 1 - 2 ^e lig...	$Z_1^B = \frac{v^2}{4a^2}$,	$Z_1^B = \frac{v^2}{4a}$,
48 Renvoi 27.....	Table T ₁ .	Table T ₂ .			
64 Renvoi 69. 11 ^e ligne.	côté Amiens	côté Rouen.	199 P ^e sur la Roizonne..	1912-1916	1912-1915
71 Renvoi 92.....	V, p. 50.	V, p. 60.	218 P ^e sur l'Orkla.....	1912-1915	1911-1915
83 Art. 1. — 4 ^e ligne..	sur 0 ^m 25	sur 0 ^m 20	214 Renvoi 11 - 1 ^{re} ligne..	d'octobre 1881,	d'octobre 1886,
159 Art. 1. — Fin de la					
2 ^e ligne.....	axe $C_1^j X$.	axe $C_1^j Y$.			



POUR RELIER, CONSULTER, CONSERVER L'OUVRAGE

A CAUSE DES NOMBREUSES PHOTOGRAPHIES QUI Y FIGURENT, ON A DÛ, MALGRÉ QU'ON EN EÛT, EMPLOYER DU PAPIER « COUCHÉ », QUI EST FRAGILE ET DEMANDE QUELQUE SOIN POUR ÊTRE MANIÉ ET CONSERVÉ.

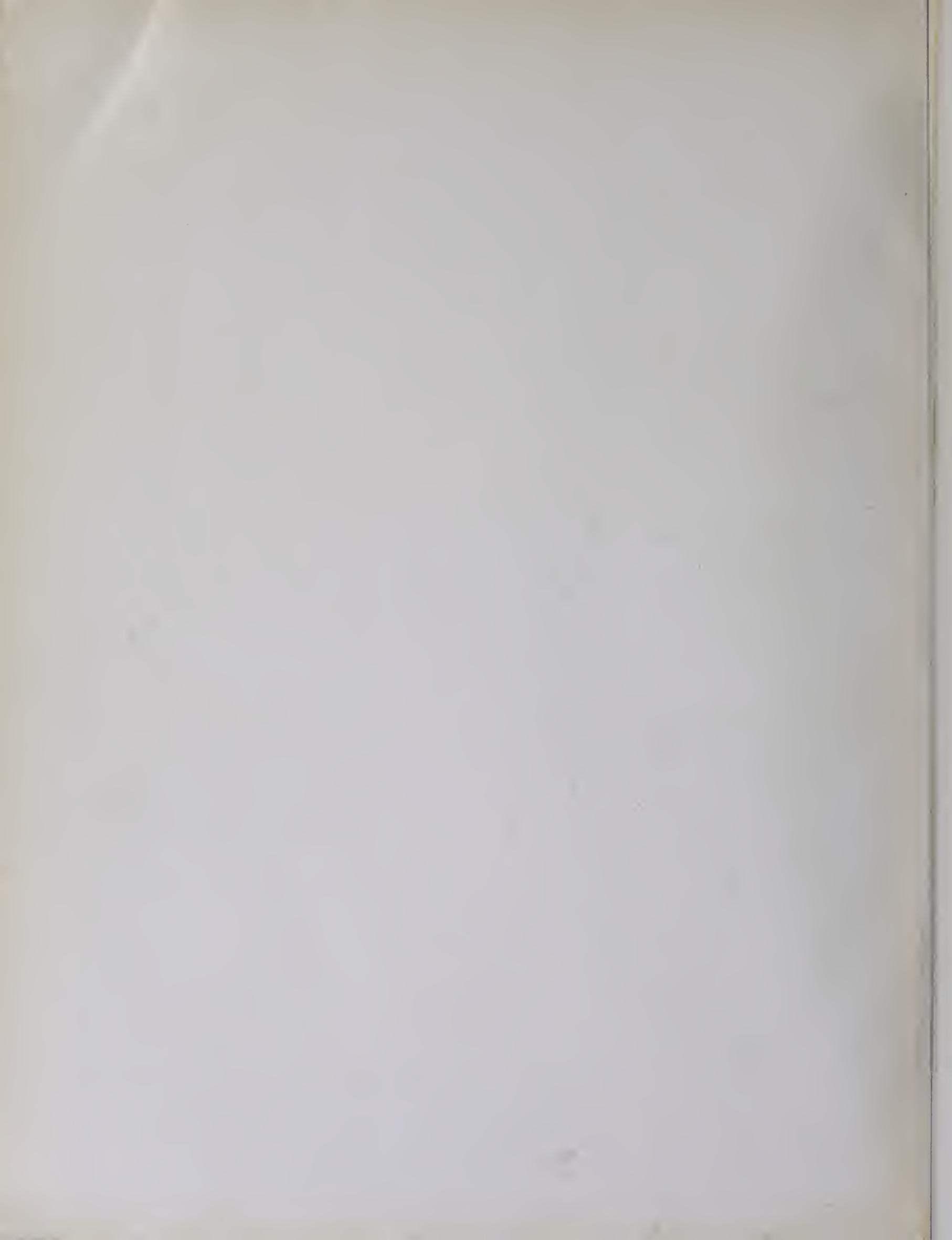
POUR RELIER, ON COUDRA LES CAHIERS SUR UNE BANDE DE TOILE : ON BROCHERA, PUIS ON COLLERA SUR LES COUTURES UNE SECONDE BANDE DE TOILE, OU MIEUX, DE PEAU.

ON RELIERA AVEC DE TRÈS FORTS « PLATS ».

POUR OUVRIR UN VOLUME RELIÉ, ON SE GARDERA DE LE POSER D'ABORD SUR UN PLAT : ON LE PLACERA VERTICALEMENT SUR SON DOS.

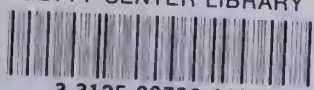
NE PAS PLIER LE PAPIER, ON LE CASSE — NI FEUILLETER AVEC UN DOIGT MOUILLÉ, ON LE TACHE.

CONSERVER LES VOLUMES EN UN LIEU SEC, A L'ABRI DU SOLEIL ET DE LA CHALEUR.





GETTY CENTER LIBRARY



3 3125 00722 4401

